



DIÁRIO OFICIAL

PREFEITURA MUNICIPAL DE JOÃO PESSOA

João Pessoa, 06 de junho de 2024 * nº 0544(SUPLEMENTO) * Pág. 001/122



PAÇO MUNICIPAL

ATOS DO PREFEITO

DECRETO N° 10.638 DE 29 DE MAIO DE 2024

ABRE CRÉDITO SUPLEMENTAR PARA REFORÇO DE DOTAÇÕES CONSIGNADAS NA SEJER E SECITEC NO VIGENTE ORÇAMENTO.

O Prefeito do Município de João Pessoa, Estado da Paraíba, no uso das atribuições que lhe confere o inciso V, do artigo 60 e a alínea c, inciso I, do artigo 76, da Lei Orgânica do Município, de acordo com o inciso I, do artigo 6º, da Lei nº 15.066, de 12 de janeiro de 2024, e tendo em vista o que constam dos Processos Administrativos nºs 11.657 e 14.434/2024,

DECRETA:

Art. 1º Fica aberto o Crédito Suplementar na Secretaria Municipal da Juventude, Esporte e Recreação e na Secretaria Municipal de Ciência e Tecnologia no valor global de R\$ 570.000,00 (quinhentos e setenta mil reais), para reforço de dotações orçamentárias na forma discriminada no anexo I (Acréscimo).

Art. 2º As despesas com o Crédito Suplementar aberto pelo artigo anterior, correrão por conta do Superávit Financeiro apurado no Balanço Patrimonial da Prefeitura Municipal de João Pessoa, do exercício anterior (2023), de acordo com o artigo 43, § 1º, inciso I, da Lei Federal nº 4.320/64, conforme discriminação a seguir:

SUPERÁVIT FINANCEIRO APURADO NO BALANÇO PATRIMONIAL PMJP EM 31/12/2023.....R\$ 570.000,00

Art. 3º Este Decreto entra em vigor na data de sua publicação.

PAÇO DA PREFEITURA MUNICIPAL DE JOÃO PESSOA, em 29 de maio de 2024.

CÍCERO DE LUCENA FILHO
Prefeito

AYRTON LINS FALCÃO FILHO
Secretário de Planejamento

BRUNNO SITÔNIO FIALHO DE OLIVEIRA
Secretário das Finanças

Anexo I
Acréscimo

Ano Base: 2024

Órgão / UO	DESCRIÇÃO	MODALIDADE*	FR**	VALOR (R\$1,00)
Classificação Funcional				
25000	SEC. MUNIC. DA JUVENTUDE, ESPORTE E RECREAÇÃO			
25101	SEJER - AÇÕES DE GOVERNO			
27.451.5427.257129	MANUTENÇÃO E REFORMA DOS ESTÁDIOS, GINÁSIOS E CAMPOS DE FUTEBOL	4.4.90	1.5.00	220.000,00
			SUBTOTAL	220.000,00
27000	SECRETARIA MUNICIPAL DE CIÊNCIA E TECNOLOGIA			
27101	SECITEC - AÇÕES DE GOVERNO			
19.573.5456.274028	ARTICULAÇÃO DA POLÍTICA MUNICIPAL DE CIÊNCIA & TECNOLOGIA	3.3.50	1.5.00	350.000,00
			SUBTOTAL	350.000,00
			TOTAL GERAL	570.000,00

*MODALIDADE DE APLICAÇÃO
3.3.50 - TRANSFERÊNCIAS A INSTITUIÇÕES PRIVADAS S/FINS LUCRATIVOS
4.4.90 - APLICAÇÕES DIRETAS
**FONTE DE RECURSO
Recursos não vinculados de impostos



VERIFICAÇÃO DAS ASSINATURAS



Código para verificação: 78BD-3776-4274-9AF0

Este documento foi assinado digitalmente pelos seguintes signatários nas datas indicadas:

- ✓ AYRTON LINS FALCÃO FILHO (CPF 467.XXX.XXX-72) em 03/06/2024 08:35:01 (GMT-03:00)
Papel: Parte
Emitido por: Sub-Autoridade Certificadora 1Doc (Assinatura 1Doc)
- ✓ BRUNNO SITÔNIO (CPF 029.XXX.XXX-83) em 03/06/2024 12:05:22 (GMT-03:00)
Papel: Parte
Emitido por: Sub-Autoridade Certificadora 1Doc (Assinatura 1Doc)
- ✓ CÍCERO DE LUCENA FILHO (CPF 142.XXX.XXX-53) em 05/06/2024 09:10:32 (GMT-03:00)
Papel: Parte
Emitido por: Sub-Autoridade Certificadora 1Doc (Assinatura 1Doc)

Para verificar a validade das assinaturas, acesse a Central de Verificação por meio do link:

<https://joaopessoa.1doc.com.br/verificacao/78BD-3776-4274-9AF0>

DECRETO N° 10.639 DE 29 DE MAIO DE 2024

ABRE CRÉDITO SUPLEMENTAR PARA REFORÇO DE DOTAÇÕES CONSIGNADAS NA SMPDC/FMDDC NO VIGENTE ORÇAMENTO.

O Prefeito do Município de João Pessoa, Estado da Paraíba, no uso das atribuições que lhe confere o inciso V, do artigo 60 e a alínea c, inciso I, do artigo 76, da Lei Orgânica do Município, de acordo com o inciso I, do artigo 6º, da Lei nº 15.066, de 12 de janeiro de 2024, e tendo em vista o que consta do Processo SEPLAN nº 12.247/2024,

DECRETA:

Art. 1º Fica aberto o Crédito Suplementar na Secretaria Municipal de Proteção e Defesa do Consumidor/Fundo Municipal de Defesa dos Direitos Difusos do Consumidor no valor de R\$ 1.700.505,11 (um milhão, setecentos mil, quinhentos e cinco reais e onze centavos), para reforço de dotações orçamentárias na forma discriminada no anexo I (Acréscimo).

Art. 2º As despesas com o Crédito Suplementar aberto pelo artigo anterior, correrão por conta do Superávit Financeiro apurado no Balanço Patrimonial do Fundo Municipal de Defesa dos Direitos Difusos do Consumidor, do exercício anterior (2023), de acordo com o artigo 43, § 1º, inciso I, da Lei Federal nº 4.320/64, conforme discriminação a seguir:

SUPERÁVIT FINANCEIRO APURADO NO BALANÇO PATRIMONIAL-FMDDC EM 31/12/2023.....R\$ 1.700.505,11

Art. 3º Este Decreto entra em vigor na data de sua publicação.

PAÇO DA PREFEITURA MUNICIPAL DE JOÃO PESSOA, em 29 de maio de 2024.

CÍCERO DE LUCENA FILHO
Prefeito

AYRTON LINS FALCÃO FILHO
Secretário de Planejamento

BRUNNO SITÔNIO FIALHO DE OLIVEIRA
Secretário das Finanças

Assinado por 3 pessoas: AYRTON LINS FALCÃO FILHO, BRUNNO SITÔNIO e CÍCERO DE LUCENA FILHO
Para verificar a validade das assinaturas, acesse <https://joaopessoa.1doc.com.br/verificacao/78BD-3776-4274-9AF0> e informe o código 78BD-3776-4274-9AF0



Assinado por 3 pessoas: AYRTON LINS FALCÃO FILHO, BRUNNO SITÔNIO e CÍCERO DE LUCENA FILHO
Para verificar a validade das assinaturas, acesse <https://joaopessoa.1doc.com.br/verificacao/78BD-3776-4274-9AF0> e informe o código 78BD-3776-4274-9AF0



Anexo I
Acréscimo

Ano Base: 2024

Órgão / UO	DESCRIÇÃO	MODALIDADE*	FR**	VALOR (R\$1,00)
Classificação Funcional				
31000	SECRETARIA MUNICIPAL DE PROTEÇÃO E DEFESA DO CONSUMIDOR			
31301	FUNDO MUNICIPAL DE DEFESA DOS DIREITOS DIFUSOS DO CONSUMIDOR			
14.422.5030.312750	CONSERVAÇÃO, AMPLIAÇÃO, REFORMA E ADAPTAÇÃO DE INSTALAÇÕES	4.4.90	1.7.59	1.103.769,11
14.422.5030.572093	MANUTENÇÃO DAS ATIVIDADES ADMINISTRATIVAS	3.3.90	1.7.59	100.000,00
14.422.5027.574481	ESCOLA MUNICIPAL DE DEFESA DO CONSUMIDOR	3.3.50	1.7.59	496.736,00
			SUBTOTAL	1.700.505,11
TOTAL GERAL				1.700.505,11

***MODALIDADE DE APLICAÇÃO**
3.3.50 - TRANSFERÊNCIAS A INSTITUIÇÕES PRIVADAS S/FINS LUCRATIVOS
3.3.90 - APLICAÇÕES DIRETAS
4.4.90 - APLICAÇÕES DIRETAS
****FONTE DE RECURSO**
Recursos Vinculados a Fundos



VERIFICAÇÃO DAS ASSINATURAS



Código para verificação: BA6B-7BA2-7721-C5C0

Este documento foi assinado digitalmente pelos seguintes signatários nas datas indicadas:

- ✓

AYRTON LINS FALCÃO FILHO (CPF 467.XXX.XXX-72) em 03/06/2024 08:34:03 (GMT-03:00)
Papel: Parte
Emitido por: Sub-Autoridade Certificadora 1Doc (Assinatura 1Doc)
- ✓

BRUNNO SITONIO (CPF 029.XXX.XXX-83) em 03/06/2024 12:04:53 (GMT-03:00)
Papel: Parte
Emitido por: Sub-Autoridade Certificadora 1Doc (Assinatura 1Doc)
- ✓

CÍCERO DE LUCENA FILHO (CPF 142.XXX.XXX-53) em 05/06/2024 08:54:34 (GMT-03:00)
Papel: Parte
Emitido por: Sub-Autoridade Certificadora 1Doc (Assinatura 1Doc)

Para verificar a validade das assinaturas, acesse a Central de Verificação por meio do link:

<https://joaopessoa.1doc.com.br/verificacao/BA6B-7BA2-7721-C5C0>

DECRETO Nº 10.640, DE 30 DE MAIO DE 2024.

DEFINE A DE ÁREA DE PRESERVAÇÃO PERMANENTE PARA TRECHO DO RIO JAGUARIBE SITUADO EM ÁREA URBANA CONSOLIDADA, EM CONFORMIDADE COM O ESTUDO SÓCIO AMBIENTAL DA ÁREA E NOS TERMOS DA LEI MUNICIPAL Nº 15.121, DE 14 DE MARÇO DE 2024.

O PREFEITO CONSTITUCIONAL DO MUNICÍPIO DE JOÃO PESSOA-PB, Estado da Paraíba, no uso das atribuições que lhe conferem o art. 60, inciso V, da Lei Orgânica Municipal, e, ainda

Considerando a necessidade de compatibilização das normas ambientais com o cenário de consolidação das áreas urbanas, promovendo esforços de sustentabilidade, preservação e recuperação do meio ambiente em situações onde se fazem necessárias intervenções em obras de interesse social ou de utilidade pública;

Considerando o permissivo legal previsto no art. 3º, inciso XXVI, da Lei Federal nº 12.651/2012, e que a possibilidade de modificação dos limites das áreas de preservação permanentes situadas às margens dos rios municipais devem obedecer aos ditames da Lei Municipal nº 15.121/2024;

DECRETA:

Art. 1º Fica definida em 15 (quinze) metros em ambas as margens, leste e oeste, contados da calha regular do leito do rio, a área de preservação permanente no trecho do Rio Jaguaribe situado em área urbana consolidada entre o Parque Ecológico Jaguaribe e o Manaíra Shopping, em estrita conformidade com as necessidades e justificativas presentes no Estudo Sócio Ambiental constante no Anexo I do presente Decreto.

Parágrafo único. A alteração do limite da área de preservação definido no caput é restrito ao trecho indicado no Estudo Sócio Ambiental.

Art. 2º As coordenadas e poligonais da área de preservação permanente definidas neste Decreto estão delimitadas de acordo com o mapa constante no Anexo II, cujos vértices georreferenciados devem ser disponibilizados através de memorial descritivo detalhado no sítio oficial do Município.

Art. 3º Compete à Secretaria de Meio Ambiente do Município promover medidas necessárias para a recuperação e manutenção da área de preservação aqui definida.

Art. 4º Este decreto entra em vigor na data de sua publicação.

PAÇO DO GABINETE DA PREFEITURA MUNICIPAL DE JOÃO PESSOA, Estado da Paraíba, em 30 de maio de 2024, 136º da República.

CÍCERO DE LUCENA FILHO
Prefeito Constitucional



Estado da Paraíba
Prefeitura Municipal de João Pessoa

- Prefeito: Cícero de Lucena Filho
- Vice-Prefeito: Leopoldo Araújo Bezerra Cavalcanti
- Sec. de Gestão Governamental: Diego Tavares de Albuquerque
- Secretaria de Administração: Ariosvaldo de Andrade Alves
- Secretaria de Saúde: Luis Ferreira de Sousa Filho
- Secretaria de Educação: Maria América Assis de Castro
- Secretaria de Planejamento: Ayrtton Lins Falcão Filho
- Secretaria da Finanças: Brunno Sitonio Fialho de Oliveira
- Secretaria de Desenv. Social: Norma Wanderley da Nóbrega Gouveia
- Secretaria de Habitação: Maria Socorro Gadelha
- Secretaria de Comunicação: Janildo Jerônimo da Silva
- Controlad. Geral do Município: Diego Fabricio C. de Albuquerque
- Secretaria de Direitos Humanos: Maria Benicleide Silva Silvestre
- Procuradoria Geral do Município: Bruno Augusto A. da Nóbrega
- Sec. de Proteção e Defesa do Consumidor: Rougger Xavier G. Júnior
- Secretaria da Receita: Sebastião Feitosa Alves
- Secretaria da Infra Estrutura: Rubens Falcão da Silva Neto
- Sec. de Desenvolvimento Econômico do Trabalho: Vaulene de Lima Rodrigues
- Sec. Juventude, Esporte e Recreação: Kaio Márcio Ferreira Costa
- Secretaria de Turismo: Daniel Rodrigues de Lacerda Nunes
- Secretaria de Políticas Públicas das Mulheres: Ivonete Porfírio Martins
- Sec. de Desenvolvimento Urbano: Rodrigo Fagundes de Figueiredo Trigueiro
- Sec. da Ciência e Tecnologia: Guido Lemos de Souza Filho
- Secretaria de Meio Ambiente: Welison Araújo Silveira
- Sec. de Segurança Urbana e Cidadania: Luiz Eduardo Menezes Soares
- Secretaria da Defesa Civil: Jailton Gomes Bezerra
- Suprerint. de Mobilidade Urbana: Expedito Leite Silva Filho
- Autarqu. Esp. Munic. de Limp. Urbana: Ricardo José Veloso
- Instituto de Previdência do Munic.: Caroline Ferreira Agra
- Fundação Cultural de João Pessoa: Antônio Marcus Alves de Souza

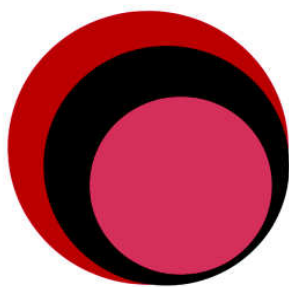
DIÁRIO OFICIAL

Agente de Registros e Publicações - Orleide Maria de O. Leão
Designer Gráfico - Emilson Diniz e Fábio Evangelista

Unidade de Atos Oficiais - Secretaria de Gestão Governamental
Praça Pedro Américo, 70 - Cep: 58.010-340
Pabx: 83 3213.5277
diariopmpj@gmail.com

Órgão Oficial da Prefeitura Municipal de João Pessoa
Criado pela Lei Municipal nº 14.457, de 22 de março de 2022
Centro Administrativo Municipal
Rua Diógenes Chianca, 1777 - Água Fria - Cep: 58.053-900
Fone: 3128.9038 - e-mail: sead@joaopessoa.pb.gov.br





DIAGNÓSTICO SOCIOAMBIENTAL DO RIO JAGUARIBE

TRECHO ENTRE A RODOVIA GOVERNADOR
ANTÔNIO MARIZ (BR-230), NA ALTURA DO
MANAÍRA SHOPPING E A AVENIDA MINISTRO
JOSÉ AMÉRICO DE ALMEIDA - PONTE CABO
BRANCO

JOÃO PESSOA
2023

DIAGNÓSTICO SOCIOAMBIENTAL

RIO JAGUARIBE
TRECHO ENTRE A RODOVIA GOVERNADOR
ANTÔNIO MARIZ (BR-230), NA ALTURA DO
MANAÍRA SHOPPING E A AVENIDA MINISTRO
JOSÉ AMÉRICO DE ALMEIDA - PONTE CABO
BRANCO

João Pessoa/PB
2023

Assinado por: CAMERIZO LUCAS MATEUS, ARTHUR MARCEL BRASILEIRO GUIMARÃES, ADRIANO DOS SANTOS MEDEIROS, MARTINHO QUEIROGA SALGADO SOBRINHO, ELIANA DA SILVA MELO
Para verificar a validade das assinaturas, acesse: <https://joaopessoa.pb.gov.br/verificacao> ESTAT 15-3-2024 e informe o código ESTAT 15-3-2024



Diagnóstico Socioambiental do Rio
Jaguaribe, trecho entre a rodovia governador
Antônio Mariz (BR-230), na altura do
Manaíra shopping e a avenida ministro José
Américo de Almeida - Ponte Cabo Branco.

Assinado por: CAMERIZO LUCAS MATEUS, ARTHUR MARCEL BRASILEIRO GUIMARÃES, ADRIANO DOS SANTOS MEDEIROS, MARTINHO QUEIROGA SALGADO SOBRINHO, ELIANA DA SILVA MELO
Para verificar a validade das assinaturas, acesse: <https://joaopessoa.pb.gov.br/verificacao> ESTAT 15-3-2024 e informe o código ESTAT 15-3-2024



Lista de Figuras

Figura 1 - Delimitação da área do diagnóstico socioambiental, com 3.750 metros.....	12
Figura 2 - Mapa de Cobertura do solo.....	13
Figura 3 - Zoneamento urbano.....	15
Figura 4 - Climatograma de João Pessoa/PB.....	17
Figura 5 - Temperaturas máximas e mínimas no município de João Pessoa.....	17
Figura 6 - Níveis de conforto em umidade em João Pessoa/PB.....	18
Figura 7 - Bacia hidrográfica do rio Jaguaribe, João Pessoa/PB.....	19
Figura 8 - Mapa climatográfico do município de João Pessoa. Região do Rio Jaguaribe também entre a classe entre 0 - 12 %.....	21
Figura 9 - Setores censitários.....	28
Figura 10 - ZEIS João Agripino e São José.....	31
Figura 11 - Complexo Beira Rio. Fonte: https://ipsustentavel.joaopessoa.pb.gov.br/wp-content/uploads/2023/04/PEER_SANTA-CLARA.pdf	34
Figura 12 - ZEIS João Agripino e São José, projeto viário no bairro de Tambau e o projeto do Parque Linear no bairro de Cabo Branco.....	35

Lista de Quadros

Quadro 1 - Relação de espécies presentes na área estudada.....	23
Quadro 2 - Acervo da avifauna observada ao longo do rio Jaguaribe.....	24
Quadro 3 - Variáveis socioeconômicas.....	29

Lista de Tabelas

Tabela 1 - Cobertura da terra na faixa de 50 metros.....	13
Tabela 2 - Cobertura da terra na faixa de 15 metros.....	14
Tabela 3 - Dados Meteorológicos de João Pessoa / PB. Data: 1991 - 2021 Temperatura mínima (°C), Temperatura máxima (°C), Chuva (mm), Umidade, Dias chuvosos. Data: 1999 - 2019: Horas de sol.....	16

Sumário

1.	APRESENTAÇÃO.....	6
2.	DO OBJETO.....	7
3.1.	MAPEAMENTO.....	7
3.2.	MARGEM E FAIXA MARGINAL.....	8
4.	CONTEXTUALIZAÇÃO E ASPECTOS NORMATIVOS.....	8
5.	DIAGNÓSTICO SOCIOAMBIENTAL.....	11
5.1.	CARACTERÍSTICAS DA FAIXA MARGINAL DO RIO JAGUARIBE – TRECHO 3.750 METROS.....	11
5.2.	COBERTURA DO SOLO.....	12
5.3.	ZONEAMENTO URBANÍSTICO.....	14
5.4.	MEIO FÍSICO.....	15
5.4.1.	Clima e condições meteorológicas.....	15
5.4.2.	Recursos hídricos superficiais.....	18
5.4.3.	Solos.....	19
5.4.4.	Relevo e topografia.....	20
5.5.	MEIO BIÓTICO.....	22
5.5.1.	Flora.....	22
5.5.2.	Fauna.....	23
5.6.	SOCIOECONÔMICO.....	28
5.7.	COMUNIDADES/ZEIS E PROJETOS.....	30
6.	CONCLUSÃO E RECOMENDAÇÕES.....	35
7.	REFERÊNCIAS.....	38

1. APRESENTAÇÃO

O município de João Pessoa, capital e o principal centro econômico, financeiro e cultural do Estado da Paraíba, é composta, atualmente por 12 municípios com população estimada em 2018 de 1.266.463 habitantes, extensão territorial de 211 km² e uma densidade demográfica de 3.421,28 habitantes/km². Apresentou um crescimento populacional de 21% na década de 2000.

Todavia, como reflexo desse crescimento, apesar da cidade de João Pessoa apresentar índices positivos como a capital do Nordeste, menos desigual, por outro lado a realidade encontrada é de grandes bolsões de carência de infraestrutura urbana e de qualidade de moradias.

Nesse contexto que a implantação de políticas habitacionais, projetos e programas estruturadores são prioridades para a mitigação e correção para o futuro da cidade e perspectiva de melhoria da qualidade de vida de sua população, particularmente as de baixa renda, que concretamente tem dificuldades de aquisição de solo urbano, principalmente em áreas com maior infraestrutura instalada (solos mais caros), o que dificultaria a instalação dessas famílias em bairros ligados à costa, como Tambá, Manaíra, Cabo Branco ou Bessa, por exemplo.

O presente diagnóstico socioambiental do trecho do Rio Jaguaribe, com extensão de aproximadamente 3.750 metros, entre a Rodovia Governador Antônio Mariz (BR-230), na altura do Manaíra Shopping e a Avenida Ministro José Américo de Almeida - Ponte Cabo Branco, tem como objetivo levantar informações para subsidiar a gestão municipal para revisar, especificamente, a faixa de preservação permanente do Rio Jaguaribe, visando a execução e implantação de programas de regularização fundiária, implantação de projetos estruturadores e sistemas viários.

2. DO OBJETO

Elaboração do Diagnóstico Socioambiental do Rio Jaguaribe, no trecho entre a Avenida Ministro José Alberto de Almeida - Ponte Cabo Branco e a Rodovia Governador Antônio Mariz (BR-230), na altura do Manaíra Shopping, com extensão de 3.750 metros, para levantamento de informações e mapeamento de áreas na faixa marginal de 50 e 15 metros, em ambas as margens.

3. METODOLOGIA

3.1. MAPEAMENTO

Foram utilizadas fontes de informações como as bases cartográficas da cidade de João Pessoa, principalmente o Filipeia - <https://filipeia.joaopessoa.pb.gov.br>, com informações sobre os cursos d'água, logradouros, bairros, zoneamento urbano, limites, etc.

O mapeamento da cobertura do solo foi realizado por aerolevantamento e mapeamento com as seguintes etapas:

- Levantamento aéreo por VANT** – foi utilizado um VANT modelo Phantom 4 Pro com alcance de velocidade de 15 km/h e uma câmera sensor com resolução de 20 megapixel. Este equipamento dispõe de um sistema de posicionamento global interno, que permitiu o georreferenciamento de cada imagem.
- Parâmetros de voo** - A realização dos voos obedeceu às regras e normas da ANAC-AIC, com a condução feita por piloto habilitado e VANT cadastrado no sistema SARPAS e SISANT. A altura de recobrimento variou entre 30 e 120 metros, que garantiu a resolução espacial de 80 mm para cada pixel na composição dos mosaicos.
- Processamento dos dados** – Os dados fotogramétricos (resultado do imageamento por drone e georreferenciamento) passaram por processo de ortorectificação resultando na composição de ortomosaicos com precisão posicional de 5 a 10 metros. Para melhorar essa precisão posicional foram utilizados pontos de controle extraídos dos ortomosaicos das imagens

oficiais da prefeitura de João Pessoa que garantiu uma precisão final de 1 a 2 metros.

- Mapeamento** – foi realizado a partir dos ortomosaicos e classificados de acordo com o método do sistema hierárquico de três níveis. Foi adotada a escala de 1:5.000 que corresponde ao nível hierárquico de maior detalhamento.

3.2. MARGEM E FAIXA MARGINAL

Foi definido como sendo a margem direita do Rio Jaguaribe, a margem leste voltada para o oceano, enquanto a margem esquerda sendo a margem oeste.

Foram estabelecidas duas larguras de faixas marginais. Uma de 50 metros, com conceituação estabelecida na Lei nº 29/2002 e Lei nº 12.651/2012, e a segunda faixa com 15 metros, com definição dada pela Lei Federal nº 6.766/79.

4. CONTEXTUALIZAÇÃO E ASPECTOS NORMATIVOS

O município de João Pessoa, assim como a maioria das capitais e grandes cidades brasileiras, apresentou um crescimento populacional e econômico bastante expressivo entre 2000 e 2010, o que naturalmente refletiu em impactos positivos e negativos, principalmente na área social, com áreas que necessitam de projetos de construção ou melhorias de habitações e processos de regularização fundiária. Nesse período, aproximadamente 41,3% do total de habitações não respeitava os padrões de habitabilidade. Considerável número dessas habitações - tidas como subnormais - se localiza em zonas de risco potencial, como encostas, vales e beiras de rio, ou seja, espaços com pior infraestrutura ou com piores localizações que podem ser considerados como as sobras das ocupações formais da cidade.

Neste contexto, o presente diagnóstico socioambiental do trecho do Rio Jaguaribe aponta o olhar específico para a área de preservação permanente - APP, conforme estabelece o Código de Meio Ambiente, Lei nº 29/2002, art. 89, que a define com a largura de 50 metros (considerando a largura do rio com aproximadamente 15 metros).

O código florestal, Lei nº 12.651/2012, com alteração da Lei nº 14.285/2021, tratou sobre a matéria da área urbana consolidada apresentando a possibilidade para os municípios definirem suas faixas marginais urbanas distintas da estabelecida na regra do art. 4º, I.

A Prefeitura de João Pessoa está em estudo sobre a possibilidade de definição das áreas urbanas consolidadas, o uso e ocupação nesses territórios. Algumas cidades brasileiras já iniciaram esse processo de definição de novas faixas de APP em áreas urbanas, principalmente em função de projetos de regularização fundiária em áreas já consolidadas e que necessitam dessa atualização para solucionar a regularização dos lotes e propriedades.

Os limites e dimensões que estão sendo aplicados para a nova faixa de APP estão em 15 metros, por garantir a função ambiental e eliminação de riscos para a população (principalmente relacionados a inundação, deslizamentos...), ao tempo que torna mais viável a regularização fundiária.

A Lei Federal nº 14.285/2021, cuja vigência ocorreu de forma imediata e atribuiu aos Municípios e ao Distrito Federal a prerrogativa de, seguindo determinados critérios, definir faixas marginais distintas daquelas estabelecidas no inciso I do caput do artigo 4º da Lei Nacional nº 12.651/2012 (Código Florestal), estabelece requisitos, critérios e medidas que devem ser adotadas de forma integrada por cada Município para que, observadas as peculiaridades locais, passem a definir as metragens das APP urbanas consolidadas, nas margens de cursos d'água naturais, sendo um desses requisitos a realização do Diagnóstico Socioambiental.

O reassentamento de famílias nessas áreas de APP possui base legal estabelecida na Lei Federal nº 12.608/2012, que institui a Política Nacional de Proteção e Defesa Civil.

"Art. 3º-B. Verificada a existência de ocupações em áreas suscetíveis à ocorrência de deslizamentos de grande impacto, inundações bruscas ou processos geológicos ou hidrológicos correlatos, o município adotará as providências para redução do risco, dentre as quais, a execução de plano de contingência e de obras de segurança e, quando necessário, a remoção de edificações e o reassentamento dos ocupantes em local seguro."
§ 1º A efetivação da remoção somente se dará mediante a prévia observância dos seguintes procedimentos:

- I - Realização de vistoria no local e elaboração de laudo técnico que demonstre os riscos da ocupação para a integridade física dos ocupantes ou de terceiros; e
 - II - Notificação da remoção aos ocupantes acompanhada de cópia do laudo técnico e, quando for o caso, de informações sobre as alternativas oferecidas pelo poder público para assegurar seu direito à moradia.
- § 2º Na hipótese de remoção de edificações, deverão ser adotadas medidas que impeçam a reocupação da área.
- § 3º Aqueles que tiverem suas moradias removidas deverão ser abrigados, quando necessário, e cadastrados pelo Município para garantia de atendimento habitacional em caráter definitivo, de acordo com os critérios dos programas públicos de habitação de interesse social."

O Código Florestal (Lei Federal nº 12.651/2012), permite a manutenção de ocupações consolidadas em áreas de preservação permanente - APP, observadas as disposições legais, inclusive permitindo a intervenção ou supressão de manguezal para execução de obras de infraestrutura e consolidação de unidades habitacionais de interesse social onde a função ecológica dos mangues já esteja comprometida.

No seu art. 8º, §2º, também relativiza a proteção dos manguezais em confronto com o direito de moradia, quando afirma que a intervenção ou a supressão de vegetação nativa em Área de Preservação Permanente poderá ser autorizada, em locais onde a função ecológica do manguezal esteja comprometida, para a execução de obras habitacionais e de urbanização, inseridas em projetos de regularização fundiária de interesse social, em áreas urbanas consolidadas ocupadas por população de baixa renda.

A Lei Federal nº 13.465/2017 apresenta o conjunto de institutos jurídicos e de procedimentos a serem aplicados no processo de regularização fundiária urbana. Em relação à política de reassentamento de famílias, cumpre destacar o disposto em seu art. 39 que determina como condição para a aprovação da Regularização Fundiária em núcleos urbanos informais, situados em áreas de riscos geotécnicos, de inundações ou outros riscos, a realização de estudos e intervenções para eliminação dos riscos. Caso não seja possível a eliminação, correção ou administração dos riscos, a lei determina que as famílias ocupantes deverão ser realocadas (art. 39, §2º).

O atual Plano Diretor de João Pessoa, Lei nº 03/1992, no título de Desenvolvimento Social, dispõe que a política habitacional para a cidade tem como objetivo o direito social à moradia e a redução do déficit, tanto no aspecto quantitativo

quanto no aspecto qualitativo, priorizando as ações do município nas Zonas Especiais de Interesse Social - ZEIS

Ainda, define como uma das diretrizes da política habitacional de João Pessoa a elaboração de um plano de reassentamento das populações localizadas em áreas de risco, com rigorosa e imediata destinação de uso das áreas desocupadas para evitar novos assentamentos.

O Município de João Pessoa possui lei que dispõe sobre a Política Municipal de Regularização Fundiária (Lei Municipal nº 12.410/2012), que fixa normas para sua execução no município. Posteriormente, para a execução do processo de regularização fundiária propriamente dito, deverá ser observada a necessidade de ajustes em relação à lei federal de regularização fundiária, aprovada em 2017, Lei Federal nº 14.285/2021 e Lei Federal nº 12.651/2012.

5. DIAGNÓSTICO SOCIOAMBIENTAL

5.1. CARACTERÍSTICAS DA FAIXA MARGINAL DO RIO JAGUARIBE - TRECHO 3.750 METROS

A Área do diagnóstico corresponde ao trecho do Rio Jaguaribe com a extensão de aproximadamente 3.750 metros, compreendido entre o ponto na BR-230, na altura do Manafra Shopping, até a Avenida Ministro José Américo de Almeida, na Ponte Cabo Branco (Figura 1).

Esse trecho apresenta duas condições de uso e ocupação bastante peculiar. O trecho da BR-230 até a Avenida Senador Ruy Carneiro, aqui denominado subtrecho 1, possui aproximadamente 2.540 metros, e apresenta uma característica de uso e ocupação predominantemente urbana, com uso habitacional.

O trecho entre a Avenida Senador Ruy Carneiro e a Avenida Ministro José Américo de Almeida, na Ponte Cabo Branco, aqui denominado subtrecho 2, com a extensão aproximada de 1.210 metros, possui a predominância de cobertura vegetal, mas apresentando-se descaracterizada da vegetação original, por estar inserida no perímetro urbano, marcada pela ação antrópica.



Figura 1 - Delimitação da área do diagnóstico socioambiental, com 3.750 metros.

Fonte: Kiviks, 2023

5.2. COBERTURA DO SOLO

A cobertura do solo foi avaliada mediante a definição de 7 classes de cobertura do solo, quais sejam: edificação urbana, florestal densa, florestal inicial, vegetação herbácea, mangue, malha viária e solo exposto. A cobertura vegetal compreende as classes: florestal densa, florestal inicial, vegetação herbácea e mangue.

As características de área urbanizada e antropizada, consistente nas edificações urbanas, malha viária e solo exposto, mostram-se mais presentes no subtrecho 1 (BR-230 até a Avenida Senador Ruy Carneiro), enquanto a cobertura vegetal é mais predominante no subtrecho 2 (Avenida Senador Ruy Carneiro e a Avenida Ministro José Américo de Almeida, na Ponte Cabo Branco).



Figura 2 – Mapa de Cobertura do solo
Fonte: Kiwiks, 2023

Verifica-se que existe um padrão diferenciado na cobertura do solo quando se avalia a faixa de 50 metros e de 15 metros. Na faixa de 50 metros, as edificações urbanas ocupam 49%, enquanto na faixa de 15 metros apenas 26%. A classe de cobertura de mangue é exclusiva na margem esquerda, representando 8,94 % da área total.

Tabela 1 – Cobertura da terra na faixa de 50 metros

Cobertura da terra na faixa marginal de 50 metros - Rio Jaguaribe				
Classe de Cobertura da Terra	Margem esquerda - área m²	Margem direita - área m²	Total	%
Edificação urbana	90.475,40	94.855,61	185.331,01	49,75373
Porte arbóreo - denso	24.911,56	30.952,48	55.864,04	14,99719
Porte arbóreo - Inicial	84.78,07	38.110,78	46.588,86	12,50719
Herbácea	8.742,72	11.230,71	19.973,43	5,362042
Mangue	22.238,33	0,00	22.238,33	5,970074
Malha viária	9.779,75	11.697,13	21.476,89	5,76558
Solo exposto	18.245,30	2.778,84	21.024,14	5,64415
Total	174.393,06	189.625,55	372.496,68	100

Fonte: Kiwiks, 2023.

Tabela 2 – Cobertura da terra na faixa de 15 metros.

Cobertura da terra faixa marginal 15 metros - Rio Jaguaribe				
Classe de Cobertura da Terra	Margem esquerda - Área m²	Margem direita - Área m²	Total	%
Edificação urbana	11805,43	17449,89	29255,32	26,07129877
Floresta densa	8938,14	9309,90	18248,04	16,26200335
Floresta Inicial	3918,97	21844,82	25763,78	22,95976648
Herbácea	8271,49	6178,34	14449,83	12,87717229
Mangue	2214,08	0,00	2214,08	1,973106743
Malha viária	3480,72	1522,94	5003,66	4,459086379
Solo exposto	16942,87	335,16	17278,03	15,397566
Total	55571,70	56641,04	112212,74	100

Fonte: Kiwiks, 2023.

5.3. ZONEAMENTO URBANÍSTICO

O Plano Diretor de João Pessoa, Lei Complementar nº 03/1992, é a norma que disciplina o ordenamento urbano da cidade, com a definição do zoneamento urbano, setorização, diretrizes sociais, urbanísticas, ambientais, regras de uso e ocupação, definição de parâmetros urbanísticos, enfim, estabelece todo o ordenamento e organização urbana da cidade para que o crescimento e desenvolvimento ocorra de forma sustentável, inclusiva e que atenda a todos a população considerando as diferentes situações, classes, gênero e preferências

Em seu art. 2º estabelece que seu objetivo é assegurar o desenvolvimento integrado das funções sociais da cidade, garantir o uso socialmente justo da propriedade e do solo urbano e preservar, em todo o seu território, os bens culturais, o meio ambiente e promover o bem-estar da população.

Assim, de acordo com o zoneamento estabelecido, o trecho do rio Jaguaribe em análise, as faixas de 50 e 15 metros, foi classificado como ZEP 2 por possuir potencialmente os atributos ambientais, paisagístico, histórico e cultural que se destacam.

Das Zonas Especiais de Preservação

Art. 39 Zonas Especiais de Preservação são porções do território, localizadas tanto na Área Urbana como na Área Rural, nas quais o interesse social de preservação, manutenção e recuperação de características paisagísticas, ambientais, históricas e culturais, impõe normas específicas e diferenciadas para o uso e ocupação do solo, abrangendo:

I - O Centro Histórico da cidade;

II - a Falésia do Cabo Branco, o Parque Arruda Câmara, a Mata do Buraquinho, a Mata do Cabo Branco, os manguezais, os mananciais de

Marés-Munhã e de Gramame, o Altiplano do Cabo Branco, a Ponta e a Praia do Seixas e o Sítio da Gráfica;
III - os vales dos rios Jaguaribe, Cria, do Cabelo, Água Fria, Gramame, Sanhau, Paraíba, Tambiá, Mandacaru, Timbó, Paratibe, Aratu e Mussurê, na forma da Lei Federal e Estadual;
(...)



Figura 3 - Zoneamento urbano
Fonte: Adaptado por Kiwiks, 2023

5.4. MEIO FÍSICO

5.4.1. Clima e condições meteorológicas

A área de estudo está situada na região da zona da mata que é caracterizada por grandes precipitações. O clima do município de João Pessoa de acordo com Köppen-Geiger é classificado como Aw segundo a Köppen e Geiger. A temperatura média anual em João Pessoa é 25,8 °C. Toda a região do município é caracterizada por índices pluviométricos com médias totais anuais acima de 1019 mm/ano. Devido à proximidade do oceano e à latitude, as temperaturas médias anuais em João Pessoa nunca são excessivas. A média das mínimas é de 23°C, enquanto a média das máximas é de 28°C.

A amplitude térmica anual é de aproximadamente 5°C, o que é característico dos climas tropicais oceânicos.

As temperaturas mais altas ocorrem na primavera, período em que também ocorrem as maiores deficiências pluviométricas e uma evapotranspiração acentuada. Essa estação é ecologicamente seca. Durante os meses de inverno (junho-julho-agosto), a redução nas temperaturas é pouco significativa, com uma média de 23°C. Raramente as temperaturas diurnas ultrapassam os 33°C. A insolação, como mencionado, é de cerca de 2.995 horas, sendo que na primavera os valores são provavelmente ainda mais altos.

Se compararmos o mês mais seco com o mês mais chuvoso verificamos que existe uma diferença de precipitação de 101 mm. As temperaturas médias variam 2,5 °C ao longo do ano. O valor mais baixo para a umidade relativa é medido em novembro (72,59 %). A umidade relativa do ar é mais alta em junho (83,29 %). Em média, os dias menos chuvosos são medidos em novembro (12,47 dias). O mês com os dias mais chuvosos é julho (23,50 dias).

Tabela 3 - Dados Meteorológicos de João Pessoa / PB Data: 1991 - 2021 Temperatura mínima (°C), Temperatura máxima (°C), Chuva (mm), Umidade, Dias chuvosos. Data: 1999 - 2019; Horas de sol.

	Janeiro	Fevereiro	Março	Abril	Maio	Junho	Julho	Agosto	Setem- bro	Outubro	Novem- bro	Dezem- bro
Temperatura média (°C)	26,1	26,7	26,9	26,4	25,9	24,9	24,3	24,3	24,1	23,8	23,4	23,1
Temperatura mínima (°C)	24,8	24,6	24,6	24,6	24,1	23,2	22,6	22,4	22,1	21,7	21,3	20,6
Temperatura máxima (°C)	26,9	26,9	26,9	26,9	26,2	25,1	24,5	24,7	24,9	24,9	24,9	24,9
Chuva (mm)	71	82	107	135	152	156	127	65	47	37	24	46
Umidade(%)	76%	76%	75%	81%	82%	82%	82%	79%	76%	74%	73%	74%
Dias chuvosos (d)	15	15	17	17	15	17	16	15	12	11	9	12
Horas de sol (h)	7,6	7,5	7,4	7,1	6,7	6,5	6,4	6,6	6,7	6,9	7,4	7,7

Fonte: climate-data.org, 2023.

Na Figura 4 são apresentados os histogramas dos dados das precipitações médias dos postos. Percebe-se que os valores pluviométricos mais elevados estão concentrados entre os meses de março e julho. O período seco ocorre entre os meses de setembro e dezembro.

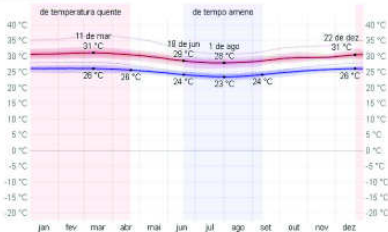


Figura 4 - Climograma de João Pessoa/PB
Fonte: climate-data.org, 2023.

De acordo com o Climate.org, o município de João Pessoa, apresenta temperaturas médias mensais que oscilam entre 24 °C e 29°C, sendo os meses mais quentes entre setembro e dezembro, e os mais frios entre junho e julho.

Para a região como um todo, as maiores temperaturas médias mensais ocorrem em janeiro e as menores em julho. As temperaturas mínimas médias mensais tendem a ocorrer em julho e as temperaturas máximas médias mensais em dezembro (

Figura 5)



Temperaturas máximas e mínimas no município de João Pessoa.
Fonte: Weather Spark

Os níveis de conforto em umidade relativa do ar é um parâmetro que varia diretamente com a precipitação pluviométrica e inversamente com a temperatura do ar. Para a umidade relativa do ar na região de estudo, os dados apontam para valor médio anual da ordem de 80%. Os meses de menores valores de umidade relativa média são setembro, outubro, novembro e dezembro, sendo os meses mais opressivos em termos de umidade, com altas temperaturas e umidades mais amenas (Figura 6).

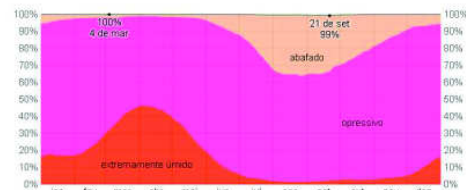


Figura 6 - Níveis de conforto em umidade em João Pessoa/PB.
Fonte: WeatherSpark.com

5.4.2. Recursos hídricos superficiais

O Rio Jaguaribe é o maior rio urbano da cidade e desempenha um papel significativo na paisagem e na drenagem da cidade. No entanto, o rio Jaguaribe enfrenta desafios ambientais significativos, especialmente em relação à poluição causada pelo lançamento de esgotos e resíduos. Infelizmente, a qualidade da água do rio é comprometida devido a essas descargas inadequadas. Esforços estão sendo feitos para revitalizar o rio, buscando soluções para reduzir a poluição e melhorar a saúde do ecossistema aquático (Figura 7).

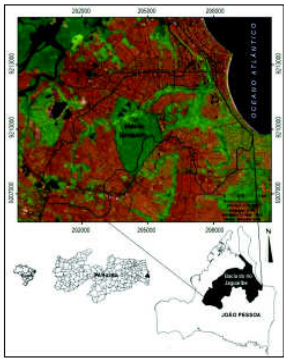


Figura 7 - Bacia hidrográfica do rio Jaguaribe, João Pessoa/PB.
Fonte: Dos Santos, 2016.

O Jaguaribe nasce na região do bairro de Esplanada e das Três Lagoas (cruzamento das BRs 101 e 230) e percorre os bairros de Cruz das Armas, Varjão, Jaguaribe, Castelo Branco, Manaíra, Tambaú, Bessa e Miramar até desaguar no rio Paraíba. Em virtude de estar quase que totalmente dentro de perímetro urbano, o rio sofre muito com a descarga de poluentes e lixo, embora obras de revitalização de seu curso estejam em andamento. A carga de esgotos clandestinos, contudo, continua a ser jogada em seu leito tanto nos bairros populares como nos mais nobres.

5.4.3. Solos

A região de João Pessoa, localizada no estado da Paraíba, apresenta uma variedade de solos que contribuem para a configuração da paisagem e a dinâmica dos processos naturais. Na área em análise o destaque está nas classes de Soló de Mangue (SM) e podzólico Vermelho Amarelo (PV).

Solos Indiscriminados de Mangue (SM): Os solos encontrados em áreas próximas aos manguezais são denominados Solos Indiscriminados de Mangue. Estes solos são formados por sedimentos orgânicos e minerais depositados pela ação das marés. Possuem uma alta fertilidade natural devido à presença de matéria orgânica e são utilizados para o cultivo de algumas culturas agrícolas adaptadas a ambientes de mangue.

Podzólico Vermelho-Amarelo (PV): Esta classe de solo é predominante na região de João Pessoa. Apresenta uma camada superficial rica em matéria orgânica e minerais intemperizados, conferindo uma coloração vermelho-amarelada. Possui uma boa capacidade de drenagem e é utilizado para atividades agrícolas, principalmente para o cultivo de culturas como cana-de-açúcar, milho e feijão.

5.4.4. Relevo e topografia

O município de João Pessoa está localizado em uma região costeira, fazendo parte da Planície Costeira do Nordeste. O relevo é predominantemente plano, com pequenas elevações e colinas de baixa altitude. Essas colinas são formadas por depósitos sedimentares, como areia, argila e cascalho, resultantes da interação entre os rios e o mar ao longo do tempo. (Figura 5).

O mapa clinográfico mostra a inclinação do terreno, indo de 0 – 12%, em declividades baixas, a >100% em vertentes mais íngremes de terrenos movimentados. Esta carta é uma grande ferramenta para os estudos de caráter ambiental, tendo em vista que com a identificação das áreas de maior declividade pode-se inferir quais dessas áreas poderão oferecer maiores riscos geológico-geomorfológicos para o meio e/ou para o homem, tais como movimentos de massa em vertentes ocupadas (Figura 8)

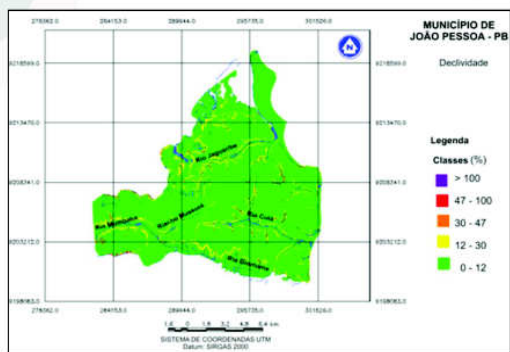


Figura 8 - Mapa climográfico do município de João Pessoa, Região do Rio Jaguaribe também centre a classe entre 0 – 12 %.

Fonte: BARBOSA, T. S et. al. (2016)

Assinado por: CARLOS EDUARDO DE MENDONÇA, ARTHUR MARCEL BRASILEIRO GUIMARÃES, ADRIANO DOS SANTOS MEDEIROS, MARTINO QUEIROGA SALGADO SORRINHO, ELIANA DA SILVA MELO
Para verificar a validade das assinaturas, acesse: https://joaopessoa.1doc.com.br/verificacao/6947-E841-A1F5-73DE e informe o código 6947-E841-A1F5-73DE

5.5. MEIO BIÓTICO

5.5.1. Flora

O município de João Pessoa encontra-se dentro do domínio da Mata Atlântica, mais especificamente formada por um tipo florestal denominado Mata dos Tabuleiros. A área é caracterizada pelo contato entre a Vegetação de Restinga e a Floresta Estacional Semidecidual, contudo, predominam componentes do segundo tipo (BARBOSA, 2008).

A vegetação foi caracterizada a partir de observações *in loco*, apresentando-se descaracterizada da vegetação original, e por se encontrar inserida no perímetro urbano sendo marcada pela ação antrópica como o corte de espécies nativas para obtenção de lenha e uso doméstico, assim como entulho de resíduo sólido.

Na área de estudo, encontrou-se 22 (vinte e duas) espécies florestais (Tabela 1), sendo 14 (nove) nativas e 11 (onze) exóticas. Entre as espécies nativas podemos destacar: *Cratogeomys* L. (Trapizá), *Schinus terebinthifolius* Raddi (Aroeira-da-praia) e *Psidium* sp. (Araçá-pedra). Quanto as espécies exóticas, podemos destacar: *Terminalia catappa* L. (Castanha-de-Índia), *Syzygium cumini* (L.) Skeels (Azeitona preta) e *Pithecellobium dulce* (Roxb.) Benth (Mata-fome).

Dependendo da pressão humana e dos fatores edáficos (pressão do solo e do relevo sob a vegetação), tem-se uma variação na composição das espécies, bem como no porte dos indivíduos presentes, entre 4,0 a 15,0 metros de altura para a vegetação nativa, podendo alcançar até 18,0 metros para os indivíduos arbóreos exóticos encontrados de forma isolada na área.

No total, foram amostrados 855 indivíduos, 12 famílias botânicas, 23 gêneros e 22 espécies, sendo um espécime inventariado como indeterminada e dois a nível apenas de gênero. Relacionada à origem das espécies, percebe-se que a maioria delas (11 sp.) são exóticas que corresponde a 44% e 14 espécies são nativas (56%) confirmando o processo de antropização que a área vem sofrendo, devido ao grande número de indivíduos a cada grupo de origem.

As 05 espécies com maior número de indivíduos verificados foram *Terminalia catappa*, *Pithecellobium dulce*, *Leucaena leucocephala*, *Syzygium cumini* e a *Trema micrantha* e *Cecropia pachystachya*, sendo as citadas em sua maioria exóticas.

Assinado por: CARLOS EDUARDO DE MENDONÇA, ARTHUR MARCEL BRASILEIRO GUIMARÃES, ADRIANO DOS SANTOS MEDEIROS, MARTINO QUEIROGA SALGADO SORRINHO, ELIANA DA SILVA MELO
Para verificar a validade das assinaturas, acesse: https://joaopessoa.1doc.com.br/verificacao/6947-E841-A1F5-73DE e informe o código 6947-E841-A1F5-73DE

Quadro 1 - Relação de espécies presentes na área estudada.

FAMILIA	NOME CIENTIFICO	NOME COMUM	ORIGEM
Anacardiaceae	Anacardium occidentale L.	Cajuero	Nativa
Anacardiaceae	Schinus terebinthifolius Raddi	Aroeira da praia	Nativa
Anacardiaceae	Spondia mombin L.	Cajazeiro	Nativa
Anacardiaceae	Tapira guianensis Aubl.	Cajuputi	Nativa
Arecaceae	Cocos nucifera L.	Coqueiro	Exótica
Compositae	Trema micrantha L.	Prinquimã	Nativa
Capparidaceae	Cratogeomys L.	Trapizá	Nativa
Combretaceae	Terminalia catappa L.	Castanha-de-Índia	Exótica
Euphorbiaceae	Sapum glandulatum (Vell.) Pax	Burra leiteira	Nativa
Fabaceae	Leucaena leucocephala (Lam.)	Leucena	Exótica
Fabaceae	Machaerium nitens (Vell.)	Espinheiro	Nativa
Fabaceae	Pithecellobium dulce (Roxb.) Benth	Mata fome	Exótica
Fabaceae	Senna siamea (Lam.) H.S. Irwin & Barneby	Cássia de siso	Exótica
Fabaceae	Styphnolobium guianense (Willd.) Hausskn.	Calubi	Nativa
Fabaceae	Tamarindus indica L.	Tamarineira	Exótica
Lauraceae	Persea americana Mill.	Abacateiro	Exótica
Malvaceae	Hibiscus ilicinus L.	Algodão da praia	Exótica
Muntingiaceae	Muntingia calabura L.	Calabura	Exótica
Myrtaceae	Campomenesia sp.	Guabiruba	Nativa
Myrtaceae	Cupressus revoluta Radlk.	Cebastão vermelho	Nativa
Myrtaceae	Indeterminada	Indeterminada	Nativa
Myrtaceae	Psidium guajava L.	Goiabeira	Exótica
Myrtaceae	Psidium sp.	Araçá	Nativa
Myrtaceae	Syzygium cumini (L.) Skeels	Azeitona preta	Exótica
Urticaceae	Cecropia pachystachya Tricul	Embauba	Nativa

Fonte: Kiwiks, 2023

5.5.2. Fauna

Assim como no diagnóstico da flora, a fauna também tem mais representatividade e ocorrência no trecho do rio dos bairros de Tambau e O diagnóstico de fauna da área foi realizado por meio de coletas de dados primários e dados secundários tem como objetivo do estudo listar as espécies dos grupos de herpetofauna, avifauna e mastofauna alada e terrestre.

O grau de ameaça das espécies foi avaliado com base na presença nas Listas de Espécies Ameaçadas de Extinção do Ministério do Meio Ambiente (MMA, 2022) e da União Internacional para a Conservação da Natureza (IUCN, 2022) e os Apêndices I, II e III da CITES (2022).

Por meio de levantamento primário foram registradas 15 espécies na área do futuro empreendimento, distribuídas nos principais grupos: 4 espécies de mamíferos (3 espécies nativas e 1 exótica); 2 répteis; 1 anfíbio e 8 espécies de aves (Figura 36). No geral, a fauna local registrada pertenceu basicamente a espécies consideradas comuns ao bioma Mata Atlântica e de ambientes urbanos, sendo todas elas generalistas de habitats e de ampla distribuição geográfica, como segue nas apresentações de resultados por grupos a seguir.

5.5.2.1. Avifauna

As aves são um grupo essencial na garantia de diversos serviços ecossistêmicos. São responsáveis, por exemplo, por serviços de regulação, como a dispersão de sementes, polinização e controle de pragas. Além disso, o grupo presta serviço de suporte por meio da deposição de nutrientes. O grupo também é considerado engenheiro ecossistêmico (SEKERCIOGLU, 2006). As aves ainda são indicadoras da qualidade ambiental e diversidade local, devido à sensibilidade a variações e estímulos ambientais (MACHADO et al., 2006).

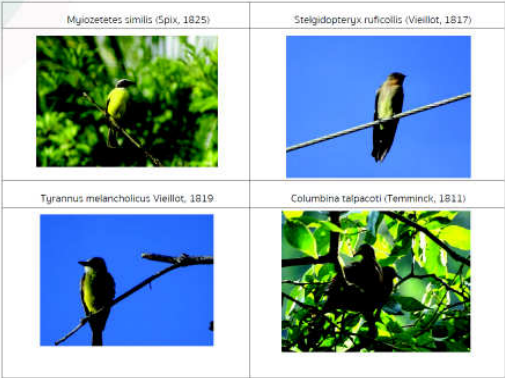
O trecho da presente avaliação do Rio Jaguaribe encontra inserida em uma matriz urbana que apresenta alto grau de perturbação e alterações do uso do solo que são agentes causadores da homogeneização biótica. Este conceito é caracterizado por ambientes que apresentam baixa riqueza de espécies e alta abundância de espécies generalistas, como é observado na área do empreendimento.

No Quadro 2 abaixo são apresentadas as imagens de acervo, representando as espécies de aves levantadas durante a elaboração do diagnóstico.

Quadro 2 – Acervo da avifauna observada ao longo do rio Jaguaribe.

Rupornis magnirostris (Gmelin, 1788)	Butorides striata (Linnaeus, 1758)

Assinado por: CARLOS EDUARDO DE MENDONÇA, ARTHUR MARCEL BRASILEIRO GUIMARÃES, ADRIANO DOS SANTOS MEDEIROS, MARTINO QUEIROGA SALGADO SORRINHO, ELIANA DA SILVA MELO
Para verificar a validade das assinaturas, acesse: https://joaopessoa.1doc.com.br/verificacao/6947-E841-A1F5-73DE e informe o código 6947-E841-A1F5-73DE



Fonte: Kiwiks, 2023

5.5.2.2. Mastofauna

A baixa riqueza de espécies registradas é decorrente dos mamíferos possuírem uma grande exigência ambiental e possuírem hábitos crípticos, no qual, muitos possuem hábitos noturnos, vivem em áreas muito extensas e em habitats de difícil acesso (ex. tocas).

Ademais, o trecho em análise do Rio Jaguaribe apresenta escassez de recursos alimentares, sobretudo aqueles necessários para a subsistência de predadores, bem como falta de locais de abrigo, ficando registrada a presença de três espécies nativas: *Callithrix jacchus* (Sagui-de-tufos-brancos), *Phyllostomus sp* (morcego-frugívoro), *Didelphis albiventris* (timbu).

A proximidade do rio Jaguaribe e de áreas urbanas favorece a presença de animais onívoros, que se alimentam tanto de plantas quanto de outros animais, como é o caso do Sagui-de-tufo-branco e do Timbu. Essas espécies são capazes de adaptar-se a diversos tipos de habitats e são frequentemente encontradas em áreas próximas a aglomerações humanas e zonas agrícolas (REIS et al., 2006).

O *Callithrix jacchus*, também conhecido como Sagui-de-tufos-brancos, é um primata de pequeno porte nativo do Nordeste do Brasil, que atualmente encontra-se também nas regiões Sudeste e Norte, onde foi introduzido. Esta espécie tem uma ampla adaptação a diferentes tipos de habitats e é encontrada em toda a região, inclusive em áreas residenciais. Este animal também é frequentemente encontrado em parques e remanescentes florestais inseridos nas zonas urbanas devido a sua fácil adaptação ao convívio com o ser humano. O Sagui-de-tufos-brancos enfrenta ameaças de caça e comércio ilegal, pois é frequentemente utilizado como animal de estimação pela população local.

Phyllostomus, morcego-frugívoro, é um gênero comumente encontrado em áreas urbanas. Seus representantes se alimentam de frutos, e eventualmente de pequenos artrópodes. São potenciais transmissores de zoonoses, possuem hábitos generalistas e estão bem adaptados a ambientes antropizados, atuando como dispersores de sementes.

Didelphis albiventris, timbu, ocorre em florestas e áreas arbustivas, mas também tem se adaptado a áreas rurais e urbanas. É uma espécie onívora que, em áreas urbanas, utiliza forros de casas como abrigo. É muito comum em áreas submetidas a forte ação antrópica.

5.5.2.3. Herpetofauna

Foram registradas duas espécies de lagartos e uma espécie de anfíbio na área do diagnóstico, a *Tropidurus hispidus*, popularmente conhecido como Lagartixa-preta, Teiú (*Tupinambis teguixin*), um réptil predador. Nenhuma das espécies registradas consta nas Listas de Espécies Ameaçadas de Extinção do Ministério do Meio Ambiente (MMA, 2022) e da União Internacional para a Conservação da Natureza (IUCN, 2019).

5.5.2.4. Ecossistema aquático

A área objeto do diagnóstico está nas margens do Rio Jaguaribe, que está totalmente inserido em área urbana e recebe uma alta descarga de poluentes, como resíduos orgânicos e resíduos sólidos. O corpo hídrico recebe esgotamentos clandestinos ao longo de todo o seu curso, resultando em fortes impactos negativos sobre a diversidade

e fauna nativa, favorecendo espécies invasoras e generalistas. As principais espécies encontradas na região são pertencentes à família Characidae, como a traíra (*Hoplias malabaricus*), e à família Loricariidae, como o lambari (*Astyanax* spp.).

Além disso, no Rio Jaguaribe há registro de introdução de espécies exóticas como o *Xiphophorus maculatus* que é conhecido popularmente como “Molinésia”. O *Xiphophorus maculatus* é originalmente da América Central, ocorrendo do México até a Guatemala, porém no Brasil é frequentemente criado e comercializado para fins ornamentais. A espécie chegou ao Rio Jaguaribe por meio de atividades de aquarismo de forma indevida.

5.6. SOCIOECONÔMICO

A região dos setores às margens do Rio Jaguaribe, composta pelos bairros Manaíra, Tambá, Cabo Branco, Brisamar/João Agripino/São José, apresentam uma diversidade socioeconômica marcante, revelando diferenças significativas entre os setores censitários analisados. Por meio da análise das variáveis socioeconômicas em cada setor, como densidade populacional, média de moradores por domicílio e média de renda nominal mensal, é possível obter insights sobre as características demográficas e socioeconômicas da região como um todo.



Figura 9 – Setores censitários.
Fonte: Kiwiks, 2023

Densidade Populacional: A região dos setores às margens do Rio Jaguaribe possui uma densidade populacional total de 8.735 habitantes, distribuídos em diferentes setores censitários. Os setores apresentam variações na densidade populacional, indicando diferenças na ocupação e distribuição da população nos bairros da região.

Média de Moradores por Domicílio: A média de moradores por domicílio na região varia de 2,08 a 3,74. Essa variação reflete diferenças nos padrões de moradia e

composição familiar nos setores censitários. Essa informação é relevante para entender a distribuição da população e as características dos arranjos familiares na região. No Bairro de Cabo Branco ID-35834 com 2,76 moradores por domicílio e Manaíra ID-35695 com 3,27 moradores por domicílio.

Quadro 3 – Variáveis socioeconômicas

D	Nome do Setor	Densidade Populacional	Moradores em Domicílios		Variação de Moradores em Domicílios	Rendimento Nominal Médio Mensal das Pessoas Responsáveis	Rendimento Nominal Médio Mensal das Pessoas de 10 Anos	Variação de Rendimento Nominal Médio Mensal das Pessoas de 10 Anos	
			Particulares Permanentes	Particulares Temporários					
35695	Manaíra	URBANO	349	1111	3,27	2456,48	2991,56	7666166,46	
35704	Itamaracá	URBANO	323	982	3,04	2,58	418,63	441,89	23891,62
35762	Tambáú	URBANO	312	983	3,15	2,95	2728,21	2643,33	1441386,28
35834	Cabo Branco	URBANO	85	235	2,76	1,92	1251,54	1297,30	238557,73
35854	Maricá	URBANO	351	1119	3,19	2,48	387,79	467,68	61491,9

Fonte: IBGE, 2023.

Renda Nominal Média Mensal: A renda nominal média mensal das pessoas responsáveis pelos domicílios também varia entre os setores censitários da região. Os valores médios de renda podem indicar diferenças no nível socioeconômico e na distribuição de recursos financeiros. Por exemplo, no bairro de Tambáú - ID 35762, apresenta uma renda nominal média mensal de R\$ 2.728,21, indicando uma condição socioeconômica relativamente mais alta nessa área. Já no bairro de João Agripino (ID 35704), possui uma renda média de R\$ 418,63, sinalizando uma condição socioeconômica mais baixa. Essa disparidade na renda entre os setores pode influenciar o acesso a bens e serviços, bem como o padrão de vida das famílias residentes.

Essa análise socioeconômica revela as disparidades existentes na região dos setores às margens do Rio Jaguaribe. As diferenças na densidade populacional, na média de moradores por domicílio e na renda nominal mensal entre os setores evidenciam a heterogeneidade socioeconômica presente nos bairros Manaíra, Tambáú, Cabo Branco, São José e João Agripino. Essas informações são fundamentais para embasar a formulação de políticas públicas e estratégias de desenvolvimento socioeconômico que busquem reduzir as desigualdades e promover a melhoria da qualidade de vida de toda a população da região.

Através do estímulo à criação de novos empreendimentos, como indústrias, comércio e serviços, na região dos setores às margens do Rio Jaguaribe, é possível impulsionar a economia local e gerar empregos, contribuindo para o aumento da renda da população. O desenvolvimento de setores produtivos diversificados promove a geração de oportunidades de trabalho e estimula o empreendedorismo local.

A atração de investimentos em diferentes setores da economia, como tecnologia, turismo, agricultura e manufatura, por exemplo, gera novas fontes de emprego e estimula a formação de cadeias produtivas. Além disso, incentivar o desenvolvimento de pequenos negócios locais, como cooperativas e microempresas, fortalece a economia regional e fomenta a participação ativa da comunidade no processo de desenvolvimento.

Esses empreendimentos não apenas geram empregos diretos, mas também estimulam a demanda por serviços e produtos locais, impulsionando toda a cadeia produtiva da região. Com o crescimento econômico, a renda local aumenta, possibilitando melhores condições de vida para a população, acesso a bens e serviços básicos e o fortalecimento do mercado interno.

O apoio aos empreendimentos locais deve estar aliado a programas de capacitação e formação profissional, visando preparar a mão de obra local para as demandas do mercado de trabalho. Investimentos em educação, treinamento e desenvolvimento de habilidades específicas contribuem para a qualificação dos trabalhadores e sua inserção em setores produtivos estratégicos, impulsionando ainda mais o desenvolvimento socioeconômico da região.

Dessa forma, a combinação de projetos ambientais, melhorias nas vias e o estímulo aos empreendimentos locais desempenham um papel fundamental no desenvolvimento sustentável da região dos setores às margens do Rio Jaguaribe, promovendo o crescimento econômico, a geração de empregos e o aumento da renda local.

5.7.COMUNIDADES/ZEIS E PROJETOS

a) Comunidade ZEIS

Um aspecto de grande relevância diz respeito ao setor de comunidade/ZEIS existente no subtrecho 1 do Rio Jaguaribe, da BR-230 até a Avenida Senador Ruy

Carneiro, com aproximadamente 2.540 metros. Trata-se da Zona de Interesse Social- ZEIS de João Agripino e São José.

O Plano Diretor, Lei nº 03/1992, em ser art. 59 faz destaque sobre os aspectos do déficit habitacional quantitativo e qualitativo, que foi apontado na avaliação socioeconômica, em particular no trecho as margens do Rio Jaguaribe nos bairros de Manaíra, Tambáú, João Agripino e São José, demonstrando que de fato esses territórios necessitam da implantação da Política habitacional e demais instrumentos econômicos e de planejamento para minimizar as diferenças estruturais e de qualidade de vida da população que pode ser plenamente incorporada num modelo de desenvolvimento inclusivo e sustentável.

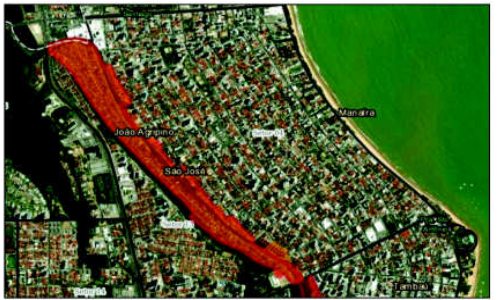


Figura 10 – ZEIS João Agripino e São José.

Plano Diretor, Lei nº 03/1992

Art. 59 - A política habitacional para a cidade tem como objetivos o direito social a moradia e a redução do déficit, tanto no aspecto quantitativo quanto no aspecto qualitativo, priorizando as ações do município nas Macrozonas Adensáveis não prioritária, Zonas Especiais de Interesse Social - ZEIS, e, excepcionalmente, face relevante interesse coletivo, nas zonas não adensáveis.

Parágrafo único. Fica caracterizado como déficit habitacional quantitativo como aquele decorrente da inaccessibilidade para e simples do indivíduo ou das famílias residentes a casa própria e que esteja morando em imóvel alugado ou qualquer forma de locação precária, além daquelas famílias conviventes num único

domicílio. Déficit qualitativo é formado por aquelas habitações cujas famílias afetem a posse, mesmo que a título precário, da propriedade e o direito de construir e que não dispõem das mínimas condições de habitabilidade e carecem de: reforma, ampliação e outras melhorias habitacionais, além de não terem acessos aos serviços de infraestrutura básica e aos equipamentos sociais.

A estruturação e implantação da política habitacional e de planejamento socioeconômico deve passar pelo procedimento de regularização fundiária, que para as áreas urbanas consolidadas teve uma atualização normativa importante com a publicação e vigência da Lei Federal nº 14.285/2021 que atribuiu aos Municípios e ao Distrito Federal a prerrogativa de, seguindo determinados critérios, definir faixas marginais distintas daquelas estabelecidas no inciso I do caput do artigo 4º da Lei Nacional no 12.651/2012 (Código Florestal).

Como visto no item 5.2 sobre a cobertura do solo, considerando a faixa de preservação de 50 metros a ocorrência de edificações fica na ordem de 49,75% do terreno, e quando se considera 15 metros de faixa de preservação esse percentual reduz para 26%, ou seja, cai pela metade. Isso ajuda bastante no estabelecimento de uma política habitacional e de regularização fundiária, por causar menor impacto social e econômico decorrentes de desapropriações, indenizações e relocação de famílias.

a) Projeto viário

Está em estudo e desenvolvimento o projeto viário para o trecho na margem do Rio Jaguaribe entre a Avenida Senador Ruy Carneiro e a Avenida Presidente Epitácio Pessoa, com uma extensão de aproximadamente 625 metros, com previsão de ser implantada ainda no ano de 2023.

O sistema viário nesse trecho faz parte de um projeto mais amplo de mobilidade e rotas alternativas para melhorar o fluxo viário local e regional. O Sistema viário está projetado será implantado dentro da faixa de 50 metros e contará com ciclovia, iluminação e calçada para pedestre, seguindo o conceito de via parque.

b) Programa João Pessoa Sustentável

A Prefeitura Municipal de João Pessoa está desenvolvendo e implantando o Programa de Desenvolvimento Urbano Integrado e Sustentável do Município de João Pessoa (Programa João Pessoa Sustentável), executado pela (PB) com financiamento do Banco Interamericano de Desenvolvimento (BID). O Programa está estruturado em dois componentes: um de investimentos e outro de gestão administrativa.

O Componente I – Desenvolvimento Urbano Sustentável e Gestão da Cidade apoia a diminuição das desigualdades urbanas e o planejamento para a modernização da gestão urbana, dentre outras ações está a elaboração dos projetos básicos/executivos de urbanização integrada de áreas subnormais nos complexos Beira Rio, que tem relação direta com a área do presente diagnóstico socioambiental, por ser contígua e inserida na área de influência, podendo inclusive ter intervenções decorrentes da projeto do Complexo Beira Rio (CBR) que é composto por oito (08) comunidades: Brasília de Palha, Cafofo/Liberdade, Miramar, Tito Silva, Padre Hildon Bandeira, Vila Tambauzinho, Santa Clara e São Rafael.

O objetivo do Programa é proporcionar o desenvolvimento urbano e sustentável no Município de João Pessoa a partir do fortalecimento do planejamento, da gestão urbana e pública municipal, bem como por meio de intervenções integrais e/ou demonstrativas para famílias vulneráveis.

Neste conjunto há centenas de famílias morando em situação de risco, irregularidade fundiária, com a existência de invasões de propriedades privadas e públicas (terras de domínio da União e do Município) e outras provenientes de doação, e ocupação de áreas sujeitas à inundação, inseridas em Áreas de Preservação Permanente – APP e Zona Especial de Preservação dos Grandes Verdes – ZEP2.



Figura 11 – Complexo Beira Rio. Fonte: https://psustentavel.joaopessoa.pb.gov.br/wp-content/uploads/2023/04/PEER_SANTA-CLARA.pdf

Os assentamentos precários inseridos no Programa em questão, além de apresentarem irregularidades de ordem urbanística, de infraestrutura e de legalização de posse da terra, estão inseridos em áreas com riscos de deslizamento, erosão e inundação, principalmente do Rio Jaguaribe, que se encontra parcialmente assoreado.

A situação e características de vulnerabilidade e soluções identificadas no Programa podem ser refletidas ao trecho do Rio Jaguaribe em análise neste diagnóstico, sob os diversos aspectos, especialmente os que estão relacionados as questões socioeconômicas, de vulnerabilidade e riscos.

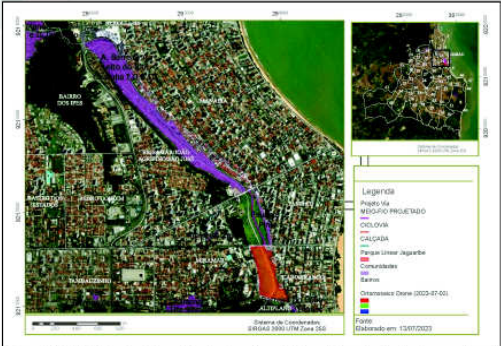


Figura 12 – ZEIS João Agripino e São José, projeto viário no bairro de Tambau e o projeto do Parque Linear no bairro de Cabo Branco.

6. CONCLUSÃO E RECOMENDAÇÕES

A cidade de João Pessoa, assim como outros grandes centros urbanos, que possuem área de preservação permanente em cursos d'água com consolidação de edificações ficaram por muito tempo com dificuldades de resolver a situação, seja para garantir a permanência de residências já consolidadas ou mesmo desenvolver projetos estruturadores nessas APP, especialmente em relação a legislação em nível federal, que proíba qualquer intervenção, salvo os casos de utilidade pública e interesse social.

O Diagnóstico Socioambiental teve como objetivo levantar informações para subsidiar a gestão municipal para revisar a faixa de preservação permanente do Rio Jaguaribe no trecho com 3.750 metros, que de acordo com o Código de Meio Ambiente, Lei nº 29/2002, art. 89, possui a largura de 50 metros (considerando a largura do rio com aproximadamente 15 metros), visando a regularização de lotes e propriedades, execução e implantação de programas de regularização fundiária, implantação de projetos estruturadores e sistemas viários.

A análise normativa no Diagnóstico Socioambiental apresenta várias normas que estabelecem e legitimam os entes federativos a realizarem a regularização fundiária e definir novas faixas marginais, viabilizando a permanência de comunidades já consolidadas e a executar projetos e programas estruturadores, dentre elas a Lei Federal nº 14.285/2021 que atribuiu aos Municípios e ao Distrito Federal a prerrogativa de definir faixas marginais distintas daquelas estabelecidas no inciso I do caput do artigo 4º da Lei Nacional nº 12.651/2012 (Código Florestal).

Os limites e dimensões que estão sendo aplicados para a nova faixa de APP estão em 15 metros, por garantir a função ambiental e eliminação de riscos para a população (principalmente relacionados a inundação, deslizamentos...), ao tempo que torna mais viável a regularização fundiária.

Em relação aos aspectos do meio físico destaca-se a questão da qualidade da água do Rio Jaguaribe que devido a sua inserção em áreas urbanas, com déficit na rede de esgotamento, recebe grande carga de efluentes sem tratamento, precisando que sejam aumentados os investimentos e projetos.

O diagnóstico também apresenta informações sobre o meio biótico, abordando a fauna nativa e a flora presentes na APP, compreendendo a biodiversidade local e identificar possíveis impactos da pressão urbana e da ocupação irregular nas margens do Rio Jaguaribe e propor medidas e programas que busquem a recuperação e revitalização paisagística e retorno de parte da fauna, especialmente as aves.

No que se refere aos projetos, o diagnóstico ressalta a presença do Projeto de Revitalização do Rio Jaguaribe (Complexo Beira Rio), que tem como objetivo principal recuperar a qualidade ambiental da bacia hidrográfica, promover o desenvolvimento sustentável, recuperação de áreas degradadas, a implementação de sistemas de tratamento de esgoto e a promoção da educação ambiental como formas de reverter os danos causados ao ecossistema.

A existência de ocupações irregulares na região destaca a necessidade de promover a regularização fundiária como forma de promover a inclusão social e a melhoria das condições de vida das comunidades locais.

Por fim, concluímos que a vasta legislação sobre processos de regularização fundiária em área urbana consolidada e as que tratam de APP, descritas na análise dos Aspectos Normativos, item 4 do diagnóstico, com destaque para a Lei Federal nº 14.285/2021, Lei Federal nº 12.651/2012, Lei Federal nº 13.465/2017, Plano Diretor de João Pessoa, Lei nº 03/1992 e a Política Municipal de Regularização Fundiária (Lei

Municipal nº 12.410/2012, entre outras, sinalizam a necessidade dos municípios a realizarem os procedimentos de revisão das faixas de APP e processo de regularização fundiária urbana, em especial nos locais em áreas de riscos geotécnicos, de inundações ou outros riscos, como é o caso da área de 3.750 metros as margens do Rio Jaguaribe objeto do presente Diagnóstico Socioambiental.

7. REFERÊNCIAS

- AMARAL, L. C. do. Plano Diretor Participativo de João Pessoa: construção de uma cidade sustentável. João Pessoa: Editora da UFPB, 2015.
- ARAÚJO, L. B. S.; SOUSA, M. L. D.; SANTOS, E. M. L. C. Impactos ambientais decorrentes da urbanização acelerada na bacia do rio Jaguaribe, João Pessoa - PB. Revista de Geografia, v. 34, n. 2, p. 124-141, 2017.
- BRASIL. Agência Nacional de Águas (ANA). Plano de Recursos Hídricos da Bacia do Rio Jaguaribe. Brasília, 2018.
- BRASIL. Ministério do Meio Ambiente. Plano Nacional de Recursos Hídricos 2018-2022. Brasília, 2018.
- CARVALHO, F. A. de; SANTOS, M. S.; MACEDO, A. F. Plano de Manejo da APA Estadual Barra do Rio Jaguaribe, João Pessoa - PB. João Pessoa: Secretaria de Estado do Meio Ambiente, 2016.
- CAVALCANTI, C. M.; RIBEIRO, M. de F.; LOPES, L. S. Impactos socioambientais da ocupação desordenada na bacia do rio Jaguaribe, João Pessoa - PB. Revista Geonorte, v. 1, n. 1, p. 206-216, 2012.
- CAVALCANTI, T. B.; RODRIGUES, D. S. Dinâmica socioespacial e impactos ambientais na bacia do rio Jaguaribe, João Pessoa - PB. Revista de Geografia, v. 35, n. 3, p. 15-30, 2018.
- CAVALCANTI, T. B.; VIEIRA, R. C. Dinâmica ambiental e transformações socioespaciais na bacia do rio Jaguaribe, João Pessoa - PB. In: Encontro Nacional de Geógrafos, 19., 2018, João Pessoa. Anais... João Pessoa: AGB, 2018.
- CENTRO VIVA CAATINGA. Diagnóstico Socioambiental da Bacia do Rio Jaguaribe, João Pessoa - PB. Petrolina: Centro Viva Caatinga, 2019.
- COSTA, M. M.; NOGUEIRA, F. B. Plano de Gerenciamento de Recursos Hídricos da Bacia do Rio Jaguaribe, João Pessoa - PB. João Pessoa: Secretaria de Estado da Infraestrutura, dos Recursos Hídricos, do Meio Ambiente e da Ciência e Tecnologia, 2017.
- FERNANDES, F. C. C.; LIMA, E. F.; VIEIRA, C. E. F. Projeto de Monitoramento Ambiental do Rio Jaguaribe, João Pessoa - PB. João Pessoa: Universidade Federal da Paraíba, 2016.
- GUEDES, J. S. S. Análise dos aspectos socioambientais da bacia hidrográfica do rio Jaguaribe, João Pessoa - PB. Dissertação de Mestrado. Universidade Federal da Paraíba, João Pessoa, 2017.
- IBAMA - Instituto Brasileiro do Meio Ambiente e dos Recursos Naturais Renováveis. Relatório de Impacto Ambiental (RIMA): Usina Hidrelétrica do Rio Jaguaribe, João Pessoa - PB. Brasília, 2015.

IBGE - Instituto Brasileiro de Geografia e Estatística. Censo Demográfico 2010. Disponível em: <https://cidades.ibge.gov.br/joao-pessoa/panorama>. Acesso em: 15 jul. 2023.

INEMA - Instituto do Meio Ambiente e Recursos Hídricos. Diagnóstico da Bacia Hidrográfica do Rio Jaguaribe - Bahia. Salvador, 2018.

LIMA, J. R.; LEME, F. S.; SILVA, F. C. Gestão socioambiental dos recursos hídricos na bacia do rio Jaguaribe, João Pessoa - PB. Revista de Gestão de Águas da América Latina, v. 5, n. 1, p. 7-18, 2019.

LIMA, R. B.; ROCHA, T. H.; ALVES, A. M. A. Caracterização do uso e ocupação do solo na bacia do rio Jaguaribe, João Pessoa - PB. Revista Brasileira de Gestão Ambiental, v. 13, n. 1, p. 3-14, 2019.

LIMA, R. C.; MEDEIROS, V. B. Planejamento e gestão ambiental na bacia do rio Jaguaribe, João Pessoa - PB. João Pessoa: Editora da UFPB, 2016.

LOURENÇO, R. F.; SANTOS, J. S.; OLIVEIRA, F. B. Qualidade da água do rio Jaguaribe, João Pessoa - PB: análise socioambiental. Revista Brasileira de Ciências Ambientais, v. 42, n. 2, p. 43-58, 2017.

MOURA, E. M. de; MEDEIROS, A. M. de. Estudo de impacto ambiental na bacia do rio Jaguaribe, João Pessoa - PB. Revista Meio Ambiente e Sustentabilidade, v. 2, n. 2, p. 165-178, 2016.

PREFEITURA MUNICIPAL DE JOÃO PESSOA. Plano Diretor de João Pessoa - PD. Lei Complementar Municipal nº 54, de 23 de dezembro de 2008. Disponível em: <http://joaopessoa.pb.gov.br/wp-content/uploads/2021/01/PDDU-em-vigor.pdf>. Acesso em: 15 jul. 2023.

PREFEITURA MUNICIPAL DE JOÃO PESSOA. Relatório de Qualidade da Água do Rio Jaguaribe, João Pessoa - PB. João Pessoa, 2019.

RODRIGUES, D. S.; LIMA, J. P. A.; SANTOS, M. L. dos. Monitoramento da qualidade da água do rio Jaguaribe, João Pessoa - PB. Revista de Geografia, v. 37, n. 2, p. 123-137, 2020.

SILVA, F. C.; GUEDES, J. S. S.; CAVALCANTI, T. B. Análise dos impactos socioambientais na bacia do rio Jaguaribe, João Pessoa - PB. Revista Brasileira de Geografia Física, v. 10, n. 5, p. 1906-1923, 2017.

SOUZA, A. B. de; NASCIMENTO, R. S. do; AMORIM, R. S. Aspectos socioambientais da bacia hidrográfica do rio Jaguaribe, João Pessoa - PB. Revista Brasileira de Geografia Física, v. 12, n. 2, p. 618-632, 2019.

SOUZA, J. P. de; ALVES, R. C. C. Análise das áreas de preservação permanente na bacia do rio Jaguaribe, João Pessoa - PB. Revista Geografia em Questão, v. 13, n. 1, p. 203-221, 2021.



VERIFICAÇÃO DAS ASSINATURAS



Código para verificação: 6947-EB41-A1F5-F3DE

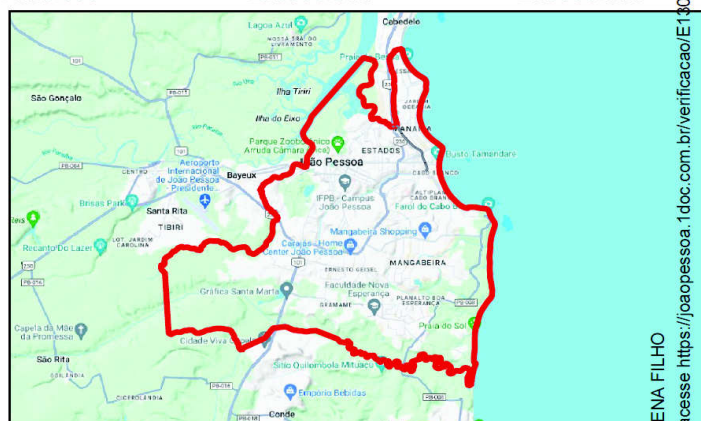
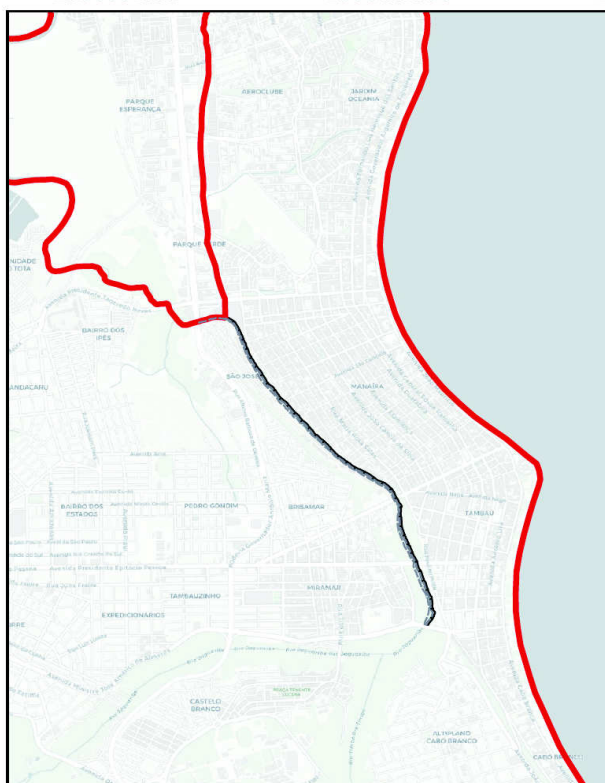
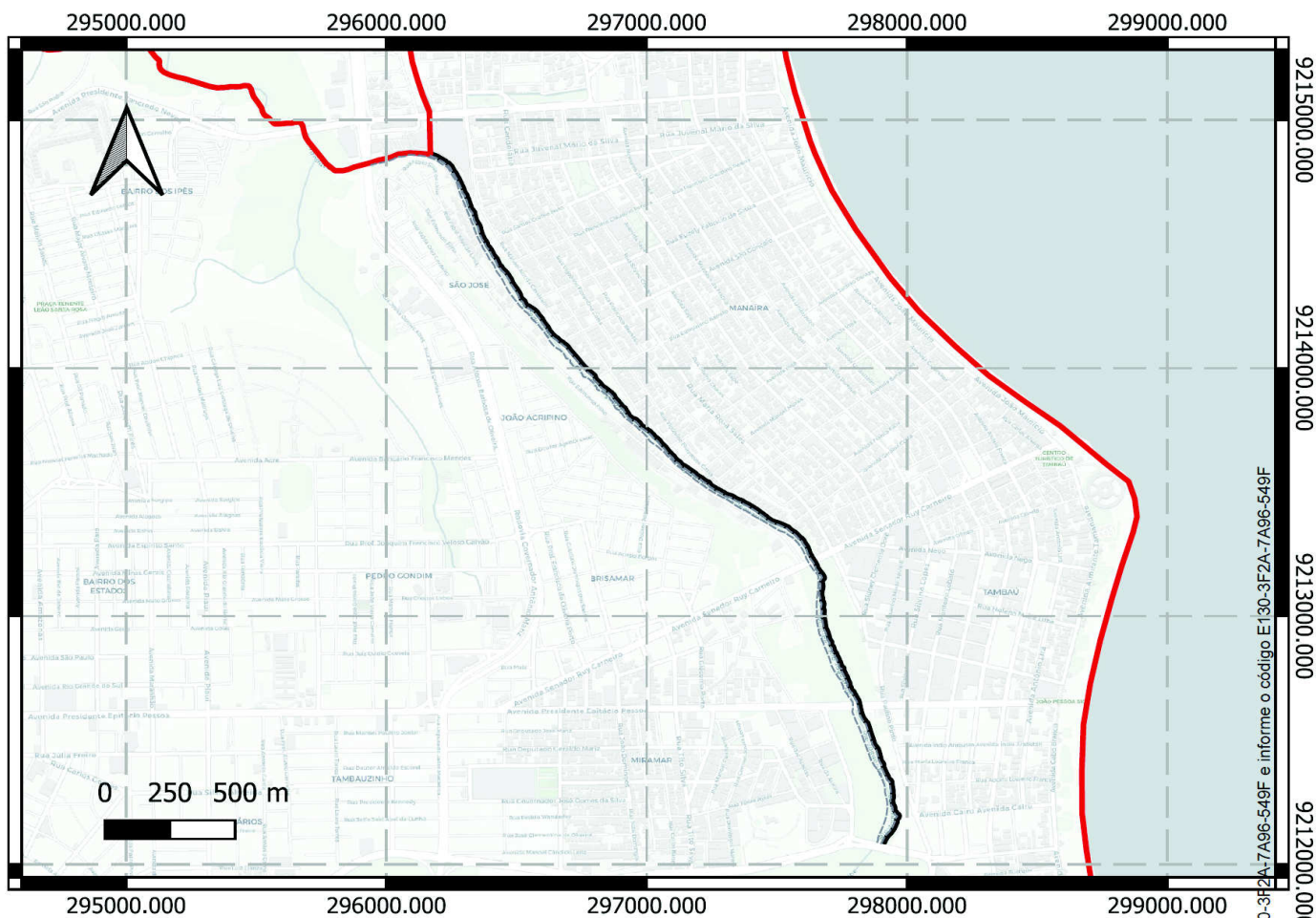
Este documento foi assinado digitalmente pelos seguintes signatários nas datas indicadas:

- ✓ ANDERSON DE LEITE FONTES (CPF 665.XXX.XXX-78) em 19/10/2023 08:16:33 (GMT-03:00)
Papel: Parte
Emitido por: Sub-Autoridade Certificadora 1Doc (Assinatura 1Doc)
- ✓ ARTHUR MARCEL BRASILEIRO GUIMARÃES (CPF 011.XXX.XXX-85) em 19/10/2023 09:23:42 (GMT-03:00)
Papel: Parte
Emitido por: Sub-Autoridade Certificadora 1Doc (Assinatura 1Doc)
- ✓ ADRIANO DOS SANTOS MEDEIROS (CPF 042.XXX.XXX-90) em 19/10/2023 09:48:45 (GMT-03:00)
Papel: Parte
Emitido por: Sub-Autoridade Certificadora 1Doc (Assinatura 1Doc)
- ✓ MARTINHO QUEIROGA SALGADO SOBRINHO (CPF 036.XXX.XXX-77) em 19/10/2023 11:13:52 (GMT-03:00)
Papel: Parte
Emitido por: Sub-Autoridade Certificadora 1Doc (Assinatura 1Doc)
- ✓ ELIANA DA SILVA MEDEIROS (CPF 009.XXX.XXX-08) em 07/11/2023 08:49:59 (GMT-03:00)
Papel: Parte
Emitido por: Sub-Autoridade Certificadora 1Doc (Assinatura 1Doc)
- ✓ ANDREA DE OLIVEIRA LIMA NUNES GUILHERME (CPF 088.XXX.XXX-71) em 07/11/2023 16:15:47 (GMT-03:00)
Papel: Parte
Emitido por: Sub-Autoridade Certificadora 1Doc (Assinatura 1Doc)

Para verificar a validade das assinaturas, acesse a Central de Verificação por meio do link:

<https://joaopessoa.1doc.com.br/verificacao/6947-EB41-A1F5-F3DE>

LOCALIZAÇÃO ÁREA DE PRESERVAÇÃO PERMANENTE RIO JAGUARIBE JOÃO PESSOA - FAIXA DE 15 METROS MARGEM LESTE



Imóvel: Área de Preservação Permanente (APP) faixa de 15 metros perpendicular a margem Leste ao rio Jaguaribe, no trecho entre a Avenida Ministro José Américo de Almeida e a Rodovia BR-230 sentido Leste.

Comarca: João Pessoa UF: PB

Município: João Pessoa / PB

Área (m²): 53.148,55

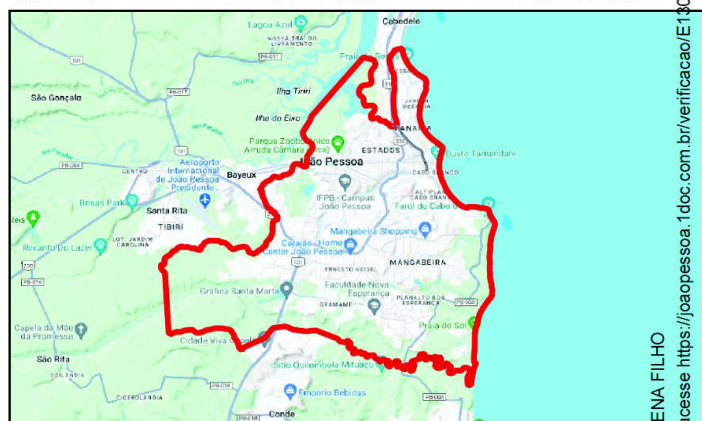
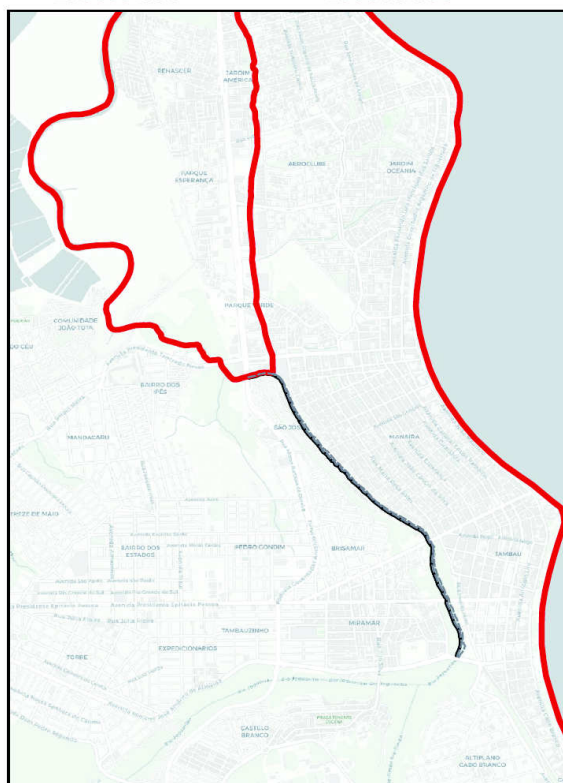
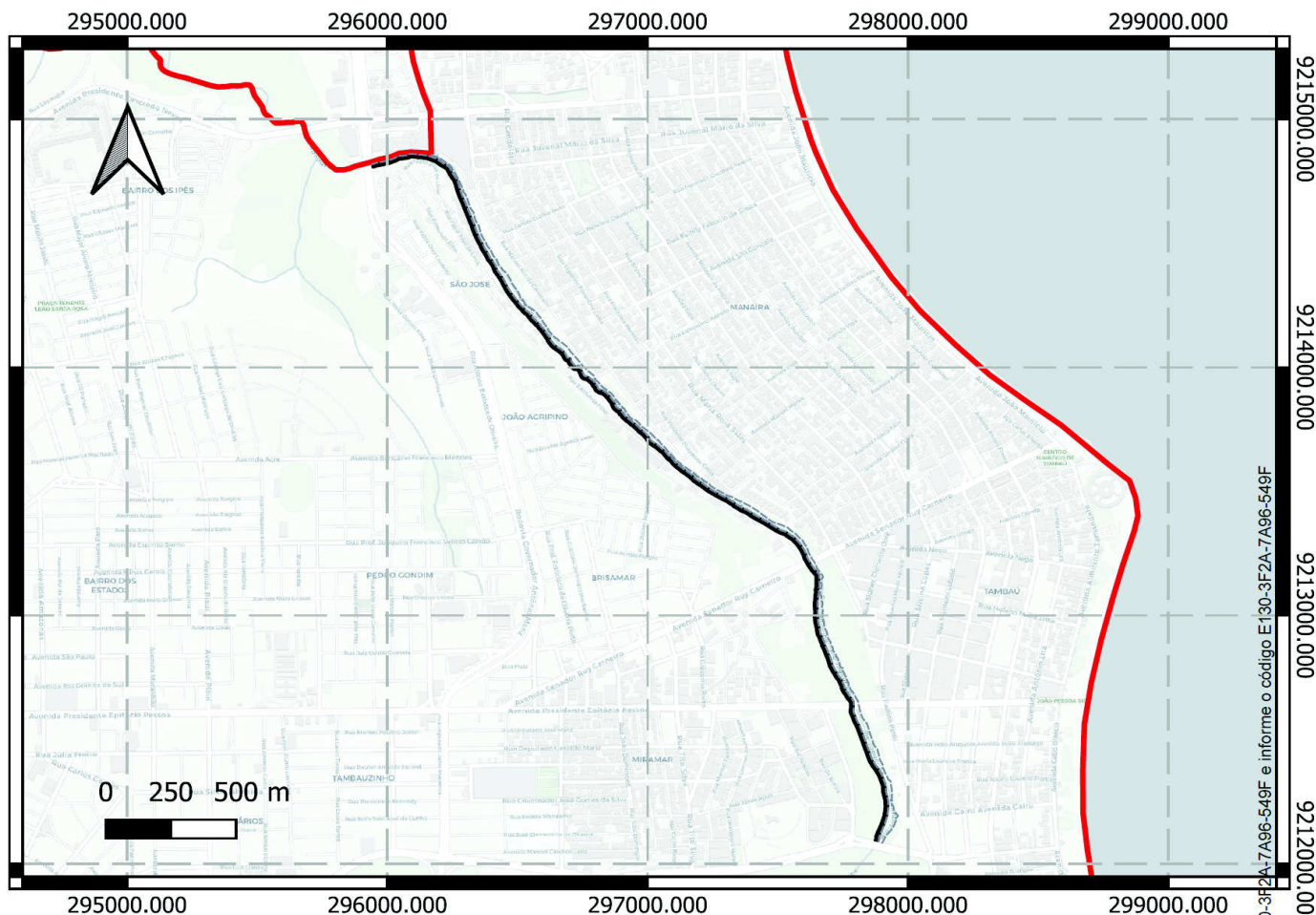
Perímetro: 7.114,52

Sistema Geodésico Brasileiro e encontram-se representadas no sistema UTM, referenciadas ao Meridiano Central -33, tendo como DATUM SIRGAS 2000. Todos os azimutes e distâncias, área e perímetro foram calculados no plano de projeção UTM.

Acesso por 1 pessoa: CÍCELO AUGUSTO FILHO
Para verificar a validade das assinaturas, acesse <https://joaopessoa.1doc.com.br/verificacao/E140-3F2A-7A96-549F>



LOCALIZAÇÃO ÁREA DE PRESERVAÇÃO PERMANENTE RIO JAGUARIBE JOÃO PESSOA - FAIXA DE 15 METROS MARGEM OESTE



Imóvel: Área de Preservação Permanente (APP) faixa de 15 metros perpendicular a margem Oeste ao rio Jaguaribe, no trecho entre a Avenida Ministro José Américo de Almeida e a Rodovia BR-230 sentido Leste.

Comarca: João Pessoa UF: PB

Município: João Pessoa / PB

Área (m²): 55.615,99

Perímetro: 7.439,93

Sistema Geodésico Brasileiro e encontram-se representadas no sistema UTM, referenciadas ao Meridiano Central -33, tendo como DATUM SIRGAS 2000. Todos os azimutes e distâncias, área e perímetro foram calculados no plano de projeção UTM.

Assinado por 1 pessoa: CÍCELO AUGUSTO FILHO. Para verificar a validade das assinaturas, acesse <https://joaopessoa.1doc.com.br/verificacao/E130-3F2A-7A96-549F>



MEMORIAL DESCRITIVO SINTÉTICO						
VÉRTICE	COORDENADAS		LADO	AZIMUTOS		DISTÂNCIA
	E	N		PLANO	REAL	
P0	296090,28	9214890,39	P0-P1	94°54'49,11"	94°59'28,16"	8,47
P1	296098,72	9214899,69	P1-P2	95°37'50,46"	95°51'29,51"	16,73
P2	296115,37	9214858,05	P2-P3	102°15'53,19"	102°29'32,24"	5,52
P3	296120,77	9214856,88	P3-P4	85°54'51,78"	86°08'30,83"	9,88
P4	296130,62	9214857,58	P4-P5	108°26'5,82"	108°39'44,87"	8,16
P5	296138,35	9214855,00	P5-P6	93°43'53,03"	93°57'32,08"	10,81
P6	296149,14	9214854,30	P6-P7	106°20'9,75"	106°33'48,81"	14,17
P7	296162,74	9214850,31	P7-P8	110°43'32,01"	110°57'11,07"	18h56
P8	296180,10	9214843,74	P8-P9	111°24'46,69"	111°38'25,74"	12,85
P9	296192,06	9214839,05	P9-P10	131°20'52,00"	131°34'31,05"	7,81
P10	296197,92	9214833,89	P10-P11	126°04'33,64"	126°18'12,70"	20h31
P11	296214,34	9214821,93	P11-P12	117°49'26,75"	118°03'5,80"	5,98
P12	296219,63	9214819,14	P12-P13	117°49'26,75"	118°03'5,80"	0,96
P13	296220,47	9214818,70	P13-P14	117°49'26,75"	118°03'5,80"	2,61
P14	296222,78	9214817,48	P14-P15	121°13'6,25"	121°26'45,30"	9,05
P15	296230,52	9214812,79	P15-P16	130°01'30,24"	131°15'9,28"	9,62
P16	296237,56	9214806,22	P16-P17	148°50'26,50"	149°04'5,56"	11,78
P17	296243,66	9214796,13	P17-P18	155°17'51,25"	155°31'30,31"	12,91
P18	296249,05	9214784,41	P18-P19	149°02'10,48"	149°15'49,53"	15,04
P19	296256,79	9214771,51	P19-P20	145°24'27,76"	145°38'6,82"	8,26
P20	296261,48	9214764,71	P20-P21	144°58'21,46"	144°120,51"	6,38
P21	296265,23	9214759,55	P21-P22	157°02'10,42"	157°15'49,47"	15,03
P22	296271,09	9214745,71	P22-P23	165°22'44,85"	165°36'23,91"	16,72
P23	296275,32	9214729,53	P23-P24	164°03'16,57"	164°16'55,63"	20h49
P24	296280,94	9214709,83	P24-P25	160°01'0,82"	160°14'39,87"	18h47
P25	296286,57	9214694,35	P25-P26	158°50'19,46"	159°03'58,52"	15h59
P26	296292,20	9214679,81	P26-P27	156°02'13,95"	156°15'53,01"	15h00
P27	296298,53	9214666,21	P27-P28	160°27'48,04"	160°41'27,10"	23,14
P28	296306,27	9214644,40	P28-P29	158°03'41,47"	158°17'20,52"	18h20
P29	296313,07	9214627,51	P29-P30	158°52'31,01"	159°06'10,07"	22,12
P30	296321,05	9214606,88	P30-P31	155°30'46,75"	155°44'25,80"	22,78
P31	296329,02	9214585,53	P31-P32	144°46'56,67"	144°00'35,72"	4,88
P32	296331,84	9214581,55	P32-P33	164°08'26,28"	164°22'5,34"	21h45
P33	296337,70	9214560,91	P33-P34	159°26'38,24"	159°40'17,29"	24,05
P34	296346,14	9214538,39	P34-P35	155°48'24,45"	156°02'3,50"	17,74
P35	296353,41	9214522,21	P35-P36	153°47'19,04"	154°00'58,06"	16,99
P36	296360,92	9214506,97	P36-P37	150°11'51,48"	150°28'57,48"	11h34
P37	296366,54	9214497,12	P37-P38	158°50'19,46"	159°03'58,52"	15h59
P38	296372,17	9214482,58	P38-P39	147°59'40,62"	148°13'19,67"	15h49
P39	296380,38	9214469,45	P39-P40	149°18'01,00"	149°31'40,05"	8,73
P40	296394,84	9214461,94	P40-P41	151°46'57,52"	152°00'36,57"	10,91
P41	296390,00	9214452,33	P41-P42	155°28'49,29"	155°42'28,34"	14,69
P42	296396,08	9214438,96	P42-P43	137°02'43,47"	137°16'22,52"	9,29
P43	296402,43	9214432,16	P43-P44	147°20'20,71"	147°33'59,77"	10,86
P44	296408,29	9214423,01	P44-P45	148°23'32,99"	148°37'12,05"	7,16

P45	296412,04	9214416,91	P45-P46	146°18'35,76"	146°32'14,81"	5,92
P46	296415,33	9214411,99	P46-P47	162°53'00,18"	163°07'29,23"	12,76
P47	296419,08	9214399,79	P47-P48	160°54'23,43"	161°08'2,48"	8h45
P48	296421,19	9214393,69	P48-P49	149°20'57,60"	149°34'36,65"	7,36
P49	296424,94	9214387,36	P49-P50	142°15'11,50"	142°28'50,58"	9,19
P50	296430,57	9214380,09	P50-P51	147°31'43,71"	147°45'22,76"	12,23
P51	296437,14	9214368,77	P51-P52	146°38'01,08"	146°51'40,14"	11,51
P52	296443,47	9214360,16	P52-P53	150°25'19,78"	150°38'58,84"	9,98
P53	296448,39	9214351,48	P53-P54	153°26'5,82"	153°39'44,87"	4h20
P54	296450,27	9214347,73	P54-P55	155°38'15,17"	155°51'54,22"	13,64
P55	296455,90	9214336,30	P55-P56	149°37'15,15"	149°50'54,20"	7,88
P56	296459,88	9214328,50	P56-P57	154°17'24,17"	154°31'3,22"	7,03
P57	296462,93	9214322,17	P57-P58	152°02'56,51"	152°16'35,57"	13,01
P58	296469,03	9214310,67	P58-P59	146°18'35,76"	146°32'14,81"	10,99
P59	296475,13	9214301,53	P59-P60	147°59'40,62"	148°13'19,67"	8,85
P60	296479,82	9214294,02	P60-P61	139°46'28,35"	140°00'7,41"	8,69
P61	296485,43	9214287,39	P61-P62	145°55'22,10"	146°09'1,15"	6,16
P62	296488,88	9214282,29	P62-P63	145°00'28,73"	145°14'7,78"	5,50
P63	296492,03	9214277,78	P63-P64	141°20'24,69"	141°34'3,74"	4,81
P64	296495,03	9214274,03	P64-P65	138°31'56,26"	138°45'35,31"	8,61
P65	296500,74	9214267,58	P65-P66	145°26'14,91"	145°39'53,97"	8h20
P66	296505,39	9214260,82	P66-P67	144°36'18,74"	144°49'57,77"	7h00
P67	296509,44	9214255,12	P67-P68	142°44'0,95"	142°57'40,01"	8,68
P68	296514,70	9214248,22	P68-P69	130°36'4,66"	130°49'43,72"	4,15
P69	296517,85	9214245,51	P69-P70	133°59'41,69"	134°13'20,74"	6,05
P70	296522,20	9214241,31	P70-P71	140°47'34,07"	141°01'13,12"	7,36
P71	296526,85	9214236,61	P71-P72	145°42'47,24"	145°56'26,30"	4h00
P72	296529,11	9214232,31	P72-P73	133°34'4,45"	133°47'43,51"	8,49
P73	296535,26	9214226,45	P73-P74	122°28'16,29"	122°41'55,35"	7,83
P74	296541,86	9214222,25	P74-P75	139°50'38,40"	140°04'17,46"	6,28
P75	296545,92	9214217,45	P75-P76	146°18'35,76"	146°32'14,81"	5,95
P76	296549,22	9214212,49	P76-P77	142°00'4,56"	142°13'43,62"	6,10
P77	296552,97	9214207,69	P77-P78	143°44'46,18"	143°58'25,24"	5,58
P78	296556,27	9214203,19	P78-P79	143°07'48,37"	143°21'27,42"	4,50
P79	296558,98	9214199,59	P79-P80	143°58'21,46"	144°12'0,51"	4,08
P80	296561,38	9214196,28	P80-P81	132°41'33,46"	132°55'12,51"	15,08
P81	296572,46	9214186,06	P81-P82	146°49'17,36"	147°02'56,41"	2,98
P82	296574,09	9214183,56	P82-P83	142°35'40,72"	142°49'19,77"	4,11
P83	296576,59	9214180,30	P83-P84	129°20'25,87"	129°34'4,92"	7,58
P84	296582,45	9214175,49	P84-P85	135°00'0,00"	135°13'39,05"	6,25
P85	296586,87	9214171,07	P85-P86	148°47'58,15"	149°01'37,20"	7,97
P86	296591,00	9214164,25	P86-P87	136°02'29,86"	136°16'8,91"	7,47
P87	296596,19	9214158,87	P87-P88	142°00'4,56"	142°13'43,62"	3,90
P88	296598,59	9214155,80	P88-P89	147°05'41,31"	147°19'20,18"	5,84
P89	296601,76	9214150,90	P89-P90	144°33'15,44"	144°46'54,50"	6,96
P90	296605,79	9214145,23	P90-P91	143°19'32,34"	143°33'11,40"	5,63
P91	296609,15	9214140,72	P91-P92	146°28'55,17"	146°42'34,22"	8,87
P92	296614,05	9214133,32	P92-P93	147°39'9,20"	147°52'48,26"	6,82

P93	296617,70	9214127,56	P93-P94	143°25'37,09"	143°39'16,14"	3,71
P94	296619,91	9214124,58	P94-P95	140°02'32,82"	140°16'11,88"	4,64
P95	296622,89	9214121,03	P95-P96	146°18'35,76"	146°32'14,81"	2,77
P96	296624,43	9214118,72	P96-P97	162°38'45,51"	162°52'24,57"	8,05
P97	296626,83	9214111,04	P97-P98	147°20'20,71"	147°33'59,77"	4,45
P98	296629,23	9214107,29	P98-P99	144°27'44,36"	144°41'23,41"	3,31
P99	296631,15	9214104,60	P99-P100	138°14'22,92"	138°28'1,98"	3,61
P100	296633,55	9214101,91	P100-P101	147°20'20,71"	147°33'59,77"	4,45
P101	296635,96	9214098,16	P101-P102	143°58'21,46"	144°12'0,51"	3,92
P102	296638,26	9214094,99	P102-P103	130°36'4,66"	130°49'43,71"	1,77
P103	296639,61	9214093,94	P103-P104	139°23'55,34"	139°37'34,39"	3,54
P104	296641,91	9214091,15	P104-P105	134°01'14,32"	134°15'23,38"	4,01
P105	296644,79	9214088,37	P105-P106	121°32'5,25"	121°45'44,31"	4,96
P106	296649,02	9214085,77	P106-P107	135°00'0,00"	135°13'39,05"	3,26
P107	296651,33	9214083,47	P107-P108	129°48'20,06"	130°01'59,11"	3,75
P108	296654,21	9214081,06	P108-P109	121°08'20,30"	121°21'58,36"	5,39
P109	296658,82	9214078,28	P109-P110	122°38'40,70"	122°52'19,76"	7,30
P110	296664,97	9214074,34	P110-P111	118°13'2,48"	118°26'41,54"	4,47
P111	296668,90	9214072,23	P111-P112	154°01'32,18"	154°15'11,24"	4,17
P112	296670,73	9214068,48	P112-P113	116°33'54,18"	116°47'33,24"	2,79
P113	296673,23	9214067,23	P113-P114	112°28'45,96"	112°42'25,02"	3,01
P114	296676,01	9214066,08	P114-P115	152°28'49,89"	152°42'28,33"	2,49
P115	296677,17	9214063,87	P115-P116	157°45'5,15"	157°58'42,57"	2,28
P116	296678,03	9214061,76	P116-P117	137°12'9,35"	137°25'48,41"	3,53
P117	296680,43	9214059,16	P117-P118	137°43'34,72"	137°57'13,77"	2,86
P118	296682,35	9214057,05	P118-P119	154°32'1,96"	154°45'51,01"	4,47
P119	296684,27	9214053,02	P119-P120	154°20'5,31"	154°33'44,37"	8,21
P120	296687,83	9214045,62	P120-P121	160°27'48,04"	160°41'27,10"	3,16
P121	296688,88	9214042,64	P121-P122	147°10'17,25"	147°23'56,30"	3,54
P122	296690,81	9214039,66	P122-P123	129°05'37,89"	129°19'16,95"	1,98
P123	296692,34	9214038,41	P123-P124	90°00'0,00"	90°13'39,05"	5,09
P124	296697,43	9214038,41	P124-P125	106°41'57,28"	106°55'36,33"	3,01
P125	296700,32	9214037,55	P125-P126	114°20'27,92"	114°34'9,98"	4,43
P126	296704,35	9214035,72	P126-P127	156°36'53,20"	156°50'32,26"	3,87
P127	296705,69	9214032,17	P127-P128	176°49'12,61"	177°02'51,67"	3,46
P128	296706,08	9214028,71	P128-P129	180°00'0,00"	180°13'39,05"	3,84
P129	296706,08	9214028,71	P129-P130	157°22'48,97"	157°36'27,54"	1,25
P130	296706,56	9214023,72	P130-P131	148°15'49,36"	148°01'54,41"	3,06
P131	296708,19	9214021,12	P131-P132	144°14'46,01"	144°28'06,06"	2,96
P132	296709,92	9214018,72	P132-P133	138°128'9,98"	138°59,04"	4,22
P133	296712,71	9214015,55	P133-P134	138°21'59,26"	138°35'38,31"	4,63
P134	296715,79	9214012,09	P134-P135	143°21'57,18"	143°35'36,24"	4,67
P135	296718,57	9214008,35	P135-P136	148°08'2,48"	148°21'41,53"	4,18
P136	296720,78	9214004,79	P136-P137	131°59'13,96"	132°12'53,02"	2,58
P137	296722,70	9214003,06	P137-P138	83°05'19,58"	83°18'58,64"	3,19
P138	296725,87	9214003,45	P138-P139	54°53'16,76"	55°06'55,81"	7,52
P139	296732,02	9214007,77	P139-P140	112°18'22,34"	112°32'1,39"	4,05
P140	296735,76	9214006,23	P140-P141	130°21'52,33"	130°35'31,39"	2,52

P189	296858.24	9213879.34	P189-P190	172°34'6.93"	172°47'45.99"	2.23
P190	296858.53	9213877.13	P190-P191	146°50'25.10"	146°04'44.15"	3.25
P191	296860.35	9213874.44	P191-P192	129°48'20.06"	130°01'59.11"	3.75
P192	296863.23	9213872.04	P192-P193	143°07'48.37"	143°21'27.42"	1.92
P193	296864.39	9213870.50	P193-P194	180°00'00.00"	180°13'39.05"	1.44
P194	296864.39	9213869.06	P194-P195	133°46'52.05"	134°00'31.10"	3.19
P195	296866.69	9213866.85	P195-P196	128°17'24.59"	128°31'13.64"	2.33
P196	296868.52	9213865.41	P196-P197	140°28'25.20"	140°40'4.25"	2.87
P197	296870.34	9213863.20	P197-P198	158°37'45.76"	158°51'24.81"	2.37
P198	296871.21	9213860.99	P198-P199	170°32'15.64"	170°45'54.69"	1.75
P199	296871.50	9213859.26	P199-P200	164°28'33.20"	164°42'12.25"	3.59
P200	296872.46	9213855.80	P200-P201	161°33'54.18"	161°47'33.24"	2.13
P201	296873.13	9213853.79	P201-P202	162°33'10.12"	162°46'49.18"	3.52
P202	296874.19	9213850.42	P202-P203	151°15'36.74"	151°29'15.79"	3.40
P203	296875.82	9213847.45	P203-P204	156°13'29.49"	156°27'58.56"	4.13
P204	296877.55	9213843.70	P204-P205	159°08'43.95"	159°22'23.01"	2.16
P205	296878.32	9213841.68	P205-P206	139°11'15.70"	139°24'44.75"	2.79
P206	296880.14	9213839.57	P206-P207	132°23'50.78"	132°37'29.83"	2.99
P207	296882.35	9213837.55	P207-P208	138°48'50.67"	139°02'29.72"	2.04
P208	296883.69	9213836.01	P208-P209	130°48'54.30"	131°02'33.36"	2.79
P209	296885.81	9213834.19	P209-P210	103°23'32.99"	103°37'12.05"	2.07
P210	296887.83	9213833.71	P210-P211	122°00'19.38"	122°13'58.43"	1.81
P211	296889.36	9213832.75	P211-P212	94°58'11.07"	95°11'50.12"	2.22
P212	296891.57	9213832.56	P212-P213	125°45'13.99"	125°58'53.05"	2.96
P213	296893.97	9213830.83	P213-P214	123°41'24.24"	123°55'53.30"	3.46
P214	296896.86	9213828.91	P214-P215	162°20'56.55"	162°34'38.61"	2.22
P215	296897.53	9213826.79	P215-P216	164°58'53.90"	165°12'32.96"	4.08
P216	296898.58	9213822.85	P216-P217	158°11'54.93"	158°25'33.98"	3.10
P217	296899.74	9213819.97	P217-P218	146°00'28.73"	146°14'47.78"	1.17
P218	296900.41	9213819.01	P218-P219	109°17'24.17"	109°31'13.22"	4.07
P219	296904.25	9213817.67	P219-P220	126°52'11.63"	127°05'50.69"	3.36
P220	296906.94	9213815.65	P220-P221	171°34'22.91"	171°48'1.97"	2.62
P221	296907.33	9213813.06	P221-P222	151°18'49.87"	151°32'28.92"	5.80
P222	296910.11	9213807.97	P222-P223	140°23'21.52"	140°37'0.58"	3.62
P223	296912.42	9213805.18	P223-P224	140°49'34.83"	141°03'13.89"	3.35
P224	296914.53	9213802.59	P224-P225	129°28'20.86"	129°41'59.91"	2.12
P225	296916.16	9213801.24	P225-P226	124°49'28.16"	125°03'37.22"	2.69
P226	296918.37	9213799.70	P226-P227	145°00'28.73"	145°14'7.78"	2.35
P227	296919.72	9213797.78	P227-P228	128°17'24.59"	128°31'13.64"	2.33
P228	296921.54	9213796.34	P228-P229	133°05'27.05"	133°19'6.11"	4.08
P229	296924.52	9213793.56	P229-P230	121°49'38.81"	122°03'17.86"	3.28
P230	296927.31	9213791.83	P230-P231	123°59'47.25"	124°13'26.31"	4.98
P231	296931.44	9213789.04	P231-P232	126°39'21.99"	126°53'1.04"	5.15
P232	296935.57	9213785.97	P232-P233	136°04'51.33"	136°18'30.38"	3.60
P233	296938.07	9213783.37	P233-P234	135°55'26.56"	136°09'5.62"	8.42
P234	296943.92	9213777.32	P234-P235	117°05'43.99"	117°19'23.04"	4.64
P235	296948.06	9213775.21	P235-P236	134°12'54.63"	134°26'33.69"	4.96
P236	296951.61	9213771.75	P236-P237	129°45'29.45"	129°58'58.50"	14.87

P237	296963.04	9213762.24	P237-P238	143°07'48.37"	143°21'27.42"	3.36
P238	296965.06	9213759.55	P238-P239	139°32'15.98"	139°45'55.04"	4.29
P239	296967.84	9213756.28	P239-P240	140°28'38.53"	140°42'17.58"	4.98
P240	296971.01	9213752.44	P240-P241	135°00'00.00"	135°13'39.05"	3.40
P241	296973.42	9213750.04	P241-P242	147°31'43.71"	147°45'22.76"	2.50
P242	296974.76	9213747.93	P242-P243	119°03'16.57"	119°16'55.63"	2.97
P243	296977.35	9213746.49	P243-P244	124°37'26.98"	124°51'01.11"	4.90
P244	296981.39	9213743.70	P244-P245	130°31'58.23"	130°45'37.28"	8.72
P245	296988.02	9213738.03	P245-P246	138°12'51.04"	138°26'30.10"	6.47
P246	296992.24	9213733.13	P246-P247	137°32'30.81"	137°45'39.87"	7.68
P247	296997.43	9213727.47	P247-P248	134°59'00.00"	135°13'39.05"	4.21
P248	297000.41	9213724.49	P248-P249	140°02'32.82"	140°16'11.88"	4.64
P249	297003.39	9213720.93	P249-P250	147°01'50.15"	147°15'29.20"	4.24
P250	297005.69	9213717.38	P250-P251	160°25'36.75"	160°39'15.80"	4.59
P251	297007.23	9213713.06	P251-P252	142°35'40.72"	142°49'19.77"	4.11
P252	297009.73	9213709.79	P252-P253	142°32'57.92"	142°46'39.97"	5.69
P253	297013.18	9213705.28	P253-P254	133°36'10.15"	133°49'49.20"	5.57
P254	297017.22	9213701.43	P254-P255	122°39'39.29"	122°53'18.34"	4.45
P255	297020.97	9213699.03	P255-P256	127°18'14.21"	127°31'53.27"	2.54
P256	297022.98	9213697.50	P256-P257	129°10'25.17"	129°24'24.22"	3.35
P257	297025.58	9213695.38	P257-P258	119°58'53.90"	120°12'32.96"	2.88
P258	297028.07	9213693.94	P258-P259	138°10'47.39"	138°24'26.44"	2.45
P259	297029.71	9213692.12	P259-P260	115°51'58.89"	116°05'37.94"	3.52
P260	297032.88	9213690.58	P260-P261	119°58'53.90"	120°12'32.96"	2.88
P261	297035.37	9213689.14	P261-P262	127°47'38.19"	128°01'17.25"	5.96
P262	297040.08	9213685.49	P262-P263	132°22'24.94"	132°36'39.99"	7.41
P263	297045.56	9213680.49	P263-P264	128°51'12.15"	129°04'51.20"	4.44
P264	297049.01	9213677.71	P264-P265	137°40'31.54"	137°54'10.59"	7.28
P265	297053.91	9213672.33	P265-P266	122°44'8.81"	122°57'45.87"	7.97
P266	297060.64	9213668.01	P266-P267	134°59'00.00"	135°13'39.05"	7.49
P267	297065.92	9213662.72	P267-P268	138°45'56.22"	138°59'45.28"	8.30
P268	297071.40	9213656.48	P268-P269	141°20'24.69"	141°34'3.74"	7.38
P269	297076.01	9213650.71	P269-P270	143°35'1.04"	143°48'40.09"	7.28
P270	297080.33	9213644.85	P270-P271	133°01'30.24"	133°15'59.29"	5.91
P271	297084.65	9213640.82	P271-P272	146°53'19.27"	147°06'58.22"	2.64
P272	297086.09	9213638.61	P272-P273	147°59'40.62"	148°13'19.67"	1.81
P273	297087.05	9213637.07	P273-P274	111°22'14.24"	111°35'53.29"	2.37
P274	297089.26	9213636.21	P274-P275	120°31'46.94"	120°45'26.00"	4.35
P275	297093.01	9213634.00	P275-P276	136°38'11.68"	136°51'50.73"	4.76
P276	297096.28	9213630.54	P276-P277	142°25'53.07"	142°39'32.12"	4.73
P277	297099.16	9213626.80	P277-P278	143°58'21.46"	144°12'50.51"	5.23
P278	297102.23	9213625.57	P278-P279	143°58'21.46"	144°12'50.51"	6.53
P279	297106.07	9213617.29	P279-P280	132°27'18.30"	132°40'57.76"	12.24
P280	297115.10	9213609.02	P280-P281	131°11'19.33"	131°24'48.39"	5.11
P281	297118.95	9213605.66	P281-P282	127°52'29.94"	128°06'09.00"	5.48
P282	297123.27	9213602.30	P282-P283	127°43'58.98"	127°57'38.02"	10.20
P283	297131.34	9213596.06	P283-P284	135°33'22.61"	135°47'1.56"	7.00
P284	297136.24	9213591.06	P284-P285	131°41'53.28"	131°55'32.34"	7.08

P285	297141.52	9213596.35	P285-P286	120°12'11.66"	120°25'50.71"	7.45
P286	297147.96	9213582.61	P286-P287	126°11'35.55"	126°25'14.60"	4.88
P287	297151.90	9213579.73	P287-P288	130°36'46.67"	130°49'43.72"	4.43
P288	297155.26	9213576.84	P288-P289	113°37'45.76"	113°51'24.81"	3.36
P289	297158.33	9213575.50	P289-P290	134°07'96.95"	134°20'46.00"	4.42
P290	297161.50	9213572.43	P290-P291	128°28'49.71"	128°42'27.77"	4.79
P291	297165.25	9213569.45	P291-P292	134°12'54.63"	134°26'33.69"	4.96
P292	297168.80	9213565.99	P292-P293	123°01'25.92"	123°15'4.98"	4.58
P293	297172.64	9213563.49	P293-P294	134°08'41.85"	134°22'20.70"	4.55
P294	297175.91	9213560.32	P294-P295	139°36'38.34"	139°50'17.39"	8.45
P295	297181.39	9213553.89	P295-P296	132°30'37.61"	132°44'16.66"	4.69
P296	297184.84	9213550.72	P296-P297	126°21'25.91"	126°35'4.97"	8.59
P297	297191.76	9213545.62	P297-P298	127°22'01.01"	127°35'39.06"	13.30
P298	297202.33	9213537.56	P298-P299	121°13'36.25"	121°26'45.30"	7.41
P299	297208.67	9213533.71	P299-P300	125°32'15.64"	125°45'54.69"	13.22
P300	297219.43	9213526.03	P300-P301	133°25'24.42"	133°39'3.47"	7.41
P301	297224.81	9213520.94	P301-P302	124°55'59.85"	125°08'48.90"	6.21
P302	297229.90	9213517.38	P302-P303	129°28'20.86"	129°41'59.91"	8.46
P303	297236.43	9213512.00	P303-P304	120°39'24.00"	120°52'41.46"	15.07
P304	297249.40	9213504.32	P304-P305	120°31'46.94"	120°45'26.00"	4.35
P305	297253.14	9213502.11	P305-P306	120°29'59.40"	120°43'38.45"	8.14
P306	297260.16	9213497.98	P306-P307	122°10'16.38"	122°23'55.44"	7.04
P307	297266.11	9213494.23	P307-P308	122°28'16.29"	122°41'55.35"	5.01
P308	297270.34	9213491.54	P308-P309	119°35'47.67"	119°49'26.72"	13.81
P309	297282.35	9213484.72	P309-P310	117°24'27.27"	117°38'6.33"	5.84
P310	297287.53	9213482.03	P310-P311	122°00'19.38"	122°13'58.43"	5.44
P311	297292.14	9213479.15	P311-P312	114°37'24.83"	114°51'13.89"	5.07
P312	297296.75	9213477.04	P312-P313	116°33'54.18"	116°47'33.24"	5.37
P313	297301.56	9213474.64	P313-P314	116°00'12.05"	116°13'51.10"	4.38
P314	297305.60	9213472.71	P314-P315	119°35'56.05"	120°07'35.10"	4.43
P315	297309.34	9213470.51	P315-P316	125°23'41.27"	125°37'20.32"	4.48
P316	297312.99	9213467.91	P316-P317	121°15'57.52"	122°05'36.57"	4.18
P317	297316.54	9213465.70	P317-P318	128°39'35.31"	128°53'14.36"	4.92
P318	297320.39	9213462.63	P318-P319	124°01'19.66"	124°14'48.71"	4.64
P319	297324.23	9213460.03	P319-P320	120°08'28.99"	120°22'94.04"	10.33
P320	297333.16	9213454.85	P320-P321	140°49'34.83"	141°03'13.89"	3.35
P321	297335.27	9213452.25	P321-P322	148°25'14.78"	149°38'53.84"	2.45
P322	297336.52	9213450.14	P322-P323	121°11'32.93"	121°25'11.99"	16.51
P323	297350.64	9213441.59	P323-P324	122°23'59.42"	122°37'38.48"	5.92
P324	297355.64	9213438.42	P324-P325	124°41'42.55"	124°55'21.61"	6.08
P325	297360.63	9213434.96	P325-P326	124°33'45.09"	124°47'24.14"	5.25
P326	297364.96	9213431.99	P326-P327	137°37'45.76"	135°12'48.81"	5.03
P327	297369.57	9213429.97	P327-P328	109°47'55.95"	105°13'05.01"	5.10
P328	297374.37	9213428.24	P328-P329	107°51'15.11"	108°04'40.20"	5.96
P329	297380.04	9213426.41	P329-P330	123°05'44.64"	123°19'23.70"	12.84
P330	297390.80	9213419.40	P330-P331	123°27'11.91"	123°40'50.97"	6.45
P331	297396.18	9213415.85	P331-P332	129°05'37.89"	129°19'16.95"	9.90
P332	297403.86	9213409.60	P332-P333	121°24'18.59"	121°37'57.64"	21.38

P381	297659.00	9213114.14	P381-P382	184°05'28.22"	184°18'47.27"	6.58
P382	297658.53	9213107.57	P382-P383	216°52'11.63"	217°05'50.66"	2.35
P383	297657.12	9213105.70	P383-P384	199°39'13.77"	199°52'52.82"	3.49
P384	297655.95	9213102.41	P384-P385	151°41'57.28"	151°56'33.36"	3.46
P385	297657.50	9213099.37	P385-P386	186°10'58.55"	186°24'37.60"	28.31
P386	297654.54	9213071.22	P386-P387	183°34'34.80"	183°48'13.86"	7.52
P387	297654.07	9213063.72	P387-P388	185°42'38.14"	185°58'17.19"	14.14
P388	297652.67	9213049.65	P388-P389	180°00'00.00"	180°13'39.05"	7.97
P389	297652.67	9213041.67	P389-P390	176°38'00.74"	176°51'39.80"	19.97
P390	297653.84	9213021.74	P390-P391	180°00'00.00"	180°13'39.05"	11.73
P391	297653.84	9213010.01	P391-P392	180°00'00.00"	180°13'39.05"	7.97
P392	297653.84	9213002.04	P392-P393	208°19'22.77"	208°31'41.78"	3.46
P393	297652.20	9212998.99	P393-P394	180°00'00.00"	180°13'39.05"	3.28
P394	297652.20	9212995.71	P394-P395	160°01'10.82"	160°14'39.87"	2.75
P395	297653.13	9212993.13	P395-P396	141°20'24.69"	141°34'34.74"	3.00
P396	297655.01	9212990.78	P396-P397	180°00'00.00"	180°13'39.05"	4.69
P397	297655.01	9212986.09	P397-P398	200°33'21.76"	200°47'02.82"	4.01
P398	297653.60	9212982.34	P398-P399	172°52'29.94"	173°09'09.00"	5.67
P399	297654.31	9212976.71	P399-P400	169°41'24.24"	169°55'30.30"	8.37
P400	297655.95	9212968.50	P400-P401	167°54'18.87"	168°07'57.93"	6.72
P401	297657.36	9212961.94	P401-P402	165°08'28.99"	165°22'28.04"	11.89
P402	297660.40	9212950.44	P402-P403	180°00'00.00"	180°13'39.05"	3.99
P403	297660.40	9212946.46	P403-P404	171°15'13.82"	171°28'52.87"	18.51
P404	297663.22	9212928.16	P404-P405	147°05'41.13"	147°19'20.18"	4.75
P405	297665.80	9212924.18	P405-P406	147°31'43.71"	147°45'22.76"	3.06
P406	297667.44	9212921.60	P406-P407	160°51'58.88"	161°05'37.94"	24.33
P407	297675.41	9212898.61	P407-P408	147°43'27.68"	147°57'06.73"	5.27
P408	297678.23	9212894.16	P408-P409	160°49'15.57"	161°02'54.63"	5.71
P409	297680.10	9212888.76	P409-P410	180°00'00.00"	180°13'39.05"	5.63
P410	297680.10	9212883.14	P410-P411	153°26'55.82"	153°39'44.87"	7.34
P411	297683.39	9212876.57	P411-P412	154°43'20.20"	154°56'59.25"	9.34
P412	297687.37	9212868.13	P412-P413	159°01'35.68"	159°15'14.48"	15.07
P413	297692.77	9212854.06	P413-P414	163°18'22.72"	163°31'41.78"	4.90
P414	297694.18	9212849.37	P414-P415	160°49'15.57"	161°02'54.63"	5.71
P415	297696.05	9212843.97	P415-P416	155°03'21.94"	155°17'01.00"	11.12
P416	297700.74	9212833.89	P416-P417	163°04'20.95"	163°18'01.01"	11.28
P417	297704.03	9212823.10	P417-P418	164°53'25.58"	165°07'44.58"	24.29
P418	297710.36	9212799.65	P418-P419	152°32'56.41"	152°46'35.46"	20.35
P419	297719.74	9212781.59	P419-P420	147°52'30.01"	148°06'09.06"	11.91
P420	297726.07	9212771.50	P420-P421	150°43'29.08"	150°57'08.14"	17.74
P421	297734.75	9212756.03	P421-P422	148°18'35.78"	148°32'14.81"	4.23
P422	297737.09	9212752.51	P422-P423	133°40'04.01"	133°53'43.06"	7.13
P423	297742.25	9212747.58	P423-P424	156°41'42.39"	156°55'21.45"	33.20
P424	297755.39	9212717.09	P424-P425	171°15'13.82"	171°28'52.87"	9.25
P425	297756.79	9212707.95	P425-P426	152°51'11.15"	153°04'40.20"	10.28
P426	297761.48	9212698.80	P426-P427	148°23'32.99"	148°37'12.05"	7.16
P427	297765.24	9212692.70	P427-P428	136°50'01.49"	137°04'30.45"	5.14
P428	297768.75	9212688.95	P428-P429	153°54'16.47"	154°07'55.53"	12.80

P429	297774.38	9212677.46	P429-P430	146°18'35.76"	146°32'14.81"	7.61
P430	297778.60	9212671.13	P430-P431	136°13'37.95"	136°26'47.01"	7.80
P431	297784.00	9212665.50	P431-P432	148°34'13.56"	148°47'52.62"	14.84
P432	297791.74	9212652.94	P432-P433	178°55'59.67"	179°08'47.73"	24.86
P433	297792.21	9212627.98	P433-P434	189°49'49.48"	190°02'48.54"	12.38
P434	297790.10	9212615.78	P434-P435	167°44'48.81"	167°57'45.87"	5.52
P435	297791.27	9212610.39	P435-P436	156°55'46.52"	157°09'25.57"	13.77
P436	297796.66	9212597.72	P436-P437	160°42'35.83"	160°56'14.89"	19.88
P437	297803.23	9212578.96	P437-P438	154°19'23.46"	154°33'32.52"	27.06
P438	297814.95	9212554.57	P438-P439	160°09'33.49"	160°23'12.54"	24.18
P439	297823.16	9212531.82	P439-P440	160°47'14.38"	161°00'53.44"	16.39
P440	297828.56	9212516.34	P440-P441	160°42'35.83"	160°56'14.89"	64.60
P441	297849.90	9212455.37	P441-P442	161°02'44.77"	161°16'23.82"	24.55
P442	297857.87	9212432.15	P442-P443	158°21'10.83"	158°34'49.89"	17.29
P443	297863.97	9212415.97	P443-P444	145°29'29.32"	145°43'39.37"	9.11
P444	297869.13	9212408.46	P444-P445	152°52'43.31"	153°06'22.36"	10.80
P445	297874.05	9212398.85	P445-P446	142°01'42.23"	142°15'21.28"	12.20
P446	297881.56	9212389.23	P446-P447	148°31'23.38"	148°45'24.33"	13.47
P447	297888.59	9212377.74	P447-P448	148°40'35.02"	148°54'14.07"	14.40
P448	297895.86	9212365.31	P448-P449	155°48'24.45"	155°02'35.00"	17.74
P449	297903.13	9212349.13	P449-P450	161°33'54.18"	161°47'33.24"	18.54
P450	297909.00	9212331.54	P450-P451	157°57'49.59"	158°11'28.64"	10.63
P451	297912.98	9212321.69	P451-P452	172°10'15.32"	172°23'54.38"	18.94
P452	297915.56	9212302.93	P452-P453	180°00'00.00"	180°13'39.05"	11.49
P453	297915.56	9212291.44	P453-P454	167°14'32.88"	167°28'19.94"	25.49
P454	297921.19	9212266.58	P454-P455	167°20'50.80"	167°34'29.85"	11.78
P455	297923.77	9212255.09	P455-P456	171°18'58.41"	171°32'37.46"	15.03
P456	297924.48	9212240.08	P456-P457	176°16'56.97"	176°29'46.03"	10.81
P457	297925.18	9212229.29	P457-P458	186°57'10.65"	187°10'49.70"	9.69
P458	297924.01	9212219.67	P458-P459	187°41'45.79"	187°55'24.84"	26.27
P459	297920.49	9212193.64	P459-P460	195°15'18.43"	195°28'57.48"	16.04
P460	297916.27	9212178.16	P460-P461	198°47'59.59"	199°01'38.64"	23.29
P461	297908.76	9212156.12	P461-P462	202°26'33.91"	202°40'12.97"	23.34
P462	297899.85	9212134.54	P462-P463	204°37'24.83"	204°51'31.89"	6.16
P463	297897.27	9212128.91	P463-P464	207°20'59.55"	207°34'38.61"	7.69
P464	297893.75	9212122.11	P464-P465	195°56'43.43"	196°10'22.48"	8.54
P465	297891.41	9212113.90	P465-P466	204°37'24.83"	204°51'31.89"	6.19
P466	297888.83	9212108.27	P466-P467	173°39'35.31"	173°53'14.36"	4.25
P467	297889.30	9212104.05	P467-P468	186°20'24.69"	186°34'34.74"	5.02
P468	297888.74	9212099.06	P468-P469	186°20'24.69"	186°34'34.74"	3.47
P469	297888.36	9212095.61	P469-P470	202°37'11.38"	202°50'50.44"	6.10
P470	297886.01	9212089.98	P470-P471	284°59'59.94"	285°13'38.99"	15.00
P471	297871.53	9212093.86	P471-P472	16°52'28.97"	17°06'09.02"	0.98
P472	297871.81	9212094.80	P472-P473	20°37'30.00"	20°51'19.05"	0.98
P473	297872.16	9212095.72	P473-P474	22°33'35.76"	22°47'14.81"	0.03
P474	297872.17	9212095.75	P474-P475	22°37'11.51"	22°50'50.57"	3.95
P475	297873.69	9212099.40	P475-P476	6°20'24.69"	6°34'34.74"	1.13
P476	297873.81	9212100.52	P476-P477	6°20'24.69"	6°34'34.74"	3.55

P477	297874.21	9212104.05	P477-P478	353°39'35.31"	353°53'14.36"	2.58
P478	297873.92	9212106.62	P478-P479	354°57'17.65"	355°10'56.71"	0.68
P479	297873.86	9212107.29	P479-P480	358°07'30.00"	358°21'19.05"	0.98
P480	297873.83	9212108.27	P480-P481	1°52'30.00"	2°06'09.05"	0.98
P481	297873.86	9212109.26	P481-P482	5°37'30.00"	5°51'19.05"	0.98
P482	297873.95	9212110.23	P482-P483	9°22'30.00"	9°36'09.05"	0.98
P483	297874.12	9212111.20	P483-P484	13°07'30.00"	13°21'19.05"	0.98
P484	297874.34	9212112.16	P484-P485	16°52'30.00"	17°06'09.05"	0.98
P485	297874.63	9212113.10	P485-P486	20°37'30.00"	20°51'19.05"	0.98
P486	297874.97	9212114.01	P486-P487	23°33'42.42"	23°47'21.47"	0.56
P487	297875.19	9212114.52	P487-P488	24°37'24.83"	24°51'31.89"	5.05
P488	297877.30	9212119.12	P488-P489	15°56'43.43"	16°10'22.48"	7.40
P489	297879.33	9212126.23	P489-P490	17°20'51.71"	17°34'30.77"	0.73
P490	297879.55	9212126.93	P490-P491	20°37'30.00"	20°51'19.05"	0.98
P491	297879.90	9212127.85	P491-P492	24°22'30.00"	24°36'09.05"	0.98
P492	297880.30	9212128.75	P492-P493	26°47'59.77"	27°01'38.83"	0.29
P493	297880.43	9212129.00	P493-P494	27°20'59.58"	27°34'38.61"	7.30
P494	297883.78	9212135.49	P494-P495	24°37'24.83"	24°51'31.89"	5.55
P495	297886.10	9212140.53	P495-P496	22°26'33.91"	22°40'12.97"	22.58
P496	297894.72	9212161.40	P496-P497	18°47'59.59"	19°01'38.64"	22.35
P497	297901.92	9212182.56	P497-P498	15°15'18.43"	15°28'57.48"	14.59
P498	297905.76	9212196.63	P498-P499	7°41'45.79"	7°55'24.84"	25.18
P499	297909.13	9212221.59	P499-P500	6°57'10.65"	7°10'49.70"	8.19
P500	297910.12	9212229.71	P500-P501	356°16'56.97"	356°29'46.03"	9.41
P501	297909.51	9212239.10	P501-P502	356°47'32.69"	357°01'11.74"	0.27
P502	297909.49	9212239.37	P502-P503	357°18'58.41"	357°32'37.46"	13.72
P503	297908.85	9212253.08	P503-P504	347°20'50.80"	347°34'29.85"	10.46
P504	297908.56	9212263.28	P504-P505	347°14'32.88"	347°28'11.94"	25.47
P505	297900.93	9212288.12	P505-P506	347°59'46.44"	348°13'25.50"	0.39
P506	297900.85	9212288.51	P506-P507	350°37'30.00"	350°51'19.05"	0.98
P507	297900.69	9212289.48	P507-P508	354°22'30.00"	354°36'09.05"	0.98
P508	297900.60	9212290.46	P508-P509	358°07'30.00"	358°21'19.05"	0.98
P509	297900.56	9212291.44	P509-P510	0°00'00.00"	0°13'39.05"	10.47
P510	297900.56	9212301.90	P510-P511	352°10'15.32"	352°23'54.38"	16.04
P511	297896.39	9212317.79	P511-P512	337°57'49.58"	339°51'29.64"	8.76
P512	297895.08	9212325.91	P512-P513	339°36'24.79"	339°50'35.85"	0.86
P513	297894.79	9212326.72	P513-P514	341°24'27.08"	341°38'16.51"	0.08
P514	297894.77	9212326.80	P514-P515	341°33'54.18"	341°47'33.24"	17.79
P515	297889.14	9212343.67	P515-P516	335°48'24.45"	336°02'3.50"	16.18
P516	297892.51	9212359.43	P516-P517	329°40'35.02"	329°54'14.07"	13.45
P517	297875.72	9212370.04	P517-P518	328°3'123.38"	328°45'2.43"	12.47
P518	297869.21	9212380.67	P518-P519	322°01'42.23"	322°15'21.28"	11.35
P519	297862.23	9212389.62	P519-P520	322°15'51.12"	322°29'30.17"	0.12
P520	297862.15	9212389.72	P520-P521	324°22'30.00"	324°36'09.05"	0.98
P521	297861.58	9212390.51	P521-P522	328°07'30.00"	328°21'19.05"	0.98
P522	297861.06	9212391.35	P522-P523	331°26'21.65"	331°40'07.11"	0.75
P523	297860.70	9212392.01	P523-P524	332°52'43.31"	333°06'22.36"	9.83
P524	297856.22	9212400.76	P524-P525	325°29'29.32"	325°43'38.37"	8.14

P573	297748.71	9212690.94	P573-P574	329°11'46.50"	329°25'25.55"	0.42
P574	297748.49	9212691.30	P574-P575	331°25'30.57"	331°39'63.7"	0.75
P575	297748.14	9212691.96	P575-P576	332°51'11.15"	333°04'40.20"	10.28
P576	297743.45	9212701.10	P576-P577	333°18'0.57"	333°31'39.63"	0.24
P577	297743.34	9212701.31	P577-P578	335°37'30.00"	335°51'19.05"	0.98
P578	297742.93	9212702.21	P578-P579	339°22'30.00"	339°36'09.05"	0.98
P579	297742.59	9212703.13	P579-P580	343°07'30.00"	343°21'19.05"	0.98
P580	297742.30	9212704.07	P580-P581	346°52'30.00"	347°08'09.05"	0.98
P581	297742.08	9212705.02	P581-P582	350°00'06.91"	350°13'45.96"	0.66
P582	297741.97	9212705.67	P582-P583	351°15'13.82"	351°28'52.87"	7.34
P583	297740.85	9212712.92	P583-P584	336°41'42.39"	336°56'21.45"	28.22
P584	297729.69	9212738.84	P584-P585	313°40'04.01"	313°53'43.06"	4.08
P585	297726.74	9212741.66	P585-P586	314°20'02.00"	314°33'41.06"	0.35
P586	297726.49	9212741.90	P586-P587	316°52'30.00"	317°06'09.05"	0.98
P587	297725.82	9212742.62	P587-P588	320°37'30.00"	320°51'19.05"	0.98
P588	297725.19	9212743.38	P588-P589	324°22'30.00"	324°36'09.05"	0.98
P589	297724.62	9212744.17	P589-P590	326°16'47.89"	326°30'26.95"	0.02
P590	297724.61	9212744.19	P590-P591	326°18'35.76"	326°32'14.81"	4.23
P591	297722.27	9212747.70	P591-P592	328°09'17.89"	328°22'56.93"	0.97
P592	297721.76	9212748.53	P592-P593	330°21'44.54"	330°35'23.60"	0.19
P593	297721.66	9212748.69	P593-P594	330°43'29.08"	330°57'18.14"	17.37
P594	297713.17	9212763.84	P594-P595	327°52'30.00"	328°08'09.06"	11.53
P595	297707.04	9212773.61	P595-P596	328°56'15.00"	329°09'54.06"	0.56
P596	297706.75	9212774.09	P596-P597	331°18'28.20"	331°30'07.26"	0.67
P597	297706.43	9212774.67	P597-P598	332°32'56.41"	332°46'36.46"	20.35
P598	297697.05	9212792.73	P598-P599	333°08'58.20"	333°22'37.26"	0.31
P599	297696.90	9212793.01	P599-P600	335°37'30.00"	335°51'19.05"	0.98
P600	297696.50	9212793.91	P600-P601	339°22'30.00"	339°36'09.05"	0.98
P601	297696.15	9212794.82	P601-P602	343°04'12.76"	343°17'51.82"	0.95
P602	297695.88	9212795.74	P602-P603	344°53'25.53"	345°07'45.58"	24.05
P603	297689.61	9212818.96	P603-P604	343°04'20.95"	343°18'01.11"	9.99
P604	297686.70	9212828.51	P604-P605	335°03'21.94"	335°17'11.00"	10.07
P605	297682.45	9212837.65	P605-P606	336°18'40.97"	336°30'20.03"	0.64
P606	297682.19	9212838.23	P606-P607	339°09'37.79"	339°23'10.84"	0.87
P607	297681.88	9212839.04	P607-P608	340°49'15.57"	341°02'54.63"	5.71
P608	297680.01	9212844.44	P608-P609	341°02'27.79"	341°15'46.84"	0.11
P609	297679.97	9212844.54	P609-P610	342°16'31.39"	342°30'10.41"	0.54
P610	297679.81	9212845.05	P610-P611	343°18'22.72"	343°31'41.78"	4.34
P611	297678.58	9212849.21	P611-P612	339°01'35.42"	339°15'14.48"	13.95
P612	297673.57	9212862.23	P612-P613	334°43'20.20"	334°56'59.25"	8.60
P613	297669.92	9212870.01	P613-P614	333°26'55.82"	333°39'44.87"	7.17
P614	297666.69	9212876.43	P614-P615	333°35'32.91"	333°49'11.96"	0.98
P615	297666.65	9212876.50	P615-P616	335°37'30.00"	335°51'19.05"	0.98
P616	297666.25	9212877.40	P616-P617	339°22'30.00"	339°36'09.05"	0.98
P617	297665.90	9212878.31	P617-P618	343°07'30.00"	343°21'19.05"	0.98
P618	297665.62	9212879.25	P618-P619	346°52'30.00"	347°08'09.05"	0.98
P619	297665.39	9212880.21	P619-P620	350°37'30.00"	350°51'19.05"	0.98
P620	297665.23	9212881.18	P620-P621	354°22'30.00"	354°36'09.05"	0.98

P621	297665.14	9212882.16	P621-P622	358°07'30.00"	358°21'19.05"	0.98
P622	297665.10	9212883.14	P622-P623	0°00'00.00"	0°13'39.05"	3.09
P623	297665.10	9212886.23	P623-P624	340°49'15.57"	341°02'54.63"	1.45
P624	297664.63	9212887.60	P624-P625	327°43'27.68"	327°57'17.31"	3.65
P625	297662.73	9212890.60	P625-P626	328°51'43.84"	329°05'22.89"	0.60
P626	297662.42	9212891.11	P626-P627	331°52'30.00"	332°06'09.05"	0.98
P627	297661.98	9212891.98	P627-P628	335°37'30.00"	335°51'19.05"	0.98
P628	297661.56	9212892.87	P628-P629	339°10'59.44"	339°24'38.50"	0.88
P629	297661.24	9212893.70	P629-P630	340°51'58.88"	341°05'37.94"	22.57
P630	297653.84	9212915.02	P630-P631	327°31'43.71"	327°45'22.76"	1.25
P631	297653.17	9212916.08	P631-P632	327°05'41.13"	327°19'20.18"	4.69
P632	297650.63	9212920.02	P632-P633	328°32'50.56"	328°46'29.62"	0.76
P633	297650.23	9212920.66	P633-P634	331°52'30.00"	332°06'09.05"	0.98
P634	297649.77	9212921.53	P634-P635	335°37'30.00"	335°51'19.05"	0.98
P635	297649.36	9212922.42	P635-P636	339°22'30.00"	339°36'09.05"	0.98
P636	297649.01	9212923.34	P636-P637	343°07'30.00"	343°21'19.05"	0.98
P637	297648.73	9212924.28	P637-P638	346°52'30.00"	347°08'09.05"	0.98
P638	297648.51	9212925.24	P638-P639	350°00'06.91"	350°13'45.96"	0.66
P639	297648.39	9212925.88	P639-P640	351°15'13.82"	351°28'52.87"	18.51
P640	297645.58	9212944.18	P640-P641	351°52'36.91"	352°06'15.96"	0.33
P641	297645.53	9212944.50	P641-P642	354°22'30.00"	354°36'09.05"	0.98
P642	297645.44	9212945.48	P642-P643	358°07'30.00"	358°21'19.05"	0.98
P643	297645.40	9212946.46	P643-P644	0°00'00.00"	0°13'39.05"	2.03
P644	297645.40	9212948.49	P644-P645	345°08'28.99"	345°22'08.04"	9.93
P645	297642.86	9212958.09	P645-P646	346°31'23.93"	346°45'29.99"	0.72
P646	297642.69	9212958.79	P646-P647	347°54'18.87"	348°07'57.93"	6.72
P647	297641.28	9212965.36	P647-P648	348°17'51.56"	348°31'30.61"	0.21
P648	297641.24	9212965.56	P648-P649	348°41'24.24"	348°55'33.30"	8.37
P649	297639.60	9212973.77	P649-P650	348°43'12.13"	348°56'51.18"	0.02
P650	297639.59	9212973.78	P650-P651	350°37'30.00"	350°51'19.05"	0.98
P651	297639.44	9212974.75	P651-P652	352°41'14.97"	352°54'54.02"	0.10
P652	297639.42	9212974.85	P652-P653	352°52'29.94"	353°06'09.05"	5.67
P653	297638.72	9212980.48	P653-P654	354°33'44.97"	354°47'24.02"	0.88
P654	297638.64	9212981.36	P654-P655	358°07'30.00"	358°21'19.05"	0.98
P655	297638.60	9212982.34	P655-P656	1°52'30.00"	2°06'09.05"	0.98
P656	297638.64	9212983.32	P656-P657	5°37'30.00"	5°51'19.05"	0.98
P657	297638.73	9212984.30	P657-P658	9°22'30.00"	9°36'09.05"	0.98
P658	297638.89	9212985.27	P658-P659	13°07'30.00"	13°21'19.05"	0.98
P659	297639.11	9212986.22	P659-P660	16°52'30.00"	17°06'09.05"	0.95
P660	297639.39	9212987.13	P660-P661	335°37'30.00"	335°51'19.05"	0.28
P661	297639.28	9212987.39	P661-P662	338°45'30.41"	338°59'46.06"	0.66
P662	297639.04	9212988.00	P662-P663	340°01'10.82"	340°14'39.87"	2.75
P663	297638.10	9212990.58	P663-P664	340°38'01.41"	340°51'39.46"	0.32
P664	297637.99	9212990.89	P664-P665	343°07'30.00"	343°21'19.05"	0.98
P665	297637.71	9212991.82	P665-P666	346°52'30.00"	347°08'09.05"	0.98
P666	297637.49	9212992.78	P666-P667	350°37'30.00"	350°51'19.05"	0.98
P667	297637.32	9212993.75	P667-P668	354°22'30.00"	354°36'09.05"	0.98
P668	297637.23	9212994.73	P668-P669	358°07'30.00"	358°21'19.05"	0.98

P669	297637.20	9212995.71	P669-P670	0°00'00.00"	0°13'39.05"	3.28
P670	297637.20	9212998.99	P670-P671	1°52'30.00"	2°06'09.05"	0.98
P671	297637.23	9212999.97	P671-P672	5°37'30.00"	5°51'19.05"	0.98
P672	297637.32	9213000.95	P672-P673	9°22'30.00"	9°36'09.05"	0.98
P673	297637.48	9213001.92	P673-P674	13°07'30.00"	13°21'19.05"	0.98
P674	297637.71	9213002.87	P674-P675	16°52'30.00"	17°06'09.05"	0.98
P675	297637.99	9213003.81	P675-P676	20°37'30.00"	20°51'19.05"	0.98
P676	297638.34	9213004.73	P676-P677	24°22'30.00"	24°36'09.05"	0.98
P677	297638.74	9213005.62	P677-P678	27°16'31.36"	27°30'10.41"	0.21
P678	297638.84	9213005.81	P678-P679	0°00'00.00"	0°13'39.05"	15.49
P679	297638.84	9213021.30	P679-P680	356°38'00.74"	356°51'39.80"	19.53
P680	297637.69	9213040.79	P680-P681	358°19'30.37"	358°32'39.43"	0.88
P681	297637.67	9213041.67	P681-P682	0°00'00.00"	0°13'39.05"	7.97
P682	297637.67	9213049.65	P682-P683	1°52'30.00"	2°06'09.05"	0.98
P683	297637.70	9213050.63	P683-P684	4°43'49.07"	4°57'28.12"	0.51
P684	297637.74	9213051.14	P684-P685	5°42'38.14"	5°56'17.19"	13.86
P685	297639.12	9213064.93	P685-P686	3°34'34.80"	3°48'13.86"	7.24
P686	297639.57	9213072.16	P686-P687	3°39'47.40"	3°53'26.45"	0.05
P687	297639.57	9213072.20	P687-P688	4°57'59.27"	5°11'38.33"	0.64
P688	297639.63	9213072.84	P688-P689	6°10'58.56"	6°24'37.60"	23.76
P689	297642.19	9213096.46	P689-P690	335°37'30.00"	335°51'19.05"	0.24
P690	297642.09	9213096.67	P690-P691	339°22'30.00"	339°36'09.05"	0.98
P691	297641.74	9213097.59	P691-P692	343°07'30.00"	343°21'19.05"	0.98
P692	297641.46	9213098.53	P692-P693	346°52'30.00"	347°06'09.05"	0.98
P693	297641.24	9213099.49	P693-P694	350°37'30.00"	350°51'19.05"	0.98
P694	297641.08	9213100.46	P694-P695	354°22'30.00"	354°36'09.05"	0.98
P695	297640.98	9213101.43	P695-P696	358°07'30.00"	358°21'19.05"	0.98
P696	297640.95	9213102.41	P696-P697	1°52'30.00"	2°06'09.05"	0.98
P697	297640.98	9213103.40	P697-P698	5°37'30.00"	5°51'19.05"	0.98
P698	297641.08	9213104.37	P698-P699	9°22'30.00"	9°36'09.05"	0.98
P699	297641.24	9213105.34	P699-P700	13°07'30.00"	13°21'19.05"	0.98
P700	297641.46	9213106.30	P700-P701	16°52'30.00"	17°06'09.05"	0.98
P701	297641.74	9213107.24	P701-P702	19°12'26.88"	19°25'45.94"	0.24
P702	297641.82	9213107.46	P702-P703	19°39'13.77"	19°52'52.82"	3.49
P703	297642.99	9213110.74	P703-P704	21°04'36.88"	21°18'15.94"	0.75
P704	297643.26	9213111.44	P704-P705	24°22'30.00"	24°36'09.05"	0.98
P705	297643.67	9213112.33	P705-P706	28°07'30.00"	28°21'19.05"	0.40
P706	297643.85	9213112.68	P706-P707	4°05'22.22"	4°18'47.27"	2.00
P707	297644.00	9213114.68	P707-P708	0°00'00.00"	0°13'39.05"	8.61
P708	297644.00	9213121.29	P708-P709	0°24'12.47"	0°37'51.53"	0.21
P709	297644.00	9213123.50	P709-P710	0°48'24.95"	1°02'24.00"	16.65
P710	297644.23	9213140.15	P710-P711	1°03'15.99"	1°16'55.04"	0.13
P711	297644.24	9213140.28	P711-P712	1°18'07.03"	1°31'46.08"	0.99
P712	297644.46	9213150.26	P712-P713	358°45'16.55"	358°58'55.74"	8.78
P713	297644.47	9213150.04	P713-P714	345°57'49.52"	346°12'28.58"	0.87
P714	297644.08	9213159.88	P714-P715	328°40'16.71"	328°53'55.76"	2.54
P715	297642.74	9213162.05	P715-P716	317°17'26.20"	317°31'25.25"	6.80
P716	297638.13	9213617.05	P716-P717	318°01'13.10"	318°14'52.15"	0.38

P765	297515.10	9213326.86	P765-P766	286°52'30.00"	287°06'09.05"	0.98
P766	297514.16	9213327.14	P766-P767	289°39'10.88"	289°52'49.94"	0.47
P767	297513.71	9213327.30	P767-P768	290°33'21.76"	290°47'00.82"	5.13
P768	297508.91	9213329.10	P768-P769	291°31'40.88"	291°45'19.94"	0.51
P769	297508.43	9213329.29	P769-P770	294°22'30.00"	294°36'09.05"	0.98
P770	297507.54	9213329.69	P770-P771	296°24'27.09"	296°38'09.14"	0.08
P771	297507.47	9213329.73	P771-P772	296°33'54.18"	296°47'33.24"	6.04
P772	297502.06	9213332.43	P772-P773	297°57'41.05"	298°11'20.10"	0.73
P773	297501.42	9213332.78	P773-P774	298°21'27.91"	299°36'09.97"	2.76
P774	297499.02	9213334.13	P774-P775	299°40'43.96"	299°54'23.01"	0.17
P775	297498.87	9213334.21	P775-P776	300°48'13.50"	301°01'52.56"	0.42
P776	297498.51	9213334.42	P776-P777	301°36'27.01"	301°50'06.06"	3.65
P777	297495.40	9213336.34	P777-P778	294°30'26.86"	294°44'57.11"	1.76
P778	297493.80	9213337.07	P778-P779	295°22'43.33"	295°36'22.38"	0.46
P779	297493.38	9213337.26	P779-P780	296°07'30.00"	296°21'09.05"	0.98
P780	297492.52	9213337.73	P780-P781	300°28'54.76"	300°42'33.82"	0.25
P781	297492.30	9213337.86	P781-P782	300°57'49.52"	301°11'28.58"	5.04
P782	297487.98	9213340.45	P782-P783	301°39'20.16"	301°52'59.21"	0.36
P783	297487.67	9213340.64	P783-P784	302°20'50.80"	302°34'29.85"	3.41
P784	297484.79	9213342.46	P784-P785	303°02'55.40"	303°16'34.45"	0.37
P785	297484.48	9213342.66	P785-P786	305°37'30.00"	305°51'09.05"	0.98
P786	297483.68	9213343.24	P786-P787	307°46'24.68"	308°00'03.73"	0.14
P787	297483.57	9213343.32	P787-P788	308°02'49.35"	308°16'28.41"	2.16
P788	297481.87	9213344.65	P788-P789	303°06'40.83"	303°20'19.89"	1.33
P789	297480.75	9213345.38	P789-P790	298°04'20.95"	298°18'01.01"	2.61
P790	297478.45	9213346.61	P790-P791	296°02'10.47"	296°15'49.53"	0.50
P791	297478.01	9213346.85	P791-P792	301°52'30.00"	302°06'09.05"	0.98
P792	297477.18	9213347.37	P792-P793	304°31'50.15"	304°45'29.24"	0.41
P793	297476.84	9213347.60	P793-P794	305°18'40.37"	305°32'19.42"	2.63
P794	297474.69	9213349.12	P794-P795	303°50'56.43"	304°03'45.49"	10.05
P795	297468.35	9213354.72	P795-P796	301°42'55.15"	301°56'54.20"	11.24
P796	297456.79	9213360.63	P796-P797	302°35'45.98"	302°49'25.03"	0.47
P797	297456.39	9213360.88	P797-P798	303°29'26.80"	303°43'58.86"	14.78
P798	297444.07	9213369.03	P798-P799	299°20'29.96"	299°34'09.01"	18.08
P799	297428.31	9213377.89	P799-P800	296°40'14.98"	296°53'54.03"	0.17
P800	297428.16	9213377.98	P800-P801	300°28'54.76"	300°42'33.82"	0.25
P801	297427.94	9213378.10	P801-P802	300°57'49.52"	301°11'28.58"	5.72
P802	297423.03	9213381.05	P802-P803	297°37'15.87"	297°50'54.92"	8.89
P803	297415.16	9213385.17	P803-P804	298°48'37.94"	299°02'16.99"	0.62
P804	297414.61	9213385.47	P804-P805	300°42'29.29"	300°55'48.35"	0.37
P805	297414.30	9213385.66	P805-P806	301°24'18.59"	301°37'57.64"	21.38
P806	297396.05	9213396.80	P806-P807	302°34'39.29"	302°48'18.35"	0.61
P807	297395.53	9213397.13	P807-P808	305°37'30.00"	305°51'09.05"	0.98
P808	297394.73	9213397.70	P808-P809	308°17'49.95"	308°31'28.00"	0.42
P809	297394.40	9213397.96	P809-P810	308°05'37.89"	308°19'16.95"	9.16
P810	297387.29	9213403.74	P810-P811	303°27'11.91"	303°40'50.97"	5.66
P811	297382.57	9213406.86	P811-P812	303°05'44.64"	303°19'23.70"	10.79
P812	297373.53	9213412.75	P812-P813	287°51'11.15"	288°04'40.20"	3.95

P813	297369.77	9213413.96	P813-P814	288°18'05.57"	288°31'39.63"	0.24
P814	297369.55	9213414.03	P814-P815	289°16'27.98"	289°30'07.03"	0.27
P815	297369.29	9213414.13	P815-P816	289°47'55.95"	290°01'35.01"	5.10
P816	297364.49	9213415.85	P816-P817	291°08'57.98"	291°22'37.03"	0.71
P817	297363.83	9213416.11	P817-P818	293°03'52.88"	293°17'31.94"	0.30
P818	297363.56	9213416.23	P818-P819	293°37'45.76"	293°51'24.81"	5.03
P819	297358.94	9213418.24	P819-P820	294°56'22.88"	295°10'19.94"	0.89
P820	297358.32	9213418.53	P820-P821	298°07'30.00"	298°21'09.05"	0.98
P821	297357.46	9213418.99	P821-P822	301°52'30.00"	302°06'09.05"	0.98
P822	297356.62	9213419.51	P822-P823	304°09'22.54"	304°23'01.60"	0.21
P823	297356.45	9213419.63	P823-P824	304°33'45.09"	304°47'24.14"	5.25
P824	297352.12	9213422.61	P824-P825	304°37'43.83"	304°51'22.89"	0.03
P825	297352.10	9213422.63	P825-P826	304°41'42.55"	304°55'21.61"	5.77
P826	297347.35	9213425.92	P826-P827	302°23'59.42"	302°37'38.48"	5.46
P827	297342.74	9213428.84	P827-P828	301°11'32.93"	301°25'11.99"	16.35
P828	297328.75	9213437.31	P828-P829	302°28'16.47"	302°41'55.52"	0.67
P829	297328.19	9213437.67	P829-P830	305°37'30.00"	305°51'09.05"	0.98
P830	297327.38	9213438.24	P830-P831	309°22'30.00"	309°36'09.05"	0.98
P831	297326.63	9213438.86	P831-P832	313°07'30.00"	313°21'09.05"	0.98
P832	297325.92	9213439.53	P832-P833	316°02'30.00"	317°06'09.05"	0.98
P833	297325.25	9213440.25	P833-P834	320°37'30.00"	320°51'09.05"	0.98
P834	297324.62	9213441.01	P834-P835	324°22'30.00"	324°36'09.05"	0.98
P835	297324.05	9213441.81	P835-P836	327°50'07.39"	328°03'46.45"	0.83
P836	297323.61	9213442.51	P836-P837	329°25'14.78"	329°38'53.84"	0.95
P837	297323.12	9213443.33	P837-P838	300°08'28.99"	300°22'09.04"	7.43
P838	297316.70	9213447.06	P838-P839	301°56'44.49"	302°10'23.55"	0.94
P839	297315.89	9213447.56	P839-P840	303°53'48.37"	304°06'43.88"	0.07
P840	297315.84	9213447.60	P840-P841	304°01'09.66"	304°14'48.71"	4.64
P841	297311.99	9213450.20	P841-P842	305°45'34.83"	305°59'13.88"	0.91
P842	297311.25	9213450.73	P842-P843	308°04'47.65"	308°18'26.71"	0.30
P843	297311.01	9213450.92	P843-P844	308°39'35.31"	308°53'14.36"	4.03
P844	297307.87	9213453.43	P844-P845	301°51'57.52"	302°05'36.77"	3.29
P845	297305.07	9213455.17	P845-P846	302°48'28.76"	303°02'07.81"	0.49
P846	297304.66	9213455.44	P846-P847	304°34'20.63"	304°47'59.69"	0.43
P847	297304.30	9213455.68	P847-P848	305°23'41.27"	305°37'20.32"	3.76
P848	297301.24	9213457.88	P848-P849	299°53'56.05"	300°07'35.10"	3.20
P849	297298.46	9213459.46	P849-P850	296°00'12.05"	296°13'51.10"	3.87
P850	297294.98	9213461.15	P850-P851	296°07'36.03"	296°21'15.08"	0.06
P851	297294.92	9213461.18	P851-P852	296°24'27.10"	296°38'06.15"	0.08
P852	297294.85	9213461.22	P852-P853	296°33'54.18"	296°47'33.24"	5.12
P853	297290.27	9213463.51	P853-P854	294°37'24.83"	294°51'58.89"	4.82
P854	297285.89	9213465.51	P854-P855	295°26'12.42"	295°39'51.47"	0.43
P855	297285.51	9213465.70	P855-P856	298°07'30.00"	298°21'09.05"	0.98
P856	297284.64	9213466.16	P856-P857	301°00'09.69"	301°13'48.74"	0.52
P857	297284.19	9213466.43	P857-P858	302°00'19.38"	302°13'58.43"	4.84
P858	297280.09	9213468.99	P858-P859	297°24'27.27"	297°38'39.33"	5.24
P859	297275.44	9213471.41	P859-P860	298°30'07.47"	298°43'46.53"	0.57
P860	297274.94	9213471.68	P860-P861	299°35'47.67"	299°49'26.72"	13.81

P861	297262.93	9213478.50	P861-P862	296°47'53.84"	300°01'32.89"	0.11
P862	297262.84	9213478.55	P862-P863	301°14'48.15"	302°27'47.20"	0.65
P863	297262.28	9213478.89	P863-P864	302°28'16.29"	302°41'55.35"	4.97
P864	297258.09	9213481.56	P864-P865	302°10'16.38"	302°23'55.44"	6.78
P865	297252.35	9213485.17	P865-P866	300°30'36.85"	300°44'15.91"	12.27
P866	297241.78	9213491.40	P866-P867	300°34'49.63"	300°48'28.68"	0.04
P867	297241.75	9213491.41	P867-P868	300°39'42.40"	300°52'41.46"	15.07
P868	297228.78	9213499.10	P868-P869	302°12'11.20"	302°25'40.26"	0.81
P869	297228.09	9213499.53	P869-P870	305°37'30.00"	305°51'09.05"	0.98
P870	297227.30	9213500.10	P870-P871	308°29'10.43"	308°42'49.48"	0.62
P871	297226.89	9213500.42	P871-P872	306°28'20.66"	306°41'59.91"	7.87
P872	297220.82	9213505.42	P872-P873	304°55'59.85"	305°08'48.90"	5.61
P873	297216.22	9213508.64	P873-P874	306°12'34.92"	306°26'13.98"	0.68
P874	297215.67	9213509.04	P874-P875	309°22'30.00"	309°36'09.05"	0.98
P875	297214.92	9213509.66	P875-P876	312°20'12.21"	312°33'51.26"	0.57
P876	297214.49	9213510.04	P876-P877	313°25'24.42"	313°39'03.47"	6.37
P877	297209.87	9213514.42	P877-P878	305°32'15.64"	305°45'54.69"	11.62
P878	297200.41	9213521.18	P878-P879	301°13'36.25"	301°26'45.30"	6.85
P879	297194.55	9213524.73	P879-P880	302°29'13.13"	302°42'42.18"	0.66
P880	297193.99	9213525.08	P880-P881	305°33'30.00"	305°47'09.05"	0.95
P881	297193.22	9213525.63	P881-P882	307°22'00.01"	307°35'39.06"	13.16
P882	297182.76	9213533.62	P882-P883	306°21'25.91"	306°35'49.77"	8.46
P883	297175.95	9213538.64	P883-P884	306°55'42.96"	307°09'22.01"	0.30
P884	297175.71	9213538.82	P884-P885	309°22'30.00"	309°36'09.05"	0.98
P885	297174.95	9213539.44	P885-P886	311°52'48.80"	312°06'27.86"	0.33
P886	297174.71	9213539.66	P886-P887	312°30'37.61"	312°44'16.66"	4.69
P887	297171.25	9213542.83	P887-P888	313°45'18.80"	313°58'57.86"	0.65
P888	297170.78	9213543.28	P888-P889	316°52'30.00"	317°06'09.05"	0.98
P889	297170.11	9213544.00	P889-P890	319°10'49.17"	319°24'28.22"	0.23
P890	297169.96	9213544.17	P890-P891	319°36'38.34"	319°50'17.39"	7.73
P891	297164.95	9213550.06	P891-P892	314°08'41.65"	314°22'20.70"	2.

P957	297054.97	9213652.46	P957-P958	314°59'00.00"	315°13'39.05"	5.37
P958	297051.17	9213656.26	P958-P959	302°44'8.81"	302°57'45.87"	6.38
P959	297045.80	9213659.71	P959-P960	303°14'33.41"	303°28'12.46"	0.27
P960	297045.58	9213659.86	P960-P961	305°37'30.00"	305°51'19.05"	0.98
P961	297044.78	9213660.43	P961-P962	309°22'30.00"	309°36'09.05"	0.98
P962	297044.02	9213661.05	P962-P963	313°07'30.00"	313°21'19.05"	0.98
P963	297043.31	9213661.72	P963-P964	316°20'24.94"	316°36'33.82"	0.70
P964	297042.82	9213662.23	P964-P965	317°40'31.54"	317°54'10.59"	6.12
P965	297038.70	9213666.75	P965-P966	308°51'12.15"	309°04'51.20"	3.28
P966	297036.15	9213668.81	P966-P967	310°03'06.77"	310°16'45.13"	0.63
P967	297035.67	9213669.22	P967-P968	311°48'42.47"	312°02'21.52"	0.29
P968	297035.45	9213669.41	P968-P969	312°22'24.94"	312°36'33.98"	6.81
P969	297030.41	9213674.00	P969-P970	307°47'38.19"	308°01'17.25"	4.33
P970	297026.98	9213676.66	P970-P971	298°58'53.90"	300°12'32.96"	1.32
P971	297025.85	9213677.32	P971-P972	295°51'58.88"	296°05'37.94"	2.98
P972	297023.16	9213678.62	P972-P973	296°03'29.45"	296°17'8.50"	0.10
P973	297023.07	9213678.66	P973-P974	298°07'30.00"	298°21'19.05"	0.98
P974	297022.21	9213679.13	P974-P975	301°52'30.00"	302°06'09.05"	0.98
P975	297021.37	9213679.64	P975-P976	305°37'30.00"	305°51'19.05"	0.98
P976	297020.58	9213680.22	P976-P977	309°22'30.00"	309°36'09.05"	0.98
P977	297019.82	9213680.84	P977-P978	311°07'30.00"	311°21'19.05"	0.98
P978	297019.10	9213681.51	P978-P979	316°35'23.69"	316°49'27.75"	0.83
P979	297018.53	9213682.11	P979-P980	318°10'47.39"	318°24'26.44"	0.05
P980	297018.50	9213682.15	P980-P981	298°58'53.90"	300°12'32.96"	0.48
P981	297018.08	9213682.39	P981-P982	301°51'56.95"	302°05'36.01"	0.99
P982	297017.24	9213682.91	P982-P983	305°37'30.00"	305°51'19.05"	0.98
P983	297016.44	9213683.48	P983-P984	308°20'12.58"	308°33'51.64"	0.44
P984	297016.10	9213683.75	P984-P985	309°10'25.17"	309°24'24.22"	3.10
P985	297013.70	9213685.71	P985-P986	307°18'14.21"	307°31'53.27"	1.68
P986	297012.36	9213686.73	P986-P987	302°38'39.29"	302°53'18.34"	3.84
P987	297009.12	9213688.81	P987-P988	303°12'19.64"	303°25'58.70"	0.29
P988	297008.89	9213688.96	P988-P989	305°37'30.00"	305°51'19.05"	0.98
P989	297008.08	9213689.53	P989-P990	309°22'30.00"	309°36'09.05"	0.98
P990	297007.33	9213690.16	P990-P991	312°25'35.07"	312°39'14.13"	0.62
P991	297006.87	9213690.57	P991-P992	313°36'10.15"	313°49'49.20"	5.57
P992	297002.84	9213694.41	P992-P993	314°18'5.07"	314°31'44.13"	0.37
P993	297002.58	9213694.67	P993-P994	316°52'30.00"	317°06'09.05"	0.98
P994	297001.91	9213695.39	P994-P995	320°37'30.00"	320°51'19.05"	0.98
P995	297001.28	9213696.15	P995-P996	322°32'3.11"	322°45'42.16"	0.02
P996	297001.27	9213696.16	P996-P997	322°34'6.23"	322°47'45.28"	9.80
P997	296995.32	9213703.94	P997-P998	324°24'33.11"	324°38'12.17"	0.96
P998	296994.94	9213704.72	P998-P999	328°07'30.00"	328°21'19.05"	0.98
P999	296994.24	9213705.56	P999-P1000	331°52'30.00"	332°06'09.05"	0.98
P1000	296993.78	9213706.42	P1000-P1001	335°37'30.00"	335°51'19.05"	0.98
P1001	296993.37	9213707.32	P1001-P1002	338°57'48.37"	339°11'27.43"	0.77
P1002	296993.10	9213708.03	P1002-P1003	340°25'36.75"	340°39'15.80"	2.83
P1003	296992.15	9213710.70	P1003-P1004	327°01'50.15"	327°15'29.20"	1.56
P1004	296991.30	9213712.00	P1004-P1005	320°02'32.82"	320°16'11.88"	3.06

P1005	296989.33	9213714.35	P1005-P1006	315°00'00.00"	315°13'39.05"	3.55
P1006	296986.82	9213716.86	P1006-P1007	316°16'0.41"	316°29'38.46"	0.66
P1007	296986.37	9213717.34	P1007-P1008	317°32'0.81"	317°45'58.87"	7.68
P1008	296981.18	9213723.01	P1008-P1009	318°08'30.41"	318°22'29.46"	0.32
P1009	296980.97	9213723.24	P1009-P1010	318°58'55.52"	319°12'34.57"	0.12
P1010	296980.89	9213723.34	P1010-P1011	319°12'51.04"	319°26'30.10"	5.33
P1011	296977.40	9213727.37	P1011-P1012	319°31'58.23"	319°45'58.28"	6.81
P1012	296972.23	9213731.80	P1012-P1013	304°37'26.96"	304°51'01.01"	3.40
P1013	296969.43	9213733.73	P1013-P1014	299°03'16.57"	299°16'55.63"	2.24
P1014	296967.48	9213734.82	P1014-P1015	299°31'38.29"	299°45'17.34"	0.25
P1015	296967.26	9213734.94	P1015-P1016	301°52'30.00"	302°06'09.05"	0.98
P1016	296966.43	9213735.46	P1016-P1017	305°37'30.00"	305°51'19.05"	0.98
P1017	296965.63	9213736.03	P1017-P1018	309°22'30.00"	309°36'09.05"	0.98
P1018	296964.87	9213736.65	P1018-P1019	313°07'30.00"	313°21'19.05"	0.98
P1019	296964.15	9213737.32	P1019-P1020	316°52'30.00"	317°06'09.05"	0.98
P1020	296963.48	9213738.04	P1020-P1021	320°37'30.00"	320°51'19.05"	0.98
P1021	296962.86	9213738.80	P1021-P1022	323°22'30.00"	323°36'09.05"	0.98
P1022	296962.29	9213739.59	P1022-P1023	326°53'21.85"	327°07'01.91"	0.33
P1023	296962.11	9213739.87	P1023-P1024	327°31'43.71"	327°45'52.76"	0.86
P1024	296961.64	9213740.60	P1024-P1025	314°59'00.00"	315°13'39.05"	1.75
P1025	296960.41	9213741.84	P1025-P1026	316°52'30.00"	317°06'09.05"	0.98
P1026	296959.74	9213742.55	P1026-P1027	319°36'49.26"	319°50'28.32"	0.45
P1027	296959.44	9213742.90	P1027-P1028	320°28'38.53"	320°42'17.58"	4.86
P1028	296956.35	9213746.64	P1028-P1029	319°32'15.98"	319°45'55.04"	4.17
P1029	296953.65	9213749.82	P1029-P1030	321°01'17.99"	321°14'47.04"	0.78
P1030	296953.16	9213750.42	P1030-P1031	322°48'54.19"	323°02'33.24"	0.16
P1031	296953.06	9213750.55	P1031-P1032	323°07'48.37"	323°21'12.42"	1.60
P1032	296952.10	9213751.83	P1032-P1033	309°45'29.45"	309°59'05.50"	13.11
P1033	296942.02	9213760.22	P1033-P1034	310°30'14.72"	310°43'53.78"	0.39
P1034	296941.72	9213760.47	P1034-P1035	312°43'57.32"	312°57'36.37"	0.78
P1035	296941.15	9213761.00	P1035-P1036	314°12'54.63"	314°26'33.69"	2.70
P1036	296939.21	9213762.88	P1036-P1037	297°05'43.99"	297°19'23.04"	2.38
P1037	296937.09	9213763.97	P1037-P1038	298°32'51.99"	298°46'31.05"	0.76
P1038	296936.42	9213764.33	P1038-P1039	301°52'30.00"	302°06'09.05"	0.98
P1039	296935.58	9213764.85	P1039-P1040	305°37'30.00"	305°51'19.05"	0.98
P1040	296934.79	9213765.42	P1040-P1041	309°22'30.00"	309°36'09.05"	0.98
P1041	296934.03	9213766.04	P1041-P1042	313°07'30.00"	313°21'19.05"	0.98
P1042	296933.32	9213766.72	P1042-P1043	315°27'43.28"	315°41'22.34"	0.24
P1043	296933.15	9213766.89	P1043-P1044	315°55'26.56"	316°09'05.62"	8.42
P1044	296927.29	9213772.94	P1044-P1045	316°00'95.95"	316°13'48.00"	0.04
P1045	296927.26	9213772.97	P1045-P1046	316°04'51.33"	316°18'30.38"	2.36
P1046	296925.62	9213774.67	P1046-P1047	306°39'21.99"	306°53'01.04"	3.56
P1047	296922.76	9213776.80	P1047-P1048	303°59'47.25"	304°13'26.31"	4.35
P1048	296919.15	9213779.23	P1048-P1049	301°49'38.81"	302°03'17.86"	2.99
P1049	296916.61	9213780.81	P1049-P1050	302°47'19.40"	303°00'58.46"	0.50
P1050	296916.19	9213781.08	P1050-P1051	305°37'30.00"	305°51'19.05"	0.98
P1051	296915.39	9213781.66	P1051-P1052	309°22'30.00"	309°36'09.05"	0.98
P1052	296914.63	9213782.28	P1052-P1053	312°10'13.53"	312°23'52.58"	0.48

P1053	296914.27	9213782.60	P1053-P1054	313°05'27.05"	313°19'6.11"	3.45
P1054	296911.75	9213784.96	P1054-P1055	308°17'24.59"	308°31'33.84"	1.70
P1055	296910.42	9213796.01	P1055-P1056	309°46'12.29"	309°59'51.35"	0.77
P1056	296909.83	9213796.51	P1056-P1057	313°07'30.00"	313°21'19.05"	0.98
P1057	296909.11	9213787.18	P1057-P1058	316°52'30.00"	317°06'09.05"	0.98
P1058	296908.44	9213787.89	P1058-P1059	320°37'30.00"	320°51'19.05"	0.98
P1059	296907.82	9213788.65	P1059-P1060	323°45'14.36"	323°58'53.42"	0.31
P1060	296907.63	9213788.90	P1060-P1061	304°49'28.17"	305°03'37.22"	0.04
P1061	296907.03	9213788.93	P1061-P1062	306°09'44.08"	306°23'23.13"	0.70
P1062	296907.03	9213789.34	P1062-P1063	308°29'10.43"	308°42'49.48"	0.52
P1063	296906.63	9213789.66	P1063-P1064	309°28'20.86"	309°41'59.91"	2.12
P1064	296904.99	9213791.01	P1064-P1065	310°21'40.43"	310°35'19.48"	0.47
P1065	296904.64	9213791.31	P1065-P1066	313°07'30.00"	313°21'19.05"	0.98
P1066	296903.92	9213791.98	P1066-P1067	316°52'30.00"	317°06'09.05"	0.98
P1067	296903.25	9213792.70	P1067-P1068	319°47'17.41"	320°00'56.47"	0.54
P1068	296902.90	9213793.11	P1068-P1069	320°49'34.83"	321°03'13.89"	3.29
P1069	296900.82	9213795.66	P1069-P1070	320°23'21.52"	320°37'05.88"	3.56
P1070	296898.58	9213798.40	P1070-P1071	321°26'40.76"	321°40'19.82"	0.55
P1071	296898.21	9213798.83	P1071-P1072	324°22'30.00"	324°36'09.05"	0.98
P1072	296897.64	9213799.63	P1072-P1073	328°07'30.00"	328°21'19.05"	0.98
P1073	296897.12	9213800.47	P1073-P1074	330°36'24.93"	330°53'39.92"	0.34
P1074	296896.95	9213800.77	P1074-P1075	331°18'49.87"	331°32'28.92"	5.08
P1075	296894.51	9213805.23	P1075-P1076	294°22'30.00"	294°36'09.05"	0.81
P1076	296893.78	9213805.56	P1076-P1077	298°07'30.00"	298°21'19.05"	0.98
P1077	296892.91	9213806.02	P1077-P1078	301°52'30.00"	302°06'09.05"	0.98
P1078	296892.08	9213806.54	P1078-P1079	305°37'30.00"	305°51'19.05"	0.98
P1079	296891.28	9213807.11	P1079-P1080	309°22'30.00"	309°36'09.05"	0.98
P1080	296890.52	9213807.73	P1080-P1081	313°07'30.00"	313°21'19.05"	0.98
P1081	296889.80	9213808.41	P1081-P1082	316°52'30.00"	317°06'09.05"	0.98
P1082	296889.13	9213809.12	P1082-P1083	320°37'30.00"	320°51'19.05"	0.98
P1083	296888.51	9213809.88	P1083-P1084	323°45'14.36"	323°58'53.42"	0.66
P1084	296888.12	9213810.41	P1084-P1085	325°00'27.73"	325°147.78"	1.17
P1085	296887.45	921381.37	P1085-P1086	325°37'44.36"	325°51'23.42"	0.33
P1086	296887.27	921381.64	P1086-P1087	328°07'30.00"	328°21'19.05"	0.98
P1087	296886.75	921381.47	P1087-P1088	331°52'30.00"	332°06'09.05"	0.98
P1088	296886.28	9213813.34	P1088-P1089	335°37'30.00"	335°51'19.05"	0.98
P1089	296885.88	9213814.23	P1089-P1090	337°50'57.47"	338°04'36.52"	0.18
P1090	296885.81	9213814.40	P1090-P1091	338°11'54.93"	338°25'33.96"	3.10
P1091	296884.68	9213817.28	P1091-P1092	339°43'27.46"	339°56'52.80"	0.80
P1092	296884.38	9213818.03	P1092-P1093	343°05'56.95"	343°20'36.00"	0.68
P1093	296884.18	9213818.68	P1093-P1094	290°37'30.00"	290°51'19.05"	0.80
P1094	296883.62	9213818.89	P1094-P1095	294°22'30.00"	294°36'09.05"	0.98
P1095	296882.73	9213819.30	P1095-P1096	297°48'6.22"	298°01'45.67"	0.81
P1096	296882.01	9213819.67	P1096-P1097	299°21'13.19"	299°34'52.25"	0.02
P1097	296882.00	9213819.68	P1097-P1098	284°45'55.66"	285°00'34.71"	0.02
P1098	296881.98	9213819.69	P1098-P1099	284°53'27.82"	285°07'6.87"	0.06
P1099	296881.93	9213819.70	P1099-P1100	286°52'30.00"	287°06'09.05"	0.98
P1100	296880.90	9213819.99	P1100-P1101	320°37'30.00"	320°51'19.05"	0.98

P1149	296850.46	9213863.16	P1149-P1150	313°07'30.00"	313°21'19.05"	0.98
P1150	296849.75	9213863.83	P1150-P1151	316°52'30.00"	317°09'06.00"	0.98
P1151	296849.07	9213864.55	P1151-P1152	320°37'30.00"	320°51'19.05"	0.98
P1152	296848.45	9213865.31	P1152-P1153	324°10'12.55"	324°23'51.60"	0.87
P1153	296847.94	9213866.02	P1153-P1154	325°50'25.10"	326°04'44.15"	3.25
P1154	296846.12	9213868.71	P1154-P1155	326°02'42.55"	326°16'21.61"	0.11
P1155	296846.06	9213868.80	P1155-P1156	328°07'30.00"	328°21'19.05"	0.98
P1156	296845.54	9213869.63	P1156-P1157	331°52'30.00"	332°06'09.05"	0.98
P1157	296845.07	9213870.49	P1157-P1158	335°37'30.00"	335°51'19.05"	0.98
P1158	296844.67	9213871.39	P1158-P1159	339°22'30.00"	339°36'09.05"	0.98
P1159	296844.32	9213872.31	P1159-P1160	343°07'30.00"	343°21'19.05"	0.35
P1160	296844.22	9213872.64	P1160-P1161	305°37'30.00"	305°51'19.05"	0.96
P1161	296843.44	9213873.20	P1161-P1162	309°22'30.00"	309°36'09.05"	0.98
P1162	296842.68	9213873.82	P1162-P1163	313°07'30.00"	313°21'19.05"	0.98
P1163	296841.96	9213874.50	P1163-P1164	316°52'30.00"	317°06'09.05"	0.98
P1164	296841.29	9213875.21	P1164-P1165	320°37'30.00"	320°51'19.05"	0.98
P1165	296840.67	9213875.97	P1165-P1166	324°22'30.00"	324°36'09.05"	0.98
P1166	296840.10	9213876.77	P1166-P1167	327°49'49.05"	328°03'28.12"	0.83
P1167	296839.66	9213877.47	P1167-P1168	329°24'38.15"	329°38'17.22"	0.01
P1168	296839.65	9213877.48	P1168-P1169	309°37'25.58"	309°50'41.63"	0.01
P1169	296839.64	9213877.49	P1169-P1170	310°26'13.30"	310°39'40.35"	0.43
P1170	296839.32	9213877.76	P1170-P1171	312°21'33.32"	312°34'42.37"	0.58
P1171	296838.88	9213878.15	P1171-P1172	313°27'63.32"	313°40'45.68"	2.51
P1172	296837.07	9213879.88	P1172-P1173	314°13'33.32"	314°27'12.37"	0.41
P1173	296836.78	9213880.16	P1173-P1174	316°52'30.00"	317°06'09.05"	0.98
P1174	296836.11	9213880.89	P1174-P1175	320°37'30.00"	320°51'19.05"	0.98
P1175	296835.48	9213881.64	P1175-P1176	323°48'44.41"	324°02'23.46"	0.69
P1176	296835.08	9213882.19	P1176-P1177	325°07'28.63"	325°21'17.87"	3.68
P1177	296832.97	9213885.21	P1177-P1178	308°54'34.19"	309°06'43.24"	0.55
P1178	296832.54	9213885.56	P1178-P1179	299°55'53.44"	300°09'32.50"	2.46
P1179	296830.41	9213896.79	P1179-P1180	299°44'41.57"	299°58'20.63"	3.07
P1180	296827.74	9213888.31	P1180-P1181	295°52'20.78"	300°05'59.83"	0.07
P1181	296827.68	9213888.35	P1181-P1182	301°52'30.00"	302°06'09.05"	0.98
P1182	296826.85	9213888.86	P1182-P1183	305°37'30.00"	305°51'19.05"	0.98
P1183	296826.05	9213889.44	P1183-P1184	309°22'30.00"	309°36'09.05"	0.98
P1184	296825.29	9213890.06	P1184-P1185	313°07'30.00"	313°21'19.05"	0.98
P1185	296824.58	9213890.73	P1185-P1186	315°00'00.00"	315°13'39.05"	1.99
P1186	296823.17	9213892.14	P1186-P1187	268°21'48.32"	268°35'27.38"	1.10
P1187	296822.07	9213892.11	P1187-P1188	269°10'54.16"	269°24'33.21"	0.43
P1188	296821.64	9213892.10	P1188-P1189	271°52'30.00"	272°06'09.05"	0.98
P1189	296820.66	9213892.13	P1189-P1190	275°37'30.00"	275°51'19.05"	0.98
P1190	296819.68	9213892.23	P1190-P1191	279°22'30.00"	279°36'09.05"	0.98
P1191	296818.71	9213892.39	P1191-P1192	283°07'30.00"	283°21'19.05"	0.98
P1192	296817.76	9213892.61	P1192-P1193	285°02'23.25"	285°15'42.31"	0.02
P1193	296817.74	9213892.62	P1193-P1194	285°04'56.57"	285°17'45.61"	2.59
P1194	296815.24	9213893.29	P1194-P1195	286°54'33.28"	287°08'12.33"	0.96
P1195	296814.32	9213893.57	P1195-P1196	290°37'30.00"	290°51'19.05"	0.98
P1196	296813.40	9213893.91	P1196-P1197	294°22'30.00"	294°36'09.05"	0.98

P1197	296812.51	9213894.32	P1197-P1198	298°07'30.00"	298°21'19.05"	0.98
P1198	296811.64	9213894.78	P1198-P1199	301°52'30.00"	302°06'09.05"	0.98
P1199	296810.81	9213895.30	P1199-P1200	305°37'30.00"	305°51'19.05"	0.98
P1200	296810.01	9213895.87	P1200-P1201	307°52'08.99"	308°06'39.94"	0.19
P1201	296809.86	9213895.99	P1201-P1202	308°14'17.77"	308°27'40.83"	6.19
P1202	296804.99	9213899.82	P1202-P1203	293°57'44.96"	294°11'24.01"	0.96
P1203	296804.12	9213900.21	P1203-P1204	295°06'22.48"	295°20'15.44"	0.60
P1204	296803.57	9213900.47	P1204-P1205	298°07'30.00"	298°21'19.05"	0.98
P1205	296802.71	9213900.93	P1205-P1206	301°52'30.00"	302°06'09.05"	0.98
P1206	296801.88	9213901.45	P1206-P1207	305°37'30.00"	305°51'19.05"	0.98
P1207	296801.08	9213902.02	P1207-P1208	309°22'30.00"	309°36'09.05"	0.98
P1208	296800.32	9213902.64	P1208-P1209	313°07'30.00"	313°21'19.05"	0.98
P1209	296799.60	9213903.31	P1209-P1210	316°52'30.00"	317°06'09.05"	0.98
P1210	296798.93	9213904.03	P1210-P1211	320°37'30.00"	320°51'19.05"	0.98
P1211	296798.31	9213904.79	P1211-P1212	324°22'30.00"	324°36'09.05"	0.98
P1212	296797.74	9213905.59	P1212-P1213	327°26'18.59"	327°39'57.64"	0.62
P1213	296797.40	9213906.11	P1213-P1214	328°37'37.18"	328°51'16.24"	4.61
P1214	296795.00	9213910.05	P1214-P1215	329°18'48.59"	329°32'27.65"	0.36
P1215	296794.82	9213910.36	P1215-P1216	331°52'30.00"	332°06'09.05"	0.98
P1216	296794.35	9213911.22	P1216-P1217	335°37'30.00"	335°51'19.05"	0.98
P1217	296793.95	9213912.12	P1217-P1218	339°22'30.00"	339°36'09.05"	0.98
P1218	296793.60	9213913.04	P1218-P1219	343°07'30.00"	343°21'19.05"	0.98
P1219	296793.32	9213913.98	P1219-P1220	346°52'30.00"	347°06'09.05"	0.98
P1220	296793.10	9213914.93	P1220-P1221	350°37'30.00"	350°51'19.05"	0.98
P1221	296792.94	9213915.90	P1221-P1222	354°22'30.00"	354°36'09.05"	0.98
P1222	296792.84	9213916.88	P1222-P1223	358°07'30.00"	358°21'19.05"	0.18
P1223	296792.83	9213917.05	P1223-P1224	309°22'30.00"	309°36'09.05"	0.76
P1224	296792.25	9213917.53	P1224-P1225	310°12'25.32"	312°15'43.38"	0.41
P1225	296791.95	9213917.80	P1225-P1226	312°47'50.65"	313°01'29.70"	3.53
P1226	296789.36	9213920.20	P1226-P1227	331°53'55.35"	331°07'34.38"	0.58
P1227	296788.94	9213920.60	P1227-P1228	316°52'30.00"	317°06'09.05"	0.98
P1228	296788.27	9213921.32	P1228-P1229	320°37'30.00"	320°51'19.05"	0.98
P1229	296787.65	9213922.08	P1229-P1230	324°22'30.00"	324°36'09.05"	0.98
P1230	296787.07	9213922.88	P1230-P1231	328°07'30.00"	328°21'19.05"	0.98
P1231	296786.56	9213923.71	P1231-P1232	331°17'46.36"	331°13'125.42"	0.68
P1232	296786.23	9213924.31	P1232-P1233	332°35'32.73"	332°49'11.78"	2.92
P1233	296784.88	9213926.90	P1233-P1234	333°10'16.38"	333°23'55.42"	0.30
P1234	296784.75	9213927.17	P1234-P1235	334°48'02.02"	335°01'47.08"	0.55
P1235	296784.51	9213927.67	P1235-P1236	335°51'16.05"	336°04'55.10"	2.74
P1236	296783.39	9213930.17	P1236-P1237	333°26'55.82"	333°39'44.87"	2.94
P1237	296782.08	9213932.80	P1237-P1238	319°01'41.75"	319°15'20.80"	2.30
P1238	296780.57	9213934.53	P1238-P1239	314°08'41.65"	314°22'20.70"	2.76
P1239	296778.59	9213936.45	P1239-P1240	305°20'24.39"	305°34'34.44"	5.32
P1240	296774.25	9213939.53	P1240-P1241	306°25'12.19"	306°38'51.25"	0.57
P1241	296773.80	9213940.67	P1241-P1242	309°22'30.00"	309°36'09.05"	0.98
P1242	296773.04	9213940.49	P1242-P1243	313°07'30.00"	313°21'19.05"	0.98
P1243	296772.32	9213941.16	P1243-P1244	316°52'30.00"	317°06'09.05"	0.98
P1244	296771.65	9213941.88	P1244-P1245	319°57'36.31"	320°11'15.37"	0.63

P1245	296771.24	9213942.36	P1245-P1246	321°10'12.63"	321°23'51.68"	1.96
P1246	296770.02	9213943.89	P1246-P1247	297°49'26.75"	299°03'05.80"	0.81
P1247	296769.30	9213944.27	P1247-P1248	298°54'43.37"	299°08'22.43"	0.57
P1248	296768.80	9213944.54	P1248-P1249	301°52'30.00"	302°06'09.05"	0.98
P1249	296767.97	9213945.06	P1249-P1250	305°37'30.00"	305°51'19.05"	0.98
P1250	296767.17	9213945.63	P1250-P1251	309°22'30.00"	309°36'09.05"	0.98
P1251	296766.41	9213946.25	P1251-P1252	313°07'30.00"	313°21'19.05"	0.98
P1252	296765.68	9213946.92	P1252-P1253	315°00'00.00"	315°13'39.05"	0.66
P1253	296765.23	9213947.39	P1253-P1254	299°21'27.91"	299°35'56.97"	0.11
P1254	296765.13	9213947.44	P1254-P1255	289°00'21.54"	289°140.60"	4.50
P1255	296760.88	9213948.91	P1255-P1256	265°10'18.95"	265°23'58.00"	0.03
P1256	296760.85	9213948.90	P1256-P1257	268°07'30.00"	268°21'19.05"	0.98
P1257	296759.87	9213948.87	P1257-P1258	271°52'30.00"	272°06'09.05"	0.98
P1258	296758.88	9213948.90	P1258-P1259	275°37'30.00"	275°51'19.05"	0.98
P1259	296757.92	9213949.00	P1259-P1260	279°22'30.00"	279°36'09.05"	0.98
P1260	296756.95	9213949.16	P1260-P1261	283°07'30.00"	283°21'19.05"	0.98
P1261	296755.98	9213949.38	P1261-P1262	285°02'23.25"	285°06'09.05"	0.98
P1262	296755.05	9213949.67	P1262-P1263	290°37'30.00"	290°51'19.05"	0.98
P1263	296754.13	9213950.01	P1263-P1264	294°22'30.00"	294°36'09.05"	0.98
P1264	296753.24	9213950.42	P1264-P1265	298°07'30.00"	298°21'19.05"	0.98
P1265	296752.37	9213950.88	P1265-P1266	301°52'30.00"	302°06'09.05"	0.98
P1266	296751.54	9213951.40	P1266-P1267	305°37'30.00"	305°51'19.05"	0.98
P1267	296750.74	9213951.97	P1267-P1268	308°57'46.94"	309°11'26.00"	0.77
P1268	296750.15	9213952.45	P1268-P1269	310°25'53.88"	310°39'12.94"	2.52
P1269	296748.22	9213954.09	P1269-P1270	303°41'24.24"	303°55'30.37"	1.89
P1270	296746.65	9213955.14	P1270-P1271	303°43'12.08"	303°56'51.13"	0.02
P1271	296746.64	9213955.15	P1271-P1272	305°37'30.00"	305°51'19.05"	0.98
P1272	296745.84	9213955.12	P1272-P1273	309°22'30.00"	309°36'09.05"	0.98
P1273	296745.08	9213956.34	P1273-P1274	313°07'30.00"	313°21'19.05"	0.98
P1274	296744.37	9213957.01	P1274-P1275	316°52'30.00"	317°06'09.05"	0.98
P1275	296743.70	9213957.73	P1275-P1276	320°37'30.00"	320°51'19.05"	0.98
P1276	296743.07	9213958.49	P1276-P1277	324°22'30.00"	324°36'09.05"	0.98
P1277	296742.50	9213959.28	P1277-P1278	328°07'30.00"	328°21'19.05"	0.98
P1278	296741.98	9213960.12	P1278-P1279	331°52'30.00"	332°06'09.05"	0.98
P1279	296741.52	9213960.98	P1279-P1280	335°37'30.00"	335°51'19.05"	0.98
P1280	296741.12	9213961.88	P1280-P1281	338°03'52.88"	338°17'31.94"	0.30
P1281	296741.01	9213962.15	P1281-P1282	338°47'45.78"	338°56'12.81"	2.37
P1282	296740.14	9213964.36	P1282-P1283	339°25'35.94"	339°39'15.00"	0.42
P1283	296739.98	9213964.75	P1283-P1284	340°13'26.12"	340°27'5.18"	7.78
P1284	296739.36	9213972.07	P1284-P1285	330°15'18.43"	330°28'57.48"	3.34
P1285	296735.71	9213974.97	P1285-P1286	332°00'29.21"	332°13'47.91"	0.91
P1286	296735.28	9213975.78	P1286-P1287	335°37'30.00"	335°51'19.05"	0.98
P1287	296734.87	9213976.67	P1287-P1288	338°45'30.41"	338°59'46.66"	0.66
P1288	296734.63	9213977.28	P1288-P1289	340°01'10.82"	340°14'38.87"	2.78
P1289	296733.68	9213979.90	P1289-P1290	335°30'29.16"	335°44'28.21"	8.51
P1290	296730.15	9213987.65	P1290-P1291	332°29'16.79"	332°42'58.84"	1.41
P1291	296729.50	9213988.90	P1291-P1292	326°52'30.00"	327°06'09.05"	0.72
P1292	296728.79	9213988.74	P1292-P1293	320°37'30.00"	320°51'19.05"	0.98

P1341	296687.52	9214024.21	P1341-P1342	290°37'30.00"	290°51'19.05"	0.98
P1342	296686.60	9214024.56	P1342-P1343	294°22'30.00"	294°36'09.06"	0.98
P1343	296685.71	9214024.96	P1343-P1344	298°07'30.00"	298°21'19.05"	0.98
P1344	296684.84	9214025.42	P1344-P1345	301°52'30.00"	302°06'09.05"	0.98
P1345	296684.01	9214025.94	P1345-P1346	305°37'30.00"	305°51'19.05"	0.98
P1346	296683.21	9214026.51	P1346-P1347	308°17'48.95"	308°31'28.00"	0.42
P1347	296682.88	9214026.77	P1347-P1348	309°05'37.80"	309°19'16.95"	1.98
P1348	296681.35	9214028.02	P1348-P1349	310°10'18.95"	310°23'58.00"	0.56
P1349	296680.92	9214028.39	P1349-P1350	313°07'30.00"	313°21'19.05"	0.98
P1350	296680.20	9214029.06	P1350-P1351	316°52'30.00"	317°06'09.05"	0.98
P1351	296679.53	9214029.77	P1351-P1352	320°37'30.00"	320°51'19.05"	0.98
P1352	296678.91	9214030.53	P1352-P1353	324°22'30.00"	324°36'09.05"	0.98
P1353	296678.33	9214031.33	P1353-P1354	326°42'38.62"	326°56'17.68"	0.24
P1354	296678.20	9214031.53	P1354-P1355	327°10'17.25"	327°23'56.30"	3.54
P1355	296676.28	9214034.51	P1355-P1356	328°35'58.62"	328°48'47.68"	0.74
P1356	296675.89	9214035.14	P1356-P1357	331°52'30.00"	332°06'09.05"	0.98
P1357	296675.43	9214036.01	P1357-P1358	335°37'30.00"	335°51'19.05"	0.98
P1358	296675.03	9214036.90	P1358-P1359	338°58'54.02"	339°12'33.08"	0.78
P1359	296674.75	9214037.62	P1359-P1360	340°27'48.04"	340°41'27.10"	2.36
P1360	296673.96	9214039.85	P1360-P1361	334°20'51.31"	334°33'44.37"	7.40
P1361	296670.75	9214046.52	P1361-P1362	334°26'58.63"	334°39'47.69"	0.05
P1362	296670.73	9214046.57	P1362-P1363	334°32'11.96"	334°35'41.01"	2.25
P1363	296669.76	9214048.60	P1363-P1364	317°43'34.72"	317°57'13.77"	0.57
P1364	296669.38	9214049.02	P1364-P1365	317°12'29.35"	317°25'48.41"	3.47
P1365	296667.02	9214051.57	P1365-P1366	317°58'34.68"	318°12'13.73"	0.41
P1366	296666.75	9214051.87	P1366-P1367	320°37'30.00"	320°51'19.05"	0.98
P1367	296666.13	9214052.63	P1367-P1368	324°22'30.00"	324°36'09.05"	0.98
P1368	296665.56	9214053.42	P1368-P1369	328°07'30.00"	328°21'19.05"	0.98
P1369	296665.04	9214054.26	P1369-P1370	331°22'55.44"	331°36'34.50"	0.47
P1370	296664.82	9214054.67	P1370-P1371	296°33'54.19"	296°47'33.24"	0.89
P1371	296664.02	9214055.08	P1371-P1372	298°16'57.09"	298°30'36.15"	0.90
P1372	296663.23	9214055.49	P1372-P1373	301°52'30.00"	302°06'09.05"	0.98
P1373	296662.40	9214056.01	P1373-P1374	305°37'30.00"	305°51'19.05"	0.98
P1374	296661.60	9214056.58	P1374-P1375	309°22'30.00"	309°36'09.05"	0.98
P1375	296660.84	9214057.20	P1375-P1376	313°07'30.00"	313°21'19.05"	0.98
P1376	296660.12	9214057.87	P1376-P1377	316°52'30.00"	317°06'09.05"	0.98
P1377	296659.45	9214058.59	P1377-P1378	320°37'30.00"	320°51'19.05"	0.98
P1378	296658.83	9214059.35	P1378-P1379	324°22'30.00"	324°36'09.05"	0.98
P1379	296658.26	9214060.15	P1379-P1380	328°07'30.00"	328°21'19.05"	0.98
P1380	296657.74	9214060.98	P1380-P1381	330°40'27.20"	330°54'46.25"	0.35
P1381	296657.57	9214061.29	P1381-P1382	331°20'54.47"	331°34'33.53"	0.01
P1382	296657.56	9214061.29	P1382-P1383	299°35'54.76"	299°49'33.62"	0.01
P1383	296657.56	9214061.30	P1383-P1384	299°47'57.43"	300°01'36.49"	0.11
P1384	296657.47	9214061.35	P1384-P1385	301°19'20.35"	301°32'59.41"	0.69
P1385	296656.87	9214061.71	P1385-P1386	302°38'40.70"	302°52'19.76"	7.10
P1386	296656.80	9214065.54	P1386-P1387	301°08'20.30"	301°21'59.36"	5.19
P1387	296646.45	9214068.23	P1387-P1388	302°26'40.15"	302°40'19.20"	0.68
P1388	296645.87	9214068.59	P1388-P1389	305°37'30.00"	305°51'19.06"	0.98

P1389	296645.08	9214069.16	P1389-P1390	308°39'10.03"	308°52'48.08"	0.60
P1390	296644.60	9214069.54	P1390-P1391	309°48'20.06"	310°01'59.11"	3.75
P1391	296644.72	9214071.94	P1391-P1392	310°31'40.03"	310°45'19.08"	0.98
P1392	296644.43	9214072.19	P1392-P1393	313°07'30.00"	313°21'19.05"	0.98
P1393	296640.72	9214072.86	P1393-P1394	315°00'00.00"	315°13'39.05"	1.49
P1394	296639.67	9214073.91	P1394-P1395	301°32'25.25"	301°45'44.31"	3.19
P1395	296636.95	9214075.58	P1395-P1396	302°38'32.63"	302°52'11.68"	0.58
P1396	296636.46	9214075.89	P1396-P1397	305°37'30.00"	305°51'19.05"	0.98
P1397	296635.66	9214076.47	P1397-P1398	309°22'30.00"	309°36'09.05"	0.98
P1398	296634.90	9214077.09	P1398-P1399	312°38'22.16"	312°52'11.22"	0.73
P1399	296634.37	9214077.58	P1399-P1400	314°01'44.32"	314°15'23.38"	4.01
P1400	296631.49	9214080.37	P1400-P1401	314°50'52.33"	314°00'11.38"	0.25
P1401	296631.30	9214080.54	P1401-P1402	316°52'30.00"	317°06'09.05"	0.98
P1402	296630.63	9214081.26	P1402-P1403	319°04'27.67"	319°18'6.73"	0.17
P1403	296630.52	9214081.39	P1403-P1404	319°23'55.34"	319°37'34.39"	2.39
P1404	296628.97	9214083.20	P1404-P1405	310°36'4.66"	310°49'43.72"	0.62
P1405	296628.50	9214083.60	P1405-P1406	310°55'32.33"	311°00'11.38"	0.17
P1406	296628.37	9214083.72	P1406-P1407	313°07'30.00"	313°21'19.05"	0.98
P1407	296627.65	9214084.39	P1407-P1408	316°52'30.00"	317°06'09.05"	0.98
P1408	296626.98	9214085.10	P1408-P1409	320°37'30.00"	320°51'19.05"	0.98
P1409	296626.36	9214085.68	P1409-P1410	323°14'10.73"	323°27'49.78"	0.39
P1410	296626.13	9214086.17	P1410-P1411	324°12'0.51"	324°12'0.51"	3.92
P1411	296623.82	9214089.34	P1411-P1412	325°06'40.73"	325°20'19.78"	0.60
P1412	296623.48	9214089.83	P1412-P1413	326°47'40.36"	327°01'19.41"	0.29
P1413	296623.33	9214090.07	P1413-P1414	327°20'20.71"	327°33'59.77"	3.26
P1414	296621.57	9214092.81	P1414-P1415	318°14'22.92"	318°28'1.98"	2.41
P1415	296619.96	9214094.61	P1415-P1416	318°29'41.66"	318°43'20.51"	0.13
P1416	296619.87	9214094.71	P1416-P1417	320°37'30.00"	320°51'19.05"	0.98
P1417	296619.25	9214095.47	P1417-P1418	323°28'52.18"	323°42'31.23"	0.51
P1418	296618.95	9214095.88	P1418-P1419	324°12'44.36"	324°12'44.36"	3.31
P1419	296617.03	9214098.57	P1419-P1420	325°21'22.18"	325°35'1.23"	0.47
P1420	296616.76	9214098.98	P1420-P1421	326°47'40.36"	327°01'19.41"	0.29
P1421	296616.60	9214099.19	P1421-P1422	327°20'20.71"	327°33'59.77"	4.45
P1422	296614.20	9214102.94	P1422-P1423	328°40'10.36"	328°53'49.41"	0.70
P1423	296613.84	9214103.54	P1423-P1424	331°52'30.00"	332°06'09.05"	0.98
P1424	296613.38	9214104.40	P1424-P1425	335°37'30.00"	335°51'19.05"	0.98
P1425	296612.97	9214105.30	P1425-P1426	339°22'30.00"	339°36'09.05"	0.98
P1426	296612.63	9214106.21	P1426-P1427	341°56'52.76"	342°10'31.81"	0.37
P1427	296612.51	9214106.58	P1427-P1428	342°38'45.51"	342°52'24.57"	5.84
P1428	296610.77	9214112.14	P1428-P1429	320°02'32.82"	320°16'11.88"	3.67
P1429	296608.42	9214114.95	P1429-P1430	321°16'16.41"	321°29'55.47"	0.64
P1430	296608.01	9214115.45	P1430-P1431	322°57'48.65"	323°11'21.60"	0.24
P1431	296607.87	9214115.64	P1431-P1432	323°25'37.09"	323°39'16.14"	3.71
P1432	296605.66	9214118.62	P1432-P1433	324°50'18.54"	325°03'57.60"	0.74
P1433	296605.23	9214119.22	P1433-P1434	326°57'4.60"	327°10'43.68"	0.37
P1434	296605.03	9214119.53	P1434-P1435	327°39'9.20"	327°52'48.26"	6.67
P1435	296601.46	9214121.17	P1435-P1436	328°28'55.17"	328°42'34.22"	8.31
P1436	296596.88	9214132.08	P1436-P1437	323°19'32.34"	323°33'11.40"	5.22

P1437	296593.76	9214136.27	P1437-P1438	323°56'23.89"	324°1'02.95"	0.32
P1438	296593.57	9214136.53	P1438-P1439	324°33'15.44"	324°46'54.50"	6.96
P1439	296589.54	9214142.20	P1439-P1440	325°24'47.72"	325°37'46.78"	0.44
P1440	296589.29	9214142.57	P1440-P1441	326°40'20.56"	326°53'59.62"	0.22
P1441	296589.16	9214142.75	P1441-P1442	327°05'41.13"	327°19'20.18"	5.17
P1442	296588.36	9214147.09	P1442-P1443	322°00'4.58"	322°13'43.62"	2.45
P1443	296584.85	9214149.02	P1443-P1444	316°02'29.86"	316°16'8.91"	6.69
P1444	296580.20	9214153.84	P1444-P1445	317°23'44.93"	317°37'23.98"	0.71
P1445	296579.72	9214154.36	P1445-P1446	320°37'30.00"	320°51'19.05"	0.98
P1446	296579.10	9214155.12	P1446-P1447	324°22'30.00"	324°36'09.05"	0.98
P1447	296578.53	9214155.92	P1447-P1448	327°31'29.07"	327°45'8.13"	0.67
P1448	296578.17	9214156.48	P1448-P1449	328°47'58.15"	329°01'37.20"	6.16
P1449	296574.98	9214161.75	P1449-P1450	314°59'00.00"	315°13'39.05"	3.69
P1450	296572.37	9214164.36	P1450-P1451	309°20'25.87"	309°34'44.92"	6.84
P1451	296567.08	9214168.69	P1451-P1452	310°17'42.93"	310°31'21.99"	0.50
P1452	296566.70	9214169.02	P1452-P1453	313°07'30.00"	313°21'19.05"	0.98
P1453	296566.95	9214169.69	P1453-P1454	316°52'30.00"	317°06'09.05"	0.98
P1454	296565.31	9214170.40	P1454-P1455	320°37'30.00"	320°51'19.05"	0.98
P1455	296564.69	9214171.16	P1455-P1456	322°32'50.37"	322°46'29.42"	0.02
P1456	296564.67	9214171.18	P1456-P1457	322°35'40.72"	322°49'19.77"	4.11
P1457	296562.18	9214174.45	P1457-P1458	324°25'20.36"	324°38'59.41"	0.96
P1458	296561.62	9214175.23	P1458-P1459	326°32'28.68"	326°45'47.73"	0.15
P1459	296561.54	9214175.35	P1459-P1460	326°49'17.36"	327°02'56.41"	1.13
P1460	296560.92	9214176.29	P1460-P1461	312°41'33.46"	312°55'12.51"	13.22
P1461	296551.21	9214185.26	P1461-P1462	313°50'46.73"	314°04'25.78"	0.60
P1462	296550.77	9214185.68	P1462-P1463	316°52'30.00"	317°06'09.05"	0.98
P1463	296550.10	9214186.39	P1463-P1464	320°37'30.00"	320°51'19.05"	0.98
P1464	296549.48	9214187.15	P1464-P1465	323°14'10.73"	323°27'49.78"	0.99
P1465	296549.25	9214187.46	P1465-P1466	325°59'21.46"	324°1'20.51"	3.97
P1466	296548.91	9214190.67	P1466-P1467	323°47'48.37"	323°1'27.42"	4.39
P1467	296544.27	9214194.19	P1467-P1468	323°26'17.28"	323°39'56.33"	0.16
P1468	296544.18	9214194.32	P1468-P1469	323°44'46.18"	323°56'25.24"	5.36
P1469	296541.01	9214198.64	P1469-P1470	322°00'4.58"	322°13'43.62"	5.87
P1470	296537.40	9214203.26	P1470-P1471	322°15'2.28"	322°28'14.34"	0.13
P1471	296537.32	9214203.36	P1471-P1472	324°22'30.00"	324°36'09.05"	0.98
P1472	296536.75	9214204.16	P1472-P1473	326°16'47.84"	326°30'26.90"	0.02
P1473	296536.74	9214204.17	P1473-P1474	326°18'35.76"	326°32'04.81"	5.11
P1474	296533.91	9214208.42	P1474-P1475	319°50'38.40"	320°14'47.16"	3.15
P1475	296531.88	9214210.82	P1475-P1476	302°28'16.29"	302°41'55.35"	5.54
P1476	296527.21	9214213.80	P1476-P1477	303°06'38.15"	303°20'17.20"	0.33
P1477	296526.93	9214213.98	P1477-P1478	305°37'30.00"	305°51'19.05"	0.98
P1478	296526.13	9214214.55	P1478-P1479	309°22'30.00"	309°36'09.05"	0.98
P1479	296525.37	9214215.17	P1479-P1480	312°24'32.23"	312°38'11.28"	0.61
P1480	296524.92	9214215.58	P1480-P1481	313°34'44.51"	313°47'54.51"	8.49
P1481	296518.77	9214221.44	P1481-P1482	314°17'2.23"	314°30'41.28"	0.37
P1482	296518.50	9214221.70	P1482-P1483	316°52'30.00"	317°06'09.05"	0.98
P1483	296517.81	9214222.42	P1483-P1484	320°37'30.00"	320°51'19.05"	0.98
P1484	296517.03	9214223.17	P1484-P1485	324°06'23.68"	324°20'2.68"	0.84

P1533	296412.47	9214379.03	P1533-P1534	327*47'58.80"	328*01'37.85"	0.81
P1534	296412.04	9214379.72	P1534-P1535	329*20'57.60"	329*34'38.65"	7.36
P1535	296408.28	9214386.05	P1535-P1536	329*40'28.80"	329*54'47.85"	0.17
P1536	296408.20	9214386.19	P1536-P1537	331*52'30.00"	332*00'09.05"	0.98
P1537	296407.44	9214387.06	P1537-P1538	335*37'30.00"	335*51'19.05"	0.98
P1538	296407.33	9214387.95	P1538-P1539	339*12'11.71"	339*25'50.77"	0.89
P1539	296407.01	9214388.79	P1539-P1540	340*54'23.43"	341*08'24.43"	8.45
P1540	296404.90	9214394.89	P1540-P1541	341*04'41.72"	341*18'20.77"	0.09
P1541	296404.87	9214394.97	P1541-P1542	342*04'25.09"	342*18'44.14"	0.43
P1542	296404.74	9214395.38	P1542-P1543	342*53'50.18"	343*07'29.23"	10.57
P1543	296401.63	9214405.49	P1543-P1544	326*18'35.76"	326*32'14.81"	3.73
P1544	296399.56	9214408.59	P1544-P1545	327*21'14.37"	327*34'43.43"	0.56
P1545	296399.27	9214409.05	P1545-P1546	328*23'32.99"	328*37'12.05"	7.02
P1546	296395.58	9214415.03	P1546-P1547	327*20'20.71"	327*33'59.77"	9.38
P1547	296390.53	9214422.92	P1547-P1548	317*02'43.47"	317*16'22.52"	7.94
P1548	296385.12	9214428.74	P1548-P1549	317*53'51.74"	318*07'30.79"	0.45
P1549	296384.82	9214429.07	P1549-P1550	320*37'30.00"	320*51'19.05"	0.98
P1550	296384.19	9214429.83	P1550-P1551	324*22'30.00"	324*38'09.05"	0.98
P1551	296383.62	9214430.62	P1551-P1552	328*07'30.00"	328*21'19.05"	0.98
P1552	296383.10	9214431.46	P1552-P1553	331*52'30.00"	332*00'09.05"	0.98
P1553	296382.64	9214432.32	P1553-P1554	334*36'54.64"	334*50'33.70"	0.45
P1554	296382.45	9214432.73	P1554-P1555	335*28'49.29"	335*42'28.49"	14.21
P1555	296376.55	9214445.66	P1555-P1556	331*46'57.52"	332*00'36.57"	10.10
P1556	296371.77	9214454.56	P1556-P1557	329*18'01.00"	329*31'40.05"	8.23
P1557	296367.57	9214461.64	P1557-P1558	327*59'40.62"	328*13'19.67"	15.32
P1558	296359.45	9214474.63	P1558-P1559	328*59'50.31"	329*13'29.36"	0.52
P1559	296359.18	9214475.08	P1559-P1560	331*02'30.00"	331*09'09.05"	0.98
P1560	296358.72	9214475.94	P1560-P1561	335*37'30.00"	335*51'19.05"	0.98
P1561	296358.32	9214476.84	P1561-P1562	338*10'09.73"	338*23'48.79"	0.35
P1562	296358.18	9214477.16	P1562-P1563	338*50'19.48"	339*03'58.52"	14.47
P1563	296352.98	9214490.65	P1563-P1564	330*15'18.43"	330*28'57.48"	10.22
P1564	296347.88	9214499.53	P1564-P1565	332*01'18.73"	332*14'57.79"	0.92
P1565	296347.48	9214500.34	P1565-P1566	333*47'19.04"	334*00'58.00"	16.99
P1566	296339.95	9214515.59	P1566-P1567	334*47'51.74"	335*01'30.80"	0.53
P1567	296339.73	9214516.07	P1567-P1568	335*48'24.45"	336*02'33.50"	17.74
P1568	296332.46	9214532.25	P1568-P1569	336*38'12.22"	336*52'51.28"	0.44
P1569	296332.28	9214532.65	P1569-P1570	338*01'29.00"	338*15'18.17"	0.51
P1570	296332.10	9214533.13	P1570-P1571	339*26'38.24"	339*40'17.29"	24.05
P1571	296323.65	9214555.64	P1571-P1572	340*20'49.12"	340*34'28.17"	0.47
P1572	296323.48	9214556.09	P1572-P1573	342*41'43.14"	342*55'22.20"	0.76
P1573	296323.27	9214556.81	P1573-P1574	344*08'26.68"	344*22'35.34"	18.90
P1574	296318.11	9214574.99	P1574-P1575	342*46'56.67"	342*59'35.72"	2.32
P1575	296316.77	9214576.88	P1575-P1576	325*30'58.33"	325*44'37.39"	0.38
P1576	296316.55	9214577.20	P1576-P1577	328*07'30.00"	328*21'19.05"	0.98
P1577	296316.03	9214578.03	P1577-P1578	331*52'30.00"	332*00'09.05"	0.98
P1578	296315.57	9214578.90	P1578-P1579	335*37'30.00"	335*51'19.05"	0.98
P1579	296315.16	9214579.79	P1579-P1580	338*30'23.37"	338*44'42.43"	0.53
P1580	296314.97	9214580.28	P1580-P1581	339*30'46.75"	339*44'42.80"	22.70

P1581	296307.03	9214601.55	P1581-P1582	338*52'31.01"	339*06'10.07"	21.93
P1582	296299.12	9214622.01	P1582-P1583	338*03'41.47"	338*17'20.52"	18.10
P1583	296292.36	9214638.79	P1583-P1584	339*15'44.78"	339*29'23.81"	0.63
P1584	296292.14	9214639.38	P1584-P1585	340*27'48.04"	340*41'12.10"	22.43
P1585	296284.63	9214680.52	P1585-P1586	335*02'13.96"	335*15'53.01"	14.29
P1586	296278.60	9214673.48	P1586-P1587	336*16'58.98"	336*29'46.03"	0.64
P1587	296278.34	9214674.07	P1587-P1588	338*10'09.73"	338*23'48.79"	0.35
P1588	296278.21	9214674.40	P1588-P1589	338*50'19.48"	339*03'58.52"	15.59
P1589	296272.58	9214688.94	P1589-P1590	339*25'40.14"	339*39'19.19"	0.31
P1590	296272.48	9214689.23	P1590-P1591	340*01'10.82"	340*14'38.87"	16.47
P1591	296268.85	9214704.70	P1591-P1592	340*38'04.11"	340*51'38.46"	0.32
P1592	296266.74	9214705.01	P1592-P1593	342*39'38.29"	342*52'47.34"	0.73
P1593	296266.52	9214705.71	P1593-P1594	344*03'16.57"	344*16'55.63"	20.49
P1594	296260.89	9214725.41	P1594-P1595	344*31'38.29"	344*45'17.34"	0.25
P1595	296260.83	9214725.65	P1595-P1596	345*11'22.42"	345*25'14.48"	0.10
P1596	296260.80	9214725.74	P1596-P1597	345*22'44.85"	345*36'23.91"	15.63
P1597	296256.86	9214740.87	P1597-P1598	337*02'10.48"	337*15'49.47"	12.22
P1598	296252.09	9214752.12	P1598-P1599	323*58'21.46"	324*12'05.11"	4.66
P1599	296249.35	9214755.89	P1599-P1600	324*41'24.61"	324*55'36.66"	0.38
P1600	296249.13	9214756.19	P1600-P1601	325*32'27.76"	325*38'36.82"	8.26
P1601	296244.44	9214762.99	P1601-P1602	325*49'43.88"	326*03'22.93"	0.22
P1602	296244.32	9214763.18	P1602-P1603	327*38'35.24"	327*52'14.29"	0.73
P1603	296243.93	9214763.79	P1603-P1604	329*02'10.48"	329*15'49.53"	15.04
P1604	296236.19	9214776.69	P1604-P1605	329*31'52.24"	329*44'44.29"	0.25
P1605	296236.06	9214776.91	P1605-P1606	331*52'30.00"	332*00'09.05"	0.98
P1606	296235.60	9214777.77	P1606-P1607	334*31'25.63"	334*45'48.68"	0.41
P1607	296235.42	9214778.14	P1607-P1608	335*17'51.25"	335*31'30.31"	12.06
P1608	296230.38	9214789.10	P1608-P1609	328*50'26.50"	329*04'55.66"	8.85
P1609	296225.80	9214796.68	P1609-P1610	313*01'30.24"	313*15'59.29"	5.99
P1610	296221.42	9214800.76	P1610-P1611	301*13'36.25"	301*26'45.30"	7.05
P1611	296215.39	9214804.42	P1611-P1612	297*49'26.75"	298*03'05.80"	9.10
P1612	296207.34	9214808.67	P1612-P1613	298*54'43.37"	299*08'22.43"	0.57
P1613	296206.84	9214808.94	P1613-P1614	301*52'30.00"	302*00'09.05"	0.98
P1614	296206.01	9214809.48	P1614-P1615	304*54'46.82"	305*08'25.88"	0.61
P1615	296205.51	9214809.81	P1615-P1616	306*04'33.64"	306*18'12.70"	20.31
P1616	296189.09	9214821.77	P1616-P1617	306*47'16.82"	307*00'55.88"	0.37
P1617	296188.79	9214821.99	P1617-P1618	309*22'30.00"	309*36'09.05"	0.98
P1618	296188.03	9214822.62	P1618-P1619	311*17'56.00"	311*31'36.08"	0.03
P1619	296188.01	9214822.63	P1619-P1620	311*20'52.00"	311*34'31.05"	5.17
P1620	296184.13	9214826.05	P1620-P1621	291*24'46.69"	291*38'25.74"	10.12
P1621	296174.71	9214829.75	P1621-P1622	290*43'32.01"	290*55'11.07"	17.89
P1622	296157.97	9214836.08	P1622-P1623	286*20'09.75"	286*33'48.81"	11.94
P1623	296146.51	9214839.44	P1623-P1624	273*43'53.03"	273*57'32.08"	9.15
P1624	296137.38	9214840.03	P1624-P1625	275*38'56.51"	275*50'35.57"	0.99
P1625	296136.40	9214840.13	P1625-P1626	279*22'30.00"	279*39'09.05"	0.98
P1626	296135.43	9214840.29	P1626-P1627	283*07'30.00"	283*21'19.05"	0.98
P1627	296134.47	9214840.51	P1627-P1628	286*04'32.91"	286*58'41.96"	0.90
P1628	296133.61	9214840.77	P1628-P1629	288*26'58.82"	288*39'44.87"	5.17

P1629	296128.71	9214842.41	P1629-P1630	265°54'51.78"	266°08'30.83"	6.89
P1630	296121.83	9214841.91	P1630-P1631	266°04'55.88"	266°18'34.94"	0.09
P1631	296121.75	9214841.91	P1631-P1632	268°07'30.00"	268°21'19.05"	0.98
P1632	296120.77	9214841.88	P1632-P1633	271°52'30.00"	272°06'09.05"	0.98
P1633	296119.78	9214841.91	P1633-P1634	275°37'30.00"	275°51'19.05"	0.98
P1634	296118.81	9214842.00	P1634-P1635	279°22'30.00"	279°36'09.05"	0.98
P1635	296117.84	9214842.16	P1635-P1636	281°45'26.59"	281°59'55.65"	0.27
P1636	296117.58	9214842.22	P1636-P1637	282°15'53.19"	282°29'32.24"	4.65
P1637	296113.03	9214843.21	P1637-P1638	275°37'50.48"	275°51'29.51"	15.75
P1638	296097.36	9214844.75	P1638-P1639	274°45'49.11"	274°59'28.16"	6.45
P1639	296090.93	9214845.29	P1639-P1640	260°16'20.72"	260°29'59.77"	2.16
P1640	296088.80	9214844.92	P1640-P1641	228°34'34.80"	228°48'13.86"	1.06
P1641	296088.01	9214844.22	P1641-P1642	228°39'47.40"	228°53'26.45"	0.05
P1642	296087.97	9214844.19	P1642-P1643	230°37'30.00"	230°51'19.05"	0.98
P1643	296087.21	9214843.57	P1643-P1644	234°22'30.00"	234°36'09.05"	0.98
P1644	296086.42	9214843.00	P1644-P1645	238°07'30.00"	238°21'19.05"	0.98
P1645	296085.58	9214842.48	P1645-P1646	241°52'30.00"	242°06'09.05"	0.98
P1646	296084.72	9214842.02	P1646-P1647	245°37'30.00"	245°51'19.05"	0.98
P1647	296083.82	9214841.61	P1647-P1648	249°22'30.00"	249°36'09.05"	0.98
P1648	296082.90	9214841.27	P1648-P1649	253°07'30.00"	253°21'19.05"	0.98
P1649	296081.96	9214840.98	P1649-P1650	256°52'30.00"	257°06'09.05"	0.98
P1650	296081.01	9214840.76	P1650-P1651	259°07'45.34"	259°21'24.40"	0.20
P1651	296080.81	9214840.72	P1651-P1652	259°30'30.68"	259°44'49.74"	6.44
P1652	296074.48	9214839.55	P1652-P1653	260°41'12.16"	260°55'20.21"	0.62
P1653	296073.87	9214839.45	P1653-P1654	261°52'11.63"	262°05'50.69"	7.92
P1654	296066.03	9214838.33	P1654-P1655	259°02'45.37"	259°16'24.43"	7.04
P1655	296059.12	9214838.99	P1655-P1656	260°46'22.69"	261°00'17.74"	0.90
P1656	296058.23	9214838.85	P1656-P1657	264°22'30.00"	264°36'09.05"	0.98
P1657	296057.25	9214838.75	P1657-P1658	268°07'30.00"	268°21'19.05"	0.98
P1658	296056.27	9214838.72	P1658-P1659	271°52'30.00"	272°06'09.05"	0.98
P1659	296055.29	9214838.75	P1659-P1660	275°37'30.00"	275°51'19.05"	0.98
P1660	296054.31	9214838.85	P1660-P1661	279°22'30.00"	279°36'09.05"	0.98
P1661	296053.35	9214837.00	P1661-P1662	281°16'47.85"	281°30'26.91"	0.02
P1662	296053.33	9214837.01	P1662-P1663	281°18'35.76"	281°32'14.81"	2.32
P1663	296051.06	9214837.46	P1663-P1664	284°25'58.18"	284°39'37.24"	4.17
P1664	296047.26	9214835.73	P1664-P1665	286°27'59.09"	286°41'38.15"	0.54
P1665	296046.77	9214835.51	P1665-P1666	289°14'13.91"	289°27'52.96"	0.91
P1666	296045.92	9214835.19	P1666-P1667	290°58'27.82"	291°12'26.87"	5.51
P1667	296040.71	9214833.40	P1667-P1668	238°09'48.24"	238°21'41.53"	0.53
P1668	296033.47	9214828.89	P1668-P1669	239°04'21.48"	239°17'40.30"	0.49
P1669	296033.05	9214828.64	P1669-P1670	241°52'30.00"	242°06'09.05"	0.98
P1670	296032.18	9214828.18	P1670-P1671	245°37'30.00"	245°51'19.05"	0.98
P1671	296031.29	9214827.77	P1671-P1672	249°22'30.00"	249°36'09.05"	0.98
P1672	296030.37	9214827.43	P1672-P1673	251°24'27.10"	251°38'6.16"	0.48
P1673	296030.29	9214827.40	P1673-P1674	251°33'54.18"	251°47'33.24"	5.09
P1674	296025.08	9214825.67	P1674-P1675	248°11'54.93"	248°25'33.98"	13.45
P1675	296012.59	9214820.67	P1675-P1676	249°43'27.46"	249°57'56.52"	0.80
P1676	296011.84	9214820.39	P1676-P1677	252°49'42.94"	253°03'21.99"	0.83

MEMORIAL DESCRITIVO SINTÉTICO						
VÉRTICE	COORDENADAS	LADO	AZIMUTOS		DISTÂNCIA	
	E N		PLANO	REAL	(m)	
P0	296114.20	9214882.86	P0-P1	90°38'11,45"	90°51'50,38"	0,33
P1	296114.63	9214882.66	P1-P2	91°16'22,91"	91°30'1,82"	10,56
P2	296125.09	9214882.43	P2-P3	92°30'41,66"	92°44'20,37"	0,65
P3	296125.73	9214882.40	P3-P4	95°37'30,00"	95°51'18,91"	0,98
P4	296126.71	9214882.30	P4-P5	99°22'30,00"	99°36'8,91"	0,98
P5	296127.68	9214882.14	P5-P6	101°57'54,69"	102°11'33,60"	0,37
P6	296128.04	9214882.06	P6-P7	102°40'49,38"	102°54'28,29"	9,62
P7	296137.43	9214879.95	P7-P8	103°50'24,69"	104°04'3,60"	0,61
P8	296138.02	9214879.81	P8-P9	106°52'30,00"	107°06'8,91"	0,98
P9	296138.95	9214879.52	P9-P10	109°09'35,98"	109°22'14,89"	0,21
P10	296139.15	9214879.46	P10-P11	109°32'11,96"	109°45'50,87"	7,71
P11	296146,42	9214876.88	P11-P12	109°48'57,39"	110°02'36,31"	0,15
P12	296146,56	9214876.83	P12-P13	110°05'42,83"	110°19'21,74"	8h45
P13	296154,49	9214873.92	P13-P14	96°27'31,74"	96°41'10,65"	10,72
P14	296165,14	9214872.72	P14-P15	96°58'45,87"	97°12'24,78"	0,27
P15	296165,41	9214872.69	P15-P16	99°22'30,00"	99°36'8,91"	0,98
P16	296166,37	9214872.53	P16-P17	101°59'13,84"	102°12'52,75"	0,39
P17	296166,75	9214872.45	P17-P18	102°43'27,68"	102°57'56,59"	7h45
P18	296174,02	9214870.80	P18-P19	103°51'43,84"	104°05'22,75"	0,60
P19	296174,60	9214870.66	P19-P20	106°52'30,00"	107°06'8,91"	0,98
P20	296175,54	9214870.38	P20-P21	110°37'30,00"	110°51'18,91"	0,98
P21	296176,46	9214870.03	P21-P22	113°51'12,02"	114°04'40,93"	0,71
P22	296177,11	9214869.74	P22-P23	115°12'4,05"	115°25'42,96"	8,55
P23	296184,84	9214866.10	P23-P24	113°11'54,33"	113°25'33,84"	6,34
P24	296190,67	9214863.61	P24-P25	109°01'32,18"	109°15'11,09"	6,85
P25	296196,95	9214861.44	P25-P26	110°45'46,09"	110°59'25,00"	0,91
P26	296197,80	9214861.12	P26-P27	114°22'30,00"	114°36'8,91"	0,98
P27	296198,69	9214860.71	P27-P28	118°07'30,00"	118°21'18,91"	0,98
P28	296199,56	9214860.25	P28-P29	121°52'30,00"	122°06'8,91"	0,98
P29	296200,39	9214859.73	P29-P30	124°01'16,37"	124°14'45,28"	0,14
P30	296200,51	9214859.65	P30-P31	124°17'12,76"	124°30'51,67"	6,24
P31	296205,67	9214856.14	P31-P32	125°09'25,65"	125°23'4,56"	0,46
P32	296206,04	9214855.87	P32-P33	126°01'38,54"	126°15'17,45"	5,42
P33	296210,43	9214852.68	P33-P34	118°44'23,26"	118°58'2,17"	7,34
P34	296216,86	9214849.16	P34-P35	119°22'11,63"	119°35'50,54"	0,33
P35	296217,15	9214848.99	P35-P36	120°44'18,31"	120°57'57,22"	0,39
P36	296217,48	9214848.80	P36-P37	121°28'36,62"	121°42'15,53"	13h47
P37	296228,97	9214841.76	P37-P38	122°36'48,31"	122°50'27,22"	0,60
P38	296229,47	9214841.44	P38-P39	125°37'30,00"	125°51'18,91"	0,98
P39	296230,27	9214840.87	P39-P40	129°22'30,00"	129°36'8,91"	0,98
P40	296231,03	9214840.25	P40-P41	133°07'30,00"	133°21'18,91"	0,98
P41	296231,75	9214839.57	P41-P42	136°52'30,00"	137°06'8,91"	0,98
P42	296232,42	9214838.98	P42-P43	138°46'55,51"	138°00'34,22"	0,02
P43	296232,43	9214838.85	P43-P44	138°48'50,67"	138°02'29,58"	4,45
P44	296235,36	9214835.49	P44-P45	116°00'12,05"	116°13'50,96"	7,67

P45	296242,26	9214832,13	P45-P46	116°07'36,02"	116°21'14,93"	0,06
P46	296242,32	9214832,10	P46-P47	118°07'30,00"	118°21'18,91"	0,98
P47	296243,18	9214831,64	P47-P48	121°52'30,00"	122°06'8,91"	0,98
P48	296244,01	9214831,12	P48-P49	125°37'30,00"	125°51'18,91"	0,98
P49	296244,81	9214830,55	P49-P50	129°22'30,00"	129°36'8,91"	0,98
P50	296245,57	9214829,93	P50-P51	133°07'30,00"	133°21'18,91"	0,98
P51	296246,29	9214829,26	P51-P52	136°52'30,00"	137°06'8,91"	0,48
P52	296246,62	9214828,91	P52-P53	136°50'51,40"	137°04'30,31"	4,90
P53	296249,98	9214825,33	P53-P54	136°00'00,00"	136°13'38,91"	6,06
P54	296254,26	9214821,05	P54-P55	136°52'30,00"	137°06'8,91"	0,98
P55	296254,93	9214820,33	P55-P56	140°37'30,00"	140°51'18,91"	0,98
P56	296255,58	9214819,57	P56-P57	144°22'30,00"	144°36'8,91"	0,98
P57	296256,13	9214818,77	P57-P58	148°07'30,00"	148°21'18,91"	0,98
P58	296256,65	9214817,94	P58-P59	150°15'43,40"	150°29'22,31"	0,14
P59	296256,71	9214817,82	P59-P60	150°31'26,80"	150°45'5,71"	6h20
P60	296259,76	9214812,43	P60-P61	152°08'13,40"	152°21'52,31"	0,84
P61	296260,16	9214811,68	P61-P62	154°45'40,06"	154°59'18,97"	0,53
P62	296260,38	9214811,20	P62-P63	155°46'20,12"	155°59'59,03"	4,70
P63	296262,31	9214806,92	P63-P64	152°21'14,49"	152°34'53,40"	5,11
P64	296264,68	9214802,39	P64-P65	153°03'27,24"	153°16'46,15"	0,37
P65	296264,85	9214802,07	P65-P66	154°29'14,75"	154°42'53,66"	0,39
P66	296265,01	9214801,72	P66-P67	155°13'29,49"	155°27'8,40"	2,19
P67	296265,93	9214799,73	P67-P68	146°18'35,76"	146°32'14,67"	4h20
P68	296268,26	9214796,23	P68-P69	142°07'30,06"	142°21'18,97"	4,80
P69	296271,21	9214792,45	P69-P70	142°18'45,03"	142°32'23,94"	0,10
P70	296271,27	9214792,37	P70-P71	144°22'30,00"	144°36'8,91"	0,98
P71	296271,84	9214791,57	P71-P72	146°16'47,90"	146°30'26,81"	0,02
P72	296271,85	9214791,56	P72-P73	146°18'35,76"	146°32'14,67"	5,07
P73	296274,66	9214787,34	P73-P74	148°09'17,88"	148°22'56,79"	0,97
P74	296275,17	9214786,51	P74-P75	151°52'30,00"	152°06'8,91"	0,98
P75	296275,64	9214785,65	P75-P76	155°37'30,00"	155°51'18,91"	0,98
P76	296276,04	9214784,76	P76-P77	158°01'34,07"	158°15'12,98"	0,28
P77	296276,14	9214784,50	P77-P78	158°33'18,15"	158°46'47,08"	5,75
P78	296278,24	9214779,15	P78-P79	148°34'13,56"	148°47'52,47"	3,64
P79	296280,14	9214776,05	P79-P80	149°17'76,78"	149°30'45,69"	0,37
P80	296280,33	9214775,73	P80-P81	150°12'39,89"	150°26'18,80"	0,11
P81	296280,39	9214775,63	P81-P82	150°25'19,78"	150°38'56,69"	9,98
P82	296285,31	9214766,95	P82-P83	152°05'59,89"	152°19'48,80"	0,87
P83	296285,72	9214766,18	P83-P84	154°43'21,81"	154°57'0,72"	0,51
P84	296285,94	9214765,72	P84-P85	155°41'43,62"	155°55'22,53"	7,96
P85	296289,21	9214758,47	P85-P86	155°33'21,76"	155°47'0,67"	5,53
P86	296291,50	9214753,43	P86-P87	154°39'13,77"	154°52'52,68"	4,81
P87	296293,58	9214749,09	P87-P88	156°04'36,88"	156°18'15,79"	0,75
P88	296293,86	9214748,40	P88-P89	159°12'11,71"	159°25'50,63"	0,89
P89	296294,18	9214747,57	P89-P90	160°54'23,43"	161°08'2,34"	5,59
P90	296296,01	9214742,28	P90-P91	154°21'32,38"	154°35'11,29"	5,52
P91	296298,40	9214737,30	P91-P92	153°26'5,82"	153°39'44,73"	5,12
P92	296300,69	9214732,72	P92-P93	153°35'32,91"	153°49'11,82"	0,08

P93	296300,73	9214732,65	P93-P94	154°21'59,59"	154°35'38,50"	0,32
P94	296300,87	9214732,36	P94-P95	154°58'59,18"	155°12'38,09"	3,88
P95	296302,51	9214728,84	P95-P96	156°14'29,59"	156°28'8,50"	0,66
P96	296302,78	9214728,24	P96-P97	156°22'30,00"	156°36'8,91"	0,98
P97	296303,12	9214727,32	P97-P98	163°07'30,00"	163°21'18,91"	0,98
P98	296303,41	9214726,38	P98-P99	165°45'7,68"	165°58'46,59"	0,39
P99	296303,50	9214726,00	P99-P100	166°30'15,36"	166°43'54,27"	5,15
P100	296304,71	9214720,99	P100-P101	159°46'30,51"	160°00'49,42"	3,87
P101	296306,04	9214717,36	P101-P102	160°30'45,25"	160°44'24,16"	0,39
P102	296306,17	9214717,00	P102-P103	163°07'30,00"	163°21'18,91"	0,98
P103	296306,46	9214716,06	P103-P104	166°52'30,00"	167°06'8,91"	0,98
P104	296306,89	9214715,10	P104-P105	170°37'30,00"	170°51'18,91"	0,98
P105	296306,84	9214714,13	P105-P106	174°22'30,00"	174°36'8,91"	0,98
P106	296306,93	9214713,16	P106-P107	178°07'30,00"	178°21'18,91"	0,27
P107	296306,94	9214712,89	P107-P108	138°59'27,29"	139°13'26,20"	1,57
P108	296307,98	9214711,70	P108-P109	140°44'43,64"	140°58'22,55"	0,92
P109	296308,56	9214710,98	P109-P110	143°57'13,89"	144°11'05,79"	0,76
P110	296309,01	9214710,37	P110-P111	145°24'27,78"	145°38'6,67"	8,26
P111	296313,70	9214703,57	P111-P112	145°49'43,88"	146°03'22,79"	0,22
P112	296313,82	9214703,39	P112-P113	148°07'30,00"	148°21'18,91"	0,98
P113	296314,34	9214702,58	P113-P114	151°52'30,00"	152°06'8,91"	0,98
P114	296314,80	9214701,69	P114-P115	155°37'30,00"	155°51'18,91"	0,98
P115	296315,21	9214700,80	P115-P116	159°22'30,00"	159°36'8,91"	0,98
P116	296315,55	9214699,88	P116-P117	163°07'30,00"	163°21'18,91"	0,98
P117	296315,84	9214698,94	P117-P118	165°05'12,33"	165°18'51,24"	0,05
P118	296315,85	9214698,89	P118-P119	165°10'24,67"	165°24'3,58"	6,92
P119	296317,62	9214692,20	P119-P120	156°03'21,94"	156°17'0,85"	9,79
P120	296321,75	9214683,32	P120-P121	156°16'40,97"	156°30'19,88"	0,64
P121	296322,01	9214682,74	P121-P122	159°22'30,00"	159°36'8,91"	0,98
P122	296322,35	9214681,82	P122-P123	163°07'30,00"	163°21'18,91"	0,98
P123	296322,64	9214680,88	P123-P124	165°02'3,44"	165°15'42,35"	0,02
P124	296322,64	9214680,86	P124-P125	165°04'30,00"	165°17'45,81"	10,92
P125	296325,46	9214670,31	P125-P126	165°13'25,85"	165°27'4,79"	0,08</

P189	296384.04	9214522.32	P189-P190	144°14'46.01"	144°28'24.92"	6.95
P190	296388.10	9214516.67	P190-P191	145°14'53.00"	145°28'31.91"	0.52
P191	296388.40	9214516.24	P191-P192	147°38'35.24"	147°52'14.15"	0.73
P192	296388.79	9214515.62	P192-P193	149°02'10.48"	149°15'49.39"	5.47
P193	296391.60	9214510.93	P193-P194	149°31'15.24"	149°44'44.15"	0.25
P194	296391.73	9214510.72	P194-P195	151°52'30.00"	152°08'09.91"	0.98
P195	296392.19	9214509.85	P195-P196	155°37'30.00"	155°51'18.91"	0.98
P196	296392.60	9214508.96	P196-P197	159°22'30.00"	159°36'09.91"	0.98
P197	296392.94	9214508.04	P197-P198	162°09'40.48"	162°23'19.39"	0.48
P198	296393.09	9214507.58	P198-P199	163°04'20.95"	163°17'59.86"	5.64
P199	296394.73	9214502.19	P199-P200	163°33'48.76"	163°47'27.67"	0.26
P200	296394.80	9214501.94	P200-P201	164°03'16.57"	164°16'55.49"	3.10
P201	296395.66	9214498.97	P201-P202	148°40'16.71"	148°53'55.62"	2.87
P202	296397.15	9214496.51	P202-P203	137°51'44.66"	138°05'23.57"	5.22
P203	296400.65	9214492.64	P203-P204	138°18'22.33"	138°32'1.24"	0.23
P204	296400.81	9214492.47	P204-P205	140°37'30.00"	140°51'18.91"	0.98
P205	296401.43	9214491.71	P205-P206	144°10'12.55"	144°23'51.46"	0.87
P206	296401.94	9214491.00	P206-P207	145°50'25.10"	146°04'04.01"	7.80
P207	296406.32	9214484.55	P207-P208	144°46'56.67"	145°00'35.58"	4.74
P208	296409.05	9214480.68	P208-P209	145°30'58.33"	145°44'37.24"	0.38
P209	296409.27	9214480.36	P209-P210	148°07'30.00"	148°21'18.91"	0.98
P210	296409.79	9214479.53	P210-P211	150°35'40.57"	150°49'19.48"	0.31
P211	296409.94	9214479.25	P211-P212	151°11'21.14"	151°25'05.05"	5.35
P212	296412.52	9214474.56	P212-P213	152°28'10.57"	152°41'49.48"	0.67
P213	296412.83	9214473.97	P213-P214	155°24'32.22"	155°38'11.13"	0.87
P214	296413.19	9214473.18	P214-P215	157°04'44.44"	157°17'43.35"	6.53
P215	296415.74	9214467.17	P215-P216	156°22'14.24"	156°35'53.15"	3.90
P216	296417.30	9214463.59	P216-P217	155°33'21.78"	155°47'07.67"	6.13
P217	296419.83	9214458.02	P217-P218	138°21'59.26"	138°35'38.17"	3.31
P218	296422.04	9214455.54	P218-P219	137°51'44.66"	138°05'23.57"	6.58
P219	296426.45	9214450.66	P219-P220	138°18'22.33"	138°32'1.24"	0.23
P220	296426.60	9214450.49	P220-P221	140°37'30.00"	140°51'18.91"	0.98
P221	296427.23	9214449.73	P221-P222	144°08'31.74"	144°22'10.65"	0.86
P222	296427.73	9214449.03	P222-P223	145°47'34.47"	146°00'42.38"	7.09
P223	296431.72	9214443.17	P223-P224	146°01'11.74"	146°14'40.65"	0.12
P224	296431.78	9214443.07	P224-P225	148°07'30.00"	148°21'18.91"	0.98
P225	296432.30	9214442.24	P225-P226	151°52'30.00"	152°06'09.91"	0.98
P226	296432.77	9214441.37	P226-P227	155°37'30.00"	155°51'18.91"	0.98
P227	296433.17	9214440.48	P227-P228	159°22'30.00"	159°36'09.91"	0.98
P228	296433.52	9214439.56	P228-P229	161°24'27.09"	161°38'06.00"	0.08
P229	296433.54	9214439.48	P229-P230	161°33'54.18"	161°47'33.09"	4.67
P230	296435.02	9214435.05	P230-P231	151°55'39.05"	152°09'17.96"	2.72
P231	296436.30	9214432.65	P231-P232	152°50'19.52"	153°03'58.43"	0.48
P232	296436.52	9214432.22	P232-P233	154°53'37.52"	155°07'16.43"	0.60
P233	296436.77	9214431.68	P233-P234	156°02'15.04"	156°15'53.95"	4.62
P234	296438.65	9214427.46	P234-P235	156°46'57.52"	156°59'46.43"	0.38
P235	296438.80	9214427.11	P235-P236	159°22'30.00"	159°36'09.91"	0.98
P236	296439.14	9214426.19	P236-P237	161°47'59.78"	162°01'38.69"	0.29

P237	296439.23	9214425.92	P237-P238	162°20'59.55"	162°34'38.46"	4.74
P238	296440.67	9214421.40	P238-P239	157°09'58.85"	157°23'37.76"	0.95
P239	296441.04	9214420.53	P239-P240	133°01'30.24"	133°15'59.15"	0.51
P240	296441.41	9214420.18	P240-P241	124°41'42.55"	124°55'21.45"	2.62
P241	296443.56	9214418.69	P241-P242	126°05'51.28"	126°19'30.19"	0.73
P242	296444.16	9214418.26	P242-P243	129°22'30.00"	129°36'09.91"	0.98
P243	296444.92	9214417.64	P243-P244	133°07'30.00"	133°21'18.91"	0.98
P244	296445.63	9214416.97	P244-P245	136°52'30.00"	137°06'09.91"	0.98
P245	296446.30	9214416.25	P245-P246	140°37'30.00"	140°51'18.91"	0.98
P246	296446.93	9214415.49	P246-P247	144°22'30.00"	144°36'09.91"	0.98
P247	296447.50	9214414.69	P247-P248	147°07'20.31"	147°20'59.22"	0.46
P248	296447.75	9214414.31	P248-P249	147°59'40.62"	148°13'19.53"	4.42
P249	296450.09	9214410.56	P249-P250	148°59'50.31"	149°13'29.22"	0.52
P250	296450.36	9214410.11	P250-P251	150°35'40.57"	150°49'19.48"	0.31
P251	296450.51	9214409.84	P251-P252	151°11'21.14"	151°25'05.05"	4.80
P252	296452.83	9214405.63	P252-P253	146°58'34.08"	147°12'12.99"	3.22
P253	296454.58	9214402.92	P253-P254	133°22'47.51"	133°36'09.91"	3.09
P254	296456.84	9214400.81	P254-P255	131°20'52.00"	131°34'30.91"	7.57
P255	296462.52	9214395.81	P255-P256	133°10'26.00"	133°24'49.91"	0.96
P256	296463.22	9214395.15	P256-P257	136°52'30.00"	137°06'09.91"	0.98
P257	296463.89	9214394.44	P257-P258	139°47'17.42"	140°00'56.33"	0.54
P258	296464.24	9214394.02	P258-P259	140°49'34.83"	141°03'13.74"	8.17
P259	296469.40	9214387.69	P259-P260	141°39'47.42"	141°53'26.33"	0.44
P260	296469.67	9214387.35	P260-P261	143°28'52.18"	143°42'31.09"	0.51
P261	296469.98	9214386.93	P261-P262	144°27'44.36"	144°41'23.27"	8.07
P262	296474.67	9214380.37	P262-P263	145°21'22.18"	145°35'01.09"	0.47
P263	296474.94	9214379.98	P263-P264	147°15'53.19"	147°29'32.10"	0.98
P264	296475.45	9214379.15	P264-P265	150°03'1.96"	150°16'40.87"	0.03
P265	296475.47	9214379.13	P265-P266	150°06'3.95"	150°19'42.86"	10.38
P266	296480.64	9214370.12	P266-P267	146°46'5.84"	146°59'44.75"	7.69
P267	296484.86	9214363.68	P267-P268	148°23'2.92"	148°36'41.83"	0.95
P268	296485.30	9214362.97	P268-P269	151°52'30.00"	152°06'09.91"	0.88
P269	296485.77	9214362.10	P269-P270	155°37'30.00"	155°51'18.91"	0.98
P270	296486.17	9214361.21	P270-P271	158°42'8.58"	158°55'47.49"	0.63
P271	296486.40	9214360.62	P271-P272	159°54'17.17"	160°07'56.08"	9.83
P272	296489.78	9214351.39	P272-P273	156°48'5.07"	157°01'43.98"	5.49
P273	296491.94	9214346.34	P273-P274	147°15'53.19"	147°29'32.10"	6.51
P274	296495.46	9214340.87	P274-P275	146°53'19.17"	147°06'58.08"	6.31
P275	296498.91	9214335.58	P275-P276	146°18'35.76"	146°32'14.67"	6.08
P276	296502.28	9214330.53	P276-P277	141°37'57.05"	141°51'35.96"	6.57
P277	296506.36	9214325.38	P277-P278	142°03'58.53"	142°17'37.44"	0.23
P278	296506.49	9214325.20	P278-P279	144°22'30.00"	144°36'09.91"	0.98
P279	296507.07	9214324.40	P279-P280	147°01'37.68"	147°15'16.59"	0.41
P280	296507.29	9214324.06	P280-P281	147°48'15.36"	148°01'54.27"	7.48
P281	296511.27	9214317.73	P281-P282	148°54'7.68"	149°07'46.59"	0.57
P282	296511.57	9214317.24	P282-P283	150°41'1.17"	150°55'20.08"	0.36
P283	296511.75	9214316.92	P283-P284	151°23'22.35"	151°37'1.26"	5.88
P284	296514.56	9214311.76	P284-P285	151°52'18.42"	152°05'57.33"	0.25

P285	296514.68	9214311.54	P285-P286	152°21'14.49"	152°34'53.40"	11.12
P286	296519.84	9214301.69	P286-P287	153°03'37.24"	153°16'46.16"	0.37
P287	296520.01	9214301.36	P287-P288	155°37'30.00"	155°51'18.91"	0.98
P288	296520.41	9214300.47	P288-P289	159°22'30.00"	159°36'09.91"	0.98
P289	296520.76	9214299.55	P289-P290	162°12'22.55"	162°26'1.46"	0.50
P290	296520.91	9214299.07	P290-P291	163°09'45.10"	163°23'24.01"	14.22
P291	296525.03	9214285.46	P291-P292	130°27'44.02"	130°41'22.93"	5.84
P292	296529.48	9214281.67	P292-P293	128°39'35.31"	128°53'14.22"	5.77
P293	296533.98	9214278.06	P293-P294	129°57'17.65"	130°10'56.56"	0.68
P294	296534.50	9214277.63	P294-P295	133°07'30.00"	133°21'18.91"	0.98
P295	296535.22	9214276.96	P295-P296	136°52'30.00"	137°06'09.91"	0.98
P296	296535.89	9214276.24	P296-P297	140°37'30.00"	140°51'18.91"	0.98
P297	296536.51	9214275.48	P297-P298	144°22'30.00"	144°36'09.91"	0.98
P298	296537.08	9214274.68	P298-P299	148°07'30.00"	148°21'18.91"	0.98
P299	296537.60	9214273.85	P299-P300	151°52'30.00"	152°06'09.91"	0.98
P300	296538.07	9214272.98	P300-P301	155°37'30.00"	155°51'18.91"	0.98
P301	296538.47	9214272.09	P301-P302	159°15'53.27"	159°29'32.18"	0.92
P302	296538.80	9214271.23	P302-P303	161°01'46.53"	161°15'25.44"	6.69
P303	296540.97	9214264.90	P303-P304	151°33'25.46"	151°47'34.37"	4.32
P304	296543.03	9214261.10	P304-P305	145°10'31.84"	145°24'10.75"	2.81
P305	296544.64	9214258.79	P305-P306	123°06'40.83"	123°20'19.74"	1.07
P306	296545.54	9214258.20	P306-P307	104°37'15.15"	104°50'54.06"	3.13
P307	296548.57	9214257.41	P307-P308	104°48'37.58"	105°02'16.49"	0.10
P308	296548.66	9214257.39	P308-P309	106°52'30.00"	107°06'09.91"	0.98
P309	296549.60	9214257.10	P309-P310	110°37'30.00"	110°51'18.91"	0.98
P310	296550.52	9214256.75	P310-P311	114°22'30.00"	114°36'09.91"	0.98
P311	296551.42	9214256.35	P311-P312	118°07'30.00"	118°21'18.91"	0.98
P312	296552.28	9214255.89	P312-P313	121°52'30.00"	122°06'09.91"	0.98
P313	296553.12	9214255.37	P313-P314	125°06'34.62"	125°20'13.53"	0.71
P314	296553.70	9214254.96	P314-P315	126°28'9.24"	126°41'48.15"	6.28
P315	296558.75	9214251.23	P315-P316	123°10'42.64"	123°24'21.55"	6.85
P316	296564.48	9214247.48	P316-P317	123°27'51.32"	123°41'30.23"	0.15
P317	296564.61	9214247.40	P317-P318	124°38'37.82"	124°52'16.73"	0.47
P318	296564.96	9214247.13	P318-P319	125°32'15.64"	125°45'54.55"	6.05
P319	296569.92	9214243.61	P319-P320	125°43'35.33"	125°57'24.10"	0.10
P320	296570.00	9214243.55	P320-P321	125°54'35.00"	126°08'13.91"	8.40
P321	296576.80	9214238.63	P321-P322	126°42'17.50"	126°55'56.41"	0.42
P322	296577.13	9214236.38	P322-P323	129°20'30.00"	129°36'09.91"	0.98
P323	296577.89	9214237.76	P323-P324	133°07'30.00"	133°21'18.91"	0.98
P324	296578.61	9214237.09	P324-P325	136°25'52.33"	136°39'31.24"	0.75
P325	296579.12	9214236.54	P325-P326	137°51'44.66"	138°05'23.57"	6.84
P326	296583.58	9214231.62	P326-P327	138°18'22.33"	138°321.24"	0.23
P327	296583.73	9214231.45	P327-P328	140°37'30.00"	140°51'18.91"	0.98
P328	296584.36	9214230.69	P328-P329	144°22'30.00"	144°36'09.91"	0.98
P329	296584.93	9214229.89	P329-P330	146°45'55.36"	146°59'27.24"	0.30
P330	296585.09	9214229.64	P330-P331	147°22'50.72"	147°36'29.64"	6.96
P331	296588.84	9214223.78	P331-P332	148°41'25.36"	148°55'4.27"	0.69
P332	296589.20	9214223.19	P332-P333	151°43'32.91"	151°56'41.82"	0.90

P381	296688.33	9214104.30	P381-P382	127°27'02.08"	127°40'40.99"	12.06
P382	296687.90	9214096.97	P382-P383	127°29'31.04"	127°42'29.96"	0.01
P383	296687.91	9214096.96	P383-P384	129°22'30.00"	129°36'08.91"	0.98
P384	296686.67	9214096.34	P384-P385	133°07'30.00"	133°21'18.91"	0.98
P385	296689.39	9214096.67	P385-P386	136°52'30.00"	137°06'08.91"	0.98
P386	296700.06	9214094.95	P386-P387	140°37'30.00"	140°51'18.91"	0.98
P387	296700.88	9214094.19	P387-P388	143°03'28.17"	143°17'07.08"	0.29
P388	296700.85	9214093.96	P388-P389	143°36'56.33"	143°50'35.24"	11.07
P389	296707.42	9214085.05	P389-P390	144°24'35.32"	144°38'14.23"	0.42
P390	296707.66	9214084.71	P390-P391	145°12'14.31"	145°25'53.22"	15.93
P391	296716.76	9214071.63	P391-P392	138°12'55.74"	138°26'34.65"	13.87
P392	296726.00	9214061.29	P392-P393	138°29'57.87"	138°42'36.78"	0.14
P393	296726.09	9214061.18	P393-P394	140°17'46.99"	140°31'25.90"	0.81
P394	296726.61	9214060.56	P394-P395	141°50'33.98"	142°04'12.89"	8.05
P395	296731.58	9214054.23	P395-P396	139°32'15.98"	139°45'54.89"	10.18
P396	296738.18	9214046.49	P396-P397	139°39'52.58"	139°52'41.46"	0.06
P397	296738.22	9214046.44	P397-P398	139°45'49.11"	139°59'28.02"	7.99
P398	296743.38	9214040.34	P398-P399	141°07'54.56"	141°21'33.47"	0.72
P399	296743.83	9214039.79	P399-P400	142°48'54.18"	143°02'33.09"	0.16
P400	296743.92	9214039.65	P400-P401	143°07'48.37"	143°21'27.28"	26.06
P401	296759.57	9214018.81	P401-P402	136°11'36.56"	136°25'15.47"	14.50
P402	296769.61	9214008.34	P402-P403	132°16'25.28"	132°30'34.19"	9.95
P403	296776.96	9214001.65	P403-P404	133°38'12.64"	133°51'51.55"	0.71
P404	296777.48	9214001.16	P404-P405	136°49'34.00"	137°03'12.91"	0.96
P405	296778.14	9214000.46	P405-P406	138°39'08.00"	138°52'46.91"	6.53
P406	296782.45	9213995.56	P406-P407	128°55'39.16"	129°09'18.07"	6.56
P407	296787.56	9213991.43	P407-P408	130°05'19.58"	130°18'58.49"	0.61
P408	296788.02	9213991.04	P408-P409	131°41'37.67"	131°55'16.58"	0.23
P409	296788.20	9213990.89	P409-P410	132°08'15.34"	132°21'54.25"	6.60
P410	296793.02	9213986.46	P410-P411	131°49'12.61"	132°02'51.52"	5.59
P411	296797.26	9213982.73	P411-P412	129°10'25.17"	129°24'44.08"	7.82
P412	296803.32	9213977.79	P412-P413	130°12'42.58"	130°26'21.49"	0.54
P413	296803.73	9213977.44	P413-P414	133°07'30.00"	133°21'18.91"	0.98
P414	296804.45	9213976.77	P414-P415	136°52'30.00"	137°06'08.91"	0.98
P415	296805.12	9213976.05	P415-P416	140°37'30.00"	140°51'18.91"	0.98
P416	296805.74	9213975.29	P416-P417	144°22'30.00"	144°36'08.91"	0.98
P417	296806.32	9213974.49	P417-P418	148°07'30.00"	148°21'18.91"	0.98
P418	296806.83	9213973.66	P418-P419	151°52'30.00"	152°06'08.91"	0.98
P419	296807.30	9213972.79	P419-P420	155°37'30.00"	155°51'18.91"	0.98
P420	296807.70	9213971.90	P420-P421	159°12'11.71"	159°25'50.62"	0.89
P421	296808.02	9213971.07	P421-P422	160°54'23.43"	161°08'32.34"	6.45
P422	296810.13	9213964.97	P422-P423	161°04'41.72"	161°18'20.63"	0.09
P423	296810.16	9213964.88	P423-P424	161°47'59.77"	162°01'38.68"	0.29
P424	296810.25	9213964.61	P424-P425	162°20'59.55"	162°34'38.46"	3.92
P425	296811.44	9213960.88	P425-P426	150°56'43.43"	151°10'22.34"	2.85
P426	296812.82	9213958.39	P426-P427	147°15'53.19"	147°29'32.10"	0.45
P427	296813.06	9213958.01	P427-P428	124°49'28.16"	125°03'07.07"	3.60
P428	296816.01	9213955.96	P428-P429	126°04'49.08"	126°23'22.99"	0.70

P429	296816.58	9213955.55	P429-P430	129°22'30.00"	129°36'08.91"	0.98
P430	296817.34	9213954.92	P430-P431	133°07'30.00"	133°21'18.91"	0.98
P431	296818.05	9213954.25	P431-P432	136°40'59.63"	136°54'38.54"	0.88
P432	296818.66	9213953.61	P432-P433	138°21'59.26"	138°35'38.17"	14.12
P433	296828.04	9213943.06	P433-P434	138°33'29.63"	138°47'54.74"	0.10
P434	296828.11	9213942.98	P434-P435	140°37'30.00"	140°51'18.91"	0.98
P435	296828.73	9213942.22	P435-P436	142°37'57.29"	142°51'36.20"	0.07
P436	296828.77	9213942.17	P436-P437	142°45'54.60"	142°59'33.51"	6.67
P437	296832.81	9213936.86	P437-P438	137°29'22.39"	137°43'1.30"	6.19
P438	296836.99	9213932.29	P438-P439	131°45'37.08"	131°59'15.99"	5.41
P439	296841.03	9213928.69	P439-P440	111°49'5.07"	112°01'43.98"	1.15
P440	296842.10	9213928.26	P440-P441	112°09'52.54"	112°22'41.45"	0.18
P441	296842.27	9213928.19	P441-P442	114°22'30.00"	114°36'8.91"	0.98
P442	296843.16	9213927.78	P442-P443	118°07'30.00"	118°21'18.91"	0.98
P443	296844.03	9213927.32	P443-P444	121°52'30.00"	122°06'9.91"	0.98
P444	296844.86	9213926.80	P444-P445	125°18'35.82"	125°32'14.73"	0.82
P445	296845.53	9213926.33	P445-P446	126°52'11.63"	127°05'50.54"	4.69
P446	296849.28	9213923.52	P446-P447	127°11'5.82"	127°24'44.73"	0.16
P447	296849.41	9213923.42	P447-P448	129°22'30.00"	129°36'08.91"	0.98
P448	296850.17	9213922.79	P448-P449	132°35'34.34"	132°48'43.25"	0.70
P449	296850.68	9213922.32	P449-P450	133°55'58.67"	134°08'47.58"	7.69
P450	296856.22	9213916.98	P450-P451	125°32'15.64"	125°45'54.55"	6.97
P451	296861.90	9213912.93	P451-P452	126°31'7.82"	126°44'46.73"	0.51
P452	296862.31	9213912.63	P452-P453	127°35'49.63"	127°49'28.54"	0.05
P453	296862.35	9213912.60	P453-P454	127°41'39.27"	127°55'18.18"	6.52
P454	296867.51	9213908.61	P454-P455	129°28'19.63"	129°41'58.54"	0.93
P455	296868.23	9213908.02	P455-P456	133°07'30.00"	133°21'18.91"	0.98
P456	296868.94	9213907.35	P456-P457	136°11'34.70"	136°25'13.61"	0.62
P457	296869.38	9213906.90	P457-P458	137°23'9.40"	137°36'48.31"	7.15
P458	296874.22	9213901.63	P458-P459	131°11'39.33"	131°24'48.24"	4.17
P459	296877.36	9213898.88	P459-P460	131°13'4.66"	131°26'43.57"	0.02
P460	296877.37	9213898.87	P460-P461	133°07'30.00"	133°21'18.91"	0.98
P461	296878.09	9213898.20	P461-P462	136°52'30.00"	137°06'08.91"	0.98
P462	296878.76	9213897.49	P462-P463	140°37'30.00"	140°51'18.91"	0.98
P463	296879.38	9213896.73	P463-P464	144°22'30.00"	144°36'08.91"	0.98
P464	296879.98	9213895.93	P464-P465	148°07'30.00"	148°21'18.91"	0.98
P465	296880.47	9213895.10	P465-P466	151°52'30.00"	152°06'08.91"	0.98
P466	296880.94	9213894.23	P466-P467	155°37'30.00"	155°51'18.91"	0.98
P467	296881.34	9213893.34	P467-P468	158°38'15.25"	158°51'54.18"	0.60
P468	296881.56	9213892.78	P468-P469	158°46'30.51"	160°00'9.42"	3.40
P469	296882.74	9213889.59	P469-P470	149°32'4.04"	149°45'42.95"	3.13
P470	296884.32	9213886.89	P470-P471	148°23'32.99"	148°37'11.90"	2.92
P471	296885.85	9213884.40	P471-P472	144°27'44.36"	144°41'23.27"	6.47
P472	296889.61	9213879.14	P472-P473	136°10'8.90"	136°23'47.81"	7.04
P473	296894.49	9213874.06	P473-P474	133°27'34.45"	133°41'13.36"	0.88
P474	296894.94	9213873.56	P474-P475	140°28'55.67"	140°42'34.58"	0.91
P475	296895.52	9213872.88	P475-P476	142°12'51.34"	142°26'30.25"	25.28
P476	296891.01	9213852.88	P476-P477	133°36'10.15"	133°49'49.06"	5.06

P477	296914.67	9213849.40	P477-P478	128°55'39.16"	129°09'18.07"	7.23
P478	296920.30	9213844.86	P478-P479	130°05'19.58"	130°18'58.49"	0.61
P479	296920.76	9213844.46	P479-P480	133°07'30.00"	133°21'18.91"	0.98
P480	296921.48	9213843.79	P480-P481	136°52'30.00"	137°06'08.91"	0.98
P481	296922.15	9213843.08	P481-P482	140°37'30.00"	140°51'18.91"	0.98
P482	296922.77	9213842.32	P482-P483	144°22'30.00"	144°36'08.91"	0.98
P483	296923.34	9213841.52	P483-P484	148°07'30.00"	148°21'18.91"	0.98
P484	296923.86	9213840.69	P484-P485	151°52'30.00"	152°06'08.91"	0.98
P485	296924.32	9213839.82	P485-P486	155°37'30.00"	155°51'18.91"	0.98
P486	296924.73	9213838.93	P486-P487	158°45'30.41"	158°59'32.32"	0.66
P487	296924.97	9213838.31	P487-P488	160°10'10.82"	160°14'39.73"	4.17
P488	296926.39	9213834.40	P488-P489	149°55'53.10"	150°09'32.01"	2.65
P489	296927.72	9213832.10	P489-P490	141°00'32.42"	141°14'11.33"	5.17
P490	296930.97	9213828.08	P490-P491	141°45'16.21"	141°58'55.12"	0.39
P491	296931.21	9213827.78	P491-P492	144°22'30.00"	144°36'08.91"	0.98
P492	296931.79	9213826.98	P492-P493	147°14'42.94"	147°28'21.85"	0.52
P493	296932.07	9213826.54	P493-P494	148°14'25.87"	148°28'4.78"	5.79
P494	296935.12	9213821.62	P494-P495	149°07'12.94"	149°20'51.85"	0.46
P495	296935.35	9213821.22	P495-P496	151°52'30.00"	152°06'08.91"	0.98
P496	296935.82	9213820.36	P496-P497	154°08'35.98"	154°22'14.89"	0.21
P497	296935.91	9213820.17	P497-P498	154°32'11.96"	154°45'50.87"	4.89
P498	296938.01	9213815.75	P498-P499	150°15'18.43"	150°28'57.34"	2.60
P499	296939.30	9213813.50	P499-P500	145°29'29.32"	145°43'28.23"	1.75
P500	296940.28	9213812.05	P500-P501	128°59'27.58"	129°13'36.49"	4.16
P501	296943.53	9213809.43	P501-P502	130°07'13.79"	130°20'52.70"	0.59
P502	296943.98	9213809.05	P502-P503	132°15'25.73"	132°29'44.64"	0.53
P503	296944.37	9213808.70	P503-P504	133°15'51.46"	133°29'30.37"	4.77
P504	296947.84	9213805.43	P504-P505	127°52'29.94"	128°06'08.85"	3.59
P505	296950.67	9213803.23	P505-P506	91°58'29.78"	92°12'8.67"	2.23
P506	296952.90	9213803.15	P506-P507	92°51'44.88"	93°05'23.79"	0.46
P507	296953.36	9213803.13	P507-P508	95°37'30.00"	95°51'18.91"	0.98
P508	296954.34	9213803.03	P508-P509	99°22'30.00"	99°36'08.91"	0.98
P509	296955.31	9213802.87	P509-P510	103°07'30.00"	103°21'18.91"	0.98
P510	296956.28	9213802.65	P510-P511	106°52'30.00"	107°06'08.91"	0.98
P511	296957.20	9213802.36	P511-P512	110°07'30.00"	110°51'18.91"	0.98
P512	296958.12	9213802.02	P512-P513	114°22'30.00"	114°36'08.91"	0.98
P513	296959.02	9213801.61	P513-P514	118°07'30.00"	118°21'18.91"	0.98
P514	296959.88	9213801.15	P514-P515	121°14'48.15"	121°27'47.06"	0.65
P515	296960.43	9213800.81	P515-P516	122°28'16.29"	122°41'55.20"	6.12
P516	296965.58	9213797.53	P516-P517	123°06'38.15"	123°20'17.06"	0.33
P517	296965.87	9213797.35	P517-P518	125°37'30.00"	125°51'18.91"	0.98
P518	296966.67	9213796.77	P518-P519	129°22'30.00"	129°36'08.91"	0.98
P519	296967.43	9213796.15	P519-P520	133°07'30.00"	133°21'18.91"	0.98
P520	296968.15	9213795.48	P520-P521	135°17'43.15"	135°31'22.10"	0.15
P521	296968.26	9213795.37	P521-P522	135°35'26.73"	135°49'5.28"	16.09
P522	296979.51	9213783.88	P522-P523	137°10'13.18"	137°23'52.09"	0.83
P523	296980.08	9213783.27	P523-P524	140°07'30.00"	140°51'18.91"	0.98
P524	296980.70	9213782.51	P524-P525	144°22'30.00"	144°36'08.91"	0.98

P573	297079.43	9213685.42	P573-P574	143°49'21.98"	144°03'00.89"	0.69
P574	297079.84	9213684.89	P574-P575	145°08'43.96"	145°22'22.87"	14.78
P575	297088.29	9213672.74	P575-P576	135°47'5.37"	136°00'44.28"	10.88
P576	297095.87	9213664.94	P576-P577	137°16'2.68"	137°29'41.59"	0.78
P577	297096.40	9213664.37	P577-P578	139°57'36.32"	140°11'15.23"	0.63
P578	297096.81	9213663.89	P578-P579	141°10'12.63"	141°23'51.54"	10.46
P579	297103.37	9213655.74	P579-P580	126°52'11.63"	127°05'50.54"	3.98
P580	297106.55	9213653.35	P580-P581	127°11'5.81"	127°24'44.72"	0.16
P581	297106.68	9213653.25	P581-P582	129°22'30.00"	129°36'8.91"	0.98
P582	297107.44	9213652.62	P582-P583	133°07'30.00"	133°21'18.91"	0.98
P583	297108.18	9213651.95	P583-P584	136°52'30.00"	137°08'9.91"	0.98
P584	297108.83	9213651.24	P584-P585	140°37'30.00"	140°51'19.91"	0.98
P585	297109.45	9213650.48	P585-P586	143°00'55.38"	143°14'34.29"	0.27
P586	297109.61	9213650.26	P586-P587	143°31'50.76"	143°45'29.67"	6.71
P587	297113.60	9213644.87	P587-P588	144°53'25.38"	145°07'24.29"	0.71
P588	297114.01	9213644.29	P588-P589	147°07'30.21"	147°20'59.22"	0.46
P589	297114.26	9213643.90	P589-P590	147°59'40.62"	148°13'19.53"	3.37
P590	297116.05	9213641.04	P590-P591	139°58'11.07"	140°11'49.98"	5.04
P591	297119.29	9213637.18	P591-P592	128°02'49.35"	128°16'28.26"	5.28
P592	297123.45	9213633.93	P592-P593	128°55'34.70"	129°09'13.61"	0.46
P593	297123.80	9213633.64	P593-P594	129°48'20.06"	130°01'58.97"	2.95
P594	297128.07	9213631.75	P594-P595	124°22'49.24"	124°36'28.15"	4.69
P595	297129.94	9213629.10	P595-P596	125°56'24.62"	126°10'33.53"	0.82
P596	297130.60	9213628.62	P596-P597	129°22'30.00"	129°36'8.91"	0.98
P597	297131.36	9213628.00	P597-P598	133°07'30.00"	133°21'18.91"	0.98
P598	297132.08	9213627.33	P598-P599	136°14'41.19"	136°28'20.11"	0.65
P599	297132.53	9213626.86	P599-P600	137°29'22.39"	137°43'1.30"	3.82
P600	297135.11	9213624.04	P600-P601	138°07'11.20"	138°20'50.11"	0.33
P601	297135.33	9213623.80	P601-P602	140°13'47.71"	140°27'26.62"	0.77
P602	297135.83	9213623.20	P602-P603	141°42'35.41"	141°56'14.32"	5.16
P603	297139.02	9213619.16	P603-P604	137°43'34.72"	137°57'13.63"	3.72
P604	297141.52	9213616.41	P604-P605	117°04'19.39"	117°17'58.40"	9.12
P605	297149.64	9213612.26	P605-P606	118°32'29.74"	118°45'48.65"	0.77
P606	297150.31	9213611.89	P606-P607	121°50'42.12"	122°04'21.03"	0.97
P607	297151.13	9213611.38	P607-P608	123°41'24.24"	123°55'53.15"	4.23
P608	297154.65	9213609.03	P608-P609	123°43'12.11"	123°56'51.02"	0.02
P609	297154.66	9213609.03	P609-P610	125°10'13.96"	125°23'52.87"	0.74
P610	297155.27	9213608.60	P610-P611	126°35'27.92"	126°49'6.83"	19.12
P611	297170.63	9213597.20	P611-P612	125°23'41.26"	125°37'20.18"	10.49
P612	297179.17	9213591.13	P612-P613	123°10'42.64"	123°24'21.55"	7.00
P613	297185.03	9213587.30	P613-P614	123°27'51.32"	123°41'30.23"	0.15
P614	297185.15	9213587.21	P614-P615	125°37'30.00"	125°51'18.91"	0.98
P615	297185.95	9213596.64	P615-P616	128°04'47.65"	128°18'26.56"	0.30
P616	297186.19	9213596.46	P616-P617	128°39'35.31"	128°53'14.22"	4.51
P617	297189.71	9213583.64	P617-P618	129°57'17.66"	130°10'56.57"	0.88
P618	297190.23	9213583.21	P618-P619	133°07'30.00"	133°21'18.91"	0.98
P619	297190.94	9213582.54	P619-P620	135°52'4.27"	136°05'43.18"	0.45
P620	297191.26	9213582.21	P620-P621	136°44'48.54"	136°57'47.45"	5.47

P621	297195.01	9213578.22	P621-P622	137°44'34.27"	137°58'13.18"	0.53
P622	297195.37	9213577.83	P622-P623	138°58'25.85"	139°11'41.76"	0.11
P623	297195.44	9213577.75	P623-P624	139°11'5.70"	139°24'44.61"	4.41
P624	297198.33	9213574.41	P624-P625	120°57'49.52"	121°11'28.43"	5.80
P625	297203.30	9213571.42	P625-P626	122°21'24.76"	122°35'6.77"	0.73
P626	297203.91	9213571.03	P626-P627	125°04'1.83"	125°17'40.74"	0.69
P627	297204.49	9213570.64	P627-P628	126°23'3.67"	126°36'42.58"	4.25
P628	297207.90	9213568.12	P628-P629	116°33'54.18"	116°47'33.09"	7.63
P629	297214.72	9213564.71	P629-P630	118°16'57.09"	118°30'36.00"	0.90
P630	297215.51	9213564.28	P630-P631	121°52'30.00"	122°06'9.91"	0.98
P631	297216.34	9213563.76	P631-P632	125°37'30.00"	125°51'18.91"	0.98
P632	297217.14	9213563.19	P632-P633	129°22'30.00"	129°36'8.91"	0.98
P633	297217.90	9213562.57	P633-P634	132°29'18.55"	132°42'57.46"	0.65
P634	297218.38	9213562.13	P634-P635	133°43'37.09"	133°57'16.00"	6.80
P635	297223.29	9213557.43	P635-P636	128°39'35.31"	128°53'14.22"	6.33
P636	297228.23	9213553.48	P636-P637	124°41'42.55"	124°55'21.46"	5.17
P637	297232.48	9213550.54	P637-P638	111°32'27.51"	111°46'8.42"	7.85
P638	297239.78	9213547.65	P638-P639	112°01'13.76"	112°14'52.67"	0.25
P639	297240.02	9213547.56	P639-P640	114°22'30.00"	114°36'8.91"	0.98
P640	297240.91	9213547.15	P640-P641	118°07'30.00"	118°21'18.91"	0.98
P641	297241.78	9213546.68	P641-P642	121°52'30.00"	122°06'9.91"	0.98
P642	297242.61	9213546.17	P642-P643	125°37'30.00"	125°51'18.91"	0.98
P643	297243.41	9213545.60	P643-P644	129°22'30.00"	129°36'8.91"	0.98
P644	297244.17	9213544.98	P644-P645	133°07'30.00"	133°21'18.91"	0.98
P645	297244.88	9213544.31	P645-P646	136°52'30.00"	137°08'9.91"	0.98
P646	297245.55	9213543.58	P646-P647	140°37'30.00"	140°51'18.91"	0.98
P647	297246.18	9213542.83	P647-P648	143°54'8.72"	144°07'47.63"	0.73
P648	297246.61	9213542.24	P648-P649	145°18'17.45"	145°31'56.36"	7.28
P649	297250.75	9213536.26	P649-P650	144°14'46.01"	144°28'24.92"	4.31
P650	297253.27	9213532.73	P650-P651	123°18'38.27"	123°32'17.18"	6.86
P651	297259.01	9213528.98	P651-P652	121°51'57.52"	122°05'36.43"	10.03
P652	297267.52	9213523.68	P652-P653	122°48'28.63"	123°02'27.67"	0.49
P653	297267.94	9213523.42	P653-P654	125°37'30.00"	125°51'18.91"	0.98
P654	297268.74	9213522.85	P654-P655	129°22'30.00"	129°36'8.91"	0.98
P655	297269.50	9213522.23	P655-P656	131°45'42.64"	131°59'21.55"	0.27
P656	297269.70	9213522.05	P656-P657	132°16'25.28"	132°30'4.19"	3.81
P657	297272.51	9213519.48	P657-P658	108°26'5.82"	108°39'44.73"	6.47
P658	297278.65	9213517.44	P658-P659	108°35'32.91"	108°49'11.82"	0.08
P659	297278.73	9213517.42	P659-P660	110°37'30.00"	110°51'18.91"	0.98
P660	297279.65	9213517.07	P660-P661	114°22'30.00"	114°36'8.91"	0.98
P661	297280.55	9213516.67	P661-P662	118°07'30.00"	118°21'18.91"	0.98
P662	297281.41	9213516.20	P662-P663	121°33'20.42"	121°46'59.33"	0.81
P663	297282.11	9213515.78	P663-P664	123°06'40.83"	123°20'19.74"	6.44
P664	297287.50	9213512.26	P664-P665	123°25'50.42"	123°39'29.33"	0.17
P665	297287.64	9213512.17	P665-P666	124°17'14.08"	124°30'52.99"	0.28
P666	297287.87	9213512.01	P666-P667	124°49'28.16"	125°03'7.07"	5.17
P667	297292.11	9213509.08	P667-P668	114°08'43.95"	114°22'22.86"	6.05
P668	297297.64	9213506.58	P668-P669	115°11'51.98"	115°25'30.89"	0.55

P669	297298.14	9213506.35	P669-P670	118°07'30.00"	118°21'18.91"	0.98
P670	297299.00	9213505.88	P670-P671	121°52'30.00"	122°06'9.91"	0.98
P671	297299.83	9213505.37	P671-P672	124°17'14.08"	124°30'52.99"	0.28
P672	297300.07	9213505.21	P672-P673	124°49'28.16"	125°03'7.07"	6.57
P673	297305.46	9213501.46	P673-P674	125°36'15.91"	125°49'54.82"	0.41
P674	297305.79	9213501.22	P674-P675	126°23'3.67"	126°36'42.58"	3.68
P675	297308.75	9213499.04	P675-P676	112°14'56.49"	112°28'35.40"	3.71
P676	297312.19	9213497.63	P676-P677	112°22'28.24"	112°36'7.15"	0.07
P677	297312.25	9213497.61	P677-P678	114°22'30.00"	114°36'8.91"	0.98
P678	297313.14	9213497.20	P678-P679	118°07'30.00"	118°21'18.91"	0.98
P679	297314.01	9213496.74	P679-P680	121°30'42.96"	121°44'21.87"	0.79
P680	297314.69	9213496.32	P680-P681	123°01'25.92"	123°15'43.83"	1.49
P681	297315.93	9213495.52	P681-P682	92°23'9.40"	92°36'48.31"	1.52
P682	297317.45	9213495.45	P682-P683	93°04'4.70"	93°17'43.61"	0.36
P683	297317.81	9213495.43	P683-P684	95°37'30.00"	95°51'18.91"	0.98
P684	297318.79	9213495.34	P684-P685	99°22'30.00"	99°36'8.91"	0.98
P685	297319.76	9213495.18	P685-P686	102°38'35.24"	102°52'14.15"	0.73
P686	297320.47	9213495.02	P686-P687	104°02'10.48"	104°15'49.39"	5.80
P687	297326.10	9213493.61	P687-P688	104°31'25.24"	104°44'44.15"	0.25
P688	297326.34	9213493.55	P688-P689	106°52'30.00"	107°06'9.91"	0.98
P689	297327.28	9213493.26	P689-P690	110°37'30.00"	110°51'18.91"	0.98
P690	297328.20	9213492.92	P690-P691	114°22'30.00"	114°36'8.91"	0.98
P691	297329.09	9213492.51	P691-P692	117°29'41.63"	117°43'20.54"	0.65
P692	297329.67	9213492.21	P692-P693	118°44'23.26"	118°58'2.17"	8.29
P693	297336.94	9213488.22	P693-P694	119°22'11.63"	119°35'50.54"	0.33
P694	297337.23	9213488.06	P694-P695	121°52'30.00"	122°06'9.91"	0.98
P695	297338.06	9213487.54	P695-P696	124°15'50.10"	124°29'29.01"	0.27
P696	297338.28	9213487.39	P696-P697	124°48'40.19"	125°00'19.10"	9.48
P697	297346.07	9213481.98	P697-P698	118°41'10.13"	118°54'49.04"	11.32
P698	297356.00	9213476.55	P698-P699	103°05'30.81"	103°19'9.73"	8.30
P699	297364.08	9213474.67	P699-P700	104°02'45.41"	104°16'24.32"	0.50
P700	297364.57	9213474.55	P700-P701	106°52'30.00"	107°06'8.91"	0.98
P701	297365.51	9213474.27	P701-P702	110°37'30.00"	110°51'18.91"	0.98
P702	297366.43	9213473.92	P702-P703	114°22'30.00"	114°36'8.91"	0.98
P703	297367.32	9213473.51	P703-P704	118°07'30.00"	118°21'18.91"	0.98
P704	297368.18	9213473.05	P704-P705	121°00'6.69"	121°13'48.60"	0.52
P705	297368.63	9213472.78	P705-P706	122°00'19.38"	122°13'58.29"	8.85
P706	297376.14	9213468.09	P706-P707	122°52'36.69"	123°06'18.06"	0.46
P707	297376.52	9213467.84	P707-P708	125°37'30.00"	125°51'18.91"	0.98
P708	297377.32	9213467.27	P708-P709	127°57'32.50"	128°11'11.41"	0.24
P709	297377.51	9213467.12	P709-P710	128°26'55.00"	128°38'43.91"	6.54
P710	297382.63	9213463.06	P710-P711	112°09'58.84"	112°23'37.76"	4.70
P711	297386.98	9213461.29	P711-P712	112°19'50.42"	112°33'38.33"	0.09
P712	297387.06	9213461.26	P712-P713	114°22'30.00"	114°36'8.91"	0.98
P713	297387.96	9213460.85	P713-P714	116°46'29.23"	117°00'9.14"	0.27
P714	297388.20	9213460.73	P714-P715	117°1'58.46"	117°31'37.37"	8.18
P715	297395.47	9213456.97	P715-P716	118°38'56.23"	118°52'38.14"	0.71
P716	297396.09	9213456.64	P716-P717	121°50'42.12"	122°04'21.03"	0.97

P765	297584.67	9213334.40	P765-P766	139°13'44.13"	139°27'23.04"	0.25
P766	297584.84	9213334.21	P766-P767	139°42'28.27"	139°56'57.18"	12.08
P767	297592.65	9213325.00	P767-P768	124°01'19.66"	124°14'48.57"	9.25
P768	297600.32	9213319.82	P768-P769	125°45'34.83"	125°59'13.74"	0.91
P769	297601.08	9213319.29	P769-P770	129°22'30.00"	129°36'59.91"	0.98
P770	297601.81	9213318.66	P770-P771	133°07'30.00"	133°21'18.91"	0.98
P771	297602.53	9213317.99	P771-P772	136°52'30.00"	137°06'59.91"	0.98
P772	297603.20	9213317.28	P772-P773	140°17'46.99"	140°31'25.90"	0.81
P773	297603.72	9213316.65	P773-P774	141°50'33.88"	142°04'12.89"	8.35
P774	297608.88	9213310.09	P774-P775	142°10'16.99"	142°23'55.90"	0.17
P775	297608.98	9213309.95	P775-P776	144°22'30.00"	144°36'59.91"	0.98
P776	297609.58	9213309.15	P776-P777	148°07'30.00"	148°21'18.91"	0.98
P777	297610.07	9213308.32	P777-P778	151°52'30.00"	152°06'59.91"	0.98
P778	297610.54	9213307.45	P778-P779	155°37'30.00"	155°51'18.91"	0.98
P779	297610.94	9213306.56	P779-P780	158°58'54.02"	159°12'32.93"	0.78
P780	297611.22	9213305.84	P780-P781	160°27'48.04"	160°41'26.95"	5.66
P781	297613.11	9213300.50	P781-P782	144°51'56.90"	145°05'36.82"	5.69
P782	297616.39	9213295.85	P782-P783	145°33'28.45"	145°47'37.36"	0.36
P783	297616.59	9213295.55	P783-P784	146°40'20.56"	146°53'59.47"	0.22
P784	297616.71	9213295.37	P784-P785	147°05'41.13"	147°19'20.04"	9.50
P785	297621.87	9213287.39	P785-P786	148°32'50.56"	148°46'29.47"	0.76
P786	297622.27	9213286.74	P786-P787	150°46'42.73"	151°00'21.64"	0.41
P787	297622.47	9213286.39	P787-P788	151°33'25.46"	151°47'47.37"	6.40
P788	297625.52	9213280.76	P788-P789	152°39'12.73"	152°52'51.64"	0.57
P789	297625.78	9213280.25	P789-P790	155°37'30.00"	155°51'18.91"	0.98
P790	297626.19	9213279.36	P790-P791	159°22'30.00"	159°36'59.91"	0.98
P791	297626.53	9213278.44	P791-P792	161°24'27.09"	161°38'06.00"	0.08
P792	297626.56	9213278.36	P792-P793	161°33'54.18"	161°47'43.09"	8.68
P793	297629.30	9213270.13	P793-P794	159°51'49.31"	160°05'28.22"	7.27
P794	297631.80	9213263.30	P794-P795	160°33'24.65"	160°47'35.56"	0.36
P795	297631.93	9213262.96	P795-P796	163°07'30.00"	163°21'18.91"	0.98
P796	297632.21	9213262.02	P796-P797	166°52'30.00"	167°06'59.91"	0.98
P797	297632.43	9213261.06	P797-P798	169°18'45.59"	169°32'24.50"	0.29
P798	297632.49	9213260.77	P798-P799	169°52'31.18"	170°06'10.09"	3.82
P799	297633.16	9213257.02	P799-P800	148°19'28.31"	148°33'27.22"	10.10
P800	297638.46	9213248.43	P800-P801	149°09'44.16"	149°23'23.07"	0.44
P801	297638.69	9213248.05	P801-P802	151°52'30.00"	152°06'59.91"	0.98
P802	297639.15	9213247.18	P802-P803	155°37'30.00"	155°51'18.91"	0.98
P803	297639.55	9213246.29	P803-P804	157°59'57.42"	158°13'36.33"	0.26
P804	297639.65	9213246.05	P804-P805	159°23'54.84"	159°37'33.75"	6.68
P805	297642.10	9213239.83	P805-P806	146°02'27.42"	146°15'46.33"	20.50
P806	297653.56	9213222.82	P806-P807	146°08'33.72"	146°22'12.63"	0.06
P807	297653.59	9213222.78	P807-P808	148°07'30.00"	148°21'18.91"	0.98
P808	297654.10	9213221.94	P808-P809	151°52'30.00"	152°06'59.91"	0.98
P809	297654.57	9213221.08	P809-P810	155°37'30.00"	155°51'18.91"	0.98
P810	297654.97	9213220.18	P810-P811	158°21'49.94"	158°35'29.85"	0.45
P811	297655.14	9213219.76	P811-P812	159°13'39.88"	159°27'18.79"	3.11
P812	297656.24	9213216.86	P812-P813	150°38'32.09"	150°52'11.00"	6.39

P813	297659.37	9213211.29	P813-P814	152°11'46.04"	152°25'24.95"	0.81
P814	297659.75	9213210.57	P814-P815	155°37'30.00"	155°51'18.91"	0.98
P815	297660.16	9213209.68	P815-P816	159°22'30.00"	159°36'59.91"	0.98
P816	297660.50	9213208.76	P816-P817	161°38'25.55"	161°52'44.46"	0.20
P817	297660.57	9213208.56	P817-P818	162°01'51.10"	162°15'30.01"	5.31
P818	297662.21	9213203.51	P818-P819	163°30'55.55"	163°44'34.46"	0.78
P819	297662.43	9213202.77	P819-P820	166°03'45.00"	166°17'23.91"	0.56
P820	297662.56	9213202.23	P820-P821	167°07'29.99"	167°21'18.90"	4.57
P821	297663.58	9213197.78	P821-P822	128°39'35.28"	128°53'14.19"	0.01
P822	297663.59	9213197.77	P822-P823	128°57'17.66"	130°10'58.57"	0.88
P823	297664.11	9213197.34	P823-P824	133°07'30.00"	133°21'18.91"	0.98
P824	297664.82	9213196.67	P824-P825	136°52'30.00"	137°06'59.91"	0.98
P825	297665.49	9213195.95	P825-P826	140°37'30.00"	140°51'18.91"	0.98
P826	297666.12	9213195.19	P826-P827	144°22'30.00"	144°36'59.91"	0.98
P827	297666.69	9213194.39	P827-P828	148°03'15.51"	148°16'54.42"	0.94
P828	297667.19	9213193.59	P828-P829	149°51'31.01"	150°05'09.92"	4.26
P829	297669.33	9213189.91	P829-P830	145°00'28.73"	145°14'47.64"	3.64
P830	297671.41	9213186.93	P830-P831	139°30'50.36"	139°44'29.27"	6.64
P831	297675.72	9213181.88	P831-P832	141°00'25.18"	141°14'44.09"	0.78
P832	297676.21	9213181.27	P832-P833	144°22'30.00"	144°36'59.91"	0.98
P833	297676.79	9213180.47	P833-P834	148°07'30.00"	148°21'18.91"	0.98
P834	297677.31	9213179.64	P834-P835	150°28'21.71"	150°42'02.62"	0.25
P835	297677.43	9213179.42	P835-P836	150°56'43.43"	151°10'22.34"	4.01
P836	297679.37	9213175.92	P836-P837	138°41'28.99"	138°55'57.90"	4.39
P837	297682.27	9213172.82	P837-P838	138°43'14.48"	138°56'53.39"	0.02
P838	297682.28	9213172.61	P838-P839	140°37'30.00"	140°51'18.91"	0.98
P839	297682.90	9213171.85	P839-P840	144°22'30.00"	144°36'59.91"	0.98
P840	297683.47	9213171.06	P840-P841	148°07'30.00"	148°21'18.91"	0.98
P841	297683.99	9213170.22	P841-P842	151°52'30.00"	152°06'59.91"	0.98
P842	297684.45	9213169.36	P842-P843	154°02'11.73"	154°15'50.64"	0.15
P843	297684.52	9213169.22	P843-P844	154°19'23.45"	154°33'32.37"	7.87
P844	297687.93	9213162.12	P844-P845	156°54'41.73"	156°08'20.64"	0.83
P845	297688.27	9213161.37	P845-P846	159°22'30.00"	159°36'59.91"	0.98
P846	297688.62	9213160.45	P846-P847	163°07'30.00"	163°21'18.91"	0.98
P847	297688.90	9213159.51	P847-P848	166°52'30.00"	167°06'59.91"	0.98
P848	297689.13	9213158.55	P848-P849	170°37'30.00"	170°51'18.91"	0.98
P849	297689.29	9213157.58	P849-P850	174°22'30.00"	174°36'59.91"	0.98
P850	297689.38	9213156.61	P850-P851	178°07'30.00"	178°21'18.91"	0.98
P851	297689.41	9213155.63	P851-P852	181°52'30.00"	182°06'59.91"	0.98
P852	297689.38	9213154.64	P852-P853	185°37'30.00"	185°51'18.91"	0.98
P853	297689.29	9213153.67	P853-P854	189°22'30.00"	189°36'59.91"	0.98
P854	297689.13	9213152.70	P854-P855	193°07'30.00"	193°21'18.91"	0.98
P855	297688.90	9213151.74	P855-P856	196°52'30.00"	197°06'59.91"	0.98
P856	297688.62	9213150.80	P856-P857	200°37'30.00"	200°51'18.91"	0.98
P857	297688.27	9213149.89	P857-P858	204°22'30.00"	204°36'59.91"	0.98
P858	297687.87	9213148.93	P858-P859	208°07'30.00"	208°21'18.91"	0.98
P859	297687.40	9213148.13	P859-P860	211°52'30.00"	212°06'59.91"	0.98
P860	297686.89	9213147.29	P860-P861	215°37'30.00"	215°51'18.91"	0.98

P861	297686.31	9213146.49	P861-P862	218°44'54.89"	218°58'33.80"	0.65
P862	297686.90	9213145.98	P862-P863	219°59'49.77"	220°13'28.68"	5.83
P863	297682.16	9213141.52	P863-P864	207°05'43.99"	207°19'22.90"	2.08
P864	297681.21	9213139.67	P864-P865	203°40'55.52"	203°54'34.43"	1.76
P865	297680.51	9213138.06	P865-P866	156°41'42.39"	156°55'21.30"	2.56
P866	297681.52	9213135.71	P866-P867	157°05'51.20"	157°19'30.11"	0.21
P867	297681.60	9213135.51	P867-P868	159°22'30.00"	159°36'59.91"	0.98
P868	297681.95	9213134.59	P868-P869	163°07'30.00"	163°21'18.91"	0.98
P869	297682.23	9213133.65	P869-P870	166°52'30.00"	167°06'59.91"	0.98
P870	297682.45	9213132.70	P870-P871	170°18'35.82"	170°32'14.73"	0.82
P871	297682.59	9213131.89	P871-P872	171°52'11.63"	172°05'50.54"	8.03
P872	297683.73	9213123.95	P872-P873	172°11'55.82"	172°24'44.73"	0.16
P873	297683.75	9213123.78	P873-P874	174°22'30.00"	174°36'59.91"	0.98
P874	297683.85	9213122.81	P874-P875	178°07'30.00"	178°21'18.91"	0.98
P875	297683.88	9213121.82	P875-P876	181°35'23.69"	181°49'02.60"	0.83
P876	297683.86	9213120.99	P876-P877	183°10'47.39"	183°24'26.30"	3.15
P877	297683.68	9213117.85	P877-P878	183°27'53.70"	183°41'32.61"	0.15
P878	297683.67	9213117.70	P878-P879	185°37'30.00"	185°51'18.91"	0.98
P879	297683.58	9213116.72	P879-P880	189°22'30.00"	189°36'59.91"	0.98
P880	297683.42	9213115.75	P880-P881	192°25'30.98"	192°39'09.89"	0.62
P881	297683.28	9213115.15	P881-P882	193°36'11.95"	193°49'40.86"	4.24
P882	297682.29	9213111.03	P882-P883	183°28'55.63"	183°41'44.54"	1.56
P883	297682.19	9213109.47	P883-P884	183°36'32.81"	183°50'11.72"	0.07
P884	297682.19	9213109.40	P884-P885	185°37'30.00"	185°51'18.91"	0.98
P885	297682.09	9213108.42	P885-P886	189°22'30.00"	189°36'59.91"	0.98
P886	297681.93	9213107.46	P886-P887	193°07'30.00"	193°21'18.91"	0.98
P887	297681.71	9213106.50	P887-P888	196°43'32.91"	196°56'41.82"	0.90
P888	297681.45	9213105.64	P888-P889	198°26'55.82"	198°39'44.73"	3.27
P889	297680.42	9213102.54	P889-P890	198°05'50.40"	198°19'39.31"	1.01
P890	297680.10	9213101.58	P890-P891	174°22'30.00"	174°36'59.91"	0.78
P891	297680.18	9213100.80	P891-P892	178°07'30.00"	178°21'18.91"	0.98
P892	297680.21	9213099.81	P892-P893	181°52'30.00"	182°06'59.91"	0.98
P893	297680.18	9213098.83	P893-P894	185°37'30.00"	185°51'18.91"	0.98
P894	297680.08	9213097.86	P894-P895	189°22'30.00"	189°36'59.91"	0.98
P895	297679.92	9213096.89	P895-P896	193°07'30.00"	193°21'18.91"	0.98
P896	297679.70	9213095.93	P896-P897	196°52'30.00"	197°06'59.91"	0.98
P897	297679.41	9213094.99	P897-P898	200°37'30.00"	200°51'18.91"	0.98
P898	297679.07	9213094.07	P898-P899	204°22'30.00"	204°36'59.91"	0.39
P899	297678.91	9213093.72	P899-P900	185°42'38.14"	185°56'17.05"	4.21
P900	297678.49	9213093.53	P900-P901	155°51'16.05"	155°04'54.96"	0.57
P901	297678.72	9213089.01	P901-P902	156°40'38.02"	156°54'16.93"	0.43
P902	297678.89	9213088.61	P902-P903	159°22'30.00"	159°36'59.91"	0.98
P903	297679.24	9213087.69	P903-P904	163°07'30.00"	163°21'18.91"	0.98
P904	297679.52	9213086.75	P904-P905	166°52'30.00"	167°06'59.91"	0.98
P905	297679.75	9213085.80	P905-P906	168°42'47.53"	168°56'26.44"	0.50
P906	297679.84	9213085.30	P906-P907	170°40'35.07"	170°54'13.98"	3.87
P907	297680.46	9213081.48	P907-P908	159°22'30.00"	159°36'59.91"	0.74
P908	297680.72	9213080.79	P908-P909	161°24'27.09"	161°38'06.01"	0.08

P957	297687.59	9213028.63	P957-P958	170°16'20.72"	170°29'59.63"	3.10
P958	297688.12	9213025.59	P958-P959	171°23'10.36"	171°36'49.27"	0.58
P959	297688.20	9213025.00	P959-P960	174°22'30.00"	174°36'09.91"	0.98
P960	297688.30	9213024.02	P960-P961	178°07'30.00"	178°21'18.91"	0.98
P961	297688.33	9213023.04	P961-P962	180°45'13.38"	180°58'52.29"	0.39
P962	297688.33	9213022.65	P962-P963	181°30'26.77"	181°44'55.68"	3.32
P963	297688.24	9213019.33	P963-P964	181°37'17.66"	181°50'56.57"	0.06
P964	297688.24	9213019.27	P964-P965	181°44'48.54"	181°57'47.45"	2.88
P965	297688.15	9213016.39	P965-P966	182°44'34.27"	182°58'13.18"	0.53
P966	297688.13	9213015.86	P966-P967	185°37'30.00"	185°51'18.91"	0.98
P967	297688.03	9213014.88	P967-P968	189°22'30.00"	189°36'09.91"	0.98
P968	297687.87	9213013.91	P968-P969	193°07'30.00"	193°21'18.91"	0.98
P969	297687.65	9213012.96	P969-P970	196°52'30.00"	197°06'09.91"	0.98
P970	297687.36	9213012.02	P970-P971	200°37'30.00"	200°51'18.91"	0.98
P971	297687.02	9213011.10	P971-P972	202°33'35.76"	202°47'14.67"	0.03
P972	297687.01	9213011.08	P972-P973	185°21'20.96"	185°34'59.87"	0.05
P973	297687.00	9213011.03	P973-P974	160°38'27.62"	160°52'26.53"	0.14
P974	297687.05	9213010.89	P974-P975	160°58'43.81"	161°10'22.72"	0.16
P975	297687.10	9213010.74	P975-P976	163°07'30.00"	163°21'18.91"	0.98
P976	297687.38	9213009.80	P976-P977	166°52'30.00"	167°06'09.91"	0.98
P977	297687.61	9213008.85	P977-P978	170°37'30.00"	170°51'18.91"	0.98
P978	297687.77	9213007.88	P978-P979	174°22'30.00"	174°36'09.91"	0.98
P979	297687.86	9213006.90	P979-P980	178°07'30.00"	178°21'18.91"	0.98
P980	297687.90	9213005.92	P980-P981	181°19'53.40"	181°33'32.31"	0.70
P981	297687.88	9213005.22	P981-P982	182°39'46.80"	182°53'25.71"	3.76
P982	297687.71	9213001.47	P982-P983	183°12'23.40"	183°26'32.31"	0.28
P983	297687.69	9213001.18	P983-P984	185°02'42.34"	185°16'21.26"	0.68
P984	297687.63	9213000.51	P984-P985	186°20'24.69"	186°34'03.60"	0.75
P985	297687.55	9212999.76	P985-P986	180°00'00.00"	180°13'38.91"	0.80
P986	297687.55	9212998.97	P986-P987	176°25'25.20"	176°39'14.11"	2.33
P987	297687.69	9212996.64	P987-P988	178°12'42.60"	178°26'21.51"	0.94
P988	297687.72	9212995.70	P988-P989	180°00'00.00"	180°13'38.91"	0.31
P989	297687.72	9212995.40	P989-P990	148°29'17.04"	148°42'55.95"	0.17
P990	297687.81	9212995.25	P990-P991	151°52'30.00"	152°06'09.91"	0.98
P991	297688.27	9212994.39	P991-P992	154°16'27.98"	154°30'06.89"	0.27
P992	297688.38	9212994.14	P992-P993	154°47'55.95"	155°01'34.87"	1.64
P993	297688.09	9212992.66	P993-P994	156°08'57.89"	156°22'36.89"	0.71
P994	297688.37	9212992.01	P994-P995	159°22'30.00"	159°36'09.91"	0.98
P995	297689.72	9212991.09	P995-P996	163°07'30.00"	163°21'18.91"	0.98
P996	297690.01	9212990.15	P996-P997	166°52'30.00"	167°06'09.91"	0.98
P997	297690.23	9212989.20	P997-P998	170°37'30.00"	170°51'18.91"	0.98
P998	297690.39	9212988.23	P998-P999	174°22'30.00"	174°36'09.91"	0.98
P999	297690.48	9212987.25	P999-P1000	178°07'30.00"	178°21'18.91"	0.98
P1000	297690.52	9212986.27	P1000-P1001	181°52'30.00"	182°06'09.91"	0.98
P1001	297690.48	9212985.29	P1001-P1002	185°37'30.00"	185°51'18.91"	0.98
P1002	297690.38	9212984.31	P1002-P1003	189°22'30.00"	189°36'09.91"	0.51
P1003	297690.30	9212983.81	P1003-P1004	151°52'30.00"	152°06'09.91"	0.87
P1004	297690.72	9212983.03	P1004-P1005	156°37'30.00"	156°51'18.91"	0.98

P1005	297691.12	9212982.14	P1005-P1006	159°22'30.00"	159°36'09.91"	0.98
P1006	297691.47	9212981.22	P1006-P1007	163°07'30.00"	163°21'18.91"	0.98
P1007	297691.75	9212980.28	P1007-P1008	166°52'30.00"	167°06'09.91"	0.98
P1008	297691.97	9212979.33	P1008-P1009	170°37'30.00"	170°51'18.91"	0.98
P1009	297692.13	9212978.36	P1009-P1010	174°22'30.00"	174°36'09.91"	0.98
P1010	297692.23	9212977.38	P1010-P1011	178°07'30.00"	178°21'18.91"	0.98
P1011	297692.26	9212976.40	P1011-P1012	181°26'49.83"	181°40'28.74"	0.76
P1012	297692.24	9212975.64	P1012-P1013	182°53'39.68"	183°07'18.59"	0.02
P1013	297692.24	9212975.63	P1013-P1014	168°56'33.89"	169°09'42.80"	0.02
P1014	297692.25	9212975.61	P1014-P1015	170°43'11.94"	170°56'40.86"	0.93
P1015	297692.40	9212974.69	P1015-P1016	174°22'30.00"	174°36'09.91"	0.98
P1016	297692.49	9212973.71	P1016-P1017	178°07'30.00"	178°21'18.91"	0.98
P1017	297692.53	9212972.73	P1017-P1018	180°00'00.00"	180°13'38.91"	0.46
P1018	297692.53	9212972.27	P1018-P1019	160°49'15.57"	161°02'54.48"	0.12
P1019	297692.57	9212972.16	P1019-P1020	161°02'17.79"	161°15'46.70"	0.11
P1020	297692.60	9212972.05	P1020-P1021	163°07'30.00"	163°21'18.91"	0.98
P1021	297692.89	9212971.11	P1021-P1022	166°52'30.00"	167°06'09.91"	0.98
P1022	297693.11	9212970.16	P1022-P1023	170°37'30.00"	170°51'18.91"	0.98
P1023	297693.27	9212969.19	P1023-P1024	174°22'30.00"	174°36'09.91"	0.98
P1024	297693.37	9212968.21	P1024-P1025	178°07'30.00"	178°21'18.91"	0.98
P1025	297693.40	9212967.23	P1025-P1026	180°00'00.00"	180°13'38.91"	1.48
P1026	297693.40	9212965.74	P1026-P1027	181°52'30.00"	182°06'09.91"	0.98
P1027	297693.37	9212964.76	P1027-P1028	183°56'50.05"	184°12'28.96"	0.12
P1028	297693.36	9212964.64	P1028-P1029	184°12'40.08"	184°26'18.99"	0.01
P1029	297693.36	9212964.63	P1029-P1030	161°57'59.09"	162°11'38.00"	0.01
P1030	297693.36	9212964.62	P1030-P1031	163°28'59.53"	163°42'38.44"	0.79
P1031	297693.59	9212963.86	P1031-P1032	166°52'30.00"	167°06'09.91"	0.98
P1032	297693.81	9212962.91	P1032-P1033	170°22'21.55"	170°36'04.46"	0.85
P1033	297693.95	9212962.07	P1033-P1034	171°59'43.99"	172°13'22.00"	0.02
P1034	297693.95	9212962.04	P1034-P1035	162°56'49.48"	163°10'28.39"	0.02
P1035	297693.96	9212962.02	P1035-P1036	163°58'24.75"	164°12'33.66"	0.94
P1036	297694.11	9212961.50	P1036-P1037	166°52'30.00"	167°06'09.91"	0.98
P1037	297694.33	9212960.55	P1037-P1038	169°38'37.82"	169°52'16.73"	0.47
P1038	297694.42	9212960.09	P1038-P1039	170°32'15.64"	170°45'54.55"	3.19
P1039	297694.94	9212956.94	P1039-P1040	170°46'57.09"	171°00'36.00"	0.13
P1040	297694.98	9212956.82	P1040-P1041	171°01'38.54"	171°15'17.45"	1.72
P1041	297695.23	9212955.12	P1041-P1042	158°33'18.15"	158°46'47.06"	0.99
P1042	297695.59	9212954.20	P1042-P1043	159°54'47.07"	160°07'42.99"	0.71
P1043	297695.83	9212953.53	P1043-P1044	163°07'30.00"	163°21'18.91"	0.98
P1044	297696.12	9212952.60	P1044-P1045	166°52'30.00"	167°06'09.91"	0.98
P1045	297696.34	9212951.64	P1045-P1046	170°37'30.00"	170°51'18.91"	0.47
P1046	297696.42	9212951.18	P1046-P1047	136°52'30.00"	137°06'09.91"	0.36
P1047	297696.66	9212950.92	P1047-P1048	140°37'30.00"	140°51'18.91"	0.98
P1048	297697.29	9212950.16	P1048-P1049	144°22'30.00"	144°36'09.91"	0.98
P1049	297697.86	9212949.36	P1049-P1050	148°07'30.00"	148°21'18.91"	0.98
P1050	297698.38	9212948.53	P1050-P1051	151°52'30.00"	152°06'09.91"	0.98
P1051	297698.84	9212947.68	P1051-P1052	155°37'30.00"	155°51'18.91"	0.98
P1052	297699.24	9212946.77	P1052-P1053	159°22'30.00"	159°36'09.91"	0.98

P1053	297699.59	9212945.85	P1053-P1054	163°07'30.00"	163°21'18.91"	0.98
P1054	297699.87	9212944.91	P1054-P1055	165°07'41.58"	165°21'20.49"	0.07
P1055	297699.89	9212944.84	P1055-P1056	165°15'23.17"	165°29'02.08"	1.93
P1056	297700.38	9212942.98	P1056-P1057	153°47'19.04"	154°00'57.95"	4.82
P1057	297702.51	9212938.66	P1057-P1058	155°38'39.52"	155°52'18.43"	0.97
P1058	297702.91	9212937.77	P1058-P1059	159°22'30.00"	159°36'09.91"	0.98
P1059	297703.26	9212936.85	P1059-P1060	163°07'30.00"	163°21'18.91"	0.98
P1060	297703.54	9212935.91	P1060-P1061	166°52'30.00"	167°06'09.91"	0.98
P1061	297703.77	9212934.96	P1061-P1062	169°00'19.99"	169°13'58.90"	0.13
P1062	297703.79	9212934.83	P1062-P1063	169°15'39.97"	169°29'18.88"	5.16
P1063	297704.75	9212929.76	P1063-P1064	170°20'19.47"	170°33'58.38"	0.56
P1064	297704.85	9212929.20	P1064-P1065	171°24'59.96"	171°39'37.87"	2.31
P1065	297705.19	9212926.92	P1065-P1066	153°26'25.82"	153°39'44.73"	2.51
P1066	297706.31	9212924.68	P1066-P1067	153°35'32.91"	153°49'11.82"	0.08
P1067	297706.35	9212924.60	P1067-P1068	155°37'30.00"	155°51'18.91"	0.98
P1068	297706.76	9212923.71	P1068-P1069	158°22'30.00"	158°36'09.91"	0.98
P1069	297707.10	9212922.79	P1069-P1070	163°07'30.00"	163°21'18.91"	0.98
P1070	297707.39	9212921.85	P1070-P1071	166°52'30.00"	167°06'09.91"	0.98
P1071	297707.61	9212920.89	P1071-P1072	170°37'30.00"	170°51'18.91"	0.98
P1072	297707.77	9212919.93	P1072-P1073	173°33'19.24"	173°46'58.15"	0.55
P1073	297707.83	9212919.38	P1073-P1074	174°36'38.48"	174°50'17.39"	4.65
P1074	297708.27	9212914.75	P1074-P1075	175°25'49.24"	175°39'28.15"	0.43
P1075	297708.30	9212914.32	P1075-P1076	178°07'30.00"	178°21'18.91"	0.98
P1076	297708.33	9212913.34	P1076-P1077	181°25'52.33"	181°39'31.24"	0.60
P1077	297708.32	9212912.74	P1077-P1078	147°31'43.71"	147°45'22.62"	0.80
P1078	297708.75	9212912.07	P1078-P1079	145°46'54.02"	146°00'32.93"	3.71
P1079	297710.84	9212909.00	P1079-P1080	146°00'57.01"	146°14'35.92"	0.12
P1080	297710.90	9212908.89	P1080-P1081	148°07'30.00"	148°21'18.91"	0.98
P1081	297711.42	9212908.06	P1081-P1082	151°52'30.00"	152°06'09.91"	0.98
P1082	297711.89	9212907.19	P1082-P1083	155°37'30.00"	155°51'18.91"	0.98
P1083	297712.29	9212906.30	P1083-P1084	158°02'36.47"	158°16'15.38"	0.28
P1084	297712.40	9212906.04	P1084-P1085	158°35'12.97"	158°49'51.88"	0.01
P1085	297712.40	9212906.03	P1085-P1086	134°01'58.54"	134°15'37.45"	0.01
P1086	297712.41	9212906.02	P1086-P1087	134°30'59.28"	134°44'38.19"	0.25
P1087	297712.59	9212905.84	P1087-P1088	136°52'30.00"	137°06'09.91"	0.98
P1088	297713.26	9212905.13	P1088-P1089	140°37'30.00"	140°51'18.91"	0.98
P1089	297713.48	9212904.37	P1089-P1090	144°22'30.00"	144°36'09.91"	0.98
P1090	297714.45	9212903.57	P1090-P1091	146°16'47.88"	146°30'26.79"	0.02
P1091	297714.46	9212903.56	P1091-P1092	146°18'35.76"	146°32'14.67"	1.97
P1092	297715.55	9212901.92	P1092-P1093	148°09'17.88"	148°22'56.79"	0.98
P1093	297716.08	9212901.10	P1093-P1094	151°52'30.00"	152°06'09.91"	0.98
P1094	297716.53	9212900.23	P1094-P1095	155°37'30.00"	155°51'18.91"	0.98
P1095	297716.93	9212899.34	P1095-P1096	159°22'30.00"	159°36'09.91"	0.98
P1096	297717.18	9212898.42	P1096-P1097	163°07'30.00"	163°21'18.91"	0.98
P1097	297717.56	9212897.49	P1097-P1098	166°52'30.00"	167°06'09.91"	0.98
P1098	297717.78	9212896.53	P1098-P1099	170°37'30.00"	170°51'18.91"	0.98
P1099	297717.94	9212895.56	P1099-P1100	174°22'30.00"	174°36'09.91"	0.98
P1100	297718.04	9212894.58	P1100-P1101	178°07'30.00"	178°21'18.91"	0.98

P1149	297738.29	9212843.38	P1149-P1150	140°47'34.11"	141°01'13.02"	0.89
P1150	297738.86	9212842.68	P1150-P1151	144°22'30.00"	144°38'9.91"	0.98
P1151	297739.43	9212841.89	P1151-P1152	148°07'30.00"	148°17'8.91"	0.98
P1152	297739.95	9212841.05	P1152-P1153	151°03'34.91"	151°16'43.82"	0.55
P1153	297740.21	9212840.57	P1153-P1154	152°06'58.82"	152°19'48.73"	2.63
P1154	297741.44	9212838.25	P1154-P1155	152°55'34.91"	153°09'13.82"	0.43
P1155	297741.64	9212837.87	P1155-P1156	154°39'10.89"	154°52'49.79"	0.47
P1156	297741.84	9212837.44	P1156-P1157	155°33'21.76"	155°47'0.67"	2.88
P1157	297743.03	9212834.82	P1157-P1158	152°21'14.49"	152°34'53.40"	2.82
P1158	297744.34	9212832.32	P1158-P1159	153°03'27.24"	153°16'46.15"	0.37
P1159	297744.50	9212832.00	P1159-P1160	155°37'30.00"	155°51'8.91"	0.98
P1160	297744.91	9212831.10	P1160-P1161	159°22'30.00"	159°36'8.91"	0.98
P1161	297745.25	9212830.19	P1161-P1162	163°07'30.00"	163°21'8.91"	0.98
P1162	297745.54	9212829.25	P1162-P1163	166°43'11.76"	166°56'50.68"	0.90
P1163	297745.74	9212828.37	P1163-P1164	168°26'23.53"	168°40'2.44"	4.19
P1164	297746.58	9212824.27	P1164-P1165	137°36'59.22"	137°49'48.13"	1.08
P1165	297747.31	9212823.47	P1165-P1166	138°10'34.61"	138°24'13.52"	0.30
P1166	297747.51	9212823.25	P1166-P1167	140°37'30.00"	140°51'8.91"	0.98
P1167	297748.14	9212822.49	P1167-P1168	144°22'30.00"	144°36'8.91"	0.98
P1168	297748.71	9212821.69	P1168-P1169	148°07'30.00"	148°21'8.91"	0.98
P1169	297749.23	9212820.86	P1169-P1170	151°52'30.00"	152°06'8.91"	0.98
P1170	297749.69	9212819.99	P1170-P1171	155°37'30.00"	155°51'8.91"	0.98
P1171	297750.09	9212819.10	P1171-P1172	159°22'30.00"	159°36'8.91"	0.98
P1172	297750.44	9212818.18	P1172-P1173	163°07'30.00"	163°21'8.91"	0.98
P1173	297750.72	9212817.24	P1173-P1174	166°52'30.00"	167°06'8.91"	0.98
P1174	297750.95	9212816.28	P1174-P1175	170°18'35.82"	170°32'14.73"	0.82
P1175	297751.08	9212815.49	P1175-P1176	171°52'11.63"	172°05'50.64"	1.34
P1176	297751.27	9212814.15	P1176-P1177	160°01'00.82"	160°14'39.73"	1.29
P1177	297751.72	9212812.94	P1177-P1178	157°22'48.49"	157°36'27.40"	3.20
P1178	297752.95	9212809.98	P1178-P1179	157°26'24.25"	157°40'3.16"	0.03
P1179	297752.96	9212809.95	P1179-P1180	159°22'30.00"	159°36'8.91"	0.98
P1180	297753.30	9212809.03	P1180-P1181	163°07'30.00"	163°21'8.91"	0.98
P1181	297753.59	9212808.09	P1181-P1182	166°52'30.00"	167°06'8.91"	0.98
P1182	297753.81	9212807.14	P1182-P1183	170°37'30.00"	170°51'8.91"	0.98
P1183	297753.97	9212806.17	P1183-P1184	174°22'30.00"	174°36'8.91"	0.98
P1184	297754.07	9212805.19	P1184-P1185	178°07'30.00"	178°21'8.91"	0.98
P1185	297754.10	9212804.21	P1185-P1186	181°40'59.63"	181°54'38.54"	0.88
P1186	297754.09	9212803.33	P1186-P1187	183°21'59.26"	183°35'38.17"	0.46
P1187	297754.05	9212802.87	P1187-P1188	115°12'4.04"	115°25'42.96"	2.15
P1188	297756.00	9212801.95	P1188-P1189	115°43'32.03"	115°57'10.94"	0.27
P1189	297756.24	9212801.83	P1189-P1190	118°07'30.00"	118°21'8.91"	0.98
P1190	297757.11	9212801.37	P1190-P1191	121°52'30.00"	122°06'8.91"	0.98
P1191	297757.94	9212800.85	P1191-P1192	125°37'30.00"	125°51'8.91"	0.98
P1192	297758.74	9212800.28	P1192-P1193	129°22'30.00"	129°36'8.91"	0.98
P1193	297759.50	9212799.66	P1193-P1194	133°07'30.00"	133°21'8.91"	0.98
P1194	297760.22	9212798.99	P1194-P1195	136°52'30.00"	137°06'8.91"	0.98
P1195	297760.89	9212798.27	P1195-P1196	140°37'30.00"	140°51'8.91"	0.98
P1196	297761.51	9212797.51	P1196-P1197	144°22'30.00"	144°36'8.91"	0.98

P1197	297762.08	9212796.71	P1197-P1198	148°07'30.00"	148°21'8.91"	0.98
P1198	297762.60	9212795.88	P1198-P1199	151°52'30.00"	152°06'8.91"	0.98
P1199	297763.06	9212795.02	P1199-P1200	155°57'30.00"	155°51'8.91"	0.98
P1200	297763.47	9212794.12	P1200-P1201	159°22'30.00"	159°36'8.91"	0.98
P1201	297763.81	9212793.20	P1201-P1202	163°07'30.00"	163°21'8.91"	0.98
P1202	297764.10	9212792.26	P1202-P1203	166°52'30.00"	167°06'8.91"	0.98
P1203	297764.32	9212791.31	P1203-P1204	170°37'30.00"	170°51'8.91"	0.98
P1204	297764.48	9212790.34	P1204-P1205	174°22'30.00"	174°36'8.91"	0.98
P1205	297764.58	9212789.36	P1205-P1206	178°07'30.00"	178°21'8.91"	0.98
P1206	297764.61	9212788.38	P1206-P1207	181°52'30.00"	182°06'8.91"	0.98
P1207	297764.58	9212787.40	P1207-P1208	185°37'30.00"	185°51'8.91"	0.98
P1208	297764.48	9212786.42	P1208-P1209	189°03'35.38"	189°17'14.29"	0.82
P1209	297764.35	9212785.62	P1209-P1210	190°37'10.76"	190°50'49.67"	2.13
P1210	297763.96	9212783.52	P1210-P1211	151°19'30.22"	151°33'9.13"	0.14
P1211	297764.02	9212783.40	P1211-P1212	152°39'0.45"	152°52'39.36"	4.46
P1212	297766.07	9212779.44	P1212-P1213	153°02'33.13"	153°16'12.04"	0.21
P1213	297766.16	9212779.26	P1213-P1214	153°26'5.82"	153°39'44.73"	3.66
P1214	297767.80	9212775.98	P1214-P1215	153°35'32.90"	153°49'11.82"	0.08
P1215	297767.84	9212775.91	P1215-P1216	154°57'20.27"	155°10'59.18"	0.63
P1216	297768.11	9212775.34	P1216-P1217	156°09'40.54"	156°23'19.45"	6.42
P1217	297770.70	9212769.47	P1217-P1218	156°49'50.27"	157°03'29.18"	0.35
P1218	297770.84	9212769.15	P1218-P1219	159°22'30.00"	159°36'8.91"	0.98
P1219	297771.18	9212768.23	P1219-P1220	161°24'27.09"	161°38'6.00"	0.08
P1220	297771.21	9212768.15	P1220-P1221	161°33'54.18"	161°47'33.09"	1.29
P1221	297771.62	9212766.92	P1221-P1222	163°16'57.08"	163°30'36.00"	0.75
P1222	297771.83	9212766.21	P1222-P1223	136°52'30.00"	137°06'8.91"	0.76
P1223	297772.35	9212765.65	P1223-P1224	140°37'30.00"	140°51'8.91"	0.98
P1224	297772.97	9212764.90	P1224-P1225	144°22'30.00"	144°36'8.91"	0.98
P1225	297773.54	9212764.10	P1225-P1226	148°07'30.00"	148°21'8.91"	0.98
P1226	297774.06	9212763.26	P1226-P1227	151°43'2.91"	151°56'41.82"	0.90
P1227	297774.49	9212762.47	P1227-P1228	153°26'5.82"	153°39'44.73"	2.44
P1228	297775.58	9212760.29	P1228-P1229	153°35'32.90"	153°49'11.82"	0.08
P1229	297775.62	9212760.21	P1229-P1230	154°16'27.98"	154°30'6.89"	0.27
P1230	297775.74	9212759.97	P1230-P1231	154°47'55.95"	155°01'34.87"	2.56
P1231	297776.83	9212757.65	P1231-P1232	166°52'30.00"	167°06'8.91"	0.75
P1232	297777.11	9212757.00	P1232-P1233	158°55'23.12"	159°09'2.03"	0.75
P1233	297777.38	9212756.31	P1233-P1234	160°20'46.23"	160°34'25.14"	4.06
P1234	297778.75	9212752.48	P1234-P1235	160°47'53.12"	161°01'32.03"	0.24
P1235	297778.83	9212752.26	P1235-P1236	163°07'30.00"	163°21'8.91"	0.98
P1236	297779.11	9212751.32	P1236-P1237	166°52'30.00"	167°06'8.91"	0.98
P1237	297779.33	9212750.37	P1237-P1238	170°37'30.00"	170°51'8.91"	0.98
P1238	297779.49	9212749.40	P1238-P1239	174°19'39.02"	174°33'17.93"	0.96
P1239	297779.59	9212748.45	P1239-P1240	176°09'18.03"	176°22'56.94"	0.01
P1240	297779.59	9212748.44	P1240-P1241	150°56'43.43"	151°10'22.34"	2.64
P1241	297780.87	9212746.13	P1241-P1242	152°20'51.71"	152°34'30.62"	0.73
P1242	297781.21	9212745.48	P1242-P1243	155°37'30.00"	155°51'8.91"	0.98
P1243	297781.62	9212744.58	P1243-P1244	159°22'30.00"	159°36'8.91"	0.98
P1244	297781.98	9212743.66	P1244-P1245	163°07'30.00"	163°21'8.91"	0.98

P1245	297782.25	9212742.72	P1245-P1246	166°52'30.00"	167°06'8.91"	0.98
P1246	297782.47	9212741.77	P1246-P1247	170°37'30.00"	170°51'8.91"	0.98
P1247	297782.63	9212740.80	P1247-P1248	173°19'49.16"	173°33'28.08"	0.43
P1248	297782.68	9212740.37	P1248-P1249	174°09'38.29"	174°23'17.20"	0.01
P1249	297782.68	9212740.36	P1249-P1250	164°14'29.71"	164°28'8.62"	0.01
P1250	297782.69	9212740.35	P1250-P1251	146°58'58.72"	147°1'237.63"	0.39
P1251	297782.90	9212740.03	P1251-P1252	147°43'27.68"	147°57'6.50"	3.07
P1252	297784.54	9212737.44	P1252-P1253	148°51'43.84"	149°05'22.75"	0.60
P1253	297784.84	9212736.93	P1253-P1254	151°52'30.00"	152°06'8.91"	0.98
P1254	297785.31	9212736.06	P1254-P1255	155°37'30.00"	155°51'8.91"	0.98
P1255	297785.71	9212735.17	P1255-P1256	159°22'30.00"	159°36'8.91"	0.98
P1256	297786.06	9212734.25	P1256-P1257	162°25'48.83"	162°39'27.74"	0.62
P1257	297786.24	9212733.66	P1257-P1258	163°36'37.65"	163°50'16.57"	2.42
P1258	297786.93	9212731.34	P1258-P1259	164°18'18.83"	164°31'57.74"	0.36
P1259	297787.03	9212730.98	P1259-P1260	166°52'30.00"	167°06'8.91"	0.98
P1260	297787.25	9212730.03	P1260-P1261	170°37'30.00"	170°51'8.91"	0.98
P1261	297787.41	9212729.08	P1261-P1262	174°22'30.00"	174°36'8.91"	0.98
P1262	297787.50	9212728.09	P1262-P1263	178°07'30.00"	178°21'8.91"	0.98
P1263	297787.54	9212727.11	P1263-P1264	181°52'30.00"	182°06'8.91"	0.98
P1264	297787.50	9212726.12	P1264-P1265	183°55'4.11"	184°08'43.02"	0.09
P1265	297787.50	9212726.04	P1265-P1266	184°05'58.22"	184°18'47.13"	1.92
P1266	297787.36	9212724.13	P1266-P1267	185°47'34.11"	186°01'13.02"	0.89
P1267	297787.27	9212723.24	P1267-P1268	189°22'30.00"	189°36'8.91"	0.26
P1268	297787.23	9212722.98	P1268-P1269	138°34'34.80"	138°48'13.71"	0.10
P1269	297787.29	9212722.90	P1269-P1270	138°39'47.41"	138°53'26.32"	0.05
P1270	297787.32	9212722.87	P1270-P1271	140°13'47.71"	140°27'26.62"	0.77
P1271	297787.82	9212722.27	P1271-P1272	141°42'35.41"	141°56'14.32"	2.11
P1272	297789.13	9212720.61	P1272-P1273	142°06'17.71"	142°19'56.62"	0.21
P1273	297789.26	9212720.45	P1273-P1274	144°22'30.00"	144°36'8.91"	0.98
P1274	297789.83	9212719.65	P1274-P1275	148°07'30.00"	148°21'8.91"	0.98
P1275	297790.35	9212718.82	P1275-P1276	151°52'30.00"	152°06'8.91"	0.98
P1276	297790.81	9212717.95	P1276-P1277	155°37'30.00"	155°51'8.91"	0.98
P1277	297791.21	9212717.06	P1277-P1278	159°22'30.00"	159°36'8.91"	0.98
P1278	297791.56	9212716.14	P1278-P1279	163°07'30.00"	163°21'8.91"	0.98
P1279	297791.85	9212715.20	P1279-P1280	166°52'30.00"	167°06'8.91"	0.98
P1280	297792.07	9212714.24	P1280-P1281	170°37'30.00"	170°51'8.91"	0.98
P1281	297792.23	9212713.28	P1281-P1282	174°22'30.00"	174°36'8.91"	0.98
P1282	297792.32	9212712.30	P1282-P1283	178°07'30.00"	178°21'8.91"	0.98
P1283	297792.36	9212711.32	P1283-P1284	180°00.00"	180°13'38.91"	0.19
P1284	297792.36	9212711.12	P1284-P1285	186°55'59.85"	187°04'48.76"	1.24
P1285	297792.57	9212707.98	P1285-P1286	142°55'36.94"	143°09'15.85"	2.43
P1286	29794.04	9212707.98	P1286-P1287	144°35'18.47"	144°45'37.98"	0.87
P1287	297794.55	9212707.25	P1287-P1288	148°08'03.55"	148°21'41.96"	0.99
P1288	297795.07	9212706.41	P1288-P1289	150°01'8.10"	150°14'45.01"	0.39
P1289	297795.26	9212706.07	P1289-P1290	152°37'30.00"	152°51'8.91"	0.70
P1290	297795.83	9212705.68	P1290-P1291	128°39'10.33"	128°52'48.94"	0.60
P1291	297796.30	9212705.29	P1291-P1292	129°48'20.06"	130°01'58.97"	1.36
P1292	297797.35	9212704.41	P1292-P1293	130°31'40.03"	130°45'18.94"	0.38

P1341	297835.81	9212602.16	P1341-P1342	154°39'13.77"	154°52'52.68"	12.08
P1342	297840.98	9212591.24	P1342-P1343	142°48'55.06"	143°02'33.97"	14.91
P1343	297849.99	9212579.36	P1343-P1344	138°10'47.39"	138°24'26.30"	5.37
P1344	297853.57	9212575.36	P1344-P1345	138°27'53.69"	138°41'32.61"	0.15
P1345	297853.67	9212575.25	P1345-P1346	140°37'30.00"	140°51'18.91"	0.98
P1346	297854.29	9212574.49	P1346-P1347	144°22'30.00"	144°36'08.91"	0.98
P1347	297854.87	9212573.69	P1347-P1348	148°07'30.00"	148°21'18.91"	0.98
P1348	297856.39	9212572.86	P1348-P1349	151°52'30.00"	152°06'08.91"	0.98
P1349	297856.85	9212571.99	P1349-P1350	155°37'30.00"	155°51'18.91"	0.98
P1350	297856.25	9212571.10	P1350-P1351	158°22'30.00"	158°36'08.91"	0.98
P1351	297856.60	9212570.18	P1351-P1352	161°55'42.02"	162°09'20.93"	0.36
P1352	297856.71	9212569.84	P1352-P1353	162°36'24.04"	162°50'2.95"	20.40
P1353	297862.81	9212560.38	P1353-P1354	163°24'46.66"	163°38'25.57"	0.42
P1354	297862.93	9212549.97	P1354-P1355	164°13'09.29"	164°26'48.20"	22.09
P1355	297868.93	9212528.71	P1355-P1356	161°42'1.81"	161°55'40.72"	31.04
P1356	297878.68	9212499.24	P1356-P1357	163°21'10.99"	163°34'39.81"	0.86
P1357	297878.93	9212498.42	P1357-P1358	165°38'47.47"	165°52'26.38"	0.34
P1358	297879.01	9212498.09	P1358-P1359	166°17'34.94"	166°31'13.85"	8.28
P1359	297880.97	9212490.05	P1359-P1360	153°58'13.47"	154°11'52.38"	7.50
P1360	297884.26	9212483.30	P1360-P1361	138°00'46.04"	138°14'24.95"	4.21
P1361	297887.08	9212480.18	P1361-P1362	138°22'53.02"	138°36'31.93"	0.19
P1362	297887.21	9212480.03	P1362-P1363	140°37'30.00"	140°51'18.91"	0.98
P1363	297887.83	9212479.27	P1363-P1364	142°32'50.36"	142°46'29.27"	0.02
P1364	297887.85	9212479.25	P1364-P1365	142°35'40.72"	142°49'19.63"	5.02
P1365	297890.89	9212475.27	P1365-P1366	144°25'20.36"	144°38'59.27"	0.96
P1366	297891.45	9212474.49	P1366-P1367	146°53'21.85"	147°07'70.76"	0.33
P1367	297891.63	9212474.21	P1367-P1368	147°31'43.71"	147°45'22.62"	6.12
P1368	297894.92	9212469.05	P1368-P1369	148°45'51.85"	148°59'30.76"	0.65
P1369	297896.25	9212468.50	P1369-P1370	151°52'30.00"	152°06'08.91"	0.98
P1370	297896.72	9212467.63	P1370-P1371	155°37'30.00"	155°51'18.91"	0.98
P1371	297896.12	9212466.74	P1371-P1372	158°22'30.00"	158°36'08.91"	0.98
P1372	297896.47	9212465.82	P1372-P1373	163°06'56.95"	163°20'35.86"	0.98
P1373	297896.75	9212464.88	P1373-P1374	164°58'53.90"	165°12'32.81"	9.96
P1374	297899.33	9212455.27	P1374-P1375	165°01'30.42"	165°15'29.33"	0.02
P1375	297899.34	9212455.25	P1375-P1376	165°04'06.90"	165°17'45.81"	6.94
P1376	297901.12	9212448.54	P1376-P1377	162°28'27.95"	162°42'26.86"	4.33
P1377	297902.43	9212444.41	P1377-P1378	163°44'13.98"	163°57'52.89"	0.66
P1378	297902.61	9212443.77	P1378-P1379	166°22'55.00"	166°36'33.91"	0.72
P1379	297902.78	9212443.07	P1379-P1380	167°45'50.00"	167°59'28.91"	19.11
P1380	297906.83	9212424.40	P1380-P1381	161°33'54.18"	161°47'33.09"	3.85
P1381	297908.05	9212420.74	P1381-P1382	146°18'35.76"	146°32'14.67"	4.76
P1382	297910.68	9212416.78	P1382-P1383	147°40'23.12"	147°54'42.03"	0.71
P1383	297911.07	9212416.18	P1383-P1384	149°02'10.48"	149°15'49.39"	5.47
P1384	297913.89	9212411.49	P1384-P1385	149°31'15.24"	149°44'44.15"	0.25
P1385	297914.01	9212411.27	P1385-P1386	150°57'49.52"	151°11'28.43"	0.50
P1386	297914.26	9212410.83	P1386-P1387	151°55'38.95"	152°09'17.96"	3.99
P1387	297916.14	9212407.31	P1387-P1388	152°50'19.53"	153°03'58.44"	0.48
P1388	297916.35	9212406.89	P1388-P1389	155°37'30.00"	155°51'18.91"	0.98

P1389	297916.76	9212406.00	P1389-P1390	159°22'30.00"	159°36'08.91"	0.98
P1390	297917.10	9212405.08	P1390-P1391	163°07'30.00"	163°21'18.91"	0.98
P1391	297917.39	9212404.14	P1391-P1392	166°52'30.00"	167°06'08.91"	0.98
P1392	297917.61	9212403.18	P1392-P1393	170°37'30.00"	170°51'18.91"	0.98
P1393	297917.77	9212402.21	P1393-P1394	173°36'30.00"	173°50'18.91"	0.98
P1394	297917.87	9212401.24	P1394-P1395	178°07'30.00"	178°21'18.91"	0.98
P1395	297917.90	9212400.25	P1395-P1396	180°00'00.00"	180°13'38.91"	7.21
P1396	297917.90	9212393.04	P1396-P1397	172°24'19.28"	172°37'58.19"	1.13
P1397	297918.05	9212391.92	P1397-P1398	161°33'54.18"	161°47'33.09"	1.22
P1398	297918.44	9212390.77	P1398-P1399	153°26'5.82"	153°39'44.73"	4.70
P1399	297920.54	9212386.56	P1399-P1400	153°35'32.91"	153°49'11.82"	0.08
P1400	297920.57	9212386.49	P1400-P1401	155°37'30.00"	155°51'18.91"	0.98
P1401	297920.98	9212385.58	P1401-P1402	158°51'2.02"	159°04'40.93"	0.71
P1402	297921.24	9212384.93	P1402-P1403	160°12'4.05"	160°25'42.96"	5.02
P1403	297922.93	9212380.21	P1403-P1404	150°56'43.43"	151°10'22.34"	3.61
P1404	297924.69	9212377.05	P1404-P1405	152°20'51.71"	152°34'30.62"	0.73
P1405	297925.03	9212376.40	P1405-P1406	155°37'30.00"	155°51'18.91"	0.98
P1406	297925.44	9212375.51	P1406-P1407	156°22'30.00"	156°36'08.91"	0.98
P1407	297925.78	9212374.58	P1407-P1408	161°24'27.09"	161°38'0.00"	0.08
P1408	297925.81	9212374.51	P1408-P1409	161°33'54.18"	161°47'33.09"	4.43
P1409	297927.21	9212370.31	P1409-P1410	150°07'26.43"	150°21'34.91"	11.21
P1410	297932.79	9212360.58	P1410-P1411	151°56'13.21"	152°09'52.12"	0.95
P1411	297933.24	9212359.75	P1411-P1412	155°37'30.00"	155°51'18.91"	0.98
P1412	297933.64	9212358.86	P1412-P1413	159°22'30.00"	159°36'08.91"	0.98
P1413	297933.99	9212357.94	P1413-P1414	162°10'53.78"	162°24'32.69"	0.49
P1414	297934.14	9212357.47	P1414-P1415	163°06'47.55"	163°20'26.46"	8.86
P1415	297936.71	9212348.98	P1415-P1416	116°33'54.18"	116°47'33.09"	2.21
P1416	297938.69	9212348.01	P1416-P1417	118°16'57.09"	118°30'36.00"	0.90
P1417	297939.48	9212347.58	P1417-P1418	121°52'30.00"	122°06'08.91"	0.98
P1418	297940.31	9212347.06	P1418-P1419	125°37'30.00"	125°51'18.91"	0.98
P1419	297941.11	9212346.48	P1419-P1420	129°22'30.00"	129°36'08.91"	0.98
P1420	297941.87	9212345.87	P1420-P1421	133°07'30.00"	133°21'18.91"	0.98
P1421	297942.59	9212345.20	P1421-P1422	136°52'30.00"	137°06'08.91"	0.98
P1422	297943.26	9212344.48	P1422-P1423	140°37'30.00"	140°51'18.91"	0.98
P1423	297943.88	9212343.72	P1423-P1424	144°22'30.00"	144°36'08.91"	0.98
P1424	297944.45	9212342.92	P1424-P1425	148°07'30.00"	148°21'18.91"	0.98
P1425	297944.97	9212342.08	P1425-P1426	151°52'30.00"	152°06'08.91"	0.98
P1426	297945.43	9212341.22	P1426-P1427	155°37'30.00"	155°51'18.91"	0.98
P1427	297945.84	9212340.33	P1427-P1428	157°33'35.75"	157°47'14.68"	0.03
P1428	297945.85	9212340.30	P1428-P1429	157°37'11.51"	157°50'50.42"	4.31
P1429	297947.49	9212336.31	P1429-P1430	159°26'5.76"	159°39'44.67"	0.95
P1430	297947.83	9212335.61	P1430-P1431	163°07'30.00"	163°21'18.91"	0.98
P1431	297948.11	9212334.48	P1431-P1432	166°52'30.00"	167°06'08.91"	0.98
P1432	297948.33	9212333.53	P1432-P1433	170°37'30.00"	170°51'18.91"	0.98
P1433	297948.49	9212332.56	P1433-P1434	173°29'10.43"	173°42'49.34"	0.52
P1434	297948.55	9212332.05	P1434-P1435	174°28'20.86"	174°41'59.77"	7.12
P1435	297949.24	9212324.96	P1435-P1436	173°02'49.35"	173°16'28.26"	9.38
P1436	297950.37	9212315.65	P1436-P1437	172°08'48.07"	172°22'26.98"	6.22

P1437	297951.22	9212309.49	P1437-P1438	168°06'40.83"	168°20'19.74"	8.58
P1438	297952.99	9212301.09	P1438-P1439	168°25'50.41"	168°39'29.32"	0.17
P1439	297953.03	9212300.93	P1439-P1440	170°37'30.00"	170°51'18.91"	0.98
P1440	297953.18	9212299.96	P1440-P1441	174°22'30.00"	174°36'08.91"	0.98
P1441	297953.28	9212298.98	P1441-P1442	178°07'30.00"	178°21'18.91"	0.98
P1442	297953.31	9212298.00	P1442-P1443	180°00'00.00"	180°13'38.91"	7.55
P1443	297953.31	9212290.45	P1443-P1444	178°34'44.45"	178°47'43.36"	8.96
P1444	297953.54	9212281.50	P1444-P1445	176°34'46.24"	176°57'25.15"	7.98
P1445	297953.98	9212273.53	P1445-P1446	178°21'53.12"	178°35'32.03"	0.86
P1446	297954.02	9212272.67	P1446-P1447	181°52'30.00"	182°06'08.91"	0.98
P1447	297953.98	9212271.69	P1447-P1448	185°02'42.35"	185°16'21.26"	0.68
P1448	297953.93	9212271.02	P1448-P1449	186°20'24.69"	186°34'43.60"	6.37
P1449	297953.22	9212264.68	P1449-P1450	186°55'12.34"	187°09'51.25"	0.30
P1450	297953.18	9212264.38	P1450-P1451	189°22'30.00"	189°36'08.91"	0.98
P1451	297953.03	9212263.42	P1451-P1452	193°07'30.00"	193°21'18.91"	0.98
P1452	297952.80	9212262.46	P1452-P1453	196°10'37.24"	196°24'16.16"	0.62
P1453	297952.63	9212261.87	P1453-P1454	197°21'14.49"	197°34'53.40"	4.90
P1454	297951.17	9212257.19	P1454-P1455	175°01'48.93"	175°15'27.84"	0.97
P1455	297951.25	9212256.22	P1455-P1456	163°44'23.26"	163°58'2.17"	4.38
P1456	297952.48	9212252.02	P1456-P1457	164°22'11.63"	164°35'50.54"	0.33
P1457	297952.57	9212251.70	P1457-P1458	166°52'30.00"	167°06'08.91"	0.98
P1458	297952.79	9212250.74	P1458-P1459	170°37'30.00"	170°51'18.91"	0.98
P1459	297952.95	9212249.77	P1459-P1460	174°22'30.00"	174°36'08.91"	0.98
P1460	297953.05	9212248.80	P1460-P1461	178°07'30.00"	178°21'18.91"	0.98
P1461	297953.08	9212247.82	P1461-P1462	181°52'30.00"	182°06'08.91"	0.98
P1462	297953.05	9212246.83	P1462-P1463	185°37'30.00"	185°51'18.91"	0.98
P1463	297952.95	9212245.86	P1463-P1464	187°32'50.36"	187°46'29.27"	0.02
P1464	297952.95	9212245.83	P1464-P1465	187°34'40.72"	187°49'19.63"	1.42
P1465	297952.76	9212244.43	P1465-P1466	184°09'44.45"	184°23'23.36"	0.70
P1466	297953.17	9212243.87	P1466-P1467	142°35'40.72"	142°49'19.63"	4.81
P1467	297956.09	9212240.04	P1467-P1468	144°25'20.36"	144°39'59.27"	0.96
P1468	297956.65	9212239.28	P1468-P1469	148°07'30.00"	148°21'18.91"	0.98
P1469	297957.17	9212238.43	P1469-P1470	151°52'30.00"	152°06'08.91"	0.98
P1470	297957.63	9212237.56	P1470-P1471	156°37'30.00"	156°51'18.91"	0.98
P1471	297958.03	9212236.67	P1471-P1472	159°22'30.00"	159°36'08.91"	0.98
P1472	297958.38	9212235.75	P1472-P1473	163°07'30.00"	163°21'18.91"	0.98
P1473	297958.67	9212234.81	P1473-P1474	166°52'30.00"	167°06'08.91"	0.98
P1474	297958.89	9212233.86	P1474-P1475	169°26'31.55"	169°40'10.46"	0.36
P1475	297958.95	9212233.50	P1475-P1476	170°03'03.10"	170°21'24.01"	5.47
P1476	297959.89	9212228.11	P1476-P1477	171°19'15.51"	171°32'40.46"	0.62
P1477	297959.98	9212227.49	P1477-P1478	173°45'44.45"	173°59'33.38"	0.66
P1478	297980.06	9212226.84	P1478-P1479	175°01'58.93"	175°25'12.84"	5.17
P1479	297980.51	9212221.69	P1479-P1480	173°09'26.02"	173°23'34.93"	1.69
P1480	297980.71	9212220.00	P1480-P1481	143°31'50.78"	143°45'29.67"	2.74
P1481	297982.34	9212217.80	P1481-P1482	144°39'11.51"	144°53'06.03"	0.59
P1482	297982.68	9212217.32	P1482-P1483	145°45'47.43"	146°00'42.38"	7.09
P1483	297986.66	9212211.46	P1483-P1484	146°01'11.74"	146°14'04.65"	0.12
P1484	297986.73	9212211.36	P1484-P1485	146°16'47.84"	146°30'26.75"	0.02

P1533	297955.99	9212140.41	P1533-P1534	211°50'42.12"	212°04'21.03"	0.97
P1534	297955.48	9212139.59	P1534-P1535	213°41'24.24"	213°55'53.15"	11.69
P1535	297949.06	9212129.95	P1535-P1536	211°45'34.13"	211°59'13.04"	5.54
P1536	297946.14	9212125.24	P1536-P1537	212°45'17.06"	212°58'55.97"	0.52
P1537	297945.86	9212124.80	P1537-P1538	215°37'30.00"	215°51'18.91"	0.98
P1538	297945.29	9212124.00	P1538-P1539	219°22'30.00"	219°38'8.91"	0.98
P1539	297944.87	9212123.24	P1539-P1540	221°40'10.49"	221°53'49.40"	0.22
P1540	297944.52	9212123.08	P1540-P1541	222°05'20.98"	222°18'59.89"	18.55
P1541	297932.08	9212109.31	P1541-P1542	214°09'34.90"	214°23'13.81"	13.21
P1542	297924.67	9212098.38	P1542-P1543	201°48'5.07"	202°01'43.98"	4.52
P1543	297922.99	9212094.18	P1543-P1544	201°48'5.07"	202°01'43.98"	5.22
P1544	297921.05	9212089.34	P1544-P1545	202°09'2.54"	202°22'41.45"	0.18
P1545	297920.98	9212089.17	P1545-P1546	204°22'30.00"	204°36'8.91"	0.98
P1546	297920.57	9212088.27	P1546-P1547	206°45'59.59"	206°58'48.50"	0.26
P1547	297920.46	9212088.04	P1547-P1548	207°15'19.18"	207°28'58.09"	5.83
P1548	297917.79	9212082.85	P1548-P1549	206°24'14.06"	206°37'52.97"	15.27
P1549	297903.13	9212087.17	P1549-P1550	27°15'19.32"	27°28'58.23"	8.71
P1550	297907.12	9212094.91	P1550-P1551	21°48'4.95"	22°01'43.86"	0.79
P1551	297907.41	9212095.64	P1551-P1552	21°48'5.07"	22°01'43.98"	10.58
P1552	297911.34	9212105.46	P1552-P1553	34°09'34.90"	34°23'13.81"	15.87
P1553	297920.26	9212118.59	P1553-P1554	42°05'20.98"	42°18'59.89"	12.77
P1554	297928.82	9212128.07	P1554-P1555	42°05'20.98"	42°18'59.89"	6.82
P1555	297933.39	9212133.13	P1555-P1556	31°45'34.13"	31°59'13.04"	5.79
P1556	297936.44	9212138.06	P1556-P1557	33°41'24.24"	33°55'3.15"	11.84
P1557	297943.00	9212147.91	P1557-P1558	27°15'19.18"	27°28'58.09"	8.71
P1558	297946.99	9212155.65	P1558-P1559	19°51'18.77"	20°04'57.68"	8.98
P1559	297950.04	9212164.09	P1559-P1560	24°26'38.24"	24°40'17.15"	8.50
P1560	297953.56	9212171.83	P1560-P1561	0°00'0.00"	0°13'38.91"	5.39
P1561	297953.56	9212177.22	P1561-P1562	15°56'43.43"	16°10'22.34"	8.54
P1562	297956.90	9212185.43	P1562-P1563	41°11'19.33"	41°24'48.24"	7.48
P1563	297960.83	9212191.06	P1563-P1564	14°44'36.93"	14°58'15.74"	4.61
P1564	297962.00	9212195.52	P1564-P1565	303°41'24.24"	303°56'13.15"	5.92
P1565	297957.08	9212198.80	P1565-P1566	326°18'35.78"	326°32'14.67"	5.07
P1566	297954.26	9212203.02	P1566-P1567	325°47'4.77"	326°00'42.38"	7.09
P1567	297950.27	9212208.88	P1567-P1568	323°31'50.78"	323°45'29.67"	6.71
P1568	297946.29	9212214.28	P1568-P1569	353°09'26.02"	353°24'34.93"	5.91
P1569	297945.58	9212220.14	P1569-P1570	355°01'48.93"	355°15'27.84"	5.41
P1570	297945.11	9212225.54	P1570-P1571	350°08'3.10"	350°21'42.01"	5.47
P1571	297944.18	9212230.93	P1571-P1572	322°35'40.72"	322°49'19.63"	5.02
P1572	297941.13	9212234.92	P1572-P1573	324°09'44.45"	324°23'23.36"	5.21
P1573	297938.08	9212239.14	P1573-P1574	354°48'20.06"	355°01'58.97"	5.18
P1574	297937.61	9212244.30	P1574-P1575	7°35'40.72"	7°46'19.63"	3.55
P1575	297938.08	9212247.82	P1575-P1576	343°44'23.26"	343°58'2.17"	5.86
P1576	297936.44	9212253.44	P1576-P1577	355°01'48.93"	355°15'27.84"	5.41
P1577	297935.97	9212258.84	P1577-P1578	17°21'14.49"	17°34'53.40"	7.86
P1578	297938.31	9212266.34	P1578-P1579	6°20'24.69"	6°34'3.60"	6.37
P1579	297939.02	9212272.67	P1579-P1580	356°43'46.24"	356°57'25.15"	8.22
P1580	297938.55	9212280.88	P1580-P1581	358°34'4.45"	358°47'43.36"	9.38

P1581	297938.31	9212290.26	P1581-P1582	0°00'0.00"	0°13'38.91"	7.74
P1582	297938.31	9212298.00	P1582-P1583	348°06'40.83"	348°20'19.74"	9.11
P1583	297936.44	9212306.92	P1583-P1584	352°08'48.07"	352°22'26.98"	6.87
P1584	297935.50	9212313.72	P1584-P1585	353°02'49.35"	353°16'28.26"	9.69
P1585	297934.33	9212323.33	P1585-P1586	358°20'80.68"	358°44'15.77"	7.30
P1586	297933.62	9212330.60	P1586-P1587	337°37'11.51"	337°50'50.42"	4.31
P1587	297931.98	9212334.59	P1587-P1588	296°33'54.18"	296°47'33.09"	3.67
P1588	297928.70	9212336.23	P1588-P1589	307°18'14.21"	307°31'53.12"	6.19
P1589	297923.77	9212339.98	P1589-P1590	343°06'47.55"	343°20'26.46"	13.73
P1590	297919.79	9212353.12	P1590-P1591	330°07'26.43"	330°21'5.34"	12.71
P1591	297913.45	9212364.14	P1591-P1592	341°33'54.18"	341°47'33.09"	5.93
P1592	297911.58	9212369.77	P1592-P1593	330°56'43.43"	331°10'22.34"	4.83
P1593	297909.23	9212373.99	P1593-P1594	340°12'4.05"	340°25'42.96"	6.23
P1594	297907.12	9212379.85	P1594-P1595	333°26'5.82"	333°39'44.73"	5.77
P1595	297904.54	9212385.01	P1595-P1596	341°33'54.18"	341°47'33.09"	3.71
P1596	297903.37	9212388.53	P1596-P1597	352°24'19.28"	352°37'58.19"	3.55
P1597	297902.90	9212392.05	P1597-P1598	0°00'0.00"	0°13'38.91"	8.21
P1598	297902.90	9212400.25	P1598-P1599	331°55'39.05"	332°09'17.96"	3.99
P1599	297901.02	9212403.77	P1599-P1600	329°02'10.48"	329°15'49.39"	5.47
P1600	297898.21	9212408.46	P1600-P1601	326°18'35.78"	326°32'14.67"	6.76
P1601	297894.46	9212414.09	P1601-P1602	341°33'54.18"	341°47'33.09"	6.67
P1602	297892.35	9212420.42	P1602-P1603	347°45'50.00"	347°59'28.91"	19.92
P1603	297888.13	9212439.89	P1603-P1604	342°28'27.95"	342°42'6.86"	4.67
P1604	297886.72	9212444.35	P1604-P1605	345°04'6.90"	345°17'45.81"	7.28
P1605	297884.84	9212451.38	P1605-P1606	344°58'53.90"	345°12'32.81"	9.96
P1606	297882.26	9212461.00	P1606-P1607	327°31'43.71"	327°45'22.62"	6.12
P1607	297878.98	9212466.16	P1607-P1608	322°35'40.72"	322°49'19.63"	5.02
P1608	297875.83	9212470.14	P1608-P1609	318°00'46.04"	318°14'24.95"	6.31
P1609	297871.71	9212474.83	P1609-P1610	333°58'13.47"	334°11'52.38"	11.22
P1610	297866.78	9212484.92	P1610-P1611	346°17'34.94"	346°31'13.85"	9.90
P1611	297864.44	9212494.53	P1611-P1612	341°42'1.81"	341°55'40.72"	31.37
P1612	297854.59	9212524.32	P1612-P1613	344°139.28"	344°26'48.20"	22.42
P1613	297848.49	9212545.89	P1613-P1614	342°36'24.04"	342°50'2.95"	20.40
P1614	297842.39	9212556.36	P1614-P1615	318°10'47.39"	318°24'26.30"	5.98
P1615	297838.41	9212569.81	P1615-P1616	322°48'55.05"	323°02'33.97"	17.07
P1616	297828.09	9212583.42	P1616-P1617	334°39'13.77"	334°52'52.68"	14.79
P1617	297821.76	9212596.78	P1617-P1618	343°29'39.14"	343°43'18.05"	20.79
P1618	297815.85	9212616.72	P1618-P1619	348°23'25.18"	348°37'4.09"	40.94
P1619	297807.61	9212656.82	P1619-P1620	325°00'28.73"	325°14'7.64"	6.66
P1620	297803.79	9212662.28	P1620-P1621	337°45'53.52"	337°58'42.43"	3.24
P1621	297802.56	9212665.28	P1621-P1622	321°00'32.42"	321°14'11.33"	3.69
P1622	297800.24	9212668.15	P1622-P1623	336°26'51.85"	336°40'30.76"	5.81
P1623	297797.92	9212673.47	P1623-P1624	337°28'2.21"	337°41'41.12"	5.80
P1624	297795.70	9212678.83	P1624-P1625	323°31'50.78"	323°45'29.67"	2.50
P1625	297794.21	9212680.84	P1625-P1626	304°59'31.27"	305°13'10.18"	3.20
P1626	297791.59	9212682.67	P1626-P1627	330°56'43.43"	331°10'22.34"	1.80
P1627	297790.72	9212684.24	P1627-P1628	10°00'28.73"	10°14'7.64"	1.51
P1628	297790.98	9212685.73	P1628-P1629	352°52'29.94"	353°06'8.85"	1.41

P1629	297790.81	9212687.12	P1629-P1630	327°15'53.19"	327°29'32.10"	2.91
P1630	297789.24	9212689.57	P1630-P1631	347°28'16.29"	347°41'55.20"	2.42
P1631	297788.71	9212691.93	P1631-P1632	314°59'60.00"	315°13'38.91"	1.36
P1632	297787.75	9212692.89	P1632-P1633	309°48'20.06"	310°01'58.97"	1.36
P1633	297786.70	9212693.76	P1633-P1634	297°38'45.51"	297°52'24.42"	2.07
P1634	297784.87	9212694.72	P1634-P1635	322°18'20.73"	322°31'59.64"	2.43
P1635	297783.38	9212696.64	P1635-P1636	330°01'16.10"	330°14'45.01"	2.62
P1636	297782.07	9212698.92	P1636-P1637	322°55'36.94"	323°09'15.85"	4.93
P1637	297779.10	9212702.85	P1637-P1638	339°13'38.88"	339°27'18.79"	2.71
P1638	297778.14	9212705.38	P1638-P1639	349°55'59.85"	350°08'48.76"	3.99
P1639	297777.44	9212709.31	P1639-P1640	355°36'4.66"	355°49'43.57"	1.14
P1640	297777.36	9212710.44	P1640-P1641	0°00'0.00"	0°13'38.91"	0.87
P1641	297777.36	9212711.32	P1641-P1642	321°42'35.41"	321°56'14.32"	2.11
P1642	297776.05	9212712.98	P1642-P1643	318°34'30.84"	318°48'13.71"	3.96
P1643	297773.43	9212715.95	P1643-P1644	332°01'13.89"	332°14'52.80"	3.16
P1644	297771.94	9212718.74	P1644-P1645	337°45'3.51"	337°58'42.43"	2.08
P1645	297771.16	9212720.66	P1645-P1646	15°21'36.74"	15°35'15.65"	4.70
P1646	297772.40	9212725.19	P1646-P1647	4°05'8.22"	4°18'47.13"	1.92
P1647	297772.54	9212727.11	P1647-P1648	343°36'37.65"	343°50'16.57"	2.42
P1648	297771.85	9212729.43	P1648-P1649	327°43'27.68"	327°56'7.59"	3.07
P1649	297770.22	9212732.02	P1649-P1650	332°07'48.37"	332°21'27.28"	3.41
P1650	297768.17	9212734.75	P1650-P1651	354°17'21.86"	354°30'10.78"	4.11
P1651	297767.76	9212738.84	P1651-P1652	330°56'43.43"	331°10'22.34"	2.81
P1652	297766.40	9212741.30	P1652-P1653	327°43'27.68"	327°56'7.59"	3.07
P1653	297764.76	9212743.89	P1653-P1654	357°47'50.65"	358°01'29.56"	3.55
P1654	297764.62	9212747.44	P1654-P1655	340°20'46.23"	340°34'25.14"	4.06
P1655	297763.28	9212751.26	P1655-P1656	334°47'55.95"	335°01'34.87"	2.56
P1656	297762.16	9212753.58	P1656-P1657	333°26'5.82"	333°39'44.73"	2.44
P1657	297761.07	9212756.76	P1657-P1658	330°14'10.89"	330°27'49.80"	2.32
P1658	297759.30	9212757.27	P1658-P1659	333°26'5.82"	333°39'44.73"	3.05
P1659	297757.93	9212759.99	P1659-P1660	345°57'54.52"	346°11'28.43"	2.25
P1660	297757.39	9212762.18	P1660-P1661	341°33'54.18"	341°47'33.09"	1.29
P1661	297756.98	9212763.41	P1661-P1662	338°09'40.54"	338°23'19.45"	6.42
P1662	297754.39	9212768.27	P1662-P1663	333°26'5.82"	333°39'44.73"	3.66
P1663	297752.75	9212772.55	P1663-P1664	332°39'40.45"	332°59'29.36"	4.44
P1664	297750.70	9212776.51	P1664-P1665	328°58'04.38"	329°12'12.99"	3.26
P1665	297748.93	9212779.24	P1665-P1666	328°14'25.87"	328°28'4.75"	3.37
P1666	297747.15	9212782.10	P1666-P1667	25°124.05"	25°2642.96"	2.56
P1667	297748.24	9212784.42	P1667-P1668	28°182.72"	28°3141.63"	2.01
P1668	297749.20	9212786.20	P1668-P1669	10°3710.76"	10°5049.67"	2.22
P1669	297749.61	9212788.38	P1669-P1670	295°124.05"	295°2542.96"	2.56
P1670	297747.29	9212789.47	P1670-P1671	296°3354.18"	296°4733.09"	3.36
P1671	297744.29	9212790.97	P1671-P1672	306°289.24"	306°418.15"	3.90
P1672	297741.15	9212793.29	P1672-P1673	306°233.67"	306°3642.58"	3.22
P1673	297738.56	9212795.20	P1673-P1674	8°0748.38"	8°127.28"	3.86
P1674	297739.10	9212798.03	P1674-P1675	357°1625.28"	357°3041.19"	2.87
P1675	297738.96	9212801.89	P1675-P1676	3°2159.26"	3°3538.17"	2.32
P1676	297739.10	9212804.21	P1676-P1677	337°2248.49"	337°3627.40"	3.55

P1725	297678.05	9212964.35	P1725-P1726	14°02'10.48"	14°15'49.39"	1.44
P1726	297678.40	9212965.74	P1726-P1727	0°00'00.00"	0°13'38.91"	1.48
P1727	297678.40	9212967.23	P1727-P1728	340°49'15.57"	341°02'54.48"	2.13
P1728	297677.70	9212969.24	P1728-P1729	354°33'34.80"	354°47'13.72"	1.84
P1729	297677.53	9212971.07	P1729-P1730	0°00'00.00"	0°13'38.91"	1.66
P1730	297677.53	9212972.73	P1730-P1731	345°57'49.52"	346°11'28.43"	2.52
P1731	297676.91	9212975.18	P1731-P1732	11°56'43.43"	11°56'42.34"	1.27
P1732	297677.26	9212976.40	P1732-P1733	323°07'48.37"	323°21'27.28"	1.75
P1733	297676.21	9212977.80	P1733-P1734	335°33'21.78"	335°47'00.67"	2.11
P1734	297675.34	9212979.72	P1734-P1735	348°12'56.53"	349°28'35.44"	1.87
P1735	297674.99	9212981.55	P1735-P1736	1°54'32.95"	2°08'11.86"	2.62
P1736	297675.08	9212984.17	P1736-P1737	11°56'43.43"	11°56'44.75"	2.14
P1737	297675.52	9212986.27	P1737-P1738	334°47'55.95"	335°01'34.87"	1.64
P1738	297674.82	9212987.75	P1738-P1739	326°58'34.08"	327°12'12.99"	2.08
P1739	297673.68	9212989.50	P1739-P1740	334°39'13.77"	334°52'52.68"	1.84
P1740	297672.90	9212991.16	P1740-P1741	354°48'20.06"	355°01'58.97"	1.93
P1741	297672.72	9212993.08	P1741-P1742	0°00'00.00"	0°13'38.91"	2.62
P1742	297672.72	9212995.70	P1742-P1743	356°25'25.20"	356°39'41.11"	2.80
P1743	297672.55	9212996.50	P1743-P1744	0°00'00.00"	0°13'38.91"	2.10
P1744	297672.55	9213000.59	P1744-P1745	6°20'24.69"	6°34'33.60"	1.58
P1745	297672.72	9213002.17	P1745-P1746	2°39'46.80"	2°53'25.71"	3.76
P1746	297672.90	9213005.92	P1746-P1747	340°38'27.62"	340°52'56.53"	3.43
P1747	297671.76	9213009.15	P1747-P1748	5°21'20.97"	5°34'59.88"	5.61
P1748	297672.28	9213014.74	P1748-P1749	22°37'11.51"	22°50'50.42"	2.27
P1749	297673.16	9213016.84	P1749-P1750	1°44'48.54"	1°57'47.45"	2.88
P1750	297673.25	9213019.72	P1750-P1751	1°30'26.77"	1°44'55.68"	3.32
P1751	297673.33	9213023.04	P1751-P1752	350°16'20.72"	350°29'59.63"	3.10
P1752	297672.81	9213026.10	P1752-P1753	340°33'35.87"	340°47'14.79"	3.15
P1753	297671.76	9213029.07	P1753-P1754	350°08'31.00"	350°21'42.01"	2.04
P1754	297671.41	9213031.08	P1754-P1755	333°26'55.82"	333°39'44.73"	1.76
P1755	297670.63	9213032.85	P1755-P1756	316°32'53.37"	316°46'32.28"	2.29
P1756	297669.05	9213034.31	P1756-P1757	9°27'44.36"	9°41'23.27"	2.13
P1757	297669.40	9213036.40	P1757-P1758	16°41'57.28"	16°55'36.19"	1.82
P1758	297669.93	9213038.15	P1758-P1759	25°33'35.87"	25°47'14.78"	2.23
P1759	297670.89	9213040.16	P1759-P1760	16°41'57.28"	16°55'36.19"	2.74
P1760	297671.67	9213042.78	P1760-P1761	14°02'10.48"	14°15'49.39"	2.16
P1761	297672.20	9213044.88	P1761-P1762	2°29'22.39"	2°43'11.30"	2.01
P1762	297672.28	9213046.88	P1762-P1763	0°00'00.00"	0°13'38.91"	5.33
P1763	297672.28	9213052.21	P1763-P1764	350°54'35.00"	350°12'33.91"	2.21
P1764	297671.94	9213054.40	P1764-P1765	303°41'24.24"	303°55'53.15"	2.20
P1765	297670.10	9213055.62	P1765-P1766	307°41'39.27"	307°55'18.18"	2.43
P1766	297668.18	9213057.10	P1766-P1767	338°11'54.93"	338°25'53.84"	1.41
P1767	297667.66	9213058.41	P1767-P1768	340°124.05"	340°25'42.96"	2.32
P1768	297666.87	9213060.60	P1768-P1769	356°59'13.97"	357°12'52.88"	1.66
P1769	297666.78	9213062.26	P1769-P1770	359°59'00.00"	360°1'33.91"	1.92
P1770	297666.78	9213064.18	P1770-P1771	5°06'57.70"	5°19'46.71"	4.91
P1771	297667.22	9213069.07	P1771-P1772	0°00'00.00"	0°13'38.91"	1.92
P1772	297667.22	9213070.99	P1772-P1773	0°00'00.00"	0°13'38.91"	1.92

P1773	297667.22	9213072.91	P1773-P1774	353°17'24.59"	353°31'33.50"	1.50
P1774	297667.04	9213074.40	P1774-P1775	341°33'54.18"	341°47'33.09"	1.66
P1775	297666.52	9213075.97	P1775-P1776	333°26'55.82"	333°39'44.73"	1.17
P1776	297666.00	9213077.02	P1776-P1777	350°40'35.07"	350°54'13.98"	5.93
P1777	297665.04	9213082.87	P1777-P1778	335°51'16.05"	336°04'54.86"	2.78
P1778	297663.90	9213085.40	P1778-P1779	346°45'34.13"	346°59'13.04"	3.05
P1779	297663.20	9213088.37	P1779-P1780	7°51'11.39"	8°04'50.84"	2.56
P1780	297663.55	9213090.91	P1780-P1781	5°42'38.14"	5°56'17.05"	7.02
P1781	297664.25	9213097.89	P1781-P1782	26°33'54.18"	26°47'33.09"	2.15
P1782	297665.21	9213099.81	P1782-P1783	352°05'34.21"	352°19'13.12"	3.17
P1783	297664.77	9213102.96	P1783-P1784	18°05'00.40"	18°18'39.31"	4.50
P1784	297666.17	9213107.24	P1784-P1785	18°26'55.82"	18°39'44.73"	3.31
P1785	297667.22	9213110.38	P1785-P1786	3°28'55.63"	3°41'44.54"	2.89
P1786	297667.39	9213113.26	P1786-P1787	13°36'11.95"	13°49'40.86"	5.57
P1787	297668.70	9213118.68	P1787-P1788	3°10'47.39"	3°24'26.30"	3.15
P1788	297668.88	9213121.82	P1788-P1789	351°52'11.63"	352°05'50.54"	8.03
P1789	297667.74	9213129.77	P1789-P1790	336°41'42.39"	336°55'21.30"	6.18
P1790	297665.30	9213135.45	P1790-P1791	348°21'58.92"	348°35'37.83"	3.03
P1791	297664.69	9213138.42	P1791-P1792	16°11'21.14"	16°25'05.22"	2.82
P1792	297665.47	9213141.13	P1792-P1793	23°40'55.52"	23°54'34.43"	5.44
P1793	297667.66	9213146.11	P1793-P1794	27°05'43.99"	27°19'22.90"	4.22
P1794	297669.58	9213149.86	P1794-P1795	39°59'49.77"	40°13'28.68"	7.52
P1795	297674.41	9213155.63	P1795-P1796	334°19'23.46"	334°33'32.37"	7.97
P1796	297671.00	9213162.72	P1796-P1797	318°41'28.99"	318°55'57.90"	6.00
P1797	297667.04	9213167.23	P1797-P1798	330°58'43.43"	331°10'22.34"	5.62
P1798	297664.31	9213172.14	P1798-P1799	319°30'50.36"	319°44'29.27"	7.36
P1799	297659.54	9213177.73	P1799-P1800	325°00'28.73"	325°14'47.64"	5.00
P1800	297656.67	9213181.83	P1800-P1801	329°51'31.01"	330°05'59.92"	4.89
P1801	297654.22	9213186.06	P1801-P1802	308°39'35.31"	308°53'14.22"	5.24
P1802	297650.12	9213198.33	P1802-P1803	347°07'29.99"	347°21'18.90"	9.80
P1803	297647.94	9213198.89	P1803-P1804	342°01'51.10"	342°15'30.01"	5.31
P1804	297646.30	9213203.94	P1804-P1805	330°38'32.09"	330°52'11.00"	7.52
P1805	297642.62	9213210.49	P1805-P1806	339°13'39.88"	339°27'18.79"	4.23
P1806	297641.11	9213214.44	P1806-P1807	326°02'47.42"	326°15'46.33"	22.14
P1807	297628.74	9213232.81	P1807-P1808	338°29'54.84"	338°43'33.75"	8.32
P1808	297625.70	9213240.55	P1808-P1809	328°19'28.31"	328°33'37.22"	12.95
P1809	297618.89	9213251.57	P1809-P1810	349°52'31.18"	350°06'10.09"	6.67
P1810	297617.72	9213258.14	P1810-P1811	339°51'49.31"	340°05'28.22"	7.49
P1811	297615.14	9213265.17	P1811-P1812	341°33'54.18"	341°47'33.09"	8.90
P1812	297612.33	9213273.62	P1812-P1813	331°33'25.46"	331°47'44.37"	6.40
P1813	297609.28	9213279.24	P1813-P1814	327°05'41.13"	327°19'20.04"	9.50
P1814	297604.12	9213287.22	P1814-P1815	324°51'56.90"	325°05'35.82"	7.74
P1815	297599.66	9213293.55	P1815-P1816	340°27'48.04"	340°41'26.95"	7.71
P1816	297597.08	9213300.82	P1816-P1817	321°50'33.98"	322°04'12.89"	8.35
P1817	297591.92	9213307.39	P1817-P1818	304°01'19.66"	304°14'48.57"	11.32
P1818	297582.54	9213313.72	P1818-P1819	319°42'28.27"	319°56'17.18"	14.14
P1819	297573.40	9213324.51	P1819-P1820	313°24'31.90"	313°38'10.81"	11.94
P1820	297564.72	9213332.72	P1820-P1821	300°41'59.00"	300°55'37.91"	8.73

P1821	297557.21	9213337.17	P1821-P1822	308°31'00.93"	308°44'39.85"	14.69
P1822	297545.72	9213346.32	P1822-P1823	319°05'58.22"	319°18'47.13"	9.31
P1823	297539.63	9213353.35	P1823-P1824	293°03'48.68"	293°16'43.59"	11.98
P1824	297528.60	9213358.04	P1824-P1825	295°24'27.79"	295°38'06.70"	20.77
P1825	297509.84	9213366.96	P1825-P1826	289°35'32.41"	289°49'11.13"	14.69
P1826	297496.00	9213371.88	P1826-P1827	285°56'43.43"	286°10'22.34"	10.24
P1827	297486.15	9213374.70	P1827-P1828	294°20'27.92"	294°34'06.83"	10.81
P1828	297476.30	9213379.15	P1828-P1829	305°43'38.63"	305°57'17.54"	16.47
P1829	297462.94	9213388.77	P1829-P1830	313°12'36.32"	313°26'15.23"	10.62
P1830	297455.20	9213396.04	P1830-P1831	307°49'41.84"	308°03'20.75"	25.24
P1831	297435.26	9213411.52	P1831-P1832	304°49'28.16"	305°03'07.07"	6.57
P1832	297429.87	9213415.27	P1832-P1833	311°00'32.71"	311°14'11.62"	7.15
P1833	297424.47	9213419.96	P1833-P1834	307°18'14.21"	307°31'53.12"	6.19
P1834	297419.55	9213423.71	P1834-P1835	301°15'49.43"	301°29'28.34"	7.68
P1835	297412.98	9213427.70	P1835-P1836	305°54'35.00"	306°08'13.91"	8.40
P1836	297406.18	9213432.62	P1836-P1837	301°15'49.43"	301°29'28.34"	7.68
P1837	297399.62	9213436.61	P1837-P1838	301°49'38.81"	302°03'17.72"	8.00
P1838	297392.81	9213440.63	P1838-P1839	303°41'24.24"	303°55'53.15"	5.07
P1839	297388.59	9213443.64	P1839-P1840	297°17'58.46"	297°31'37.37"	8.18
P1840	297381.32	9213447.40	P1840-P1841	292°09'58.84"	292°23'37.76"	6.84
P1841	297374.99	9213449.98	P1841-P1842	308°25'55.00"	308°39'43.91"	8.68
P1842	297368.19	9213455.37	P1842-P1843	302°00'19.38"	302°13'58.29"	8.85
P1843	297360.68	9213460.06	P1843-P1844	283°05'30.81"	283°19'09.73"	10.35
P1844	297350.60	9213462.41	P1844-P1845	298°41'10.13"	298°54'49.04"	14.17
P1845	297338.17	9213469.21	P1845-P1846	304°46'40.19"	305°00'19.10"	10.28
P1846	297329.73	9213475.07	P1846-P1847	298°44'23.26"	298°58'12.17"	8.29
P1847	297322.46	9213479.06	P1847-P1848	284°02'10.48"	284°15'49.39"	5.80
P1848	297316.83	9213480.46	P1848-P1849	272°23'39.40"	272°36'48.31"	5.63
P1849	297311.20	9213480.70	P1849-P1850	303°01'25.92"	303°15'4.83"	5.59
P1850	297308.51	9213483.75	P1850-P1851	292°14'56.49"	292°28'35.40"	5.57
P1851	297301.35	9213485.86	P1851-P1852	306°23'3.67"	306°36'42.58"	5.53
P1852	297296.89	9213489.14	P1852-P1853	304°49'28.16"	305°03'07.07"	6.57
P1853	297291.50	9213492.89	P1853-P1854	294°08'43.95"	294°22'22.86"	7.45
P1854	297284.70	9213495.94	P1854-P1855	304°49'28.16"	305°03'07.07"	6.57
P1855	297279.31	9213499.70	P1855-P1856	303°06'40.83"	303°20'19.74"	6.44
P1856	297273.91	9213503.21	P1856-P1857	288°26'5.82"	288°39'44.73"	9.64
P1857	297264.77	9213506.26	P1857-P1858	312°16'25.28"	312°30'19.9"	6.97
P1858	297259.61	9213510.95	P1858-P1859	301°51'57.52"	302°05'36.43"	10.22
P1859	297250.93	9213516.35	P1859-P1860	303°18'38.27"	303'32'17.18"	9.82
P1860	297242.72	9213521.74	P1860-P1861	324°14'46.01"	324°28'24.62"	7.22
P1861	297238.50	9213527.60	P1861-P1862	325°18'17.45"	325°31'56.36"	7.42
P1862	297234.28	9213533.70	P1862-P1863	321°32'27.51"	321°46'46.42"	9.58
P1863	297225.37	9213537.22	P1863-P1864	304°41'42.56"	304°55'21.46"	7.42
P1864	297219.27	9213541.44	P1864-P1865	308°39'35.31"	308°53'14.22"	7.51
P1865	297213.40	9213546.13	P1865-P1866	313°43'37.09"	313°57'16.00"	7.46
P1866	297208.01	9213551.29	P1866-P1867	296°33'54.18"	296°47'33.09"	9.61
P1867	297200.04	9213555.28	P1867-P1868	306°23'3.67"	306°36'42.58"	5.53
P1868	297195.58	9213558.56	P1868-P1869	300°57'49.52"	301°11'28.43"	8.20

P1917	296924.71	9213808.80	P1917-P1918	334°32'11.96"	334°45'50.87"	5.45
P1918	296922.36	9213813.72	P1918-P1919	328°14'25.87"	328°14'24.78"	5.79
P1919	296919.31	9213818.65	P1919-P1920	321°00'32.42"	321°14'11.33"	6.34
P1920	296915.33	9213823.57	P1920-P1921	329°55'53.10"	330°09'32.01"	5.15
P1921	296912.75	9213828.03	P1921-P1922	340°01'02.82"	340°14'39.73"	5.49
P1922	296910.87	9213833.19	P1922-P1923	308°56'39.16"	309°09'18.07"	7.84
P1923	296904.77	9213838.11	P1923-P1924	313°36'10.15"	313°49'49.06"	6.80
P1924	296899.85	9213842.80	P1924-P1925	322°12'51.34"	322°26'30.25"	26.41
P1925	296883.67	9213863.67	P1925-P1926	316°10'09.00"	316°23'47.81"	8.13
P1926	296878.04	9213869.54	P1926-P1927	324°27'44.36"	324°41'23.27"	8.07
P1927	296873.35	9213876.10	P1927-P1928	328°23'32.99"	328°37'11.90"	3.58
P1928	296871.47	9213879.15	P1928-P1929	329°32'24.04"	329°45'42.95"	4.63
P1929	296869.13	9213883.14	P1929-P1930	339°46'30.51"	340°00'09.42"	4.75
P1930	296867.48	9213887.60	P1930-P1931	311°11'19.33"	311°24'48.24"	4.99
P1931	296863.73	9213890.88	P1931-P1932	317°23'39.40"	317°36'48.31"	7.97
P1932	296858.34	9213896.74	P1932-P1933	307°41'39.27"	307°58'18.18"	6.52
P1933	296853.18	9213900.73	P1933-P1934	305°32'15.64"	305°45'54.55"	8.07
P1934	296846.61	9213905.42	P1934-P1935	313°55'58.67"	314°08'47.58"	8.79
P1935	296840.28	9213911.52	P1935-P1936	309°52'11.63"	307°05'50.54"	4.69
P1936	296836.53	9213914.33	P1936-P1937	291°48'05.07"	292°01'43.98"	3.79
P1937	296833.01	9213915.74	P1937-P1938	311°45'37.08"	311°59'15.99"	8.80
P1938	296826.44	9213921.60	P1938-P1939	317°29'22.39"	317°43'31.30"	7.64
P1939	296821.28	9213927.23	P1939-P1940	322°45'54.60"	322°59'33.51"	7.36
P1940	296816.83	9213933.09	P1940-P1941	318°21'59.26"	318°35'38.17"	14.12
P1941	296807.45	9213943.65	P1941-P1942	304°49'28.16"	305°03'07.07"	6.57
P1942	296802.05	9213947.40	P1942-P1943	327°15'53.19"	327°29'32.10"	3.90
P1943	296799.94	9213950.68	P1943-P1944	330°56'43.43"	331°10'22.34"	4.83
P1944	296797.60	9213954.90	P1944-P1945	342°20'59.55"	342°34'38.46"	5.41
P1945	296795.96	9213960.06	P1945-P1946	340°54'23.43"	341°08'32.34"	6.45
P1946	296793.84	9213966.16	P1946-P1947	309°10'25.17"	309°244.08"	8.17
P1947	296787.51	9213971.32	P1947-P1948	311°49'12.61"	312°02'51.52"	5.98
P1948	296783.06	9213975.31	P1948-P1949	312°08'15.34"	312°21'54.25"	6.64
P1949	296778.13	9213979.76	P1949-P1950	308°56'39.16"	309°09'18.07"	7.84
P1950	296772.03	9213984.69	P1950-P1951	318°39'09.00"	318°52'45.91"	7.81
P1951	296766.87	9213990.55	P1951-P1952	312°16'25.28"	312°30'04.19"	10.46
P1952	296759.14	9213997.59	P1952-P1953	316°11'36.56"	316°25'15.47"	15.92
P1953	296748.11	9214009.08	P1953-P1954	323°07'48.37"	323°21'27.28"	26.97
P1954	296731.93	9214030.65	P1954-P1955	319°45'49.11"	319°59'28.02"	7.99
P1955	296726.77	9214036.75	P1955-P1956	319°32'15.95"	319°45'54.89"	10.48
P1956	296719.97	9214044.73	P1956-P1957	321°50'33.99"	322°04'12.89"	8.35
P1957	296714.81	9214051.29	P1957-P1958	318°12'55.74"	318°26'34.65"	14.78
P1958	296704.96	9214062.31	P1958-P1959	325°12'14.31"	325°25'53.22"	16.85
P1959	296695.35	9214076.15	P1959-P1960	323°36'56.33"	323°50'35.24"	11.07
P1960	296688.78	9214085.06	P1960-P1961	307°22'07.88"	307°40'04.99"	13.88
P1961	296677.76	9214093.51	P1961-P1962	321°20'24.69"	321°34'43.60"	4.51
P1962	296674.94	9214097.02	P1962-P1963	299°03'16.57"	299°16'55.49"	4.83
P1963	296670.72	9214099.37	P1963-P1964	302°28'16.29"	302°41'56.20"	6.12
P1964	296665.56	9214102.65	P1964-P1965	307°08'48.07"	307°22'26.98"	9.71

P1965	296657.82	9214108.52	P1965-P1966	322°07'30.06"	322°21'18.97"	8.02
P1966	296652.90	9214114.85	P1966-P1967	301°51'57.52"	302°05'36.43"	10.22
P1967	296644.22	9214120.24	P1967-P1968	315°40'26.53"	315°54'45.44"	14.10
P1968	296634.37	9214130.33	P1968-P1969	321°10'12.63"	321°23'51.64"	12.34
P1969	296626.63	9214139.94	P1969-P1970	318°41'28.99"	318°55'07.90"	10.30
P1970	296619.83	9214147.68	P1970-P1971	341°33'54.18"	341°47'33.09"	6.67
P1971	296617.72	9214154.01	P1971-P1972	332°06'09.73"	332°19'48.73"	9.02
P1972	296613.50	9214161.99	P1972-P1973	323°07'48.37"	323°21'27.28"	8.21
P1973	296608.57	9214168.55	P1973-P1974	323°50'30.63"	324°04'54.44"	7.55
P1974	296604.12	9214174.65	P1974-P1975	324°41'19.63"	324°54'58.54"	6.90
P1975	296600.13	9214180.28	P1975-P1976	328°10'21.19"	328°24'01.10"	8.00
P1976	296595.91	9214187.08	P1976-P1977	335°41'43.62"	335°55'22.53"	7.98
P1977	296592.62	9214194.35	P1977-P1978	323°07'48.37"	323°21'27.28"	9.38
P1978	296587.00	9214201.86	P1978-P1979	316°35'28.10"	316°49'07.02"	11.94
P1979	296578.79	9214210.53	P1979-P1980	333°26'55.82"	333°39'44.73"	5.77
P1980	296576.21	9214215.69	P1980-P1981	327°22'50.72"	327°36'29.64"	6.96
P1981	296572.46	9214221.56	P1981-P1982	317°51'44.62"	318°05'23.67"	6.64
P1982	296568.00	9214226.48	P1982-P1983	305°54'35.00"	306°08'13.91"	8.40
P1983	296561.20	9214231.41	P1983-P1984	305°32'15.64"	305°45'54.55"	6.05
P1984	296556.27	9214234.92	P1984-P1985	303°10'42.64"	303°24'21.55"	7.29
P1985	296550.18	9214238.91	P1985-P1986	306°28'29.24"	306°41'48.15"	6.71
P1986	296544.78	9214242.90	P1986-P1987	284°37'15.15"	284°50'54.05"	5.57
P1987	296539.36	9214244.30	P1987-P1988	303°06'40.83"	303°20'19.74"	6.44
P1988	296533.99	9214247.82	P1988-P1989	325°10'31.84"	325°24'10.75"	6.57
P1989	296530.24	9214253.22	P1989-P1990	331°33'25.48"	331°47'47.37"	6.40
P1990	296527.19	9214258.84	P1990-P1991	341°01'46.53"	341°15'25.44"	7.94
P1991	296524.61	9214266.35	P1991-P1992	308°39'35.31"	308°53'14.22"	6.01
P1992	296519.92	9214270.10	P1992-P1993	310°27'44.02"	310°41'22.93"	10.48
P1993	296511.95	9214276.90	P1993-P1994	343°09'45.10"	343°23'24.01"	18.62
P1994	296506.55	9214294.73	P1994-P1995	332°21'14.49"	332°34'53.40"	11.12
P1995	296501.40	9214304.58	P1995-P1996	331°23'22.35"	331°37'11.26"	5.88
P1996	296498.58	9214309.74	P1996-P1997	327°48'15.36"	328°01'54.27"	7.48
P1997	296494.59	9214316.07	P1997-P1998	331°37'57.05"	331°51'35.96"	7.18
P1998	296490.14	9214321.70	P1998-P1999	326°13'35.76"	326°27'14.67"	6.76
P1999	296486.39	9214327.32	P1999-P2000	326°53'19.17"	327°06'58.08"	6.44
P2000	296482.87	9214332.72	P2000-P2001	327°15'53.19"	327°29'32.10"	7.81
P2001	296478.65	9214339.29	P2001-P2002	336°48'05.07"	337°01'43.98"	7.14
P2002	296475.83	9214345.85	P2002-P2003	336°54'17.17"	340°07'56.08"	10.24
P2003	296472.31	9214352.47	P2003-P2004	336°46'54.84"	336°59'44.75"	8.13
P2004	296467.86	9214362.27	P2004-P2005	330°06'33.95"	330°19'42.86"	10.82
P2005	296462.46	9214371.65	P2005-P2006	324°27'44.36"	324°41'23.27"	8.07
P2006	296457.77	9214378.22	P2006-P2007	320°49'34.83"	321°03'13.74"	8.17
P2007	296452.61	9214384.55	P2007-P2008	311°20'52.00"	311°34'30.91"	7.81
P2008	296446.75	9214389.71	P2008-P2009	313°09'58.60"	313°22'47.51"	5.14
P2009	296443.00	9214393.23	P2009-P2010	326°58'34.08"	327°12'12.99"	5.59
P2010	296439.95	9214397.92	P2010-P2011	331°11'21.14"	331°25'05.05"	5.35
P2011	296437.37	9214402.61	P2011-P2012	327°59'40.62"	328°13'19.63"	4.42
P2012	296435.03	9214406.36	P2012-P2013	304°41'42.55"	304°55'21.46"	3.71

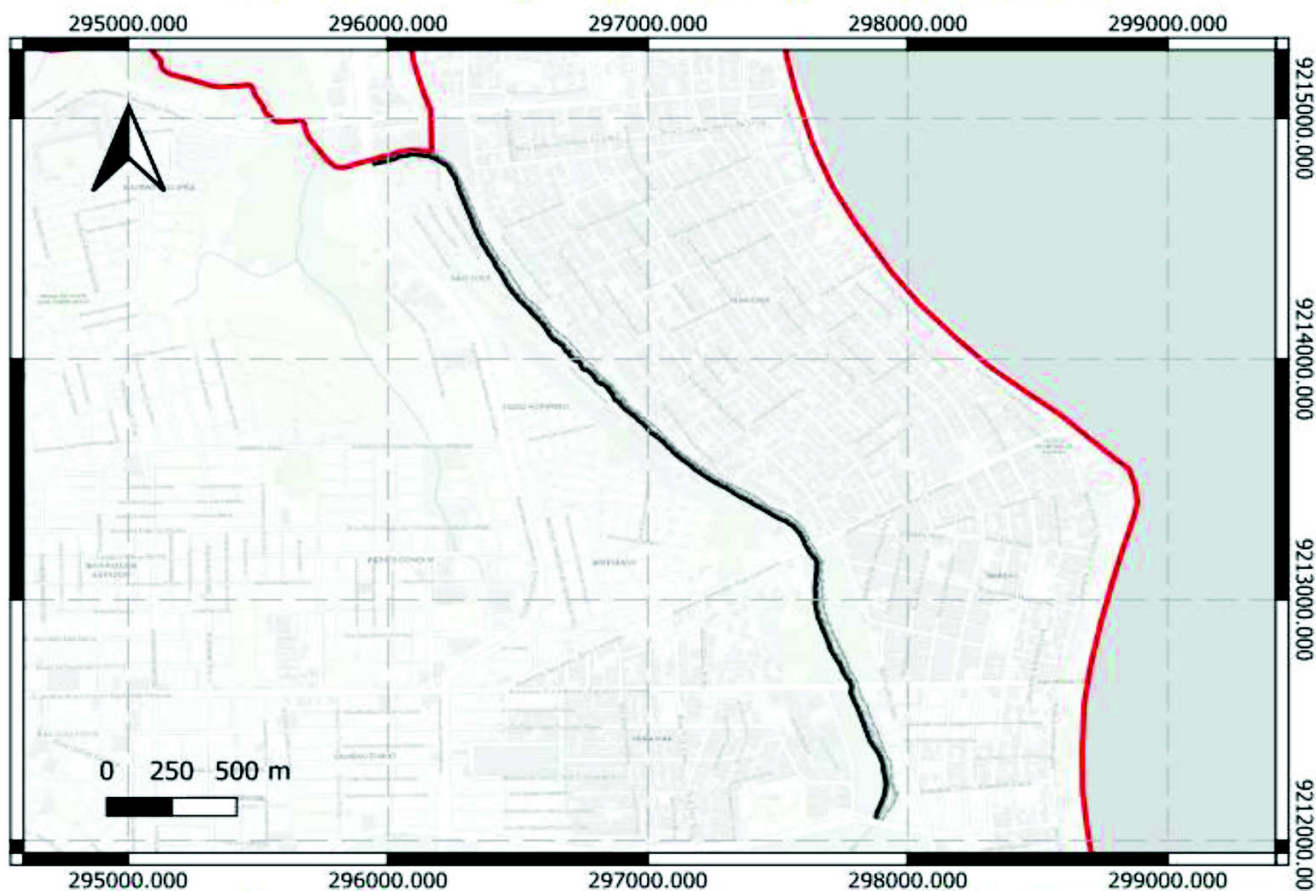
P2013	296431.98	9214408.47	P2013-P2014	313°01'30.24"	313°15'09.15"	4.81
P2014	296428.46	9214411.75	P2014-P2015	337°09'58.85"	337°23'37.76"	4.83
P2015	296426.58	9214416.21	P2015-P2016	342°20'59.55"	342°34'38.46"	5.41
P2016	296424.94	9214421.37	P2016-P2017	336°02'15.04"	336°15'53.95"	4.62
P2017	296423.06	9214425.59	P2017-P2018	331°55'39.05"	332°09'17.96"	3.99
P2018	296421.19	9214429.11	P2018-P2019	341°33'54.18"	341°47'33.09"	5.93
P2019	296419.31	9214434.74	P2019-P2020	325°47'33.47"	326°00'42.38"	7.09
P2020	296415.33	9214440.60	P2020-P2021	317°51'44.66"	318°05'23.57"	6.64
P2021	296410.87	9214445.52	P2021-P2022	318°21'59.26"	318°35'38.17"	5.65
P2022	296407.12	9214449.75	P2022-P2023	335°33'21.76"	335°47'09.67"	8.50
P2023	296403.60	9214457.48	P2023-P2024	336°22'14.24"	336°35'53.15"	4.10
P2024	296401.96	9214461.24	P2024-P2025	337°04'44.44"	337°17'43.35"	6.62
P2025	296399.38	9214467.33	P2025-P2026	331°11'21.14"	331°25'05.05"	5.35
P2026	296396.80	9214472.03	P2026-P2027	324°46'56.17"	325°00'35.58"	4.88
P2027	296393.98	9214476.01	P2027-P2028	325°50'25.10"	326°04'41.01"	7.94
P2028	296389.53	9214482.58	P2028-P2029	317°51'44.66"	318°05'23.57"	6.64
P2029	296385.07	9214487.50	P2029-P2030	328°40'16.71"	328°53'56.62"	6.31
P2030	296381.79	9214492.90	P2030-P2031	344°03'16.57"	344°16'55.49"	5.12
P2031	296380.38	9214497.82	P2031-P2032	343°04'20.95"	343°17'59.86"	5.84
P2032	296378.74	9214503.22	P2032-P2033	329°02'10.48"	329°15'49.39"	5.47
P2033	296375.93	9214507.91	P2033-P2034	324°14'46.01"	324°28'24.92"	7.22
P2034	296371.70	9214513.77	P2034-P2035	326°18'35.76"	326°32'14.67"	6.76
P2035	296367.95	9214519.40	P2035-P2036	339°26'38.24"	339°40'17.15"	8.02
P2036	296365.14	9214526.90	P2036-P2037	331°49'17.08"	332°02'55.99"	7.45
P2037	296361.62	9214533.47	P2037-P2038	344°34'40.22"	344°48'19.13"	7.06
P2038	296359.74	9214540.27	P2038-P2039	342°20'59.55"	342°34'38.46"	5.41
P2039	296358.10	9214545.43	P2039-P2040	343°18'22.72"	343°31'14.63"	4.90
P2040	296356.68	9214550.12	P2040-P2041	347°28'16.29"	347°41'55.20"	6.49
P2041	296355.29	9214556.45	P2041-P2042	347°16'32.32"	347°30'11.23"	7.45
P2042	296353.65	9214563.72	P2042-P2043	343°18'22.72"	343°31'14.63"	4.90
P2043	296352.24	9214568.41	P2043-P2044	336°15°1.82"	336°28'40.73"	6.41
P2044	296349.66	9214574.28	P2044-P2045	329°25'14.78"	329°38'53.69"	5.99
P2045	296346.61	9214579.44	P2045-P2046	329°18'01.00"	329°31'38.91"	8.73
P2046	296342.15	9214586.94	P2046-P2047	328°45'13.75"	329°00'32.66"	9.05
P2047	296337.46	9214594.68	P2047-P2048	347°54'18.87"	348°07'57.78"	6.72
P2048	296336.06	9214601.25	P2048-P2049	346°36'27.01"	346°50'5.92"	5.06
P2049	296334.88	9214606.17	P2049-P2050	350°32'15.64"	350°45'54.55"	5.71
P2050	296333.95	9214611.80	P2050-P2051	338°11'54.93"	338°25'33.84"	6.31
P2051	296331.60	9214617.66	P2051-P2052	0°00'00.00"	0°13'38.91"	6.57
P2052	296331.60	9214624.23	P2052-P2053	328°28'16.12"	328°41'55.03"	7.88
P2053	296326.91	9214630.58	P2053-P2054	322°41'45.79"	322°55'24.70"	6.19
P2054	296323.16	9214635.49	P2054-P2055	326°18'35.76"	326°32'14.67"	6.76
P2055	296319.87	9214640.41	P2055-P2056	340°54'23.43"	341°08'22.34"	6.45
P2056	296317.76	9214645.51	P2056-P2057	345°15'23.17"	345°29'22.08"	4.61
P2057	296316.59	9214650.97	P2057-P2058	341°33'54.18"	341°47'33.09"	5.19
P2058	296314.95	9214655.89	P2058-P2059	333°26'5.82"	333°39'44.73"	5.77
P2059	296312.37	9214661.05	P2059-P2060	345°22'44.85"	345°36'23.76"	5.57
P2060	296310.96	9214666.44	P2060-P2061	345°04'08.90"	345°17'45.81"	10.92

P2109	296049.00	9214861.10	P2109-P2110	248°11'54.93"	248°25'33.84"	7.58
P2110	296041.97	9214858.28	P2110-P2111	250°49'15.57"	251°02'54.48"	5.71
P2111	296036.57	9214856.41	P2111-P2112	252°38'45.51"	252°52'24.42"	7.86
P2112	296029.07	9214854.06	P2112-P2113	247°31'14.04"	247°44'52.95"	7.36
P2113	296022.27	9214851.25	P2113-P2114	250°15'11.39"	250°28'50.30"	9.72
P2114	296013.12	9214847.96	P2114-P2115	257°16'32.32"	257°30'11.23"	7.45
P2115	296005.85	9214846.32	P2115-P2116	259°04'37.90"	259°18'16.81"	13.61
P2116	295992.48	9214843.74	P2116-P2117	253°18'2.72"	253°31'41.63"	4.90
P2117	295987.75	9214842.34	P2117-P2118	260°04'25.52"	260°18'4.43"	9.52
P2118	295978.41	9214840.69	P2118-P2119	263°17'24.59"	263°31'3.50"	8.03
P2119	295970.44	9214839.76	P2119-P2120	247°09'58.84"	247°23'37.76"	4.83
P2120	295965.98	9214837.88	P2120-P2121	249°13'39.88"	249°27'18.79"	7.27
P2121	295959.18	9214835.30	P2121-P2122	249°26'38.24"	249°40'17.15"	6.01
P2122	295953.55	9214833.19	P2122-P2123	249°46'30.51"	250°00'9.42"	4.38
P2123	295949.44	9214831.67	P2123-P2124	249°46'30.51"	250°00'9.42"	9.86
P2124	295940.18	9214828.26	P2124-P2125	1°26'19.61"	1°39'58.52"	11.12
P2125	295940.48	9214839.38	P2125-P2126	1°26'19.75"	1°39'58.66"	5.02
P2126	295940.59	9214844.40	P2126-P2127	69°46'34.25"	70°00'13.16"	8.24
P2127	295948.32	9214847.25	P2127-P2128	69°26'38.24"	69°40'17.15"	1.15
P2128	295949.40	9214847.65	P2128-P2129	69°26'38.24"	69°40'17.15"	4.79
P2129	295953.89	9214849.34	P2129-P2130	69°13'39.88"	69°27'18.79"	6.98
P2130	295960.41	9214851.81	P2130-P2131	67°09'58.85"	67°23'37.76"	4.56
P2131	295964.62	9214853.58	P2131-P2132	67°19'59.42"	67°33'38.33"	0.09
P2132	295964.70	9214853.61	P2132-P2133	69°22'30.00"	69°36'8.91"	0.98
P2133	295965.61	9214853.96	P2133-P2134	73°07'30.00"	73°21'8.91"	0.98
P2134	295966.55	9214854.24	P2134-P2135	76°52'30.00"	77°06'8.91"	0.98
P2135	295967.51	9214854.47	P2135-P2136	80°37'30.00"	80°51'8.91"	0.98
P2136	295968.48	9214854.63	P2136-P2137	82°53'42.29"	83°07'21.20"	0.21
P2137	295968.68	9214854.65	P2137-P2138	83°17'24.59"	83°31'3.50"	7.61
P2138	295976.24	9214855.54	P2138-P2139	80°04'25.52"	80°18'4.43"	8.21
P2139	295984.33	9214856.96	P2139-P2140	73°18'2.72"	73°31'41.63"	4.01
P2140	295988.17	9214858.11	P2140-P2141	74°09'1.36"	74°22'40.27"	0.44
P2141	295988.60	9214858.23	P2141-P2142	76°52'30.00"	77°06'8.91"	0.98
P2142	295989.56	9214858.45	P2142-P2143	78°54'48.95"	79°08'27.86"	0.09
P2143	295989.64	9214858.47	P2143-P2144	79°04'37.90"	79°18'16.81"	13.38
P2144	296002.78	9214861.01	P2144-P2145	77°16'32.32"	77°30'11.23"	6.30
P2145	296008.92	9214862.39	P2145-P2146	70°15'11.39"	70°28'50.30"	8.44
P2146	296016.86	9214865.24	P2146-P2147	67°31'14.04"	67°44'52.95"	7.00
P2147	296023.33	9214867.92	P2147-P2148	69°23'7.02"	69°36'45.93"	0.98
P2148	296024.25	9214868.27	P2148-P2149	71°56'52.75"	72°10'31.66"	0.37
P2149	296024.59	9214868.38	P2149-P2150	72°38'45.51"	72°52'24.42"	7.62
P2150	296031.87	9214870.65	P2150-P2151	70°49'15.57"	71°02'54.48"	5.13
P2151	296036.71	9214872.34	P2151-P2152	68°11'54.93"	68°25'33.84"	7.23
P2152	296043.43	9214875.02	P2152-P2153	69°43'27.46"	69°57'6.37"	0.80
P2153	296044.18	9214875.30	P2153-P2154	73°07'30.00"	73°21'8.91"	0.98
P2154	296045.12	9214875.59	P2154-P2155	76°52'30.00"	77°06'8.91"	0.98
P2155	296046.08	9214875.81	P2155-P2156	80°37'30.00"	80°51'8.91"	0.98
P2156	296047.04	9214875.97	P2156-P2157	82°47'39.79"	83°01'18.70"	0.15

P2157	296047.20	9214875.99	P2157-P2158	83°05'19.58"	83°18'58.49"	7.80
P2158	296054.94	9214876.93	P2158-P2159	84°40'9.79"	84°53'48.70"	0.83
P2159	296055.76	9214877.00	P2159-P2160	86°29'23.12"	86°43'2.03"	0.13
P2160	296055.89	9214877.01	P2160-P2161	86°43'46.24"	86°57'25.15"	7.74
P2161	296063.61	9214877.45	P2161-P2162	83°01'8.19"	83°14'47.10"	10.29
P2162	296073.82	9214878.70	P2162-P2163	76°54'29.18"	77°08'8.10"	9.55
P2163	296083.13	9214880.87	P2163-P2164	77°49'44.59"	78°03'23.50"	0.48
P2164	296083.60	9214880.97	P2164-P2165	80°37'30.00"	80°51'8.91"	0.98
P2165	296084.57	9214881.13	P2165-P2166	84°22'30.00"	84°36'8.91"	0.98
P2166	296085.54	9214881.22	P2166-P2167	88°07'30.00"	88°21'8.91"	0.98
P2167	296086.53	9214881.26	P2167-P2168	91°18'4.61"	91°31'43.52"	0.68
P2168	296087.21	9214881.24	P2168-P2169	92°36'9.22"	92°49'48.13"	9.59
P2169	296096.79	9214880.81	P2169-P2170	86°59'13.96"	87°12'52.88"	7.34
P2170	296104.12	9214881.19	P2170-P2171	80°32'15.64"	80°45'54.55"	7.71
P2171	296111.73	9214882.46	P2171-P2172	81°31'7.82"	81°44'46.73"	0.51
P2172	296112.24	9214882.54	P2172-P2173	84°22'30.00"	84°36'8.91"	0.98
P2173	296113.22	9214882.63	P2173-P0	88°07'30.00"	88°21'8.91"	0.98



LOCALIZAÇÃO ÁREA DE PRESERVAÇÃO PERMANENTE RIO JAGUARIBE JOÃO PESSOA - FAIXA DE 15 METROS MARGEM OESTE



Imóvel: Área de Preservação Permanente (APP) faixa de 15 metros perpendicular a margem Oeste ao rio Jaguaribe trecho entre a Avenida Ministro José Américo de Almeida a Rodovia BR-230 sentido Leste.

Comarca: João Pessoa UF: PB

Município: João Pessoa / PB

Área (m²): 55.615,99

Perímetro: 7.439,93

Sistema Geodésico Brasileiro e encontram-se representadas no sistema UTM, referenciadas ao Meridiano Central -33, tendo como DATUM SIRGAS 2000. Todos os azimutes e distâncias, área e perímetro foram calculados no plano de projeção UTM.

MEMORIAL DESCRITIVO

Imóvel: Área de Preservação Permanente do rio Jaguaribe - Lado Oeste

UF: PB Município: João Pessoa

Área (m2): 55.615,99

Perímetro: 7.439,93

Inicia-se a descrição deste perímetro no vértice P0, de coordenadas N 9214860.39 m e E 296090.28 m, Datum SIRGAS 2000 com Meridiano Central -33, localizado a , Código INCRA ; deste, segue confrontando com , com os seguintes azimute plano e distância: 94°45'49.11" e 8.47; até o vértice P1, de coordenadas N 9214859.69 m e E 296098.72 m; deste, segue confrontando com , com os seguintes azimute plano e distância: 95°37'50.46" e 16.73; até o vértice P2, de coordenadas N 9214858.05 m e E 296115.37 m; deste, segue confrontando com , com os seguintes azimute plano e distância: 102°15'53.19" e 5.52; até o vértice P3, de coordenadas N 9214856.88 m e E 296120.77 m; deste, segue confrontando com , com os seguintes azimute plano e distância: 85°54'51.78" e 9.88; até o vértice P4, de coordenadas N 9214857.58 m e E 296130.62 m; deste, segue confrontando com , com os seguintes azimute plano e distância: 108°26'5.82" e 8.16; até o vértice P5, de coordenadas N 9214855.00 m e E 296138.35 m; deste, segue confrontando com , com os seguintes azimute plano e distância: 93°43'53.03" e 10.81; até o vértice P6, de coordenadas N 9214854.30 m e E 296149.14 m; deste, segue confrontando com , com os seguintes azimute plano e distância: 106°20'9.75" e 14.17; até o vértice P7, de coordenadas N 9214850.31 m e E 296162.74 m; deste, segue confrontando com , com os seguintes azimute plano e distância: 110°43'32.01" e 18.56; até o vértice P8, de coordenadas N 9214843.74 m e E 296180.10 m; deste, segue confrontando com , com os seguintes azimute plano e distância: 111°24'46.69" e 12.85; até o vértice P9, de coordenadas N 9214839.05 m e E 296192.06 m; deste, segue confrontando com , com os seguintes azimute plano e distância: 131°20'52.00" e 7.81; até o vértice P10, de coordenadas N 9214833.89 m e E 296197.92 m; deste, segue confrontando com , com os seguintes azimute plano e distância: 126°04'33.64" e 20.31; até o vértice P11, de coordenadas N 9214821.93 m e E 296214.34 m; deste, segue confrontando com , com os seguintes azimute plano e distância: 117°49'26.75" e 5.98; até o vértice P12, de coordenadas N 9214819.14 m e E 296219.63 m; deste, segue confrontando com , com os seguintes azimute plano e distância: 117°49'26.75" e 0.96; até o vértice P13, de coordenadas N 9214818.70 m e E 296220.47 m; deste, segue confrontando com , com os seguintes azimute plano e distância: 117°49'26.75" e 2.61; até o vértice P14, de coordenadas N 9214817.48 m e E 296222.78 m; deste, segue confrontando com , com os seguintes azimute plano e distância: 121°13'6.25" e 9.05; até o vértice P15, de coordenadas N 9214812.79 m e E 296230.52 m; deste, segue confrontando com , com os seguintes azimute plano e distância: 133°01'30.24" e 9.62; até o vértice P16, de coordenadas N 9214806.22 m e E 296237.56 m; deste, segue confrontando com , com os seguintes azimute plano e distância: 148°50'26.50" e 11.78; até o vértice P17, de coordenadas N 9214796.13 m e E 296243.66 m; deste, segue confrontando com , com os seguintes azimute plano e distância: 155°17'51.25" e 12.91; até o vértice P18, de coordenadas N 9214784.41 m e E 296249.05 m; deste, segue confrontando com , com os seguintes azimute plano e distância: 149°02'10.48" e 15.04; até o vértice P19, de coordenadas N 9214771.51 m e E 296256.79 m; deste, segue confrontando com , com os seguintes azimute plano e distância: 145°24'27.76" e 8.26; até o vértice P20, de coordenadas N 9214764.71 m e E 296261.48 m; deste, segue confrontando com , com os seguintes azimute plano e distância: 143°58'21.46" e 6.38; até o vértice P21, de coordenadas N 9214759.55 m e E 296265.23 m; deste, segue confrontando com , com os seguintes azimute plano e distância: 157°02'10.42" e 15.03; até o vértice P22, de coordenadas N 9214745.71 m e E 296271.09 m; deste, segue confrontando com , com os seguintes azimute plano e distância: 165°22'44.85" e 16.72; até o vértice P23, de coordenadas N 9214729.53 m e E 296275.32 m; deste, segue confrontando com , com os seguintes azimute plano e distância: 164°03'16.57" e 20.49; até o vértice P24, de coordenadas N 9214709.83 m e E 296280.94 m; deste, segue confrontando com , com os seguintes azimute plano e distância: 160°01'0.82" e 16.47; até o vértice P25, de coordenadas N 9214694.35 m e E 296286.57 m; deste, segue confrontando com , com os seguintes azimute plano e distância: 158°50'19.46" e 15.59; até o vértice P26, de coordenadas N 9214679.81 m e E 296292.20 m; deste, segue confrontando com , com os seguintes azimute plano e distância: 155°02'13.96" e 15.00; até o vértice P27, de coordenadas N 9214666.21 m e E 296298.53 m; deste, segue confrontando com , com os seguintes azimute plano e distância: 160°27'48.04" e 23.14; até o vértice P28, de coordenadas N 9214644.40 m e E 296306.27 m; deste, segue confrontando com , com os seguintes azimute plano e distância: 158°03'41.47" e 18.20; até o vértice P29, de coordenadas N 9214627.51 m e E 296313.07 m; deste, segue confrontando com , com os seguintes azimute plano e distância: 158°52'31.01" e 22.12; até o vértice P30, de coordenadas N 9214606.88 m e E 296321.05 m; deste, segue confrontando com , com os seguintes azimute plano e distância: 159°30'46.75" e 22.78; até o vértice P31, de coordenadas N 9214585.53 m e E 296329.02 m; deste, segue confrontando com , com os seguintes azimute plano e distância: 144°46'56.67" e 4.88; até o vértice P32, de coordenadas N 9214581.55 m e E 296331.84 m; deste, segue confrontando com , com os seguintes azimute plano e distância: 164°08'26.28" e 21.45; até o vértice P33, de coordenadas N 9214560.91 m e E 296337.70 m; deste, segue confrontando com , com os seguintes azimute plano e distância: 159°26'38.24" e 24.05; até o vértice P34, de coordenadas N 9214538.39 m e E 296346.14 m; deste, segue confrontando com , com os seguintes azimute plano e distância: 155°48'24.45" e 17.74; até o vértice P35, de coordenadas N 9214522.21 m e E 296353.41 m; deste, segue confrontando com , com os seguintes azimute plano e distância: 153°47'19.04" e 16.99; até o vértice P36, de coordenadas N 9214506.97 m e E 296360.92 m; deste, segue confrontando com , com os seguintes azimute plano e distância: 150°15'18.43" e 11.34; até o vértice P37, de coordenadas N 9214497.12 m e E 296366.54 m; deste, segue confrontando com , com os seguintes azimute plano e distância: 158°50'19.46" e 15.59; até o vértice P38, de coordenadas N 9214482.58 m e E 296372.17 m; deste, segue confrontando com , com os seguintes azimute plano e distância: 147°59'40.62" e 15.49; até o vértice P39, de coordenadas N 9214469.45 m e E 296380.38 m; deste, segue confrontando com , com os seguintes azimute plano e distância: 149°18'1.00" e 8.73; até o vértice P40, de coordenadas N 9214461.94 m e E 296384.84 m; deste, segue confrontando com , com os seguintes azimute plano e distância: 151°46'57.52" e 10.91; até o vértice P41, de coordenadas N 9214452.33 m e

Para verificar a validade das assinaturas, acesse <https://joaopessoa.1doc.com.br/verificacao/E130-3F2A-7A96-549F> e informe o código E130-3F2A-7A96-549F

296390.00 m; deste, segue confrontando com , com os seguintes azimute plano e distância:155°28'49.29" e 14.69; até o vértice P42, de coordenadas N 9214438.96 m e E 296396.09 m; deste, segue confrontando com , com os seguintes azimute plano e distância:137°02'43.47" e 9.29; até o vértice P43, de coordenadas N 9214432.16 m e E 296402.43 m; deste, segue confrontando com , com os seguintes azimute plano e distância:147°20'20.71" e 10.86; até o vértice P44, de coordenadas N 9214423.01 m e E 296408.29 m; deste, segue confrontando com , com os seguintes azimute plano e distância:148°23'32.99" e 7.16; até o vértice P45, de coordenadas N 9214416.91 m e E 296412.04 m; deste, segue confrontando com , com os seguintes azimute plano e distância:146°18'35.76" e 5.92; até o vértice P46, de coordenadas N 9214411.99 m e E 296415.33 m; deste, segue confrontando com , com os seguintes azimute plano e distância:162°53'50.18" e 12.76; até o vértice P47, de coordenadas N 9214399.79 m e E 296419.08 m; deste, segue confrontando com , com os seguintes azimute plano e distância:160°54'23.43" e 6.45; até o vértice P48, de coordenadas N 9214393.69 m e E 296421.19 m; deste, segue confrontando com , com os seguintes azimute plano e distância:149°20'57.60" e 7.36; até o vértice P49, de coordenadas N 9214387.36 m e E 296424.94 m; deste, segue confrontando com , com os seguintes azimute plano e distância:142°15'11.50" e 9.19; até o vértice P50, de coordenadas N 9214380.09 m e E 296430.57 m; deste, segue confrontando com , com os seguintes azimute plano e distância:147°31'43.71" e 12.23; até o vértice P51, de coordenadas N 9214369.77 m e E 296437.14 m; deste, segue confrontando com , com os seguintes azimute plano e distância:146°38'1.08" e 11.51; até o vértice P52, de coordenadas N 9214360.16 m e E 296443.47 m; deste, segue confrontando com , com os seguintes azimute plano e distância:150°25'19.78" e 9.98; até o vértice P53, de coordenadas N 9214351.48 m e E 296448.39 m; deste, segue confrontando com , com os seguintes azimute plano e distância:153°26'5.82" e 4.20; até o vértice P54, de coordenadas N 9214347.73 m e E 296450.27 m; deste, segue confrontando com , com os seguintes azimute plano e distância:155°38'15.17" e 13.64; até o vértice P55, de coordenadas N 9214335.30 m e E 296455.90 m; deste, segue confrontando com , com os seguintes azimute plano e distância:149°37'15.15" e 7.88; até o vértice P56, de coordenadas N 9214328.50 m e E 296459.88 m; deste, segue confrontando com , com os seguintes azimute plano e distância:154°17'24.17" e 7.03; até o vértice P57, de coordenadas N 9214322.17 m e E 296462.93 m; deste, segue confrontando com , com os seguintes azimute plano e distância:152°02'56.51" e 13.01; até o vértice P58, de coordenadas N 9214310.67 m e E 296469.03 m; deste, segue confrontando com , com os seguintes azimute plano e distância:146°18'35.76" e 10.99; até o vértice P59, de coordenadas N 9214301.53 m e E 296475.13 m; deste, segue confrontando com , com os seguintes azimute plano e distância:147°59'40.62" e 8.85; até o vértice P60, de coordenadas N 9214294.02 m e E 296479.82 m; deste, segue confrontando com , com os seguintes azimute plano e distância:139°46'28.35" e 8.69; até o vértice P61, de coordenadas N 9214287.39 m e E 296485.43 m; deste, segue confrontando com , com os seguintes azimute plano e distância:145°55'22.10" e 6.16; até o vértice P62, de coordenadas N 9214282.29 m e E 296488.88 m; deste, segue confrontando com , com os seguintes azimute plano e distância:145°00'28.73" e 5.50; até o vértice P63, de coordenadas N 9214277.78 m e E 296492.03 m; deste, segue confrontando com , com os seguintes azimute plano e distância:141°20'24.69" e 4.81; até o vértice P64, de coordenadas N 9214274.03 m e E 296495.03 m; deste, segue confrontando com , com os seguintes azimute plano e distância:138°31'56.26" e 8.61; até o vértice P65, de coordenadas N 9214267.58 m e E 296500.74 m; deste, segue confrontando com , com os seguintes azimute plano e distância:145°26'14.91" e 8.20; até o vértice P66, de coordenadas N 9214260.82 m e E 296505.39 m; deste, segue confrontando com , com os seguintes azimute plano e distância:144°36'18.74" e 7.00; até o vértice P67, de coordenadas N 9214255.12 m e E 296509.44 m; deste, segue confrontando com , com os seguintes azimute plano e distância:142°44'0.95" e 8.68; até o vértice P68, de coordenadas N 9214248.22 m e E 296514.70 m; deste, segue confrontando com , com os seguintes azimute plano e distância:130°36'4.66" e 4.15; até o vértice P69, de coordenadas N 9214245.51 m e E 296517.85 m; deste, segue confrontando com , com os seguintes azimute plano e distância:133°59'41.69" e 6.05; até o vértice P70, de coordenadas N 9214241.31 m e E 296522.20 m; deste, segue confrontando com , com os seguintes azimute plano e distância:140°47'34.07" e 7.36; até o vértice P71, de coordenadas N 9214235.61 m e E 296526.85 m; deste, segue confrontando com , com os seguintes azimute plano e distância:145°42'47.24" e 4.00; até o vértice P72, de coordenadas N 9214232.31 m e E 296529.11 m; deste, segue confrontando com , com os seguintes azimute plano e distância:133°34'4.45" e 8.49; até o vértice P73, de coordenadas N 9214226.45 m e E 296535.26 m; deste, segue confrontando com , com os seguintes azimute plano e distância:122°28'16.29" e 7.83; até o vértice P74, de coordenadas N 9214222.25 m e E 296541.86 m; deste, segue confrontando com , com os seguintes azimute plano e distância:139°50'38.40" e 6.28; até o vértice P75, de coordenadas N 9214217.45 m e E 296545.92 m; deste, segue confrontando com , com os seguintes azimute plano e distância:146°18'35.76" e 5.95; até o vértice P76, de coordenadas N 9214212.49 m e E 296549.22 m; deste, segue confrontando com , com os seguintes azimute plano e distância:142°00'4.56" e 6.10; até o vértice P77, de coordenadas N 9214207.69 m e E 296552.97 m; deste, segue confrontando com , com os seguintes azimute plano e distância:143°44'46.18" e 5.58; até o vértice P78, de coordenadas N 9214203.19 m e E 296556.27 m; deste, segue confrontando com , com os seguintes azimute plano e distância:143°07'48.37" e 4.50; até o vértice P79, de coordenadas N 9214199.59 m e E 296558.98 m; deste, segue confrontando com , com os seguintes azimute plano e distância:143°58'21.46" e 4.08; até o vértice P80, de coordenadas N 9214196.28 m e E 296561.38 m; deste, segue confrontando com , com os seguintes azimute plano e distância:132°41'33.46" e 15.08; até o vértice P81, de coordenadas N 9214186.06 m e E 296572.46 m; deste, segue confrontando com , com os seguintes azimute plano e distância:146°49'17.36" e 2.98; até o vértice P82, de coordenadas N 9214183.56 m e E 296574.09 m; deste, segue confrontando com , com os seguintes azimute plano e distância:142°35'40.72" e 4.11; até o vértice P83, de coordenadas N 9214180.30 m e E 296576.59 m; deste, segue confrontando com , com os seguintes azimute plano e distância:129°20'25.87" e 7.58; até o vértice P84, de coordenadas N 9214175.49 m e E 296582.45 m; deste, segue confrontando com , com os seguintes azimute plano e distância:135°00'0.00" e 6.25; até o vértice P85, de coordenadas N 9214171.07 m e E 296586.87 m; deste, segue confrontando com , com os seguintes azimute plano e distância:148°47'58.15" e 7.97; até o vértice P86, de coordenadas N 9214164.25 m e E 296591.00 m; deste, segue confrontando com , com os seguintes azimute plano e distância:136°02'29.86" e 7.47; até o vértice P87, de coordenadas N 9214158.87 m e E 296596.19 m; deste, segue confrontando com , com os seguintes azimute plano e distância:142°00'4.56" e 3.90; até o vértice P88, de coordenadas N 9214155.80 m e E 296598.59 m; deste, segue confrontando

Assinado por: **JOÃO PESSOA** Para verificar a validade das assinaturas, acesse <https://joaopessoa.1doc.com.br/verificacao/E130-3F2A-7A96-549F> e informe o código E130-3F2A-7A96-549F



com , com os seguintes azimute plano e distância:147°05'41.13" e 5.84; até o vértice P89, de coordenadas N 9214150.90 m e E 296601.76 m; deste, segue confrontando com , com os seguintes azimute plano e distância:144°33'15.44" e 6.96; até o vértice P90, de coordenadas N 9214145.23 m e E 296605.79 m; deste, segue confrontando com , com os seguintes azimute plano e distância:143°19'32.34" e 5.63; até o vértice P91, de coordenadas N 9214140.72 m e E 296609.15 m; deste, segue confrontando com , com os seguintes azimute plano e distância:146°28'55.17" e 8.87; até o vértice P92, de coordenadas N 9214133.32 m e E 296614.05 m; deste, segue confrontando com , com os seguintes azimute plano e distância:147°39'9.20" e 6.82; até o vértice P93, de coordenadas N 9214127.56 m e E 296617.70 m; deste, segue confrontando com , com os seguintes azimute plano e distância:143°25'37.09" e 3.71; até o vértice P94, de coordenadas N 9214124.58 m e E 296619.91 m; deste, segue confrontando com , com os seguintes azimute plano e distância:140°02'32.82" e 4.64; até o vértice P95, de coordenadas N 9214121.03 m e E 296622.89 m; deste, segue confrontando com , com os seguintes azimute plano e distância:146°18'35.76" e 2.77; até o vértice P96, de coordenadas N 9214118.72 m e E 296624.43 m; deste, segue confrontando com , com os seguintes azimute plano e distância:162°38'45.51" e 8.05; até o vértice P97, de coordenadas N 9214111.04 m e E 296626.83 m; deste, segue confrontando com , com os seguintes azimute plano e distância:147°20'20.71" e 4.45; até o vértice P98, de coordenadas N 9214107.29 m e E 296629.23 m; deste, segue confrontando com , com os seguintes azimute plano e distância:144°27'44.36" e 3.31; até o vértice P99, de coordenadas N 9214104.60 m e E 296631.15 m; deste, segue confrontando com , com os seguintes azimute plano e distância:138°14'22.92" e 3.61; até o vértice P100, de coordenadas N 9214101.91 m e E 296633.55 m; deste, segue confrontando com , com os seguintes azimute plano e distância:147°20'20.71" e 4.45; até o vértice P101, de coordenadas N 9214098.16 m e E 296635.96 m; deste, segue confrontando com , com os seguintes azimute plano e distância:143°58'21.46" e 3.92; até o vértice P102, de coordenadas N 9214094.99 m e E 296638.26 m; deste, segue confrontando com , com os seguintes azimute plano e distância:130°36'4.66" e 1.77; até o vértice P103, de coordenadas N 9214093.84 m e E 296639.61 m; deste, segue confrontando com , com os seguintes azimute plano e distância:139°23'55.34" e 3.54; até o vértice P104, de coordenadas N 9214091.15 m e E 296641.91 m; deste, segue confrontando com , com os seguintes azimute plano e distância:134°01'44.32" e 4.01; até o vértice P105, de coordenadas N 9214088.37 m e E 296644.79 m; deste, segue confrontando com , com os seguintes azimute plano e distância:121°32'5.25" e 4.96; até o vértice P106, de coordenadas N 9214085.77 m e E 296649.02 m; deste, segue confrontando com , com os seguintes azimute plano e distância:135°00'0.00" e 3.26; até o vértice P107, de coordenadas N 9214083.47 m e E 296651.33 m; deste, segue confrontando com , com os seguintes azimute plano e distância:129°48'20.06" e 3.75; até o vértice P108, de coordenadas N 9214081.06 m e E 296654.21 m; deste, segue confrontando com , com os seguintes azimute plano e distância:121°08'20.30" e 5.39; até o vértice P109, de coordenadas N 9214078.28 m e E 296658.82 m; deste, segue confrontando com , com os seguintes azimute plano e distância:122°38'40.70" e 7.30; até o vértice P110, de coordenadas N 9214074.34 m e E 296664.97 m; deste, segue confrontando com , com os seguintes azimute plano e distância:118°13'2.48" e 4.47; até o vértice P111, de coordenadas N 9214072.23 m e E 296668.90 m; deste, segue confrontando com , com os seguintes azimute plano e distância:154°01'32.18" e 4.17; até o vértice P112, de coordenadas N 9214068.48 m e E 296670.73 m; deste, segue confrontando com , com os seguintes azimute plano e distância:116°33'54.18" e 2.79; até o vértice P113, de coordenadas N 9214067.23 m e E 296673.23 m; deste, segue confrontando com , com os seguintes azimute plano e distância:112°28'45.96" e 3.01; até o vértice P114, de coordenadas N 9214066.08 m e E 296676.01 m; deste, segue confrontando com , com os seguintes azimute plano e distância:152°26'49.88" e 2.49; até o vértice P115, de coordenadas N 9214063.87 m e E 296677.17 m; deste, segue confrontando com , com os seguintes azimute plano e distância:157°45'3.51" e 2.28; até o vértice P116, de coordenadas N 9214061.76 m e E 296678.03 m; deste, segue confrontando com , com os seguintes azimute plano e distância:137°12'9.35" e 3.53; até o vértice P117, de coordenadas N 9214059.16 m e E 296680.43 m; deste, segue confrontando com , com os seguintes azimute plano e distância:137°43'34.72" e 2.86; até o vértice P118, de coordenadas N 9214057.05 m e E 296682.35 m; deste, segue confrontando com , com os seguintes azimute plano e distância:154°32'11.96" e 4.47; até o vértice P119, de coordenadas N 9214053.02 m e E 296684.27 m; deste, segue confrontando com , com os seguintes azimute plano e distância:154°20'5.31" e 8.21; até o vértice P120, de coordenadas N 9214045.62 m e E 296687.83 m; deste, segue confrontando com , com os seguintes azimute plano e distância:160°27'48.04" e 3.16; até o vértice P121, de coordenadas N 9214042.64 m e E 296688.88 m; deste, segue confrontando com , com os seguintes azimute plano e distância:147°10'17.25" e 3.54; até o vértice P122, de coordenadas N 9214039.66 m e E 296690.81 m; deste, segue confrontando com , com os seguintes azimute plano e distância:129°05'37.89" e 1.98; até o vértice P123, de coordenadas N 9214038.41 m e E 296692.34 m; deste, segue confrontando com , com os seguintes azimute plano e distância:90°00'0.00" e 5.09; até o vértice P124, de coordenadas N 9214038.41 m e E 296697.43 m; deste, segue confrontando com , com os seguintes azimute plano e distância:106°41'57.28" e 3.01; até o vértice P125, de coordenadas N 9214037.55 m e E 296700.32 m; deste, segue confrontando com , com os seguintes azimute plano e distância:114°20'27.92" e 4.43; até o vértice P126, de coordenadas N 9214035.72 m e E 296704.35 m; deste, segue confrontando com , com os seguintes azimute plano e distância:156°36'53.20" e 3.87; até o vértice P127, de coordenadas N 9214032.17 m e E 296705.89 m; deste, segue confrontando com , com os seguintes azimute plano e distância:176°49'12.61" e 3.46; até o vértice P128, de coordenadas N 9214028.71 m e E 296706.08 m; deste, segue confrontando com , com os seguintes azimute plano e distância:180°00'0.00" e 3.84; até o vértice P129, de coordenadas N 9214024.87 m e E 296706.08 m; deste, segue confrontando com , com os seguintes azimute plano e distância:157°22'48.49" e 1.25; até o vértice P130, de coordenadas N 9214023.72 m e E 296706.56 m; deste, segue confrontando com , com os seguintes azimute plano e distância:147°48'15.36" e 3.06; até o vértice P131, de coordenadas N 9214021.12 m e E 296708.19 m; deste, segue confrontando com , com os seguintes azimute plano e distância:144°14'46.01" e 2.96; até o vértice P132, de coordenadas N 9214018.72 m e E 296709.92 m; deste, segue confrontando com , com os seguintes azimute plano e distância:138°41'28.99" e 4.22; até o vértice P133, de coordenadas N 9214015.55 m e E 296712.71 m; deste, segue confrontando com , com os seguintes azimute plano e distância:138°21'59.26" e 4.63; até o vértice P134, de coordenadas N 9214012.09 m e E 296715.78 m; deste, segue confrontando com , com os seguintes azimute plano e distância:143°21'57.19" e 4.67; até o vértice P135, de coordenadas N 9214008.35 m e E 296718.57 m; deste, segue confrontando com , com os seguintes azimute plano

Assinado por: **JOÃO PESSOA** Para verificar a validade das assinaturas, acesse <https://joaopessoa.1doc.com.br/verificacao/E130-3F2A-7A96-549F> e informe o código E130-3F2A-7A96-549F



distância:148°08'2.48" e 4.18; até o vértice P136, de coordenadas N 9214004.79 m e E 296720.78 m; deste, segue confrontando com , com os seguintes azimuth plano e distância:131°59'13.96" e 2.58; até o vértice P137, de coordenadas N 9214003.06 m e E 296722.70 m; deste, segue confrontando com , com os seguintes azimuth plano e distância:83°05'19.58" e 3.19; até o vértice P138, de coordenadas N 9214003.45 m e E 296725.87 m; deste, segue confrontando com , com os seguintes azimuth plano e distância:54°53'16.76" e 7.52; até o vértice P139, de coordenadas N 9214007.77 m e E 296732.02 m; deste, segue confrontando com , com os seguintes azimuth plano e distância:112°18'22.34" e 4.05; até o vértice P140, de coordenadas N 9214006.23 m e E 296735.76 m; deste, segue confrontando com , com os seguintes azimuth plano e distância:130°21'52.33" e 2.52; até o vértice P141, de coordenadas N 9214004.60 m e E 296737.68 m; deste, segue confrontando com , com os seguintes azimuth plano e distância:141°37'57.05" e 2.94; até o vértice P142, de coordenadas N 9214002.30 m e E 296739.51 m; deste, segue confrontando com , com os seguintes azimuth plano e distância:153°26'5.82" e 3.87; até o vértice P143, de coordenadas N 9213998.84 m e E 296741.24 m; deste, segue confrontando com , com os seguintes azimuth plano e distância:152°29'16.79" e 5.20; até o vértice P144, de coordenadas N 9213994.23 m e E 296743.64 m; deste, segue confrontando com , com os seguintes azimuth plano e distância:155°30'29.16" e 9.50; até o vértice P145, de coordenadas N 9213985.58 m e E 296747.58 m; deste, segue confrontando com , com os seguintes azimuth plano e distância:160°01'0.82" e 3.37; até o vértice P146, de coordenadas N 9213982.41 m e E 296748.73 m; deste, segue confrontando com , com os seguintes azimuth plano e distância:150°15'18.43" e 4.65; até o vértice P147, de coordenadas N 9213978.38 m e E 296751.04 m; deste, segue confrontando com , com os seguintes azimuth plano e distância:160°13'26.12" e 9.09; até o vértice P148, de coordenadas N 9213969.83 m e E 296754.11 m; deste, segue confrontando com , com os seguintes azimuth plano e distância:158°37'45.76" e 2.37; até o vértice P149, de coordenadas N 9213967.62 m e E 296754.97 m; deste, segue confrontando com , com os seguintes azimuth plano e distância:123°41'24.24" e 2.77; até o vértice P150, de coordenadas N 9213966.08 m e E 296757.28 m; deste, segue confrontando com , com os seguintes azimuth plano e distância:130°25'33.88" e 3.41; até o vértice P151, de coordenadas N 9213963.87 m e E 296759.87 m; deste, segue confrontando com , com os seguintes azimuth plano e distância:84°05'37.89" e 2.80; até o vértice P152, de coordenadas N 9213964.16 m e E 296762.66 m; deste, segue confrontando com , com os seguintes azimuth plano e distância:108°59'47.95" e 6.20; até o vértice P153, de coordenadas N 9213962.14 m e E 296768.52 m; deste, segue confrontando com , com os seguintes azimuth plano e distância:109°01'32.18" e 2.95; até o vértice P154, de coordenadas N 9213961.18 m e E 296771.30 m; deste, segue confrontando com , com os seguintes azimuth plano e distância:119°21'27.91" e 3.53; até o vértice P155, de coordenadas N 9213959.45 m e E 296774.38 m; deste, segue confrontando com , com os seguintes azimuth plano e distância:135°00'0.00" e 2.72; até o vértice P156, de coordenadas N 9213957.53 m e E 296776.30 m; deste, segue confrontando com , com os seguintes azimuth plano e distância:117°49'26.75" e 3.91; até o vértice P157, de coordenadas N 9213955.71 m e E 296779.76 m; deste, segue confrontando com , com os seguintes azimuth plano e distância:141°10'12.63" e 5.06; até o vértice P158, de coordenadas N 9213951.77 m e E 296782.93 m; deste, segue confrontando com , com os seguintes azimuth plano e distância:125°20'24.38" e 6.48; até o vértice P159, de coordenadas N 9213948.02 m e E 296788.21 m; deste, segue confrontando com , com os seguintes azimuth plano e distância:134°08'41.65" e 4.55; até o vértice P160, de coordenadas N 9213944.85 m e E 296791.48 m; deste, segue confrontando com , com os seguintes azimuth plano e distância:139°01'41.75" e 4.83; até o vértice P161, de coordenadas N 9213941.20 m e E 296794.65 m; deste, segue confrontando com , com os seguintes azimuth plano e distância:153°26'5.82" e 5.16; até o vértice P162, de coordenadas N 9213936.59 m e E 296796.95 m; deste, segue confrontando com , com os seguintes azimuth plano e distância:155°51'16.05" e 3.05; até o vértice P163, de coordenadas N 9213933.80 m e E 296798.20 m; deste, segue confrontando com , com os seguintes azimuth plano e distância:152°35'32.73" e 2.92; até o vértice P164, de coordenadas N 9213931.21 m e E 296799.55 m; deste, segue confrontando com , com os seguintes azimuth plano e distância:132°47'50.65" e 3.53; até o vértice P165, de coordenadas N 9213928.81 m e E 296802.14 m; deste, segue confrontando com , com os seguintes azimuth plano e distância:126°09'29.47" e 3.09; até o vértice P166, de coordenadas N 9213926.98 m e E 296804.64 m; deste, segue confrontando com , com os seguintes azimuth plano e distância:141°42'35.41" e 2.33; até o vértice P167, de coordenadas N 9213925.16 m e E 296806.08 m; deste, segue confrontando com , com os seguintes azimuth plano e distância:144°41'19.63" e 2.83; até o vértice P168, de coordenadas N 9213922.85 m e E 296807.71 m; deste, segue confrontando com , com os seguintes azimuth plano e distância:167°54'18.87" e 2.75; até o vértice P169, de coordenadas N 9213920.16 m e E 296808.29 m; deste, segue confrontando com , com os seguintes azimuth plano e distância:191°46'5.84" e 2.35; até o vértice P170, de coordenadas N 9213917.86 m e E 296807.81 m; deste, segue confrontando com , com os seguintes azimuth plano e distância:148°37'37.18" e 4.61; até o vértice P171, de coordenadas N 9213913.92 m e E 296810.21 m; deste, segue confrontando com , com os seguintes azimuth plano e distância:113°57'44.96" e 2.84; até o vértice P172, de coordenadas N 9213912.77 m e E 296812.80 m; deste, segue confrontando com , com os seguintes azimuth plano e distância:128°14'1.77" e 8.07; até o vértice P173, de coordenadas N 9213907.77 m e E 296819.14 m; deste, segue confrontando com , com os seguintes azimuth plano e distância:105°04'6.56" e 2.59; até o vértice P174, de coordenadas N 9213907.10 m e E 296821.64 m; deste, segue confrontando com , com os seguintes azimuth plano e distância:88°21'48.32" e 3.36; até o vértice P175, de coordenadas N 9213907.20 m e E 296825.00 m; deste, segue confrontando com , com os seguintes azimuth plano e distância:101°06'46.95" e 5.48; até o vértice P176, de coordenadas N 9213906.14 m e E 296830.38 m; deste, segue confrontando com , com os seguintes azimuth plano e distância:135°00'0.00" e 6.79; até o vértice P177, de coordenadas N 9213901.34 m e E 296835.18 m; deste, segue confrontando com , com os seguintes azimuth plano e distância:119°44'41.57" e 3.10; até o vértice P178, de coordenadas N 9213899.80 m e E 296837.87 m; deste, segue confrontando com , com os seguintes azimuth plano e distância:119°55'53.44" e 3.66; até o vértice P179, de coordenadas N 9213897.97 m e E 296841.04 m; deste, segue confrontando com , com os seguintes azimuth plano e distância:128°53'4.19" e 3.83; até o vértice P180, de coordenadas N 9213895.57 m e E 296844.02 m; deste, segue confrontando com , com os seguintes azimuth plano e distância:144°46'56.67" e 2.00; até o vértice P181, de coordenadas N 9213893.94 m e E 296845.17 m; deste, segue confrontando com , com os seguintes azimuth plano e distância:145°07'28.82" e 3.86; até o vértice P182, de coordenadas N 9213890.77 m e E 296847.38 m; deste, segue confrontando com , com os seguintes azimuth plano e distância:133°27'6.63" e 2.51; até o vértice

Assinado por João Pessoa. Para verificar a validade das assinaturas, acesse <https://joaopessoa.1doc.com.br/verificacao/E130-3F2A-7A96-549F> e informe o código E130-3F2A-7A96-549F



P183, de coordenadas N 9213889.04 m e E 296849.21 m; deste, segue confrontando com , com os seguintes azimute plano e distância:128°55'39.16" e 3.21; até o vértice P184, de coordenadas N 9213887.02 m e E 296851.71 m; deste, segue confrontando com , com os seguintes azimute plano e distância:155°46'20.12" e 2.11; até o vértice P185, de coordenadas N 9213885.10 m e E 296852.57 m; deste, segue confrontando com , com os seguintes azimute plano e distância:109°58'59.18" e 2.25; até o vértice P186, de coordenadas N 9213884.33 m e E 296854.68 m; deste, segue confrontando com , com os seguintes azimute plano e distância:128°39'35.31" e 2.46; até o vértice P187, de coordenadas N 9213882.80 m e E 296856.61 m; deste, segue confrontando com , com os seguintes azimute plano e distância:150°38'32.09" e 1.76; até o vértice P188, de coordenadas N 9213881.26 m e E 296857.47 m; deste, segue confrontando com , com os seguintes azimute plano e distância:158°11'54.93" e 2.07; até o vértice P189, de coordenadas N 9213879.34 m e E 296858.24 m; deste, segue confrontando com , com os seguintes azimute plano e distância:172°34'6.93" e 2.23; até o vértice P190, de coordenadas N 9213877.13 m e E 296858.53 m; deste, segue confrontando com , com os seguintes azimute plano e distância:145°50'25.10" e 3.25; até o vértice P191, de coordenadas N 9213874.44 m e E 296860.35 m; deste, segue confrontando com , com os seguintes azimute plano e distância:129°48'20.06" e 3.75; até o vértice P192, de coordenadas N 9213872.04 m e E 296863.23 m; deste, segue confrontando com , com os seguintes azimute plano e distância:143°07'48.37" e 1.92; até o vértice P193, de coordenadas N 9213870.50 m e E 296864.39 m; deste, segue confrontando com , com os seguintes azimute plano e distância:180°00'0.00" e 1.44; até o vértice P194, de coordenadas N 9213869.06 m e E 296864.39 m; deste, segue confrontando com , com os seguintes azimute plano e distância:133°46'52.05" e 3.19; até o vértice P195, de coordenadas N 9213866.85 m e E 296866.69 m; deste, segue confrontando com , com os seguintes azimute plano e distância:128°17'24.59" e 2.33; até o vértice P196, de coordenadas N 9213865.41 m e E 296868.52 m; deste, segue confrontando com , com os seguintes azimute plano e distância:140°26'25.20" e 2.87; até o vértice P197, de coordenadas N 9213863.20 m e E 296870.34 m; deste, segue confrontando com , com os seguintes azimute plano e distância:158°37'45.76" e 2.37; até o vértice P198, de coordenadas N 9213860.99 m e E 296871.21 m; deste, segue confrontando com , com os seguintes azimute plano e distância:170°32'15.64" e 1.75; até o vértice P199, de coordenadas N 9213859.26 m e E 296871.50 m; deste, segue confrontando com , com os seguintes azimute plano e distância:164°28'33.20" e 3.59; até o vértice P200, de coordenadas N 9213855.80 m e E 296872.46 m; deste, segue confrontando com , com os seguintes azimute plano e distância:161°33'54.18" e 2.13; até o vértice P201, de coordenadas N 9213853.79 m e E 296873.13 m; deste, segue confrontando com , com os seguintes azimute plano e distância:162°33'10.12" e 3.52; até o vértice P202, de coordenadas N 9213850.42 m e E 296874.19 m; deste, segue confrontando com , com os seguintes azimute plano e distância:151°15'36.74" e 3.40; até o vértice P203, de coordenadas N 9213847.45 m e E 296875.82 m; deste, segue confrontando com , com os seguintes azimute plano e distância:155°13'29.49" e 4.13; até o vértice P204, de coordenadas N 9213843.70 m e E 296877.55 m; deste, segue confrontando com , com os seguintes azimute plano e distância:159°08'43.95" e 2.16; até o vértice P205, de coordenadas N 9213841.68 m e E 296878.32 m; deste, segue confrontando com , com os seguintes azimute plano e distância:139°11'5.70" e 2.79; até o vértice P206, de coordenadas N 9213839.57 m e E 296880.14 m; deste, segue confrontando com , com os seguintes azimute plano e distância:132°23'50.78" e 2.99; até o vértice P207, de coordenadas N 9213837.55 m e E 296882.35 m; deste, segue confrontando com , com os seguintes azimute plano e distância:138°48'50.67" e 2.04; até o vértice P208, de coordenadas N 9213836.01 m e E 296883.69 m; deste, segue confrontando com , com os seguintes azimute plano e distância:130°48'54.30" e 2.79; até o vértice P209, de coordenadas N 9213834.19 m e E 296885.81 m; deste, segue confrontando com , com os seguintes azimute plano e distância:103°23'32.99" e 2.07; até o vértice P210, de coordenadas N 9213833.71 m e E 296887.83 m; deste, segue confrontando com , com os seguintes azimute plano e distância:122°00'19.38" e 1.81; até o vértice P211, de coordenadas N 9213832.75 m e E 296889.36 m; deste, segue confrontando com , com os seguintes azimute plano e distância:94°58'11.07" e 2.22; até o vértice P212, de coordenadas N 9213832.56 m e E 296891.57 m; deste, segue confrontando com , com os seguintes azimute plano e distância:125°45'13.99" e 2.96; até o vértice P213, de coordenadas N 9213830.83 m e E 296893.97 m; deste, segue confrontando com , com os seguintes azimute plano e distância:123°41'24.24" e 3.46; até o vértice P214, de coordenadas N 9213828.91 m e E 296896.86 m; deste, segue confrontando com , com os seguintes azimute plano e distância:162°20'59.55" e 2.22; até o vértice P215, de coordenadas N 9213826.79 m e E 296897.53 m; deste, segue confrontando com , com os seguintes azimute plano e distância:164°58'53.90" e 4.08; até o vértice P216, de coordenadas N 9213822.85 m e E 296898.58 m; deste, segue confrontando com , com os seguintes azimute plano e distância:158°11'54.93" e 3.10; até o vértice P217, de coordenadas N 9213819.97 m e E 296899.74 m; deste, segue confrontando com , com os seguintes azimute plano e distância:145°00'28.73" e 1.17; até o vértice P218, de coordenadas N 9213819.01 m e E 296900.41 m; deste, segue confrontando com , com os seguintes azimute plano e distância:109°17'24.17" e 4.07; até o vértice P219, de coordenadas N 9213817.67 m e E 296904.25 m; deste, segue confrontando com , com os seguintes azimute plano e distância:126°52'11.63" e 3.36; até o vértice P220, de coordenadas N 9213815.65 m e E 296906.94 m; deste, segue confrontando com , com os seguintes azimute plano e distância:171°34'22.91" e 2.62; até o vértice P221, de coordenadas N 9213813.06 m e E 296907.33 m; deste, segue confrontando com , com os seguintes azimute plano e distância:151°18'49.87" e 5.80; até o vértice P222, de coordenadas N 9213807.97 m e E 296910.11 m; deste, segue confrontando com , com os seguintes azimute plano e distância:140°23'21.52" e 3.62; até o vértice P223, de coordenadas N 9213805.18 m e E 296912.42 m; deste, segue confrontando com , com os seguintes azimute plano e distância:140°49'34.83" e 3.35; até o vértice P224, de coordenadas N 9213802.59 m e E 296914.53 m; deste, segue confrontando com , com os seguintes azimute plano e distância:129°28'20.86" e 2.12; até o vértice P225, de coordenadas N 9213801.24 m e E 296916.16 m; deste, segue confrontando com , com os seguintes azimute plano e distância:124°49'28.16" e 2.69; até o vértice P226, de coordenadas N 9213799.70 m e E 296918.37 m; deste, segue confrontando com , com os seguintes azimute plano e distância:145°00'28.73" e 2.35; até o vértice P227, de coordenadas N 9213797.78 m e E 296919.72 m; deste, segue confrontando com , com os seguintes azimute plano e distância:128°17'24.59" e 2.33; até o vértice P228, de coordenadas N 9213796.34 m e E 296921.54 m; deste, segue confrontando com , com os seguintes azimute plano e distância:133°05'27.05" e 4.08; até o vértice P229, de coordenadas N 9213793.56 m e E 296924.52 m; deste, segue confrontando com , com os seguintes azimute plano e distância:121°49'38.81" e 3.28; até o vértice P230, de coordenadas N 9213791.83 m e

Assinado por:  Para verificar a validade das assinaturas, acesse <https://joaopessoa.1doc.com.br/verificacao/E130-3F2A-7A96-549F> e informe o código E130-3F2A-7A96-549F

296927.31 m; deste, segue confrontando com , com os seguintes azimuth plano e distância:123°59'47.25" e 4.98; até o vértice P231, de coordenadas N 9213789.04 m e E 296931.44 m; deste, segue confrontando com , com os seguintes azimuth plano e distância:126°39'21.99" e 5.15; até o vértice P232, de coordenadas N 9213785.97 m e E 296935.57 m; deste, segue confrontando com , com os seguintes azimuth plano e distância:136°04'51.33" e 3.60; até o vértice P233, de coordenadas N 9213783.37 m e E 296938.07 m; deste, segue confrontando com , com os seguintes azimuth plano e distância:135°55'26.56" e 8.42; até o vértice P234, de coordenadas N 9213777.32 m e E 296943.92 m; deste, segue confrontando com , com os seguintes azimuth plano e distância:117°05'43.99" e 4.64; até o vértice P235, de coordenadas N 9213775.21 m e E 296948.06 m; deste, segue confrontando com , com os seguintes azimuth plano e distância:134°12'54.63" e 4.96; até o vértice P236, de coordenadas N 9213771.75 m e E 296951.61 m; deste, segue confrontando com , com os seguintes azimuth plano e distância:129°45'29.45" e 14.87; até o vértice P237, de coordenadas N 9213762.24 m e E 296963.04 m; deste, segue confrontando com , com os seguintes azimuth plano e distância:143°07'48.37" e 3.36; até o vértice P238, de coordenadas N 9213759.55 m e E 296965.06 m; deste, segue confrontando com , com os seguintes azimuth plano e distância:139°32'15.98" e 4.29; até o vértice P239, de coordenadas N 9213756.28 m e E 296967.84 m; deste, segue confrontando com , com os seguintes azimuth plano e distância:140°28'38.53" e 4.98; até o vértice P240, de coordenadas N 9213752.44 m e E 296971.01 m; deste, segue confrontando com , com os seguintes azimuth plano e distância:135°00'0.00" e 3.40; até o vértice P241, de coordenadas N 9213750.04 m e E 296973.42 m; deste, segue confrontando com , com os seguintes azimuth plano e distância:147°31'43.71" e 2.50; até o vértice P242, de coordenadas N 9213747.93 m e E 296974.76 m; deste, segue confrontando com , com os seguintes azimuth plano e distância:119°03'16.57" e 2.97; até o vértice P243, de coordenadas N 9213746.49 m e E 296977.35 m; deste, segue confrontando com , com os seguintes azimuth plano e distância:124°37'26.96" e 4.90; até o vértice P244, de coordenadas N 9213743.70 m e E 296981.39 m; deste, segue confrontando com , com os seguintes azimuth plano e distância:130°31'58.23" e 8.72; até o vértice P245, de coordenadas N 9213738.03 m e E 296988.02 m; deste, segue confrontando com , com os seguintes azimuth plano e distância:139°12'51.04" e 6.47; até o vértice P246, de coordenadas N 9213733.13 m e E 296992.24 m; deste, segue confrontando com , com os seguintes azimuth plano e distância:137°32'0.81" e 7.68; até o vértice P247, de coordenadas N 9213727.47 m e E 296997.43 m; deste, segue confrontando com , com os seguintes azimuth plano e distância:134°59'60.00" e 4.21; até o vértice P248, de coordenadas N 9213724.49 m e E 297000.41 m; deste, segue confrontando com , com os seguintes azimuth plano e distância:140°02'32.82" e 4.64; até o vértice P249, de coordenadas N 9213720.93 m e E 297003.39 m; deste, segue confrontando com , com os seguintes azimuth plano e distância:147°01'50.15" e 4.24; até o vértice P250, de coordenadas N 9213717.38 m e E 297005.69 m; deste, segue confrontando com , com os seguintes azimuth plano e distância:160°25'36.75" e 4.59; até o vértice P251, de coordenadas N 9213713.06 m e E 297007.23 m; deste, segue confrontando com , com os seguintes azimuth plano e distância:142°35'40.72" e 4.11; até o vértice P252, de coordenadas N 9213709.79 m e E 297009.73 m; deste, segue confrontando com , com os seguintes azimuth plano e distância:142°32'57.92" e 5.69; até o vértice P253, de coordenadas N 9213705.28 m e E 297013.18 m; deste, segue confrontando com , com os seguintes azimuth plano e distância:133°36'10.15" e 5.57; até o vértice P254, de coordenadas N 9213701.43 m e E 297017.22 m; deste, segue confrontando com , com os seguintes azimuth plano e distância:122°39'39.29" e 4.45; até o vértice P255, de coordenadas N 9213699.03 m e E 297020.97 m; deste, segue confrontando com , com os seguintes azimuth plano e distância:127°18'14.21" e 2.54; até o vértice P256, de coordenadas N 9213697.50 m e E 297022.98 m; deste, segue confrontando com , com os seguintes azimuth plano e distância:129°10'25.17" e 3.35; até o vértice P257, de coordenadas N 9213695.38 m e E 297025.58 m; deste, segue confrontando com , com os seguintes azimuth plano e distância:119°58'53.90" e 2.88; até o vértice P258, de coordenadas N 9213693.94 m e E 297028.07 m; deste, segue confrontando com , com os seguintes azimuth plano e distância:138°10'47.39" e 2.45; até o vértice P259, de coordenadas N 9213692.12 m e E 297029.71 m; deste, segue confrontando com , com os seguintes azimuth plano e distância:115°51'58.88" e 3.52; até o vértice P260, de coordenadas N 9213690.58 m e E 297032.88 m; deste, segue confrontando com , com os seguintes azimuth plano e distância:119°58'53.90" e 2.88; até o vértice P261, de coordenadas N 9213689.14 m e E 297035.37 m; deste, segue confrontando com , com os seguintes azimuth plano e distância:127°47'38.19" e 5.96; até o vértice P262, de coordenadas N 9213685.49 m e E 297040.08 m; deste, segue confrontando com , com os seguintes azimuth plano e distância:132°22'24.94" e 7.41; até o vértice P263, de coordenadas N 9213680.49 m e E 297045.56 m; deste, segue confrontando com , com os seguintes azimuth plano e distância:128°51'12.15" e 4.44; até o vértice P264, de coordenadas N 9213677.71 m e E 297049.01 m; deste, segue confrontando com , com os seguintes azimuth plano e distância:137°40'31.54" e 7.28; até o vértice P265, de coordenadas N 9213672.33 m e E 297053.91 m; deste, segue confrontando com , com os seguintes azimuth plano e distância:122°44'6.81" e 7.99; até o vértice P266, de coordenadas N 9213668.01 m e E 297060.64 m; deste, segue confrontando com , com os seguintes azimuth plano e distância:134°59'60.00" e 7.47; até o vértice P267, de coordenadas N 9213662.72 m e E 297065.92 m; deste, segue confrontando com , com os seguintes azimuth plano e distância:138°45'6.22" e 8.30; até o vértice P268, de coordenadas N 9213656.48 m e E 297071.40 m; deste, segue confrontando com , com os seguintes azimuth plano e distância:141°20'24.69" e 7.38; até o vértice P269, de coordenadas N 9213650.71 m e E 297076.01 m; deste, segue confrontando com , com os seguintes azimuth plano e distância:143°35'1.04" e 7.28; até o vértice P270, de coordenadas N 9213644.85 m e E 297080.33 m; deste, segue confrontando com , com os seguintes azimuth plano e distância:133°01'30.24" e 5.91; até o vértice P271, de coordenadas N 9213640.82 m e E 297084.65 m; deste, segue confrontando com , com os seguintes azimuth plano e distância:146°53'19.17" e 2.64; até o vértice P272, de coordenadas N 9213638.61 m e E 297086.09 m; deste, segue confrontando com , com os seguintes azimuth plano e distância:147°59'40.62" e 1.81; até o vértice P273, de coordenadas N 9213637.07 m e E 297087.05 m; deste, segue confrontando com , com os seguintes azimuth plano e distância:111°22'14.24" e 2.37; até o vértice P274, de coordenadas N 9213636.21 m e E 297089.26 m; deste, segue confrontando com , com os seguintes azimuth plano e distância:120°31'46.94" e 4.35; até o vértice P275, de coordenadas N 9213634.00 m e E 297093.01 m; deste, segue confrontando com , com os seguintes azimuth plano e distância:136°38'11.68" e 4.76; até o vértice P276, de coordenadas N 9213630.54 m e E 297096.28 m; deste, segue confrontando com , com os seguintes azimuth plano e distância:142°25'53.07" e 4.73; até o vértice P277, de coordenadas N 9213626.80 m e E 297099.16 m; deste, segue confrontando

Assinado por: João Pessoa, 06 de junho de 2024. Para verificar a validade das assinaturas, acesse <https://joaopessoa.1doc.com.br/verificacao/E130-3F2A-7A96-549F> e informe o código E130-3F2A-7A96-549F



com , com os seguintes azimute plano e distância:143°58'21.46" e 5.23; até o vértice P278, de coordenadas N 9213622.57 m e E 297102.23 m; deste, segue confrontando com , com os seguintes azimute plano e distância:143°58'21.46" e 6.53; até o vértice P279, de coordenadas N 9213617.29 m e E 297106.07 m; deste, segue confrontando com , com os seguintes azimute plano e distância:132°27'18.70" e 12.24; até o vértice P280, de coordenadas N 9213609.02 m e E 297115.10 m; deste, segue confrontando com , com os seguintes azimute plano e distância:131°11'9.33" e 5.11; até o vértice P281, de coordenadas N 9213605.66 m e E 297118.95 m; deste, segue confrontando com , com os seguintes azimute plano e distância:127°52'29.94" e 5.48; até o vértice P282, de coordenadas N 9213602.30 m e E 297123.27 m; deste, segue confrontando com , com os seguintes azimute plano e distância:127°43'58.96" e 10.20; até o vértice P283, de coordenadas N 9213596.06 m e E 297131.34 m; deste, segue confrontando com , com os seguintes azimute plano e distância:135°33'22.51" e 7.00; até o vértice P284, de coordenadas N 9213591.06 m e E 297136.24 m; deste, segue confrontando com , com os seguintes azimute plano e distância:131°41'53.28" e 7.08; até o vértice P285, de coordenadas N 9213586.35 m e E 297141.52 m; deste, segue confrontando com , com os seguintes azimute plano e distância:120°12'11.66" e 7.45; até o vértice P286, de coordenadas N 9213582.61 m e E 297147.96 m; deste, segue confrontando com , com os seguintes azimute plano e distância:126°11'35.55" e 4.88; até o vértice P287, de coordenadas N 9213579.73 m e E 297151.90 m; deste, segue confrontando com , com os seguintes azimute plano e distância:130°36'4.66" e 4.43; até o vértice P288, de coordenadas N 9213576.84 m e E 297155.26 m; deste, segue confrontando com , com os seguintes azimute plano e distância:113°37'45.76" e 3.36; até o vértice P289, de coordenadas N 9213575.50 m e E 297158.33 m; deste, segue confrontando com , com os seguintes azimute plano e distância:134°07'6.95" e 4.42; até o vértice P290, de coordenadas N 9213572.43 m e E 297161.50 m; deste, segue confrontando com , com os seguintes azimute plano e distância:128°28'48.71" e 4.79; até o vértice P291, de coordenadas N 9213569.45 m e E 297165.25 m; deste, segue confrontando com , com os seguintes azimute plano e distância:134°12'54.63" e 4.96; até o vértice P292, de coordenadas N 9213565.99 m e E 297168.80 m; deste, segue confrontando com , com os seguintes azimute plano e distância:123°01'25.92" e 4.58; até o vértice P293, de coordenadas N 9213563.49 m e E 297172.64 m; deste, segue confrontando com , com os seguintes azimute plano e distância:134°08'41.65" e 4.55; até o vértice P294, de coordenadas N 9213560.32 m e E 297175.91 m; deste, segue confrontando com , com os seguintes azimute plano e distância:139°36'38.34" e 8.45; até o vértice P295, de coordenadas N 9213553.89 m e E 297181.39 m; deste, segue confrontando com , com os seguintes azimute plano e distância:132°30'37.61" e 4.69; até o vértice P296, de coordenadas N 9213550.72 m e E 297184.84 m; deste, segue confrontando com , com os seguintes azimute plano e distância:126°21'25.91" e 8.59; até o vértice P297, de coordenadas N 9213545.62 m e E 297191.76 m; deste, segue confrontando com , com os seguintes azimute plano e distância:127°22'0.01" e 13.30; até o vértice P298, de coordenadas N 9213537.56 m e E 297202.33 m; deste, segue confrontando com , com os seguintes azimute plano e distância:121°13'6.25" e 7.41; até o vértice P299, de coordenadas N 9213533.71 m e E 297208.67 m; deste, segue confrontando com , com os seguintes azimute plano e distância:125°32'15.64" e 13.22; até o vértice P300, de coordenadas N 9213526.03 m e E 297219.43 m; deste, segue confrontando com , com os seguintes azimute plano e distância:133°25'24.42" e 7.41; até o vértice P301, de coordenadas N 9213520.94 m e E 297224.81 m; deste, segue confrontando com , com os seguintes azimute plano e distância:124°55'9.85" e 6.21; até o vértice P302, de coordenadas N 9213517.38 m e E 297229.90 m; deste, segue confrontando com , com os seguintes azimute plano e distância:129°28'20.86" e 8.46; até o vértice P303, de coordenadas N 9213512.00 m e E 297236.43 m; deste, segue confrontando com , com os seguintes azimute plano e distância:120°39'2.40" e 15.07; até o vértice P304, de coordenadas N 9213504.32 m e E 297249.40 m; deste, segue confrontando com , com os seguintes azimute plano e distância:120°31'46.94" e 4.35; até o vértice P305, de coordenadas N 9213502.11 m e E 297253.14 m; deste, segue confrontando com , com os seguintes azimute plano e distância:120°29'59.40" e 8.14; até o vértice P306, de coordenadas N 9213497.98 m e E 297260.16 m; deste, segue confrontando com , com os seguintes azimute plano e distância:122°10'16.38" e 7.04; até o vértice P307, de coordenadas N 9213494.23 m e E 297266.11 m; deste, segue confrontando com , com os seguintes azimute plano e distância:122°28'16.29" e 5.01; até o vértice P308, de coordenadas N 9213491.54 m e E 297270.34 m; deste, segue confrontando com , com os seguintes azimute plano e distância:119°35'47.67" e 13.81; até o vértice P309, de coordenadas N 9213484.72 m e E 297282.35 m; deste, segue confrontando com , com os seguintes azimute plano e distância:117°24'27.27" e 5.84; até o vértice P310, de coordenadas N 9213482.03 m e E 297287.53 m; deste, segue confrontando com , com os seguintes azimute plano e distância:122°00'19.38" e 5.44; até o vértice P311, de coordenadas N 9213479.15 m e E 297292.14 m; deste, segue confrontando com , com os seguintes azimute plano e distância:114°37'24.83" e 5.07; até o vértice P312, de coordenadas N 9213477.04 m e E 297296.75 m; deste, segue confrontando com , com os seguintes azimute plano e distância:116°33'54.18" e 5.37; até o vértice P313, de coordenadas N 9213474.64 m e E 297301.56 m; deste, segue confrontando com , com os seguintes azimute plano e distância:116°00'12.05" e 4.38; até o vértice P314, de coordenadas N 9213472.71 m e E 297305.50 m; deste, segue confrontando com , com os seguintes azimute plano e distância:119°53'56.05" e 4.43; até o vértice P315, de coordenadas N 9213470.51 m e E 297309.34 m; deste, segue confrontando com , com os seguintes azimute plano e distância:125°23'41.27" e 4.48; até o vértice P316, de coordenadas N 9213467.91 m e E 297312.99 m; deste, segue confrontando com , com os seguintes azimute plano e distância:121°51'57.52" e 4.18; até o vértice P317, de coordenadas N 9213465.70 m e E 297316.54 m; deste, segue confrontando com , com os seguintes azimute plano e distância:128°39'35.31" e 4.92; até o vértice P318, de coordenadas N 9213462.63 m e E 297320.39 m; deste, segue confrontando com , com os seguintes azimute plano e distância:124°01'9.66" e 4.64; até o vértice P319, de coordenadas N 9213460.03 m e E 297324.23 m; deste, segue confrontando com , com os seguintes azimute plano e distância:120°08'28.99" e 10.33; até o vértice P320, de coordenadas N 9213454.85 m e E 297333.16 m; deste, segue confrontando com , com os seguintes azimute plano e distância:140°49'34.83" e 3.35; até o vértice P321, de coordenadas N 9213452.25 m e E 297335.27 m; deste, segue confrontando com , com os seguintes azimute plano e distância:149°25'14.78" e 2.45; até o vértice P322, de coordenadas N 9213450.14 m e E 297336.52 m; deste, segue confrontando com , com os seguintes azimute plano e distância:121°11'32.93" e 16.51; até o vértice P323, de coordenadas N 9213441.59 m e E 297350.64 m; deste, segue confrontando com , com os seguintes azimute plano e distância:122°23'59.42" e 5.92; até o vértice P324, de coordenadas N 9213438.42 m e E 297355.64 m; deste, segue confrontando com , com os seguintes azimute plano

Assinado por:  Para verificar a validade das assinaturas, acesse <https://joaopessoa.1doc.com.br/verificacao/E130-3F2A-7A96-549F> e informe o código E130-3F2A-7A96-549F

distância:124°41'42.55" e 6.08; até o vértice P325, de coordenadas N 9213434.96 m e E 297360.63 m; deste, segue confrontando com , com os seguintes azimuth plano e distância:124°33'45.09" e 5.25; até o vértice P326, de coordenadas N 9213431.99 m e E 297364.96 m; deste, segue confrontando com , com os seguintes azimuth plano e distância:113°37'45.76" e 5.03; até o vértice P327, de coordenadas N 9213429.97 m e E 297369.57 m; deste, segue confrontando com , com os seguintes azimuth plano e distância:109°47'55.95" e 5.10; até o vértice P328, de coordenadas N 9213428.24 m e E 297374.37 m; deste, segue confrontando com , com os seguintes azimuth plano e distância:107°51'1.15" e 5.95; até o vértice P329, de coordenadas N 9213426.41 m e E 297380.04 m; deste, segue confrontando com , com os seguintes azimuth plano e distância:123°05'44.64" e 12.84; até o vértice P330, de coordenadas N 9213419.40 m e E 297390.80 m; deste, segue confrontando com , com os seguintes azimuth plano e distância:123°27'11.91" e 6.45; até o vértice P331, de coordenadas N 9213415.85 m e E 297396.18 m; deste, segue confrontando com , com os seguintes azimuth plano e distância:129°05'37.89" e 9.90; até o vértice P332, de coordenadas N 9213409.60 m e E 297403.86 m; deste, segue confrontando com , com os seguintes azimuth plano e distância:121°24'18.59" e 21.38; até o vértice P333, de coordenadas N 9213398.46 m e E 297422.11 m; deste, segue confrontando com , com os seguintes azimuth plano e distância:117°37'15.87" e 9.32; até o vértice P334, de coordenadas N 9213394.14 m e E 297430.37 m; deste, segue confrontando com , com os seguintes azimuth plano e distância:120°57'49.52" e 6.16; até o vértice P335, de coordenadas N 9213390.97 m e E 297435.66 m; deste, segue confrontando com , com os seguintes azimuth plano e distância:119°20'29.96" e 18.62; até o vértice P336, de coordenadas N 9213381.84 m e E 297451.89 m; deste, segue confrontando com , com os seguintes azimuth plano e distância:123°29'26.80" e 15.32; até o vértice P337, de coordenadas N 9213373.39 m e E 297464.67 m; deste, segue confrontando com , com os seguintes azimuth plano e distância:121°42'5.15" e 11.52; até o vértice P338, de coordenadas N 9213367.34 m e E 297474.47 m; deste, segue confrontando com , com os seguintes azimuth plano e distância:123°50'6.43" e 10.52; até o vértice P339, de coordenadas N 9213361.48 m e E 297483.21 m; deste, segue confrontando com , com os seguintes azimuth plano e distância:125°18'40.37" e 2.83; até o vértice P340, de coordenadas N 9213359.84 m e E 297485.51 m; deste, segue confrontando com , com os seguintes azimuth plano e distância:118°04'20.95" e 3.27; até o vértice P341, de coordenadas N 9213358.31 m e E 297488.39 m; deste, segue confrontando com , com os seguintes azimuth plano e distância:123°06'40.83" e 2.64; até o vértice P342, de coordenadas N 9213356.87 m e E 297490.60 m; deste, segue confrontando com , com os seguintes azimuth plano e distância:128°02'49.35" e 2.81; até o vértice P343, de coordenadas N 9213355.14 m e E 297492.81 m; deste, segue confrontando com , com os seguintes azimuth plano e distância:122°20'50.80" e 3.41; até o vértice P344, de coordenadas N 9213353.31 m e E 297495.70 m; deste, segue confrontando com , com os seguintes azimuth plano e distância:120°57'49.52" e 5.04; até o vértice P345, de coordenadas N 9213350.72 m e E 297500.02 m; deste, segue confrontando com , com os seguintes azimuth plano e distância:114°30'26.66" e 2.69; até o vértice P346, de coordenadas N 9213349.60 m e E 297502.47 m; deste, segue confrontando com , com os seguintes azimuth plano e distância:121°36'27.01" e 4.58; até o vértice P347, de coordenadas N 9213347.20 m e E 297506.37 m; deste, segue confrontando com , com os seguintes azimuth plano e distância:119°21'27.91" e 2.76; até o vértice P348, de coordenadas N 9213345.85 m e E 297508.77 m; deste, segue confrontando com , com os seguintes azimuth plano e distância:116°33'54.18" e 2.68; até o vértice P349, de coordenadas N 9213344.65 m e E 297511.17 m; deste, segue confrontando com , com os seguintes azimuth plano e distância:116°33'54.18" e 3.36; até o vértice P350, de coordenadas N 9213343.15 m e E 297514.17 m; deste, segue confrontando com , com os seguintes azimuth plano e distância:110°33'21.76" e 5.13; até o vértice P351, de coordenadas N 9213341.35 m e E 297518.98 m; deste, segue confrontando com , com os seguintes azimuth plano e distância:102°31'43.71" e 4.15; até o vértice P352, de coordenadas N 9213340.45 m e E 297523.03 m; deste, segue confrontando com , com os seguintes azimuth plano e distância:112°18'22.34" e 6.33; até o vértice P353, de coordenadas N 9213338.04 m e E 297528.88 m; deste, segue confrontando com , com os seguintes azimuth plano e distância:115°49'15.57" e 5.17; até o vértice P354, de coordenadas N 9213335.79 m e E 297533.54 m; deste, segue confrontando com , com os seguintes azimuth plano e distância:122°37'9.28" e 4.46; até o vértice P355, de coordenadas N 9213333.39 m e E 297537.29 m; deste, segue confrontando com , com os seguintes azimuth plano e distância:132°36'50.60" e 5.10; até o vértice P356, de coordenadas N 9213329.94 m e E 297541.04 m; deste, segue confrontando com , com os seguintes azimuth plano e distância:124°41'42.55" e 4.75; até o vértice P357, de coordenadas N 9213327.24 m e E 297544.94 m; deste, segue confrontando com , com os seguintes azimuth plano e distância:129°10'25.17" e 5.23; até o vértice P358, de coordenadas N 9213323.94 m e E 297549.00 m; deste, segue confrontando com , com os seguintes azimuth plano e distância:124°49'28.16" e 4.21; até o vértice P359, de coordenadas N 9213321.53 m e E 297552.45 m; deste, segue confrontando com , com os seguintes azimuth plano e distância:100°18'17.45" e 3.36; até o vértice P360, de coordenadas N 9213320.93 m e E 297555.75 m; deste, segue confrontando com , com os seguintes azimuth plano e distância:129°17'21.86" e 4.27; até o vértice P361, de coordenadas N 9213318.23 m e E 297559.05 m; deste, segue confrontando com , com os seguintes azimuth plano e distância:132°39'45.70" e 10.41; até o vértice P362, de coordenadas N 9213311.18 m e E 297566.71 m; deste, segue confrontando com , com os seguintes azimuth plano e distância:138°31'17.23" e 13.82; até o vértice P363, de coordenadas N 9213300.82 m e E 297575.86 m; deste, segue confrontando com , com os seguintes azimuth plano e distância:136°55'50.11" e 9.45; até o vértice P364, de coordenadas N 9213293.92 m e E 297582.32 m; deste, segue confrontando com , com os seguintes azimuth plano e distância:145°18'17.45" e 14.24; até o vértice P365, de coordenadas N 9213282.21 m e E 297590.42 m; deste, segue confrontando com , com os seguintes azimuth plano e distância:147°42'14.49" e 18.82; até o vértice P366, de coordenadas N 9213266.30 m e E 297600.48 m; deste, segue confrontando com , com os seguintes azimuth plano e distância:156°36'8.05" e 17.01; até o vértice P367, de coordenadas N 9213250.69 m e E 297607.23 m; deste, segue confrontando com , com os seguintes azimuth plano e distância:157°05'39.23" e 11.57; até o vértice P368, de coordenadas N 9213240.03 m e E 297611.74 m; deste, segue confrontando com , com os seguintes azimuth plano e distância:172°30'14.91" e 5.75; até o vértice P369, de coordenadas N 9213234.33 m e E 297612.49 m; deste, segue confrontando com , com os seguintes azimuth plano e distância:150°04'6.56" e 5.72; até o vértice P370, de coordenadas N 9213229.38 m e E 297615.34 m; deste, segue confrontando com , com os seguintes azimuth plano e distância:151°29'19.51" e 27.67; até o vértice P371, de coordenadas N 9213205.06 m e E 297628.55 m; deste, segue confrontando com , com os seguintes azimuth plano e distância:144°46'56.67" e 12.49; até o vértice

Assinado por João Pessoa. Para verificar a validade das assinaturas, acesse <https://joaopessoa.1doc.com.br/verificacao/E130-3F2A-7A96-549F> e informe o código E130-3F2A-7A96-549F



P372, de coordenadas N 9213194.85 m e E 297635.75 m; deste, segue confrontando com , com os seguintes azimuth plano e distância:148°51'39.70" e 8.42; até o vértice P373, de coordenadas N 9213187.65 m e E 297640.10 m; deste, segue confrontando com , com os seguintes azimuth plano e distância:139°03'8.12" e 13.80; até o vértice P374, de coordenadas N 9213177.23 m e E 297649.15 m; deste, segue confrontando com , com os seguintes azimuth plano e distância:137°17'26.20" e 8.30; até o vértice P375, de coordenadas N 9213171.13 m e E 297654.78 m; deste, segue confrontando com , com os seguintes azimuth plano e distância:148°40'16.71" e 6.31; até o vértice P376, de coordenadas N 9213165.74 m e E 297658.06 m; deste, segue confrontando com , com os seguintes azimuth plano e distância:165°57'49.52" e 4.83; até o vértice P377, de coordenadas N 9213161.05 m e E 297659.23 m; deste, segue confrontando com , com os seguintes azimuth plano e distância:178°45'16.69" e 10.79; até o vértice P378, de coordenadas N 9213150.26 m e E 297659.47 m; deste, segue confrontando com , com os seguintes azimuth plano e distância:181°18'7.03" e 10.32; até o vértice P379, de coordenadas N 9213139.94 m e E 297659.23 m; deste, segue confrontando com , com os seguintes azimuth plano e distância:180°48'24.95" e 16.65; até o vértice P380, de coordenadas N 9213123.29 m e E 297659.00 m; deste, segue confrontando com , com os seguintes azimuth plano e distância:180°00'0.00" e 9.15; até o vértice P381, de coordenadas N 9213114.14 m e E 297659.00 m; deste, segue confrontando com , com os seguintes azimuth plano e distância:184°05'8.22" e 6.58; até o vértice P382, de coordenadas N 9213107.57 m e E 297658.53 m; deste, segue confrontando com , com os seguintes azimuth plano e distância:216°52'11.63" e 2.35; até o vértice P383, de coordenadas N 9213105.70 m e E 297657.12 m; deste, segue confrontando com , com os seguintes azimuth plano e distância:199°39'13.77" e 3.49; até o vértice P384, de coordenadas N 9213102.41 m e E 297655.95 m; deste, segue confrontando com , com os seguintes azimuth plano e distância:151°41'57.28" e 3.46; até o vértice P385, de coordenadas N 9213099.37 m e E 297657.59 m; deste, segue confrontando com , com os seguintes azimuth plano e distância:186°10'58.55" e 28.31; até o vértice P386, de coordenadas N 9213071.22 m e E 297654.54 m; deste, segue confrontando com , com os seguintes azimuth plano e distância:183°34'34.80" e 7.52; até o vértice P387, de coordenadas N 9213063.72 m e E 297654.07 m; deste, segue confrontando com , com os seguintes azimuth plano e distância:185°42'38.14" e 14.14; até o vértice P388, de coordenadas N 9213049.65 m e E 297652.67 m; deste, segue confrontando com , com os seguintes azimuth plano e distância:180°00'0.00" e 7.97; até o vértice P389, de coordenadas N 9213041.67 m e E 297652.67 m; deste, segue confrontando com , com os seguintes azimuth plano e distância:176°38'0.74" e 19.97; até o vértice P390, de coordenadas N 9213021.74 m e E 297653.84 m; deste, segue confrontando com , com os seguintes azimuth plano e distância:180°00'0.00" e 11.73; até o vértice P391, de coordenadas N 9213010.01 m e E 297653.84 m; deste, segue confrontando com , com os seguintes azimuth plano e distância:180°00'0.00" e 7.97; até o vértice P392, de coordenadas N 9213002.04 m e E 297653.84 m; deste, segue confrontando com , com os seguintes azimuth plano e distância:208°18'2.72" e 3.46; até o vértice P393, de coordenadas N 9212998.99 m e E 297652.20 m; deste, segue confrontando com , com os seguintes azimuth plano e distância:180°00'0.00" e 3.28; até o vértice P394, de coordenadas N 9212995.71 m e E 297652.20 m; deste, segue confrontando com , com os seguintes azimuth plano e distância:160°01'0.82" e 2.75; até o vértice P395, de coordenadas N 9212993.13 m e E 297653.13 m; deste, segue confrontando com , com os seguintes azimuth plano e distância:141°20'24.69" e 3.00; até o vértice P396, de coordenadas N 9212990.78 m e E 297655.01 m; deste, segue confrontando com , com os seguintes azimuth plano e distância:180°00'0.00" e 4.69; até o vértice P397, de coordenadas N 9212986.09 m e E 297655.01 m; deste, segue confrontando com , com os seguintes azimuth plano e distância:200°33'21.76" e 4.01; até o vértice P398, de coordenadas N 9212982.34 m e E 297653.60 m; deste, segue confrontando com , com os seguintes azimuth plano e distância:172°52'29.94" e 5.67; até o vértice P399, de coordenadas N 9212976.71 m e E 297654.31 m; deste, segue confrontando com , com os seguintes azimuth plano e distância:168°41'24.24" e 8.37; até o vértice P400, de coordenadas N 9212968.50 m e E 297655.95 m; deste, segue confrontando com , com os seguintes azimuth plano e distância:167°54'18.87" e 6.72; até o vértice P401, de coordenadas N 9212961.94 m e E 297657.36 m; deste, segue confrontando com , com os seguintes azimuth plano e distância:165°08'28.99" e 11.89; até o vértice P402, de coordenadas N 9212950.44 m e E 297660.40 m; deste, segue confrontando com , com os seguintes azimuth plano e distância:180°00'0.00" e 3.99; até o vértice P403, de coordenadas N 9212946.46 m e E 297660.40 m; deste, segue confrontando com , com os seguintes azimuth plano e distância:171°15'13.82" e 18.51; até o vértice P404, de coordenadas N 9212928.16 m e E 297663.22 m; deste, segue confrontando com , com os seguintes azimuth plano e distância:147°05'41.13" e 4.75; até o vértice P405, de coordenadas N 9212924.18 m e E 297665.80 m; deste, segue confrontando com , com os seguintes azimuth plano e distância:147°31'43.71" e 3.06; até o vértice P406, de coordenadas N 9212921.60 m e E 297667.44 m; deste, segue confrontando com , com os seguintes azimuth plano e distância:160°51'58.88" e 24.33; até o vértice P407, de coordenadas N 9212898.61 m e E 297675.41 m; deste, segue confrontando com , com os seguintes azimuth plano e distância:147°43'27.68" e 5.27; até o vértice P408, de coordenadas N 9212894.16 m e E 297678.23 m; deste, segue confrontando com , com os seguintes azimuth plano e distância:160°49'15.57" e 5.71; até o vértice P409, de coordenadas N 9212888.76 m e E 297680.10 m; deste, segue confrontando com , com os seguintes azimuth plano e distância:180°00'0.00" e 5.63; até o vértice P410, de coordenadas N 9212883.14 m e E 297680.10 m; deste, segue confrontando com , com os seguintes azimuth plano e distância:153°26'5.82" e 7.34; até o vértice P411, de coordenadas N 9212876.57 m e E 297683.39 m; deste, segue confrontando com , com os seguintes azimuth plano e distância:154°43'20.20" e 9.34; até o vértice P412, de coordenadas N 9212868.13 m e E 297687.37 m; deste, segue confrontando com , com os seguintes azimuth plano e distância:159°01'35.42" e 15.07; até o vértice P413, de coordenadas N 9212854.06 m e E 297692.77 m; deste, segue confrontando com , com os seguintes azimuth plano e distância:163°18'2.72" e 4.90; até o vértice P414, de coordenadas N 9212849.37 m e E 297694.18 m; deste, segue confrontando com , com os seguintes azimuth plano e distância:160°49'15.57" e 5.71; até o vértice P415, de coordenadas N 9212843.97 m e E 297696.05 m; deste, segue confrontando com , com os seguintes azimuth plano e distância:155°03'21.94" e 11.12; até o vértice P416, de coordenadas N 9212833.89 m e E 297700.74 m; deste, segue confrontando com , com os seguintes azimuth plano e distância:163°04'20.95" e 11.28; até o vértice P417, de coordenadas N 9212823.10 m e E 297704.03 m; deste, segue confrontando com , com os seguintes azimuth plano e distância:164°53'25.53" e 24.29; até o vértice P418, de coordenadas N 9212799.65 m e E 297710.36 m; deste, segue confrontando com , com os seguintes azimuth plano e distância:152°32'56.41" e 20.35; até o vértice P419, de coordenadas N 9212781.59 m e

Resenhado por: Cícero Delucena Vilhena
Para verificar a validade das assinaturas, acesse <https://joaopessoa.1doc.com.br/verificacao/E130-3F2A-7A96-549F> e informe o código E130-3F2A-7A96-549F



297719.74 m; deste, segue confrontando com , com os seguintes azimute plano e distância:147°52'30.01" e 11.91; até o vértice P420, de coordenadas N 9212771.50 m e E 297726.07 m; deste, segue confrontando com , com os seguintes azimute plano e distância:150°43'29.08" e 17.74; até o vértice P421, de coordenadas N 9212756.03 m e E 297734.75 m; deste, segue confrontando com , com os seguintes azimute plano e distância:146°18'35.76" e 4.23; até o vértice P422, de coordenadas N 9212752.51 m e E 297737.09 m; deste, segue confrontando com , com os seguintes azimute plano e distância:133°40'4.01" e 7.13; até o vértice P423, de coordenadas N 9212747.58 m e E 297742.25 m; deste, segue confrontando com , com os seguintes azimute plano e distância:156°41'42.39" e 33.20; até o vértice P424, de coordenadas N 9212717.09 m e E 297755.39 m; deste, segue confrontando com , com os seguintes azimute plano e distância:171°15'13.82" e 9.25; até o vértice P425, de coordenadas N 9212707.95 m e E 297756.79 m; deste, segue confrontando com , com os seguintes azimute plano e distância:152°51'1.15" e 10.28; até o vértice P426, de coordenadas N 9212698.80 m e E 297761.48 m; deste, segue confrontando com , com os seguintes azimute plano e distância:148°23'32.99" e 7.16; até o vértice P427, de coordenadas N 9212692.70 m e E 297765.24 m; deste, segue confrontando com , com os seguintes azimute plano e distância:136°50'51.40" e 5.14; até o vértice P428, de coordenadas N 9212688.95 m e E 297768.75 m; deste, segue confrontando com , com os seguintes azimute plano e distância:153°54'16.47" e 12.80; até o vértice P429, de coordenadas N 9212677.46 m e E 297774.38 m; deste, segue confrontando com , com os seguintes azimute plano e distância:146°18'35.76" e 7.61; até o vértice P430, de coordenadas N 9212671.13 m e E 297778.60 m; deste, segue confrontando com , com os seguintes azimute plano e distância:136°13'7.95" e 7.80; até o vértice P431, de coordenadas N 9212665.50 m e E 297784.00 m; deste, segue confrontando com , com os seguintes azimute plano e distância:148°34'13.56" e 14.84; até o vértice P432, de coordenadas N 9212652.84 m e E 297791.74 m; deste, segue confrontando com , com os seguintes azimute plano e distância:178°55'8.67" e 24.86; até o vértice P433, de coordenadas N 9212627.98 m e E 297792.21 m; deste, segue confrontando com , com os seguintes azimute plano e distância:189°49'9.48" e 12.38; até o vértice P434, de coordenadas N 9212615.78 m e E 297790.10 m; deste, segue confrontando com , com os seguintes azimute plano e distância:167°44'6.81" e 5.52; até o vértice P435, de coordenadas N 9212610.39 m e E 297791.27 m; deste, segue confrontando com , com os seguintes azimute plano e distância:156°55'46.52" e 13.77; até o vértice P436, de coordenadas N 9212597.72 m e E 297796.66 m; deste, segue confrontando com , com os seguintes azimute plano e distância:160°42'35.83" e 19.88; até o vértice P437, de coordenadas N 9212578.96 m e E 297803.23 m; deste, segue confrontando com , com os seguintes azimute plano e distância:154°19'23.46" e 27.06; até o vértice P438, de coordenadas N 9212554.57 m e E 297814.95 m; deste, segue confrontando com , com os seguintes azimute plano e distância:160°09'33.49" e 24.18; até o vértice P439, de coordenadas N 9212531.82 m e E 297823.16 m; deste, segue confrontando com , com os seguintes azimute plano e distância:160°47'14.38" e 16.39; até o vértice P440, de coordenadas N 9212516.34 m e E 297828.56 m; deste, segue confrontando com , com os seguintes azimute plano e distância:160°42'35.83" e 64.60; até o vértice P441, de coordenadas N 9212455.37 m e E 297849.90 m; deste, segue confrontando com , com os seguintes azimute plano e distância:161°02'44.77" e 24.55; até o vértice P442, de coordenadas N 9212432.15 m e E 297857.87 m; deste, segue confrontando com , com os seguintes azimute plano e distância:159°21'10.83" e 17.29; até o vértice P443, de coordenadas N 9212415.97 m e E 297863.97 m; deste, segue confrontando com , com os seguintes azimute plano e distância:145°29'29.32" e 9.11; até o vértice P444, de coordenadas N 9212408.46 m e E 297869.13 m; deste, segue confrontando com , com os seguintes azimute plano e distância:152°52'43.31" e 10.80; até o vértice P445, de coordenadas N 9212398.85 m e E 297874.05 m; deste, segue confrontando com , com os seguintes azimute plano e distância:142°01'42.23" e 12.20; até o vértice P446, de coordenadas N 9212389.23 m e E 297881.56 m; deste, segue confrontando com , com os seguintes azimute plano e distância:148°31'23.38" e 13.47; até o vértice P447, de coordenadas N 9212377.74 m e E 297888.59 m; deste, segue confrontando com , com os seguintes azimute plano e distância:149°40'35.02" e 14.40; até o vértice P448, de coordenadas N 9212365.31 m e E 297895.86 m; deste, segue confrontando com , com os seguintes azimute plano e distância:155°48'24.45" e 17.74; até o vértice P449, de coordenadas N 9212349.13 m e E 297903.13 m; deste, segue confrontando com , com os seguintes azimute plano e distância:161°33'54.18" e 18.54; até o vértice P450, de coordenadas N 9212331.54 m e E 297909.00 m; deste, segue confrontando com , com os seguintes azimute plano e distância:157°57'49.58" e 10.63; até o vértice P451, de coordenadas N 9212321.69 m e E 297912.98 m; deste, segue confrontando com , com os seguintes azimute plano e distância:172°10'15.32" e 18.94; até o vértice P452, de coordenadas N 9212302.93 m e E 297915.56 m; deste, segue confrontando com , com os seguintes azimute plano e distância:180°00'0.00" e 11.49; até o vértice P453, de coordenadas N 9212291.44 m e E 297915.56 m; deste, segue confrontando com , com os seguintes azimute plano e distância:167°14'32.88" e 25.49; até o vértice P454, de coordenadas N 9212266.58 m e E 297921.19 m; deste, segue confrontando com , com os seguintes azimute plano e distância:167°20'50.80" e 11.78; até o vértice P455, de coordenadas N 9212255.09 m e E 297923.77 m; deste, segue confrontando com , com os seguintes azimute plano e distância:177°18'58.41" e 15.03; até o vértice P456, de coordenadas N 9212240.08 m e E 297924.48 m; deste, segue confrontando com , com os seguintes azimute plano e distância:176°16'6.97" e 10.81; até o vértice P457, de coordenadas N 9212229.29 m e E 297925.18 m; deste, segue confrontando com , com os seguintes azimute plano e distância:186°57'10.65" e 9.69; até o vértice P458, de coordenadas N 9212219.67 m e E 297924.01 m; deste, segue confrontando com , com os seguintes azimute plano e distância:187°41'45.79" e 26.27; até o vértice P459, de coordenadas N 9212193.64 m e E 297920.49 m; deste, segue confrontando com , com os seguintes azimute plano e distância:195°15'18.43" e 16.04; até o vértice P460, de coordenadas N 9212178.16 m e E 297916.27 m; deste, segue confrontando com , com os seguintes azimute plano e distância:198°47'59.59" e 23.29; até o vértice P461, de coordenadas N 9212156.12 m e E 297908.76 m; deste, segue confrontando com , com os seguintes azimute plano e distância:202°26'33.91" e 23.34; até o vértice P462, de coordenadas N 9212134.54 m e E 297899.85 m; deste, segue confrontando com , com os seguintes azimute plano e distância:204°37'24.83" e 6.19; até o vértice P463, de coordenadas N 9212128.91 m e E 297897.27 m; deste, segue confrontando com , com os seguintes azimute plano e distância:207°20'59.55" e 7.66; até o vértice P464, de coordenadas N 9212122.11 m e E 297893.75 m; deste, segue confrontando com , com os seguintes azimute plano e distância:195°56'43.43" e 8.54; até o vértice P465, de coordenadas N 9212113.90 m e E 297891.41 m; deste, segue confrontando com , com os seguintes azimute plano e distância:204°37'24.83" e 6.19; até o vértice P466, de coordenadas N 9212108.27 m e E 297888.83 m; deste, segue confrontando

Assinado por: João Pessoa, 06 de junho de 2024. Para verificar a validade das assinaturas, acesse <https://joaopessoa.1doc.com.br/verificacao/E130-3F2A-7A96-549F> e informe o código E130-3F2A-7A96-549F

com , com os seguintes azimute plano e distância:173°39'35.31" e 4.25; até o vértice P467, de coordenadas N 9212104.05 m e E 297889.30 m; deste, segue confrontando com , com os seguintes azimute plano e distância:186°20'24.69" e 5.02; até o vértice P468, de coordenadas N 9212099.06 m e E 297888.74 m; deste, segue confrontando com , com os seguintes azimute plano e distância:186°20'24.97" e 3.47; até o vértice P469, de coordenadas N 9212095.61 m e E 297888.36 m; deste, segue confrontando com , com os seguintes azimute plano e distância:202°37'11.38" e 6.10; até o vértice P470, de coordenadas N 9212089.98 m e E 297886.01 m; deste, segue confrontando com , com os seguintes azimute plano e distância:284°59'59.94" e 15.00; até o vértice P471, de coordenadas N 9212093.86 m e E 297871.53 m; deste, segue confrontando com , com os seguintes azimute plano e distância:16°52'29.97" e 0.98; até o vértice P472, de coordenadas N 9212094.80 m e E 297871.81 m; deste, segue confrontando com , com os seguintes azimute plano e distância:20°37'30.00" e 0.98; até o vértice P473, de coordenadas N 9212095.72 m e E 297872.16 m; deste, segue confrontando com , com os seguintes azimute plano e distância:22°33'35.76" e 0.03; até o vértice P474, de coordenadas N 9212095.75 m e E 297872.17 m; deste, segue confrontando com , com os seguintes azimute plano e distância:22°37'11.51" e 3.95; até o vértice P475, de coordenadas N 9212099.40 m e E 297873.69 m; deste, segue confrontando com , com os seguintes azimute plano e distância:6°20'24.69" e 1.13; até o vértice P476, de coordenadas N 9212100.52 m e E 297873.81 m; deste, segue confrontando com , com os seguintes azimute plano e distância:6°20'24.69" e 3.55; até o vértice P477, de coordenadas N 9212104.05 m e E 297874.21 m; deste, segue confrontando com , com os seguintes azimute plano e distância:353°39'35.31" e 2.58; até o vértice P478, de coordenadas N 9212106.62 m e E 297873.92 m; deste, segue confrontando com , com os seguintes azimute plano e distância:354°57'17.65" e 0.68; até o vértice P479, de coordenadas N 9212107.29 m e E 297873.86 m; deste, segue confrontando com , com os seguintes azimute plano e distância:358°07'30.00" e 0.98; até o vértice P480, de coordenadas N 9212108.27 m e E 297873.83 m; deste, segue confrontando com , com os seguintes azimute plano e distância:1°52'30.00" e 0.98; até o vértice P481, de coordenadas N 9212109.26 m e E 297873.86 m; deste, segue confrontando com , com os seguintes azimute plano e distância:5°37'30.00" e 0.98; até o vértice P482, de coordenadas N 9212110.23 m e E 297873.96 m; deste, segue confrontando com , com os seguintes azimute plano e distância:9°22'30.00" e 0.98; até o vértice P483, de coordenadas N 9212111.20 m e E 297874.12 m; deste, segue confrontando com , com os seguintes azimute plano e distância:13°07'30.00" e 0.98; até o vértice P484, de coordenadas N 9212112.16 m e E 297874.34 m; deste, segue confrontando com , com os seguintes azimute plano e distância:16°52'30.00" e 0.98; até o vértice P485, de coordenadas N 9212113.10 m e E 297874.63 m; deste, segue confrontando com , com os seguintes azimute plano e distância:20°37'30.00" e 0.98; até o vértice P486, de coordenadas N 9212114.01 m e E 297874.97 m; deste, segue confrontando com , com os seguintes azimute plano e distância:23°33'42.42" e 0.56; até o vértice P487, de coordenadas N 9212114.52 m e E 297875.19 m; deste, segue confrontando com , com os seguintes azimute plano e distância:24°37'24.83" e 5.05; até o vértice P488, de coordenadas N 9212119.12 m e E 297877.30 m; deste, segue confrontando com , com os seguintes azimute plano e distância:15°56'43.43" e 7.40; até o vértice P489, de coordenadas N 9212126.23 m e E 297879.33 m; deste, segue confrontando com , com os seguintes azimute plano e distância:17°20'51.71" e 0.73; até o vértice P490, de coordenadas N 9212126.93 m e E 297879.55 m; deste, segue confrontando com , com os seguintes azimute plano e distância:20°37'30.00" e 0.98; até o vértice P491, de coordenadas N 9212127.85 m e E 297879.90 m; deste, segue confrontando com , com os seguintes azimute plano e distância:24°22'30.00" e 0.98; até o vértice P492, de coordenadas N 9212128.75 m e E 297880.30 m; deste, segue confrontando com , com os seguintes azimute plano e distância:26°47'59.77" e 0.29; até o vértice P493, de coordenadas N 9212129.00 m e E 297880.43 m; deste, segue confrontando com , com os seguintes azimute plano e distância:27°20'59.55" e 7.30; até o vértice P494, de coordenadas N 9212135.49 m e E 297883.78 m; deste, segue confrontando com , com os seguintes azimute plano e distância:24°37'24.83" e 5.55; até o vértice P495, de coordenadas N 9212140.53 m e E 297886.10 m; deste, segue confrontando com , com os seguintes azimute plano e distância:22°26'33.91" e 22.58; até o vértice P496, de coordenadas N 9212161.40 m e E 297894.72 m; deste, segue confrontando com , com os seguintes azimute plano e distância:18°47'59.59" e 22.35; até o vértice P497, de coordenadas N 9212182.56 m e E 297901.92 m; deste, segue confrontando com , com os seguintes azimute plano e distância:15°15'18.43" e 14.59; até o vértice P498, de coordenadas N 9212196.63 m e E 297905.76 m; deste, segue confrontando com , com os seguintes azimute plano e distância:7°41'45.79" e 25.18; até o vértice P499, de coordenadas N 9212221.59 m e E 297909.13 m; deste, segue confrontando com , com os seguintes azimute plano e distância:6°57'10.65" e 8.19; até o vértice P500, de coordenadas N 9212229.71 m e E 297910.12 m; deste, segue confrontando com , com os seguintes azimute plano e distância:356°16'6.97" e 9.41; até o vértice P501, de coordenadas N 9212239.10 m e E 297909.51 m; deste, segue confrontando com , com os seguintes azimute plano e distância:356°47'32.69" e 0.27; até o vértice P502, de coordenadas N 9212239.37 m e E 297909.49 m; deste, segue confrontando com , com os seguintes azimute plano e distância:357°18'58.41" e 13.72; até o vértice P503, de coordenadas N 9212253.08 m e E 297908.85 m; deste, segue confrontando com , com os seguintes azimute plano e distância:347°20'50.80" e 10.46; até o vértice P504, de coordenadas N 9212263.28 m e E 297906.56 m; deste, segue confrontando com , com os seguintes azimute plano e distância:347°14'32.88" e 25.47; até o vértice P505, de coordenadas N 9212288.12 m e E 297900.93 m; deste, segue confrontando com , com os seguintes azimute plano e distância:347°59'46.44" e 0.39; até o vértice P506, de coordenadas N 9212288.51 m e E 297900.85 m; deste, segue confrontando com , com os seguintes azimute plano e distância:350°37'30.00" e 0.98; até o vértice P507, de coordenadas N 9212289.48 m e E 297900.69 m; deste, segue confrontando com , com os seguintes azimute plano e distância:354°22'30.00" e 0.98; até o vértice P508, de coordenadas N 9212290.46 m e E 297900.60 m; deste, segue confrontando com , com os seguintes azimute plano e distância:358°07'30.00" e 0.98; até o vértice P509, de coordenadas N 9212291.44 m e E 297900.56 m; deste, segue confrontando com , com os seguintes azimute plano e distância:0°00'0.00" e 10.47; até o vértice P510, de coordenadas N 9212301.90 m e E 297900.56 m; deste, segue confrontando com , com os seguintes azimute plano e distância:352°10'15.32" e 16.04; até o vértice P511, de coordenadas N 9212317.79 m e E 297898.38 m; deste, segue confrontando com , com os seguintes azimute plano e distância:337°57'49.58" e 8.76; até o vértice P512, de coordenadas N 9212325.91 m e E 297895.09 m; deste, segue confrontando com , com os seguintes azimute plano e distância:339°36'24.79" e 0.86; até o vértice P513, de coordenadas N 9212326.72 m e E 297894.79 m; deste, segue confrontando com , com os seguintes azimute plano

Assinado por: **JOÃO PESSOA**
Para verificar a validade das assinaturas, acesse <https://joaopessoa.1doc.com.br/verificacao/E130-3F2A-7A96-549F> e informe o código E130-3F2A-7A96-549F



distância:341°24'27.09" e 0.08; até o vértice P514, de coordenadas N 9212326.80 m e E 297894.77 m; deste, segue confrontando com , com os seguintes azimuth plano e distância:341°33'54.18" e 17.79; até o vértice P515, de coordenadas N 9212343.67 m e E 297889.14 m; deste, segue confrontando com , com os seguintes azimuth plano e distância:335°48'24.45" e 16.18; até o vértice P516, de coordenadas N 9212358.43 m e E 297882.51 m; deste, segue confrontando com , com os seguintes azimuth plano e distância:329°40'35.02" e 13.45; até o vértice P517, de coordenadas N 9212370.04 m e E 297875.72 m; deste, segue confrontando com , com os seguintes azimuth plano e distância:328°31'23.38" e 12.47; até o vértice P518, de coordenadas N 9212380.67 m e E 297869.21 m; deste, segue confrontando com , com os seguintes azimuth plano e distância:322°01'42.23" e 11.35; até o vértice P519, de coordenadas N 9212389.62 m e E 297862.23 m; deste, segue confrontando com , com os seguintes azimuth plano e distância:322°15'51.12" e 0.12; até o vértice P520, de coordenadas N 9212389.72 m e E 297862.15 m; deste, segue confrontando com , com os seguintes azimuth plano e distância:324°22'30.00" e 0.98; até o vértice P521, de coordenadas N 9212390.51 m e E 297861.58 m; deste, segue confrontando com , com os seguintes azimuth plano e distância:328°07'30.00" e 0.98; até o vértice P522, de coordenadas N 9212391.35 m e E 297861.06 m; deste, segue confrontando com , com os seguintes azimuth plano e distância:331°26'21.65" e 0.75; até o vértice P523, de coordenadas N 9212392.01 m e E 297860.70 m; deste, segue confrontando com , com os seguintes azimuth plano e distância:332°52'43.31" e 9.83; até o vértice P524, de coordenadas N 9212400.76 m e E 297856.22 m; deste, segue confrontando com , com os seguintes azimuth plano e distância:325°29'29.32" e 8.14; até o vértice P525, de coordenadas N 9212407.47 m e E 297851.61 m; deste, segue confrontando com , com os seguintes azimuth plano e distância:325°52'14.66" e 0.20; até o vértice P526, de coordenadas N 9212407.63 m e E 297851.50 m; deste, segue confrontando com , com os seguintes azimuth plano e distância:328°07'30.00" e 0.98; até o vértice P527, de coordenadas N 9212408.47 m e E 297850.98 m; deste, segue confrontando com , com os seguintes azimuth plano e distância:331°52'30.00" e 0.98; até o vértice P528, de coordenadas N 9212409.33 m e E 297850.52 m; deste, segue confrontando com , com os seguintes azimuth plano e distância:335°37'30.00" e 0.98; até o vértice P529, de coordenadas N 9212410.23 m e E 297850.11 m; deste, segue confrontando com , com os seguintes azimuth plano e distância:338°25'35.42" e 0.49; até o vértice P530, de coordenadas N 9212410.68 m e E 297849.93 m; deste, segue confrontando com , com os seguintes azimuth plano e distância:339°21'10.83" e 17.29; até o vértice P531, de coordenadas N 9212426.86 m e E 297843.84 m; deste, segue confrontando com , com os seguintes azimuth plano e distância:340°11'57.80" e 0.44; até o vértice P532, de coordenadas N 9212427.28 m e E 297843.69 m; deste, segue confrontando com , com os seguintes azimuth plano e distância:341°02'44.77" e 24.50; até o vértice P533, de coordenadas N 9212450.45 m e E 297835.73 m; deste, segue confrontando com , com os seguintes azimuth plano e distância:340°42'35.83" e 64.56; até o vértice P534, de coordenadas N 9212511.39 m e E 297814.40 m; deste, segue confrontando com , com os seguintes azimuth plano e distância:340°44'55.12" e 0.02; até o vértice P535, de coordenadas N 9212511.41 m e E 297814.39 m; deste, segue confrontando com , com os seguintes azimuth plano e distância:340°47'14.38" e 16.31; até o vértice P536, de coordenadas N 9212526.81 m e E 297809.03 m; deste, segue confrontando com , com os seguintes azimuth plano e distância:340°09'33.49" e 23.34; até o vértice P537, de coordenadas N 9212548.76 m e E 297801.10 m; deste, segue confrontando com , com os seguintes azimuth plano e distância:334°19'23.46" e 26.30; até o vértice P538, de coordenadas N 9212572.46 m e E 297789.71 m; deste, segue confrontando com , com os seguintes azimuth plano e distância:335°54'41.73" e 0.83; até o vértice P539, de coordenadas N 9212573.22 m e E 297789.37 m; deste, segue confrontando com , com os seguintes azimuth plano e distância:339°06'17.92" e 0.84; até o vértice P540, de coordenadas N 9212574.01 m e E 297789.07 m; deste, segue confrontando com , com os seguintes azimuth plano e distância:340°42'35.83" e 19.38; até o vértice P541, de coordenadas N 9212592.30 m e E 297782.67 m; deste, segue confrontando com , com os seguintes azimuth plano e distância:336°55'46.52" e 13.27; até o vértice P542, de coordenadas N 9212604.51 m e E 297777.47 m; deste, segue confrontando com , com os seguintes azimuth plano e distância:337°12'53.26" e 0.15; até o vértice P543, de coordenadas N 9212604.65 m e E 297777.41 m; deste, segue confrontando com , com os seguintes azimuth plano e distância:339°22'30.00" e 0.98; até o vértice P544, de coordenadas N 9212605.57 m e E 297777.06 m; deste, segue confrontando com , com os seguintes azimuth plano e distância:343°07'30.00" e 0.98; até o vértice P545, de coordenadas N 9212606.50 m e E 297776.78 m; deste, segue confrontando com , com os seguintes azimuth plano e distância:346°22'3.41" e 0.72; até o vértice P546, de coordenadas N 9212607.20 m e E 297776.61 m; deste, segue confrontando com , com os seguintes azimuth plano e distância:347°44'6.81" e 5.52; até o vértice P547, de coordenadas N 9212612.59 m e E 297775.44 m; deste, segue confrontando com , com os seguintes azimuth plano e distância:348°14'33.41" e 0.27; até o vértice P548, de coordenadas N 9212612.85 m e E 297775.38 m; deste, segue confrontando com , com os seguintes azimuth plano e distância:350°37'30.00" e 0.98; até o vértice P549, de coordenadas N 9212613.82 m e E 297775.22 m; deste, segue confrontando com , com os seguintes azimuth plano e distância:354°22'30.00" e 0.98; até o vértice P550, de coordenadas N 9212614.80 m e E 297775.13 m; deste, segue confrontando com , com os seguintes azimuth plano e distância:358°07'30.00" e 0.98; até o vértice P551, de coordenadas N 9212615.78 m e E 297775.10 m; deste, segue confrontando com , com os seguintes azimuth plano e distância:1°52'30.00" e 0.98; até o vértice P552, de coordenadas N 9212616.76 m e E 297775.13 m; deste, segue confrontando com , com os seguintes azimuth plano e distância:5°37'30.00" e 0.98; até o vértice P553, de coordenadas N 9212617.74 m e E 297775.22 m; deste, segue confrontando com , com os seguintes azimuth plano e distância:8°39'34.74" e 0.61; até o vértice P554, de coordenadas N 9212618.34 m e E 297775.31 m; deste, segue confrontando com , com os seguintes azimuth plano e distância:9°49'9.48" e 10.95; até o vértice P555, de coordenadas N 9212629.12 m e E 297777.18 m; deste, segue confrontando com , com os seguintes azimuth plano e distância:358°55'8.67" e 19.36; até o vértice P556, de coordenadas N 9212648.49 m e E 297776.82 m; deste, segue confrontando com , com os seguintes azimuth plano e distância:328°34'13.56" e 9.15; até o vértice P557, de coordenadas N 9212656.29 m e E 297772.04 m; deste, segue confrontando com , com os seguintes azimuth plano e distância:316°13'7.95" e 6.17; até o vértice P558, de coordenadas N 9212660.75 m e E 297767.77 m; deste, segue confrontando com , com os seguintes azimuth plano e distância:317°29'3.98" e 0.66; até o vértice P559, de coordenadas N 9212661.24 m e E 297767.33 m; deste, segue confrontando com , com os seguintes azimuth plano e distância:320°37'30.00" e 0.98; até o vértice P560, de coordenadas N 9212662.00 m e E 297766.70 m; deste, segue confrontando com , com os seguintes azimuth plano e distância:324°22'30.00" e 0.98; até o vértice

Assinado por João Pessoa, 06 de junho de 2024. Para verificar a validade das assinaturas, acesse <https://joaopessoa.1doc.com.br/verificacao/E130-3F2A-7A96-549F> e informe o código E130-3F2A-7A96-549F



P561, de coordenadas N 9212662.79 m e E 297766.13 m; deste, segue confrontando com , com os seguintes azimuth plano e distância:326°16'47.89" e 0.02; até o vértice P562, de coordenadas N 9212662.81 m e E 297766.12 m; deste, segue confrontando com , com os seguintes azimuth plano e distância:326°18'35.76" e 7.61; até o vértice P563, de coordenadas N 9212669.14 m e E 297761.90 m; deste, segue confrontando com , com os seguintes azimuth plano e distância:328°09'17.88" e 0.97; até o vértice P564, de coordenadas N 9212669.96 m e E 297761.39 m; deste, segue confrontando com , com os seguintes azimuth plano e distância:331°52'30.00" e 0.98; até o vértice P565, de coordenadas N 9212670.83 m e E 297760.93 m; deste, segue confrontando com , com os seguintes azimuth plano e distância:333°49'38.24" e 0.04; até o vértice P566, de coordenadas N 9212670.86 m e E 297760.91 m; deste, segue confrontando com , com os seguintes azimuth plano e distância:333°54'16.47" e 10.55; até o vértice P567, de coordenadas N 9212680.33 m e E 297756.27 m; deste, segue confrontando com , com os seguintes azimuth plano e distância:316°50'51.40" e 2.89; até o vértice P568, de coordenadas N 9212682.45 m e E 297754.29 m; deste, segue confrontando com , com os seguintes azimuth plano e distância:317°47'55.70" e 0.50; até o vértice P569, de coordenadas N 9212682.81 m e E 297753.96 m; deste, segue confrontando com , com os seguintes azimuth plano e distância:320°37'30.00" e 0.98; até o vértice P570, de coordenadas N 9212683.57 m e E 297753.34 m; deste, segue confrontando com , com os seguintes azimuth plano e distância:324°22'30.00" e 0.98; até o vértice P571, de coordenadas N 9212684.37 m e E 297752.76 m; deste, segue confrontando com , com os seguintes azimuth plano e distância:327°19'16.50" e 0.56; até o vértice P572, de coordenadas N 9212684.84 m e E 297752.46 m; deste, segue confrontando com , com os seguintes azimuth plano e distância:328°23'32.99" e 7.16; até o vértice P573, de coordenadas N 9212690.94 m e E 297748.71 m; deste, segue confrontando com , com os seguintes azimuth plano e distância:329°11'46.50" e 0.42; até o vértice P574, de coordenadas N 9212691.30 m e E 297748.49 m; deste, segue confrontando com , com os seguintes azimuth plano e distância:331°25'30.57" e 0.75; até o vértice P575, de coordenadas N 9212691.96 m e E 297748.14 m; deste, segue confrontando com , com os seguintes azimuth plano e distância:332°51'1.15" e 10.28; até o vértice P576, de coordenadas N 9212701.10 m e E 297743.45 m; deste, segue confrontando com , com os seguintes azimuth plano e distância:333°18'0.57" e 0.24; até o vértice P577, de coordenadas N 9212701.31 m e E 297743.34 m; deste, segue confrontando com , com os seguintes azimuth plano e distância:335°37'30.00" e 0.98; até o vértice P578, de coordenadas N 9212702.21 m e E 297742.93 m; deste, segue confrontando com , com os seguintes azimuth plano e distância:339°22'30.00" e 0.98; até o vértice P579, de coordenadas N 9212703.13 m e E 297742.59 m; deste, segue confrontando com , com os seguintes azimuth plano e distância:343°07'30.00" e 0.98; até o vértice P580, de coordenadas N 9212704.07 m e E 297742.30 m; deste, segue confrontando com , com os seguintes azimuth plano e distância:346°52'30.00" e 0.98; até o vértice P581, de coordenadas N 9212705.02 m e E 297742.08 m; deste, segue confrontando com , com os seguintes azimuth plano e distância:350°00'6.91" e 0.66; até o vértice P582, de coordenadas N 9212705.67 m e E 297741.97 m; deste, segue confrontando com , com os seguintes azimuth plano e distância:351°15'13.82" e 7.34; até o vértice P583, de coordenadas N 9212712.92 m e E 297740.85 m; deste, segue confrontando com , com os seguintes azimuth plano e distância:336°41'42.39" e 28.22; até o vértice P584, de coordenadas N 9212738.84 m e E 297729.69 m; deste, segue confrontando com , com os seguintes azimuth plano e distância:313°40'4.01" e 4.08; até o vértice P585, de coordenadas N 9212741.66 m e E 297726.74 m; deste, segue confrontando com , com os seguintes azimuth plano e distância:314°20'2.00" e 0.35; até o vértice P586, de coordenadas N 9212741.90 m e E 297726.49 m; deste, segue confrontando com , com os seguintes azimuth plano e distância:316°52'30.00" e 0.98; até o vértice P587, de coordenadas N 9212742.62 m e E 297725.82 m; deste, segue confrontando com , com os seguintes azimuth plano e distância:320°37'30.00" e 0.98; até o vértice P588, de coordenadas N 9212743.38 m e E 297725.19 m; deste, segue confrontando com , com os seguintes azimuth plano e distância:324°22'30.00" e 0.98; até o vértice P589, de coordenadas N 9212744.17 m e E 297724.62 m; deste, segue confrontando com , com os seguintes azimuth plano e distância:326°16'47.89" e 0.02; até o vértice P590, de coordenadas N 9212744.19 m e E 297724.61 m; deste, segue confrontando com , com os seguintes azimuth plano e distância:326°18'35.76" e 4.23; até o vértice P591, de coordenadas N 9212747.70 m e E 297722.27 m; deste, segue confrontando com , com os seguintes azimuth plano e distância:328°09'17.88" e 0.97; até o vértice P592, de coordenadas N 9212748.53 m e E 297721.76 m; deste, segue confrontando com , com os seguintes azimuth plano e distância:330°21'44.54" e 0.19; até o vértice P593, de coordenadas N 9212748.69 m e E 297721.66 m; deste, segue confrontando com , com os seguintes azimuth plano e distância:330°43'29.08" e 17.37; até o vértice P594, de coordenadas N 9212763.84 m e E 297713.17 m; deste, segue confrontando com , com os seguintes azimuth plano e distância:327°52'30.01" e 11.53; até o vértice P595, de coordenadas N 9212773.61 m e E 297707.04 m; deste, segue confrontando com , com os seguintes azimuth plano e distância:328°56'15.00" e 0.56; até o vértice P596, de coordenadas N 9212774.09 m e E 297706.75 m; deste, segue confrontando com , com os seguintes azimuth plano e distância:331°16'28.20" e 0.67; até o vértice P597, de coordenadas N 9212774.67 m e E 297706.43 m; deste, segue confrontando com , com os seguintes azimuth plano e distância:332°32'56.41" e 20.35; até o vértice P598, de coordenadas N 9212792.73 m e E 297697.05 m; deste, segue confrontando com , com os seguintes azimuth plano e distância:333°08'58.20" e 0.31; até o vértice P599, de coordenadas N 9212793.01 m e E 297696.90 m; deste, segue confrontando com , com os seguintes azimuth plano e distância:335°37'30.00" e 0.98; até o vértice P600, de coordenadas N 9212793.91 m e E 297696.50 m; deste, segue confrontando com , com os seguintes azimuth plano e distância:339°22'30.00" e 0.98; até o vértice P601, de coordenadas N 9212794.82 m e E 297696.15 m; deste, segue confrontando com , com os seguintes azimuth plano e distância:343°04'12.76" e 0.95; até o vértice P602, de coordenadas N 9212795.74 m e E 297695.88 m; deste, segue confrontando com , com os seguintes azimuth plano e distância:344°53'25.53" e 24.05; até o vértice P603, de coordenadas N 9212818.96 m e E 297689.61 m; deste, segue confrontando com , com os seguintes azimuth plano e distância:343°04'20.95" e 9.99; até o vértice P604, de coordenadas N 9212828.51 m e E 297686.70 m; deste, segue confrontando com , com os seguintes azimuth plano e distância:335°03'21.94" e 10.07; até o vértice P605, de coordenadas N 9212837.65 m e E 297682.45 m; deste, segue confrontando com , com os seguintes azimuth plano e distância:336°16'40.97" e 0.64; até o vértice P606, de coordenadas N 9212838.23 m e E 297682.19 m; deste, segue confrontando com , com os seguintes azimuth plano e distância:339°09'37.79" e 0.87; até o vértice P607, de coordenadas N 9212839.04 m e E 297681.88 m; deste, segue confrontando com , com os seguintes azimuth plano e distância:340°49'15.57" e 5.71; até o vértice P608, de coordenadas N 9212844.44 m e

Assinado por:  Para verificar a validade das assinaturas, acesse <https://joaopessoa.1doc.com.br/verificacao/E130-3F2A-7A96-549F> e informe o código E130-3F2A-7A96-549F

297680.01 m; deste, segue confrontando com , com os seguintes azimute plano e distância:341°02'7.79" e 0.11; até o vértice P609, de coordenadas N 9212844.54 m e E 297679.97 m; deste, segue confrontando com , com os seguintes azimute plano e distância:342°16'31.36" e 0.54; até o vértice P610, de coordenadas N 9212845.05 m e E 297679.81 m; deste, segue confrontando com , com os seguintes azimute plano e distância:343°18'2.72" e 4.34; até o vértice P611, de coordenadas N 9212849.21 m e E 297678.56 m; deste, segue confrontando com , com os seguintes azimute plano e distância:339°01'35.42" e 13.95; até o vértice P612, de coordenadas N 9212862.23 m e E 297673.57 m; deste, segue confrontando com , com os seguintes azimute plano e distância:334°43'20.20" e 8.60; até o vértice P613, de coordenadas N 9212870.01 m e E 297669.90 m; deste, segue confrontando com , com os seguintes azimute plano e distância:333°26'5.82" e 7.17; até o vértice P614, de coordenadas N 9212876.43 m e E 297666.69 m; deste, segue confrontando com , com os seguintes azimute plano e distância:333°35'32.91" e 0.08; até o vértice P615, de coordenadas N 9212876.50 m e E 297666.65 m; deste, segue confrontando com , com os seguintes azimute plano e distância:335°37'30.00" e 0.98; até o vértice P616, de coordenadas N 9212877.40 m e E 297666.25 m; deste, segue confrontando com , com os seguintes azimute plano e distância:339°22'30.00" e 0.98; até o vértice P617, de coordenadas N 9212878.31 m e E 297665.90 m; deste, segue confrontando com , com os seguintes azimute plano e distância:343°07'30.00" e 0.98; até o vértice P618, de coordenadas N 9212879.25 m e E 297665.62 m; deste, segue confrontando com , com os seguintes azimute plano e distância:346°52'30.00" e 0.98; até o vértice P619, de coordenadas N 9212880.21 m e E 297665.39 m; deste, segue confrontando com , com os seguintes azimute plano e distância:350°37'30.00" e 0.98; até o vértice P620, de coordenadas N 9212881.18 m e E 297665.23 m; deste, segue confrontando com , com os seguintes azimute plano e distância:354°22'30.00" e 0.98; até o vértice P621, de coordenadas N 9212882.16 m e E 297665.14 m; deste, segue confrontando com , com os seguintes azimute plano e distância:358°07'30.00" e 0.98; até o vértice P622, de coordenadas N 9212883.14 m e E 297665.10 m; deste, segue confrontando com , com os seguintes azimute plano e distância:0°00'0.00" e 3.09; até o vértice P623, de coordenadas N 9212886.23 m e E 297665.10 m; deste, segue confrontando com , com os seguintes azimute plano e distância:340°49'15.57" e 1.45; até o vértice P624, de coordenadas N 9212887.60 m e E 297664.63 m; deste, segue confrontando com , com os seguintes azimute plano e distância:327°43'27.68" e 3.55; até o vértice P625, de coordenadas N 9212890.60 m e E 297662.73 m; deste, segue confrontando com , com os seguintes azimute plano e distância:328°51'43.84" e 0.60; até o vértice P626, de coordenadas N 9212891.11 m e E 297662.42 m; deste, segue confrontando com , com os seguintes azimute plano e distância:331°52'30.00" e 0.98; até o vértice P627, de coordenadas N 9212891.98 m e E 297661.96 m; deste, segue confrontando com , com os seguintes azimute plano e distância:335°37'30.00" e 0.98; até o vértice P628, de coordenadas N 9212892.87 m e E 297661.56 m; deste, segue confrontando com , com os seguintes azimute plano e distância:339°10'59.44" e 0.88; até o vértice P629, de coordenadas N 9212893.70 m e E 297661.24 m; deste, segue confrontando com , com os seguintes azimute plano e distância:340°51'58.88" e 22.57; até o vértice P630, de coordenadas N 9212915.02 m e E 297653.84 m; deste, segue confrontando com , com os seguintes azimute plano e distância:327°31'43.71" e 1.25; até o vértice P631, de coordenadas N 9212916.08 m e E 297653.17 m; deste, segue confrontando com , com os seguintes azimute plano e distância:327°05'41.13" e 4.69; até o vértice P632, de coordenadas N 9212920.02 m e E 297650.63 m; deste, segue confrontando com , com os seguintes azimute plano e distância:328°32'50.56" e 0.76; até o vértice P633, de coordenadas N 9212920.66 m e E 297650.23 m; deste, segue confrontando com , com os seguintes azimute plano e distância:331°52'30.00" e 0.98; até o vértice P634, de coordenadas N 9212921.53 m e E 297649.77 m; deste, segue confrontando com , com os seguintes azimute plano e distância:335°37'30.00" e 0.98; até o vértice P635, de coordenadas N 9212922.42 m e E 297649.36 m; deste, segue confrontando com , com os seguintes azimute plano e distância:339°22'30.00" e 0.98; até o vértice P636, de coordenadas N 9212923.34 m e E 297649.01 m; deste, segue confrontando com , com os seguintes azimute plano e distância:343°07'30.00" e 0.98; até o vértice P637, de coordenadas N 9212924.28 m e E 297648.73 m; deste, segue confrontando com , com os seguintes azimute plano e distância:346°52'30.00" e 0.98; até o vértice P638, de coordenadas N 9212925.24 m e E 297648.51 m; deste, segue confrontando com , com os seguintes azimute plano e distância:350°00'6.91" e 0.66; até o vértice P639, de coordenadas N 9212925.88 m e E 297648.39 m; deste, segue confrontando com , com os seguintes azimute plano e distância:351°15'13.82" e 18.51; até o vértice P640, de coordenadas N 9212944.18 m e E 297645.58 m; deste, segue confrontando com , com os seguintes azimute plano e distância:351°52'36.91" e 0.33; até o vértice P641, de coordenadas N 9212944.50 m e E 297645.53 m; deste, segue confrontando com , com os seguintes azimute plano e distância:354°22'30.00" e 0.98; até o vértice P642, de coordenadas N 9212945.48 m e E 297645.44 m; deste, segue confrontando com , com os seguintes azimute plano e distância:358°07'30.00" e 0.98; até o vértice P643, de coordenadas N 9212946.46 m e E 297645.40 m; deste, segue confrontando com , com os seguintes azimute plano e distância:0°00'0.00" e 2.03; até o vértice P644, de coordenadas N 9212948.49 m e E 297645.40 m; deste, segue confrontando com , com os seguintes azimute plano e distância:345°08'28.99" e 9.93; até o vértice P645, de coordenadas N 9212958.09 m e E 297642.86 m; deste, segue confrontando com , com os seguintes azimute plano e distância:346°31'23.93" e 0.72; até o vértice P646, de coordenadas N 9212958.79 m e E 297642.69 m; deste, segue confrontando com , com os seguintes azimute plano e distância:347°54'18.87" e 6.72; até o vértice P647, de coordenadas N 9212965.36 m e E 297641.28 m; deste, segue confrontando com , com os seguintes azimute plano e distância:348°17'51.56" e 0.21; até o vértice P648, de coordenadas N 9212965.56 m e E 297641.24 m; deste, segue confrontando com , com os seguintes azimute plano e distância:348°41'24.24" e 8.37; até o vértice P649, de coordenadas N 9212973.77 m e E 297639.60 m; deste, segue confrontando com , com os seguintes azimute plano e distância:348°43'12.13" e 0.02; até o vértice P650, de coordenadas N 9212973.78 m e E 297639.59 m; deste, segue confrontando com , com os seguintes azimute plano e distância:350°37'30.00" e 0.98; até o vértice P651, de coordenadas N 9212974.75 m e E 297639.44 m; deste, segue confrontando com , com os seguintes azimute plano e distância:352°41'14.97" e 0.10; até o vértice P652, de coordenadas N 9212974.85 m e E 297639.42 m; deste, segue confrontando com , com os seguintes azimute plano e distância:352°52'29.94" e 5.67; até o vértice P653, de coordenadas N 9212980.48 m e E 297638.72 m; deste, segue confrontando com , com os seguintes azimute plano e distância:354°33'44.97" e 0.88; até o vértice P654, de coordenadas N 9212981.36 m e E 297638.64 m; deste, segue confrontando com , com os seguintes azimute plano e distância:358°07'30.00" e 0.98; até o vértice P655, de coordenadas N 9212982.34 m e E 297638.60 m; deste, segue confrontando

Assinado por: **JOÃO PESSOA** **SECRETÁRIO DE LUCENA FILHO**
Para verificar a validade das assinaturas, acesse <https://joaopessoa.1doc.com.br/verificacao/E130-3F2A-7A96-549F> e informe o código E130-3F2A-7A96-549F



com , com os seguintes azimuth plano e distância:1°52'30.00" e 0.98; até o vértice P656, de coordenadas N 9212983.32 m e E 297638.64 m; deste, segue confrontando com , com os seguintes azimuth plano e distância:5°37'30.00" e 0.98; até o vértice P657, de coordenadas N 9212984.30 m e E 297638.73 m; deste, segue confrontando com , com os seguintes azimuth plano e distância:9°22'30.00" e 0.98; até o vértice P658, de coordenadas N 9212985.27 m e E 297638.89 m; deste, segue confrontando com , com os seguintes azimuth plano e distância:13°07'30.00" e 0.98; até o vértice P659, de coordenadas N 9212986.22 m e E 297639.11 m; deste, segue confrontando com , com os seguintes azimuth plano e distância:16°52'30.00" e 0.95; até o vértice P660, de coordenadas N 9212987.13 m e E 297639.39 m; deste, segue confrontando com , com os seguintes azimuth plano e distância:335°37'30.00" e 0.28; até o vértice P661, de coordenadas N 9212987.39 m e E 297639.28 m; deste, segue confrontando com , com os seguintes azimuth plano e distância:338°45'30.41" e 0.66; até o vértice P662, de coordenadas N 9212988.00 m e E 297639.04 m; deste, segue confrontando com , com os seguintes azimuth plano e distância:340°01'0.82" e 2.75; até o vértice P663, de coordenadas N 9212990.58 m e E 297638.10 m; deste, segue confrontando com , com os seguintes azimuth plano e distância:340°38'0.41" e 0.32; até o vértice P664, de coordenadas N 9212990.89 m e E 297637.99 m; deste, segue confrontando com , com os seguintes azimuth plano e distância:343°07'30.00" e 0.98; até o vértice P665, de coordenadas N 9212991.82 m e E 297637.71 m; deste, segue confrontando com , com os seguintes azimuth plano e distância:346°52'30.00" e 0.98; até o vértice P666, de coordenadas N 9212992.78 m e E 297637.48 m; deste, segue confrontando com , com os seguintes azimuth plano e distância:350°37'30.00" e 0.98; até o vértice P667, de coordenadas N 9212993.75 m e E 297637.32 m; deste, segue confrontando com , com os seguintes azimuth plano e distância:354°22'30.00" e 0.98; até o vértice P668, de coordenadas N 9212994.73 m e E 297637.23 m; deste, segue confrontando com , com os seguintes azimuth plano e distância:358°07'30.00" e 0.98; até o vértice P669, de coordenadas N 9212995.71 m e E 297637.20 m; deste, segue confrontando com , com os seguintes azimuth plano e distância:0°00'0.00" e 3.28; até o vértice P670, de coordenadas N 9212998.99 m e E 297637.20 m; deste, segue confrontando com , com os seguintes azimuth plano e distância:1°52'30.00" e 0.98; até o vértice P671, de coordenadas N 9212999.97 m e E 297637.23 m; deste, segue confrontando com , com os seguintes azimuth plano e distância:5°37'30.00" e 0.98; até o vértice P672, de coordenadas N 9213000.95 m e E 297637.32 m; deste, segue confrontando com , com os seguintes azimuth plano e distância:9°22'30.00" e 0.98; até o vértice P673, de coordenadas N 9213001.92 m e E 297637.48 m; deste, segue confrontando com , com os seguintes azimuth plano e distância:13°07'30.00" e 0.98; até o vértice P674, de coordenadas N 9213002.87 m e E 297637.71 m; deste, segue confrontando com , com os seguintes azimuth plano e distância:16°52'30.00" e 0.98; até o vértice P675, de coordenadas N 9213003.81 m e E 297637.99 m; deste, segue confrontando com , com os seguintes azimuth plano e distância:20°37'30.00" e 0.98; até o vértice P676, de coordenadas N 9213004.73 m e E 297638.34 m; deste, segue confrontando com , com os seguintes azimuth plano e distância:24°22'30.00" e 0.98; até o vértice P677, de coordenadas N 9213005.62 m e E 297638.74 m; deste, segue confrontando com , com os seguintes azimuth plano e distância:27°16'31.36" e 0.21; até o vértice P678, de coordenadas N 9213005.81 m e E 297638.84 m; deste, segue confrontando com , com os seguintes azimuth plano e distância:0°00'0.00" e 15.49; até o vértice P679, de coordenadas N 9213021.30 m e E 297638.84 m; deste, segue confrontando com , com os seguintes azimuth plano e distância:356°38'0.74" e 19.53; até o vértice P680, de coordenadas N 9213040.79 m e E 297637.69 m; deste, segue confrontando com , com os seguintes azimuth plano e distância:358°19'0.37" e 0.88; até o vértice P681, de coordenadas N 9213041.67 m e E 297637.67 m; deste, segue confrontando com , com os seguintes azimuth plano e distância:0°00'0.00" e 7.97; até o vértice P682, de coordenadas N 9213049.65 m e E 297637.67 m; deste, segue confrontando com , com os seguintes azimuth plano e distância:1°52'30.00" e 0.98; até o vértice P683, de coordenadas N 9213050.63 m e E 297637.70 m; deste, segue confrontando com , com os seguintes azimuth plano e distância:4°43'49.07" e 0.51; até o vértice P684, de coordenadas N 9213051.14 m e E 297637.74 m; deste, segue confrontando com , com os seguintes azimuth plano e distância:5°42'38.14" e 13.86; até o vértice P685, de coordenadas N 9213064.93 m e E 297639.12 m; deste, segue confrontando com , com os seguintes azimuth plano e distância:3°34'34.80" e 7.24; até o vértice P686, de coordenadas N 9213072.16 m e E 297639.57 m; deste, segue confrontando com , com os seguintes azimuth plano e distância:3°39'47.40" e 0.05; até o vértice P687, de coordenadas N 9213072.20 m e E 297639.57 m; deste, segue confrontando com , com os seguintes azimuth plano e distância:4°57'59.27" e 0.64; até o vértice P688, de coordenadas N 9213072.84 m e E 297639.63 m; deste, segue confrontando com , com os seguintes azimuth plano e distância:6°10'58.55" e 23.76; até o vértice P689, de coordenadas N 9213096.46 m e E 297642.19 m; deste, segue confrontando com , com os seguintes azimuth plano e distância:335°37'30.00" e 0.24; até o vértice P690, de coordenadas N 9213096.67 m e E 297642.09 m; deste, segue confrontando com , com os seguintes azimuth plano e distância:339°22'30.00" e 0.98; até o vértice P691, de coordenadas N 9213097.59 m e E 297641.74 m; deste, segue confrontando com , com os seguintes azimuth plano e distância:343°07'30.00" e 0.98; até o vértice P692, de coordenadas N 9213098.53 m e E 297641.46 m; deste, segue confrontando com , com os seguintes azimuth plano e distância:346°52'30.00" e 0.98; até o vértice P693, de coordenadas N 9213099.49 m e E 297641.24 m; deste, segue confrontando com , com os seguintes azimuth plano e distância:350°37'30.00" e 0.98; até o vértice P694, de coordenadas N 9213100.46 m e E 297641.08 m; deste, segue confrontando com , com os seguintes azimuth plano e distância:354°22'30.00" e 0.98; até o vértice P695, de coordenadas N 9213101.43 m e E 297640.98 m; deste, segue confrontando com , com os seguintes azimuth plano e distância:358°07'30.00" e 0.98; até o vértice P696, de coordenadas N 9213102.41 m e E 297640.95 m; deste, segue confrontando com , com os seguintes azimuth plano e distância:1°52'30.00" e 0.98; até o vértice P697, de coordenadas N 9213103.40 m e E 297640.98 m; deste, segue confrontando com , com os seguintes azimuth plano e distância:5°37'30.00" e 0.98; até o vértice P698, de coordenadas N 9213104.37 m e E 297641.08 m; deste, segue confrontando com , com os seguintes azimuth plano e distância:9°22'30.00" e 0.98; até o vértice P699, de coordenadas N 9213105.34 m e E 297641.24 m; deste, segue confrontando com , com os seguintes azimuth plano e distância:13°07'30.00" e 0.98; até o vértice P700, de coordenadas N 9213106.30 m e E 297641.46 m; deste, segue confrontando com , com os seguintes azimuth plano e distância:16°52'30.00" e 0.98; até o vértice P701, de coordenadas N 9213107.24 m e E 297641.74 m; deste, segue confrontando com , com os seguintes azimuth plano e distância:19°12'6.88" e 0.24; até o vértice P702, de coordenadas N 9213107.46 m e E 297641.82 m; deste, segue confrontando com , com os seguintes azimuth plano

Assinado por: [Assinatura] Para verificar a validade das assinaturas, acesse <https://joaopessoa.1doc.com.br/verificacao/E130-3F2A-7A96-549F> e informe o código E130-3F2A-7A96-549F



distância:19°39'13.77" e 3.49; até o vértice P703, de coordenadas N 9213110.74 m e E 297642.99 m; deste, segue confrontando com , com os seguintes azimuth plano e distância:21°04'36.88" e 0.75; até o vértice P704, de coordenadas N 9213111.44 m e E 297643.26 m; deste, segue confrontando com , com os seguintes azimuth plano e distância:24°22'30.00" e 0.98; até o vértice P705, de coordenadas N 9213112.33 m e E 297643.67 m; deste, segue confrontando com , com os seguintes azimuth plano e distância:28°07'30.00" e 0.40; até o vértice P706, de coordenadas N 9213112.68 m e E 297643.85 m; deste, segue confrontando com , com os seguintes azimuth plano e distância:4°05'8.22" e 2.00; até o vértice P707, de coordenadas N 9213114.68 m e E 297644.00 m; deste, segue confrontando com , com os seguintes azimuth plano e distância:0°00'0.00" e 8.61; até o vértice P708, de coordenadas N 9213123.29 m e E 297644.00 m; deste, segue confrontando com , com os seguintes azimuth plano e distância:0°24'12.47" e 0.21; até o vértice P709, de coordenadas N 9213123.50 m e E 297644.00 m; deste, segue confrontando com , com os seguintes azimuth plano e distância:0°48'24.95" e 16.65; até o vértice P710, de coordenadas N 9213140.15 m e E 297644.23 m; deste, segue confrontando com , com os seguintes azimuth plano e distância:1°03'15.99" e 0.13; até o vértice P711, de coordenadas N 9213140.28 m e E 297644.24 m; deste, segue confrontando com , com os seguintes azimuth plano e distância:1°18'7.03" e 9.99; até o vértice P712, de coordenadas N 9213150.26 m e E 297644.46 m; deste, segue confrontando com , com os seguintes azimuth plano e distância:358°45'16.69" e 8.78; até o vértice P713, de coordenadas N 9213159.04 m e E 297644.27 m; deste, segue confrontando com , com os seguintes azimuth plano e distância:345°57'49.52" e 0.87; até o vértice P714, de coordenadas N 9213159.88 m e E 297644.06 m; deste, segue confrontando com , com os seguintes azimuth plano e distância:328°40'16.71" e 2.54; até o vértice P715, de coordenadas N 9213162.05 m e E 297642.74 m; deste, segue confrontando com , com os seguintes azimuth plano e distância:317°17'26.20" e 6.80; até o vértice P716, de coordenadas N 9213167.05 m e E 297638.13 m; deste, segue confrontando com , com os seguintes azimuth plano e distância:318°01'13.10" e 0.38; até o vértice P717, de coordenadas N 9213167.34 m e E 297637.87 m; deste, segue confrontando com , com os seguintes azimuth plano e distância:318°54'4.06" e 0.08; até o vértice P718, de coordenadas N 9213167.40 m e E 297637.82 m; deste, segue confrontando com , com os seguintes azimuth plano e distância:319°03'8.12" e 13.80; até o vértice P719, de coordenadas N 9213177.82 m e E 297628.77 m; deste, segue confrontando com , com os seguintes azimuth plano e distância:320°46'34.06" e 0.90; até o vértice P720, de coordenadas N 9213178.52 m e E 297628.20 m; deste, segue confrontando com , com os seguintes azimuth plano e distância:324°22'30.00" e 0.98; até o vértice P721, de coordenadas N 9213179.32 m e E 297627.63 m; deste, segue confrontando com , com os seguintes azimuth plano e distância:327°33'19.85" e 0.68; até o vértice P722, de coordenadas N 9213179.89 m e E 297627.27 m; deste, segue confrontando com , com os seguintes azimuth plano e distância:328°51'39.70" e 7.88; até o vértice P723, de coordenadas N 9213186.64 m e E 297623.19 m; deste, segue confrontando com , com os seguintes azimuth plano e distância:324°46'56.67" e 11.96; até o vértice P724, de coordenadas N 9213196.41 m e E 297616.29 m; deste, segue confrontando com , com os seguintes azimuth plano e distância:325°30'58.33" e 0.38; até o vértice P725, de coordenadas N 9213196.73 m e E 297616.07 m; deste, segue confrontando com , com os seguintes azimuth plano e distância:328°07'30.00" e 0.98; até o vértice P726, de coordenadas N 9213197.56 m e E 297615.56 m; deste, segue confrontando com , com os seguintes azimuth plano e distância:330°44'39.76" e 0.39; até o vértice P727, de coordenadas N 9213197.90 m e E 297615.37 m; deste, segue confrontando com , com os seguintes azimuth plano e distância:331°29'19.51" e 27.49; até o vértice P728, de coordenadas N 9213222.05 m e E 297602.25 m; deste, segue confrontando com , com os seguintes azimuth plano e distância:330°04'6.56" e 5.53; até o vértice P729, de coordenadas N 9213226.84 m e E 297599.49 m; deste, segue confrontando com , com os seguintes azimuth plano e distância:331°54'33.28" e 0.96; até o vértice P730, de coordenadas N 9213227.69 m e E 297599.03 m; deste, segue confrontando com , com os seguintes azimuth plano e distância:335°37'30.00" e 0.98; até o vértice P731, de coordenadas N 9213228.59 m e E 297598.63 m; deste, segue confrontando com , com os seguintes azimuth plano e distância:339°22'30.00" e 0.98; até o vértice P732, de coordenadas N 9213229.51 m e E 297598.28 m; deste, segue confrontando com , com os seguintes azimuth plano e distância:343°07'30.00" e 0.98; até o vértice P733, de coordenadas N 9213230.45 m e E 297598.00 m; deste, segue confrontando com , com os seguintes azimuth plano e distância:346°52'30.00" e 0.98; até o vértice P734, de coordenadas N 9213231.40 m e E 297597.77 m; deste, segue confrontando com , com os seguintes azimuth plano e distância:350°37'37.46" e 0.98; até o vértice P735, de coordenadas N 9213232.37 m e E 297597.61 m; deste, segue confrontando com , com os seguintes azimuth plano e distância:352°30'14.91" e 3.72; até o vértice P736, de coordenadas N 9213236.06 m e E 297597.13 m; deste, segue confrontando com , com os seguintes azimuth plano e distância:337°05'39.23" e 9.48; até o vértice P737, de coordenadas N 9213244.79 m e E 297593.44 m; deste, segue confrontando com , com os seguintes azimuth plano e distância:336°36'8.05" e 15.78; até o vértice P738, de coordenadas N 9213259.27 m e E 297587.18 m; deste, segue confrontando com , com os seguintes azimuth plano e distância:327°42'14.49" e 17.34; até o vértice P739, de coordenadas N 9213273.93 m e E 297577.91 m; deste, segue confrontando com , com os seguintes azimuth plano e distância:325°18'17.45" e 12.83; até o vértice P740, de coordenadas N 9213284.48 m e E 297570.61 m; deste, segue confrontando com , com os seguintes azimuth plano e distância:316°55'50.11" e 8.35; até o vértice P741, de coordenadas N 9213290.58 m e E 297564.91 m; deste, segue confrontando com , com os seguintes azimuth plano e distância:317°43'33.67" e 0.42; até o vértice P742, de coordenadas N 9213290.89 m e E 297564.63 m; deste, segue confrontando com , com os seguintes azimuth plano e distância:318°31'17.23" e 13.06; até o vértice P743, de coordenadas N 9213300.67 m e E 297555.98 m; deste, segue confrontando com , com os seguintes azimuth plano e distância:312°39'45.70" e 9.19; até o vértice P744, de coordenadas N 9213306.89 m e E 297549.22 m; deste, segue confrontando com , com os seguintes azimuth plano e distância:283°07'30.00" e 0.67; até o vértice P745, de coordenadas N 9213307.04 m e E 297548.57 m; deste, segue confrontando com , com os seguintes azimuth plano e distância:286°52'30.00" e 0.98; até o vértice P746, de coordenadas N 9213307.33 m e E 297547.63 m; deste, segue confrontando com , com os seguintes azimuth plano e distância:290°37'30.00" e 0.98; até o vértice P747, de coordenadas N 9213307.68 m e E 297546.71 m; deste, segue confrontando com , com os seguintes azimuth plano e distância:294°22'30.00" e 0.98; até o vértice P748, de coordenadas N 9213308.08 m e E 297545.81 m; deste, segue confrontando com , com os seguintes azimuth plano e distância:298°07'30.00" e 0.98; até o vértice P749, de coordenadas N 9213308.54 m e E 297544.95 m; deste, segue confrontando com , com os seguintes azimuth plano e distância:301°52'30.00" e 0.98; até o vértice

Assinado por: **Lucena Filho**
 Para verificar a validade das assinaturas, acesse <https://joaopessoa.1doc.com.br/verificacao/E130-3F2A-7A96-549F> e informe o código E130-3F2A-7A96-549F



P750, de coordenadas N 9213309.06 m e E 297544.12 m; deste, segue confrontando com , com os seguintes azimute plano e distância:304°17'14.08" e 0.28; até o vértice P751, de coordenadas N 9213309.22 m e E 297543.88 m; deste, segue confrontando com , com os seguintes azimute plano e distância:304°49'28.16" e 4.21; até o vértice P752, de coordenadas N 9213311.62 m e E 297540.43 m; deste, segue confrontando com , com os seguintes azimute plano e distância:306°09'44.08" e 0.70; até o vértice P753, de coordenadas N 9213312.03 m e E 297539.87 m; deste, segue confrontando com , com os seguintes azimute plano e distância:308°20'12.58" e 0.44; até o vértice P754, de coordenadas N 9213312.31 m e E 297539.52 m; deste, segue confrontando com , com os seguintes azimute plano e distância:309°10'25.17" e 4.64; até o vértice P755, de coordenadas N 9213315.24 m e E 297535.92 m; deste, segue confrontando com , com os seguintes azimute plano e distância:304°41'42.55" e 4.16; até o vértice P756, de coordenadas N 9213317.61 m e E 297532.50 m; deste, segue confrontando com , com os seguintes azimute plano e distância:306°05'51.28" e 0.73; até o vértice P757, de coordenadas N 9213318.04 m e E 297531.91 m; deste, segue confrontando com , com os seguintes azimute plano e distância:309°22'30.00" e 0.98; até o vértice P758, de coordenadas N 9213318.66 m e E 297531.15 m; deste, segue confrontando com , com os seguintes azimute plano e distância:311°55'55.30" e 0.36; até o vértice P759, de coordenadas N 9213318.90 m e E 297530.89 m; deste, segue confrontando com , com os seguintes azimute plano e distância:312°36'50.60" e 3.79; até o vértice P760, de coordenadas N 9213321.46 m e E 297528.10 m; deste, segue confrontando com , com os seguintes azimute plano e distância:302°37'9.27" e 2.25; até o vértice P761, de coordenadas N 9213322.68 m e E 297526.20 m; deste, segue confrontando com , com os seguintes azimute plano e distância:295°49'15.57" e 3.82; até o vértice P762, de coordenadas N 9213324.34 m e E 297522.77 m; deste, segue confrontando com , com os seguintes azimute plano e distância:292°18'22.34" e 4.58; até o vértice P763, de coordenadas N 9213326.08 m e E 297518.52 m; deste, segue confrontando com , com os seguintes azimute plano e distância:282°31'43.71" e 2.87; até o vértice P764, de coordenadas N 9213326.70 m e E 297515.72 m; deste, segue confrontando com , com os seguintes azimute plano e distância:283°45'51.85" e 0.65; até o vértice P765, de coordenadas N 9213326.86 m e E 297515.10 m; deste, segue confrontando com , com os seguintes azimute plano e distância:286°52'30.00" e 0.98; até o vértice P766, de coordenadas N 9213327.14 m e E 297514.16 m; deste, segue confrontando com , com os seguintes azimute plano e distância:289°39'10.88" e 0.47; até o vértice P767, de coordenadas N 9213327.30 m e E 297513.71 m; deste, segue confrontando com , com os seguintes azimute plano e distância:290°33'21.76" e 5.13; até o vértice P768, de coordenadas N 9213329.10 m e E 297508.91 m; deste, segue confrontando com , com os seguintes azimute plano e distância:291°31'40.88" e 0.51; até o vértice P769, de coordenadas N 9213329.29 m e E 297508.43 m; deste, segue confrontando com , com os seguintes azimute plano e distância:294°22'30.00" e 0.98; até o vértice P770, de coordenadas N 9213329.69 m e E 297507.54 m; deste, segue confrontando com , com os seguintes azimute plano e distância:296°24'27.09" e 0.08; até o vértice P771, de coordenadas N 9213329.73 m e E 297507.47 m; deste, segue confrontando com , com os seguintes azimute plano e distância:296°33'54.18" e 6.04; até o vértice P772, de coordenadas N 9213332.43 m e E 297502.06 m; deste, segue confrontando com , com os seguintes azimute plano e distância:297°57'41.05" e 0.73; até o vértice P773, de coordenadas N 9213332.78 m e E 297501.42 m; deste, segue confrontando com , com os seguintes azimute plano e distância:299°21'27.91" e 2.76; até o vértice P774, de coordenadas N 9213334.13 m e E 297499.02 m; deste, segue confrontando com , com os seguintes azimute plano e distância:299°40'43.96" e 0.17; até o vértice P775, de coordenadas N 9213334.21 m e E 297498.87 m; deste, segue confrontando com , com os seguintes azimute plano e distância:300°48'13.50" e 0.42; até o vértice P776, de coordenadas N 9213334.42 m e E 297498.51 m; deste, segue confrontando com , com os seguintes azimute plano e distância:301°36'27.01" e 3.65; até o vértice P777, de coordenadas N 9213336.34 m e E 297495.40 m; deste, segue confrontando com , com os seguintes azimute plano e distância:294°30'26.66" e 1.76; até o vértice P778, de coordenadas N 9213337.07 m e E 297493.80 m; deste, segue confrontando com , com os seguintes azimute plano e distância:295°22'43.33" e 0.46; até o vértice P779, de coordenadas N 9213337.26 m e E 297493.38 m; deste, segue confrontando com , com os seguintes azimute plano e distância:298°07'30.00" e 0.98; até o vértice P780, de coordenadas N 9213337.73 m e E 297492.52 m; deste, segue confrontando com , com os seguintes azimute plano e distância:300°28'54.76" e 0.25; até o vértice P781, de coordenadas N 9213337.86 m e E 297492.30 m; deste, segue confrontando com , com os seguintes azimute plano e distância:300°57'49.52" e 5.04; até o vértice P782, de coordenadas N 9213340.45 m e E 297487.98 m; deste, segue confrontando com , com os seguintes azimute plano e distância:301°39'20.16" e 0.36; até o vértice P783, de coordenadas N 9213340.64 m e E 297487.67 m; deste, segue confrontando com , com os seguintes azimute plano e distância:302°20'50.80" e 3.41; até o vértice P784, de coordenadas N 9213342.46 m e E 297484.79 m; deste, segue confrontando com , com os seguintes azimute plano e distância:303°02'55.40" e 0.37; até o vértice P785, de coordenadas N 9213342.66 m e E 297484.48 m; deste, segue confrontando com , com os seguintes azimute plano e distância:305°37'30.00" e 0.98; até o vértice P786, de coordenadas N 9213343.24 m e E 297483.68 m; deste, segue confrontando com , com os seguintes azimute plano e distância:307°46'24.68" e 0.14; até o vértice P787, de coordenadas N 9213343.32 m e E 297483.57 m; deste, segue confrontando com , com os seguintes azimute plano e distância:308°02'49.35" e 2.16; até o vértice P788, de coordenadas N 9213344.65 m e E 297481.87 m; deste, segue confrontando com , com os seguintes azimute plano e distância:303°06'40.83" e 1.33; até o vértice P789, de coordenadas N 9213345.38 m e E 297480.75 m; deste, segue confrontando com , com os seguintes azimute plano e distância:298°04'20.95" e 2.61; até o vértice P790, de coordenadas N 9213346.61 m e E 297478.45 m; deste, segue confrontando com , com os seguintes azimute plano e distância:299°02'10.47" e 0.50; até o vértice P791, de coordenadas N 9213346.85 m e E 297478.01 m; deste, segue confrontando com , com os seguintes azimute plano e distância:301°52'30.00" e 0.98; até o vértice P792, de coordenadas N 9213347.37 m e E 297477.18 m; deste, segue confrontando com , com os seguintes azimute plano e distância:304°31'50.18" e 0.41; até o vértice P793, de coordenadas N 9213347.60 m e E 297476.84 m; deste, segue confrontando com , com os seguintes azimute plano e distância:305°18'40.37" e 2.63; até o vértice P794, de coordenadas N 9213349.12 m e E 297474.69 m; deste, segue confrontando com , com os seguintes azimute plano e distância:303°50'6.43" e 10.05; até o vértice P795, de coordenadas N 9213354.72 m e E 297466.35 m; deste, segue confrontando com , com os seguintes azimute plano e distância:301°42'5.15" e 11.24; até o vértice P796, de coordenadas N 9213360.63 m e E 297456.79 m; deste, segue confrontando com , com os seguintes azimute plano e distância:302°35'45.98" e 0.47; até o vértice P797, de coordenadas N 9213360.88 m e

Assinado por:  Para verificar a validade das assinaturas, acesse <https://joaopessoa.1doc.com.br/verificacao/E130-3F2A-7A96-549F> e informe o código E130-3F2A-7A96-549F

297456.39 m; deste, segue confrontando com , com os seguintes azimute plano e distância:303°29'26.80" e 14.78; até o vértice P798, de coordenadas N 9213369.03 m e E 297444.07 m; deste, segue confrontando com , com os seguintes azimute plano e distância:299°20'29.96" e 18.08; até o vértice P799, de coordenadas N 9213377.89 m e E 297428.31 m; deste, segue confrontando com , com os seguintes azimute plano e distância:299°40'14.98" e 0.17; até o vértice P800, de coordenadas N 9213377.98 m e E 297428.16 m; deste, segue confrontando com , com os seguintes azimute plano e distância:300°28'54.76" e 0.25; até o vértice P801, de coordenadas N 9213378.10 m e E 297427.94 m; deste, segue confrontando com , com os seguintes azimute plano e distância:300°57'49.52" e 5.72; até o vértice P802, de coordenadas N 9213381.05 m e E 297423.03 m; deste, segue confrontando com , com os seguintes azimute plano e distância:297°37'15.87" e 8.89; até o vértice P803, de coordenadas N 9213385.17 m e E 297415.16 m; deste, segue confrontando com , com os seguintes azimute plano e distância:298°48'37.94" e 0.62; até o vértice P804, de coordenadas N 9213385.47 m e E 297414.61 m; deste, segue confrontando com , com os seguintes azimute plano e distância:300°42'9.29" e 0.37; até o vértice P805, de coordenadas N 9213385.66 m e E 297414.30 m; deste, segue confrontando com , com os seguintes azimute plano e distância:301°24'18.59" e 21.38; até o vértice P806, de coordenadas N 9213396.80 m e E 297396.05 m; deste, segue confrontando com , com os seguintes azimute plano e distância:302°34'39.29" e 0.61; até o vértice P807, de coordenadas N 9213397.13 m e E 297395.53 m; deste, segue confrontando com , com os seguintes azimute plano e distância:305°37'30.00" e 0.98; até o vértice P808, de coordenadas N 9213397.70 m e E 297394.73 m; deste, segue confrontando com , com os seguintes azimute plano e distância:308°17'48.95" e 0.42; até o vértice P809, de coordenadas N 9213397.96 m e E 297394.40 m; deste, segue confrontando com , com os seguintes azimute plano e distância:309°05'37.89" e 9.16; até o vértice P810, de coordenadas N 9213403.74 m e E 297387.29 m; deste, segue confrontando com , com os seguintes azimute plano e distância:303°27'11.91" e 5.66; até o vértice P811, de coordenadas N 9213406.86 m e E 297382.57 m; deste, segue confrontando com , com os seguintes azimute plano e distância:303°05'44.64" e 10.79; até o vértice P812, de coordenadas N 9213412.75 m e E 297373.53 m; deste, segue confrontando com , com os seguintes azimute plano e distância:287°51'1.15" e 3.95; até o vértice P813, de coordenadas N 9213413.96 m e E 297369.77 m; deste, segue confrontando com , com os seguintes azimute plano e distância:288°18'0.57" e 0.24; até o vértice P814, de coordenadas N 9213414.03 m e E 297369.55 m; deste, segue confrontando com , com os seguintes azimute plano e distância:289°16'27.98" e 0.27; até o vértice P815, de coordenadas N 9213414.13 m e E 297369.29 m; deste, segue confrontando com , com os seguintes azimute plano e distância:289°47'55.95" e 5.10; até o vértice P816, de coordenadas N 9213415.85 m e E 297364.49 m; deste, segue confrontando com , com os seguintes azimute plano e distância:291°08'57.98" e 0.71; até o vértice P817, de coordenadas N 9213416.11 m e E 297363.83 m; deste, segue confrontando com , com os seguintes azimute plano e distância:293°03'52.88" e 0.30; até o vértice P818, de coordenadas N 9213416.23 m e E 297363.56 m; deste, segue confrontando com , com os seguintes azimute plano e distância:293°37'45.76" e 5.03; até o vértice P819, de coordenadas N 9213418.24 m e E 297358.94 m; deste, segue confrontando com , com os seguintes azimute plano e distância:294°56'22.88" e 0.69; até o vértice P820, de coordenadas N 9213418.53 m e E 297358.32 m; deste, segue confrontando com , com os seguintes azimute plano e distância:298°07'30.00" e 0.98; até o vértice P821, de coordenadas N 9213418.99 m e E 297357.46 m; deste, segue confrontando com , com os seguintes azimute plano e distância:301°52'30.00" e 0.98; até o vértice P822, de coordenadas N 9213419.51 m e E 297356.62 m; deste, segue confrontando com , com os seguintes azimute plano e distância:304°09'22.54" e 0.21; até o vértice P823, de coordenadas N 9213419.63 m e E 297356.45 m; deste, segue confrontando com , com os seguintes azimute plano e distância:304°33'45.09" e 5.25; até o vértice P824, de coordenadas N 9213422.61 m e E 297352.12 m; deste, segue confrontando com , com os seguintes azimute plano e distância:304°37'43.83" e 0.03; até o vértice P825, de coordenadas N 9213422.63 m e E 297352.10 m; deste, segue confrontando com , com os seguintes azimute plano e distância:304°41'42.55" e 5.77; até o vértice P826, de coordenadas N 9213425.92 m e E 297347.35 m; deste, segue confrontando com , com os seguintes azimute plano e distância:302°23'59.42" e 5.46; até o vértice P827, de coordenadas N 9213428.84 m e E 297342.74 m; deste, segue confrontando com , com os seguintes azimute plano e distância:301°11'32.93" e 16.35; até o vértice P828, de coordenadas N 9213437.31 m e E 297328.75 m; deste, segue confrontando com , com os seguintes azimute plano e distância:302°28'16.47" e 0.67; até o vértice P829, de coordenadas N 9213437.67 m e E 297328.19 m; deste, segue confrontando com , com os seguintes azimute plano e distância:305°37'30.00" e 0.98; até o vértice P830, de coordenadas N 9213438.24 m e E 297327.39 m; deste, segue confrontando com , com os seguintes azimute plano e distância:309°22'30.00" e 0.98; até o vértice P831, de coordenadas N 9213438.86 m e E 297326.63 m; deste, segue confrontando com , com os seguintes azimute plano e distância:313°07'30.00" e 0.98; até o vértice P832, de coordenadas N 9213439.53 m e E 297325.92 m; deste, segue confrontando com , com os seguintes azimute plano e distância:316°52'30.00" e 0.98; até o vértice P833, de coordenadas N 9213440.25 m e E 297325.25 m; deste, segue confrontando com , com os seguintes azimute plano e distância:320°37'30.00" e 0.98; até o vértice P834, de coordenadas N 9213441.01 m e E 297324.62 m; deste, segue confrontando com , com os seguintes azimute plano e distância:324°22'30.00" e 0.98; até o vértice P835, de coordenadas N 9213441.81 m e E 297324.05 m; deste, segue confrontando com , com os seguintes azimute plano e distância:327°50'7.39" e 0.83; até o vértice P836, de coordenadas N 9213442.51 m e E 297323.61 m; deste, segue confrontando com , com os seguintes azimute plano e distância:329°25'14.78" e 0.95; até o vértice P837, de coordenadas N 9213443.33 m e E 297323.12 m; deste, segue confrontando com , com os seguintes azimute plano e distância:300°08'28.99" e 7.43; até o vértice P838, de coordenadas N 9213447.06 m e E 297316.70 m; deste, segue confrontando com , com os seguintes azimute plano e distância:301°56'44.49" e 0.94; até o vértice P839, de coordenadas N 9213447.56 m e E 297315.89 m; deste, segue confrontando com , com os seguintes azimute plano e distância:303°53'4.83" e 0.07; até o vértice P840, de coordenadas N 9213447.60 m e E 297315.84 m; deste, segue confrontando com , com os seguintes azimute plano e distância:304°01'9.66" e 4.64; até o vértice P841, de coordenadas N 9213450.20 m e E 297311.99 m; deste, segue confrontando com , com os seguintes azimute plano e distância:305°45'34.83" e 0.91; até o vértice P842, de coordenadas N 9213450.73 m e E 297311.25 m; deste, segue confrontando com , com os seguintes azimute plano e distância:308°04'47.65" e 0.30; até o vértice P843, de coordenadas N 9213450.92 m e E 297311.01 m; deste, segue confrontando com , com os seguintes azimute plano e distância:308°39'35.31" e 4.03; até o vértice P844, de coordenadas N 9213453.43 m e E 297307.87 m; deste, segue confrontando

Assinado por: **JOÃO PESSOA** Para verificar a validade das assinaturas, acesse <https://joaopessoa.1doc.com.br/verificacao/E130-3F2A-7A96-549F> e informe o código E130-3F2A-7A96-549F



com , com os seguintes azimute plano e distância:301°51'57.52" e 3.29; até o vértice P845, de coordenadas N 9213455.17 m e E 297305.07 m; deste, segue confrontando com , com os seguintes azimute plano e distância:302°48'28.76" e 0.49; até o vértice P846, de coordenadas N 9213455.44 m e E 297304.66 m; deste, segue confrontando com , com os seguintes azimute plano e distância:304°34'20.63" e 0.43; até o vértice P847, de coordenadas N 9213455.68 m e E 297304.30 m; deste, segue confrontando com , com os seguintes azimute plano e distância:305°23'41.27" e 3.76; até o vértice P848, de coordenadas N 9213457.86 m e E 297301.24 m; deste, segue confrontando com , com os seguintes azimute plano e distância:299°53'56.05" e 3.20; até o vértice P849, de coordenadas N 9213459.46 m e E 297298.46 m; deste, segue confrontando com , com os seguintes azimute plano e distância:296°00'12.05" e 3.87; até o vértice P850, de coordenadas N 9213461.15 m e E 297294.98 m; deste, segue confrontando com , com os seguintes azimute plano e distância:296°07'36.03" e 0.06; até o vértice P851, de coordenadas N 9213461.18 m e E 297294.92 m; deste, segue confrontando com , com os seguintes azimute plano e distância:296°24'27.10" e 0.08; até o vértice P852, de coordenadas N 9213461.22 m e E 297294.85 m; deste, segue confrontando com , com os seguintes azimute plano e distância:296°33'54.18" e 5.12; até o vértice P853, de coordenadas N 9213463.51 m e E 297290.27 m; deste, segue confrontando com , com os seguintes azimute plano e distância:294°37'24.83" e 4.82; até o vértice P854, de coordenadas N 9213465.51 m e E 297285.89 m; deste, segue confrontando com , com os seguintes azimute plano e distância:295°26'12.42" e 0.43; até o vértice P855, de coordenadas N 9213465.70 m e E 297285.51 m; deste, segue confrontando com , com os seguintes azimute plano e distância:298°07'30.00" e 0.98; até o vértice P856, de coordenadas N 9213466.16 m e E 297284.64 m; deste, segue confrontando com , com os seguintes azimute plano e distância:301°00'9.69" e 0.52; até o vértice P857, de coordenadas N 9213466.43 m e E 297284.19 m; deste, segue confrontando com , com os seguintes azimute plano e distância:302°00'19.38" e 4.84; até o vértice P858, de coordenadas N 9213468.99 m e E 297280.09 m; deste, segue confrontando com , com os seguintes azimute plano e distância:297°24'27.27" e 5.24; até o vértice P859, de coordenadas N 9213471.41 m e E 297275.44 m; deste, segue confrontando com , com os seguintes azimute plano e distância:298°30'7.47" e 0.57; até o vértice P860, de coordenadas N 9213471.68 m e E 297274.94 m; deste, segue confrontando com , com os seguintes azimute plano e distância:299°35'47.67" e 13.81; até o vértice P861, de coordenadas N 9213478.50 m e E 297262.93 m; deste, segue confrontando com , com os seguintes azimute plano e distância:299°47'53.84" e 0.11; até o vértice P862, de coordenadas N 9213478.55 m e E 297262.84 m; deste, segue confrontando com , com os seguintes azimute plano e distância:301°14'8.15" e 0.65; até o vértice P863, de coordenadas N 9213478.89 m e E 297262.28 m; deste, segue confrontando com , com os seguintes azimute plano e distância:302°28'16.29" e 4.97; até o vértice P864, de coordenadas N 9213481.56 m e E 297258.09 m; deste, segue confrontando com , com os seguintes azimute plano e distância:302°10'16.38" e 6.78; até o vértice P865, de coordenadas N 9213485.17 m e E 297252.35 m; deste, segue confrontando com , com os seguintes azimute plano e distância:300°30'36.85" e 12.27; até o vértice P866, de coordenadas N 9213491.40 m e E 297241.78 m; deste, segue confrontando com , com os seguintes azimute plano e distância:300°34'49.63" e 0.04; até o vértice P867, de coordenadas N 9213491.41 m e E 297241.75 m; deste, segue confrontando com , com os seguintes azimute plano e distância:300°39'2.40" e 15.07; até o vértice P868, de coordenadas N 9213499.10 m e E 297228.78 m; deste, segue confrontando com , com os seguintes azimute plano e distância:302°12'1.20" e 0.81; até o vértice P869, de coordenadas N 9213499.53 m e E 297228.09 m; deste, segue confrontando com , com os seguintes azimute plano e distância:305°37'30.00" e 0.98; até o vértice P870, de coordenadas N 9213500.10 m e E 297227.30 m; deste, segue confrontando com , com os seguintes azimute plano e distância:308°29'10.43" e 0.52; até o vértice P871, de coordenadas N 9213500.42 m e E 297226.89 m; deste, segue confrontando com , com os seguintes azimute plano e distância:309°28'20.86" e 7.87; até o vértice P872, de coordenadas N 9213505.42 m e E 297220.82 m; deste, segue confrontando com , com os seguintes azimute plano e distância:304°55'9.85" e 5.61; até o vértice P873, de coordenadas N 9213508.64 m e E 297216.22 m; deste, segue confrontando com , com os seguintes azimute plano e distância:306°12'34.92" e 0.68; até o vértice P874, de coordenadas N 9213509.04 m e E 297215.67 m; deste, segue confrontando com , com os seguintes azimute plano e distância:309°22'30.00" e 0.98; até o vértice P875, de coordenadas N 9213509.66 m e E 297214.92 m; deste, segue confrontando com , com os seguintes azimute plano e distância:312°20'12.21" e 0.57; até o vértice P876, de coordenadas N 9213510.04 m e E 297214.49 m; deste, segue confrontando com , com os seguintes azimute plano e distância:313°25'24.42" e 6.37; até o vértice P877, de coordenadas N 9213514.42 m e E 297209.87 m; deste, segue confrontando com , com os seguintes azimute plano e distância:305°32'15.64" e 11.62; até o vértice P878, de coordenadas N 9213521.18 m e E 297200.41 m; deste, segue confrontando com , com os seguintes azimute plano e distância:301°13'6.25" e 6.85; até o vértice P879, de coordenadas N 9213524.73 m e E 297194.55 m; deste, segue confrontando com , com os seguintes azimute plano e distância:302°29'3.13" e 0.66; até o vértice P880, de coordenadas N 9213525.08 m e E 297193.99 m; deste, segue confrontando com , com os seguintes azimute plano e distância:305°33'30.00" e 0.95; até o vértice P881, de coordenadas N 9213525.63 m e E 297193.22 m; deste, segue confrontando com , com os seguintes azimute plano e distância:307°22'0.01" e 13.16; até o vértice P882, de coordenadas N 9213533.62 m e E 297182.76 m; deste, segue confrontando com , com os seguintes azimute plano e distância:306°21'25.91" e 8.46; até o vértice P883, de coordenadas N 9213538.64 m e E 297175.95 m; deste, segue confrontando com , com os seguintes azimute plano e distância:306°55'42.96" e 0.30; até o vértice P884, de coordenadas N 9213538.82 m e E 297175.71 m; deste, segue confrontando com , com os seguintes azimute plano e distância:309°22'30.00" e 0.98; até o vértice P885, de coordenadas N 9213539.44 m e E 297174.95 m; deste, segue confrontando com , com os seguintes azimute plano e distância:311°52'48.80" e 0.33; até o vértice P886, de coordenadas N 9213539.66 m e E 297174.71 m; deste, segue confrontando com , com os seguintes azimute plano e distância:312°30'37.61" e 4.69; até o vértice P887, de coordenadas N 9213542.83 m e E 297171.25 m; deste, segue confrontando com , com os seguintes azimute plano e distância:313°45'18.80" e 0.65; até o vértice P888, de coordenadas N 9213543.28 m e E 297170.78 m; deste, segue confrontando com , com os seguintes azimute plano e distância:316°52'30.00" e 0.98; até o vértice P889, de coordenadas N 9213544.00 m e E 297170.11 m; deste, segue confrontando com , com os seguintes azimute plano e distância:319°10'49.17" e 0.23; até o vértice P890, de coordenadas N 9213544.17 m e E 297169.96 m; deste, segue confrontando com , com os seguintes azimute plano e distância:319°36'38.34" e 7.73; até o vértice P891, de coordenadas N 9213550.06 m e E 297164.95 m; deste, segue confrontando com , com os seguintes azimute plano

Assinado por:  Para verificar a validade das assinaturas, acesse <https://joaopessoa.1doc.com.br/verificacao/E130-3F2A-7A96-549F> e informe o código E130-3F2A-7A96-549F

distância:314°08'41.65" e 2.38; até o vértice P892, de coordenadas N 9213551.71 m e E 297163.25 m; deste, segue confrontando com , com os seguintes azimuth plano e distância:303°01'25.92" e 3.12; até o vértice P893, de coordenadas N 9213553.41 m e E 297160.63 m; deste, segue confrontando com , com os seguintes azimuth plano e distância:303°23'12.96" e 0.19; até o vértice P894, de coordenadas N 9213553.52 m e E 297160.47 m; deste, segue confrontando com , com os seguintes azimuth plano e distância:305°37'30.00" e 0.98; até o vértice P895, de coordenadas N 9213554.09 m e E 297159.67 m; deste, segue confrontando com , com os seguintes azimuth plano e distância:309°22'30.00" e 0.98; até o vértice P896, de coordenadas N 9213554.71 m e E 297158.91 m; deste, segue confrontando com , com os seguintes azimuth plano e distância:312°43'57.32" e 0.78; até o vértice P897, de coordenadas N 9213555.24 m e E 297158.34 m; deste, segue confrontando com , com os seguintes azimuth plano e distância:314°12'54.63" e 4.21; até o vértice P898, de coordenadas N 9213558.17 m e E 297155.33 m; deste, segue confrontando com , com os seguintes azimuth plano e distância:308°28'48.71" e 4.03; até o vértice P899, de coordenadas N 9213560.68 m e E 297152.17 m; deste, segue confrontando com , com os seguintes azimuth plano e distância:309°51'54.36" e 0.73; até o vértice P900, de coordenadas N 9213561.15 m e E 297151.61 m; deste, segue confrontando com , com os seguintes azimuth plano e distância:312°41'3.47" e 0.75; até o vértice P901, de coordenadas N 9213561.66 m e E 297151.06 m; deste, segue confrontando com , com os seguintes azimuth plano e distância:314°07'6.95" e 1.70; até o vértice P902, de coordenadas N 9213562.84 m e E 297149.84 m; deste, segue confrontando com , com os seguintes azimuth plano e distância:293°37'45.76" e 0.64; até o vértice P903, de coordenadas N 9213563.10 m e E 297149.25 m; deste, segue confrontando com , com os seguintes azimuth plano e distância:294°56'22.88" e 0.69; até o vértice P904, de coordenadas N 9213563.39 m e E 297148.62 m; deste, segue confrontando com , com os seguintes azimuth plano e distância:298°07'30.00" e 0.98; até o vértice P905, de coordenadas N 9213563.85 m e E 297147.76 m; deste, segue confrontando com , com os seguintes azimuth plano e distância:301°52'30.00" e 0.98; até o vértice P906, de coordenadas N 9213564.37 m e E 297146.92 m; deste, segue confrontando com , com os seguintes azimuth plano e distância:305°37'30.00" e 0.98; até o vértice P907, de coordenadas N 9213564.94 m e E 297146.13 m; deste, segue confrontando com , com os seguintes azimuth plano e distância:309°03'2.33" e 0.81; até o vértice P908, de coordenadas N 9213565.46 m e E 297145.50 m; deste, segue confrontando com , com os seguintes azimuth plano e distância:310°36'4.66" e 3.85; até o vértice P909, de coordenadas N 9213567.96 m e E 297142.57 m; deste, segue confrontando com , com os seguintes azimuth plano e distância:306°11'35.55" e 3.52; até o vértice P910, de coordenadas N 9213570.04 m e E 297139.73 m; deste, segue confrontando com , com os seguintes azimuth plano e distância:300°12'11.66" e 6.66; até o vértice P911, de coordenadas N 9213573.39 m e E 297133.97 m; deste, segue confrontando com , com os seguintes azimuth plano e distância:301°58'35.83" e 0.93; até o vértice P912, de coordenadas N 9213573.88 m e E 297133.19 m; deste, segue confrontando com , com os seguintes azimuth plano e distância:305°37'30.00" e 0.98; até o vértice P913, de coordenadas N 9213574.45 m e E 297132.39 m; deste, segue confrontando com , com os seguintes azimuth plano e distância:309°22'30.00" e 0.98; até o vértice P914, de coordenadas N 9213575.08 m e E 297131.63 m; deste, segue confrontando com , com os seguintes azimuth plano e distância:311°28'26.65" e 0.12; até o vértice P915, de coordenadas N 9213575.15 m e E 297131.54 m; deste, segue confrontando com , com os seguintes azimuth plano e distância:311°41'53.28" e 7.08; até o vértice P916, de coordenadas N 9213579.86 m e E 297126.26 m; deste, segue confrontando com , com os seguintes azimuth plano e distância:313°20'56.64" e 0.86; até o vértice P917, de coordenadas N 9213580.45 m e E 297125.63 m; deste, segue confrontando com , com os seguintes azimuth plano e distância:315°16'41.25" e 0.15; até o vértice P918, de coordenadas N 9213580.56 m e E 297125.53 m; deste, segue confrontando com , com os seguintes azimuth plano e distância:315°33'22.51" e 5.97; até o vértice P919, de coordenadas N 9213584.82 m e E 297121.35 m; deste, segue confrontando com , com os seguintes azimuth plano e distância:307°43'58.96" e 9.18; até o vértice P920, de coordenadas N 9213590.44 m e E 297114.09 m; deste, segue confrontando com , com os seguintes azimuth plano e distância:307°48'14.47" e 0.04; até o vértice P921, de coordenadas N 9213590.46 m e E 297114.06 m; deste, segue confrontando com , com os seguintes azimuth plano e distância:307°52'29.94" e 5.48; até o vértice P922, de coordenadas N 9213593.82 m e E 297109.74 m; deste, segue confrontando com , com os seguintes azimuth plano e distância:309°31'49.64" e 0.87; até o vértice P923, de coordenadas N 9213594.37 m e E 297109.07 m; deste, segue confrontando com , com os seguintes azimuth plano e distância:311°11'9.33" e 5.11; até o vértice P924, de coordenadas N 9213597.74 m e E 297105.23 m; deste, segue confrontando com , com os seguintes azimuth plano e distância:311°13'4.63" e 0.02; até o vértice P925, de coordenadas N 9213597.75 m e E 297105.21 m; deste, segue confrontando com , com os seguintes azimuth plano e distância:311°51'9.35" e 0.32; até o vértice P926, de coordenadas N 9213597.96 m e E 297104.98 m; deste, segue confrontando com , com os seguintes azimuth plano e distância:312°27'18.70" e 12.24; até o vértice P927, de coordenadas N 9213606.22 m e E 297095.95 m; deste, segue confrontando com , com os seguintes azimuth plano e distância:313°43'39.35" e 0.67; até o vértice P928, de coordenadas N 9213606.68 m e E 297095.47 m; deste, segue confrontando com , com os seguintes azimuth plano e distância:316°52'30.00" e 0.98; até o vértice P929, de coordenadas N 9213607.40 m e E 297094.80 m; deste, segue confrontando com , com os seguintes azimuth plano e distância:320°37'30.00" e 0.98; até o vértice P930, de coordenadas N 9213608.15 m e E 297094.17 m; deste, segue confrontando com , com os seguintes azimuth plano e distância:323°14'10.73" e 0.39; até o vértice P931, de coordenadas N 9213608.46 m e E 297093.94 m; deste, segue confrontando com , com os seguintes azimuth plano e distância:323°58'21.46" e 11.56; até o vértice P932, de coordenadas N 9213617.81 m e E 297087.15 m; deste, segue confrontando com , com os seguintes azimuth plano e distância:322°25'53.07" e 3.77; até o vértice P933, de coordenadas N 9213620.79 m e E 297084.85 m; deste, segue confrontando com , com os seguintes azimuth plano e distância:316°38'11.68" e 1.88; até o vértice P934, de coordenadas N 9213622.16 m e E 297083.56 m; deste, segue confrontando com , com os seguintes azimuth plano e distância:300°31'46.94" e 1.03; até o vértice P935, de coordenadas N 9213622.68 m e E 297082.68 m; deste, segue confrontando com , com os seguintes azimuth plano e distância:291°22'14.24" e 1.17; até o vértice P936, de coordenadas N 9213623.11 m e E 297081.59 m; deste, segue confrontando com , com os seguintes azimuth plano e distância:291°56'7.12" e 0.30; até o vértice P937, de coordenadas N 9213623.22 m e E 297081.31 m; deste, segue confrontando com , com os seguintes azimuth plano e distância:294°22'30.00" e 0.98; até o vértice P938, de coordenadas N 9213623.62 m e E 297080.42 m; deste, segue confrontando com , com os seguintes azimuth plano e distância:298°07'30.00" e 0.98; até o vértice

Assinado por:  Para verificar a validade das assinaturas, acesse <https://joaopessoa.1doc.com.br/verificacao/E130-3F2A-7A96-549F> e informe o código E130-3F2A-7A96-549F

P939, de coordenadas N 9213624.08 m e E 297079.55 m; deste, segue confrontando com , com os seguintes azimuth plano e distância:301°52'30.00" e 0.98; até o vértice P940, de coordenadas N 9213624.60 m e E 297078.72 m; deste, segue confrontando com , com os seguintes azimuth plano e distância:305°37'30.00" e 0.98; até o vértice P941, de coordenadas N 9213625.17 m e E 297077.92 m; deste, segue confrontando com , com os seguintes azimuth plano e distância:309°22'30.00" e 0.98; até o vértice P942, de coordenadas N 9213625.80 m e E 297077.16 m; deste, segue confrontando com , com os seguintes azimuth plano e distância:313°07'30.00" e 0.98; até o vértice P943, de coordenadas N 9213626.47 m e E 297076.45 m; deste, segue confrontando com , com os seguintes azimuth plano e distância:316°52'30.00" e 0.98; até o vértice P944, de coordenadas N 9213627.18 m e E 297075.78 m; deste, segue confrontando com , com os seguintes azimuth plano e distância:320°37'30.00" e 0.98; até o vértice P945, de coordenadas N 9213627.94 m e E 297075.15 m; deste, segue confrontando com , com os seguintes azimuth plano e distância:324°22'30.00" e 0.98; até o vértice P946, de coordenadas N 9213628.74 m e E 297074.58 m; deste, segue confrontando com , com os seguintes azimuth plano e distância:327°07'20.31" e 0.46; até o vértice P947, de coordenadas N 9213629.12 m e E 297074.33 m; deste, segue confrontando com , com os seguintes azimuth plano e distância:327°59'40.62" e 1.67; até o vértice P948, de coordenadas N 9213630.54 m e E 297073.45 m; deste, segue confrontando com , com os seguintes azimuth plano e distância:326°53'19.17" e 0.67; até o vértice P949, de coordenadas N 9213631.10 m e E 297073.09 m; deste, segue confrontando com , com os seguintes azimuth plano e distância:313°01'30.24" e 4.09; até o vértice P950, de coordenadas N 9213633.89 m e E 297070.10 m; deste, segue confrontando com , com os seguintes azimuth plano e distância:314°00'45.12" e 0.52; até o vértice P951, de coordenadas N 9213634.25 m e E 297069.72 m; deste, segue confrontando com , com os seguintes azimuth plano e distância:316°52'30.00" e 0.98; até o vértice P952, de coordenadas N 9213634.96 m e E 297069.05 m; deste, segue confrontando com , com os seguintes azimuth plano e distância:320°37'30.00" e 0.98; até o vértice P953, de coordenadas N 9213635.72 m e E 297068.43 m; deste, segue confrontando com , com os seguintes azimuth plano e distância:323°02'30.52" e 0.28; até o vértice P954, de coordenadas N 9213635.95 m e E 297068.26 m; deste, segue confrontando com , com os seguintes azimuth plano e distância:323°35'1.04" e 6.99; até o vértice P955, de coordenadas N 9213641.57 m e E 297064.11 m; deste, segue confrontando com , com os seguintes azimuth plano e distância:321°20'24.69" e 6.75; até o vértice P956, de coordenadas N 9213646.84 m e E 297059.90 m; deste, segue confrontando com , com os seguintes azimuth plano e distância:318°45'6.22" e 7.47; até o vértice P957, de coordenadas N 9213652.46 m e E 297054.97 m; deste, segue confrontando com , com os seguintes azimuth plano e distância:314°59'60.00" e 5.37; até o vértice P958, de coordenadas N 9213656.26 m e E 297051.17 m; deste, segue confrontando com , com os seguintes azimuth plano e distância:302°44'6.81" e 6.38; até o vértice P959, de coordenadas N 9213659.71 m e E 297045.80 m; deste, segue confrontando com , com os seguintes azimuth plano e distância:303°14'33.41" e 0.27; até o vértice P960, de coordenadas N 9213659.86 m e E 297045.58 m; deste, segue confrontando com , com os seguintes azimuth plano e distância:305°37'30.00" e 0.98; até o vértice P961, de coordenadas N 9213660.43 m e E 297044.78 m; deste, segue confrontando com , com os seguintes azimuth plano e distância:309°22'30.00" e 0.98; até o vértice P962, de coordenadas N 9213661.05 m e E 297044.02 m; deste, segue confrontando com , com os seguintes azimuth plano e distância:313°07'30.00" e 0.98; até o vértice P963, de coordenadas N 9213661.72 m e E 297043.31 m; deste, segue confrontando com , com os seguintes azimuth plano e distância:316°20'15.77" e 0.70; até o vértice P964, de coordenadas N 9213662.23 m e E 297042.82 m; deste, segue confrontando com , com os seguintes azimuth plano e distância:317°40'31.54" e 6.12; até o vértice P965, de coordenadas N 9213666.75 m e E 297038.70 m; deste, segue confrontando com , com os seguintes azimuth plano e distância:308°51'12.15" e 3.28; até o vértice P966, de coordenadas N 9213668.81 m e E 297036.15 m; deste, segue confrontando com , com os seguintes azimuth plano e distância:310°03'6.07" e 0.63; até o vértice P967, de coordenadas N 9213669.22 m e E 297035.67 m; deste, segue confrontando com , com os seguintes azimuth plano e distância:311°48'42.47" e 0.29; até o vértice P968, de coordenadas N 9213669.41 m e E 297035.45 m; deste, segue confrontando com , com os seguintes azimuth plano e distância:312°22'24.94" e 6.81; até o vértice P969, de coordenadas N 9213674.00 m e E 297030.41 m; deste, segue confrontando com , com os seguintes azimuth plano e distância:307°47'38.19" e 4.33; até o vértice P970, de coordenadas N 9213676.66 m e E 297026.99 m; deste, segue confrontando com , com os seguintes azimuth plano e distância:299°58'53.90" e 1.32; até o vértice P971, de coordenadas N 9213677.32 m e E 297025.85 m; deste, segue confrontando com , com os seguintes azimuth plano e distância:295°51'58.88" e 2.98; até o vértice P972, de coordenadas N 9213678.62 m e E 297023.16 m; deste, segue confrontando com , com os seguintes azimuth plano e distância:296°03'29.45" e 0.10; até o vértice P973, de coordenadas N 9213678.66 m e E 297023.07 m; deste, segue confrontando com , com os seguintes azimuth plano e distância:298°07'30.00" e 0.98; até o vértice P974, de coordenadas N 9213679.13 m e E 297022.21 m; deste, segue confrontando com , com os seguintes azimuth plano e distância:301°52'30.00" e 0.98; até o vértice P975, de coordenadas N 9213679.64 m e E 297021.37 m; deste, segue confrontando com , com os seguintes azimuth plano e distância:305°37'30.00" e 0.98; até o vértice P976, de coordenadas N 9213680.22 m e E 297020.58 m; deste, segue confrontando com , com os seguintes azimuth plano e distância:309°22'30.00" e 0.98; até o vértice P977, de coordenadas N 9213680.84 m e E 297019.82 m; deste, segue confrontando com , com os seguintes azimuth plano e distância:313°07'30.00" e 0.98; até o vértice P978, de coordenadas N 9213681.51 m e E 297019.10 m; deste, segue confrontando com , com os seguintes azimuth plano e distância:316°35'23.69" e 0.83; até o vértice P979, de coordenadas N 9213682.11 m e E 297018.53 m; deste, segue confrontando com , com os seguintes azimuth plano e distância:318°10'47.39" e 0.05; até o vértice P980, de coordenadas N 9213682.15 m e E 297018.50 m; deste, segue confrontando com , com os seguintes azimuth plano e distância:299°58'53.90" e 0.48; até o vértice P981, de coordenadas N 9213682.39 m e E 297018.08 m; deste, segue confrontando com , com os seguintes azimuth plano e distância:301°51'56.95" e 0.99; até o vértice P982, de coordenadas N 9213682.91 m e E 297017.24 m; deste, segue confrontando com , com os seguintes azimuth plano e distância:305°37'30.00" e 0.98; até o vértice P983, de coordenadas N 9213683.48 m e E 297016.44 m; deste, segue confrontando com , com os seguintes azimuth plano e distância:308°20'12.58" e 0.44; até o vértice P984, de coordenadas N 9213683.75 m e E 297016.10 m; deste, segue confrontando com , com os seguintes azimuth plano e distância:309°10'25.17" e 3.10; até o vértice P985, de coordenadas N 9213685.71 m e E 297013.70 m; deste, segue confrontando com , com os seguintes azimuth plano e distância:307°18'14.21" e 1.68; até o vértice P986, de coordenadas N 9213686.73 m e

Assinado por:  Para verificar a validade das assinaturas, acesse <https://joaopessoa.1doc.com.br/verificacao/E130-3F2A-7A96-549F> e informe o código E130-3F2A-7A96-549F

297012.36 m; deste, segue confrontando com , com os seguintes azimute plano e distância:302°39'39.29" e 3.84; até o vértice P987, de coordenadas N 9213688.81 m e E 297009.12 m; deste, segue confrontando com , com os seguintes azimute plano e distância:303°12'19.64" e 0.29; até o vértice P988, de coordenadas N 9213688.96 m e E 297008.89 m; deste, segue confrontando com , com os seguintes azimute plano e distância:305°37'30.00" e 0.98; até o vértice P989, de coordenadas N 9213689.53 m e E 297008.09 m; deste, segue confrontando com , com os seguintes azimute plano e distância:309°22'30.00" e 0.98; até o vértice P990, de coordenadas N 9213690.16 m e E 297007.33 m; deste, segue confrontando com , com os seguintes azimute plano e distância:312°25'35.07" e 0.62; até o vértice P991, de coordenadas N 9213690.57 m e E 297006.87 m; deste, segue confrontando com , com os seguintes azimute plano e distância:313°36'10.15" e 5.57; até o vértice P992, de coordenadas N 9213694.41 m e E 297002.84 m; deste, segue confrontando com , com os seguintes azimute plano e distância:314°18'5.07" e 0.37; até o vértice P993, de coordenadas N 9213694.67 m e E 297002.58 m; deste, segue confrontando com , com os seguintes azimute plano e distância:316°52'30.00" e 0.98; até o vértice P994, de coordenadas N 9213695.39 m e E 297001.91 m; deste, segue confrontando com , com os seguintes azimute plano e distância:320°37'30.00" e 0.98; até o vértice P995, de coordenadas N 9213696.15 m e E 297001.28 m; deste, segue confrontando com , com os seguintes azimute plano e distância:322°32'3.11" e 0.02; até o vértice P996, de coordenadas N 9213696.16 m e E 297001.27 m; deste, segue confrontando com , com os seguintes azimute plano e distância:322°34'6.23" e 9.80; até o vértice P997, de coordenadas N 9213703.94 m e E 296995.32 m; deste, segue confrontando com , com os seguintes azimute plano e distância:324°24'33.11" e 0.96; até o vértice P998, de coordenadas N 9213704.72 m e E 296994.76 m; deste, segue confrontando com , com os seguintes azimute plano e distância:328°07'30.00" e 0.98; até o vértice P999, de coordenadas N 9213705.56 m e E 296994.24 m; deste, segue confrontando com , com os seguintes azimute plano e distância:331°52'30.00" e 0.98; até o vértice P1000, de coordenadas N 9213706.42 m e E 296993.78 m; deste, segue confrontando com , com os seguintes azimute plano e distância:335°37'30.00" e 0.98; até o vértice P1001, de coordenadas N 9213707.32 m e E 296993.37 m; deste, segue confrontando com , com os seguintes azimute plano e distância:338°57'48.37" e 0.77; até o vértice P1002, de coordenadas N 9213708.03 m e E 296993.10 m; deste, segue confrontando com , com os seguintes azimute plano e distância:340°25'36.75" e 2.83; até o vértice P1003, de coordenadas N 9213710.70 m e E 296992.15 m; deste, segue confrontando com , com os seguintes azimute plano e distância:327°01'50.15" e 1.56; até o vértice P1004, de coordenadas N 9213712.00 m e E 296991.30 m; deste, segue confrontando com , com os seguintes azimute plano e distância:320°02'32.82" e 3.06; até o vértice P1005, de coordenadas N 9213714.35 m e E 296989.33 m; deste, segue confrontando com , com os seguintes azimute plano e distância:315°00'0.00" e 3.55; até o vértice P1006, de coordenadas N 9213716.86 m e E 296986.82 m; deste, segue confrontando com , com os seguintes azimute plano e distância:316°16'0.41" e 0.66; até o vértice P1007, de coordenadas N 9213717.34 m e E 296986.37 m; deste, segue confrontando com , com os seguintes azimute plano e distância:317°32'0.81" e 7.68; até o vértice P1008, de coordenadas N 9213723.01 m e E 296981.18 m; deste, segue confrontando com , com os seguintes azimute plano e distância:318°08'30.41" e 0.32; até o vértice P1009, de coordenadas N 9213723.24 m e E 296980.97 m; deste, segue confrontando com , com os seguintes azimute plano e distância:318°58'55.52" e 0.12; até o vértice P1010, de coordenadas N 9213723.34 m e E 296980.89 m; deste, segue confrontando com , com os seguintes azimute plano e distância:319°12'51.04" e 5.33; até o vértice P1011, de coordenadas N 9213727.37 m e E 296977.40 m; deste, segue confrontando com , com os seguintes azimute plano e distância:310°31'58.23" e 6.81; até o vértice P1012, de coordenadas N 9213731.80 m e E 296972.23 m; deste, segue confrontando com , com os seguintes azimute plano e distância:304°37'26.96" e 3.40; até o vértice P1013, de coordenadas N 9213733.73 m e E 296969.43 m; deste, segue confrontando com , com os seguintes azimute plano e distância:299°03'16.57" e 2.24; até o vértice P1014, de coordenadas N 9213734.82 m e E 296967.48 m; deste, segue confrontando com , com os seguintes azimute plano e distância:299°31'38.29" e 0.25; até o vértice P1015, de coordenadas N 9213734.94 m e E 296967.26 m; deste, segue confrontando com , com os seguintes azimute plano e distância:301°52'30.00" e 0.98; até o vértice P1016, de coordenadas N 9213735.46 m e E 296966.43 m; deste, segue confrontando com , com os seguintes azimute plano e distância:305°37'30.00" e 0.98; até o vértice P1017, de coordenadas N 9213736.03 m e E 296965.63 m; deste, segue confrontando com , com os seguintes azimute plano e distância:309°22'30.00" e 0.98; até o vértice P1018, de coordenadas N 9213736.65 m e E 296964.87 m; deste, segue confrontando com , com os seguintes azimute plano e distância:313°07'30.00" e 0.98; até o vértice P1019, de coordenadas N 9213737.32 m e E 296964.15 m; deste, segue confrontando com , com os seguintes azimute plano e distância:316°52'30.00" e 0.98; até o vértice P1020, de coordenadas N 9213738.04 m e E 296963.48 m; deste, segue confrontando com , com os seguintes azimute plano e distância:320°37'30.00" e 0.98; até o vértice P1021, de coordenadas N 9213738.80 m e E 296962.86 m; deste, segue confrontando com , com os seguintes azimute plano e distância:324°22'30.00" e 0.98; até o vértice P1022, de coordenadas N 9213739.59 m e E 296962.29 m; deste, segue confrontando com , com os seguintes azimute plano e distância:326°53'21.85" e 0.33; até o vértice P1023, de coordenadas N 9213739.87 m e E 296962.11 m; deste, segue confrontando com , com os seguintes azimute plano e distância:327°31'43.71" e 0.86; até o vértice P1024, de coordenadas N 9213740.60 m e E 296961.64 m; deste, segue confrontando com , com os seguintes azimute plano e distância:314°59'60.00" e 1.75; até o vértice P1025, de coordenadas N 9213741.84 m e E 296960.41 m; deste, segue confrontando com , com os seguintes azimute plano e distância:316°52'30.00" e 0.98; até o vértice P1026, de coordenadas N 9213742.55 m e E 296959.74 m; deste, segue confrontando com , com os seguintes azimute plano e distância:319°36'49.26" e 0.45; até o vértice P1027, de coordenadas N 9213742.90 m e E 296959.44 m; deste, segue confrontando com , com os seguintes azimute plano e distância:320°28'38.53" e 4.86; até o vértice P1028, de coordenadas N 9213746.64 m e E 296956.35 m; deste, segue confrontando com , com os seguintes azimute plano e distância:319°32'15.98" e 4.17; até o vértice P1029, de coordenadas N 9213749.82 m e E 296953.65 m; deste, segue confrontando com , com os seguintes azimute plano e distância:321°01'7.99" e 0.78; até o vértice P1030, de coordenadas N 9213750.42 m e E 296953.16 m; deste, segue confrontando com , com os seguintes azimute plano e distância:322°48'54.19" e 0.16; até o vértice P1031, de coordenadas N 9213750.55 m e E 296953.06 m; deste, segue confrontando com , com os seguintes azimute plano e distância:323°07'48.37" e 1.60; até o vértice P1032, de coordenadas N 9213751.83 m e E 296952.10 m; deste, segue confrontando com , com os seguintes azimute plano e distância:309°45'29.45" e 13.11; até o vértice P1033, de coordenadas N 9213760.22 m e E 296942.02 m; deste, segue

Assinado por: João Pessoa, 06 de junho de 2024. Para verificar a validade das assinaturas, acesse <https://joaopessoa.1doc.com.br/verificacao/E130-3F2A-7A96-549F> e informe o código E130-3F2A-7A96-549F



confrontando com , com os seguintes azimuth plano e distância:310°30'14.72" e 0.39; até o vértice P1034, de coordenadas N 9213760.47 m e E 296941.72 m; deste, segue confrontando com , com os seguintes azimuth plano e distância:312°43'57.32" e 0.78; até o vértice P1035, de coordenadas N 9213761.00 m e E 296941.15 m; deste, segue confrontando com , com os seguintes azimuth plano e distância:314°12'54.63" e 2.70; até o vértice P1036, de coordenadas N 9213762.88 m e E 296939.21 m; deste, segue confrontando com , com os seguintes azimuth plano e distância:297°05'43.99" e 2.38; até o vértice P1037, de coordenadas N 9213763.97 m e E 296937.09 m; deste, segue confrontando com , com os seguintes azimuth plano e distância:298°32'51.99" e 0.76; até o vértice P1038, de coordenadas N 9213764.33 m e E 296936.42 m; deste, segue confrontando com , com os seguintes azimuth plano e distância:301°52'30.00" e 0.98; até o vértice P1039, de coordenadas N 9213764.85 m e E 296935.59 m; deste, segue confrontando com , com os seguintes azimuth plano e distância:305°37'30.00" e 0.98; até o vértice P1040, de coordenadas N 9213765.42 m e E 296934.79 m; deste, segue confrontando com , com os seguintes azimuth plano e distância:309°22'30.00" e 0.98; até o vértice P1041, de coordenadas N 9213766.04 m e E 296934.03 m; deste, segue confrontando com , com os seguintes azimuth plano e distância:313°07'30.00" e 0.98; até o vértice P1042, de coordenadas N 9213766.72 m e E 296933.32 m; deste, segue confrontando com , com os seguintes azimuth plano e distância:315°27'43.28" e 0.24; até o vértice P1043, de coordenadas N 9213766.89 m e E 296933.15 m; deste, segue confrontando com , com os seguintes azimuth plano e distância:315°55'26.56" e 8.42; até o vértice P1044, de coordenadas N 9213772.94 m e E 296927.29 m; deste, segue confrontando com , com os seguintes azimuth plano e distância:316°00'8.95" e 0.04; até o vértice P1045, de coordenadas N 9213772.97 m e E 296927.26 m; deste, segue confrontando com , com os seguintes azimuth plano e distância:316°04'51.33" e 2.36; até o vértice P1046, de coordenadas N 9213774.67 m e E 296925.62 m; deste, segue confrontando com , com os seguintes azimuth plano e distância:306°39'21.99" e 3.56; até o vértice P1047, de coordenadas N 9213776.80 m e E 296922.76 m; deste, segue confrontando com , com os seguintes azimuth plano e distância:303°59'47.25" e 4.35; até o vértice P1048, de coordenadas N 9213779.23 m e E 296919.15 m; deste, segue confrontando com , com os seguintes azimuth plano e distância:301°49'38.81" e 2.99; até o vértice P1049, de coordenadas N 9213780.81 m e E 296916.61 m; deste, segue confrontando com , com os seguintes azimuth plano e distância:302°47'19.40" e 0.50; até o vértice P1050, de coordenadas N 9213781.08 m e E 296916.19 m; deste, segue confrontando com , com os seguintes azimuth plano e distância:305°37'30.00" e 0.98; até o vértice P1051, de coordenadas N 9213781.66 m e E 296915.39 m; deste, segue confrontando com , com os seguintes azimuth plano e distância:309°22'30.00" e 0.98; até o vértice P1052, de coordenadas N 9213782.28 m e E 296914.63 m; deste, segue confrontando com , com os seguintes azimuth plano e distância:312°10'13.53" e 0.48; até o vértice P1053, de coordenadas N 9213782.60 m e E 296914.27 m; deste, segue confrontando com , com os seguintes azimuth plano e distância:313°05'27.05" e 3.45; até o vértice P1054, de coordenadas N 9213784.96 m e E 296911.75 m; deste, segue confrontando com , com os seguintes azimuth plano e distância:308°17'24.59" e 1.70; até o vértice P1055, de coordenadas N 9213786.01 m e E 296910.42 m; deste, segue confrontando com , com os seguintes azimuth plano e distância:309°46'12.29" e 0.77; até o vértice P1056, de coordenadas N 9213786.51 m e E 296909.83 m; deste, segue confrontando com , com os seguintes azimuth plano e distância:313°07'30.00" e 0.98; até o vértice P1057, de coordenadas N 9213787.18 m e E 296909.11 m; deste, segue confrontando com , com os seguintes azimuth plano e distância:316°52'30.00" e 0.98; até o vértice P1058, de coordenadas N 9213787.89 m e E 296908.44 m; deste, segue confrontando com , com os seguintes azimuth plano e distância:320°37'30.00" e 0.98; até o vértice P1059, de coordenadas N 9213788.65 m e E 296907.82 m; deste, segue confrontando com , com os seguintes azimuth plano e distância:323°45'14.36" e 0.31; até o vértice P1060, de coordenadas N 9213788.90 m e E 296907.63 m; deste, segue confrontando com , com os seguintes azimuth plano e distância:304°49'28.17" e 0.04; até o vértice P1061, de coordenadas N 9213788.93 m e E 296907.60 m; deste, segue confrontando com , com os seguintes azimuth plano e distância:306°09'44.08" e 0.70; até o vértice P1062, de coordenadas N 9213789.34 m e E 296907.03 m; deste, segue confrontando com , com os seguintes azimuth plano e distância:308°29'10.43" e 0.52; até o vértice P1063, de coordenadas N 9213789.66 m e E 296906.63 m; deste, segue confrontando com , com os seguintes azimuth plano e distância:309°28'20.86" e 2.12; até o vértice P1064, de coordenadas N 9213791.01 m e E 296904.99 m; deste, segue confrontando com , com os seguintes azimuth plano e distância:310°21'40.43" e 0.47; até o vértice P1065, de coordenadas N 9213791.31 m e E 296904.64 m; deste, segue confrontando com , com os seguintes azimuth plano e distância:313°07'30.00" e 0.98; até o vértice P1066, de coordenadas N 9213791.98 m e E 296903.92 m; deste, segue confrontando com , com os seguintes azimuth plano e distância:316°52'30.00" e 0.98; até o vértice P1067, de coordenadas N 9213792.70 m e E 296903.25 m; deste, segue confrontando com , com os seguintes azimuth plano e distância:319°47'17.41" e 0.54; até o vértice P1068, de coordenadas N 9213793.11 m e E 296902.90 m; deste, segue confrontando com , com os seguintes azimuth plano e distância:320°49'34.83" e 3.29; até o vértice P1069, de coordenadas N 9213795.66 m e E 296900.82 m; deste, segue confrontando com , com os seguintes azimuth plano e distância:320°23'21.52" e 3.56; até o vértice P1070, de coordenadas N 9213798.40 m e E 296898.56 m; deste, segue confrontando com , com os seguintes azimuth plano e distância:321°26'40.76" e 0.55; até o vértice P1071, de coordenadas N 9213798.83 m e E 296898.21 m; deste, segue confrontando com , com os seguintes azimuth plano e distância:324°22'30.00" e 0.98; até o vértice P1072, de coordenadas N 9213799.63 m e E 296897.64 m; deste, segue confrontando com , com os seguintes azimuth plano e distância:328°07'30.00" e 0.98; até o vértice P1073, de coordenadas N 9213800.47 m e E 296897.12 m; deste, segue confrontando com , com os seguintes azimuth plano e distância:330°39'24.93" e 0.34; até o vértice P1074, de coordenadas N 9213800.77 m e E 296896.95 m; deste, segue confrontando com , com os seguintes azimuth plano e distância:331°18'49.87" e 5.08; até o vértice P1075, de coordenadas N 9213805.23 m e E 296894.51 m; deste, segue confrontando com , com os seguintes azimuth plano e distância:294°22'30.00" e 0.81; até o vértice P1076, de coordenadas N 9213805.56 m e E 296893.78 m; deste, segue confrontando com , com os seguintes azimuth plano e distância:298°07'30.00" e 0.98; até o vértice P1077, de coordenadas N 9213806.02 m e E 296892.91 m; deste, segue confrontando com , com os seguintes azimuth plano e distância:301°52'30.00" e 0.98; até o vértice P1078, de coordenadas N 9213806.54 m e E 296892.08 m; deste, segue confrontando com , com os seguintes azimuth plano e distância:305°37'30.00" e 0.98; até o vértice P1079, de coordenadas N 9213807.11 m e E 296891.28 m; deste, segue confrontando com , com os seguintes azimuth plano e distância:309°22'30.00" e 0.98; até o vértice P1080, de coordenadas N 9213807.73 m e E 296890.52 m; deste, segue confrontando com , com os seguintes

Assinado por João Pessoa, 06 de junho de 2024. Para verificar a validade das assinaturas, acesse <https://joaopessoa.1doc.com.br/verificacao/E130-3F2A-7A96-549F> e informe o código E130-3F2A-7A96-549F

azimute plano e distância:313°07'30.00" e 0.98; até o vértice P1081, de coordenadas N 9213808.41 m e E 296889.80 m; deste, segue confrontando com , com os seguintes azimute plano e distância:316°52'30.00" e 0.98; até o vértice P1082, de coordenadas N 9213809.12 m e E 296889.13 m; deste, segue confrontando com , com os seguintes azimute plano e distância:320°37'30.00" e 0.98; até o vértice P1083, de coordenadas N 9213809.88 m e E 296888.51 m; deste, segue confrontando com , com os seguintes azimute plano e distância:323°45'14.36" e 0.66; até o vértice P1084, de coordenadas N 9213810.41 m e E 296888.12 m; deste, segue confrontando com , com os seguintes azimute plano e distância:325°00'28.73" e 1.17; até o vértice P1085, de coordenadas N 9213811.37 m e E 296887.45 m; deste, segue confrontando com , com os seguintes azimute plano e distância:325°37'44.36" e 0.33; até o vértice P1086, de coordenadas N 9213811.64 m e E 296887.27 m; deste, segue confrontando com , com os seguintes azimute plano e distância:328°07'30.00" e 0.98; até o vértice P1087, de coordenadas N 9213812.47 m e E 296886.75 m; deste, segue confrontando com , com os seguintes azimute plano e distância:331°52'30.00" e 0.98; até o vértice P1088, de coordenadas N 9213813.34 m e E 296886.28 m; deste, segue confrontando com , com os seguintes azimute plano e distância:335°37'30.00" e 0.98; até o vértice P1089, de coordenadas N 9213814.23 m e E 296885.88 m; deste, segue confrontando com , com os seguintes azimute plano e distância:337°50'57.47" e 0.18; até o vértice P1090, de coordenadas N 9213814.40 m e E 296885.81 m; deste, segue confrontando com , com os seguintes azimute plano e distância:338°11'54.93" e 3.10; até o vértice P1091, de coordenadas N 9213817.28 m e E 296884.66 m; deste, segue confrontando com , com os seguintes azimute plano e distância:339°43'27.46" e 0.80; até o vértice P1092, de coordenadas N 9213818.03 m e E 296884.38 m; deste, segue confrontando com , com os seguintes azimute plano e distância:343°06'56.95" e 0.68; até o vértice P1093, de coordenadas N 9213818.68 m e E 296884.18 m; deste, segue confrontando com , com os seguintes azimute plano e distância:290°37'30.00" e 0.60; até o vértice P1094, de coordenadas N 9213818.89 m e E 296883.62 m; deste, segue confrontando com , com os seguintes azimute plano e distância:294°22'30.00" e 0.98; até o vértice P1095, de coordenadas N 9213819.30 m e E 296882.73 m; deste, segue confrontando com , com os seguintes azimute plano e distância:297°48'6.62" e 0.81; até o vértice P1096, de coordenadas N 9213819.67 m e E 296882.01 m; deste, segue confrontando com , com os seguintes azimute plano e distância:299°21'13.19" e 0.02; até o vértice P1097, de coordenadas N 9213819.68 m e E 296882.00 m; deste, segue confrontando com , com os seguintes azimute plano e distância:284°46'55.66" e 0.02; até o vértice P1098, de coordenadas N 9213819.69 m e E 296881.98 m; deste, segue confrontando com , com os seguintes azimute plano e distância:284°53'27.82" e 0.06; até o vértice P1099, de coordenadas N 9213819.70 m e E 296881.93 m; deste, segue confrontando com , com os seguintes azimute plano e distância:286°52'30.00" e 0.98; até o vértice P1100, de coordenadas N 9213819.99 m e E 296880.99 m; deste, segue confrontando com , com os seguintes azimute plano e distância:290°37'30.00" e 0.98; até o vértice P1101, de coordenadas N 9213820.33 m e E 296880.07 m; deste, segue confrontando com , com os seguintes azimute plano e distância:294°22'30.00" e 0.98; até o vértice P1102, de coordenadas N 9213820.74 m e E 296879.17 m; deste, segue confrontando com , com os seguintes azimute plano e distância:298°07'30.00" e 0.98; até o vértice P1103, de coordenadas N 9213821.20 m e E 296878.31 m; deste, segue confrontando com , com os seguintes azimute plano e distância:301°52'30.00" e 0.98; até o vértice P1104, de coordenadas N 9213821.72 m e E 296877.47 m; deste, segue confrontando com , com os seguintes azimute plano e distância:305°37'30.00" e 0.98; até o vértice P1105, de coordenadas N 9213822.29 m e E 296876.68 m; deste, segue confrontando com , com os seguintes azimute plano e distância:309°09'27.15" e 0.87; até o vértice P1106, de coordenadas N 9213822.84 m e E 296876.00 m; deste, segue confrontando com , com os seguintes azimute plano e distância:310°48'54.30" e 2.79; até o vértice P1107, de coordenadas N 9213824.66 m e E 296873.89 m; deste, segue confrontando com , com os seguintes azimute plano e distância:311°01'57.15" e 0.11; até o vértice P1108, de coordenadas N 9213824.74 m e E 296873.80 m; deste, segue confrontando com , com os seguintes azimute plano e distância:313°07'30.00" e 0.98; até o vértice P1109, de coordenadas N 9213825.41 m e E 296873.09 m; deste, segue confrontando com , com os seguintes azimute plano e distância:316°52'30.00" e 0.98; até o vértice P1110, de coordenadas N 9213826.12 m e E 296872.42 m; deste, segue confrontando com , com os seguintes azimute plano e distância:318°46'55.34" e 0.02; até o vértice P1111, de coordenadas N 9213826.14 m e E 296872.41 m; deste, segue confrontando com , com os seguintes azimute plano e distância:318°48'50.67" e 1.20; até o vértice P1112, de coordenadas N 9213827.04 m e E 296871.62 m; deste, segue confrontando com , com os seguintes azimute plano e distância:312°23'50.78" e 2.15; até o vértice P1113, de coordenadas N 9213828.49 m e E 296870.03 m; deste, segue confrontando com , com os seguintes azimute plano e distância:313°41'55.39" e 0.68; até o vértice P1114, de coordenadas N 9213828.96 m e E 296869.53 m; deste, segue confrontando com , com os seguintes azimute plano e distância:316°52'30.00" e 0.98; até o vértice P1115, de coordenadas N 9213829.68 m e E 296868.86 m; deste, segue confrontando com , com os seguintes azimute plano e distância:318°58'2.85" e 0.11; até o vértice P1116, de coordenadas N 9213829.76 m e E 296868.79 m; deste, segue confrontando com , com os seguintes azimute plano e distância:319°11'5.70" e 2.79; até o vértice P1117, de coordenadas N 9213831.88 m e E 296866.96 m; deste, segue confrontando com , com os seguintes azimute plano e distância:320°50'32.85" e 0.87; até o vértice P1118, de coordenadas N 9213832.55 m e E 296866.42 m; deste, segue confrontando com , com os seguintes azimute plano e distância:324°22'30.00" e 0.98; até o vértice P1119, de coordenadas N 9213833.35 m e E 296865.84 m; deste, segue confrontando com , com os seguintes azimute plano e distância:328°07'30.00" e 0.98; até o vértice P1120, de coordenadas N 9213834.18 m e E 296865.33 m; deste, segue confrontando com , com os seguintes azimute plano e distância:331°52'30.00" e 0.98; até o vértice P1121, de coordenadas N 9213835.05 m e E 296864.86 m; deste, segue confrontando com , com os seguintes azimute plano e distância:335°37'30.00" e 0.98; até o vértice P1122, de coordenadas N 9213835.94 m e E 296864.46 m; deste, segue confrontando com , com os seguintes azimute plano e distância:338°19'21.98" e 0.43; até o vértice P1123, de coordenadas N 9213836.34 m e E 296864.30 m; deste, segue confrontando com , com os seguintes azimute plano e distância:339°08'43.95" e 1.65; até o vértice P1124, de coordenadas N 9213837.88 m e E 296863.71 m; deste, segue confrontando com , com os seguintes azimute plano e distância:335°13'29.49" e 3.09; até o vértice P1125, de coordenadas N 9213840.69 m e E 296862.42 m; deste, segue confrontando com , com os seguintes azimute plano e distância:331°15'36.74" e 2.88; até o vértice P1126, de coordenadas N 9213843.21 m e E 296861.03 m; deste, segue confrontando com , com os seguintes azimute plano e distância:332°30'18.37" e 0.65; até o vértice P1127, de coordenadas N 9213843.79 m e E 296860.73 m; deste, segue confrontando com , com os seguintes azimute plano e distância:335°37'30.00"

Assinado por: **Lucena Filho** Para verificar a validade das assinaturas, acesse <https://joaopessoa.1doc.com.br/verificacao/E130-3F2A-7A96-549F> e informe o código E130-3F2A-7A96-549F



0.98; até o vértice P1128, de coordenadas N 9213844.68 m e E 296860.33 m; deste, segue confrontando com , com os seguintes azimuth plano e distância:339°22'30.00" e 0.98; até o vértice P1129, de coordenadas N 9213845.60 m e E 296859.98 m; deste, segue confrontando com , com os seguintes azimuth plano e distância:341°54'5.06" e 0.34; até o vértice P1130, de coordenadas N 9213845.93 m e E 296859.88 m; deste, segue confrontando com , com os seguintes azimuth plano e distância:342°33'10.12" e 3.39; até o vértice P1131, de coordenadas N 9213849.17 m e E 296858.86 m; deste, segue confrontando com , com os seguintes azimuth plano e distância:341°33'54.18" e 2.00; até o vértice P1132, de coordenadas N 9213851.06 m e E 296858.23 m; deste, segue confrontando com , com os seguintes azimuth plano e distância:343°01'13.69" e 0.76; até o vértice P1133, de coordenadas N 9213851.79 m e E 296858.00 m; deste, segue confrontando com , com os seguintes azimuth plano e distância:344°28'33.20" e 3.59; até o vértice P1134, de coordenadas N 9213855.25 m e E 296857.04 m; deste, segue confrontando com , com os seguintes azimuth plano e distância:344°44'16.60" e 0.14; até o vértice P1135, de coordenadas N 9213855.38 m e E 296857.01 m; deste, segue confrontando com , com os seguintes azimuth plano e distância:346°52'29.99" e 0.03; até o vértice P1136, de coordenadas N 9213855.41 m e E 296857.00 m; deste, segue confrontando com , com os seguintes azimuth plano e distância:309°46'12.29" e 0.26; até o vértice P1137, de coordenadas N 9213855.57 m e E 296856.80 m; deste, segue confrontando com , com os seguintes azimuth plano e distância:312°30'56.02" e 0.66; até o vértice P1138, de coordenadas N 9213856.02 m e E 296856.31 m; deste, segue confrontando com , com os seguintes azimuth plano e distância:313°46'52.05" e 3.19; até o vértice P1139, de coordenadas N 9213858.23 m e E 296854.01 m; deste, segue confrontando com , com os seguintes azimuth plano e distância:314°23'26.02" e 0.32; até o vértice P1140, de coordenadas N 9213858.45 m e E 296853.78 m; deste, segue confrontando com , com os seguintes azimuth plano e distância:316°52'30.00" e 0.98; até o vértice P1141, de coordenadas N 9213859.17 m e E 296853.11 m; deste, segue confrontando com , com os seguintes azimuth plano e distância:320°37'30.00" e 0.98; até o vértice P1142, de coordenadas N 9213859.93 m e E 296852.49 m; deste, segue confrontando com , com os seguintes azimuth plano e distância:324°22'30.00" e 0.98; até o vértice P1143, de coordenadas N 9213860.73 m e E 296851.91 m; deste, segue confrontando com , com os seguintes azimuth plano e distância:328°07'30.00" e 0.98; até o vértice P1144, de coordenadas N 9213861.56 m e E 296851.40 m; deste, segue confrontando com , com os seguintes azimuth plano e distância:331°52'30.00" e 0.98; até o vértice P1145, de coordenadas N 9213862.43 m e E 296850.93 m; deste, segue confrontando com , com os seguintes azimuth plano e distância:334°53'59.93" e 0.60; até o vértice P1146, de coordenadas N 9213862.97 m e E 296850.68 m; deste, segue confrontando com , com os seguintes azimuth plano e distância:336°02'59.86" e 0.01; até o vértice P1147, de coordenadas N 9213862.98 m e E 296850.67 m; deste, segue confrontando com , com os seguintes azimuth plano e distância:310°12'36.83" e 0.01; até o vértice P1148, de coordenadas N 9213862.98 m e E 296850.67 m; deste, segue confrontando com , com os seguintes azimuth plano e distância:310°43'48.44" e 0.27; até o vértice P1149, de coordenadas N 9213863.16 m e E 296850.46 m; deste, segue confrontando com , com os seguintes azimuth plano e distância:313°07'30.00" e 0.98; até o vértice P1150, de coordenadas N 9213863.83 m e E 296849.75 m; deste, segue confrontando com , com os seguintes azimuth plano e distância:316°52'30.00" e 0.98; até o vértice P1151, de coordenadas N 9213864.55 m e E 296849.07 m; deste, segue confrontando com , com os seguintes azimuth plano e distância:320°37'30.00" e 0.98; até o vértice P1152, de coordenadas N 9213865.31 m e E 296848.45 m; deste, segue confrontando com , com os seguintes azimuth plano e distância:324°10'12.55" e 0.87; até o vértice P1153, de coordenadas N 9213866.02 m e E 296847.94 m; deste, segue confrontando com , com os seguintes azimuth plano e distância:325°50'25.10" e 3.25; até o vértice P1154, de coordenadas N 9213868.71 m e E 296846.12 m; deste, segue confrontando com , com os seguintes azimuth plano e distância:326°02'42.55" e 0.11; até o vértice P1155, de coordenadas N 9213868.80 m e E 296846.06 m; deste, segue confrontando com , com os seguintes azimuth plano e distância:328°07'30.00" e 0.98; até o vértice P1156, de coordenadas N 9213869.63 m e E 296845.54 m; deste, segue confrontando com , com os seguintes azimuth plano e distância:331°52'30.00" e 0.98; até o vértice P1157, de coordenadas N 9213870.49 m e E 296845.07 m; deste, segue confrontando com , com os seguintes azimuth plano e distância:335°37'30.00" e 0.98; até o vértice P1158, de coordenadas N 9213871.39 m e E 296844.67 m; deste, segue confrontando com , com os seguintes azimuth plano e distância:339°22'30.00" e 0.98; até o vértice P1159, de coordenadas N 9213872.31 m e E 296844.32 m; deste, segue confrontando com , com os seguintes azimuth plano e distância:343°07'30.00" e 0.35; até o vértice P1160, de coordenadas N 9213872.64 m e E 296844.22 m; deste, segue confrontando com , com os seguintes azimuth plano e distância:305°37'30.00" e 0.96; até o vértice P1161, de coordenadas N 9213873.20 m e E 296843.44 m; deste, segue confrontando com , com os seguintes azimuth plano e distância:309°22'30.00" e 0.98; até o vértice P1162, de coordenadas N 9213873.82 m e E 296842.68 m; deste, segue confrontando com , com os seguintes azimuth plano e distância:313°07'30.00" e 0.98; até o vértice P1163, de coordenadas N 9213874.50 m e E 296841.96 m; deste, segue confrontando com , com os seguintes azimuth plano e distância:316°52'30.00" e 0.98; até o vértice P1164, de coordenadas N 9213875.21 m e E 296841.29 m; deste, segue confrontando com , com os seguintes azimuth plano e distância:320°37'30.00" e 0.98; até o vértice P1165, de coordenadas N 9213875.97 m e E 296840.67 m; deste, segue confrontando com , com os seguintes azimuth plano e distância:324°22'30.00" e 0.98; até o vértice P1166, de coordenadas N 9213876.77 m e E 296840.10 m; deste, segue confrontando com , com os seguintes azimuth plano e distância:327°49'49.06" e 0.83; até o vértice P1167, de coordenadas N 9213877.47 m e E 296839.66 m; deste, segue confrontando com , com os seguintes azimuth plano e distância:329°24'38.16" e 0.01; até o vértice P1168, de coordenadas N 9213877.48 m e E 296839.65 m; deste, segue confrontando com , com os seguintes azimuth plano e distância:309°37'2.58" e 0.01; até o vértice P1169, de coordenadas N 9213877.49 m e E 296839.64 m; deste, segue confrontando com , com os seguintes azimuth plano e distância:310°26'1.30" e 0.43; até o vértice P1170, de coordenadas N 9213877.76 m e E 296839.32 m; deste, segue confrontando com , com os seguintes azimuth plano e distância:312°21'3.32" e 0.58; até o vértice P1171, de coordenadas N 9213878.15 m e E 296838.89 m; deste, segue confrontando com , com os seguintes azimuth plano e distância:313°27'6.63" e 2.51; até o vértice P1172, de coordenadas N 9213879.88 m e E 296837.07 m; deste, segue confrontando com , com os seguintes azimuth plano e distância:314°13'33.32" e 0.41; até o vértice P1173, de coordenadas N 9213880.16 m e E 296836.78 m; deste, segue confrontando com , com os seguintes azimuth plano e distância:316°52'30.00" e 0.98; até o vértice P1174, de coordenadas N 9213880.88 m e E 296836.11 m; deste, segue confrontando com , com os seguintes azimuth plano e distância:320°37'30.00" e 0.98; até o vértice P1175, de coordenadas

Assinado por: **Lucena Filho**
Para verificar a validade das assinaturas, acesse <https://joaopessoa.1doc.com.br/verificacao/E130-3F2A-7A96-549F> e informe o código E130-3F2A-7A96-549F



N 9213881.64 m e E 296835.48 m; deste, segue confrontando com , com os seguintes azimuth plano e distância:323°48'44.41" e 0.69; até o vértice P1176, de coordenadas N 9213882.19 m e E 296835.08 m; deste, segue confrontando com , com os seguintes azimuth plano e distância:325°07'28.82" e 3.68; até o vértice P1177, de coordenadas N 9213885.21 m e E 296832.97 m; deste, segue confrontando com , com os seguintes azimuth plano e distância:308°53'4.19" e 0.55; até o vértice P1178, de coordenadas N 9213885.56 m e E 296832.54 m; deste, segue confrontando com , com os seguintes azimuth plano e distância:299°55'53.44" e 2.46; até o vértice P1179, de coordenadas N 9213886.79 m e E 296830.41 m; deste, segue confrontando com , com os seguintes azimuth plano e distância:299°44'41.57" e 3.07; até o vértice P1180, de coordenadas N 9213888.31 m e E 296827.74 m; deste, segue confrontando com , com os seguintes azimuth plano e distância:299°52'20.78" e 0.07; até o vértice P1181, de coordenadas N 9213888.35 m e E 296827.68 m; deste, segue confrontando com , com os seguintes azimuth plano e distância:301°52'30.00" e 0.98; até o vértice P1182, de coordenadas N 9213888.86 m e E 296826.85 m; deste, segue confrontando com , com os seguintes azimuth plano e distância:305°37'30.00" e 0.98; até o vértice P1183, de coordenadas N 9213889.44 m e E 296826.05 m; deste, segue confrontando com , com os seguintes azimuth plano e distância:309°22'30.00" e 0.98; até o vértice P1184, de coordenadas N 9213890.06 m e E 296825.29 m; deste, segue confrontando com , com os seguintes azimuth plano e distância:313°07'30.00" e 0.98; até o vértice P1185, de coordenadas N 9213890.73 m e E 296824.58 m; deste, segue confrontando com , com os seguintes azimuth plano e distância:315°00'0.00" e 1.99; até o vértice P1186, de coordenadas N 9213892.14 m e E 296823.17 m; deste, segue confrontando com , com os seguintes azimuth plano e distância:268°21'48.32" e 1.10; até o vértice P1187, de coordenadas N 9213892.11 m e E 296822.07 m; deste, segue confrontando com , com os seguintes azimuth plano e distância:269°10'54.16" e 0.43; até o vértice P1188, de coordenadas N 9213892.10 m e E 296821.64 m; deste, segue confrontando com , com os seguintes azimuth plano e distância:271°52'30.00" e 0.98; até o vértice P1189, de coordenadas N 9213892.13 m e E 296820.66 m; deste, segue confrontando com , com os seguintes azimuth plano e distância:275°37'30.00" e 0.98; até o vértice P1190, de coordenadas N 9213892.23 m e E 296819.68 m; deste, segue confrontando com , com os seguintes azimuth plano e distância:279°22'30.00" e 0.98; até o vértice P1191, de coordenadas N 9213892.39 m e E 296818.71 m; deste, segue confrontando com , com os seguintes azimuth plano e distância:283°07'30.00" e 0.98; até o vértice P1192, de coordenadas N 9213892.61 m e E 296817.76 m; deste, segue confrontando com , com os seguintes azimuth plano e distância:285°02'3.25" e 0.02; até o vértice P1193, de coordenadas N 9213892.62 m e E 296817.74 m; deste, segue confrontando com , com os seguintes azimuth plano e distância:285°04'6.56" e 2.59; até o vértice P1194, de coordenadas N 9213893.29 m e E 296815.24 m; deste, segue confrontando com , com os seguintes azimuth plano e distância:286°54'33.28" e 0.96; até o vértice P1195, de coordenadas N 9213893.57 m e E 296814.32 m; deste, segue confrontando com , com os seguintes azimuth plano e distância:290°37'30.00" e 0.98; até o vértice P1196, de coordenadas N 9213893.91 m e E 296813.40 m; deste, segue confrontando com , com os seguintes azimuth plano e distância:294°22'30.00" e 0.98; até o vértice P1197, de coordenadas N 9213894.32 m e E 296812.51 m; deste, segue confrontando com , com os seguintes azimuth plano e distância:298°07'30.00" e 0.98; até o vértice P1198, de coordenadas N 9213894.78 m e E 296811.64 m; deste, segue confrontando com , com os seguintes azimuth plano e distância:301°52'30.00" e 0.98; até o vértice P1199, de coordenadas N 9213895.30 m e E 296810.81 m; deste, segue confrontando com , com os seguintes azimuth plano e distância:305°37'30.00" e 0.98; até o vértice P1200, de coordenadas N 9213895.87 m e E 296810.01 m; deste, segue confrontando com , com os seguintes azimuth plano e distância:307°52'0.89" e 0.19; até o vértice P1201, de coordenadas N 9213895.99 m e E 296809.86 m; deste, segue confrontando com , com os seguintes azimuth plano e distância:308°14'1.77" e 6.19; até o vértice P1202, de coordenadas N 9213899.82 m e E 296804.99 m; deste, segue confrontando com , com os seguintes azimuth plano e distância:293°57'44.96" e 0.96; até o vértice P1203, de coordenadas N 9213900.21 m e E 296804.12 m; deste, segue confrontando com , com os seguintes azimuth plano e distância:295°06'22.48" e 0.60; até o vértice P1204, de coordenadas N 9213900.47 m e E 296803.57 m; deste, segue confrontando com , com os seguintes azimuth plano e distância:298°07'30.00" e 0.98; até o vértice P1205, de coordenadas N 9213900.93 m e E 296802.71 m; deste, segue confrontando com , com os seguintes azimuth plano e distância:301°52'30.00" e 0.98; até o vértice P1206, de coordenadas N 9213901.45 m e E 296801.88 m; deste, segue confrontando com , com os seguintes azimuth plano e distância:305°37'30.00" e 0.98; até o vértice P1207, de coordenadas N 9213902.02 m e E 296801.08 m; deste, segue confrontando com , com os seguintes azimuth plano e distância:309°22'30.00" e 0.98; até o vértice P1208, de coordenadas N 9213902.64 m e E 296800.32 m; deste, segue confrontando com , com os seguintes azimuth plano e distância:313°07'30.00" e 0.98; até o vértice P1209, de coordenadas N 9213903.31 m e E 296799.60 m; deste, segue confrontando com , com os seguintes azimuth plano e distância:316°52'30.00" e 0.98; até o vértice P1210, de coordenadas N 9213904.03 m e E 296798.93 m; deste, segue confrontando com , com os seguintes azimuth plano e distância:320°37'30.00" e 0.98; até o vértice P1211, de coordenadas N 9213904.79 m e E 296798.31 m; deste, segue confrontando com , com os seguintes azimuth plano e distância:324°22'30.00" e 0.98; até o vértice P1212, de coordenadas N 9213905.59 m e E 296797.74 m; deste, segue confrontando com , com os seguintes azimuth plano e distância:327°26'18.59" e 0.62; até o vértice P1213, de coordenadas N 9213906.11 m e E 296797.40 m; deste, segue confrontando com , com os seguintes azimuth plano e distância:328°37'37.18" e 4.61; até o vértice P1214, de coordenadas N 9213910.05 m e E 296795.00 m; deste, segue confrontando com , com os seguintes azimuth plano e distância:329°18'48.59" e 0.36; até o vértice P1215, de coordenadas N 9213910.36 m e E 296794.82 m; deste, segue confrontando com , com os seguintes azimuth plano e distância:331°52'30.00" e 0.98; até o vértice P1216, de coordenadas N 9213911.22 m e E 296794.35 m; deste, segue confrontando com , com os seguintes azimuth plano e distância:335°37'30.00" e 0.98; até o vértice P1217, de coordenadas N 9213912.12 m e E 296793.95 m; deste, segue confrontando com , com os seguintes azimuth plano e distância:339°22'30.00" e 0.98; até o vértice P1218, de coordenadas N 9213913.04 m e E 296793.60 m; deste, segue confrontando com , com os seguintes azimuth plano e distância:343°07'30.00" e 0.98; até o vértice P1219, de coordenadas N 9213913.98 m e E 296793.32 m; deste, segue confrontando com , com os seguintes azimuth plano e distância:346°52'30.00" e 0.98; até o vértice P1220, de coordenadas N 9213914.93 m e E 296793.10 m; deste, segue confrontando com , com os seguintes azimuth plano e distância:350°37'30.00" e 0.98; até o vértice P1221, de coordenadas N 9213915.90 m e E 296792.94 m; deste, segue confrontando com , com os seguintes azimuth plano e distância:354°22'30.00" e 0.98; até o vértice P1222, de coordenadas N 9213916.88 m e E 296792.84 m; deste,

Assinado por: [Assinatura] Para verificar a validade das assinaturas, acesse <https://joaopessoa.1doc.com.br/verificacao/E130-3F2A-7A96-549F> e informe o código E130-3F2A-7A96-549F



segue confrontando com , com os seguintes azimuth plano e distância:358°07'30.00" e 0.18; até o vértice P1223, de coordenadas N 9213917.05 m e E 296792.83 m; deste, segue confrontando com , com os seguintes azimuth plano e distância:309°22'30.00" e 0.76; até o vértice P1224, de coordenadas N 9213917.53 m e E 296792.25 m; deste, segue confrontando com , com os seguintes azimuth plano e distância:312°01'25.32" e 0.41; até o vértice P1225, de coordenadas N 9213917.80 m e E 296791.95 m; deste, segue confrontando com , com os seguintes azimuth plano e distância:312°47'50.65" e 3.53; até o vértice P1226, de coordenadas N 9213920.20 m e E 296789.36 m; deste, segue confrontando com , com os seguintes azimuth plano e distância:313°53'55.32" e 0.58; até o vértice P1227, de coordenadas N 9213920.60 m e E 296788.94 m; deste, segue confrontando com , com os seguintes azimuth plano e distância:316°52'30.00" e 0.98; até o vértice P1228, de coordenadas N 9213921.32 m e E 296788.27 m; deste, segue confrontando com , com os seguintes azimuth plano e distância:320°37'30.00" e 0.98; até o vértice P1229, de coordenadas N 9213922.08 m e E 296787.65 m; deste, segue confrontando com , com os seguintes azimuth plano e distância:324°22'30.00" e 0.98; até o vértice P1230, de coordenadas N 9213922.88 m e E 296787.07 m; deste, segue confrontando com , com os seguintes azimuth plano e distância:328°07'30.00" e 0.98; até o vértice P1231, de coordenadas N 9213923.71 m e E 296786.56 m; deste, segue confrontando com , com os seguintes azimuth plano e distância:331°17'46.36" e 0.68; até o vértice P1232, de coordenadas N 9213924.31 m e E 296786.23 m; deste, segue confrontando com , com os seguintes azimuth plano e distância:332°35'32.73" e 2.92; até o vértice P1233, de coordenadas N 9213926.90 m e E 296784.88 m; deste, segue confrontando com , com os seguintes azimuth plano e distância:333°10'16.36" e 0.30; até o vértice P1234, de coordenadas N 9213927.17 m e E 296784.75 m; deste, segue confrontando com , com os seguintes azimuth plano e distância:334°48'8.02" e 0.55; até o vértice P1235, de coordenadas N 9213927.67 m e E 296784.51 m; deste, segue confrontando com , com os seguintes azimuth plano e distância:335°51'16.05" e 2.74; até o vértice P1236, de coordenadas N 9213930.17 m e E 296783.39 m; deste, segue confrontando com , com os seguintes azimuth plano e distância:333°26'5.82" e 2.94; até o vértice P1237, de coordenadas N 9213932.80 m e E 296782.08 m; deste, segue confrontando com , com os seguintes azimuth plano e distância:319°01'41.75" e 2.30; até o vértice P1238, de coordenadas N 9213934.53 m e E 296780.57 m; deste, segue confrontando com , com os seguintes azimuth plano e distância:314°08'41.65" e 2.76; até o vértice P1239, de coordenadas N 9213936.45 m e E 296778.59 m; deste, segue confrontando com , com os seguintes azimuth plano e distância:305°20'24.39" e 5.32; até o vértice P1240, de coordenadas N 9213939.53 m e E 296774.25 m; deste, segue confrontando com , com os seguintes azimuth plano e distância:306°25'12.19" e 0.57; até o vértice P1241, de coordenadas N 9213939.87 m e E 296773.80 m; deste, segue confrontando com , com os seguintes azimuth plano e distância:309°22'30.00" e 0.98; até o vértice P1242, de coordenadas N 9213940.49 m e E 296773.04 m; deste, segue confrontando com , com os seguintes azimuth plano e distância:313°07'30.00" e 0.98; até o vértice P1243, de coordenadas N 9213941.16 m e E 296772.32 m; deste, segue confrontando com , com os seguintes azimuth plano e distância:316°52'30.00" e 0.98; até o vértice P1244, de coordenadas N 9213941.88 m e E 296771.65 m; deste, segue confrontando com , com os seguintes azimuth plano e distância:319°57'36.31" e 0.63; até o vértice P1245, de coordenadas N 9213942.36 m e E 296771.24 m; deste, segue confrontando com , com os seguintes azimuth plano e distância:321°10'12.63" e 1.96; até o vértice P1246, de coordenadas N 9213943.89 m e E 296770.02 m; deste, segue confrontando com , com os seguintes azimuth plano e distância:297°49'26.75" e 0.81; até o vértice P1247, de coordenadas N 9213944.27 m e E 296769.30 m; deste, segue confrontando com , com os seguintes azimuth plano e distância:298°54'43.37" e 0.57; até o vértice P1248, de coordenadas N 9213944.54 m e E 296768.80 m; deste, segue confrontando com , com os seguintes azimuth plano e distância:301°52'30.00" e 0.98; até o vértice P1249, de coordenadas N 9213945.06 m e E 296767.97 m; deste, segue confrontando com , com os seguintes azimuth plano e distância:305°37'30.00" e 0.98; até o vértice P1250, de coordenadas N 9213945.63 m e E 296767.17 m; deste, segue confrontando com , com os seguintes azimuth plano e distância:309°22'30.00" e 0.98; até o vértice P1251, de coordenadas N 9213946.25 m e E 296766.41 m; deste, segue confrontando com , com os seguintes azimuth plano e distância:313°07'30.00" e 0.98; até o vértice P1252, de coordenadas N 9213946.92 m e E 296765.69 m; deste, segue confrontando com , com os seguintes azimuth plano e distância:315°00'0.00" e 0.66; até o vértice P1253, de coordenadas N 9213947.39 m e E 296765.23 m; deste, segue confrontando com , com os seguintes azimuth plano e distância:299°21'27.91" e 0.11; até o vértice P1254, de coordenadas N 9213947.44 m e E 296765.13 m; deste, segue confrontando com , com os seguintes azimuth plano e distância:289°00'21.54" e 4.50; até o vértice P1255, de coordenadas N 9213948.91 m e E 296760.88 m; deste, segue confrontando com , com os seguintes azimuth plano e distância:265°10'18.95" e 0.03; até o vértice P1256, de coordenadas N 9213948.90 m e E 296760.85 m; deste, segue confrontando com , com os seguintes azimuth plano e distância:268°07'30.00" e 0.98; até o vértice P1257, de coordenadas N 9213948.87 m e E 296759.87 m; deste, segue confrontando com , com os seguintes azimuth plano e distância:271°52'30.00" e 0.98; até o vértice P1258, de coordenadas N 9213948.90 m e E 296758.89 m; deste, segue confrontando com , com os seguintes azimuth plano e distância:275°37'30.00" e 0.98; até o vértice P1259, de coordenadas N 9213949.00 m e E 296757.92 m; deste, segue confrontando com , com os seguintes azimuth plano e distância:279°22'30.00" e 0.98; até o vértice P1260, de coordenadas N 9213949.16 m e E 296756.95 m; deste, segue confrontando com , com os seguintes azimuth plano e distância:283°07'30.00" e 0.98; até o vértice P1261, de coordenadas N 9213949.38 m e E 296755.99 m; deste, segue confrontando com , com os seguintes azimuth plano e distância:286°52'30.00" e 0.98; até o vértice P1262, de coordenadas N 9213949.67 m e E 296755.05 m; deste, segue confrontando com , com os seguintes azimuth plano e distância:290°37'30.00" e 0.98; até o vértice P1263, de coordenadas N 9213950.01 m e E 296754.13 m; deste, segue confrontando com , com os seguintes azimuth plano e distância:294°22'30.00" e 0.98; até o vértice P1264, de coordenadas N 9213950.42 m e E 296753.24 m; deste, segue confrontando com , com os seguintes azimuth plano e distância:298°07'30.00" e 0.98; até o vértice P1265, de coordenadas N 9213950.88 m e E 296752.37 m; deste, segue confrontando com , com os seguintes azimuth plano e distância:301°52'30.00" e 0.98; até o vértice P1266, de coordenadas N 9213951.40 m e E 296751.54 m; deste, segue confrontando com , com os seguintes azimuth plano e distância:305°37'30.00" e 0.98; até o vértice P1267, de coordenadas N 9213951.97 m e E 296750.74 m; deste, segue confrontando com , com os seguintes azimuth plano e distância:308°57'46.94" e 0.77; até o vértice P1268, de coordenadas N 9213952.45 m e E 296750.15 m; deste, segue confrontando com , com os seguintes azimuth plano e distância:310°25'33.88" e 2.52; até o vértice P1269, de coordenadas N 9213954.09 m e E 296748.22 m; deste, segue confrontando com , com os seguintes

Assinado por João Pessoa, 06 de junho de 2024. Para verificar a validade das assinaturas, acesse <https://joaopessoa.1doc.com.br/verificacao/E130-3F2A-7A96-549F> e informe o código E130-3F2A-7A96-549F



azimute plano e distância:303°41'24.24" e 1.89; até o vértice P1270, de coordenadas N 9213955.14 m e E 296746.65 m; deste, segue confrontando com , com os seguintes azimute plano e distância:303°43'12.08" e 0.02; até o vértice P1271, de coordenadas N 9213955.15 m e E 296746.64 m; deste, segue confrontando com , com os seguintes azimute plano e distância:305°37'30.00" e 0.98; até o vértice P1272, de coordenadas N 9213955.72 m e E 296745.84 m; deste, segue confrontando com , com os seguintes azimute plano e distância:309°22'30.00" e 0.98; até o vértice P1273, de coordenadas N 9213956.34 m e E 296745.08 m; deste, segue confrontando com , com os seguintes azimute plano e distância:313°07'30.00" e 0.98; até o vértice P1274, de coordenadas N 9213957.01 m e E 296744.37 m; deste, segue confrontando com , com os seguintes azimute plano e distância:316°52'30.00" e 0.98; até o vértice P1275, de coordenadas N 9213957.73 m e E 296743.70 m; deste, segue confrontando com , com os seguintes azimute plano e distância:320°37'30.00" e 0.98; até o vértice P1276, de coordenadas N 9213958.49 m e E 296743.07 m; deste, segue confrontando com , com os seguintes azimute plano e distância:324°22'30.00" e 0.98; até o vértice P1277, de coordenadas N 9213959.28 m e E 296742.50 m; deste, segue confrontando com , com os seguintes azimute plano e distância:328°07'30.00" e 0.98; até o vértice P1278, de coordenadas N 9213960.12 m e E 296741.98 m; deste, segue confrontando com , com os seguintes azimute plano e distância:331°52'30.00" e 0.98; até o vértice P1279, de coordenadas N 9213960.98 m e E 296741.52 m; deste, segue confrontando com , com os seguintes azimute plano e distância:335°37'30.00" e 0.98; até o vértice P1280, de coordenadas N 9213961.88 m e E 296741.12 m; deste, segue confrontando com , com os seguintes azimute plano e distância:338°03'52.88" e 0.30; até o vértice P1281, de coordenadas N 9213962.15 m e E 296741.01 m; deste, segue confrontando com , com os seguintes azimute plano e distância:338°37'45.76" e 2.37; até o vértice P1282, de coordenadas N 9213964.36 m e E 296740.14 m; deste, segue confrontando com , com os seguintes azimute plano e distância:339°25'35.94" e 0.42; até o vértice P1283, de coordenadas N 9213964.75 m e E 296739.99 m; deste, segue confrontando com , com os seguintes azimute plano e distância:340°13'26.12" e 7.78; até o vértice P1284, de coordenadas N 9213972.07 m e E 296737.36 m; deste, segue confrontando com , com os seguintes azimute plano e distância:330°15'18.43" e 3.34; até o vértice P1285, de coordenadas N 9213974.97 m e E 296735.71 m; deste, segue confrontando com , com os seguintes azimute plano e distância:332°00'9.21" e 0.91; até o vértice P1286, de coordenadas N 9213975.78 m e E 296735.28 m; deste, segue confrontando com , com os seguintes azimute plano e distância:335°37'30.00" e 0.98; até o vértice P1287, de coordenadas N 9213976.67 m e E 296734.87 m; deste, segue confrontando com , com os seguintes azimute plano e distância:338°45'30.41" e 0.66; até o vértice P1288, de coordenadas N 9213977.28 m e E 296734.63 m; deste, segue confrontando com , com os seguintes azimute plano e distância:340°01'0.82" e 2.78; até o vértice P1289, de coordenadas N 9213979.90 m e E 296733.68 m; deste, segue confrontando com , com os seguintes azimute plano e distância:335°30'29.16" e 8.51; até o vértice P1290, de coordenadas N 9213987.65 m e E 296730.15 m; deste, segue confrontando com , com os seguintes azimute plano e distância:332°29'16.79" e 1.41; até o vértice P1291, de coordenadas N 9213988.90 m e E 296729.50 m; deste, segue confrontando com , com os seguintes azimute plano e distância:256°52'30.00" e 0.72; até o vértice P1292, de coordenadas N 9213988.74 m e E 296728.79 m; deste, segue confrontando com , com os seguintes azimute plano e distância:260°37'30.00" e 0.98; até o vértice P1293, de coordenadas N 9213988.58 m e E 296727.83 m; deste, segue confrontando com , com os seguintes azimute plano e distância:262°47'39.79" e 0.15; até o vértice P1294, de coordenadas N 9213988.56 m e E 296727.67 m; deste, segue confrontando com , com os seguintes azimute plano e distância:263°05'19.58" e 3.19; até o vértice P1295, de coordenadas N 9213988.17 m e E 296724.50 m; deste, segue confrontando com , com os seguintes azimute plano e distância:264°40'9.79" e 0.83; até o vértice P1296, de coordenadas N 9213988.10 m e E 296723.68 m; deste, segue confrontando com , com os seguintes azimute plano e distância:268°07'30.00" e 0.98; até o vértice P1297, de coordenadas N 9213988.06 m e E 296722.70 m; deste, segue confrontando com , com os seguintes azimute plano e distância:271°52'30.00" e 0.98; até o vértice P1298, de coordenadas N 9213988.10 m e E 296721.72 m; deste, segue confrontando com , com os seguintes azimute plano e distância:275°37'30.00" e 0.98; até o vértice P1299, de coordenadas N 9213988.19 m e E 296720.74 m; deste, segue confrontando com , com os seguintes azimute plano e distância:279°22'30.00" e 0.98; até o vértice P1300, de coordenadas N 9213988.35 m e E 296719.77 m; deste, segue confrontando com , com os seguintes azimute plano e distância:283°07'30.00" e 0.98; até o vértice P1301, de coordenadas N 9213988.57 m e E 296718.82 m; deste, segue confrontando com , com os seguintes azimute plano e distância:286°52'30.00" e 0.98; até o vértice P1302, de coordenadas N 9213988.86 m e E 296717.88 m; deste, segue confrontando com , com os seguintes azimute plano e distância:290°37'30.00" e 0.98; até o vértice P1303, de coordenadas N 9213989.21 m e E 296716.96 m; deste, segue confrontando com , com os seguintes azimute plano e distância:294°22'30.00" e 0.98; até o vértice P1304, de coordenadas N 9213989.61 m e E 296716.06 m; deste, segue confrontando com , com os seguintes azimute plano e distância:298°07'30.00" e 0.98; até o vértice P1305, de coordenadas N 9213990.07 m e E 296715.20 m; deste, segue confrontando com , com os seguintes azimute plano e distância:301°52'30.00" e 0.98; até o vértice P1306, de coordenadas N 9213990.59 m e E 296714.36 m; deste, segue confrontando com , com os seguintes azimute plano e distância:305°37'30.00" e 0.98; até o vértice P1307, de coordenadas N 9213991.16 m e E 296713.57 m; deste, segue confrontando com , com os seguintes azimute plano e distância:309°22'30.00" e 0.98; até o vértice P1308, de coordenadas N 9213991.79 m e E 296712.81 m; deste, segue confrontando com , com os seguintes azimute plano e distância:311°37'6.98" e 0.19; até o vértice P1309, de coordenadas N 9213991.91 m e E 296712.66 m; deste, segue confrontando com , com os seguintes azimute plano e distância:311°59'13.97" e 2.58; até o vértice P1310, de coordenadas N 9213993.64 m e E 296710.74 m; deste, segue confrontando com , com os seguintes azimute plano e distância:313°29'36.98" e 0.79; até o vértice P1311, de coordenadas N 9213994.19 m e E 296710.17 m; deste, segue confrontando com , com os seguintes azimute plano e distância:316°52'30.00" e 0.98; até o vértice P1312, de coordenadas N 9213994.90 m e E 296709.50 m; deste, segue confrontando com , com os seguintes azimute plano e distância:320°37'30.00" e 0.98; até o vértice P1313, de coordenadas N 9213995.66 m e E 296708.88 m; deste, segue confrontando com , com os seguintes azimute plano e distância:324°22'30.00" e 0.98; até o vértice P1314, de coordenadas N 9213996.46 m e E 296708.30 m; deste, segue confrontando com , com os seguintes azimute plano e distância:327°11'31.24" e 0.49; até o vértice P1315, de coordenadas N 9213996.87 m e E 296708.04 m; deste, segue confrontando com , com os seguintes azimute plano e distância:328°08'2.48" e 3.56; até o vértice P1316, de coordenadas N 9213999.90 m e E 296706.16 m; deste, segue confrontando com , com os seguintes azimute plano e distância:323°21'57.19"

Assinado por: **Lucena Filho**
 Para verificar a validade das assinaturas, acesse <https://joaopessoa.1doc.com.br/verificacao/E130-3F2A-7A96-549F> e informe o código E130-3F2A-7A96-549F



3.39; até o vértice P1317, de coordenadas N 9214002.62 m e E 296704.14 m; deste, segue confrontando com , com os seguintes azimuth plano e distância:318°21'59.26" e 3.97; até o vértice P1318, de coordenadas N 9214005.59 m e E 296701.50 m; deste, segue confrontando com , com os seguintes azimuth plano e distância:318°31'44.12" e 0.09; até o vértice P1319, de coordenadas N 9214005.65 m e E 296701.44 m; deste, segue confrontando com , com os seguintes azimuth plano e distância:318°41'28.99" e 4.22; até o vértice P1320, de coordenadas N 9214008.82 m e E 296698.65 m; deste, segue confrontando com , com os seguintes azimuth plano e distância:318°43'14.51" e 0.02; até o vértice P1321, de coordenadas N 9214008.83 m e E 296698.64 m; deste, segue confrontando com , com os seguintes azimuth plano e distância:320°37'30.00" e 0.98; até o vértice P1322, de coordenadas N 9214009.59 m e E 296698.02 m; deste, segue confrontando com , com os seguintes azimuth plano e distância:323°22'23.00" e 0.46; até o vértice P1323, de coordenadas N 9214009.96 m e E 296697.75 m; deste, segue confrontando com , com os seguintes azimuth plano e distância:324°14'46.01" e 2.96; até o vértice P1324, de coordenadas N 9214012.36 m e E 296696.02 m; deste, segue confrontando com , com os seguintes azimuth plano e distância:325°14'53.00" e 0.52; até o vértice P1325, de coordenadas N 9214012.79 m e E 296695.72 m; deste, segue confrontando com , com os seguintes azimuth plano e distância:327°01'37.68" e 0.41; até o vértice P1326, de coordenadas N 9214013.13 m e E 296695.50 m; deste, segue confrontando com , com os seguintes azimuth plano e distância:327°48'15.36" e 3.06; até o vértice P1327, de coordenadas N 9214015.72 m e E 296693.87 m; deste, segue confrontando com , com os seguintes azimuth plano e distância:328°54'7.68" e 0.57; até o vértice P1328, de coordenadas N 9214016.22 m e E 296693.57 m; deste, segue confrontando com , com os seguintes azimuth plano e distância:331°52'30.00" e 0.98; até o vértice P1329, de coordenadas N 9214017.08 m e E 296693.11 m; deste, segue confrontando com , com os seguintes azimuth plano e distância:335°33'54.24" e 0.95; até o vértice P1330, de coordenadas N 9214017.95 m e E 296692.71 m; deste, segue confrontando com , com os seguintes azimuth plano e distância:337°22'48.49" e 1.25; até o vértice P1331, de coordenadas N 9214019.10 m e E 296692.23 m; deste, segue confrontando com , com os seguintes azimuth plano e distância:337°26'24.26" e 0.03; até o vértice P1332, de coordenadas N 9214019.13 m e E 296692.22 m; deste, segue confrontando com , com os seguintes azimuth plano e distância:339°22'30.00" e 0.98; até o vértice P1333, de coordenadas N 9214020.05 m e E 296691.88 m; deste, segue confrontando com , com os seguintes azimuth plano e distância:343°07'30.00" e 0.98; até o vértice P1334, de coordenadas N 9214020.99 m e E 296691.59 m; deste, segue confrontando com , com os seguintes azimuth plano e distância:346°52'30.00" e 0.98; até o vértice P1335, de coordenadas N 9214021.94 m e E 296691.37 m; deste, segue confrontando com , com os seguintes azimuth plano e distância:350°37'30.00" e 0.98; até o vértice P1336, de coordenadas N 9214022.91 m e E 296691.21 m; deste, segue confrontando com , com os seguintes azimuth plano e distância:354°22'30.00" e 0.56; até o vértice P1337, de coordenadas N 9214023.47 m e E 296691.15 m; deste, segue confrontando com , com os seguintes azimuth plano e distância:275°37'30.00" e 0.77; até o vértice P1338, de coordenadas N 9214023.54 m e E 296690.38 m; deste, segue confrontando com , com os seguintes azimuth plano e distância:279°22'30.00" e 0.98; até o vértice P1339, de coordenadas N 9214023.70 m e E 296689.42 m; deste, segue confrontando com , com os seguintes azimuth plano e distância:283°07'30.00" e 0.98; até o vértice P1340, de coordenadas N 9214023.93 m e E 296688.46 m; deste, segue confrontando com , com os seguintes azimuth plano e distância:286°52'30.00" e 0.98; até o vértice P1341, de coordenadas N 9214024.21 m e E 296687.52 m; deste, segue confrontando com , com os seguintes azimuth plano e distância:290°37'30.00" e 0.98; até o vértice P1342, de coordenadas N 9214024.56 m e E 296686.60 m; deste, segue confrontando com , com os seguintes azimuth plano e distância:294°22'30.00" e 0.98; até o vértice P1343, de coordenadas N 9214024.96 m e E 296685.71 m; deste, segue confrontando com , com os seguintes azimuth plano e distância:298°07'30.00" e 0.98; até o vértice P1344, de coordenadas N 9214025.42 m e E 296684.84 m; deste, segue confrontando com , com os seguintes azimuth plano e distância:301°52'30.00" e 0.98; até o vértice P1345, de coordenadas N 9214025.94 m e E 296684.01 m; deste, segue confrontando com , com os seguintes azimuth plano e distância:305°37'30.00" e 0.98; até o vértice P1346, de coordenadas N 9214026.51 m e E 296683.21 m; deste, segue confrontando com , com os seguintes azimuth plano e distância:308°17'48.95" e 0.42; até o vértice P1347, de coordenadas N 9214026.77 m e E 296682.88 m; deste, segue confrontando com , com os seguintes azimuth plano e distância:309°05'37.89" e 1.98; até o vértice P1348, de coordenadas N 9214028.02 m e E 296681.35 m; deste, segue confrontando com , com os seguintes azimuth plano e distância:310°10'18.95" e 0.56; até o vértice P1349, de coordenadas N 9214028.39 m e E 296680.92 m; deste, segue confrontando com , com os seguintes azimuth plano e distância:313°07'30.00" e 0.98; até o vértice P1350, de coordenadas N 9214029.06 m e E 296680.20 m; deste, segue confrontando com , com os seguintes azimuth plano e distância:316°52'30.00" e 0.98; até o vértice P1351, de coordenadas N 9214029.77 m e E 296679.53 m; deste, segue confrontando com , com os seguintes azimuth plano e distância:320°37'30.00" e 0.98; até o vértice P1352, de coordenadas N 9214030.53 m e E 296678.91 m; deste, segue confrontando com , com os seguintes azimuth plano e distância:324°22'30.00" e 0.98; até o vértice P1353, de coordenadas N 9214031.33 m e E 296678.33 m; deste, segue confrontando com , com os seguintes azimuth plano e distância:326°42'38.62" e 0.24; até o vértice P1354, de coordenadas N 9214031.53 m e E 296678.20 m; deste, segue confrontando com , com os seguintes azimuth plano e distância:327°10'17.25" e 3.54; até o vértice P1355, de coordenadas N 9214034.51 m e E 296676.28 m; deste, segue confrontando com , com os seguintes azimuth plano e distância:328°35'8.62" e 0.74; até o vértice P1356, de coordenadas N 9214035.14 m e E 296675.89 m; deste, segue confrontando com , com os seguintes azimuth plano e distância:331°52'30.00" e 0.98; até o vértice P1357, de coordenadas N 9214036.01 m e E 296675.43 m; deste, segue confrontando com , com os seguintes azimuth plano e distância:335°37'30.00" e 0.98; até o vértice P1358, de coordenadas N 9214036.90 m e E 296675.03 m; deste, segue confrontando com , com os seguintes azimuth plano e distância:338°58'54.02" e 0.78; até o vértice P1359, de coordenadas N 9214037.62 m e E 296674.75 m; deste, segue confrontando com , com os seguintes azimuth plano e distância:340°27'48.04" e 2.36; até o vértice P1360, de coordenadas N 9214039.85 m e E 296673.96 m; deste, segue confrontando com , com os seguintes azimuth plano e distância:334°20'5.31" e 7.40; até o vértice P1361, de coordenadas N 9214046.52 m e E 296670.75 m; deste, segue confrontando com , com os seguintes azimuth plano e distância:334°26'8.63" e 0.05; até o vértice P1362, de coordenadas N 9214046.57 m e E 296670.73 m; deste, segue confrontando com , com os seguintes azimuth plano e distância:334°32'11.96" e 2.25; até o vértice P1363, de coordenadas N 9214048.60 m e E 296669.76 m; deste, segue confrontando com , com os seguintes azimuth plano e distância:317°43'34.72" e 0.57; até o vértice P1364, de coordenadas

Assinado por:  Para verificar a validade das assinaturas, acesse <https://joaopessoa.1doc.com.br/verificacao/E130-3F2A-7A96-549F> e informe o código E130-3F2A-7A96-549F

N 9214049.02 m e E 296669.38 m; deste, segue confrontando com , com os seguintes azimuth plano e distância:317°12'9.35" e 3.47; até o vértice P1365, de coordenadas N 9214051.57 m e E 296667.02 m; deste, segue confrontando com , com os seguintes azimuth plano e distância:317°58'34.68" e 0.41; até o vértice P1366, de coordenadas N 9214051.87 m e E 296666.75 m; deste, segue confrontando com , com os seguintes azimuth plano e distância:320°37'30.00" e 0.98; até o vértice P1367, de coordenadas N 9214052.63 m e E 296666.13 m; deste, segue confrontando com , com os seguintes azimuth plano e distância:324°22'30.00" e 0.98; até o vértice P1368, de coordenadas N 9214053.42 m e E 296665.56 m; deste, segue confrontando com , com os seguintes azimuth plano e distância:328°07'30.00" e 0.98; até o vértice P1369, de coordenadas N 9214054.26 m e E 296665.04 m; deste, segue confrontando com , com os seguintes azimuth plano e distância:331°22'55.44" e 0.47; até o vértice P1370, de coordenadas N 9214054.67 m e E 296664.82 m; deste, segue confrontando com , com os seguintes azimuth plano e distância:296°33'54.19" e 0.89; até o vértice P1371, de coordenadas N 9214055.06 m e E 296664.02 m; deste, segue confrontando com , com os seguintes azimuth plano e distância:298°16'57.09" e 0.90; até o vértice P1372, de coordenadas N 9214055.49 m e E 296663.23 m; deste, segue confrontando com , com os seguintes azimuth plano e distância:301°52'30.00" e 0.98; até o vértice P1373, de coordenadas N 9214056.01 m e E 296662.40 m; deste, segue confrontando com , com os seguintes azimuth plano e distância:305°37'30.00" e 0.98; até o vértice P1374, de coordenadas N 9214056.58 m e E 296661.60 m; deste, segue confrontando com , com os seguintes azimuth plano e distância:309°22'30.00" e 0.98; até o vértice P1375, de coordenadas N 9214057.20 m e E 296660.84 m; deste, segue confrontando com , com os seguintes azimuth plano e distância:313°07'30.00" e 0.98; até o vértice P1376, de coordenadas N 9214057.87 m e E 296660.12 m; deste, segue confrontando com , com os seguintes azimuth plano e distância:316°52'30.00" e 0.98; até o vértice P1377, de coordenadas N 9214058.59 m e E 296659.45 m; deste, segue confrontando com , com os seguintes azimuth plano e distância:320°37'30.00" e 0.98; até o vértice P1378, de coordenadas N 9214059.35 m e E 296658.83 m; deste, segue confrontando com , com os seguintes azimuth plano e distância:324°22'30.00" e 0.98; até o vértice P1379, de coordenadas N 9214060.15 m e E 296658.26 m; deste, segue confrontando com , com os seguintes azimuth plano e distância:328°07'30.00" e 0.98; até o vértice P1380, de coordenadas N 9214060.98 m e E 296657.74 m; deste, segue confrontando com , com os seguintes azimuth plano e distância:330°40'27.20" e 0.35; até o vértice P1381, de coordenadas N 9214061.29 m e E 296657.57 m; deste, segue confrontando com , com os seguintes azimuth plano e distância:331°20'54.47" e 0.01; até o vértice P1382, de coordenadas N 9214061.29 m e E 296657.56 m; deste, segue confrontando com , com os seguintes azimuth plano e distância:299°35'54.77" e 0.01; até o vértice P1383, de coordenadas N 9214061.30 m e E 296657.56 m; deste, segue confrontando com , com os seguintes azimuth plano e distância:299°47'57.43" e 0.11; até o vértice P1384, de coordenadas N 9214061.35 m e E 296657.47 m; deste, segue confrontando com , com os seguintes azimuth plano e distância:301°19'20.35" e 0.69; até o vértice P1385, de coordenadas N 9214061.71 m e E 296656.87 m; deste, segue confrontando com , com os seguintes azimuth plano e distância:302°38'40.70" e 7.10; até o vértice P1386, de coordenadas N 9214065.54 m e E 296650.89 m; deste, segue confrontando com , com os seguintes azimuth plano e distância:301°08'20.30" e 5.19; até o vértice P1387, de coordenadas N 9214068.23 m e E 296646.45 m; deste, segue confrontando com , com os seguintes azimuth plano e distância:302°26'40.15" e 0.68; até o vértice P1388, de coordenadas N 9214068.59 m e E 296645.87 m; deste, segue confrontando com , com os seguintes azimuth plano e distância:305°37'30.00" e 0.98; até o vértice P1389, de coordenadas N 9214069.16 m e E 296645.08 m; deste, segue confrontando com , com os seguintes azimuth plano e distância:308°39'10.03" e 0.60; até o vértice P1390, de coordenadas N 9214069.54 m e E 296644.60 m; deste, segue confrontando com , com os seguintes azimuth plano e distância:309°48'20.06" e 3.75; até o vértice P1391, de coordenadas N 9214071.94 m e E 296641.72 m; deste, segue confrontando com , com os seguintes azimuth plano e distância:310°31'40.03" e 0.38; até o vértice P1392, de coordenadas N 9214072.19 m e E 296641.43 m; deste, segue confrontando com , com os seguintes azimuth plano e distância:313°07'30.00" e 0.98; até o vértice P1393, de coordenadas N 9214072.86 m e E 296640.72 m; deste, segue confrontando com , com os seguintes azimuth plano e distância:315°00'0.00" e 1.49; até o vértice P1394, de coordenadas N 9214073.91 m e E 296639.67 m; deste, segue confrontando com , com os seguintes azimuth plano e distância:301°32'5.25" e 3.19; até o vértice P1395, de coordenadas N 9214075.58 m e E 296636.95 m; deste, segue confrontando com , com os seguintes azimuth plano e distância:302°38'32.63" e 0.58; até o vértice P1396, de coordenadas N 9214075.89 m e E 296636.46 m; deste, segue confrontando com , com os seguintes azimuth plano e distância:305°37'30.00" e 0.98; até o vértice P1397, de coordenadas N 9214076.47 m e E 296635.66 m; deste, segue confrontando com , com os seguintes azimuth plano e distância:309°22'30.00" e 0.98; até o vértice P1398, de coordenadas N 9214077.09 m e E 296634.90 m; deste, segue confrontando com , com os seguintes azimuth plano e distância:312°38'22.16" e 0.73; até o vértice P1399, de coordenadas N 9214077.58 m e E 296634.37 m; deste, segue confrontando com , com os seguintes azimuth plano e distância:314°01'44.32" e 4.01; até o vértice P1400, de coordenadas N 9214080.37 m e E 296631.49 m; deste, segue confrontando com , com os seguintes azimuth plano e distância:314°30'52.16" e 0.25; até o vértice P1401, de coordenadas N 9214080.54 m e E 296631.30 m; deste, segue confrontando com , com os seguintes azimuth plano e distância:316°52'30.00" e 0.98; até o vértice P1402, de coordenadas N 9214081.26 m e E 296630.63 m; deste, segue confrontando com , com os seguintes azimuth plano e distância:319°04'27.67" e 0.17; até o vértice P1403, de coordenadas N 9214081.39 m e E 296630.52 m; deste, segue confrontando com , com os seguintes azimuth plano e distância:319°23'55.34" e 2.39; até o vértice P1404, de coordenadas N 9214083.20 m e E 296628.97 m; deste, segue confrontando com , com os seguintes azimuth plano e distância:310°36'4.66" e 0.62; até o vértice P1405, de coordenadas N 9214083.60 m e E 296628.50 m; deste, segue confrontando com , com os seguintes azimuth plano e distância:310°55'32.33" e 0.17; até o vértice P1406, de coordenadas N 9214083.72 m e E 296628.37 m; deste, segue confrontando com , com os seguintes azimuth plano e distância:313°07'30.00" e 0.98; até o vértice P1407, de coordenadas N 9214084.39 m e E 296627.65 m; deste, segue confrontando com , com os seguintes azimuth plano e distância:316°52'30.00" e 0.98; até o vértice P1408, de coordenadas N 9214085.10 m e E 296626.98 m; deste, segue confrontando com , com os seguintes azimuth plano e distância:320°37'30.00" e 0.98; até o vértice P1409, de coordenadas N 9214085.86 m e E 296626.36 m; deste, segue confrontando com , com os seguintes azimuth plano e distância:323°14'10.73" e 0.39; até o vértice P1410, de coordenadas N 9214086.17 m e E 296626.13 m; deste, segue confrontando com , com os seguintes azimuth plano e distância:323°58'21.46" e 3.92; até o vértice P1411, de coordenadas N 9214089.34 m e E 296623.82 m; deste,

Assinado por: João Pessoa, 06 de junho de 2024. Para verificar a validade das assinaturas, acesse <https://joaopessoa.1doc.com.br/verificacao/E130-3F2A-7A96-549F> e informe o código E130-3F2A-7A96-549F



segue confrontando com , com os seguintes azimuth plano e distância:325°06'40.73" e 0.60; até o vértice P1412, de coordenadas N 9214089.83 m e E 296623.48 m; deste, segue confrontando com , com os seguintes azimuth plano e distância:326°47'40.36" e 0.29; até o vértice P1413, de coordenadas N 9214090.07 m e E 296623.33 m; deste, segue confrontando com , com os seguintes azimuth plano e distância:327°20'20.71" e 3.26; até o vértice P1414, de coordenadas N 9214092.81 m e E 296621.57 m; deste, segue confrontando com , com os seguintes azimuth plano e distância:318°14'22.92" e 2.41; até o vértice P1415, de coordenadas N 9214094.61 m e E 296619.96 m; deste, segue confrontando com , com os seguintes azimuth plano e distância:318°29'41.46" e 0.13; até o vértice P1416, de coordenadas N 9214094.71 m e E 296619.87 m; deste, segue confrontando com , com os seguintes azimuth plano e distância:320°37'30.00" e 0.98; até o vértice P1417, de coordenadas N 9214095.47 m e E 296619.25 m; deste, segue confrontando com , com os seguintes azimuth plano e distância:323°28'52.18" e 0.51; até o vértice P1418, de coordenadas N 9214095.88 m e E 296618.95 m; deste, segue confrontando com , com os seguintes azimuth plano e distância:324°27'44.36" e 3.31; até o vértice P1419, de coordenadas N 9214098.57 m e E 296617.03 m; deste, segue confrontando com , com os seguintes azimuth plano e distância:325°21'22.18" e 0.47; até o vértice P1420, de coordenadas N 9214098.96 m e E 296616.76 m; deste, segue confrontando com , com os seguintes azimuth plano e distância:326°47'40.36" e 0.29; até o vértice P1421, de coordenadas N 9214099.19 m e E 296616.60 m; deste, segue confrontando com , com os seguintes azimuth plano e distância:327°20'20.71" e 4.45; até o vértice P1422, de coordenadas N 9214102.94 m e E 296614.20 m; deste, segue confrontando com , com os seguintes azimuth plano e distância:328°40'10.36" e 0.70; até o vértice P1423, de coordenadas N 9214103.54 m e E 296613.84 m; deste, segue confrontando com , com os seguintes azimuth plano e distância:331°52'30.00" e 0.98; até o vértice P1424, de coordenadas N 9214104.40 m e E 296613.38 m; deste, segue confrontando com , com os seguintes azimuth plano e distância:335°37'30.00" e 0.98; até o vértice P1425, de coordenadas N 9214105.30 m e E 296612.97 m; deste, segue confrontando com , com os seguintes azimuth plano e distância:339°22'30.00" e 0.98; até o vértice P1426, de coordenadas N 9214106.21 m e E 296612.63 m; deste, segue confrontando com , com os seguintes azimuth plano e distância:341°56'52.76" e 0.37; até o vértice P1427, de coordenadas N 9214106.56 m e E 296612.51 m; deste, segue confrontando com , com os seguintes azimuth plano e distância:342°38'45.51" e 5.84; até o vértice P1428, de coordenadas N 9214112.14 m e E 296610.77 m; deste, segue confrontando com , com os seguintes azimuth plano e distância:320°02'32.82" e 3.67; até o vértice P1429, de coordenadas N 9214114.95 m e E 296608.42 m; deste, segue confrontando com , com os seguintes azimuth plano e distância:321°16'16.41" e 0.64; até o vértice P1430, de coordenadas N 9214115.45 m e E 296608.01 m; deste, segue confrontando com , com os seguintes azimuth plano e distância:322°57'48.55" e 0.24; até o vértice P1431, de coordenadas N 9214115.64 m e E 296607.87 m; deste, segue confrontando com , com os seguintes azimuth plano e distância:323°25'37.09" e 3.71; até o vértice P1432, de coordenadas N 9214118.62 m e E 296605.66 m; deste, segue confrontando com , com os seguintes azimuth plano e distância:324°50'18.54" e 0.74; até o vértice P1433, de coordenadas N 9214119.22 m e E 296605.23 m; deste, segue confrontando com , com os seguintes azimuth plano e distância:326°57'4.60" e 0.37; até o vértice P1434, de coordenadas N 9214119.53 m e E 296605.03 m; deste, segue confrontando com , com os seguintes azimuth plano e distância:327°39'9.20" e 6.67; até o vértice P1435, de coordenadas N 9214125.17 m e E 296601.46 m; deste, segue confrontando com , com os seguintes azimuth plano e distância:326°28'55.17" e 8.31; até o vértice P1436, de coordenadas N 9214132.09 m e E 296596.88 m; deste, segue confrontando com , com os seguintes azimuth plano e distância:323°19'32.34" e 5.22; até o vértice P1437, de coordenadas N 9214136.27 m e E 296593.76 m; deste, segue confrontando com , com os seguintes azimuth plano e distância:323°56'23.89" e 0.32; até o vértice P1438, de coordenadas N 9214136.53 m e E 296593.57 m; deste, segue confrontando com , com os seguintes azimuth plano e distância:324°33'15.44" e 6.96; até o vértice P1439, de coordenadas N 9214142.20 m e E 296589.54 m; deste, segue confrontando com , com os seguintes azimuth plano e distância:325°24'7.72" e 0.44; até o vértice P1440, de coordenadas N 9214142.57 m e E 296589.29 m; deste, segue confrontando com , com os seguintes azimuth plano e distância:326°40'20.56" e 0.22; até o vértice P1441, de coordenadas N 9214142.75 m e E 296589.16 m; deste, segue confrontando com , com os seguintes azimuth plano e distância:327°05'41.13" e 5.17; até o vértice P1442, de coordenadas N 9214147.09 m e E 296586.36 m; deste, segue confrontando com , com os seguintes azimuth plano e distância:322°00'4.56" e 2.45; até o vértice P1443, de coordenadas N 9214149.02 m e E 296584.85 m; deste, segue confrontando com , com os seguintes azimuth plano e distância:316°02'29.86" e 6.69; até o vértice P1444, de coordenadas N 9214153.84 m e E 296580.20 m; deste, segue confrontando com , com os seguintes azimuth plano e distância:317°23'44.93" e 0.71; até o vértice P1445, de coordenadas N 9214154.36 m e E 296579.72 m; deste, segue confrontando com , com os seguintes azimuth plano e distância:320°37'30.00" e 0.98; até o vértice P1446, de coordenadas N 9214155.12 m e E 296579.10 m; deste, segue confrontando com , com os seguintes azimuth plano e distância:324°22'30.00" e 0.98; até o vértice P1447, de coordenadas N 9214155.92 m e E 296578.53 m; deste, segue confrontando com , com os seguintes azimuth plano e distância:327°31'29.07" e 0.67; até o vértice P1448, de coordenadas N 9214156.48 m e E 296578.17 m; deste, segue confrontando com , com os seguintes azimuth plano e distância:328°47'58.15" e 6.16; até o vértice P1449, de coordenadas N 9214161.75 m e E 296574.98 m; deste, segue confrontando com , com os seguintes azimuth plano e distância:314°59'60.00" e 3.69; até o vértice P1450, de coordenadas N 9214164.36 m e E 296572.37 m; deste, segue confrontando com , com os seguintes azimuth plano e distância:309°20'25.87" e 6.84; até o vértice P1451, de coordenadas N 9214168.69 m e E 296567.08 m; deste, segue confrontando com , com os seguintes azimuth plano e distância:310°17'42.93" e 0.50; até o vértice P1452, de coordenadas N 9214169.02 m e E 296566.70 m; deste, segue confrontando com , com os seguintes azimuth plano e distância:313°07'30.00" e 0.98; até o vértice P1453, de coordenadas N 9214169.69 m e E 296565.98 m; deste, segue confrontando com , com os seguintes azimuth plano e distância:316°52'30.00" e 0.98; até o vértice P1454, de coordenadas N 9214170.40 m e E 296565.31 m; deste, segue confrontando com , com os seguintes azimuth plano e distância:320°37'30.00" e 0.98; até o vértice P1455, de coordenadas N 9214171.16 m e E 296564.69 m; deste, segue confrontando com , com os seguintes azimuth plano e distância:322°32'50.37" e 0.02; até o vértice P1456, de coordenadas N 9214171.18 m e E 296564.67 m; deste, segue confrontando com , com os seguintes azimuth plano e distância:322°35'40.72" e 4.11; até o vértice P1457, de coordenadas N 9214174.45 m e E 296562.18 m; deste, segue confrontando com , com os seguintes azimuth plano e distância:324°25'20.36" e 0.96; até o vértice P1458, de coordenadas N 9214175.23 m e E 296561.62 m; deste, segue confrontando com , com os seguintes

Assinado por João Pessoa. Para verificar a validade das assinaturas, acesse <https://joaopessoa.1doc.com.br/verificacao/E130-3F2A-7A96-549F> e informe o código E130-3F2A-7A96-549F

azimute plano e distância:326°32'8.68" e 0.15; até o vértice P1459, de coordenadas N 9214175.35 m e E 296561.54 m; deste, segue confrontando com , com os seguintes azimute plano e distância:326°49'17.36" e 1.13; até o vértice P1460, de coordenadas N 9214176.29 m e E 296560.92 m; deste, segue confrontando com , com os seguintes azimute plano e distância:312°41'33.46" e 13.22; até o vértice P1461, de coordenadas N 9214185.26 m e E 296551.21 m; deste, segue confrontando com , com os seguintes azimute plano e distância:313°50'46.73" e 0.60; até o vértice P1462, de coordenadas N 9214185.68 m e E 296550.77 m; deste, segue confrontando com , com os seguintes azimute plano e distância:316°52'30.00" e 0.98; até o vértice P1463, de coordenadas N 9214186.39 m e E 296550.10 m; deste, segue confrontando com , com os seguintes azimute plano e distância:320°37'30.00" e 0.98; até o vértice P1464, de coordenadas N 9214187.15 m e E 296549.48 m; deste, segue confrontando com , com os seguintes azimute plano e distância:323°14'10.73" e 0.39; até o vértice P1465, de coordenadas N 9214187.46 m e E 296549.25 m; deste, segue confrontando com , com os seguintes azimute plano e distância:323°58'21.46" e 3.97; até o vértice P1466, de coordenadas N 9214190.67 m e E 296546.91 m; deste, segue confrontando com , com os seguintes azimute plano e distância:323°07'48.37" e 4.39; até o vértice P1467, de coordenadas N 9214194.19 m e E 296544.27 m; deste, segue confrontando com , com os seguintes azimute plano e distância:323°26'17.28" e 0.16; até o vértice P1468, de coordenadas N 9214194.32 m e E 296544.18 m; deste, segue confrontando com , com os seguintes azimute plano e distância:323°44'46.18" e 5.36; até o vértice P1469, de coordenadas N 9214198.64 m e E 296541.01 m; deste, segue confrontando com , com os seguintes azimute plano e distância:322°00'4.56" e 5.87; até o vértice P1470, de coordenadas N 9214203.26 m e E 296537.40 m; deste, segue confrontando com , com os seguintes azimute plano e distância:322°15'2.28" e 0.13; até o vértice P1471, de coordenadas N 9214203.36 m e E 296537.32 m; deste, segue confrontando com , com os seguintes azimute plano e distância:324°22'30.00" e 0.98; até o vértice P1472, de coordenadas N 9214204.16 m e E 296536.75 m; deste, segue confrontando com , com os seguintes azimute plano e distância:326°16'47.84" e 0.02; até o vértice P1473, de coordenadas N 9214204.17 m e E 296536.74 m; deste, segue confrontando com , com os seguintes azimute plano e distância:326°18'35.76" e 5.11; até o vértice P1474, de coordenadas N 9214208.42 m e E 296533.91 m; deste, segue confrontando com , com os seguintes azimute plano e distância:319°50'38.40" e 3.15; até o vértice P1475, de coordenadas N 9214210.82 m e E 296531.88 m; deste, segue confrontando com , com os seguintes azimute plano e distância:302°28'16.29" e 5.54; até o vértice P1476, de coordenadas N 9214213.80 m e E 296527.21 m; deste, segue confrontando com , com os seguintes azimute plano e distância:303°06'38.15" e 0.33; até o vértice P1477, de coordenadas N 9214213.98 m e E 296526.93 m; deste, segue confrontando com , com os seguintes azimute plano e distância:305°37'30.00" e 0.98; até o vértice P1478, de coordenadas N 9214214.55 m e E 296526.13 m; deste, segue confrontando com , com os seguintes azimute plano e distância:309°22'30.00" e 0.98; até o vértice P1479, de coordenadas N 9214215.17 m e E 296525.37 m; deste, segue confrontando com , com os seguintes azimute plano e distância:312°24'32.23" e 0.61; até o vértice P1480, de coordenadas N 9214215.58 m e E 296524.92 m; deste, segue confrontando com , com os seguintes azimute plano e distância:313°34'4.45" e 8.49; até o vértice P1481, de coordenadas N 9214221.44 m e E 296518.77 m; deste, segue confrontando com , com os seguintes azimute plano e distância:314°17'2.23" e 0.37; até o vértice P1482, de coordenadas N 9214221.70 m e E 296518.50 m; deste, segue confrontando com , com os seguintes azimute plano e distância:316°52'30.00" e 0.98; até o vértice P1483, de coordenadas N 9214222.42 m e E 296517.83 m; deste, segue confrontando com , com os seguintes azimute plano e distância:320°37'30.00" e 0.98; até o vértice P1484, de coordenadas N 9214223.17 m e E 296517.21 m; deste, segue confrontando com , com os seguintes azimute plano e distância:324°06'23.62" e 0.84; até o vértice P1485, de coordenadas N 9214223.86 m e E 296516.71 m; deste, segue confrontando com , com os seguintes azimute plano e distância:325°42'47.24" e 3.35; até o vértice P1486, de coordenadas N 9214226.63 m e E 296514.82 m; deste, segue confrontando com , com os seguintes azimute plano e distância:320°47'34.07" e 5.83; até o vértice P1487, de coordenadas N 9214231.14 m e E 296511.14 m; deste, segue confrontando com , com os seguintes azimute plano e distância:313°59'41.69" e 4.72; até o vértice P1488, de coordenadas N 9214234.41 m e E 296507.75 m; deste, segue confrontando com , com os seguintes azimute plano e distância:310°36'4.66" e 3.71; até o vértice P1489, de coordenadas N 9214236.83 m e E 296504.94 m; deste, segue confrontando com , com os seguintes azimute plano e distância:310°55'32.33" e 0.17; até o vértice P1490, de coordenadas N 9214236.94 m e E 296504.81 m; deste, segue confrontando com , com os seguintes azimute plano e distância:313°07'30.00" e 0.98; até o vértice P1491, de coordenadas N 9214237.61 m e E 296504.09 m; deste, segue confrontando com , com os seguintes azimute plano e distância:316°52'30.00" e 0.98; até o vértice P1492, de coordenadas N 9214238.33 m e E 296503.42 m; deste, segue confrontando com , com os seguintes azimute plano e distância:320°37'30.00" e 0.98; até o vértice P1493, de coordenadas N 9214239.08 m e E 296502.80 m; deste, segue confrontando com , com os seguintes azimute plano e distância:322°37'0.48" e 0.06; até o vértice P1494, de coordenadas N 9214239.13 m e E 296502.76 m; deste, segue confrontando com , com os seguintes azimute plano e distância:322°44'0.95" e 8.68; até o vértice P1495, de coordenadas N 9214246.04 m e E 296497.51 m; deste, segue confrontando com , com os seguintes azimute plano e distância:323°40'9.84" e 0.49; até o vértice P1496, de coordenadas N 9214246.43 m e E 296497.22 m; deste, segue confrontando com , com os seguintes azimute plano e distância:324°36'18.73" e 7.00; até o vértice P1497, de coordenadas N 9214252.14 m e E 296493.16 m; deste, segue confrontando com , com os seguintes azimute plano e distância:325°01'16.82" e 0.22; até o vértice P1498, de coordenadas N 9214252.31 m e E 296493.04 m; deste, segue confrontando com , com os seguintes azimute plano e distância:325°26'14.91" e 7.30; até o vértice P1499, de coordenadas N 9214258.32 m e E 296488.90 m; deste, segue confrontando com , com os seguintes azimute plano e distância:318°31'56.26" e 7.71; até o vértice P1500, de coordenadas N 9214264.10 m e E 296483.79 m; deste, segue confrontando com , com os seguintes azimute plano e distância:318°38'28.13" e 0.06; até o vértice P1501, de coordenadas N 9214264.14 m e E 296483.76 m; deste, segue confrontando com , com os seguintes azimute plano e distância:320°02'42.34" e 0.68; até o vértice P1502, de coordenadas N 9214264.66 m e E 296483.32 m; deste, segue confrontando com , com os seguintes azimute plano e distância:321°20'24.69" e 4.81; até o vértice P1503, de coordenadas N 9214268.41 m e E 296480.32 m; deste, segue confrontando com , com os seguintes azimute plano e distância:321°55'12.35" e 0.30; até o vértice P1504, de coordenadas N 9214268.65 m e E 296480.13 m; deste, segue confrontando com , com os seguintes azimute plano e distância:323°45'14.36" e 0.66; até o vértice P1505, de coordenadas N 9214269.18 m e E 296479.74 m; deste, segue confrontando com , com os seguintes azimute plano e distância:325°00'28.73"

Assinado por: **Lucena Filho** Para verificar a validade das assinaturas, acesse <https://joaopessoa.1doc.com.br/verificacao/E130-3F2A-7A96-549F> e informe o código E130-3F2A-7A96-549F



5.50; até o vértice P1506, de coordenadas N 9214273.69 m e E 296476.59 m; deste, segue confrontando com , com os seguintes azimuth plano e distância:325°27'55.41" e 0.24; até o vértice P1507, de coordenadas N 9214273.88 m e E 296476.46 m; deste, segue confrontando com , com os seguintes azimuth plano e distância:325°55'22.10" e 5.36; até o vértice P1508, de coordenadas N 9214278.32 m e E 296473.46 m; deste, segue confrontando com , com os seguintes azimuth plano e distância:319°46'28.35" e 7.88; até o vértice P1509, de coordenadas N 9214284.34 m e E 296468.37 m; deste, segue confrontando com , com os seguintes azimuth plano e distância:321°08'14.18" e 0.71; até o vértice P1510, de coordenadas N 9214284.89 m e E 296467.92 m; deste, segue confrontando com , com os seguintes azimuth plano e distância:324°22'30.00" e 0.98; até o vértice P1511, de coordenadas N 9214285.69 m e E 296467.35 m; deste, segue confrontando com , com os seguintes azimuth plano e distância:327°07'20.31" e 0.46; até o vértice P1512, de coordenadas N 9214286.07 m e E 296467.10 m; deste, segue confrontando com , com os seguintes azimuth plano e distância:327°59'40.62" e 8.63; até o vértice P1513, de coordenadas N 9214293.39 m e E 296462.53 m; deste, segue confrontando com , com os seguintes azimuth plano e distância:326°18'35.76" e 10.77; até o vértice P1514, de coordenadas N 9214302.35 m e E 296456.55 m; deste, segue confrontando com , com os seguintes azimuth plano e distância:328°09'17.88" e 0.97; até o vértice P1515, de coordenadas N 9214303.17 m e E 296456.04 m; deste, segue confrontando com , com os seguintes azimuth plano e distância:331°01'28.26" e 0.54; até o vértice P1516, de coordenadas N 9214303.64 m e E 296455.78 m; deste, segue confrontando com , com os seguintes azimuth plano e distância:332°02'56.51" e 13.01; até o vértice P1517, de coordenadas N 9214315.13 m e E 296449.68 m; deste, segue confrontando com , com os seguintes azimuth plano e distância:332°53'58.26" e 0.45; até o vértice P1518, de coordenadas N 9214315.53 m e E 296449.48 m; deste, segue confrontando com , com os seguintes azimuth plano e distância:334°01'12.08" e 0.14; até o vértice P1519, de coordenadas N 9214315.66 m e E 296449.42 m; deste, segue confrontando com , com os seguintes azimuth plano e distância:334°17'24.17" e 6.42; até o vértice P1520, de coordenadas N 9214321.44 m e E 296446.63 m; deste, segue confrontando com , com os seguintes azimuth plano e distância:329°37'15.15" e 7.27; até o vértice P1521, de coordenadas N 9214327.71 m e E 296442.96 m; deste, segue confrontando com , com os seguintes azimuth plano e distância:329°48'37.58" e 0.10; até o vértice P1522, de coordenadas N 9214327.80 m e E 296442.91 m; deste, segue confrontando com , com os seguintes azimuth plano e distância:331°52'30.00" e 0.98; até o vértice P1523, de coordenadas N 9214328.66 m e E 296442.44 m; deste, segue confrontando com , com os seguintes azimuth plano e distância:334°41'37.58" e 0.49; até o vértice P1524, de coordenadas N 9214329.11 m e E 296442.23 m; deste, segue confrontando com , com os seguintes azimuth plano e distância:335°38'15.17" e 13.36; até o vértice P1525, de coordenadas N 9214341.28 m e E 296436.72 m; deste, segue confrontando com , com os seguintes azimuth plano e distância:333°26'5.82" e 3.51; até o vértice P1526, de coordenadas N 9214344.42 m e E 296435.15 m; deste, segue confrontando com , com os seguintes azimuth plano e distância:330°25'19.78" e 9.09; até o vértice P1527, de coordenadas N 9214352.32 m e E 296430.67 m; deste, segue confrontando com , com os seguintes azimuth plano e distância:326°38'1.08" e 11.02; até o vértice P1528, de coordenadas N 9214361.52 m e E 296424.61 m; deste, segue confrontando com , com os seguintes azimuth plano e distância:327°04'52.39" e 0.23; até o vértice P1529, de coordenadas N 9214361.72 m e E 296424.48 m; deste, segue confrontando com , com os seguintes azimuth plano e distância:327°31'43.71" e 11.54; até o vértice P1530, de coordenadas N 9214371.46 m e E 296418.29 m; deste, segue confrontando com , com os seguintes azimuth plano e distância:322°15'11.50" e 8.50; até o vértice P1531, de coordenadas N 9214378.18 m e E 296413.08 m; deste, segue confrontando com , com os seguintes azimuth plano e distância:322°22'35.75" e 0.06; até o vértice P1532, de coordenadas N 9214378.23 m e E 296413.04 m; deste, segue confrontando com , com os seguintes azimuth plano e distância:324°22'30.00" e 0.98; até o vértice P1533, de coordenadas N 9214379.03 m e E 296412.47 m; deste, segue confrontando com , com os seguintes azimuth plano e distância:327°47'58.80" e 0.81; até o vértice P1534, de coordenadas N 9214379.72 m e E 296412.04 m; deste, segue confrontando com , com os seguintes azimuth plano e distância:329°20'57.60" e 7.36; até o vértice P1535, de coordenadas N 9214386.05 m e E 296408.28 m; deste, segue confrontando com , com os seguintes azimuth plano e distância:329°40'28.80" e 0.17; até o vértice P1536, de coordenadas N 9214386.19 m e E 296408.20 m; deste, segue confrontando com , com os seguintes azimuth plano e distância:331°52'30.00" e 0.98; até o vértice P1537, de coordenadas N 9214387.06 m e E 296407.74 m; deste, segue confrontando com , com os seguintes azimuth plano e distância:335°37'30.00" e 0.98; até o vértice P1538, de coordenadas N 9214387.95 m e E 296407.33 m; deste, segue confrontando com , com os seguintes azimuth plano e distância:339°12'11.71" e 0.89; até o vértice P1539, de coordenadas N 9214388.79 m e E 296407.01 m; deste, segue confrontando com , com os seguintes azimuth plano e distância:340°54'23.43" e 6.45; até o vértice P1540, de coordenadas N 9214394.89 m e E 296404.90 m; deste, segue confrontando com , com os seguintes azimuth plano e distância:341°04'41.72" e 0.09; até o vértice P1541, de coordenadas N 9214394.97 m e E 296404.87 m; deste, segue confrontando com , com os seguintes azimuth plano e distância:342°04'25.09" e 0.43; até o vértice P1542, de coordenadas N 9214395.38 m e E 296404.74 m; deste, segue confrontando com , com os seguintes azimuth plano e distância:342°53'50.18" e 10.57; até o vértice P1543, de coordenadas N 9214405.49 m e E 296401.63 m; deste, segue confrontando com , com os seguintes azimuth plano e distância:326°18'35.76" e 3.73; até o vértice P1544, de coordenadas N 9214408.59 m e E 296399.56 m; deste, segue confrontando com , com os seguintes azimuth plano e distância:327°21'4.37" e 0.55; até o vértice P1545, de coordenadas N 9214409.05 m e E 296399.27 m; deste, segue confrontando com , com os seguintes azimuth plano e distância:328°23'32.99" e 7.02; até o vértice P1546, de coordenadas N 9214415.03 m e E 296395.59 m; deste, segue confrontando com , com os seguintes azimuth plano e distância:327°20'20.71" e 9.38; até o vértice P1547, de coordenadas N 9214422.92 m e E 296390.53 m; deste, segue confrontando com , com os seguintes azimuth plano e distância:317°02'43.47" e 7.94; até o vértice P1548, de coordenadas N 9214428.74 m e E 296385.12 m; deste, segue confrontando com , com os seguintes azimuth plano e distância:317°53'51.74" e 0.45; até o vértice P1549, de coordenadas N 9214429.07 m e E 296384.82 m; deste, segue confrontando com , com os seguintes azimuth plano e distância:320°37'30.00" e 0.98; até o vértice P1550, de coordenadas N 9214429.83 m e E 296384.19 m; deste, segue confrontando com , com os seguintes azimuth plano e distância:324°22'30.00" e 0.98; até o vértice P1551, de coordenadas N 9214430.62 m e E 296383.62 m; deste, segue confrontando com , com os seguintes azimuth plano e distância:328°07'30.00" e 0.98; até o vértice P1552, de coordenadas N 9214431.46 m e E 296383.10 m; deste, segue confrontando com , com os seguintes azimuth plano e distância:331°52'30.00" e 0.98; até o vértice P1553, de coordenadas

Assinado por: **JOÃO PESSOA** Para verificar a validade das assinaturas, acesse <https://joaopessoa.1doc.com.br/verificacao/E130-3F2A-7A96-549F> e informe o código E130-3F2A-7A96-549F

N 9214432.32 m e E 296382.64 m; deste, segue confrontando com , com os seguintes azimuth plano e distância:334°36'54.64" e 0.45; até o vértice P1554, de coordenadas N 9214432.73 m e E 296382.45 m; deste, segue confrontando com , com os seguintes azimuth plano e distância:335°28'49.29" e 14.21; até o vértice P1555, de coordenadas N 9214445.66 m e E 296376.55 m; deste, segue confrontando com , com os seguintes azimuth plano e distância:331°46'57.52" e 10.10; até o vértice P1556, de coordenadas N 9214454.56 m e E 296371.77 m; deste, segue confrontando com , com os seguintes azimuth plano e distância:329°18'1.00" e 8.23; até o vértice P1557, de coordenadas N 9214461.64 m e E 296367.57 m; deste, segue confrontando com , com os seguintes azimuth plano e distância:327°59'40.62" e 15.32; até o vértice P1558, de coordenadas N 9214474.63 m e E 296359.45 m; deste, segue confrontando com , com os seguintes azimuth plano e distância:328°59'50.31" e 0.52; até o vértice P1559, de coordenadas N 9214475.08 m e E 296359.18 m; deste, segue confrontando com , com os seguintes azimuth plano e distância:331°52'30.00" e 0.98; até o vértice P1560, de coordenadas N 9214475.94 m e E 296358.72 m; deste, segue confrontando com , com os seguintes azimuth plano e distância:335°37'30.00" e 0.98; até o vértice P1561, de coordenadas N 9214476.84 m e E 296358.32 m; deste, segue confrontando com , com os seguintes azimuth plano e distância:338°10'9.73" e 0.35; até o vértice P1562, de coordenadas N 9214477.16 m e E 296358.18 m; deste, segue confrontando com , com os seguintes azimuth plano e distância:338°50'19.46" e 14.47; até o vértice P1563, de coordenadas N 9214490.65 m e E 296352.96 m; deste, segue confrontando com , com os seguintes azimuth plano e distância:330°15'18.43" e 10.22; até o vértice P1564, de coordenadas N 9214499.53 m e E 296347.89 m; deste, segue confrontando com , com os seguintes azimuth plano e distância:332°01'18.73" e 0.92; até o vértice P1565, de coordenadas N 9214500.34 m e E 296347.46 m; deste, segue confrontando com , com os seguintes azimuth plano e distância:333°47'19.04" e 16.99; até o vértice P1566, de coordenadas N 9214515.59 m e E 296339.95 m; deste, segue confrontando com , com os seguintes azimuth plano e distância:334°47'51.74" e 0.53; até o vértice P1567, de coordenadas N 9214516.07 m e E 296339.73 m; deste, segue confrontando com , com os seguintes azimuth plano e distância:335°48'24.45" e 17.74; até o vértice P1568, de coordenadas N 9214532.25 m e E 296332.46 m; deste, segue confrontando com , com os seguintes azimuth plano e distância:336°39'12.22" e 0.44; até o vértice P1569, de coordenadas N 9214532.65 m e E 296332.28 m; deste, segue confrontando com , com os seguintes azimuth plano e distância:338°28'19.12" e 0.51; até o vértice P1570, de coordenadas N 9214533.13 m e E 296332.10 m; deste, segue confrontando com , com os seguintes azimuth plano e distância:339°26'38.24" e 24.05; até o vértice P1571, de coordenadas N 9214555.64 m e E 296323.65 m; deste, segue confrontando com , com os seguintes azimuth plano e distância:340°20'49.12" e 0.47; até o vértice P1572, de coordenadas N 9214556.09 m e E 296323.49 m; deste, segue confrontando com , com os seguintes azimuth plano e distância:342°41'43.14" e 0.76; até o vértice P1573, de coordenadas N 9214556.81 m e E 296323.27 m; deste, segue confrontando com , com os seguintes azimuth plano e distância:344°08'26.28" e 18.90; até o vértice P1574, de coordenadas N 9214574.99 m e E 296318.11 m; deste, segue confrontando com , com os seguintes azimuth plano e distância:324°46'56.67" e 2.32; até o vértice P1575, de coordenadas N 9214576.88 m e E 296316.77 m; deste, segue confrontando com , com os seguintes azimuth plano e distância:325°30'58.33" e 0.38; até o vértice P1576, de coordenadas N 9214577.20 m e E 296316.55 m; deste, segue confrontando com , com os seguintes azimuth plano e distância:328°07'30.00" e 0.98; até o vértice P1577, de coordenadas N 9214578.03 m e E 296316.03 m; deste, segue confrontando com , com os seguintes azimuth plano e distância:331°52'30.00" e 0.98; até o vértice P1578, de coordenadas N 9214578.90 m e E 296315.57 m; deste, segue confrontando com , com os seguintes azimuth plano e distância:335°37'30.00" e 0.98; até o vértice P1579, de coordenadas N 9214579.79 m e E 296315.16 m; deste, segue confrontando com , com os seguintes azimuth plano e distância:338°30'23.37" e 0.53; até o vértice P1580, de coordenadas N 9214580.28 m e E 296314.97 m; deste, segue confrontando com , com os seguintes azimuth plano e distância:339°30'46.75" e 22.70; até o vértice P1581, de coordenadas N 9214601.55 m e E 296307.03 m; deste, segue confrontando com , com os seguintes azimuth plano e distância:338°52'31.01" e 21.93; até o vértice P1582, de coordenadas N 9214622.01 m e E 296299.12 m; deste, segue confrontando com , com os seguintes azimuth plano e distância:338°03'41.47" e 18.10; até o vértice P1583, de coordenadas N 9214638.79 m e E 296292.36 m; deste, segue confrontando com , com os seguintes azimuth plano e distância:339°15'44.76" e 0.63; até o vértice P1584, de coordenadas N 9214639.38 m e E 296292.14 m; deste, segue confrontando com , com os seguintes azimuth plano e distância:340°27'48.04" e 22.43; até o vértice P1585, de coordenadas N 9214660.52 m e E 296284.63 m; deste, segue confrontando com , com os seguintes azimuth plano e distância:335°02'13.96" e 14.29; até o vértice P1586, de coordenadas N 9214673.48 m e E 296278.60 m; deste, segue confrontando com , com os seguintes azimuth plano e distância:336°16'6.98" e 0.64; até o vértice P1587, de coordenadas N 9214674.07 m e E 296278.34 m; deste, segue confrontando com , com os seguintes azimuth plano e distância:338°10'9.73" e 0.35; até o vértice P1588, de coordenadas N 9214674.40 m e E 296278.21 m; deste, segue confrontando com , com os seguintes azimuth plano e distância:338°50'19.46" e 15.59; até o vértice P1589, de coordenadas N 9214688.94 m e E 296272.58 m; deste, segue confrontando com , com os seguintes azimuth plano e distância:339°25'40.14" e 0.31; até o vértice P1590, de coordenadas N 9214689.23 m e E 296272.48 m; deste, segue confrontando com , com os seguintes azimuth plano e distância:340°01'0.82" e 16.47; até o vértice P1591, de coordenadas N 9214704.70 m e E 296266.85 m; deste, segue confrontando com , com os seguintes azimuth plano e distância:340°38'0.41" e 0.32; até o vértice P1592, de coordenadas N 9214705.01 m e E 296266.74 m; deste, segue confrontando com , com os seguintes azimuth plano e distância:342°39'8.29" e 0.73; até o vértice P1593, de coordenadas N 9214705.71 m e E 296266.52 m; deste, segue confrontando com , com os seguintes azimuth plano e distância:344°03'16.57" e 20.49; até o vértice P1594, de coordenadas N 9214725.41 m e E 296260.89 m; deste, segue confrontando com , com os seguintes azimuth plano e distância:344°31'38.29" e 0.25; até o vértice P1595, de coordenadas N 9214725.65 m e E 296260.83 m; deste, segue confrontando com , com os seguintes azimuth plano e distância:345°11'22.42" e 0.10; até o vértice P1596, de coordenadas N 9214725.74 m e E 296260.80 m; deste, segue confrontando com , com os seguintes azimuth plano e distância:345°22'44.85" e 15.63; até o vértice P1597, de coordenadas N 9214740.87 m e E 296256.86 m; deste, segue confrontando com , com os seguintes azimuth plano e distância:337°02'10.42" e 12.22; até o vértice P1598, de coordenadas N 9214752.12 m e E 296252.09 m; deste, segue confrontando com , com os seguintes azimuth plano e distância:323°58'21.46" e 4.66; até o vértice P1599, de coordenadas N 9214755.89 m e E 296249.35 m; deste, segue confrontando com , com os seguintes azimuth plano e distância:324°41'24.61" e 0.38; até o vértice P1600, de coordenadas N 9214756.19 m e E 296249.13 m; deste,

Assinado por:  Para verificar a validade das assinaturas, acesse <https://joaopessoa.1doc.com.br/verificacao/E130-3F2A-7A96-549F> e informe o código E130-3F2A-7A96-549F

segue confrontando com , com os seguintes azimuth plano e distância:325°24'27.76" e 8.26; até o vértice P1601, de coordenadas N 9214762.99 m e E 296244.44 m; deste, segue confrontando com , com os seguintes azimuth plano e distância:325°49'43.88" e 0.22; até o vértice P1602, de coordenadas N 9214763.18 m e E 296244.32 m; deste, segue confrontando com , com os seguintes azimuth plano e distância:327°38'35.24" e 0.73; até o vértice P1603, de coordenadas N 9214763.79 m e E 296243.93 m; deste, segue confrontando com , com os seguintes azimuth plano e distância:329°02'10.48" e 15.04; até o vértice P1604, de coordenadas N 9214776.69 m e E 296236.19 m; deste, segue confrontando com , com os seguintes azimuth plano e distância:329°31'5.24" e 0.25; até o vértice P1605, de coordenadas N 9214776.91 m e E 296236.06 m; deste, segue confrontando com , com os seguintes azimuth plano e distância:331°52'30.00" e 0.98; até o vértice P1606, de coordenadas N 9214777.77 m e E 296235.60 m; deste, segue confrontando com , com os seguintes azimuth plano e distância:334°31'25.63" e 0.41; até o vértice P1607, de coordenadas N 9214778.14 m e E 296235.42 m; deste, segue confrontando com , com os seguintes azimuth plano e distância:335°17'51.25" e 12.06; até o vértice P1608, de coordenadas N 9214789.10 m e E 296230.38 m; deste, segue confrontando com , com os seguintes azimuth plano e distância:328°50'26.50" e 8.85; até o vértice P1609, de coordenadas N 9214796.68 m e E 296225.80 m; deste, segue confrontando com , com os seguintes azimuth plano e distância:313°01'30.24" e 5.99; até o vértice P1610, de coordenadas N 9214800.76 m e E 296221.42 m; deste, segue confrontando com , com os seguintes azimuth plano e distância:301°13'6.25" e 7.05; até o vértice P1611, de coordenadas N 9214804.42 m e E 296215.39 m; deste, segue confrontando com , com os seguintes azimuth plano e distância:297°49'26.75" e 9.10; até o vértice P1612, de coordenadas N 9214808.67 m e E 296207.34 m; deste, segue confrontando com , com os seguintes azimuth plano e distância:298°54'43.37" e 0.57; até o vértice P1613, de coordenadas N 9214808.94 m e E 296206.84 m; deste, segue confrontando com , com os seguintes azimuth plano e distância:301°52'30.00" e 0.98; até o vértice P1614, de coordenadas N 9214809.46 m e E 296206.01 m; deste, segue confrontando com , com os seguintes azimuth plano e distância:304°54'46.82" e 0.61; até o vértice P1615, de coordenadas N 9214809.81 m e E 296205.51 m; deste, segue confrontando com , com os seguintes azimuth plano e distância:306°04'33.64" e 20.31; até o vértice P1616, de coordenadas N 9214821.77 m e E 296189.09 m; deste, segue confrontando com , com os seguintes azimuth plano e distância:306°47'16.82" e 0.37; até o vértice P1617, de coordenadas N 9214821.99 m e E 296188.79 m; deste, segue confrontando com , com os seguintes azimuth plano e distância:309°22'30.00" e 0.98; até o vértice P1618, de coordenadas N 9214822.62 m e E 296188.03 m; deste, segue confrontando com , com os seguintes azimuth plano e distância:311°17'56.00" e 0.03; até o vértice P1619, de coordenadas N 9214822.63 m e E 296188.01 m; deste, segue confrontando com , com os seguintes azimuth plano e distância:311°20'52.00" e 5.17; até o vértice P1620, de coordenadas N 9214826.05 m e E 296184.13 m; deste, segue confrontando com , com os seguintes azimuth plano e distância:291°24'46.69" e 10.12; até o vértice P1621, de coordenadas N 9214829.75 m e E 296174.71 m; deste, segue confrontando com , com os seguintes azimuth plano e distância:290°43'32.01" e 17.89; até o vértice P1622, de coordenadas N 9214836.08 m e E 296157.97 m; deste, segue confrontando com , com os seguintes azimuth plano e distância:286°20'9.75" e 11.94; até o vértice P1623, de coordenadas N 9214839.44 m e E 296146.51 m; deste, segue confrontando com , com os seguintes azimuth plano e distância:273°43'53.03" e 9.15; até o vértice P1624, de coordenadas N 9214840.03 m e E 296137.38 m; deste, segue confrontando com , com os seguintes azimuth plano e distância:275°36'56.51" e 0.99; até o vértice P1625, de coordenadas N 9214840.13 m e E 296136.40 m; deste, segue confrontando com , com os seguintes azimuth plano e distância:279°22'30.00" e 0.98; até o vértice P1626, de coordenadas N 9214840.29 m e E 296135.43 m; deste, segue confrontando com , com os seguintes azimuth plano e distância:283°07'30.00" e 0.98; até o vértice P1627, de coordenadas N 9214840.51 m e E 296134.47 m; deste, segue confrontando com , com os seguintes azimuth plano e distância:286°43'2.91" e 0.90; até o vértice P1628, de coordenadas N 9214840.77 m e E 296133.61 m; deste, segue confrontando com , com os seguintes azimuth plano e distância:288°26'5.82" e 5.17; até o vértice P1629, de coordenadas N 9214842.41 m e E 296128.71 m; deste, segue confrontando com , com os seguintes azimuth plano e distância:265°54'51.78" e 6.89; até o vértice P1630, de coordenadas N 9214841.91 m e E 296121.83 m; deste, segue confrontando com , com os seguintes azimuth plano e distância:266°04'55.88" e 0.09; até o vértice P1631, de coordenadas N 9214841.91 m e E 296121.75 m; deste, segue confrontando com , com os seguintes azimuth plano e distância:268°07'30.00" e 0.98; até o vértice P1632, de coordenadas N 9214841.88 m e E 296120.77 m; deste, segue confrontando com , com os seguintes azimuth plano e distância:271°52'30.00" e 0.98; até o vértice P1633, de coordenadas N 9214841.91 m e E 296119.78 m; deste, segue confrontando com , com os seguintes azimuth plano e distância:275°37'30.00" e 0.98; até o vértice P1634, de coordenadas N 9214842.00 m e E 296118.81 m; deste, segue confrontando com , com os seguintes azimuth plano e distância:279°22'30.00" e 0.98; até o vértice P1635, de coordenadas N 9214842.16 m e E 296117.84 m; deste, segue confrontando com , com os seguintes azimuth plano e distância:281°45'26.59" e 0.27; até o vértice P1636, de coordenadas N 9214842.22 m e E 296117.58 m; deste, segue confrontando com , com os seguintes azimuth plano e distância:282°15'53.19" e 4.65; até o vértice P1637, de coordenadas N 9214843.21 m e E 296113.03 m; deste, segue confrontando com , com os seguintes azimuth plano e distância:275°37'50.46" e 15.75; até o vértice P1638, de coordenadas N 9214844.75 m e E 296097.36 m; deste, segue confrontando com , com os seguintes azimuth plano e distância:274°45'49.11" e 6.45; até o vértice P1639, de coordenadas N 9214845.29 m e E 296090.93 m; deste, segue confrontando com , com os seguintes azimuth plano e distância:260°16'20.72" e 2.16; até o vértice P1640, de coordenadas N 9214844.92 m e E 296088.80 m; deste, segue confrontando com , com os seguintes azimuth plano e distância:228°34'34.80" e 1.06; até o vértice P1641, de coordenadas N 9214844.22 m e E 296088.01 m; deste, segue confrontando com , com os seguintes azimuth plano e distância:228°39'47.40" e 0.05; até o vértice P1642, de coordenadas N 9214844.19 m e E 296087.97 m; deste, segue confrontando com , com os seguintes azimuth plano e distância:230°37'30.00" e 0.98; até o vértice P1643, de coordenadas N 9214843.57 m e E 296087.21 m; deste, segue confrontando com , com os seguintes azimuth plano e distância:234°22'30.00" e 0.98; até o vértice P1644, de coordenadas N 9214843.00 m e E 296086.42 m; deste, segue confrontando com , com os seguintes azimuth plano e distância:238°07'30.00" e 0.98; até o vértice P1645, de coordenadas N 9214842.48 m e E 296085.58 m; deste, segue confrontando com , com os seguintes azimuth plano e distância:241°52'30.00" e 0.98; até o vértice P1646, de coordenadas N 9214842.02 m e E 296084.72 m; deste, segue confrontando com , com os seguintes azimuth plano e distância:245°37'30.00" e 0.98; até o vértice P1647, de coordenadas N 9214841.61 m e E 296083.82 m; deste, segue confrontando com , com os seguintes

Assinado por: SÍCERO DE LUCENA FILHO. Para verificar a validade das assinaturas, acesse <https://joaopessoa.1doc.com.br/verificacao/E130-3F2A-7A96-549F> e informe o código E130-3F2A-7A96-549F



azimute plano e distância:249°22'30.00" e 0.98; até o vértice P1648, de coordenadas N 9214841.27 m e E 296082.90 m; deste, segue confrontando com , com os seguintes azimute plano e distância:253°07'30.00" e 0.98; até o vértice P1649, de coordenadas N 9214840.98 m e E 296081.96 m; deste, segue confrontando com , com os seguintes azimute plano e distância:256°52'30.00" e 0.98; até o vértice P1650, de coordenadas N 9214840.76 m e E 296081.01 m; deste, segue confrontando com , com os seguintes azimute plano e distância:259°07'45.34" e 0.20; até o vértice P1651, de coordenadas N 9214840.72 m e E 296080.81 m; deste, segue confrontando com , com os seguintes azimute plano e distância:259°30'30.68" e 6.44; até o vértice P1652, de coordenadas N 9214839.55 m e E 296074.48 m; deste, segue confrontando com , com os seguintes azimute plano e distância:260°41'21.16" e 0.62; até o vértice P1653, de coordenadas N 9214839.45 m e E 296073.87 m; deste, segue confrontando com , com os seguintes azimute plano e distância:261°52'11.63" e 7.92; até o vértice P1654, de coordenadas N 9214838.33 m e E 296066.03 m; deste, segue confrontando com , com os seguintes azimute plano e distância:259°02'45.37" e 7.04; até o vértice P1655, de coordenadas N 9214836.99 m e E 296059.12 m; deste, segue confrontando com , com os seguintes azimute plano e distância:260°46'22.69" e 0.90; até o vértice P1656, de coordenadas N 9214836.85 m e E 296058.23 m; deste, segue confrontando com , com os seguintes azimute plano e distância:264°22'30.00" e 0.98; até o vértice P1657, de coordenadas N 9214836.75 m e E 296057.25 m; deste, segue confrontando com , com os seguintes azimute plano e distância:268°07'30.00" e 0.98; até o vértice P1658, de coordenadas N 9214836.72 m e E 296056.27 m; deste, segue confrontando com , com os seguintes azimute plano e distância:271°52'30.00" e 0.98; até o vértice P1659, de coordenadas N 9214836.75 m e E 296055.29 m; deste, segue confrontando com , com os seguintes azimute plano e distância:275°37'30.00" e 0.98; até o vértice P1660, de coordenadas N 9214836.85 m e E 296054.31 m; deste, segue confrontando com , com os seguintes azimute plano e distância:279°22'30.00" e 0.98; até o vértice P1661, de coordenadas N 9214837.00 m e E 296053.35 m; deste, segue confrontando com , com os seguintes azimute plano e distância:281°16'47.85" e 0.02; até o vértice P1662, de coordenadas N 9214837.01 m e E 296053.33 m; deste, segue confrontando com , com os seguintes azimute plano e distância:281°18'35.76" e 2.32; até o vértice P1663, de coordenadas N 9214837.46 m e E 296051.06 m; deste, segue confrontando com , com os seguintes azimute plano e distância:245°25'58.18" e 4.17; até o vértice P1664, de coordenadas N 9214835.73 m e E 296047.26 m; deste, segue confrontando com , com os seguintes azimute plano e distância:246°27'59.09" e 0.54; até o vértice P1665, de coordenadas N 9214835.51 m e E 296046.77 m; deste, segue confrontando com , com os seguintes azimute plano e distância:249°14'13.91" e 0.91; até o vértice P1666, de coordenadas N 9214835.19 m e E 296045.92 m; deste, segue confrontando com , com os seguintes azimute plano e distância:250°58'27.82" e 5.51; até o vértice P1667, de coordenadas N 9214833.40 m e E 296040.71 m; deste, segue confrontando com , com os seguintes azimute plano e distância:238°08'2.48" e 8.53; até o vértice P1668, de coordenadas N 9214828.89 m e E 296033.47 m; deste, segue confrontando com , com os seguintes azimute plano e distância:239°04'1.24" e 0.49; até o vértice P1669, de coordenadas N 9214828.64 m e E 296033.05 m; deste, segue confrontando com , com os seguintes azimute plano e distância:241°52'30.00" e 0.98; até o vértice P1670, de coordenadas N 9214828.18 m e E 296032.18 m; deste, segue confrontando com , com os seguintes azimute plano e distância:245°37'30.00" e 0.98; até o vértice P1671, de coordenadas N 9214827.77 m e E 296031.29 m; deste, segue confrontando com , com os seguintes azimute plano e distância:249°22'30.00" e 0.98; até o vértice P1672, de coordenadas N 9214827.43 m e E 296030.37 m; deste, segue confrontando com , com os seguintes azimute plano e distância:251°24'27.10" e 0.08; até o vértice P1673, de coordenadas N 9214827.40 m e E 296030.29 m; deste, segue confrontando com , com os seguintes azimute plano e distância:251°33'54.18" e 5.49; até o vértice P1674, de coordenadas N 9214825.67 m e E 296025.08 m; deste, segue confrontando com , com os seguintes azimute plano e distância:248°11'54.93" e 13.45; até o vértice P1675, de coordenadas N 9214820.67 m e E 296012.59 m; deste, segue confrontando com , com os seguintes azimute plano e distância:249°43'27.46" e 0.80; até o vértice P1676, de coordenadas N 9214820.39 m e E 296011.84 m; deste, segue confrontando com , com os seguintes azimute plano e distância:252°49'42.94" e 0.83; até o vértice P1677, de coordenadas N 9214820.15 m e E 296011.05 m; deste, segue confrontando com , com os seguintes azimute plano e distância:254°24'25.88" e 10.47; até o vértice P1678, de coordenadas N 9214817.33 m e E 296000.97 m; deste, segue confrontando com , com os seguintes azimute plano e distância:254°42'12.94" e 0.16; até o vértice P1679, de coordenadas N 9214817.29 m e E 296000.82 m; deste, segue confrontando com , com os seguintes azimute plano e distância:256°16'48.79" e 0.67; até o vértice P1680, de coordenadas N 9214817.13 m e E 296000.17 m; deste, segue confrontando com , com os seguintes azimute plano e distância:257°33'37.58" e 16.33; até o vértice P1681, de coordenadas N 9214813.62 m e E 295984.22 m; deste, segue confrontando com , com os seguintes azimute plano e distância:257°56'7.93" e 0.20; até o vértice P1682, de coordenadas N 9214813.58 m e E 295984.03 m; deste, segue confrontando com , com os seguintes azimute plano e distância:258°18'38.27" e 13.89; até o vértice P1683, de coordenadas N 9214810.76 m e E 295970.43 m; deste, segue confrontando com , com os seguintes azimute plano e distância:258°31'49.13" e 0.12; até o vértice P1684, de coordenadas N 9214810.74 m e E 295970.31 m; deste, segue confrontando com , com os seguintes azimute plano e distância:259°20'4.92" e 0.31; até o vértice P1685, de coordenadas N 9214810.68 m e E 295970.01 m; deste, segue confrontando com , com os seguintes azimute plano e distância:259°55'9.85" e 9.42; até o vértice P1686, de coordenadas N 9214809.03 m e E 295960.74 m; deste, segue confrontando com , com os seguintes azimute plano e distância:250°01'0.82" e 9.68; até o vértice P1687, de coordenadas N 9214805.72 m e E 295951.64 m; deste, segue confrontando com , com os seguintes azimute plano e distância:250°38'0.41" e 0.32; até o vértice P1688, de coordenadas N 9214805.62 m e E 295951.34 m; deste, segue confrontando com , com os seguintes azimute plano e distância:253°07'30.00" e 0.98; até o vértice P1689, de coordenadas N 9214805.33 m e E 295950.40 m; deste, segue confrontando com , com os seguintes azimute plano e distância:256°52'30.00" e 0.98; até o vértice P1690, de coordenadas N 9214805.11 m e E 295949.44 m; deste, segue confrontando com , com os seguintes azimute plano e distância:260°37'30.00" e 0.98; até o vértice P1691, de coordenadas N 9214804.95 m e E 295948.47 m; deste, segue confrontando com , com os seguintes azimute plano e distância:264°22'30.00" e 0.98; até o vértice P1692, de coordenadas N 9214804.85 m e E 295947.50 m; deste, segue confrontando com , com os seguintes azimute plano e distância:266°49'25.39" e 0.30; até o vértice P1693, de coordenadas N 9214804.84 m e E 295947.20 m; deste, segue confrontando com , com os seguintes azimute plano e distância:267°23'50.78" e 5.16; até o vértice P1694, de coordenadas N 9214804.60 m e E 295942.04 m; deste, segue confrontando com , com os seguintes azimute plano e distância:357°23'50.80"

Assinado por: **Lucena Filho**
 Para verificar a validade das assinaturas, acesse <https://joaopessoa.1doc.com.br/verificacao/E130-3F2A-7A96-549F> e informe o código E130-3F2A-7A96-549F

7.29; até o vértice P1695, de coordenadas N 9214811.89 m e E 295941.71 m; deste, segue confrontando com , com os seguintes azimuth plano e distância:357°23'50.82" e 7.71; até o vértice P1696, de coordenadas N 9214819.59 m e E 295941.36 m; deste, segue confrontando com , com os seguintes azimuth plano e distância:87°23'50.78" e 5.16; até o vértice P1697, de coordenadas N 9214819.82 m e E 295946.52 m; deste, segue confrontando com , com os seguintes azimuth plano e distância:70°01'0.82" e 10.98; até o vértice P1698, de coordenadas N 9214823.57 m e E 295956.83 m; deste, segue confrontando com , com os seguintes azimuth plano e distância:79°55'9.85" e 10.72; até o vértice P1699, de coordenadas N 9214825.45 m e E 295967.39 m; deste, segue confrontando com , com os seguintes azimuth plano e distância:78°18'38.27" e 13.89; até o vértice P1700, de coordenadas N 9214828.26 m e E 295980.99 m; deste, segue confrontando com , com os seguintes azimuth plano e distância:77°33'37.58" e 16.33; até o vértice P1701, de coordenadas N 9214831.78 m e E 295996.94 m; deste, segue confrontando com , com os seguintes azimuth plano e distância:74°24'25.88" e 10.47; até o vértice P1702, de coordenadas N 9214834.60 m e E 296007.02 m; deste, segue confrontando com , com os seguintes azimuth plano e distância:68°11'54.93" e 13.89; até o vértice P1703, de coordenadas N 9214839.76 m e E 296019.92 m; deste, segue confrontando com , com os seguintes azimuth plano e distância:71°33'54.18" e 5.93; até o vértice P1704, de coordenadas N 9214841.63 m e E 296025.55 m; deste, segue confrontando com , com os seguintes azimuth plano e distância:58°08'2.48" e 10.22; até o vértice P1705, de coordenadas N 9214847.03 m e E 296034.23 m; deste, segue confrontando com , com os seguintes azimuth plano e distância:70°58'27.82" e 7.19; até o vértice P1706, de coordenadas N 9214849.37 m e E 296041.03 m; deste, segue confrontando com , com os seguintes azimuth plano e distância:65°25'58.18" e 9.03; até o vértice P1707, de coordenadas N 9214853.12 m e E 296049.24 m; deste, segue confrontando com , com os seguintes azimuth plano e distância:101°18'35.76" e 7.18; até o vértice P1708, de coordenadas N 9214851.72 m e E 296056.27 m; deste, segue confrontando com , com os seguintes azimuth plano e distância:79°02'45.37" e 7.41; até o vértice P1709, de coordenadas N 9214853.12 m e E 296063.54 m; deste, segue confrontando com , com os seguintes azimuth plano e distância:81°52'11.63" e 8.29; até o vértice P1710, de coordenadas N 9214854.30 m e E 296071.75 m; deste, segue confrontando com , com os seguintes azimuth plano e distância:79°30'30.68" e 6.44; até o vértice P1711, de coordenadas N 9214855.47 m e E 296078.08 m; deste, segue confrontando com , com os seguintes azimuth plano e distância:48°34'34.80" e 5.32; até o vértice P1712, de coordenadas N 9214858.99 m e E 296082.07 m; deste, segue confrontando com , com os seguintes azimuth plano e distância:80°16'20.72" e 8.33; até o vértice P0, de coordenadas N 9214860.39 m e E 296090.28 m, encerrando esta descrição. Todas as coordenadas aqui descritas estão georreferenciadas ao Sistema Geodésico Brasileiro, a partir da estação RBMC de de coordenadas E m e N m, localizada em , e encontram-se representadas no sistema UTM, referenciadas ao Meridiano Central -33, tendo como DATUM SIRGAS 2000 .Todos os azimuths e distâncias, área e perímetro foram calculados no plano de projeção UTM.

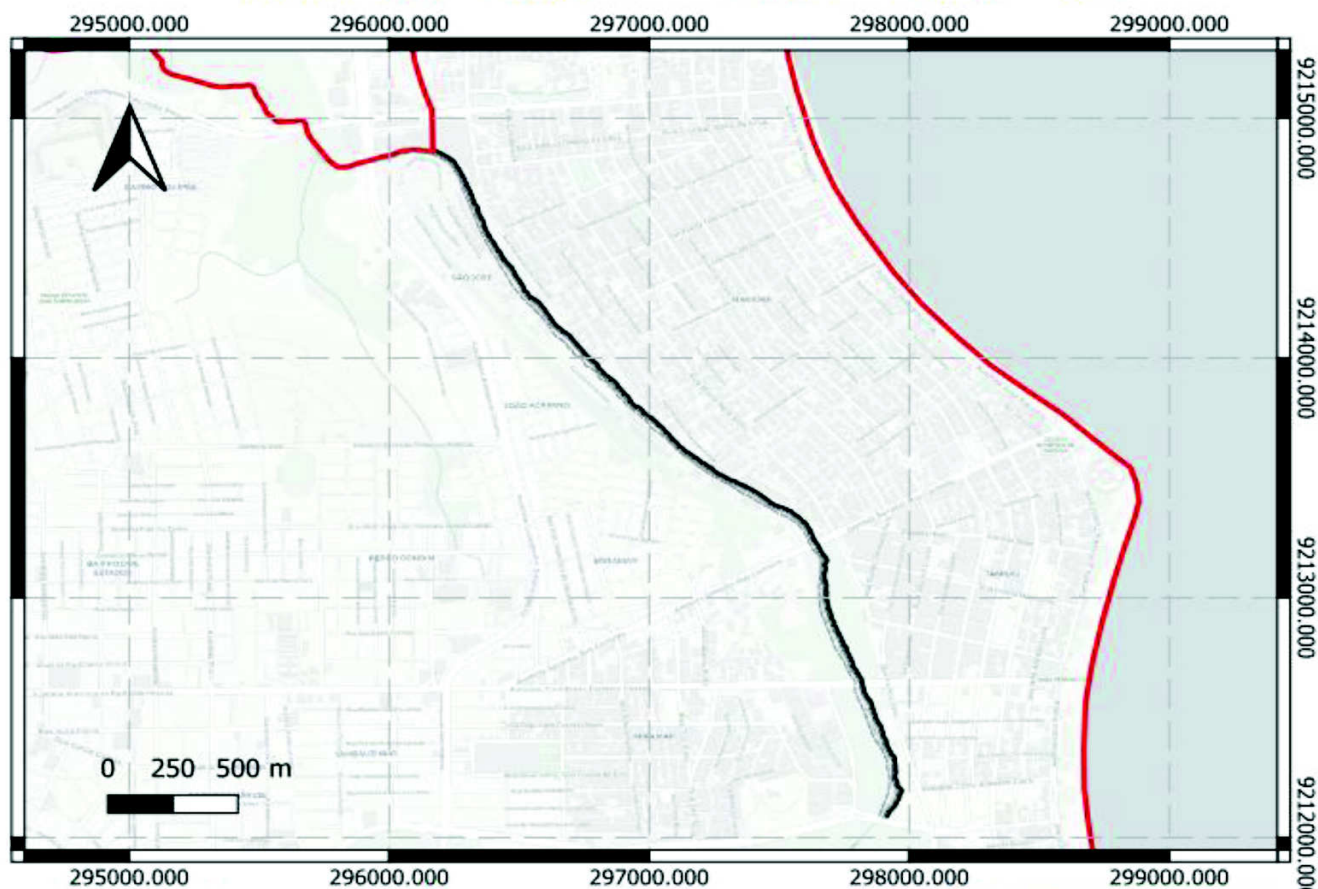
João Pessoa, 29/04/2024

CREA:
Código Credenciamento: ART:

Assinado por 1 pessoa: CÍCERO DE LUCENA FILHO
Para verificar a validade das assinaturas, acesse <https://joaopessoa.1doc.com.br/verificacao/E130-3F2A-7A96-549F> e informe o código E130-3F2A-7A96-549F



LOCALIZAÇÃO ÁREA DE PRESERVAÇÃO PERMANENTE RIO JAGUARIBE JOÃO PESSOA - FAIXA DE 15 METROS MARGEM LESTE



Imóvel: Área de Preservação Permanente (APP) faixa de 15 metros perpendicular a margem Leste ao rio Jaguaribe trecho entre a Avenida Ministro José Américo de Almeida a Rodovia BR-230 sentido Leste.

Comarca: João Pessoa UF: PB

Município: João Pessoa / PB

Área (m²): 53.148,55

Perímetro: 7.114,52

Sistema Geodésico Brasileiro e encontram-se representadas no sistema UTM, referenciadas ao Meridiano Central -33, tendo como DATUM SIRGAS 2000. Todos os azimutes e distâncias, área e perímetro foram calculados no plano de projeção UTM.

MEMORIAL DESCRITIVO

Imóvel: Área de Preservação Permanente do Rio Jaguaribe – Margem Leste

Comarca: João Pessoa

Proprietário: Município de João Pessoa

UF: PB Município: João Pessoa

Área (m²): 56686.38 Perímetro: 7586.74

Inicia-se a descrição deste perímetro no vértice P0, de coordenadas N 9214882.66 m e E 296114.20 m, Datum SIRGAS 2000 com Meridiano Central -33, localizado a Rio Jaguaribe, Código INCRA ; deste, segue confrontando com , com os seguintes azimuth plano e distância:90°38'11.45" e 0.33; até o vértice P1, de coordenadas N 9214882.66 m e E 296114.53 m; deste, segue confrontando com , com os seguintes azimuth plano e distância:91°16'22.91" e 10.56; até o vértice P2, de coordenadas N 9214882.43 m e E 296125.09 m; deste, segue confrontando com , com os seguintes azimuth plano e distância:92°30'41.46" e 0.65; até o vértice P3, de coordenadas N 9214882.40 m e E 296125.73 m; deste, segue confrontando com , com os seguintes azimuth plano e distância:95°37'30.00" e 0.98; até o vértice P4, de coordenadas N 9214882.30 m e E 296126.71 m; deste, segue confrontando com , com os seguintes azimuth plano e distância:99°22'30.00" e 0.98; até o vértice P5, de coordenadas N 9214882.14 m e E 296127.68 m; deste, segue confrontando com , com os seguintes azimuth plano e distância:101°57'54.69" e 0.37; até o vértice P6, de coordenadas N 9214882.06 m e E 296128.04 m; deste, segue confrontando com , com os seguintes azimuth plano e distância:102°40'49.38" e 9.62; até o vértice P7, de coordenadas N 9214879.95 m e E 296137.43 m; deste, segue confrontando com , com os seguintes azimuth plano e distância:103°50'24.69" e 0.61; até o vértice P8, de coordenadas N 9214879.81 m e E 296138.02 m; deste, segue confrontando com , com os seguintes azimuth plano e distância:106°52'30.00" e 0.98; até o vértice P9, de coordenadas N 9214879.52 m e E 296138.95 m; deste, segue confrontando com , com os seguintes azimuth plano e distância:109°08'35.98" e 0.21; até o vértice P10, de coordenadas N 9214879.46 m e E 296139.15 m; deste, segue confrontando com , com os seguintes azimuth plano e distância:109°32'11.96" e 7.71; até o vértice P11, de coordenadas N 9214876.88 m e E 296146.42 m; deste, segue confrontando com , com os seguintes azimuth plano e distância:109°48'57.39" e 0.15; até o vértice P12, de coordenadas N 9214876.83 m e E 296146.56 m; deste, segue confrontando com , com os seguintes azimuth plano e distância:110°05'42.83" e 8.45; até o vértice P13, de coordenadas N 9214873.92 m e E 296154.49 m; deste, segue confrontando com , com os seguintes azimuth plano e distância:96°27'31.74" e 10.72; até o vértice P14, de coordenadas N 9214872.72 m e E 296165.14 m; deste, segue confrontando com , com os seguintes azimuth plano e distância:96°58'45.87" e 0.27; até o vértice P15, de coordenadas N 9214872.69 m e E 296165.41 m; deste, segue confrontando com , com os seguintes azimuth plano e distância:99°22'30.00" e 0.98; até o vértice P16, de coordenadas N 9214872.53 m e E 296166.37 m; deste, segue confrontando com , com os seguintes azimuth plano e distância:101°59'13.84" e 0.39; até o vértice P17, de coordenadas N 9214872.45 m e E 296166.75 m; deste, segue confrontando com , com os seguintes azimuth plano e distância:102°43'27.68" e 7.45; até o vértice P18, de coordenadas N 9214870.80 m e E 296174.02 m; deste, segue confrontando com , com os seguintes azimuth plano e distância:103°51'43.84" e 0.60; até o vértice P19, de coordenadas N 9214870.66 m e E 296174.60 m; deste, segue confrontando com , com os seguintes azimuth plano e distância:106°52'30.00" e 0.98; até o vértice P20, de coordenadas N 9214870.38 m e E 296175.54 m; deste, segue confrontando com , com os seguintes azimuth plano e distância:110°37'30.00" e 0.98; até o vértice P21, de coordenadas N 9214870.03 m e E 296176.46 m; deste, segue confrontando com , com os seguintes azimuth plano e distância:113°51'2.02" e 0.71; até o vértice P22, de coordenadas N 9214869.74 m e E 296177.11 m; deste, segue confrontando com , com os seguintes azimuth plano e distância:115°12'4.05" e 8.55; até o vértice P23, de coordenadas N 9214866.10 m e E 296184.84 m; deste, segue confrontando com , com os seguintes azimuth plano e distância:113°11'54.93" e 6.34; até o vértice P24, de coordenadas N 9214863.61 m e E 296190.67 m; deste, segue confrontando com , com os seguintes azimuth plano e distância:109°01'32.18" e 6.65; até o vértice P25, de coordenadas N 9214861.44 m e E 296196.95 m; deste, segue confrontando com , com os seguintes azimuth plano e distância:110°45'46.09" e 0.91; até o vértice P26, de coordenadas N 9214861.12 m e E 296197.80 m; deste, segue confrontando com , com os seguintes azimuth plano e distância:114°22'30.00" e 0.98; até o vértice P27, de coordenadas N 9214860.71 m e E 296198.69 m; deste, segue confrontando com , com os seguintes azimuth plano e distância:118°07'30.00" e 0.98; até o vértice P28, de coordenadas N 9214860.25 m e E 296199.56 m; deste, segue confrontando com , com os seguintes azimuth plano e distância:121°52'30.00" e 0.98; até o vértice P29, de coordenadas N 9214859.73 m e E 296200.39 m; deste, segue confrontando com , com os seguintes azimuth plano e distância:124°01'6.37" e 0.14; até o vértice P30, de coordenadas N 9214859.65 m e E 296200.51 m; deste, segue confrontando com , com os seguintes azimuth plano e distância:124°17'12.76" e 6.24; até o vértice P31, de coordenadas N 9214856.14 m e E 296205.67 m; deste, segue confrontando com , com os seguintes azimuth plano e distância:125°09'25.65" e 0.46; até o vértice P32, de coordenadas N 9214855.87 m e E 296206.04 m; deste, segue confrontando com , com os seguintes azimuth plano e distância:126°01'38.54" e 5.42; até o vértice P33, de coordenadas N 9214852.68 m e E 296210.43 m; deste, segue confrontando com , com os seguintes azimuth plano e distância:118°44'23.26" e 7.34; até o vértice P34, de coordenadas N 9214849.16 m e E 296216.86 m; deste, segue confrontando com , com os seguintes azimuth plano e distância:119°22'11.63" e 0.33; até o vértice P35, de coordenadas N 9214848.99 m e E 296217.15 m; deste, segue confrontando com , com os seguintes azimuth plano e distância:120°44'18.31" e 0.39; até o vértice P36, de coordenadas N 9214848.80 m e E 296217.48 m; deste, segue confrontando com , com os seguintes azimuth plano e distância:121°28'36.62" e 13.47; até o vértice P37, de coordenadas N 9214841.76 m e E 296228.97 m; deste, segue confrontando com , com os seguintes azimuth plano e distância:122°36'48.31" e 0.60; até o vértice P38, de coordenadas N 9214841.44 m e E 296229.47 m; deste, segue confrontando com , com os seguintes azimuth plano e distância:125°37'30.00" e 0.98; até o vértice P39, de coordenadas N 9214840.87 m e E 296230.27 m; deste, segue confrontando com , com os seguintes

Assinado por:  Para verificar a validade das assinaturas, acesse <https://joaopessoa.1doc.com.br/verificacao/E130-3F2A-7A96-549F> e informe o código E130-3F2A-7A96-549F



azimute plano e distância:129°22'30.00" e 0.98; até o vértice P40, de coordenadas N 9214840.25 m e E 296231.03 m; deste, segue confrontando com , com os seguintes azimute plano e distância:133°07'30.00" e 0.98; até o vértice P41, de coordenadas N 9214839.57 m e E 296231.75 m; deste, segue confrontando com , com os seguintes azimute plano e distância:136°52'30.00" e 0.98; até o vértice P42, de coordenadas N 9214838.86 m e E 296232.42 m; deste, segue confrontando com , com os seguintes azimute plano e distância:138°46'55.31" e 0.02; até o vértice P43, de coordenadas N 9214838.85 m e E 296232.43 m; deste, segue confrontando com , com os seguintes azimute plano e distância:138°48'50.67" e 4.45; até o vértice P44, de coordenadas N 9214835.49 m e E 296235.36 m; deste, segue confrontando com , com os seguintes azimute plano e distância:116°00'12.05" e 7.67; até o vértice P45, de coordenadas N 9214832.13 m e E 296242.26 m; deste, segue confrontando com , com os seguintes azimute plano e distância:116°07'36.02" e 0.06; até o vértice P46, de coordenadas N 9214832.10 m e E 296242.32 m; deste, segue confrontando com , com os seguintes azimute plano e distância:118°07'30.00" e 0.98; até o vértice P47, de coordenadas N 9214831.64 m e E 296243.18 m; deste, segue confrontando com , com os seguintes azimute plano e distância:121°52'30.00" e 0.98; até o vértice P48, de coordenadas N 9214831.12 m e E 296244.01 m; deste, segue confrontando com , com os seguintes azimute plano e distância:125°37'30.00" e 0.98; até o vértice P49, de coordenadas N 9214830.55 m e E 296244.81 m; deste, segue confrontando com , com os seguintes azimute plano e distância:129°22'30.00" e 0.98; até o vértice P50, de coordenadas N 9214829.93 m e E 296245.57 m; deste, segue confrontando com , com os seguintes azimute plano e distância:133°07'30.00" e 0.98; até o vértice P51, de coordenadas N 9214829.26 m e E 296246.29 m; deste, segue confrontando com , com os seguintes azimute plano e distância:135°55'25.70" e 0.48; até o vértice P52, de coordenadas N 9214828.91 m e E 296246.62 m; deste, segue confrontando com , com os seguintes azimute plano e distância:136°50'51.40" e 4.90; até o vértice P53, de coordenadas N 9214825.33 m e E 296249.98 m; deste, segue confrontando com , com os seguintes azimute plano e distância:135°00'0.00" e 6.06; até o vértice P54, de coordenadas N 9214821.05 m e E 296254.26 m; deste, segue confrontando com , com os seguintes azimute plano e distância:136°52'30.00" e 0.98; até o vértice P55, de coordenadas N 9214820.33 m e E 296254.93 m; deste, segue confrontando com , com os seguintes azimute plano e distância:140°37'30.00" e 0.98; até o vértice P56, de coordenadas N 9214819.57 m e E 296255.56 m; deste, segue confrontando com , com os seguintes azimute plano e distância:144°22'30.00" e 0.98; até o vértice P57, de coordenadas N 9214818.77 m e E 296256.13 m; deste, segue confrontando com , com os seguintes azimute plano e distância:148°07'30.00" e 0.98; até o vértice P58, de coordenadas N 9214817.94 m e E 296256.65 m; deste, segue confrontando com , com os seguintes azimute plano e distância:150°15'43.40" e 0.14; até o vértice P59, de coordenadas N 9214817.82 m e E 296256.71 m; deste, segue confrontando com , com os seguintes azimute plano e distância:150°31'26.80" e 6.20; até o vértice P60, de coordenadas N 9214812.43 m e E 296259.76 m; deste, segue confrontando com , com os seguintes azimute plano e distância:152°08'13.40" e 0.84; até o vértice P61, de coordenadas N 9214811.68 m e E 296260.16 m; deste, segue confrontando com , com os seguintes azimute plano e distância:154°45'40.06" e 0.53; até o vértice P62, de coordenadas N 9214811.20 m e E 296260.38 m; deste, segue confrontando com , com os seguintes azimute plano e distância:155°46'20.12" e 4.70; até o vértice P63, de coordenadas N 9214806.92 m e E 296262.31 m; deste, segue confrontando com , com os seguintes azimute plano e distância:152°21'14.49" e 5.11; até o vértice P64, de coordenadas N 9214802.39 m e E 296264.68 m; deste, segue confrontando com , com os seguintes azimute plano e distância:153°03'7.24" e 0.37; até o vértice P65, de coordenadas N 9214802.07 m e E 296264.85 m; deste, segue confrontando com , com os seguintes azimute plano e distância:154°29'14.75" e 0.39; até o vértice P66, de coordenadas N 9214801.72 m e E 296265.01 m; deste, segue confrontando com , com os seguintes azimute plano e distância:155°13'29.49" e 2.19; até o vértice P67, de coordenadas N 9214799.73 m e E 296265.93 m; deste, segue confrontando com , com os seguintes azimute plano e distância:146°18'35.76" e 4.20; até o vértice P68, de coordenadas N 9214796.23 m e E 296268.26 m; deste, segue confrontando com , com os seguintes azimute plano e distância:142°07'30.06" e 4.80; até o vértice P69, de coordenadas N 9214792.45 m e E 296271.21 m; deste, segue confrontando com , com os seguintes azimute plano e distância:142°18'45.03" e 0.10; até o vértice P70, de coordenadas N 9214792.37 m e E 296271.27 m; deste, segue confrontando com , com os seguintes azimute plano e distância:144°22'30.00" e 0.98; até o vértice P71, de coordenadas N 9214791.57 m e E 296271.84 m; deste, segue confrontando com , com os seguintes azimute plano e distância:146°16'47.90" e 0.02; até o vértice P72, de coordenadas N 9214791.56 m e E 296271.85 m; deste, segue confrontando com , com os seguintes azimute plano e distância:146°18'35.76" e 5.07; até o vértice P73, de coordenadas N 9214787.34 m e E 296274.66 m; deste, segue confrontando com , com os seguintes azimute plano e distância:148°09'17.88" e 0.97; até o vértice P74, de coordenadas N 9214786.51 m e E 296275.17 m; deste, segue confrontando com , com os seguintes azimute plano e distância:151°52'30.00" e 0.98; até o vértice P75, de coordenadas N 9214785.65 m e E 296275.64 m; deste, segue confrontando com , com os seguintes azimute plano e distância:155°37'30.00" e 0.98; até o vértice P76, de coordenadas N 9214784.76 m e E 296276.04 m; deste, segue confrontando com , com os seguintes azimute plano e distância:158°01'34.07" e 0.28; até o vértice P77, de coordenadas N 9214784.50 m e E 296276.14 m; deste, segue confrontando com , com os seguintes azimute plano e distância:158°33'8.15" e 5.70; até o vértice P78, de coordenadas N 9214779.15 m e E 296278.24 m; deste, segue confrontando com , com os seguintes azimute plano e distância:148°34'13.56" e 3.64; até o vértice P79, de coordenadas N 9214776.05 m e E 296280.14 m; deste, segue confrontando com , com os seguintes azimute plano e distância:149°17'6.78" e 0.37; até o vértice P80, de coordenadas N 9214775.73 m e E 296280.33 m; deste, segue confrontando com , com os seguintes azimute plano e distância:150°12'39.89" e 0.11; até o vértice P81, de coordenadas N 9214775.63 m e E 296280.39 m; deste, segue confrontando com , com os seguintes azimute plano e distância:150°25'19.78" e 9.98; até o vértice P82, de coordenadas N 9214766.95 m e E 296285.31 m; deste, segue confrontando com , com os seguintes azimute plano e distância:152°05'9.89" e 0.87; até o vértice P83, de coordenadas N 9214766.18 m e E 296285.72 m; deste, segue confrontando com , com os seguintes azimute plano e distância:154°43'21.81" e 0.51; até o vértice P84, de coordenadas N 9214765.72 m e E 296285.94 m; deste, segue confrontando com , com os seguintes azimute plano e distância:155°41'43.62" e 7.96; até o vértice P85, de coordenadas N 9214758.47 m e E 296289.21 m; deste, segue confrontando com , com os seguintes azimute plano e distância:155°33'21.76" e 5.53; até o vértice P86, de coordenadas N 9214753.43 m e E 296291.50 m; deste, segue confrontando com , com os seguintes azimute plano e distância:154°39'13.77"

Assinado por: **JOÃO PESSOA** Para verificar a validade das assinaturas, acesse <https://joaopessoa.1doc.com.br/verificacao/E130-3F2A-7A96-549F> e informe o código E130-3F2A-7A96-549F



4.81; até o vértice P87, de coordenadas N 9214749.09 m e E 296293.56 m; deste, segue confrontando com , com os seguintes azimuth plano e distância:156°04'36.88" e 0.75; até o vértice P88, de coordenadas N 9214748.40 m e E 296293.86 m; deste, segue confrontando com , com os seguintes azimuth plano e distância:159°12'11.71" e 0.89; até o vértice P89, de coordenadas N 9214747.57 m e E 296294.18 m; deste, segue confrontando com , com os seguintes azimuth plano e distância:160°54'23.43" e 5.59; até o vértice P90, de coordenadas N 9214742.28 m e E 296296.01 m; deste, segue confrontando com , com os seguintes azimuth plano e distância:154°21'32.38" e 5.52; até o vértice P91, de coordenadas N 9214737.30 m e E 296298.40 m; deste, segue confrontando com , com os seguintes azimuth plano e distância:153°26'5.82" e 5.12; até o vértice P92, de coordenadas N 9214732.72 m e E 296300.69 m; deste, segue confrontando com , com os seguintes azimuth plano e distância:153°35'32.91" e 0.08; até o vértice P93, de coordenadas N 9214732.65 m e E 296300.73 m; deste, segue confrontando com , com os seguintes azimuth plano e distância:154°21'59.59" e 0.32; até o vértice P94, de coordenadas N 9214732.36 m e E 296300.87 m; deste, segue confrontando com , com os seguintes azimuth plano e distância:154°58'59.18" e 3.88; até o vértice P95, de coordenadas N 9214728.84 m e E 296302.51 m; deste, segue confrontando com , com os seguintes azimuth plano e distância:156°14'29.59" e 0.66; até o vértice P96, de coordenadas N 9214728.24 m e E 296302.78 m; deste, segue confrontando com , com os seguintes azimuth plano e distância:159°22'30.00" e 0.98; até o vértice P97, de coordenadas N 9214727.32 m e E 296303.12 m; deste, segue confrontando com , com os seguintes azimuth plano e distância:163°07'30.00" e 0.98; até o vértice P98, de coordenadas N 9214726.38 m e E 296303.41 m; deste, segue confrontando com , com os seguintes azimuth plano e distância:165°45'7.68" e 0.39; até o vértice P99, de coordenadas N 9214726.00 m e E 296303.50 m; deste, segue confrontando com , com os seguintes azimuth plano e distância:166°30'15.36" e 5.15; até o vértice P100, de coordenadas N 9214720.99 m e E 296304.71 m; deste, segue confrontando com , com os seguintes azimuth plano e distância:159°46'30.51" e 3.87; até o vértice P101, de coordenadas N 9214717.36 m e E 296306.04 m; deste, segue confrontando com , com os seguintes azimuth plano e distância:160°30'45.25" e 0.39; até o vértice P102, de coordenadas N 9214717.00 m e E 296306.17 m; deste, segue confrontando com , com os seguintes azimuth plano e distância:163°07'30.00" e 0.98; até o vértice P103, de coordenadas N 9214716.06 m e E 296306.46 m; deste, segue confrontando com , com os seguintes azimuth plano e distância:166°52'30.00" e 0.98; até o vértice P104, de coordenadas N 9214715.10 m e E 296306.68 m; deste, segue confrontando com , com os seguintes azimuth plano e distância:170°37'30.00" e 0.98; até o vértice P105, de coordenadas N 9214714.13 m e E 296306.84 m; deste, segue confrontando com , com os seguintes azimuth plano e distância:174°22'30.00" e 0.98; até o vértice P106, de coordenadas N 9214713.16 m e E 296306.93 m; deste, segue confrontando com , com os seguintes azimuth plano e distância:178°07'30.00" e 0.27; até o vértice P107, de coordenadas N 9214712.89 m e E 296306.94 m; deste, segue confrontando com , com os seguintes azimuth plano e distância:138°59'27.29" e 1.57; até o vértice P108, de coordenadas N 9214711.70 m e E 296307.98 m; deste, segue confrontando com , com os seguintes azimuth plano e distância:140°44'43.64" e 0.92; até o vértice P109, de coordenadas N 9214710.99 m e E 296308.56 m; deste, segue confrontando com , com os seguintes azimuth plano e distância:143°57'13.88" e 0.76; até o vértice P110, de coordenadas N 9214710.37 m e E 296309.01 m; deste, segue confrontando com , com os seguintes azimuth plano e distância:145°24'27.76" e 8.26; até o vértice P111, de coordenadas N 9214703.57 m e E 296313.70 m; deste, segue confrontando com , com os seguintes azimuth plano e distância:145°49'43.88" e 0.22; até o vértice P112, de coordenadas N 9214703.39 m e E 296313.82 m; deste, segue confrontando com , com os seguintes azimuth plano e distância:148°07'30.00" e 0.98; até o vértice P113, de coordenadas N 9214702.56 m e E 296314.34 m; deste, segue confrontando com , com os seguintes azimuth plano e distância:151°52'30.00" e 0.98; até o vértice P114, de coordenadas N 9214701.69 m e E 296314.80 m; deste, segue confrontando com , com os seguintes azimuth plano e distância:155°37'30.00" e 0.98; até o vértice P115, de coordenadas N 9214700.80 m e E 296315.21 m; deste, segue confrontando com , com os seguintes azimuth plano e distância:159°22'30.00" e 0.98; até o vértice P116, de coordenadas N 9214699.88 m e E 296315.55 m; deste, segue confrontando com , com os seguintes azimuth plano e distância:163°07'30.00" e 0.98; até o vértice P117, de coordenadas N 9214698.94 m e E 296315.84 m; deste, segue confrontando com , com os seguintes azimuth plano e distância:165°05'12.33" e 0.05; até o vértice P118, de coordenadas N 9214698.89 m e E 296315.85 m; deste, segue confrontando com , com os seguintes azimuth plano e distância:165°10'24.67" e 6.92; até o vértice P119, de coordenadas N 9214692.20 m e E 296317.62 m; deste, segue confrontando com , com os seguintes azimuth plano e distância:155°03'21.94" e 9.79; até o vértice P120, de coordenadas N 9214683.32 m e E 296321.75 m; deste, segue confrontando com , com os seguintes azimuth plano e distância:156°16'40.97" e 0.64; até o vértice P121, de coordenadas N 9214682.74 m e E 296322.01 m; deste, segue confrontando com , com os seguintes azimuth plano e distância:159°22'30.00" e 0.98; até o vértice P122, de coordenadas N 9214681.82 m e E 296322.35 m; deste, segue confrontando com , com os seguintes azimuth plano e distância:163°07'30.00" e 0.98; até o vértice P123, de coordenadas N 9214680.88 m e E 296322.64 m; deste, segue confrontando com , com os seguintes azimuth plano e distância:165°02'3.44" e 0.02; até o vértice P124, de coordenadas N 9214680.86 m e E 296322.64 m; deste, segue confrontando com , com os seguintes azimuth plano e distância:165°04'6.90" e 10.92; até o vértice P125, de coordenadas N 9214670.31 m e E 296325.46 m; deste, segue confrontando com , com os seguintes azimuth plano e distância:165°13'25.88" e 0.08; até o vértice P126, de coordenadas N 9214670.23 m e E 296325.48 m; deste, segue confrontando com , com os seguintes azimuth plano e distância:165°22'44.85" e 4.01; até o vértice P127, de coordenadas N 9214666.35 m e E 296326.49 m; deste, segue confrontando com , com os seguintes azimuth plano e distância:153°26'5.82" e 4.20; até o vértice P128, de coordenadas N 9214662.60 m e E 296328.37 m; deste, segue confrontando com , com os seguintes azimuth plano e distância:153°35'32.90" e 0.08; até o vértice P129, de coordenadas N 9214662.52 m e E 296328.40 m; deste, segue confrontando com , com os seguintes azimuth plano e distância:155°37'30.00" e 0.98; até o vértice P130, de coordenadas N 9214661.63 m e E 296328.81 m; deste, segue confrontando com , com os seguintes azimuth plano e distância:159°22'30.00" e 0.98; até o vértice P131, de coordenadas N 9214660.71 m e E 296329.15 m; deste, segue confrontando com , com os seguintes azimuth plano e distância:161°24'27.09" e 0.08; até o vértice P132, de coordenadas N 9214660.63 m e E 296329.18 m; deste, segue confrontando com , com os seguintes azimuth plano e distância:161°33'54.18" e 5.19; até o vértice P133, de coordenadas N 9214655.71 m e E 296330.82 m; deste, segue confrontando com , com os seguintes azimuth plano e distância:163°16'57.09" e 0.90; até o vértice P134, de coordenadas

Assinado por:  Para verificar a validade das assinaturas, acesse <https://joaopessoa.1doc.com.br/verificacao/E130-3F2A-7A96-549F> e informe o código E130-3F2A-7A96-549F

N 9214654.85 m e E 296331.08 m; deste, segue confrontando com , com os seguintes azimuth plano e distância:165°07'41.59" e 0.07; até o vértice P135, de coordenadas N 9214654.78 m e E 296331.10 m; deste, segue confrontando com , com os seguintes azimuth plano e distância:165°15'23.17" e 4.04; até o vértice P136, de coordenadas N 9214650.88 m e E 296332.13 m; deste, segue confrontando com , com os seguintes azimuth plano e distância:160°54'23.43" e 3.96; até o vértice P137, de coordenadas N 9214647.13 m e E 296333.42 m; deste, segue confrontando com , com os seguintes azimuth plano e distância:146°18'35.76" e 3.52; até o vértice P138, de coordenadas N 9214644.20 m e E 296335.38 m; deste, segue confrontando com , com os seguintes azimuth plano e distância:142°41'45.79" e 5.72; até o vértice P139, de coordenadas N 9214639.65 m e E 296338.84 m; deste, segue confrontando com , com os seguintes azimuth plano e distância:143°05'0.95" e 0.20; até o vértice P140, de coordenadas N 9214639.49 m e E 296338.96 m; deste, segue confrontando com , com os seguintes azimuth plano e distância:143°28'16.12" e 7.88; até o vértice P141, de coordenadas N 9214633.16 m e E 296343.65 m; deste, segue confrontando com , com os seguintes azimuth plano e distância:144°51'38.06" e 0.73; até o vértice P142, de coordenadas N 9214632.56 m e E 296344.07 m; deste, segue confrontando com , com os seguintes azimuth plano e distância:148°07'30.00" e 0.98; até o vértice P143, de coordenadas N 9214631.73 m e E 296344.59 m; deste, segue confrontando com , com os seguintes azimuth plano e distância:151°52'30.00" e 0.98; até o vértice P144, de coordenadas N 9214630.86 m e E 296345.05 m; deste, segue confrontando com , com os seguintes azimuth plano e distância:155°37'30.00" e 0.98; até o vértice P145, de coordenadas N 9214629.97 m e E 296345.46 m; deste, segue confrontando com , com os seguintes azimuth plano e distância:159°22'30.00" e 0.98; até o vértice P146, de coordenadas N 9214629.05 m e E 296345.80 m; deste, segue confrontando com , com os seguintes azimuth plano e distância:163°07'30.00" e 0.98; até o vértice P147, de coordenadas N 9214628.11 m e E 296346.09 m; deste, segue confrontando com , com os seguintes azimuth plano e distância:166°52'30.00" e 0.98; até o vértice P148, de coordenadas N 9214627.16 m e E 296346.31 m; deste, segue confrontando com , com os seguintes azimuth plano e distância:170°37'30.00" e 0.98; até o vértice P149, de coordenadas N 9214626.19 m e E 296346.47 m; deste, segue confrontando com , com os seguintes azimuth plano e distância:174°22'30.00" e 0.98; até o vértice P150, de coordenadas N 9214625.21 m e E 296346.57 m; deste, segue confrontando com , com os seguintes azimuth plano e distância:178°07'30.00" e 0.98; até o vértice P151, de coordenadas N 9214624.23 m e E 296346.60 m; deste, segue confrontando com , com os seguintes azimuth plano e distância:180°00'0.00" e 3.68; até o vértice P152, de coordenadas N 9214620.55 m e E 296346.60 m; deste, segue confrontando com , com os seguintes azimuth plano e distância:158°11'54.93" e 3.43; até o vértice P153, de coordenadas N 9214617.37 m e E 296347.87 m; deste, segue confrontando com , com os seguintes azimuth plano e distância:159°43'27.46" e 0.80; até o vértice P154, de coordenadas N 9214616.62 m e E 296348.15 m; deste, segue confrontando com , com os seguintes azimuth plano e distância:163°07'30.00" e 0.98; até o vértice P155, de coordenadas N 9214615.68 m e E 296348.44 m; deste, segue confrontando com , com os seguintes azimuth plano e distância:166°52'30.00" e 0.98; até o vértice P156, de coordenadas N 9214614.73 m e E 296348.66 m; deste, segue confrontando com , com os seguintes azimuth plano e distância:169°38'37.82" e 0.47; até o vértice P157, de coordenadas N 9214614.27 m e E 296348.74 m; deste, segue confrontando com , com os seguintes azimuth plano e distância:170°32'15.64" e 5.19; até o vértice P158, de coordenadas N 9214609.15 m e E 296349.60 m; deste, segue confrontando com , com os seguintes azimuth plano e distância:166°36'27.01" e 4.55; até o vértice P159, de coordenadas N 9214604.72 m e E 296350.65 m; deste, segue confrontando com , com os seguintes azimuth plano e distância:167°15'22.94" e 0.34; até o vértice P160, de coordenadas N 9214604.39 m e E 296350.72 m; deste, segue confrontando com , com os seguintes azimuth plano e distância:167°54'18.87" e 4.19; até o vértice P161, de coordenadas N 9214600.29 m e E 296351.60 m; deste, segue confrontando com , com os seguintes azimuth plano e distância:148°46'53.75" e 6.52; até o vértice P162, de coordenadas N 9214594.72 m e E 296354.98 m; deste, segue confrontando com , com os seguintes azimuth plano e distância:149°02'27.37" e 0.14; até o vértice P163, de coordenadas N 9214594.60 m e E 296355.05 m; deste, segue confrontando com , com os seguintes azimuth plano e distância:149°18'1.00" e 8.73; até o vértice P164, de coordenadas N 9214587.09 m e E 296359.51 m; deste, segue confrontando com , com os seguintes azimuth plano e distância:149°21'37.88" e 0.03; até o vértice P165, de coordenadas N 9214587.07 m e E 296359.52 m; deste, segue confrontando com , com os seguintes azimuth plano e distância:149°25'14.78" e 5.99; até o vértice P166, de coordenadas N 9214581.91 m e E 296362.57 m; deste, segue confrontando com , com os seguintes azimuth plano e distância:149°42'37.39" e 0.15; até o vértice P167, de coordenadas N 9214581.78 m e E 296362.65 m; deste, segue confrontando com , com os seguintes azimuth plano e distância:151°52'30.00" e 0.98; até o vértice P168, de coordenadas N 9214580.91 m e E 296363.11 m; deste, segue confrontando com , com os seguintes azimuth plano e distância:155°00'0.91" e 0.65; até o vértice P169, de coordenadas N 9214580.32 m e E 296363.39 m; deste, segue confrontando com , com os seguintes azimuth plano e distância:156°15'1.82" e 6.41; até o vértice P170, de coordenadas N 9214574.45 m e E 296365.97 m; deste, segue confrontando com , com os seguintes azimuth plano e distância:156°52'30.91" e 0.33; até o vértice P171, de coordenadas N 9214574.15 m e E 296366.10 m; deste, segue confrontando com , com os seguintes azimuth plano e distância:159°22'30.00" e 0.98; até o vértice P172, de coordenadas N 9214573.24 m e E 296366.44 m; deste, segue confrontando com , com os seguintes azimuth plano e distância:162°16'31.36" e 0.54; até o vértice P173, de coordenadas N 9214572.72 m e E 296366.61 m; deste, segue confrontando com , com os seguintes azimuth plano e distância:163°18'2.72" e 4.90; até o vértice P174, de coordenadas N 9214568.03 m e E 296368.01 m; deste, segue confrontando com , com os seguintes azimuth plano e distância:164°09'1.36" e 0.44; até o vértice P175, de coordenadas N 9214567.61 m e E 296368.13 m; deste, segue confrontando com , com os seguintes azimuth plano e distância:166°08'16.16" e 0.60; até o vértice P176, de coordenadas N 9214567.03 m e E 296368.28 m; deste, segue confrontando com , com os seguintes azimuth plano e distância:167°16'32.32" e 7.45; até o vértice P177, de coordenadas N 9214559.76 m e E 296369.92 m; deste, segue confrontando com , com os seguintes azimuth plano e distância:167°22'24.31" e 0.05; até o vértice P178, de coordenadas N 9214559.71 m e E 296369.93 m; deste, segue confrontando com , com os seguintes azimuth plano e distância:167°28'16.29" e 5.94; até o vértice P179, de coordenadas N 9214553.91 m e E 296371.22 m; deste, segue confrontando com , com os seguintes azimuth plano e distância:163°18'2.72" e 4.23; até o vértice P180, de coordenadas N 9214549.86 m e E 296372.43 m; deste, segue confrontando com , com os seguintes azimuth plano e distância:162°20'59.55" e 5.29; até o vértice P181, de coordenadas N 9214544.82 m e E 296374.04 m; deste,

Assinado por:  João Pessoa, 06 de junho de 2024. Para verificar a validade das assinaturas, acesse <https://joaopessoa.1doc.com.br/verificacao/E130-3F2A-7A96-549F> e informe o código E130-3F2A-7A96-549F

segue confrontando com , com os seguintes azimuth plano e distância:163°27'49.89" e 0.58; até o vértice P182, de coordenadas N 9214544.26 m e E 296374.20 m; deste, segue confrontando com , com os seguintes azimuth plano e distância:164°34'40.22" e 5.38; até o vértice P183, de coordenadas N 9214539.08 m e E 296375.63 m; deste, segue confrontando com , com os seguintes azimuth plano e distância:151°49'17.08" e 5.77; até o vértice P184, de coordenadas N 9214533.99 m e E 296378.36 m; deste, segue confrontando com , com os seguintes azimuth plano e distância:152°47'8.54" e 0.50; até o vértice P185, de coordenadas N 9214533.54 m e E 296378.59 m; deste, segue confrontando com , com os seguintes azimuth plano e distância:155°37'30.00" e 0.98; até o vértice P186, de coordenadas N 9214532.64 m e E 296379.00 m; deste, segue confrontando com , com os seguintes azimuth plano e distância:158°28'19.12" e 0.51; até o vértice P187, de coordenadas N 9214532.17 m e E 296379.18 m; deste, segue confrontando com , com os seguintes azimuth plano e distância:159°26'38.24" e 6.29; até o vértice P188, de coordenadas N 9214526.28 m e E 296381.39 m; deste, segue confrontando com , com os seguintes azimuth plano e distância:146°18'35.76" e 4.77; até o vértice P189, de coordenadas N 9214522.32 m e E 296384.04 m; deste, segue confrontando com , com os seguintes azimuth plano e distância:144°14'46.01" e 6.95; até o vértice P190, de coordenadas N 9214516.67 m e E 296388.10 m; deste, segue confrontando com , com os seguintes azimuth plano e distância:145°14'53.00" e 0.52; até o vértice P191, de coordenadas N 9214516.24 m e E 296388.40 m; deste, segue confrontando com , com os seguintes azimuth plano e distância:147°38'35.24" e 0.73; até o vértice P192, de coordenadas N 9214515.62 m e E 296388.79 m; deste, segue confrontando com , com os seguintes azimuth plano e distância:149°02'10.48" e 5.47; até o vértice P193, de coordenadas N 9214510.93 m e E 296391.60 m; deste, segue confrontando com , com os seguintes azimuth plano e distância:149°31'5.24" e 0.25; até o vértice P194, de coordenadas N 9214510.72 m e E 296391.73 m; deste, segue confrontando com , com os seguintes azimuth plano e distância:151°52'30.00" e 0.98; até o vértice P195, de coordenadas N 9214509.85 m e E 296392.19 m; deste, segue confrontando com , com os seguintes azimuth plano e distância:155°37'30.00" e 0.98; até o vértice P196, de coordenadas N 9214508.96 m e E 296392.60 m; deste, segue confrontando com , com os seguintes azimuth plano e distância:159°22'30.00" e 0.98; até o vértice P197, de coordenadas N 9214508.04 m e E 296392.94 m; deste, segue confrontando com , com os seguintes azimuth plano e distância:162°09'40.48" e 0.48; até o vértice P198, de coordenadas N 9214507.58 m e E 296393.09 m; deste, segue confrontando com , com os seguintes azimuth plano e distância:163°04'20.95" e 5.64; até o vértice P199, de coordenadas N 9214502.19 m e E 296394.73 m; deste, segue confrontando com , com os seguintes azimuth plano e distância:163°33'48.76" e 0.26; até o vértice P200, de coordenadas N 9214501.94 m e E 296394.80 m; deste, segue confrontando com , com os seguintes azimuth plano e distância:164°03'16.57" e 3.10; até o vértice P201, de coordenadas N 9214498.97 m e E 296395.66 m; deste, segue confrontando com , com os seguintes azimuth plano e distância:148°40'16.71" e 2.87; até o vértice P202, de coordenadas N 9214496.51 m e E 296397.15 m; deste, segue confrontando com , com os seguintes azimuth plano e distância:137°51'44.66" e 5.22; até o vértice P203, de coordenadas N 9214492.64 m e E 296400.65 m; deste, segue confrontando com , com os seguintes azimuth plano e distância:138°18'22.33" e 0.23; até o vértice P204, de coordenadas N 9214492.47 m e E 296400.81 m; deste, segue confrontando com , com os seguintes azimuth plano e distância:140°37'30.00" e 0.98; até o vértice P205, de coordenadas N 9214491.71 m e E 296401.43 m; deste, segue confrontando com , com os seguintes azimuth plano e distância:144°10'12.55" e 0.87; até o vértice P206, de coordenadas N 9214491.00 m e E 296401.94 m; deste, segue confrontando com , com os seguintes azimuth plano e distância:145°50'25.10" e 7.80; até o vértice P207, de coordenadas N 9214484.55 m e E 296406.32 m; deste, segue confrontando com , com os seguintes azimuth plano e distância:144°46'56.67" e 4.74; até o vértice P208, de coordenadas N 9214480.68 m e E 296409.05 m; deste, segue confrontando com , com os seguintes azimuth plano e distância:145°30'58.33" e 0.38; até o vértice P209, de coordenadas N 9214480.36 m e E 296409.27 m; deste, segue confrontando com , com os seguintes azimuth plano e distância:148°07'30.00" e 0.98; até o vértice P210, de coordenadas N 9214479.53 m e E 296409.79 m; deste, segue confrontando com , com os seguintes azimuth plano e distância:150°35'40.57" e 0.31; até o vértice P211, de coordenadas N 9214479.25 m e E 296409.94 m; deste, segue confrontando com , com os seguintes azimuth plano e distância:151°11'21.14" e 5.35; até o vértice P212, de coordenadas N 9214474.56 m e E 296412.52 m; deste, segue confrontando com , com os seguintes azimuth plano e distância:152°28'10.57" e 0.67; até o vértice P213, de coordenadas N 9214473.97 m e E 296412.83 m; deste, segue confrontando com , com os seguintes azimuth plano e distância:155°24'32.22" e 0.87; até o vértice P214, de coordenadas N 9214473.18 m e E 296413.19 m; deste, segue confrontando com , com os seguintes azimuth plano e distância:157°04'4.44" e 6.53; até o vértice P215, de coordenadas N 9214467.17 m e E 296415.74 m; deste, segue confrontando com , com os seguintes azimuth plano e distância:156°22'14.24" e 3.90; até o vértice P216, de coordenadas N 9214463.59 m e E 296417.30 m; deste, segue confrontando com , com os seguintes azimuth plano e distância:155°33'21.76" e 6.13; até o vértice P217, de coordenadas N 9214458.02 m e E 296419.83 m; deste, segue confrontando com , com os seguintes azimuth plano e distância:138°21'59.26" e 3.31; até o vértice P218, de coordenadas N 9214455.54 m e E 296422.04 m; deste, segue confrontando com , com os seguintes azimuth plano e distância:137°51'44.66" e 6.58; até o vértice P219, de coordenadas N 9214450.66 m e E 296426.45 m; deste, segue confrontando com , com os seguintes azimuth plano e distância:138°18'22.33" e 0.23; até o vértice P220, de coordenadas N 9214450.49 m e E 296426.60 m; deste, segue confrontando com , com os seguintes azimuth plano e distância:140°37'30.00" e 0.98; até o vértice P221, de coordenadas N 9214449.73 m e E 296427.23 m; deste, segue confrontando com , com os seguintes azimuth plano e distância:144°08'31.74" e 0.86; até o vértice P222, de coordenadas N 9214449.03 m e E 296427.73 m; deste, segue confrontando com , com os seguintes azimuth plano e distância:145°47'3.47" e 7.09; até o vértice P223, de coordenadas N 9214443.17 m e E 296431.72 m; deste, segue confrontando com , com os seguintes azimuth plano e distância:146°01'1.74" e 0.12; até o vértice P224, de coordenadas N 9214443.07 m e E 296431.78 m; deste, segue confrontando com , com os seguintes azimuth plano e distância:148°07'30.00" e 0.98; até o vértice P225, de coordenadas N 9214442.24 m e E 296432.30 m; deste, segue confrontando com , com os seguintes azimuth plano e distância:151°52'30.00" e 0.98; até o vértice P226, de coordenadas N 9214441.37 m e E 296432.77 m; deste, segue confrontando com , com os seguintes azimuth plano e distância:155°37'30.00" e 0.98; até o vértice P227, de coordenadas N 9214440.48 m e E 296433.17 m; deste, segue confrontando com , com os seguintes azimuth plano e distância:159°22'30.00" e 0.98; até o vértice P228, de coordenadas N 9214439.56 m e E 296433.52 m; deste, segue confrontando com , com os seguintes

Assinado por: [Assinatura] Para verificar a validade das assinaturas, acesse <https://joaopessoa.1doc.com.br/verificacao/E130-3F2A-7A96-549F> e informe o código E130-3F2A-7A96-549F

azimute plano e distância:161°24'27.09" e 0.08; até o vértice P229, de coordenadas N 9214439.48 m e E 296433.54 m; deste, segue confrontando com , com os seguintes azimute plano e distância:161°33'54.18" e 4.67; até o vértice P230, de coordenadas N 9214435.05 m e E 296435.02 m; deste, segue confrontando com , com os seguintes azimute plano e distância:151°55'39.05" e 2.72; até o vértice P231, de coordenadas N 9214432.65 m e E 296436.30 m; deste, segue confrontando com , com os seguintes azimute plano e distância:152°50'19.52" e 0.48; até o vértice P232, de coordenadas N 9214432.22 m e E 296436.52 m; deste, segue confrontando com , com os seguintes azimute plano e distância:154°53'37.52" e 0.60; até o vértice P233, de coordenadas N 9214431.68 m e E 296436.77 m; deste, segue confrontando com , com os seguintes azimute plano e distância:156°02'15.04" e 4.62; até o vértice P234, de coordenadas N 9214427.46 m e E 296438.65 m; deste, segue confrontando com , com os seguintes azimute plano e distância:156°46'7.52" e 0.38; até o vértice P235, de coordenadas N 9214427.11 m e E 296438.80 m; deste, segue confrontando com , com os seguintes azimute plano e distância:159°22'30.00" e 0.98; até o vértice P236, de coordenadas N 9214426.19 m e E 296439.14 m; deste, segue confrontando com , com os seguintes azimute plano e distância:161°47'59.78" e 0.29; até o vértice P237, de coordenadas N 9214425.92 m e E 296439.23 m; deste, segue confrontando com , com os seguintes azimute plano e distância:162°20'59.55" e 4.74; até o vértice P238, de coordenadas N 9214421.40 m e E 296440.67 m; deste, segue confrontando com , com os seguintes azimute plano e distância:157°09'58.85" e 0.95; até o vértice P239, de coordenadas N 9214420.53 m e E 296441.04 m; deste, segue confrontando com , com os seguintes azimute plano e distância:133°01'30.24" e 0.51; até o vértice P240, de coordenadas N 9214420.18 m e E 296441.41 m; deste, segue confrontando com , com os seguintes azimute plano e distância:124°41'42.55" e 2.62; até o vértice P241, de coordenadas N 9214418.69 m e E 296443.56 m; deste, segue confrontando com , com os seguintes azimute plano e distância:126°05'51.28" e 0.73; até o vértice P242, de coordenadas N 9214418.26 m e E 296444.16 m; deste, segue confrontando com , com os seguintes azimute plano e distância:129°22'30.00" e 0.98; até o vértice P243, de coordenadas N 9214417.64 m e E 296444.92 m; deste, segue confrontando com , com os seguintes azimute plano e distância:133°07'30.00" e 0.98; até o vértice P244, de coordenadas N 9214416.97 m e E 296445.63 m; deste, segue confrontando com , com os seguintes azimute plano e distância:136°52'30.00" e 0.98; até o vértice P245, de coordenadas N 9214416.25 m e E 296446.30 m; deste, segue confrontando com , com os seguintes azimute plano e distância:140°37'30.00" e 0.98; até o vértice P246, de coordenadas N 9214415.49 m e E 296446.93 m; deste, segue confrontando com , com os seguintes azimute plano e distância:144°22'30.00" e 0.98; até o vértice P247, de coordenadas N 9214414.69 m e E 296447.50 m; deste, segue confrontando com , com os seguintes azimute plano e distância:147°07'20.31" e 0.46; até o vértice P248, de coordenadas N 9214414.31 m e E 296447.75 m; deste, segue confrontando com , com os seguintes azimute plano e distância:147°59'40.62" e 4.42; até o vértice P249, de coordenadas N 9214410.56 m e E 296450.09 m; deste, segue confrontando com , com os seguintes azimute plano e distância:148°59'50.31" e 0.52; até o vértice P250, de coordenadas N 9214410.11 m e E 296450.36 m; deste, segue confrontando com , com os seguintes azimute plano e distância:150°35'40.57" e 0.31; até o vértice P251, de coordenadas N 9214409.84 m e E 296450.51 m; deste, segue confrontando com , com os seguintes azimute plano e distância:151°11'21.14" e 4.80; até o vértice P252, de coordenadas N 9214405.63 m e E 296452.83 m; deste, segue confrontando com , com os seguintes azimute plano e distância:146°58'34.08" e 3.22; até o vértice P253, de coordenadas N 9214402.92 m e E 296454.58 m; deste, segue confrontando com , com os seguintes azimute plano e distância:133°09'8.60" e 3.09; até o vértice P254, de coordenadas N 9214400.81 m e E 296456.84 m; deste, segue confrontando com , com os seguintes azimute plano e distância:131°20'52.00" e 7.57; até o vértice P255, de coordenadas N 9214395.81 m e E 296462.52 m; deste, segue confrontando com , com os seguintes azimute plano e distância:133°10'26.00" e 0.96; até o vértice P256, de coordenadas N 9214395.15 m e E 296463.22 m; deste, segue confrontando com , com os seguintes azimute plano e distância:136°52'30.00" e 0.98; até o vértice P257, de coordenadas N 9214394.44 m e E 296463.89 m; deste, segue confrontando com , com os seguintes azimute plano e distância:139°47'17.42" e 0.54; até o vértice P258, de coordenadas N 9214394.02 m e E 296464.24 m; deste, segue confrontando com , com os seguintes azimute plano e distância:140°49'34.83" e 8.17; até o vértice P259, de coordenadas N 9214387.69 m e E 296469.40 m; deste, segue confrontando com , com os seguintes azimute plano e distância:141°39'47.42" e 0.44; até o vértice P260, de coordenadas N 9214387.35 m e E 296469.67 m; deste, segue confrontando com , com os seguintes azimute plano e distância:143°28'52.18" e 0.51; até o vértice P261, de coordenadas N 9214386.93 m e E 296469.98 m; deste, segue confrontando com , com os seguintes azimute plano e distância:144°27'44.36" e 8.07; até o vértice P262, de coordenadas N 9214380.37 m e E 296474.67 m; deste, segue confrontando com , com os seguintes azimute plano e distância:145°21'22.18" e 0.47; até o vértice P263, de coordenadas N 9214379.98 m e E 296474.94 m; deste, segue confrontando com , com os seguintes azimute plano e distância:148°07'30.00" e 0.98; até o vértice P264, de coordenadas N 9214379.15 m e E 296475.45 m; deste, segue confrontando com , com os seguintes azimute plano e distância:150°03'1.96" e 0.03; até o vértice P265, de coordenadas N 9214379.13 m e E 296475.47 m; deste, segue confrontando com , com os seguintes azimute plano e distância:150°06'3.95" e 10.38; até o vértice P266, de coordenadas N 9214370.12 m e E 296480.64 m; deste, segue confrontando com , com os seguintes azimute plano e distância:146°46'5.84" e 7.69; até o vértice P267, de coordenadas N 9214363.69 m e E 296484.86 m; deste, segue confrontando com , com os seguintes azimute plano e distância:148°23'2.92" e 0.85; até o vértice P268, de coordenadas N 9214362.97 m e E 296485.30 m; deste, segue confrontando com , com os seguintes azimute plano e distância:151°52'30.00" e 0.98; até o vértice P269, de coordenadas N 9214362.10 m e E 296485.77 m; deste, segue confrontando com , com os seguintes azimute plano e distância:155°37'30.00" e 0.98; até o vértice P270, de coordenadas N 9214361.21 m e E 296486.17 m; deste, segue confrontando com , com os seguintes azimute plano e distância:158°42'8.58" e 0.63; até o vértice P271, de coordenadas N 9214360.62 m e E 296486.40 m; deste, segue confrontando com , com os seguintes azimute plano e distância:159°54'17.17" e 9.83; até o vértice P272, de coordenadas N 9214351.39 m e E 296489.78 m; deste, segue confrontando com , com os seguintes azimute plano e distância:156°48'5.07" e 5.49; até o vértice P273, de coordenadas N 9214346.34 m e E 296491.94 m; deste, segue confrontando com , com os seguintes azimute plano e distância:147°15'53.19" e 6.51; até o vértice P274, de coordenadas N 9214340.87 m e E 296495.46 m; deste, segue confrontando com , com os seguintes azimute plano e distância:146°53'19.17" e 6.31; até o vértice P275, de coordenadas N 9214335.58 m e E 296498.91 m; deste, segue confrontando com , com os seguintes azimute plano e distância:146°18'35.76"

Assinado por: João Pessoa, 06 de junho de 2024. Para verificar a validade das assinaturas, acesse <https://joaopessoa.1doc.com.br/verificacao/E130-3F2A-7A96-549F> e informe o código E130-3F2A-7A96-549F

6.08; até o vértice P276, de coordenadas N 9214330.53 m e E 296502.28 m; deste, segue confrontando com , com os seguintes azimuth plano e distância:141°37'57.05" e 6.57; até o vértice P277, de coordenadas N 9214325.38 m e E 296506.35 m; deste, segue confrontando com , com os seguintes azimuth plano e distância:142°03'58.53" e 0.23; até o vértice P278, de coordenadas N 9214325.20 m e E 296506.49 m; deste, segue confrontando com , com os seguintes azimuth plano e distância:144°22'30.00" e 0.98; até o vértice P279, de coordenadas N 9214324.40 m e E 296507.07 m; deste, segue confrontando com , com os seguintes azimuth plano e distância:147°01'37.68" e 0.41; até o vértice P280, de coordenadas N 9214324.06 m e E 296507.29 m; deste, segue confrontando com , com os seguintes azimuth plano e distância:147°48'15.36" e 7.48; até o vértice P281, de coordenadas N 9214317.73 m e E 296511.27 m; deste, segue confrontando com , com os seguintes azimuth plano e distância:148°54'7.68" e 0.57; até o vértice P282, de coordenadas N 9214317.24 m e E 296511.57 m; deste, segue confrontando com , com os seguintes azimuth plano e distância:150°41'41.17" e 0.36; até o vértice P283, de coordenadas N 9214316.92 m e E 296511.75 m; deste, segue confrontando com , com os seguintes azimuth plano e distância:151°23'22.35" e 5.88; até o vértice P284, de coordenadas N 9214311.76 m e E 296514.56 m; deste, segue confrontando com , com os seguintes azimuth plano e distância:151°52'18.42" e 0.25; até o vértice P285, de coordenadas N 9214311.54 m e E 296514.68 m; deste, segue confrontando com , com os seguintes azimuth plano e distância:152°21'14.49" e 11.12; até o vértice P286, de coordenadas N 9214301.69 m e E 296519.84 m; deste, segue confrontando com , com os seguintes azimuth plano e distância:153°03'7.24" e 0.37; até o vértice P287, de coordenadas N 9214301.36 m e E 296520.01 m; deste, segue confrontando com , com os seguintes azimuth plano e distância:155°37'30.00" e 0.98; até o vértice P288, de coordenadas N 9214300.47 m e E 296520.41 m; deste, segue confrontando com , com os seguintes azimuth plano e distância:159°22'30.00" e 0.98; até o vértice P289, de coordenadas N 9214299.55 m e E 296520.76 m; deste, segue confrontando com , com os seguintes azimuth plano e distância:162°12'22.55" e 0.50; até o vértice P290, de coordenadas N 9214299.07 m e E 296520.91 m; deste, segue confrontando com , com os seguintes azimuth plano e distância:163°09'45.10" e 14.22; até o vértice P291, de coordenadas N 9214285.46 m e E 296525.03 m; deste, segue confrontando com , com os seguintes azimuth plano e distância:130°27'44.02" e 5.84; até o vértice P292, de coordenadas N 9214281.67 m e E 296529.48 m; deste, segue confrontando com , com os seguintes azimuth plano e distância:128°39'35.31" e 5.77; até o vértice P293, de coordenadas N 9214278.06 m e E 296533.98 m; deste, segue confrontando com , com os seguintes azimuth plano e distância:129°57'17.65" e 0.68; até o vértice P294, de coordenadas N 9214277.63 m e E 296534.50 m; deste, segue confrontando com , com os seguintes azimuth plano e distância:133°07'30.00" e 0.98; até o vértice P295, de coordenadas N 9214276.96 m e E 296535.22 m; deste, segue confrontando com , com os seguintes azimuth plano e distância:136°52'30.00" e 0.98; até o vértice P296, de coordenadas N 9214276.24 m e E 296535.89 m; deste, segue confrontando com , com os seguintes azimuth plano e distância:140°37'30.00" e 0.98; até o vértice P297, de coordenadas N 9214275.48 m e E 296536.51 m; deste, segue confrontando com , com os seguintes azimuth plano e distância:144°22'30.00" e 0.98; até o vértice P298, de coordenadas N 9214274.68 m e E 296537.08 m; deste, segue confrontando com , com os seguintes azimuth plano e distância:148°07'30.00" e 0.98; até o vértice P299, de coordenadas N 9214273.85 m e E 296537.60 m; deste, segue confrontando com , com os seguintes azimuth plano e distância:151°52'30.00" e 0.98; até o vértice P300, de coordenadas N 9214272.98 m e E 296538.07 m; deste, segue confrontando com , com os seguintes azimuth plano e distância:155°37'30.00" e 0.98; até o vértice P301, de coordenadas N 9214272.09 m e E 296538.47 m; deste, segue confrontando com , com os seguintes azimuth plano e distância:159°15'53.27" e 0.92; até o vértice P302, de coordenadas N 9214271.23 m e E 296538.80 m; deste, segue confrontando com , com os seguintes azimuth plano e distância:161°01'46.53" e 6.69; até o vértice P303, de coordenadas N 9214264.90 m e E 296540.97 m; deste, segue confrontando com , com os seguintes azimuth plano e distância:151°33'25.46" e 4.32; até o vértice P304, de coordenadas N 9214261.10 m e E 296543.03 m; deste, segue confrontando com , com os seguintes azimuth plano e distância:145°10'31.84" e 2.81; até o vértice P305, de coordenadas N 9214258.79 m e E 296544.64 m; deste, segue confrontando com , com os seguintes azimuth plano e distância:123°06'40.83" e 1.07; até o vértice P306, de coordenadas N 9214258.20 m e E 296545.54 m; deste, segue confrontando com , com os seguintes azimuth plano e distância:104°37'15.15" e 3.13; até o vértice P307, de coordenadas N 9214257.41 m e E 296548.57 m; deste, segue confrontando com , com os seguintes azimuth plano e distância:104°48'37.58" e 0.10; até o vértice P308, de coordenadas N 9214257.39 m e E 296548.66 m; deste, segue confrontando com , com os seguintes azimuth plano e distância:106°52'30.00" e 0.98; até o vértice P309, de coordenadas N 9214257.10 m e E 296549.60 m; deste, segue confrontando com , com os seguintes azimuth plano e distância:110°37'30.00" e 0.98; até o vértice P310, de coordenadas N 9214256.75 m e E 296550.52 m; deste, segue confrontando com , com os seguintes azimuth plano e distância:114°22'30.00" e 0.98; até o vértice P311, de coordenadas N 9214256.35 m e E 296551.42 m; deste, segue confrontando com , com os seguintes azimuth plano e distância:118°07'30.00" e 0.98; até o vértice P312, de coordenadas N 9214255.89 m e E 296552.28 m; deste, segue confrontando com , com os seguintes azimuth plano e distância:121°52'30.00" e 0.98; até o vértice P313, de coordenadas N 9214255.37 m e E 296553.12 m; deste, segue confrontando com , com os seguintes azimuth plano e distância:125°06'34.62" e 0.71; até o vértice P314, de coordenadas N 9214254.96 m e E 296553.70 m; deste, segue confrontando com , com os seguintes azimuth plano e distância:126°28'9.24" e 6.28; até o vértice P315, de coordenadas N 9214251.23 m e E 296558.75 m; deste, segue confrontando com , com os seguintes azimuth plano e distância:123°10'42.64" e 6.85; até o vértice P316, de coordenadas N 9214247.48 m e E 296564.48 m; deste, segue confrontando com , com os seguintes azimuth plano e distância:123°27'51.32" e 0.15; até o vértice P317, de coordenadas N 9214247.40 m e E 296564.61 m; deste, segue confrontando com , com os seguintes azimuth plano e distância:124°38'37.82" e 0.47; até o vértice P318, de coordenadas N 9214247.13 m e E 296564.99 m; deste, segue confrontando com , com os seguintes azimuth plano e distância:125°32'15.64" e 6.05; até o vértice P319, de coordenadas N 9214243.61 m e E 296569.92 m; deste, segue confrontando com , com os seguintes azimuth plano e distância:125°43'25.33" e 0.10; até o vértice P320, de coordenadas N 9214243.55 m e E 296570.00 m; deste, segue confrontando com , com os seguintes azimuth plano e distância:125°54'35.00" e 8.40; até o vértice P321, de coordenadas N 9214238.63 m e E 296576.80 m; deste, segue confrontando com , com os seguintes azimuth plano e distância:126°42'17.50" e 0.42; até o vértice P322, de coordenadas N 9214238.38 m e E 296577.13 m; deste, segue confrontando com , com os seguintes azimuth plano e distância:129°22'30.00" e 0.98; até o vértice P323, de coordenadas

Assinado por:  Para verificar a validade das assinaturas, acesse <https://joaopessoa.1doc.com.br/verificacao/E130-3F2A-7A96-549F> e informe o código E130-3F2A-7A96-549F

N 9214237.76 m e E 296577.89 m; deste, segue confrontando com , com os seguintes azimuth plano e distância:133°07'30.00" e 0.98; até o vértice P324, de coordenadas N 9214237.09 m e E 296578.61 m; deste, segue confrontando com , com os seguintes azimuth plano e distância:136°25'52.33" e 0.75; até o vértice P325, de coordenadas N 9214236.54 m e E 296579.12 m; deste, segue confrontando com , com os seguintes azimuth plano e distância:137°51'44.66" e 6.64; até o vértice P326, de coordenadas N 9214231.62 m e E 296583.58 m; deste, segue confrontando com , com os seguintes azimuth plano e distância:138°18'22.33" e 0.23; até o vértice P327, de coordenadas N 9214231.45 m e E 296583.73 m; deste, segue confrontando com , com os seguintes azimuth plano e distância:140°37'30.00" e 0.98; até o vértice P328, de coordenadas N 9214230.69 m e E 296584.36 m; deste, segue confrontando com , com os seguintes azimuth plano e distância:144°22'30.00" e 0.98; até o vértice P329, de coordenadas N 9214229.89 m e E 296584.93 m; deste, segue confrontando com , com os seguintes azimuth plano e distância:146°48'55.36" e 0.30; até o vértice P330, de coordenadas N 9214229.64 m e E 296585.09 m; deste, segue confrontando com , com os seguintes azimuth plano e distância:147°22'50.72" e 6.96; até o vértice P331, de coordenadas N 9214223.78 m e E 296588.84 m; deste, segue confrontando com , com os seguintes azimuth plano e distância:148°41'25.36" e 0.69; até o vértice P332, de coordenadas N 9214223.19 m e E 296589.20 m; deste, segue confrontando com , com os seguintes azimuth plano e distância:151°43'2.91" e 0.90; até o vértice P333, de coordenadas N 9214222.40 m e E 296589.62 m; deste, segue confrontando com , com os seguintes azimuth plano e distância:153°26'5.82" e 3.55; até o vértice P334, de coordenadas N 9214219.23 m e E 296591.21 m; deste, segue confrontando com , com os seguintes azimuth plano e distância:136°35'28.10" e 9.72; até o vértice P335, de coordenadas N 9214212.16 m e E 296597.89 m; deste, segue confrontando com , com os seguintes azimuth plano e distância:137°40'14.05" e 0.57; até o vértice P336, de coordenadas N 9214211.75 m e E 296598.27 m; deste, segue confrontando com , com os seguintes azimuth plano e distância:140°37'30.00" e 0.98; até o vértice P337, de coordenadas N 9214210.99 m e E 296598.90 m; deste, segue confrontando com , com os seguintes azimuth plano e distância:142°48'54.19" e 0.16; até o vértice P338, de coordenadas N 9214210.86 m e E 296599.00 m; deste, segue confrontando com , com os seguintes azimuth plano e distância:143°07'48.37" e 9.38; até o vértice P339, de coordenadas N 9214203.35 m e E 296604.62 m; deste, segue confrontando com , com os seguintes azimuth plano e distância:144°41'24.18" e 0.82; até o vértice P340, de coordenadas N 9214202.68 m e E 296605.10 m; deste, segue confrontando com , com os seguintes azimuth plano e distância:148°07'30.00" e 0.98; até o vértice P341, de coordenadas N 9214201.85 m e E 296605.61 m; deste, segue confrontando com , com os seguintes azimuth plano e distância:151°52'30.00" e 0.98; até o vértice P342, de coordenadas N 9214200.98 m e E 296606.08 m; deste, segue confrontando com , com os seguintes azimuth plano e distância:154°43'21.81" e 0.51; até o vértice P343, de coordenadas N 9214200.52 m e E 296606.29 m; deste, segue confrontando com , com os seguintes azimuth plano e distância:155°41'43.62" e 6.99; até o vértice P344, de coordenadas N 9214194.15 m e E 296609.17 m; deste, segue confrontando com , com os seguintes azimuth plano e distância:148°10'21.19" e 6.56; até o vértice P345, de coordenadas N 9214188.58 m e E 296612.63 m; deste, segue confrontando com , com os seguintes azimuth plano e distância:144°41'19.63" e 6.33; até o vértice P346, de coordenadas N 9214183.41 m e E 296616.29 m; deste, segue confrontando com , com os seguintes azimuth plano e distância:143°50'30.53" e 7.35; até o vértice P347, de coordenadas N 9214177.48 m e E 296620.63 m; deste, segue confrontando com , com os seguintes azimuth plano e distância:143°07'48.37" e 8.12; até o vértice P348, de coordenadas N 9214170.99 m e E 296625.50 m; deste, segue confrontando com , com os seguintes azimuth plano e distância:144°41'24.18" e 0.82; até o vértice P349, de coordenadas N 9214170.32 m e E 296625.97 m; deste, segue confrontando com , com os seguintes azimuth plano e distância:148°07'30.00" e 0.98; até o vértice P350, de coordenadas N 9214169.49 m e E 296626.49 m; deste, segue confrontando com , com os seguintes azimuth plano e distância:151°03'4.91" e 0.55; até o vértice P351, de coordenadas N 9214169.00 m e E 296626.75 m; deste, segue confrontando com , com os seguintes azimuth plano e distância:152°06'9.82" e 9.02; até o vértice P352, de coordenadas N 9214161.03 m e E 296630.97 m; deste, segue confrontando com , com os seguintes azimuth plano e distância:152°55'34.91" e 0.43; até o vértice P353, de coordenadas N 9214160.65 m e E 296631.17 m; deste, segue confrontando com , com os seguintes azimuth plano e distância:155°37'30.00" e 0.98; até o vértice P354, de coordenadas N 9214159.75 m e E 296631.58 m; deste, segue confrontando com , com os seguintes azimuth plano e distância:159°22'30.00" e 0.98; até o vértice P355, de coordenadas N 9214158.83 m e E 296631.92 m; deste, segue confrontando com , com os seguintes azimuth plano e distância:161°24'27.09" e 0.08; até o vértice P356, de coordenadas N 9214158.76 m e E 296631.95 m; deste, segue confrontando com , com os seguintes azimuth plano e distância:161°33'54.18" e 3.64; até o vértice P357, de coordenadas N 9214155.30 m e E 296633.10 m; deste, segue confrontando com , com os seguintes azimuth plano e distância:138°41'28.99" e 7.27; até o vértice P358, de coordenadas N 9214149.84 m e E 296637.90 m; deste, segue confrontando com , com os seguintes azimuth plano e distância:138°43'14.48" e 0.02; até o vértice P359, de coordenadas N 9214149.83 m e E 296637.91 m; deste, segue confrontando com , com os seguintes azimuth plano e distância:139°57'36.31" e 0.63; até o vértice P360, de coordenadas N 9214149.35 m e E 296638.32 m; deste, segue confrontando com , com os seguintes azimuth plano e distância:141°10'12.63" e 11.62; até o vértice P361, de coordenadas N 9214140.29 m e E 296645.60 m; deste, segue confrontando com , com os seguintes azimuth plano e distância:135°40'26.53" e 11.56; até o vértice P362, de coordenadas N 9214132.02 m e E 296653.68 m; deste, segue confrontando com , com os seguintes azimuth plano e distância:121°51'57.52" e 8.40; até o vértice P363, de coordenadas N 9214127.59 m e E 296660.82 m; deste, segue confrontando com , com os seguintes azimuth plano e distância:122°48'28.76" e 0.49; até o vértice P364, de coordenadas N 9214127.32 m e E 296661.23 m; deste, segue confrontando com , com os seguintes azimuth plano e distância:125°37'30.00" e 0.98; até o vértice P365, de coordenadas N 9214126.75 m e E 296662.03 m; deste, segue confrontando com , com os seguintes azimuth plano e distância:129°22'30.00" e 0.98; até o vértice P366, de coordenadas N 9214126.13 m e E 296662.79 m; deste, segue confrontando com , com os seguintes azimuth plano e distância:133°07'30.00" e 0.98; até o vértice P367, de coordenadas N 9214125.45 m e E 296663.50 m; deste, segue confrontando com , com os seguintes azimuth plano e distância:136°52'30.00" e 0.98; até o vértice P368, de coordenadas N 9214124.74 m e E 296664.17 m; deste, segue confrontando com , com os seguintes azimuth plano e distância:140°26'15.03" e 0.88; até o vértice P369, de coordenadas N 9214124.06 m e E 296664.74 m; deste, segue confrontando com , com os seguintes azimuth plano e distância:142°07'30.06" e 6.05; até o vértice P370, de coordenadas N 9214119.28 m e E 296668.45 m; deste,

Assinado por: **JOÃO PESSOA**
 Para verificar a validade das assinaturas, acesse <https://joaopessoa.1doc.com.br/verificacao/E130-3F2A-7A96-549F> e informe o código E130-3F2A-7A96-549F



segue confrontando com , com os seguintes azimuth plano e distância:127°08'48.07" e 7.13; até o vértice P371, de coordenadas N 9214114.98 m e E 296674.13 m; deste, segue confrontando com , com os seguintes azimuth plano e distância:122°28'16.29" e 5.06; até o vértice P372, de coordenadas N 9214112.26 m e E 296678.40 m; deste, segue confrontando com , com os seguintes azimuth plano e distância:119°03'16.58" e 4.38; até o vértice P373, de coordenadas N 9214110.14 m e E 296682.23 m; deste, segue confrontando com , com os seguintes azimuth plano e distância:119°31'38.29" e 0.25; até o vértice P374, de coordenadas N 9214110.01 m e E 296682.44 m; deste, segue confrontando com , com os seguintes azimuth plano e distância:121°52'30.00" e 0.98; até o vértice P375, de coordenadas N 9214109.50 m e E 296683.28 m; deste, segue confrontando com , com os seguintes azimuth plano e distância:125°37'30.00" e 0.98; até o vértice P376, de coordenadas N 9214108.92 m e E 296684.07 m; deste, segue confrontando com , com os seguintes azimuth plano e distância:129°22'30.00" e 0.98; até o vértice P377, de coordenadas N 9214108.30 m e E 296684.83 m; deste, segue confrontando com , com os seguintes azimuth plano e distância:133°07'30.00" e 0.98; até o vértice P378, de coordenadas N 9214107.63 m e E 296685.55 m; deste, segue confrontando com , com os seguintes azimuth plano e distância:136°52'30.00" e 0.98; até o vértice P379, de coordenadas N 9214106.91 m e E 296686.22 m; deste, segue confrontando com , com os seguintes azimuth plano e distância:140°02'42.35" e 0.68; até o vértice P380, de coordenadas N 9214106.39 m e E 296686.65 m; deste, segue confrontando com , com os seguintes azimuth plano e distância:141°20'24.69" e 2.68; até o vértice P381, de coordenadas N 9214104.30 m e E 296688.33 m; deste, segue confrontando com , com os seguintes azimuth plano e distância:127°27'2.08" e 12.06; até o vértice P382, de coordenadas N 9214096.97 m e E 296697.90 m; deste, segue confrontando com , com os seguintes azimuth plano e distância:127°28'31.04" e 0.01; até o vértice P383, de coordenadas N 9214096.96 m e E 296697.91 m; deste, segue confrontando com , com os seguintes azimuth plano e distância:129°22'30.00" e 0.98; até o vértice P384, de coordenadas N 9214096.34 m e E 296698.67 m; deste, segue confrontando com , com os seguintes azimuth plano e distância:133°07'30.00" e 0.98; até o vértice P385, de coordenadas N 9214095.67 m e E 296699.39 m; deste, segue confrontando com , com os seguintes azimuth plano e distância:136°52'30.00" e 0.98; até o vértice P386, de coordenadas N 9214094.95 m e E 296700.06 m; deste, segue confrontando com , com os seguintes azimuth plano e distância:140°37'30.00" e 0.98; até o vértice P387, de coordenadas N 9214094.19 m e E 296700.68 m; deste, segue confrontando com , com os seguintes azimuth plano e distância:143°03'28.17" e 0.29; até o vértice P388, de coordenadas N 9214093.96 m e E 296700.85 m; deste, segue confrontando com , com os seguintes azimuth plano e distância:143°36'56.33" e 11.07; até o vértice P389, de coordenadas N 9214085.05 m e E 296707.42 m; deste, segue confrontando com , com os seguintes azimuth plano e distância:144°24'35.32" e 0.42; até o vértice P390, de coordenadas N 9214084.71 m e E 296707.66 m; deste, segue confrontando com , com os seguintes azimuth plano e distância:145°12'14.31" e 15.93; até o vértice P391, de coordenadas N 9214071.63 m e E 296716.76 m; deste, segue confrontando com , com os seguintes azimuth plano e distância:138°12'55.74" e 13.87; até o vértice P392, de coordenadas N 9214061.29 m e E 296726.00 m; deste, segue confrontando com , com os seguintes azimuth plano e distância:138°28'57.87" e 0.14; até o vértice P393, de coordenadas N 9214061.18 m e E 296726.09 m; deste, segue confrontando com , com os seguintes azimuth plano e distância:140°17'46.99" e 0.81; até o vértice P394, de coordenadas N 9214060.56 m e E 296726.61 m; deste, segue confrontando com , com os seguintes azimuth plano e distância:141°50'33.98" e 8.05; até o vértice P395, de coordenadas N 9214054.23 m e E 296731.58 m; deste, segue confrontando com , com os seguintes azimuth plano e distância:139°32'15.98" e 10.18; até o vértice P396, de coordenadas N 9214046.49 m e E 296738.18 m; deste, segue confrontando com , com os seguintes azimuth plano e distância:139°39'2.55" e 0.06; até o vértice P397, de coordenadas N 9214046.44 m e E 296738.22 m; deste, segue confrontando com , com os seguintes azimuth plano e distância:139°45'49.11" e 7.99; até o vértice P398, de coordenadas N 9214040.34 m e E 296743.38 m; deste, segue confrontando com , com os seguintes azimuth plano e distância:141°07'54.56" e 0.72; até o vértice P399, de coordenadas N 9214039.79 m e E 296743.83 m; deste, segue confrontando com , com os seguintes azimuth plano e distância:142°48'54.18" e 0.16; até o vértice P400, de coordenadas N 9214039.65 m e E 296743.93 m; deste, segue confrontando com , com os seguintes azimuth plano e distância:143°07'48.37" e 26.06; até o vértice P401, de coordenadas N 9214018.81 m e E 296759.57 m; deste, segue confrontando com , com os seguintes azimuth plano e distância:136°11'36.56" e 14.50; até o vértice P402, de coordenadas N 9214008.34 m e E 296769.61 m; deste, segue confrontando com , com os seguintes azimuth plano e distância:132°16'25.28" e 9.95; até o vértice P403, de coordenadas N 9214001.65 m e E 296776.96 m; deste, segue confrontando com , com os seguintes azimuth plano e distância:133°38'12.64" e 0.71; até o vértice P404, de coordenadas N 9214001.16 m e E 296777.48 m; deste, segue confrontando com , com os seguintes azimuth plano e distância:136°49'34.00" e 0.96; até o vértice P405, de coordenadas N 9214000.46 m e E 296778.14 m; deste, segue confrontando com , com os seguintes azimuth plano e distância:138°39'8.00" e 6.53; até o vértice P406, de coordenadas N 9213995.56 m e E 296782.45 m; deste, segue confrontando com , com os seguintes azimuth plano e distância:128°55'39.16" e 6.56; até o vértice P407, de coordenadas N 9213991.43 m e E 296787.56 m; deste, segue confrontando com , com os seguintes azimuth plano e distância:130°05'19.58" e 0.61; até o vértice P408, de coordenadas N 9213991.04 m e E 296788.02 m; deste, segue confrontando com , com os seguintes azimuth plano e distância:131°41'37.67" e 0.23; até o vértice P409, de coordenadas N 9213990.89 m e E 296788.20 m; deste, segue confrontando com , com os seguintes azimuth plano e distância:132°08'15.34" e 6.60; até o vértice P410, de coordenadas N 9213986.46 m e E 296793.09 m; deste, segue confrontando com , com os seguintes azimuth plano e distância:131°49'12.61" e 5.59; até o vértice P411, de coordenadas N 9213982.73 m e E 296797.26 m; deste, segue confrontando com , com os seguintes azimuth plano e distância:129°10'25.17" e 7.82; até o vértice P412, de coordenadas N 9213977.79 m e E 296803.32 m; deste, segue confrontando com , com os seguintes azimuth plano e distância:130°12'42.58" e 0.54; até o vértice P413, de coordenadas N 9213977.44 m e E 296803.73 m; deste, segue confrontando com , com os seguintes azimuth plano e distância:133°07'30.00" e 0.98; até o vértice P414, de coordenadas N 9213976.77 m e E 296804.45 m; deste, segue confrontando com , com os seguintes azimuth plano e distância:136°52'30.00" e 0.98; até o vértice P415, de coordenadas N 9213976.05 m e E 296805.12 m; deste, segue confrontando com , com os seguintes azimuth plano e distância:140°37'30.00" e 0.98; até o vértice P416, de coordenadas N 9213975.29 m e E 296805.74 m; deste, segue confrontando com , com os seguintes azimuth plano e distância:144°22'30.00" e 0.98; até o vértice P417, de coordenadas N 9213974.49 m e E 296806.32 m; deste, segue confrontando com , com os seguintes

Assinado por: SÍLCIO DE LUCENA FILHO. Para verificar a validade das assinaturas, acesse <https://joaopessoa.1doc.com.br/verificacao/E130-3F2A-7A96-549F> e informe o código E130-3F2A-7A96-549F



azimute plano e distância:148°07'30.00" e 0.98; até o vértice P418, de coordenadas N 9213973.66 m e E 296806.83 m; deste, segue confrontando com , com os seguintes azimute plano e distância:151°52'30.00" e 0.98; até o vértice P419, de coordenadas N 9213972.79 m e E 296807.30 m; deste, segue confrontando com , com os seguintes azimute plano e distância:155°37'30.00" e 0.98; até o vértice P420, de coordenadas N 9213971.90 m e E 296807.70 m; deste, segue confrontando com , com os seguintes azimute plano e distância:159°12'11.71" e 0.89; até o vértice P421, de coordenadas N 9213971.07 m e E 296808.02 m; deste, segue confrontando com , com os seguintes azimute plano e distância:160°54'23.43" e 6.45; até o vértice P422, de coordenadas N 9213964.97 m e E 296810.13 m; deste, segue confrontando com , com os seguintes azimute plano e distância:161°04'41.72" e 0.09; até o vértice P423, de coordenadas N 9213964.88 m e E 296810.16 m; deste, segue confrontando com , com os seguintes azimute plano e distância:161°47'59.77" e 0.29; até o vértice P424, de coordenadas N 9213964.61 m e E 296810.25 m; deste, segue confrontando com , com os seguintes azimute plano e distância:162°20'59.55" e 3.92; até o vértice P425, de coordenadas N 9213960.88 m e E 296811.44 m; deste, segue confrontando com , com os seguintes azimute plano e distância:150°56'43.43" e 2.85; até o vértice P426, de coordenadas N 9213958.39 m e E 296812.82 m; deste, segue confrontando com , com os seguintes azimute plano e distância:147°15'53.19" e 0.45; até o vértice P427, de coordenadas N 9213958.01 m e E 296813.06 m; deste, segue confrontando com , com os seguintes azimute plano e distância:124°49'28.16" e 3.60; até o vértice P428, de coordenadas N 9213955.96 m e E 296816.01 m; deste, segue confrontando com , com os seguintes azimute plano e distância:126°09'44.08" e 0.70; até o vértice P429, de coordenadas N 9213955.55 m e E 296816.58 m; deste, segue confrontando com , com os seguintes azimute plano e distância:129°22'30.00" e 0.98; até o vértice P430, de coordenadas N 9213954.92 m e E 296817.34 m; deste, segue confrontando com , com os seguintes azimute plano e distância:133°07'30.00" e 0.98; até o vértice P431, de coordenadas N 9213954.25 m e E 296818.05 m; deste, segue confrontando com , com os seguintes azimute plano e distância:136°40'59.63" e 0.88; até o vértice P432, de coordenadas N 9213953.61 m e E 296818.66 m; deste, segue confrontando com , com os seguintes azimute plano e distância:138°21'59.26" e 14.12; até o vértice P433, de coordenadas N 9213943.06 m e E 296828.04 m; deste, segue confrontando com , com os seguintes azimute plano e distância:138°33'29.63" e 0.10; até o vértice P434, de coordenadas N 9213942.98 m e E 296828.11 m; deste, segue confrontando com , com os seguintes azimute plano e distância:140°37'30.00" e 0.98; até o vértice P435, de coordenadas N 9213942.22 m e E 296828.73 m; deste, segue confrontando com , com os seguintes azimute plano e distância:142°37'57.29" e 0.07; até o vértice P436, de coordenadas N 9213942.17 m e E 296828.77 m; deste, segue confrontando com , com os seguintes azimute plano e distância:142°45'54.60" e 6.67; até o vértice P437, de coordenadas N 9213936.86 m e E 296832.81 m; deste, segue confrontando com , com os seguintes azimute plano e distância:137°29'22.39" e 6.19; até o vértice P438, de coordenadas N 9213932.29 m e E 296836.99 m; deste, segue confrontando com , com os seguintes azimute plano e distância:131°45'37.08" e 5.41; até o vértice P439, de coordenadas N 9213928.69 m e E 296841.03 m; deste, segue confrontando com , com os seguintes azimute plano e distância:111°48'5.07" e 1.15; até o vértice P440, de coordenadas N 9213928.26 m e E 296842.10 m; deste, segue confrontando com , com os seguintes azimute plano e distância:112°09'2.54" e 0.18; até o vértice P441, de coordenadas N 9213928.19 m e E 296842.27 m; deste, segue confrontando com , com os seguintes azimute plano e distância:114°22'30.00" e 0.98; até o vértice P442, de coordenadas N 9213927.78 m e E 296843.16 m; deste, segue confrontando com , com os seguintes azimute plano e distância:118°07'30.00" e 0.98; até o vértice P443, de coordenadas N 9213927.32 m e E 296844.03 m; deste, segue confrontando com , com os seguintes azimute plano e distância:121°52'30.00" e 0.98; até o vértice P444, de coordenadas N 9213926.80 m e E 296844.86 m; deste, segue confrontando com , com os seguintes azimute plano e distância:125°18'35.82" e 0.82; até o vértice P445, de coordenadas N 9213926.33 m e E 296845.53 m; deste, segue confrontando com , com os seguintes azimute plano e distância:126°52'11.63" e 4.69; até o vértice P446, de coordenadas N 9213923.52 m e E 296849.28 m; deste, segue confrontando com , com os seguintes azimute plano e distância:127°11'5.82" e 0.16; até o vértice P447, de coordenadas N 9213923.42 m e E 296849.41 m; deste, segue confrontando com , com os seguintes azimute plano e distância:129°22'30.00" e 0.98; até o vértice P448, de coordenadas N 9213922.79 m e E 296850.17 m; deste, segue confrontando com , com os seguintes azimute plano e distância:132°35'4.34" e 0.70; até o vértice P449, de coordenadas N 9213922.32 m e E 296850.68 m; deste, segue confrontando com , com os seguintes azimute plano e distância:133°55'8.67" e 7.69; até o vértice P450, de coordenadas N 9213916.99 m e E 296856.22 m; deste, segue confrontando com , com os seguintes azimute plano e distância:125°32'15.64" e 6.97; até o vértice P451, de coordenadas N 9213912.93 m e E 296861.90 m; deste, segue confrontando com , com os seguintes azimute plano e distância:126°31'7.82" e 0.51; até o vértice P452, de coordenadas N 9213912.63 m e E 296862.31 m; deste, segue confrontando com , com os seguintes azimute plano e distância:127°35'49.63" e 0.05; até o vértice P453, de coordenadas N 9213912.60 m e E 296862.35 m; deste, segue confrontando com , com os seguintes azimute plano e distância:127°41'39.27" e 6.52; até o vértice P454, de coordenadas N 9213908.61 m e E 296867.51 m; deste, segue confrontando com , com os seguintes azimute plano e distância:129°28'19.63" e 0.93; até o vértice P455, de coordenadas N 9213908.02 m e E 296868.23 m; deste, segue confrontando com , com os seguintes azimute plano e distância:133°07'30.00" e 0.98; até o vértice P456, de coordenadas N 9213907.35 m e E 296868.94 m; deste, segue confrontando com , com os seguintes azimute plano e distância:136°11'34.70" e 0.62; até o vértice P457, de coordenadas N 9213906.90 m e E 296869.38 m; deste, segue confrontando com , com os seguintes azimute plano e distância:137°23'9.40" e 7.15; até o vértice P458, de coordenadas N 9213901.63 m e E 296874.22 m; deste, segue confrontando com , com os seguintes azimute plano e distância:131°11'9.33" e 4.17; até o vértice P459, de coordenadas N 9213898.88 m e E 296877.36 m; deste, segue confrontando com , com os seguintes azimute plano e distância:131°13'4.66" e 0.02; até o vértice P460, de coordenadas N 9213898.87 m e E 296877.37 m; deste, segue confrontando com , com os seguintes azimute plano e distância:133°07'30.00" e 0.98; até o vértice P461, de coordenadas N 9213898.20 m e E 296878.09 m; deste, segue confrontando com , com os seguintes azimute plano e distância:136°52'30.00" e 0.98; até o vértice P462, de coordenadas N 9213897.49 m e E 296878.76 m; deste, segue confrontando com , com os seguintes azimute plano e distância:140°37'30.00" e 0.98; até o vértice P463, de coordenadas N 9213896.73 m e E 296879.38 m; deste, segue confrontando com , com os seguintes azimute plano e distância:144°22'30.00" e 0.98; até o vértice P464, de coordenadas N 9213895.93 m e E 296879.96 m; deste, segue confrontando com , com os seguintes azimute plano e distância:148°07'30.00"

Assinado por: **Lucena Filho**
 Para verificar a validade das assinaturas, acesse <https://joaopessoa.1doc.com.br/verificacao/E130-3F2A-7A96-549F> e informe o código E130-3F2A-7A96-549F



0.98; até o vértice P465, de coordenadas N 9213895.10 m e E 296880.47 m; deste, segue confrontando com , com os seguintes azimuth plano e distância:151°52'30.00" e 0.98; até o vértice P466, de coordenadas N 9213894.23 m e E 296880.94 m; deste, segue confrontando com , com os seguintes azimuth plano e distância:155°37'30.00" e 0.98; até o vértice P467, de coordenadas N 9213893.34 m e E 296881.34 m; deste, segue confrontando com , com os seguintes azimuth plano e distância:158°38'15.25" e 0.60; até o vértice P468, de coordenadas N 9213892.78 m e E 296881.56 m; deste, segue confrontando com , com os seguintes azimuth plano e distância:159°46'30.51" e 3.40; até o vértice P469, de coordenadas N 9213889.59 m e E 296882.74 m; deste, segue confrontando com , com os seguintes azimuth plano e distância:149°32'4.04" e 3.13; até o vértice P470, de coordenadas N 9213886.89 m e E 296884.32 m; deste, segue confrontando com , com os seguintes azimuth plano e distância:148°23'32.99" e 2.92; até o vértice P471, de coordenadas N 9213884.40 m e E 296885.85 m; deste, segue confrontando com , com os seguintes azimuth plano e distância:144°27'44.36" e 6.47; até o vértice P472, de coordenadas N 9213879.14 m e E 296889.61 m; deste, segue confrontando com , com os seguintes azimuth plano e distância:136°10'8.90" e 7.04; até o vértice P473, de coordenadas N 9213874.06 m e E 296894.49 m; deste, segue confrontando com , com os seguintes azimuth plano e distância:137°27'34.45" e 0.68; até o vértice P474, de coordenadas N 9213873.56 m e E 296894.94 m; deste, segue confrontando com , com os seguintes azimuth plano e distância:140°28'55.67" e 0.91; até o vértice P475, de coordenadas N 9213872.86 m e E 296895.52 m; deste, segue confrontando com , com os seguintes azimuth plano e distância:142°12'51.34" e 25.28; até o vértice P476, de coordenadas N 9213852.88 m e E 296911.01 m; deste, segue confrontando com , com os seguintes azimuth plano e distância:133°36'10.15" e 5.06; até o vértice P477, de coordenadas N 9213849.40 m e E 296914.67 m; deste, segue confrontando com , com os seguintes azimuth plano e distância:128°55'39.16" e 7.23; até o vértice P478, de coordenadas N 9213844.86 m e E 296920.30 m; deste, segue confrontando com , com os seguintes azimuth plano e distância:130°05'19.58" e 0.61; até o vértice P479, de coordenadas N 9213844.46 m e E 296920.76 m; deste, segue confrontando com , com os seguintes azimuth plano e distância:133°07'30.00" e 0.98; até o vértice P480, de coordenadas N 9213843.79 m e E 296921.48 m; deste, segue confrontando com , com os seguintes azimuth plano e distância:136°52'30.00" e 0.98; até o vértice P481, de coordenadas N 9213843.08 m e E 296922.15 m; deste, segue confrontando com , com os seguintes azimuth plano e distância:140°37'30.00" e 0.98; até o vértice P482, de coordenadas N 9213842.32 m e E 296922.77 m; deste, segue confrontando com , com os seguintes azimuth plano e distância:144°22'30.00" e 0.98; até o vértice P483, de coordenadas N 9213841.52 m e E 296923.34 m; deste, segue confrontando com , com os seguintes azimuth plano e distância:148°07'30.00" e 0.98; até o vértice P484, de coordenadas N 9213840.69 m e E 296923.86 m; deste, segue confrontando com , com os seguintes azimuth plano e distância:151°52'30.00" e 0.98; até o vértice P485, de coordenadas N 9213839.82 m e E 296924.32 m; deste, segue confrontando com , com os seguintes azimuth plano e distância:155°37'30.00" e 0.98; até o vértice P486, de coordenadas N 9213838.93 m e E 296924.73 m; deste, segue confrontando com , com os seguintes azimuth plano e distância:158°45'30.41" e 0.66; até o vértice P487, de coordenadas N 9213838.31 m e E 296924.97 m; deste, segue confrontando com , com os seguintes azimuth plano e distância:160°01'0.82" e 4.17; até o vértice P488, de coordenadas N 9213834.40 m e E 296926.39 m; deste, segue confrontando com , com os seguintes azimuth plano e distância:149°55'53.10" e 2.65; até o vértice P489, de coordenadas N 9213832.10 m e E 296927.72 m; deste, segue confrontando com , com os seguintes azimuth plano e distância:141°00'32.42" e 5.17; até o vértice P490, de coordenadas N 9213828.08 m e E 296930.97 m; deste, segue confrontando com , com os seguintes azimuth plano e distância:141°45'16.21" e 0.39; até o vértice P491, de coordenadas N 9213827.78 m e E 296931.21 m; deste, segue confrontando com , com os seguintes azimuth plano e distância:144°22'30.00" e 0.98; até o vértice P492, de coordenadas N 9213826.98 m e E 296931.79 m; deste, segue confrontando com , com os seguintes azimuth plano e distância:147°14'42.94" e 0.52; até o vértice P493, de coordenadas N 9213826.54 m e E 296932.07 m; deste, segue confrontando com , com os seguintes azimuth plano e distância:148°14'25.87" e 5.79; até o vértice P494, de coordenadas N 9213821.62 m e E 296935.12 m; deste, segue confrontando com , com os seguintes azimuth plano e distância:149°07'12.94" e 0.46; até o vértice P495, de coordenadas N 9213821.22 m e E 296935.35 m; deste, segue confrontando com , com os seguintes azimuth plano e distância:151°52'30.00" e 0.98; até o vértice P496, de coordenadas N 9213820.36 m e E 296935.82 m; deste, segue confrontando com , com os seguintes azimuth plano e distância:154°08'35.98" e 0.21; até o vértice P497, de coordenadas N 9213820.17 m e E 296935.91 m; deste, segue confrontando com , com os seguintes azimuth plano e distância:154°32'11.96" e 4.89; até o vértice P498, de coordenadas N 9213815.75 m e E 296938.01 m; deste, segue confrontando com , com os seguintes azimuth plano e distância:150°15'18.43" e 2.60; até o vértice P499, de coordenadas N 9213813.50 m e E 296939.30 m; deste, segue confrontando com , com os seguintes azimuth plano e distância:145°29'29.32" e 1.75; até o vértice P500, de coordenadas N 9213812.05 m e E 296940.29 m; deste, segue confrontando com , com os seguintes azimuth plano e distância:128°59'27.58" e 4.16; até o vértice P501, de coordenadas N 9213809.43 m e E 296943.53 m; deste, segue confrontando com , com os seguintes azimuth plano e distância:130°07'13.79" e 0.59; até o vértice P502, de coordenadas N 9213809.05 m e E 296943.98 m; deste, segue confrontando com , com os seguintes azimuth plano e distância:132°15'25.73" e 0.53; até o vértice P503, de coordenadas N 9213808.70 m e E 296944.37 m; deste, segue confrontando com , com os seguintes azimuth plano e distância:133°15'51.46" e 4.77; até o vértice P504, de coordenadas N 9213805.43 m e E 296947.84 m; deste, segue confrontando com , com os seguintes azimuth plano e distância:127°52'29.94" e 3.59; até o vértice P505, de coordenadas N 9213803.23 m e E 296950.67 m; deste, segue confrontando com , com os seguintes azimuth plano e distância:91°58'29.76" e 2.23; até o vértice P506, de coordenadas N 9213803.15 m e E 296952.90 m; deste, segue confrontando com , com os seguintes azimuth plano e distância:92°51'44.88" e 0.46; até o vértice P507, de coordenadas N 9213803.13 m e E 296953.36 m; deste, segue confrontando com , com os seguintes azimuth plano e distância:95°37'30.00" e 0.98; até o vértice P508, de coordenadas N 9213803.03 m e E 296954.34 m; deste, segue confrontando com , com os seguintes azimuth plano e distância:99°22'30.00" e 0.98; até o vértice P509, de coordenadas N 9213802.87 m e E 296955.31 m; deste, segue confrontando com , com os seguintes azimuth plano e distância:103°07'30.00" e 0.98; até o vértice P510, de coordenadas N 9213802.65 m e E 296956.26 m; deste, segue confrontando com , com os seguintes azimuth plano e distância:106°52'30.00" e 0.98; até o vértice P511, de coordenadas N 9213802.36 m e E 296957.20 m; deste, segue confrontando com , com os seguintes azimuth plano e distância:110°37'30.00" e 0.98; até o vértice P512, de coordenadas

Assinado por João Pessoa. Para verificar a validade das assinaturas, acesse <https://joaopessoa.1doc.com.br/verificacao/E130-3F2A-7A96-549F> e informe o código E130-3F2A-7A96-549F

N 9213802.02 m e E 296958.12 m; deste, segue confrontando com , com os seguintes azimuth plano e distância:114°22'30.00" e 0.98; até o vértice P513, de coordenadas N 9213801.61 m e E 296959.02 m; deste, segue confrontando com , com os seguintes azimuth plano e distância:118°07'30.00" e 0.98; até o vértice P514, de coordenadas N 9213801.15 m e E 296959.88 m; deste, segue confrontando com , com os seguintes azimuth plano e distância:121°14'8.15" e 0.65; até o vértice P515, de coordenadas N 9213800.81 m e E 296960.43 m; deste, segue confrontando com , com os seguintes azimuth plano e distância:122°28'16.29" e 6.12; até o vértice P516, de coordenadas N 9213797.53 m e E 296965.59 m; deste, segue confrontando com , com os seguintes azimuth plano e distância:123°06'38.15" e 0.33; até o vértice P517, de coordenadas N 9213797.35 m e E 296965.87 m; deste, segue confrontando com , com os seguintes azimuth plano e distância:125°37'30.00" e 0.98; até o vértice P518, de coordenadas N 9213796.77 m e E 296966.67 m; deste, segue confrontando com , com os seguintes azimuth plano e distância:129°22'30.00" e 0.98; até o vértice P519, de coordenadas N 9213796.15 m e E 296967.43 m; deste, segue confrontando com , com os seguintes azimuth plano e distância:133°07'30.00" e 0.98; até o vértice P520, de coordenadas N 9213795.48 m e E 296968.15 m; deste, segue confrontando com , com os seguintes azimuth plano e distância:135°17'43.19" e 0.15; até o vértice P521, de coordenadas N 9213795.37 m e E 296968.26 m; deste, segue confrontando com , com os seguintes azimuth plano e distância:135°35'26.37" e 16.09; até o vértice P522, de coordenadas N 9213783.88 m e E 296979.51 m; deste, segue confrontando com , com os seguintes azimuth plano e distância:137°10'13.18" e 0.83; até o vértice P523, de coordenadas N 9213783.27 m e E 296980.08 m; deste, segue confrontando com , com os seguintes azimuth plano e distância:140°37'30.00" e 0.98; até o vértice P524, de coordenadas N 9213782.51 m e E 296980.70 m; deste, segue confrontando com , com os seguintes azimuth plano e distância:144°22'30.00" e 0.98; até o vértice P525, de coordenadas N 9213781.72 m e E 296981.27 m; deste, segue confrontando com , com os seguintes azimuth plano e distância:148°07'30.00" e 0.98; até o vértice P526, de coordenadas N 9213780.88 m e E 296981.79 m; deste, segue confrontando com , com os seguintes azimuth plano e distância:151°52'30.00" e 0.98; até o vértice P527, de coordenadas N 9213780.02 m e E 296982.25 m; deste, segue confrontando com , com os seguintes azimuth plano e distância:154°48'8.02" e 0.55; até o vértice P528, de coordenadas N 9213779.52 m e E 296982.49 m; deste, segue confrontando com , com os seguintes azimuth plano e distância:155°51'16.05" e 4.90; até o vértice P529, de coordenadas N 9213775.05 m e E 296984.49 m; deste, segue confrontando com , com os seguintes azimuth plano e distância:136°32'53.37" e 1.90; até o vértice P530, de coordenadas N 9213773.67 m e E 296985.80 m; deste, segue confrontando com , com os seguintes azimuth plano e distância:123°41'24.24" e 3.13; até o vértice P531, de coordenadas N 9213771.93 m e E 296988.40 m; deste, segue confrontando com , com os seguintes azimuth plano e distância:121°45'34.13" e 5.54; até o vértice P532, de coordenadas N 9213769.02 m e E 296993.11 m; deste, segue confrontando com , com os seguintes azimuth plano e distância:122°45'17.06" e 0.52; até o vértice P533, de coordenadas N 9213768.74 m e E 296993.55 m; deste, segue confrontando com , com os seguintes azimuth plano e distância:125°37'30.00" e 0.98; até o vértice P534, de coordenadas N 9213768.16 m e E 296994.35 m; deste, segue confrontando com , com os seguintes azimuth plano e distância:129°22'30.00" e 0.98; até o vértice P535, de coordenadas N 9213767.54 m e E 296995.10 m; deste, segue confrontando com , com os seguintes azimuth plano e distância:133°07'30.00" e 0.98; até o vértice P536, de coordenadas N 9213766.87 m e E 296995.82 m; deste, segue confrontando com , com os seguintes azimuth plano e distância:135°00'0.00" e 3.79; até o vértice P537, de coordenadas N 9213764.19 m e E 296998.50 m; deste, segue confrontando com , com os seguintes azimuth plano e distância:120°57'49.52" e 4.99; até o vértice P538, de coordenadas N 9213761.62 m e E 297002.78 m; deste, segue confrontando com , com os seguintes azimuth plano e distância:122°21'24.76" e 0.73; até o vértice P539, de coordenadas N 9213761.23 m e E 297003.40 m; deste, segue confrontando com , com os seguintes azimuth plano e distância:125°37'30.00" e 0.98; até o vértice P540, de coordenadas N 9213760.66 m e E 297004.20 m; deste, segue confrontando com , com os seguintes azimuth plano e distância:128°04'47.65" e 0.30; até o vértice P541, de coordenadas N 9213760.47 m e E 297004.43 m; deste, segue confrontando com , com os seguintes azimuth plano e distância:128°39'35.31" e 6.70; até o vértice P542, de coordenadas N 9213756.29 m e E 297009.66 m; deste, segue confrontando com , com os seguintes azimuth plano e distância:122°28'16.29" e 5.30; até o vértice P543, de coordenadas N 9213753.44 m e E 297014.14 m; deste, segue confrontando com , com os seguintes azimuth plano e distância:123°06'38.15" e 0.33; até o vértice P544, de coordenadas N 9213753.26 m e E 297014.42 m; deste, segue confrontando com , com os seguintes azimuth plano e distância:125°37'30.00" e 0.98; até o vértice P545, de coordenadas N 9213752.68 m e E 297015.22 m; deste, segue confrontando com , com os seguintes azimuth plano e distância:129°22'30.00" e 0.98; até o vértice P546, de coordenadas N 9213752.06 m e E 297015.98 m; deste, segue confrontando com , com os seguintes azimuth plano e distância:133°07'30.00" e 0.98; até o vértice P547, de coordenadas N 9213751.39 m e E 297016.69 m; deste, segue confrontando com , com os seguintes azimuth plano e distância:135°00'0.00" e 7.30; até o vértice P548, de coordenadas N 9213746.23 m e E 297021.85 m; deste, segue confrontando com , com os seguintes azimuth plano e distância:136°14'41.20" e 0.65; até o vértice P549, de coordenadas N 9213745.76 m e E 297022.30 m; deste, segue confrontando com , com os seguintes azimuth plano e distância:137°29'22.39" e 6.93; até o vértice P550, de coordenadas N 9213740.65 m e E 297026.99 m; deste, segue confrontando com , com os seguintes azimuth plano e distância:132°08'15.34" e 5.94; até o vértice P551, de coordenadas N 9213736.66 m e E 297031.39 m; deste, segue confrontando com , com os seguintes azimuth plano e distância:133°34'7.67" e 0.75; até o vértice P552, de coordenadas N 9213736.15 m e E 297031.94 m; deste, segue confrontando com , com os seguintes azimuth plano e distância:136°52'30.00" e 0.98; até o vértice P553, de coordenadas N 9213735.43 m e E 297032.61 m; deste, segue confrontando com , com os seguintes azimuth plano e distância:140°37'30.00" e 0.98; até o vértice P554, de coordenadas N 9213734.67 m e E 297033.23 m; deste, segue confrontando com , com os seguintes azimuth plano e distância:144°22'30.00" e 0.98; até o vértice P555, de coordenadas N 9213733.87 m e E 297033.80 m; deste, segue confrontando com , com os seguintes azimuth plano e distância:147°50'7.39" e 0.83; até o vértice P556, de coordenadas N 9213733.17 m e E 297034.24 m; deste, segue confrontando com , com os seguintes azimuth plano e distância:149°25'14.78" e 3.33; até o vértice P557, de coordenadas N 9213730.30 m e E 297035.94 m; deste, segue confrontando com , com os seguintes azimuth plano e distância:129°17'21.86" e 7.34; até o vértice P558, de coordenadas N 9213725.66 m e E 297041.62 m; deste, segue confrontando com , com os seguintes azimuth plano e distância:130°16'10.93" e 0.51; até o vértice P559, de coordenadas N 9213725.33 m e E 297042.01 m; deste,

Assinado por: João Pessoa, 06 de junho de 2024. Para verificar a validade das assinaturas, acesse <https://joaopessoa.1doc.com.br/verificacao/E130-3F2A-7A96-549F> e informe o código E130-3F2A-7A96-549F



segue confrontando com , com os seguintes azimute plano e distância:131°20'12.58" e 0.05; até o vértice P560, de coordenadas N 9213725.30 m e E 297042.04 m; deste, segue confrontando com , com os seguintes azimute plano e distância:131°25'25.20" e 15.95; até o vértice P561, de coordenadas N 9213714.74 m e E 297054.00 m; deste, segue confrontando com , com os seguintes azimute plano e distância:133°12'42.60" e 0.94; até o vértice P562, de coordenadas N 9213714.10 m e E 297054.69 m; deste, segue confrontando com , com os seguintes azimute plano e distância:136°52'30.00" e 0.98; até o vértice P563, de coordenadas N 9213713.39 m e E 297055.36 m; deste, segue confrontando com , com os seguintes azimute plano e distância:140°37'30.00" e 0.98; até o vértice P564, de coordenadas N 9213712.63 m e E 297055.98 m; deste, segue confrontando com , com os seguintes azimute plano e distância:144°22'30.00" e 0.98; até o vértice P565, de coordenadas N 9213711.83 m e E 297056.55 m; deste, segue confrontando com , com os seguintes azimute plano e distância:147°07'20.31" e 0.46; até o vértice P566, de coordenadas N 9213711.45 m e E 297056.80 m; deste, segue confrontando com , com os seguintes azimute plano e distância:147°59'40.62" e 8.01; até o vértice P567, de coordenadas N 9213704.65 m e E 297061.04 m; deste, segue confrontando com , com os seguintes azimute plano e distância:141°34'55.00" e 6.72; até o vértice P568, de coordenadas N 9213699.39 m e E 297065.22 m; deste, segue confrontando com , com os seguintes azimute plano e distância:133°01'30.24" e 8.50; até o vértice P569, de coordenadas N 9213693.59 m e E 297071.43 m; deste, segue confrontando com , com os seguintes azimute plano e distância:134°00'45.12" e 0.52; até o vértice P570, de coordenadas N 9213693.23 m e E 297071.81 m; deste, segue confrontando com , com os seguintes azimute plano e distância:135°00'0.00" e 8.95; até o vértice P571, de coordenadas N 9213686.90 m e E 297078.14 m; deste, segue confrontando com , com os seguintes azimute plano e distância:136°52'30.00" e 0.98; até o vértice P572, de coordenadas N 9213686.18 m e E 297078.81 m; deste, segue confrontando com , com os seguintes azimute plano e distância:140°37'30.00" e 0.98; até o vértice P573, de coordenadas N 9213685.42 m e E 297079.43 m; deste, segue confrontando com , com os seguintes azimute plano e distância:143°49'21.98" e 0.69; até o vértice P574, de coordenadas N 9213684.86 m e E 297079.84 m; deste, segue confrontando com , com os seguintes azimute plano e distância:145°08'43.96" e 14.78; até o vértice P575, de coordenadas N 9213672.74 m e E 297088.29 m; deste, segue confrontando com , com os seguintes azimute plano e distância:135°47'5.37" e 10.88; até o vértice P576, de coordenadas N 9213664.94 m e E 297095.87 m; deste, segue confrontando com , com os seguintes azimute plano e distância:137°16'2.68" e 0.78; até o vértice P577, de coordenadas N 9213664.37 m e E 297096.40 m; deste, segue confrontando com , com os seguintes azimute plano e distância:139°57'36.32" e 0.63; até o vértice P578, de coordenadas N 9213663.89 m e E 297096.81 m; deste, segue confrontando com , com os seguintes azimute plano e distância:141°10'12.63" e 10.46; até o vértice P579, de coordenadas N 9213655.74 m e E 297103.37 m; deste, segue confrontando com , com os seguintes azimute plano e distância:126°52'11.63" e 3.98; até o vértice P580, de coordenadas N 9213653.35 m e E 297106.55 m; deste, segue confrontando com , com os seguintes azimute plano e distância:127°11'5.81" e 0.16; até o vértice P581, de coordenadas N 9213653.25 m e E 297106.68 m; deste, segue confrontando com , com os seguintes azimute plano e distância:129°22'30.00" e 0.98; até o vértice P582, de coordenadas N 9213652.62 m e E 297107.44 m; deste, segue confrontando com , com os seguintes azimute plano e distância:133°07'30.00" e 0.98; até o vértice P583, de coordenadas N 9213651.95 m e E 297108.16 m; deste, segue confrontando com , com os seguintes azimute plano e distância:136°52'30.00" e 0.98; até o vértice P584, de coordenadas N 9213651.24 m e E 297108.83 m; deste, segue confrontando com , com os seguintes azimute plano e distância:140°37'30.00" e 0.98; até o vértice P585, de coordenadas N 9213650.48 m e E 297109.45 m; deste, segue confrontando com , com os seguintes azimute plano e distância:143°00'55.38" e 0.27; até o vértice P586, de coordenadas N 9213650.26 m e E 297109.61 m; deste, segue confrontando com , com os seguintes azimute plano e distância:143°31'50.76" e 6.71; até o vértice P587, de coordenadas N 9213644.87 m e E 297113.60 m; deste, segue confrontando com , com os seguintes azimute plano e distância:144°53'25.38" e 0.71; até o vértice P588, de coordenadas N 9213644.29 m e E 297114.01 m; deste, segue confrontando com , com os seguintes azimute plano e distância:147°07'20.31" e 0.46; até o vértice P589, de coordenadas N 9213643.90 m e E 297114.26 m; deste, segue confrontando com , com os seguintes azimute plano e distância:147°59'40.62" e 3.37; até o vértice P590, de coordenadas N 9213641.04 m e E 297116.05 m; deste, segue confrontando com , com os seguintes azimute plano e distância:139°58'11.07" e 5.04; até o vértice P591, de coordenadas N 9213637.18 m e E 297119.29 m; deste, segue confrontando com , com os seguintes azimute plano e distância:128°02'49.35" e 5.28; até o vértice P592, de coordenadas N 9213633.93 m e E 297123.45 m; deste, segue confrontando com , com os seguintes azimute plano e distância:128°55'34.70" e 0.46; até o vértice P593, de coordenadas N 9213633.64 m e E 297123.80 m; deste, segue confrontando com , com os seguintes azimute plano e distância:129°48'20.06" e 2.95; até o vértice P594, de coordenadas N 9213631.75 m e E 297126.07 m; deste, segue confrontando com , com os seguintes azimute plano e distância:124°22'49.24" e 4.69; até o vértice P595, de coordenadas N 9213629.10 m e E 297129.94 m; deste, segue confrontando com , com os seguintes azimute plano e distância:125°56'24.62" e 0.82; até o vértice P596, de coordenadas N 9213628.62 m e E 297130.60 m; deste, segue confrontando com , com os seguintes azimute plano e distância:129°22'30.00" e 0.98; até o vértice P597, de coordenadas N 9213628.00 m e E 297131.36 m; deste, segue confrontando com , com os seguintes azimute plano e distância:133°07'30.00" e 0.98; até o vértice P598, de coordenadas N 9213627.33 m e E 297132.08 m; deste, segue confrontando com , com os seguintes azimute plano e distância:136°14'41.19" e 0.65; até o vértice P599, de coordenadas N 9213626.86 m e E 297132.53 m; deste, segue confrontando com , com os seguintes azimute plano e distância:137°29'22.39" e 3.82; até o vértice P600, de coordenadas N 9213624.04 m e E 297135.11 m; deste, segue confrontando com , com os seguintes azimute plano e distância:138°07'11.20" e 0.33; até o vértice P601, de coordenadas N 9213623.80 m e E 297135.33 m; deste, segue confrontando com , com os seguintes azimute plano e distância:140°13'47.71" e 0.77; até o vértice P602, de coordenadas N 9213623.20 m e E 297135.83 m; deste, segue confrontando com , com os seguintes azimute plano e distância:141°42'35.41" e 5.16; até o vértice P603, de coordenadas N 9213619.16 m e E 297139.02 m; deste, segue confrontando com , com os seguintes azimute plano e distância:137°43'34.72" e 3.72; até o vértice P604, de coordenadas N 9213616.41 m e E 297141.52 m; deste, segue confrontando com , com os seguintes azimute plano e distância:117°04'19.49" e 9.12; até o vértice P605, de coordenadas N 9213612.26 m e E 297149.64 m; deste, segue confrontando com , com os seguintes azimute plano e distância:118°32'9.74" e 0.77; até o vértice P606, de coordenadas N 9213611.89 m e E 297150.31 m; deste, segue confrontando com , com os seguintes

Assinado por: SÍCERO DE LUCENA FILHO
Para verificar a validade das assinaturas, acesse <https://joaopessoa.1doc.com.br/verificacao/E130-3F2A-7A96-549F> e informe o código E130-3F2A-7A96-549F

azimute plano e distância:121°50'42.12" e 0.97; até o vértice P607, de coordenadas N 9213611.38 m e E 297151.13 m; deste, segue confrontando com , com os seguintes azimute plano e distância:123°41'24.24" e 4.23; até o vértice P608, de coordenadas N 9213609.03 m e E 297154.65 m; deste, segue confrontando com , com os seguintes azimute plano e distância:123°43'12.11" e 0.02; até o vértice P609, de coordenadas N 9213609.03 m e E 297154.66 m; deste, segue confrontando com , com os seguintes azimute plano e distância:125°10'13.96" e 0.74; até o vértice P610, de coordenadas N 9213608.60 m e E 297155.27 m; deste, segue confrontando com , com os seguintes azimute plano e distância:126°35'27.92" e 19.12; até o vértice P611, de coordenadas N 9213597.20 m e E 297170.63 m; deste, segue confrontando com , com os seguintes azimute plano e distância:125°23'41.26" e 10.49; até o vértice P612, de coordenadas N 9213591.13 m e E 297179.17 m; deste, segue confrontando com , com os seguintes azimute plano e distância:123°10'42.64" e 7.00; até o vértice P613, de coordenadas N 9213587.30 m e E 297185.03 m; deste, segue confrontando com , com os seguintes azimute plano e distância:123°27'51.32" e 0.15; até o vértice P614, de coordenadas N 9213587.21 m e E 297185.15 m; deste, segue confrontando com , com os seguintes azimute plano e distância:125°37'30.00" e 0.98; até o vértice P615, de coordenadas N 9213586.64 m e E 297185.95 m; deste, segue confrontando com , com os seguintes azimute plano e distância:128°04'47.65" e 0.30; até o vértice P616, de coordenadas N 9213586.46 m e E 297186.19 m; deste, segue confrontando com , com os seguintes azimute plano e distância:128°39'35.31" e 4.51; até o vértice P617, de coordenadas N 9213583.64 m e E 297189.71 m; deste, segue confrontando com , com os seguintes azimute plano e distância:129°57'17.66" e 0.68; até o vértice P618, de coordenadas N 9213583.21 m e E 297190.23 m; deste, segue confrontando com , com os seguintes azimute plano e distância:133°07'30.00" e 0.98; até o vértice P619, de coordenadas N 9213582.54 m e E 297190.94 m; deste, segue confrontando com , com os seguintes azimute plano e distância:135°52'4.27" e 0.45; até o vértice P620, de coordenadas N 9213582.21 m e E 297191.26 m; deste, segue confrontando com , com os seguintes azimute plano e distância:136°44'8.54" e 5.47; até o vértice P621, de coordenadas N 9213578.22 m e E 297195.01 m; deste, segue confrontando com , com os seguintes azimute plano e distância:137°44'34.27" e 0.53; até o vértice P622, de coordenadas N 9213577.83 m e E 297195.37 m; deste, segue confrontando com , com os seguintes azimute plano e distância:138°58'2.85" e 0.11; até o vértice P623, de coordenadas N 9213577.75 m e E 297195.44 m; deste, segue confrontando com , com os seguintes azimute plano e distância:139°11'5.70" e 4.41; até o vértice P624, de coordenadas N 9213574.41 m e E 297198.33 m; deste, segue confrontando com , com os seguintes azimute plano e distância:120°57'49.52" e 5.80; até o vértice P625, de coordenadas N 9213571.42 m e E 297203.30 m; deste, segue confrontando com , com os seguintes azimute plano e distância:122°21'24.76" e 0.73; até o vértice P626, de coordenadas N 9213571.03 m e E 297203.91 m; deste, segue confrontando com , com os seguintes azimute plano e distância:125°04'1.83" e 0.69; até o vértice P627, de coordenadas N 9213570.64 m e E 297204.48 m; deste, segue confrontando com , com os seguintes azimute plano e distância:126°23'3.67" e 4.25; até o vértice P628, de coordenadas N 9213568.12 m e E 297207.90 m; deste, segue confrontando com , com os seguintes azimute plano e distância:116°33'54.18" e 7.63; até o vértice P629, de coordenadas N 9213564.71 m e E 297214.72 m; deste, segue confrontando com , com os seguintes azimute plano e distância:118°16'57.09" e 0.90; até o vértice P630, de coordenadas N 9213564.28 m e E 297215.51 m; deste, segue confrontando com , com os seguintes azimute plano e distância:121°52'30.00" e 0.98; até o vértice P631, de coordenadas N 9213563.76 m e E 297216.34 m; deste, segue confrontando com , com os seguintes azimute plano e distância:125°37'30.00" e 0.98; até o vértice P632, de coordenadas N 9213563.19 m e E 297217.14 m; deste, segue confrontando com , com os seguintes azimute plano e distância:129°22'30.00" e 0.98; até o vértice P633, de coordenadas N 9213562.57 m e E 297217.90 m; deste, segue confrontando com , com os seguintes azimute plano e distância:132°29'18.55" e 0.65; até o vértice P634, de coordenadas N 9213562.13 m e E 297218.38 m; deste, segue confrontando com , com os seguintes azimute plano e distância:133°43'37.09" e 6.80; até o vértice P635, de coordenadas N 9213557.43 m e E 297223.29 m; deste, segue confrontando com , com os seguintes azimute plano e distância:128°39'35.31" e 6.33; até o vértice P636, de coordenadas N 9213553.48 m e E 297228.23 m; deste, segue confrontando com , com os seguintes azimute plano e distância:124°41'42.55" e 5.17; até o vértice P637, de coordenadas N 9213550.54 m e E 297232.48 m; deste, segue confrontando com , com os seguintes azimute plano e distância:111°32'27.51" e 7.85; até o vértice P638, de coordenadas N 9213547.65 m e E 297239.78 m; deste, segue confrontando com , com os seguintes azimute plano e distância:112°01'13.76" e 0.25; até o vértice P639, de coordenadas N 9213547.56 m e E 297240.02 m; deste, segue confrontando com , com os seguintes azimute plano e distância:114°22'30.00" e 0.98; até o vértice P640, de coordenadas N 9213547.15 m e E 297240.91 m; deste, segue confrontando com , com os seguintes azimute plano e distância:118°07'30.00" e 0.98; até o vértice P641, de coordenadas N 9213546.69 m e E 297241.78 m; deste, segue confrontando com , com os seguintes azimute plano e distância:121°52'30.00" e 0.98; até o vértice P642, de coordenadas N 9213546.17 m e E 297242.61 m; deste, segue confrontando com , com os seguintes azimute plano e distância:125°37'30.00" e 0.98; até o vértice P643, de coordenadas N 9213545.60 m e E 297243.41 m; deste, segue confrontando com , com os seguintes azimute plano e distância:129°22'30.00" e 0.98; até o vértice P644, de coordenadas N 9213544.98 m e E 297244.17 m; deste, segue confrontando com , com os seguintes azimute plano e distância:133°07'30.00" e 0.98; até o vértice P645, de coordenadas N 9213544.31 m e E 297244.88 m; deste, segue confrontando com , com os seguintes azimute plano e distância:136°52'30.00" e 0.98; até o vértice P646, de coordenadas N 9213543.59 m e E 297245.55 m; deste, segue confrontando com , com os seguintes azimute plano e distância:140°37'30.00" e 0.98; até o vértice P647, de coordenadas N 9213542.83 m e E 297246.18 m; deste, segue confrontando com , com os seguintes azimute plano e distância:143°54'8.72" e 0.73; até o vértice P648, de coordenadas N 9213542.24 m e E 297246.61 m; deste, segue confrontando com , com os seguintes azimute plano e distância:145°18'17.45" e 7.28; até o vértice P649, de coordenadas N 9213536.26 m e E 297250.75 m; deste, segue confrontando com , com os seguintes azimute plano e distância:144°14'46.01" e 4.31; até o vértice P650, de coordenadas N 9213532.75 m e E 297253.27 m; deste, segue confrontando com , com os seguintes azimute plano e distância:123°18'38.27" e 6.86; até o vértice P651, de coordenadas N 9213528.99 m e E 297259.01 m; deste, segue confrontando com , com os seguintes azimute plano e distância:121°51'57.52" e 10.03; até o vértice P652, de coordenadas N 9213523.69 m e E 297267.52 m; deste, segue confrontando com , com os seguintes azimute plano e distância:122°48'28.76" e 0.49; até o vértice P653, de coordenadas N 9213523.42 m e E 297267.94 m; deste, segue confrontando com , com os seguintes azimute plano e distância:125°37'30.00"

Assinado por: **JOÃO PESSOA**
 Para verificar a validade das assinaturas, acesse <https://joaopessoa.1doc.com.br/verificacao/E130-3F2A-7A96-549F> e informe o código E130-3F2A-7A96-549F



0.98; até o vértice P654, de coordenadas N 9213522.85 m e E 297268.74 m; deste, segue confrontando com , com os seguintes azimuth plano e distância:129°22'30.00" e 0.98; até o vértice P655, de coordenadas N 9213522.23 m e E 297269.50 m; deste, segue confrontando com , com os seguintes azimuth plano e distância:131°45'42.64" e 0.27; até o vértice P656, de coordenadas N 9213522.05 m e E 297269.70 m; deste, segue confrontando com , com os seguintes azimuth plano e distância:132°16'25.28" e 3.81; até o vértice P657, de coordenadas N 9213519.49 m e E 297272.51 m; deste, segue confrontando com , com os seguintes azimuth plano e distância:108°26'5.82" e 6.47; até o vértice P658, de coordenadas N 9213517.44 m e E 297278.65 m; deste, segue confrontando com , com os seguintes azimuth plano e distância:108°35'32.91" e 0.08; até o vértice P659, de coordenadas N 9213517.42 m e E 297278.73 m; deste, segue confrontando com , com os seguintes azimuth plano e distância:110°37'30.00" e 0.98; até o vértice P660, de coordenadas N 9213517.07 m e E 297279.65 m; deste, segue confrontando com , com os seguintes azimuth plano e distância:114°22'30.00" e 0.98; até o vértice P661, de coordenadas N 9213516.67 m e E 297280.55 m; deste, segue confrontando com , com os seguintes azimuth plano e distância:118°07'30.00" e 0.98; até o vértice P662, de coordenadas N 9213516.20 m e E 297281.41 m; deste, segue confrontando com , com os seguintes azimuth plano e distância:121°33'20.42" e 0.81; até o vértice P663, de coordenadas N 9213515.78 m e E 297282.11 m; deste, segue confrontando com , com os seguintes azimuth plano e distância:123°06'40.83" e 6.44; até o vértice P664, de coordenadas N 9213512.26 m e E 297287.50 m; deste, segue confrontando com , com os seguintes azimuth plano e distância:123°25'50.42" e 0.17; até o vértice P665, de coordenadas N 9213512.17 m e E 297287.64 m; deste, segue confrontando com , com os seguintes azimuth plano e distância:124°17'14.08" e 0.28; até o vértice P666, de coordenadas N 9213512.01 m e E 297287.87 m; deste, segue confrontando com , com os seguintes azimuth plano e distância:124°49'28.16" e 5.17; até o vértice P667, de coordenadas N 9213509.06 m e E 297292.11 m; deste, segue confrontando com , com os seguintes azimuth plano e distância:114°08'43.95" e 6.05; até o vértice P668, de coordenadas N 9213506.58 m e E 297297.64 m; deste, segue confrontando com , com os seguintes azimuth plano e distância:115°11'51.98" e 0.55; até o vértice P669, de coordenadas N 9213506.35 m e E 297298.14 m; deste, segue confrontando com , com os seguintes azimuth plano e distância:118°07'30.00" e 0.98; até o vértice P670, de coordenadas N 9213505.88 m e E 297299.00 m; deste, segue confrontando com , com os seguintes azimuth plano e distância:121°52'30.00" e 0.98; até o vértice P671, de coordenadas N 9213505.37 m e E 297299.83 m; deste, segue confrontando com , com os seguintes azimuth plano e distância:124°17'14.08" e 0.28; até o vértice P672, de coordenadas N 9213505.21 m e E 297300.07 m; deste, segue confrontando com , com os seguintes azimuth plano e distância:124°49'28.16" e 6.57; até o vértice P673, de coordenadas N 9213501.46 m e E 297305.46 m; deste, segue confrontando com , com os seguintes azimuth plano e distância:125°36'15.91" e 0.41; até o vértice P674, de coordenadas N 9213501.22 m e E 297305.79 m; deste, segue confrontando com , com os seguintes azimuth plano e distância:126°23'3.67" e 3.68; até o vértice P675, de coordenadas N 9213499.04 m e E 297308.75 m; deste, segue confrontando com , com os seguintes azimuth plano e distância:112°14'56.49" e 3.71; até o vértice P676, de coordenadas N 9213497.63 m e E 297312.19 m; deste, segue confrontando com , com os seguintes azimuth plano e distância:112°22'28.24" e 0.07; até o vértice P677, de coordenadas N 9213497.61 m e E 297312.25 m; deste, segue confrontando com , com os seguintes azimuth plano e distância:114°22'30.00" e 0.98; até o vértice P678, de coordenadas N 9213497.20 m e E 297313.14 m; deste, segue confrontando com , com os seguintes azimuth plano e distância:118°07'30.00" e 0.98; até o vértice P679, de coordenadas N 9213496.74 m e E 297314.01 m; deste, segue confrontando com , com os seguintes azimuth plano e distância:121°30'42.96" e 0.79; até o vértice P680, de coordenadas N 9213496.32 m e E 297314.69 m; deste, segue confrontando com , com os seguintes azimuth plano e distância:123°01'25.92" e 1.49; até o vértice P681, de coordenadas N 9213495.52 m e E 297315.93 m; deste, segue confrontando com , com os seguintes azimuth plano e distância:92°23'9.40" e 1.52; até o vértice P682, de coordenadas N 9213495.45 m e E 297317.45 m; deste, segue confrontando com , com os seguintes azimuth plano e distância:93°04'4.70" e 0.36; até o vértice P683, de coordenadas N 9213495.43 m e E 297317.81 m; deste, segue confrontando com , com os seguintes azimuth plano e distância:95°37'30.00" e 0.98; até o vértice P684, de coordenadas N 9213495.34 m e E 297318.79 m; deste, segue confrontando com , com os seguintes azimuth plano e distância:99°22'30.00" e 0.98; até o vértice P685, de coordenadas N 9213495.18 m e E 297319.76 m; deste, segue confrontando com , com os seguintes azimuth plano e distância:102°38'35.24" e 0.73; até o vértice P686, de coordenadas N 9213495.02 m e E 297320.47 m; deste, segue confrontando com , com os seguintes azimuth plano e distância:104°02'10.48" e 5.80; até o vértice P687, de coordenadas N 9213493.61 m e E 297326.10 m; deste, segue confrontando com , com os seguintes azimuth plano e distância:104°31'5.24" e 0.25; até o vértice P688, de coordenadas N 9213493.55 m e E 297326.34 m; deste, segue confrontando com , com os seguintes azimuth plano e distância:106°52'30.00" e 0.98; até o vértice P689, de coordenadas N 9213493.26 m e E 297327.28 m; deste, segue confrontando com , com os seguintes azimuth plano e distância:110°37'30.00" e 0.98; até o vértice P690, de coordenadas N 9213492.92 m e E 297328.20 m; deste, segue confrontando com , com os seguintes azimuth plano e distância:114°22'30.00" e 0.98; até o vértice P691, de coordenadas N 9213492.51 m e E 297329.09 m; deste, segue confrontando com , com os seguintes azimuth plano e distância:117°29'41.63" e 0.65; até o vértice P692, de coordenadas N 9213492.21 m e E 297329.67 m; deste, segue confrontando com , com os seguintes azimuth plano e distância:118°44'23.26" e 8.29; até o vértice P693, de coordenadas N 9213488.22 m e E 297336.94 m; deste, segue confrontando com , com os seguintes azimuth plano e distância:119°22'11.63" e 0.33; até o vértice P694, de coordenadas N 9213488.06 m e E 297337.23 m; deste, segue confrontando com , com os seguintes azimuth plano e distância:121°52'30.00" e 0.98; até o vértice P695, de coordenadas N 9213487.54 m e E 297338.06 m; deste, segue confrontando com , com os seguintes azimuth plano e distância:124°15'50.10" e 0.27; até o vértice P696, de coordenadas N 9213487.39 m e E 297338.28 m; deste, segue confrontando com , com os seguintes azimuth plano e distância:124°46'40.19" e 9.48; até o vértice P697, de coordenadas N 9213481.98 m e E 297346.07 m; deste, segue confrontando com , com os seguintes azimuth plano e distância:118°41'10.13" e 11.32; até o vértice P698, de coordenadas N 9213476.55 m e E 297356.00 m; deste, segue confrontando com , com os seguintes azimuth plano e distância:103°05'30.81" e 8.30; até o vértice P699, de coordenadas N 9213474.67 m e E 297364.08 m; deste, segue confrontando com , com os seguintes azimuth plano e distância:104°02'45.41" e 0.50; até o vértice P700, de coordenadas N 9213474.55 m e E 297364.57 m; deste, segue confrontando com , com os seguintes azimuth plano e distância:106°52'30.00" e 0.98; até o vértice P701, de coordenadas

Assinado por:  Para verificar a validade das assinaturas, acesse <https://joaopessoa.1doc.com.br/verificacao/E130-3F2A-7A96-549F> e informe o código E130-3F2A-7A96-549F

N 9213474.27 m e E 297365.51 m; deste, segue confrontando com , com os seguintes azimuth plano e distância:110°37'30.00" e 0.98; até o vértice P702, de coordenadas N 9213473.92 m e E 297366.43 m; deste, segue confrontando com , com os seguintes azimuth plano e distância:114°22'30.00" e 0.98; até o vértice P703, de coordenadas N 9213473.51 m e E 297367.32 m; deste, segue confrontando com , com os seguintes azimuth plano e distância:118°07'30.00" e 0.98; até o vértice P704, de coordenadas N 9213473.05 m e E 297368.18 m; deste, segue confrontando com , com os seguintes azimuth plano e distância:121°00'9.69" e 0.52; até o vértice P705, de coordenadas N 9213472.78 m e E 297368.63 m; deste, segue confrontando com , com os seguintes azimuth plano e distância:122°00'19.38" e 8.85; até o vértice P706, de coordenadas N 9213468.09 m e E 297376.14 m; deste, segue confrontando com , com os seguintes azimuth plano e distância:122°52'39.69" e 0.46; até o vértice P707, de coordenadas N 9213467.84 m e E 297376.52 m; deste, segue confrontando com , com os seguintes azimuth plano e distância:125°37'30.00" e 0.98; até o vértice P708, de coordenadas N 9213467.27 m e E 297377.32 m; deste, segue confrontando com , com os seguintes azimuth plano e distância:127°57'32.50" e 0.24; até o vértice P709, de coordenadas N 9213467.12 m e E 297377.51 m; deste, segue confrontando com , com os seguintes azimuth plano e distância:128°25'5.00" e 6.54; até o vértice P710, de coordenadas N 9213463.06 m e E 297382.63 m; deste, segue confrontando com , com os seguintes azimuth plano e distância:112°09'58.84" e 4.70; até o vértice P711, de coordenadas N 9213461.29 m e E 297386.98 m; deste, segue confrontando com , com os seguintes azimuth plano e distância:112°19'59.42" e 0.09; até o vértice P712, de coordenadas N 9213461.26 m e E 297387.06 m; deste, segue confrontando com , com os seguintes azimuth plano e distância:114°22'30.00" e 0.98; até o vértice P713, de coordenadas N 9213460.85 m e E 297387.96 m; deste, segue confrontando com , com os seguintes azimuth plano e distância:116°46'29.23" e 0.27; até o vértice P714, de coordenadas N 9213460.73 m e E 297388.20 m; deste, segue confrontando com , com os seguintes azimuth plano e distância:117°17'58.46" e 8.18; até o vértice P715, de coordenadas N 9213456.97 m e E 297395.47 m; deste, segue confrontando com , com os seguintes azimuth plano e distância:118°38'59.23" e 0.71; até o vértice P716, de coordenadas N 9213456.64 m e E 297396.09 m; deste, segue confrontando com , com os seguintes azimuth plano e distância:121°50'42.12" e 0.97; até o vértice P717, de coordenadas N 9213456.13 m e E 297396.91 m; deste, segue confrontando com , com os seguintes azimuth plano e distância:123°41'24.24" e 4.83; até o vértice P718, de coordenadas N 9213453.45 m e E 297400.93 m; deste, segue confrontando com , com os seguintes azimuth plano e distância:121°49'38.81" e 7.69; até o vértice P719, de coordenadas N 9213449.39 m e E 297407.46 m; deste, segue confrontando com , com os seguintes azimuth plano e distância:121°15'49.43" e 7.61; até o vértice P720, de coordenadas N 9213445.44 m e E 297413.97 m; deste, segue confrontando com , com os seguintes azimuth plano e distância:122°30'24.72" e 0.65; até o vértice P721, de coordenadas N 9213445.09 m e E 297414.52 m; deste, segue confrontando com , com os seguintes azimuth plano e distância:124°49'47.50" e 0.57; até o vértice P722, de coordenadas N 9213444.77 m e E 297414.98 m; deste, segue confrontando com , com os seguintes azimuth plano e distância:125°54'35.00" e 7.79; até o vértice P723, de coordenadas N 9213440.20 m e E 297421.29 m; deste, segue confrontando com , com os seguintes azimuth plano e distância:121°15'49.43" e 7.07; até o vértice P724, de coordenadas N 9213436.53 m e E 297427.33 m; deste, segue confrontando com , com os seguintes azimuth plano e distância:122°30'24.72" e 0.65; até o vértice P725, de coordenadas N 9213436.18 m e E 297427.88 m; deste, segue confrontando com , com os seguintes azimuth plano e distância:125°31'37.11" e 0.93; até o vértice P726, de coordenadas N 9213435.64 m e E 297428.64 m; deste, segue confrontando com , com os seguintes azimuth plano e distância:127°18'14.21" e 6.19; até o vértice P727, de coordenadas N 9213431.89 m e E 297433.57 m; deste, segue confrontando com , com os seguintes azimuth plano e distância:127°24'7.11" e 0.05; até o vértice P728, de coordenadas N 9213431.86 m e E 297433.61 m; deste, segue confrontando com , com os seguintes azimuth plano e distância:129°15'16.36" e 0.92; até o vértice P729, de coordenadas N 9213431.28 m e E 297434.32 m; deste, segue confrontando com , com os seguintes azimuth plano e distância:131°00'32.71" e 6.34; até o vértice P730, de coordenadas N 9213427.12 m e E 297439.10 m; deste, segue confrontando com , com os seguintes azimuth plano e distância:124°49'28.16" e 5.76; até o vértice P731, de coordenadas N 9213423.83 m e E 297443.83 m; deste, segue confrontando com , com os seguintes azimuth plano e distância:126°09'44.08" e 0.70; até o vértice P732, de coordenadas N 9213423.42 m e E 297444.39 m; deste, segue confrontando com , com os seguintes azimuth plano e distância:127°39'50.92" e 0.09; até o vértice P733, de coordenadas N 9213423.36 m e E 297444.46 m; deste, segue confrontando com , com os seguintes azimuth plano e distância:127°49'41.84" e 25.24; até o vértice P734, de coordenadas N 9213407.88 m e E 297464.40 m; deste, segue confrontando com , com os seguintes azimuth plano e distância:129°32'20.92" e 0.90; até o vértice P735, de coordenadas N 9213407.31 m e E 297465.09 m; deste, segue confrontando com , com os seguintes azimuth plano e distância:132°13'48.16" e 0.51; até o vértice P736, de coordenadas N 9213406.97 m e E 297465.47 m; deste, segue confrontando com , com os seguintes azimuth plano e distância:133°12'36.32" e 9.64; até o vértice P737, de coordenadas N 9213400.37 m e E 297472.49 m; deste, segue confrontando com , com os seguintes azimuth plano e distância:125°43'38.63" e 13.99; até o vértice P738, de coordenadas N 9213392.20 m e E 297483.85 m; deste, segue confrontando com , com os seguintes azimuth plano e distância:114°20'27.92" e 8.21; até o vértice P739, de coordenadas N 9213388.82 m e E 297491.33 m; deste, segue confrontando com , com os seguintes azimuth plano e distância:105°56'43.43" e 9.14; até o vértice P740, de coordenadas N 9213386.30 m e E 297500.13 m; deste, segue confrontando com , com os seguintes azimuth plano e distância:107°20'51.71" e 0.73; até o vértice P741, de coordenadas N 9213386.08 m e E 297500.83 m; deste, segue confrontando com , com os seguintes azimuth plano e distância:109°10'16.10" e 0.22; até o vértice P742, de coordenadas N 9213386.01 m e E 297501.03 m; deste, segue confrontando com , com os seguintes azimuth plano e distância:109°35'32.21" e 14.69; até o vértice P743, de coordenadas N 9213381.09 m e E 297514.87 m; deste, segue confrontando com , com os seguintes azimuth plano e distância:111°02'46.11" e 0.76; até o vértice P744, de coordenadas N 9213380.81 m e E 297515.58 m; deste, segue confrontando com , com os seguintes azimuth plano e distância:113°57'13.89" e 0.76; até o vértice P745, de coordenadas N 9213380.51 m e E 297516.28 m; deste, segue confrontando com , com os seguintes azimuth plano e distância:115°24'27.79" e 20.46; até o vértice P746, de coordenadas N 9213371.73 m e E 297534.76 m; deste, segue confrontando com , com os seguintes azimuth plano e distância:113°03'4.68" e 11.67; até o vértice P747, de coordenadas N 9213367.16 m e E 297545.50 m; deste, segue confrontando com , com os seguintes azimuth plano e distância:114°39'2.34" e 0.84; até o vértice P748, de coordenadas N 9213366.81 m e E 297546.26 m; deste, segue

Assinado por:  Para verificar a validade das assinaturas, acesse <https://joaopessoa.1doc.com.br/verificacao/E130-3F2A-7A96-549F> e informe o código E130-3F2A-7A96-549F

confrontando com , com os seguintes azimuth plano e distância:118°07'30.00" e 0.98; até o vértice P749, de coordenadas N 9213366.34 m e E 297547.13 m; deste, segue confrontando com , com os seguintes azimuth plano e distância:121°52'30.00" e 0.98; até o vértice P750, de coordenadas N 9213365.83 m e E 297547.96 m; deste, segue confrontando com , com os seguintes azimuth plano e distância:125°37'30.00" e 0.98; até o vértice P751, de coordenadas N 9213365.25 m e E 297548.76 m; deste, segue confrontando com , com os seguintes azimuth plano e distância:129°22'30.00" e 0.98; até o vértice P752, de coordenadas N 9213364.63 m e E 297549.52 m; deste, segue confrontando com , com os seguintes azimuth plano e distância:133°07'30.00" e 0.98; até o vértice P753, de coordenadas N 9213363.96 m e E 297550.23 m; deste, segue confrontando com , com os seguintes azimuth plano e distância:136°52'30.00" e 0.98; até o vértice P754, de coordenadas N 9213363.24 m e E 297550.90 m; deste, segue confrontando com , com os seguintes azimuth plano e distância:138°55'4.11" e 0.09; até o vértice P755, de coordenadas N 9213363.18 m e E 297550.96 m; deste, segue confrontando com , com os seguintes azimuth plano e distância:139°05'8.22" e 7.92; até o vértice P756, de coordenadas N 9213357.19 m e E 297556.15 m; deste, segue confrontando com , com os seguintes azimuth plano e distância:128°31'0.93" e 12.27; até o vértice P757, de coordenadas N 9213349.55 m e E 297565.75 m; deste, segue confrontando com , com os seguintes azimuth plano e distância:120°41'59.00" e 7.70; até o vértice P758, de coordenadas N 9213345.61 m e E 297572.38 m; deste, segue confrontando com , com os seguintes azimuth plano e distância:122°13'29.50" e 0.80; até o vértice P759, de coordenadas N 9213345.19 m e E 297573.05 m; deste, segue confrontando com , com os seguintes azimuth plano e distância:125°37'30.00" e 0.98; até o vértice P760, de coordenadas N 9213344.62 m e E 297573.85 m; deste, segue confrontando com , com os seguintes azimuth plano e distância:129°22'30.00" e 0.98; até o vértice P761, de coordenadas N 9213343.99 m e E 297574.61 m; deste, segue confrontando com , com os seguintes azimuth plano e distância:132°19'45.95" e 0.57; até o vértice P762, de coordenadas N 9213343.61 m e E 297575.03 m; deste, segue confrontando com , com os seguintes azimuth plano e distância:133°24'31.90" e 11.94; até o vértice P763, de coordenadas N 9213335.40 m e E 297583.70 m; deste, segue confrontando com , com os seguintes azimuth plano e distância:134°12'15.95" e 0.42; até o vértice P764, de coordenadas N 9213335.11 m e E 297584.00 m; deste, segue confrontando com , com os seguintes azimuth plano e distância:136°52'30.00" e 0.98; até o vértice P765, de coordenadas N 9213334.40 m e E 297584.67 m; deste, segue confrontando com , com os seguintes azimuth plano e distância:139°13'44.13" e 0.25; até o vértice P766, de coordenadas N 9213334.21 m e E 297584.84 m; deste, segue confrontando com , com os seguintes azimuth plano e distância:139°42'28.27" e 12.08; até o vértice P767, de coordenadas N 9213325.00 m e E 297592.65 m; deste, segue confrontando com , com os seguintes azimuth plano e distância:124°01'9.66" e 9.25; até o vértice P768, de coordenadas N 9213319.82 m e E 297600.32 m; deste, segue confrontando com , com os seguintes azimuth plano e distância:125°45'34.83" e 0.91; até o vértice P769, de coordenadas N 9213319.29 m e E 297601.06 m; deste, segue confrontando com , com os seguintes azimuth plano e distância:129°22'30.00" e 0.98; até o vértice P770, de coordenadas N 9213318.66 m e E 297601.81 m; deste, segue confrontando com , com os seguintes azimuth plano e distância:133°07'30.00" e 0.98; até o vértice P771, de coordenadas N 9213317.99 m e E 297602.53 m; deste, segue confrontando com , com os seguintes azimuth plano e distância:136°52'30.00" e 0.98; até o vértice P772, de coordenadas N 9213317.28 m e E 297603.20 m; deste, segue confrontando com , com os seguintes azimuth plano e distância:140°17'46.99" e 0.81; até o vértice P773, de coordenadas N 9213316.65 m e E 297603.72 m; deste, segue confrontando com , com os seguintes azimuth plano e distância:141°50'33.98" e 8.35; até o vértice P774, de coordenadas N 9213310.09 m e E 297608.88 m; deste, segue confrontando com , com os seguintes azimuth plano e distância:142°10'16.99" e 0.17; até o vértice P775, de coordenadas N 9213309.95 m e E 297608.98 m; deste, segue confrontando com , com os seguintes azimuth plano e distância:144°22'30.00" e 0.98; até o vértice P776, de coordenadas N 9213309.15 m e E 297609.56 m; deste, segue confrontando com , com os seguintes azimuth plano e distância:148°07'30.00" e 0.98; até o vértice P777, de coordenadas N 9213308.32 m e E 297610.07 m; deste, segue confrontando com , com os seguintes azimuth plano e distância:151°52'30.00" e 0.98; até o vértice P778, de coordenadas N 9213307.45 m e E 297610.54 m; deste, segue confrontando com , com os seguintes azimuth plano e distância:155°37'30.00" e 0.98; até o vértice P779, de coordenadas N 9213306.56 m e E 297610.94 m; deste, segue confrontando com , com os seguintes azimuth plano e distância:158°58'54.02" e 0.78; até o vértice P780, de coordenadas N 9213305.84 m e E 297611.22 m; deste, segue confrontando com , com os seguintes azimuth plano e distância:160°27'48.04" e 5.66; até o vértice P781, de coordenadas N 9213300.50 m e E 297613.11 m; deste, segue confrontando com , com os seguintes azimuth plano e distância:144°51'56.90" e 5.69; até o vértice P782, de coordenadas N 9213295.85 m e E 297616.39 m; deste, segue confrontando com , com os seguintes azimuth plano e distância:145°33'28.45" e 0.36; até o vértice P783, de coordenadas N 9213295.55 m e E 297616.59 m; deste, segue confrontando com , com os seguintes azimuth plano e distância:146°40'20.56" e 0.22; até o vértice P784, de coordenadas N 9213295.37 m e E 297616.71 m; deste, segue confrontando com , com os seguintes azimuth plano e distância:147°05'41.13" e 9.50; até o vértice P785, de coordenadas N 9213287.39 m e E 297621.87 m; deste, segue confrontando com , com os seguintes azimuth plano e distância:148°32'50.56" e 0.76; até o vértice P786, de coordenadas N 9213286.74 m e E 297622.27 m; deste, segue confrontando com , com os seguintes azimuth plano e distância:150°46'42.73" e 0.41; até o vértice P787, de coordenadas N 9213286.39 m e E 297622.47 m; deste, segue confrontando com , com os seguintes azimuth plano e distância:151°33'25.46" e 6.40; até o vértice P788, de coordenadas N 9213280.76 m e E 297625.52 m; deste, segue confrontando com , com os seguintes azimuth plano e distância:152°39'12.73" e 0.57; até o vértice P789, de coordenadas N 9213280.25 m e E 297625.78 m; deste, segue confrontando com , com os seguintes azimuth plano e distância:155°37'30.00" e 0.98; até o vértice P790, de coordenadas N 9213279.36 m e E 297626.19 m; deste, segue confrontando com , com os seguintes azimuth plano e distância:159°22'30.00" e 0.98; até o vértice P791, de coordenadas N 9213278.44 m e E 297626.53 m; deste, segue confrontando com , com os seguintes azimuth plano e distância:161°24'27.09" e 0.08; até o vértice P792, de coordenadas N 9213278.36 m e E 297626.56 m; deste, segue confrontando com , com os seguintes azimuth plano e distância:161°33'54.18" e 8.68; até o vértice P793, de coordenadas N 9213270.13 m e E 297629.30 m; deste, segue confrontando com , com os seguintes azimuth plano e distância:159°51'49.31" e 7.27; até o vértice P794, de coordenadas N 9213263.30 m e E 297631.80 m; deste, segue confrontando com , com os seguintes azimuth plano e distância:160°33'24.65" e 0.36; até o vértice P795, de coordenadas N 9213262.96 m e E 297631.93 m; deste, segue confrontando com , com os seguintes

Assinado por: SÍCERO DE LACENA FILHO
Para verificar a validade das assinaturas, acesse <https://joaopessoa.1doc.com.br/verificacao/E130-3F2A-7A96-549F> e informe o código E130-3F2A-7A96-549F



azimute plano e distância:163°07'30.00" e 0.98; até o vértice P796, de coordenadas N 9213262.02 m e E 297632.21 m; deste, segue confrontando com , com os seguintes azimute plano e distância:166°52'30.00" e 0.98; até o vértice P797, de coordenadas N 9213261.06 m e E 297632.43 m; deste, segue confrontando com , com os seguintes azimute plano e distância:169°18'45.59" e 0.29; até o vértice P798, de coordenadas N 9213260.77 m e E 297632.49 m; deste, segue confrontando com , com os seguintes azimute plano e distância:169°52'31.18" e 3.82; até o vértice P799, de coordenadas N 9213257.02 m e E 297633.16 m; deste, segue confrontando com , com os seguintes azimute plano e distância:148°19'28.31" e 10.10; até o vértice P800, de coordenadas N 9213248.43 m e E 297638.46 m; deste, segue confrontando com , com os seguintes azimute plano e distância:149°09'44.16" e 0.44; até o vértice P801, de coordenadas N 9213248.05 m e E 297638.69 m; deste, segue confrontando com , com os seguintes azimute plano e distância:151°52'30.00" e 0.98; até o vértice P802, de coordenadas N 9213247.18 m e E 297639.15 m; deste, segue confrontando com , com os seguintes azimute plano e distância:155°37'30.00" e 0.98; até o vértice P803, de coordenadas N 9213246.29 m e E 297639.55 m; deste, segue confrontando com , com os seguintes azimute plano e distância:157°59'57.42" e 0.26; até o vértice P804, de coordenadas N 9213246.05 m e E 297639.65 m; deste, segue confrontando com , com os seguintes azimute plano e distância:158°29'54.84" e 6.68; até o vértice P805, de coordenadas N 9213239.83 m e E 297642.10 m; deste, segue confrontando com , com os seguintes azimute plano e distância:146°02'7.42" e 20.50; até o vértice P806, de coordenadas N 9213222.82 m e E 297653.56 m; deste, segue confrontando com , com os seguintes azimute plano e distância:146°08'33.72" e 0.06; até o vértice P807, de coordenadas N 9213222.78 m e E 297653.59 m; deste, segue confrontando com , com os seguintes azimute plano e distância:148°07'30.00" e 0.98; até o vértice P808, de coordenadas N 9213221.94 m e E 297654.10 m; deste, segue confrontando com , com os seguintes azimute plano e distância:151°52'30.00" e 0.98; até o vértice P809, de coordenadas N 9213221.08 m e E 297654.57 m; deste, segue confrontando com , com os seguintes azimute plano e distância:155°37'30.00" e 0.98; até o vértice P810, de coordenadas N 9213220.18 m e E 297654.97 m; deste, segue confrontando com , com os seguintes azimute plano e distância:158°21'49.94" e 0.45; até o vértice P811, de coordenadas N 9213219.76 m e E 297655.14 m; deste, segue confrontando com , com os seguintes azimute plano e distância:159°13'39.88" e 3.11; até o vértice P812, de coordenadas N 9213216.86 m e E 297656.24 m; deste, segue confrontando com , com os seguintes azimute plano e distância:150°38'32.09" e 6.39; até o vértice P813, de coordenadas N 9213211.29 m e E 297659.37 m; deste, segue confrontando com , com os seguintes azimute plano e distância:152°11'46.04" e 0.81; até o vértice P814, de coordenadas N 9213210.57 m e E 297659.75 m; deste, segue confrontando com , com os seguintes azimute plano e distância:155°37'30.00" e 0.98; até o vértice P815, de coordenadas N 9213209.68 m e E 297660.16 m; deste, segue confrontando com , com os seguintes azimute plano e distância:159°22'30.00" e 0.98; até o vértice P816, de coordenadas N 9213208.76 m e E 297660.50 m; deste, segue confrontando com , com os seguintes azimute plano e distância:161°38'25.55" e 0.20; até o vértice P817, de coordenadas N 9213208.56 m e E 297660.57 m; deste, segue confrontando com , com os seguintes azimute plano e distância:162°01'51.10" e 5.31; até o vértice P818, de coordenadas N 9213203.51 m e E 297662.21 m; deste, segue confrontando com , com os seguintes azimute plano e distância:163°30'55.55" e 0.78; até o vértice P819, de coordenadas N 9213202.77 m e E 297662.43 m; deste, segue confrontando com , com os seguintes azimute plano e distância:166°03'45.00" e 0.56; até o vértice P820, de coordenadas N 9213202.23 m e E 297662.56 m; deste, segue confrontando com , com os seguintes azimute plano e distância:167°07'29.99" e 4.57; até o vértice P821, de coordenadas N 9213197.78 m e E 297663.58 m; deste, segue confrontando com , com os seguintes azimute plano e distância:128°39'35.28" e 0.01; até o vértice P822, de coordenadas N 9213197.77 m e E 297663.59 m; deste, segue confrontando com , com os seguintes azimute plano e distância:129°57'17.66" e 0.68; até o vértice P823, de coordenadas N 9213197.34 m e E 297664.11 m; deste, segue confrontando com , com os seguintes azimute plano e distância:133°07'30.00" e 0.98; até o vértice P824, de coordenadas N 9213196.67 m e E 297664.82 m; deste, segue confrontando com , com os seguintes azimute plano e distância:136°52'30.00" e 0.98; até o vértice P825, de coordenadas N 9213195.95 m e E 297665.49 m; deste, segue confrontando com , com os seguintes azimute plano e distância:140°37'30.00" e 0.98; até o vértice P826, de coordenadas N 9213195.19 m e E 297666.12 m; deste, segue confrontando com , com os seguintes azimute plano e distância:144°22'30.00" e 0.98; até o vértice P827, de coordenadas N 9213194.39 m e E 297666.69 m; deste, segue confrontando com , com os seguintes azimute plano e distância:148°03'15.51" e 0.94; até o vértice P828, de coordenadas N 9213193.59 m e E 297667.19 m; deste, segue confrontando com , com os seguintes azimute plano e distância:149°51'31.01" e 4.26; até o vértice P829, de coordenadas N 9213189.91 m e E 297669.33 m; deste, segue confrontando com , com os seguintes azimute plano e distância:145°00'28.73" e 3.64; até o vértice P830, de coordenadas N 9213186.93 m e E 297671.41 m; deste, segue confrontando com , com os seguintes azimute plano e distância:139°30'50.36" e 6.64; até o vértice P831, de coordenadas N 9213181.88 m e E 297675.72 m; deste, segue confrontando com , com os seguintes azimute plano e distância:141°00'25.18" e 0.78; até o vértice P832, de coordenadas N 9213181.27 m e E 297676.21 m; deste, segue confrontando com , com os seguintes azimute plano e distância:144°22'30.00" e 0.98; até o vértice P833, de coordenadas N 9213180.47 m e E 297676.79 m; deste, segue confrontando com , com os seguintes azimute plano e distância:148°07'30.00" e 0.98; até o vértice P834, de coordenadas N 9213179.64 m e E 297677.31 m; deste, segue confrontando com , com os seguintes azimute plano e distância:150°28'21.71" e 0.25; até o vértice P835, de coordenadas N 9213179.42 m e E 297677.43 m; deste, segue confrontando com , com os seguintes azimute plano e distância:150°56'43.43" e 4.01; até o vértice P836, de coordenadas N 9213175.92 m e E 297679.37 m; deste, segue confrontando com , com os seguintes azimute plano e distância:138°41'28.99" e 4.39; até o vértice P837, de coordenadas N 9213172.62 m e E 297682.27 m; deste, segue confrontando com , com os seguintes azimute plano e distância:138°43'14.48" e 0.02; até o vértice P838, de coordenadas N 9213172.61 m e E 297682.28 m; deste, segue confrontando com , com os seguintes azimute plano e distância:140°37'30.00" e 0.98; até o vértice P839, de coordenadas N 9213171.85 m e E 297682.90 m; deste, segue confrontando com , com os seguintes azimute plano e distância:144°22'30.00" e 0.98; até o vértice P840, de coordenadas N 9213171.06 m e E 297683.47 m; deste, segue confrontando com , com os seguintes azimute plano e distância:148°07'30.00" e 0.98; até o vértice P841, de coordenadas N 9213170.22 m e E 297683.99 m; deste, segue confrontando com , com os seguintes azimute plano e distância:151°52'30.00" e 0.98; até o vértice P842, de coordenadas N 9213169.36 m e E 297684.45 m; deste, segue confrontando com , com os seguintes azimute plano e distância:154°02'11.73"

Assinado por: João Pessoa, 06 de junho de 2024. Para verificar a validade das assinaturas, acesse <https://joaopessoa.1doc.com.br/verificacao/E130-3F2A-7A96-549F> e informe o código E130-3F2A-7A96-549F

0.15; até o vértice P843, de coordenadas N 9213169.22 m e E 297684.52 m; deste, segue confrontando com , com os seguintes azimuth plano e distância:154°19'23.46" e 7.87; até o vértice P844, de coordenadas N 9213162.12 m e E 297687.93 m; deste, segue confrontando com , com os seguintes azimuth plano e distância:155°54'41.73" e 0.83; até o vértice P845, de coordenadas N 9213161.37 m e E 297688.27 m; deste, segue confrontando com , com os seguintes azimuth plano e distância:159°22'30.00" e 0.98; até o vértice P846, de coordenadas N 9213160.45 m e E 297688.62 m; deste, segue confrontando com , com os seguintes azimuth plano e distância:163°07'30.00" e 0.98; até o vértice P847, de coordenadas N 9213159.51 m e E 297688.90 m; deste, segue confrontando com , com os seguintes azimuth plano e distância:166°52'30.00" e 0.98; até o vértice P848, de coordenadas N 9213158.55 m e E 297689.13 m; deste, segue confrontando com , com os seguintes azimuth plano e distância:170°37'30.00" e 0.98; até o vértice P849, de coordenadas N 9213157.58 m e E 297689.29 m; deste, segue confrontando com , com os seguintes azimuth plano e distância:174°22'30.00" e 0.98; até o vértice P850, de coordenadas N 9213156.61 m e E 297689.38 m; deste, segue confrontando com , com os seguintes azimuth plano e distância:178°07'30.00" e 0.98; até o vértice P851, de coordenadas N 9213155.63 m e E 297689.41 m; deste, segue confrontando com , com os seguintes azimuth plano e distância:181°52'30.00" e 0.98; até o vértice P852, de coordenadas N 9213154.64 m e E 297689.38 m; deste, segue confrontando com , com os seguintes azimuth plano e distância:185°37'30.00" e 0.98; até o vértice P853, de coordenadas N 9213153.67 m e E 297689.29 m; deste, segue confrontando com , com os seguintes azimuth plano e distância:189°22'30.00" e 0.98; até o vértice P854, de coordenadas N 9213152.70 m e E 297689.13 m; deste, segue confrontando com , com os seguintes azimuth plano e distância:193°07'30.00" e 0.98; até o vértice P855, de coordenadas N 9213151.74 m e E 297688.90 m; deste, segue confrontando com , com os seguintes azimuth plano e distância:196°52'30.00" e 0.98; até o vértice P856, de coordenadas N 9213150.80 m e E 297688.62 m; deste, segue confrontando com , com os seguintes azimuth plano e distância:200°37'30.00" e 0.98; até o vértice P857, de coordenadas N 9213149.89 m e E 297688.27 m; deste, segue confrontando com , com os seguintes azimuth plano e distância:204°22'30.00" e 0.98; até o vértice P858, de coordenadas N 9213148.99 m e E 297687.87 m; deste, segue confrontando com , com os seguintes azimuth plano e distância:208°07'30.00" e 0.98; até o vértice P859, de coordenadas N 9213148.13 m e E 297687.40 m; deste, segue confrontando com , com os seguintes azimuth plano e distância:211°52'30.00" e 0.98; até o vértice P860, de coordenadas N 9213147.29 m e E 297686.89 m; deste, segue confrontando com , com os seguintes azimuth plano e distância:215°37'30.00" e 0.98; até o vértice P861, de coordenadas N 9213146.49 m e E 297686.31 m; deste, segue confrontando com , com os seguintes azimuth plano e distância:218°44'54.89" e 0.65; até o vértice P862, de coordenadas N 9213145.98 m e E 297685.90 m; deste, segue confrontando com , com os seguintes azimuth plano e distância:219°59'49.77" e 5.83; até o vértice P863, de coordenadas N 9213141.52 m e E 297682.16 m; deste, segue confrontando com , com os seguintes azimuth plano e distância:207°05'43.99" e 2.08; até o vértice P864, de coordenadas N 9213139.67 m e E 297681.21 m; deste, segue confrontando com , com os seguintes azimuth plano e distância:203°40'55.52" e 1.76; até o vértice P865, de coordenadas N 9213138.06 m e E 297680.51 m; deste, segue confrontando com , com os seguintes azimuth plano e distância:156°41'42.39" e 2.56; até o vértice P866, de coordenadas N 9213135.71 m e E 297681.52 m; deste, segue confrontando com , com os seguintes azimuth plano e distância:157°05'51.20" e 0.21; até o vértice P867, de coordenadas N 9213135.51 m e E 297681.60 m; deste, segue confrontando com , com os seguintes azimuth plano e distância:159°22'30.00" e 0.98; até o vértice P868, de coordenadas N 9213134.59 m e E 297681.95 m; deste, segue confrontando com , com os seguintes azimuth plano e distância:163°07'30.00" e 0.98; até o vértice P869, de coordenadas N 9213133.65 m e E 297682.23 m; deste, segue confrontando com , com os seguintes azimuth plano e distância:166°52'30.00" e 0.98; até o vértice P870, de coordenadas N 9213132.70 m e E 297682.45 m; deste, segue confrontando com , com os seguintes azimuth plano e distância:170°18'35.82" e 0.82; até o vértice P871, de coordenadas N 9213131.89 m e E 297682.59 m; deste, segue confrontando com , com os seguintes azimuth plano e distância:171°52'11.63" e 8.03; até o vértice P872, de coordenadas N 9213123.95 m e E 297683.73 m; deste, segue confrontando com , com os seguintes azimuth plano e distância:172°11'5.82" e 0.16; até o vértice P873, de coordenadas N 9213123.78 m e E 297683.75 m; deste, segue confrontando com , com os seguintes azimuth plano e distância:174°22'30.00" e 0.98; até o vértice P874, de coordenadas N 9213122.81 m e E 297683.85 m; deste, segue confrontando com , com os seguintes azimuth plano e distância:178°07'30.00" e 0.98; até o vértice P875, de coordenadas N 9213121.82 m e E 297683.88 m; deste, segue confrontando com , com os seguintes azimuth plano e distância:181°35'23.69" e 0.83; até o vértice P876, de coordenadas N 9213120.99 m e E 297683.86 m; deste, segue confrontando com , com os seguintes azimuth plano e distância:183°10'47.39" e 3.15; até o vértice P877, de coordenadas N 9213117.85 m e E 297683.68 m; deste, segue confrontando com , com os seguintes azimuth plano e distância:183°27'53.70" e 0.15; até o vértice P878, de coordenadas N 9213117.70 m e E 297683.67 m; deste, segue confrontando com , com os seguintes azimuth plano e distância:185°37'30.00" e 0.98; até o vértice P879, de coordenadas N 9213116.72 m e E 297683.58 m; deste, segue confrontando com , com os seguintes azimuth plano e distância:189°22'30.00" e 0.98; até o vértice P880, de coordenadas N 9213115.75 m e E 297683.42 m; deste, segue confrontando com , com os seguintes azimuth plano e distância:192°25'30.98" e 0.62; até o vértice P881, de coordenadas N 9213115.15 m e E 297683.28 m; deste, segue confrontando com , com os seguintes azimuth plano e distância:193°36'1.95" e 4.24; até o vértice P882, de coordenadas N 9213111.03 m e E 297682.29 m; deste, segue confrontando com , com os seguintes azimuth plano e distância:183°28'5.63" e 1.56; até o vértice P883, de coordenadas N 9213109.47 m e E 297682.19 m; deste, segue confrontando com , com os seguintes azimuth plano e distância:183°36'32.81" e 0.07; até o vértice P884, de coordenadas N 9213109.40 m e E 297682.19 m; deste, segue confrontando com , com os seguintes azimuth plano e distância:185°37'30.00" e 0.98; até o vértice P885, de coordenadas N 9213108.42 m e E 297682.09 m; deste, segue confrontando com , com os seguintes azimuth plano e distância:189°22'30.00" e 0.98; até o vértice P886, de coordenadas N 9213107.46 m e E 297681.93 m; deste, segue confrontando com , com os seguintes azimuth plano e distância:193°07'30.00" e 0.98; até o vértice P887, de coordenadas N 9213106.50 m e E 297681.71 m; deste, segue confrontando com , com os seguintes azimuth plano e distância:196°43'2.91" e 0.90; até o vértice P888, de coordenadas N 9213105.64 m e E 297681.45 m; deste, segue confrontando com , com os seguintes azimuth plano e distância:198°26'5.82" e 3.27; até o vértice P889, de coordenadas N 9213102.54 m e E 297680.42 m; deste, segue confrontando com , com os seguintes azimuth plano e distância:198°05'0.40" e 1.01; até o vértice P890, de coordenadas N

9213101.58 m e E 297680.10 m; deste, segue confrontando com , com os seguintes azimuth plano e distância:174°22'30.00" e 0.78; até o vértice P891, de coordenadas N 9213100.80 m e E 297680.18 m; deste, segue confrontando com , com os seguintes azimuth plano e distância:178°07'30.00" e 0.98; até o vértice P892, de coordenadas N 9213099.81 m e E 297680.21 m; deste, segue confrontando com , com os seguintes azimuth plano e distância:181°52'30.00" e 0.98; até o vértice P893, de coordenadas N 9213098.83 m e E 297680.18 m; deste, segue confrontando com , com os seguintes azimuth plano e distância:185°37'30.00" e 0.98; até o vértice P894, de coordenadas N 9213097.86 m e E 297680.08 m; deste, segue confrontando com , com os seguintes azimuth plano e distância:189°22'30.00" e 0.98; até o vértice P895, de coordenadas N 9213096.89 m e E 297679.92 m; deste, segue confrontando com , com os seguintes azimuth plano e distância:193°07'30.00" e 0.98; até o vértice P896, de coordenadas N 9213095.93 m e E 297679.70 m; deste, segue confrontando com , com os seguintes azimuth plano e distância:196°52'30.00" e 0.98; até o vértice P897, de coordenadas N 9213094.99 m e E 297679.41 m; deste, segue confrontando com , com os seguintes azimuth plano e distância:200°37'30.00" e 0.98; até o vértice P898, de coordenadas N 9213094.07 m e E 297679.07 m; deste, segue confrontando com , com os seguintes azimuth plano e distância:204°22'30.00" e 0.39; até o vértice P899, de coordenadas N 9213093.72 m e E 297678.91 m; deste, segue confrontando com , com os seguintes azimuth plano e distância:185°42'38.14" e 4.21; até o vértice P900, de coordenadas N 9213089.53 m e E 297678.49 m; deste, segue confrontando com , com os seguintes azimuth plano e distância:155°51'16.05" e 0.57; até o vértice P901, de coordenadas N 9213089.01 m e E 297678.72 m; deste, segue confrontando com , com os seguintes azimuth plano e distância:156°40'38.02" e 0.43; até o vértice P902, de coordenadas N 9213088.61 m e E 297678.89 m; deste, segue confrontando com , com os seguintes azimuth plano e distância:159°22'30.00" e 0.98; até o vértice P903, de coordenadas N 9213087.69 m e E 297679.24 m; deste, segue confrontando com , com os seguintes azimuth plano e distância:163°07'30.00" e 0.98; até o vértice P904, de coordenadas N 9213086.75 m e E 297679.52 m; deste, segue confrontando com , com os seguintes azimuth plano e distância:166°52'30.00" e 0.98; até o vértice P905, de coordenadas N 9213085.80 m e E 297679.75 m; deste, segue confrontando com , com os seguintes azimuth plano e distância:169°42'47.53" e 0.50; até o vértice P906, de coordenadas N 9213085.30 m e E 297679.84 m; deste, segue confrontando com , com os seguintes azimuth plano e distância:170°40'35.07" e 3.87; até o vértice P907, de coordenadas N 9213081.48 m e E 297680.46 m; deste, segue confrontando com , com os seguintes azimuth plano e distância:159°22'30.00" e 0.74; até o vértice P908, de coordenadas N 9213080.79 m e E 297680.72 m; deste, segue confrontando com , com os seguintes azimuth plano e distância:161°24'27.09" e 0.08; até o vértice P909, de coordenadas N 9213080.71 m e E 297680.75 m; deste, segue confrontando com , com os seguintes azimuth plano e distância:161°33'54.18" e 1.66; até o vértice P910, de coordenadas N 9213079.14 m e E 297681.27 m; deste, segue confrontando com , com os seguintes azimuth plano e distância:163°16'57.09" e 0.90; até o vértice P911, de coordenadas N 9213078.28 m e E 297681.53 m; deste, segue confrontando com , com os seguintes azimuth plano e distância:166°52'30.00" e 0.98; até o vértice P912, de coordenadas N 9213077.32 m e E 297681.76 m; deste, segue confrontando com , com os seguintes azimuth plano e distância:170°37'30.00" e 0.98; até o vértice P913, de coordenadas N 9213076.36 m e E 297681.92 m; deste, segue confrontando com , com os seguintes azimuth plano e distância:172°53'42.29" e 0.21; até o vértice P914, de coordenadas N 9213076.15 m e E 297681.94 m; deste, segue confrontando com , com os seguintes azimuth plano e distância:173°17'24.59" e 1.50; até o vértice P915, de coordenadas N 9213074.67 m e E 297682.12 m; deste, segue confrontando com , com os seguintes azimuth plano e distância:174°46'12.29" e 0.77; até o vértice P916, de coordenadas N 9213073.89 m e E 297682.19 m; deste, segue confrontando com , com os seguintes azimuth plano e distância:178°07'30.00" e 0.98; até o vértice P917, de coordenadas N 9213072.91 m e E 297682.22 m; deste, segue confrontando com , com os seguintes azimuth plano e distância:180°00'0.00" e 3.84; até o vértice P918, de coordenadas N 9213069.07 m e E 297682.22 m; deste, segue confrontando com , com os seguintes azimuth plano e distância:181°52'30.00" e 0.98; até o vértice P919, de coordenadas N 9213068.09 m e E 297682.19 m; deste, segue confrontando com , com os seguintes azimuth plano e distância:184°25'33.90" e 0.35; até o vértice P920, de coordenadas N 9213067.74 m e E 297682.16 m; deste, segue confrontando com , com os seguintes azimuth plano e distância:185°06'7.79" e 2.20; até o vértice P921, de coordenadas N 9213065.54 m e E 297681.96 m; deste, segue confrontando com , com os seguintes azimuth plano e distância:133°07'30.00" e 0.79; até o vértice P922, de coordenadas N 9213065.00 m e E 297682.54 m; deste, segue confrontando com , com os seguintes azimuth plano e distância:136°52'30.00" e 0.98; até o vértice P923, de coordenadas N 9213064.29 m e E 297683.21 m; deste, segue confrontando com , com os seguintes azimuth plano e distância:140°37'30.00" e 0.98; até o vértice P924, de coordenadas N 9213063.53 m e E 297683.84 m; deste, segue confrontando com , com os seguintes azimuth plano e distância:144°22'30.00" e 0.98; até o vértice P925, de coordenadas N 9213062.73 m e E 297684.41 m; deste, segue confrontando com , com os seguintes azimuth plano e distância:148°07'30.00" e 0.98; até o vértice P926, de coordenadas N 9213061.90 m e E 297684.93 m; deste, segue confrontando com , com os seguintes azimuth plano e distância:151°52'30.00" e 0.98; até o vértice P927, de coordenadas N 9213061.03 m e E 297685.39 m; deste, segue confrontando com , com os seguintes azimuth plano e distância:155°37'30.00" e 0.98; até o vértice P928, de coordenadas N 9213060.14 m e E 297685.79 m; deste, segue confrontando com , com os seguintes azimuth plano e distância:159°22'30.00" e 0.98; até o vértice P929, de coordenadas N 9213059.22 m e E 297686.14 m; deste, segue confrontando com , com os seguintes azimuth plano e distância:163°07'30.00" e 0.98; até o vértice P930, de coordenadas N 9213058.28 m e E 297686.42 m; deste, segue confrontando com , com os seguintes azimuth plano e distância:166°52'30.00" e 0.98; até o vértice P931, de coordenadas N 9213057.32 m e E 297686.65 m; deste, segue confrontando com , com os seguintes azimuth plano e distância:169°49'47.50" e 0.57; até o vértice P932, de coordenadas N 9213056.77 m e E 297686.75 m; deste, segue confrontando com , com os seguintes azimuth plano e distância:170°54'35.00" e 2.21; até o vértice P933, de coordenadas N 9213054.58 m e E 297687.10 m; deste, segue confrontando com , com os seguintes azimuth plano e distância:171°42'17.50" e 0.42; até o vértice P934, de coordenadas N 9213054.17 m e E 297687.16 m; deste, segue confrontando com , com os seguintes azimuth plano e distância:174°22'30.00" e 0.98; até o vértice P935, de coordenadas N 9213053.19 m e E 297687.25 m; deste, segue confrontando com , com os seguintes azimuth plano e distância:178°07'30.00" e 0.98; até o vértice P936, de coordenadas N 9213052.21 m e E 297687.28 m; deste, segue confrontando com , com os seguintes azimuth plano e distância:180°00'0.00" e 5.33; até o vértice P937, de coordenadas N 9213046.88 m e E 297687.28 m; deste, segue

Assinado por: João Pessoa. Para verificar a validade das assinaturas, acesse <https://joaopessoa.1doc.com.br/verificacao/E130-3F2A-7A96-549F> e informe o código E130-3F2A-7A96-549F



confrontando com , com os seguintes azimuth plano e distância:181°14'41.20" e 0.65; até o vértice P938, de coordenadas N 9213046.23 m e E 297687.27 m; deste, segue confrontando com , com os seguintes azimuth plano e distância:182°29'22.39" e 2.01; até o vértice P939, de coordenadas N 9213044.22 m e E 297687.18 m; deste, segue confrontando com , com os seguintes azimuth plano e distância:183°07'11.20" e 0.33; até o vértice P940, de coordenadas N 9213043.89 m e E 297687.17 m; deste, segue confrontando com , com os seguintes azimuth plano e distância:185°37'30.00" e 0.98; até o vértice P941, de coordenadas N 9213042.92 m e E 297687.07 m; deste, segue confrontando com , com os seguintes azimuth plano e distância:189°22'30.00" e 0.98; até o vértice P942, de coordenadas N 9213041.95 m e E 297686.91 m; deste, segue confrontando com , com os seguintes azimuth plano e distância:192°38'35.24" e 0.73; até o vértice P943, de coordenadas N 9213041.24 m e E 297686.75 m; deste, segue confrontando com , com os seguintes azimuth plano e distância:194°02'10.48" e 2.16; até o vértice P944, de coordenadas N 9213039.14 m e E 297686.23 m; deste, segue confrontando com , com os seguintes azimuth plano e distância:194°31'5.24" e 0.25; até o vértice P945, de coordenadas N 9213038.90 m e E 297686.16 m; deste, segue confrontando com , com os seguintes azimuth plano e distância:195°50'58.64" e 0.44; até o vértice P946, de coordenadas N 9213038.47 m e E 297686.04 m; deste, segue confrontando com , com os seguintes azimuth plano e distância:196°41'57.28" e 2.15; até o vértice P947, de coordenadas N 9213036.41 m e E 297685.42 m; deste, segue confrontando com , com os seguintes azimuth plano e distância:159°22'30.00" e 0.55; até o vértice P948, de coordenadas N 9213035.90 m e E 297685.62 m; deste, segue confrontando com , com os seguintes azimuth plano e distância:163°07'30.00" e 0.98; até o vértice P949, de coordenadas N 9213034.96 m e E 297685.90 m; deste, segue confrontando com , com os seguintes azimuth plano e distância:166°52'30.00" e 0.98; até o vértice P950, de coordenadas N 9213034.00 m e E 297686.12 m; deste, segue confrontando com , com os seguintes azimuth plano e distância:169°26'31.55" e 0.36; até o vértice P951, de coordenadas N 9213033.65 m e E 297686.19 m; deste, segue confrontando com , com os seguintes azimuth plano e distância:170°08'3.10" e 0.78; até o vértice P952, de coordenadas N 9213032.87 m e E 297686.32 m; deste, segue confrontando com , com os seguintes azimuth plano e distância:160°33'35.87" e 1.89; até o vértice P953, de coordenadas N 9213031.09 m e E 297686.95 m; deste, segue confrontando com , com os seguintes azimuth plano e distância:160°54'17.94" e 0.18; até o vértice P954, de coordenadas N 9213030.92 m e E 297687.01 m; deste, segue confrontando com , com os seguintes azimuth plano e distância:163°07'30.00" e 0.98; até o vértice P955, de coordenadas N 9213029.98 m e E 297687.30 m; deste, segue confrontando com , com os seguintes azimuth plano e distância:166°52'30.00" e 0.98; até o vértice P956, de coordenadas N 9213029.02 m e E 297687.52 m; deste, segue confrontando com , com os seguintes azimuth plano e distância:169°30'40.36" e 0.40; até o vértice P957, de coordenadas N 9213028.63 m e E 297687.59 m; deste, segue confrontando com , com os seguintes azimuth plano e distância:170°16'20.72" e 3.10; até o vértice P958, de coordenadas N 9213025.58 m e E 297688.12 m; deste, segue confrontando com , com os seguintes azimuth plano e distância:171°23'10.36" e 0.58; até o vértice P959, de coordenadas N 9213025.00 m e E 297688.20 m; deste, segue confrontando com , com os seguintes azimuth plano e distância:174°22'30.00" e 0.98; até o vértice P960, de coordenadas N 9213024.02 m e E 297688.30 m; deste, segue confrontando com , com os seguintes azimuth plano e distância:178°07'30.00" e 0.98; até o vértice P961, de coordenadas N 9213023.04 m e E 297688.33 m; deste, segue confrontando com , com os seguintes azimuth plano e distância:180°45'13.38" e 0.39; até o vértice P962, de coordenadas N 9213022.65 m e E 297688.33 m; deste, segue confrontando com , com os seguintes azimuth plano e distância:181°30'26.77" e 3.32; até o vértice P963, de coordenadas N 9213019.33 m e E 297688.24 m; deste, segue confrontando com , com os seguintes azimuth plano e distância:181°37'17.66" e 0.06; até o vértice P964, de coordenadas N 9213019.27 m e E 297688.24 m; deste, segue confrontando com , com os seguintes azimuth plano e distância:181°44'8.54" e 2.88; até o vértice P965, de coordenadas N 9213016.39 m e E 297688.15 m; deste, segue confrontando com , com os seguintes azimuth plano e distância:182°44'34.27" e 0.53; até o vértice P966, de coordenadas N 9213015.86 m e E 297688.13 m; deste, segue confrontando com , com os seguintes azimuth plano e distância:185°37'30.00" e 0.98; até o vértice P967, de coordenadas N 9213014.88 m e E 297688.03 m; deste, segue confrontando com , com os seguintes azimuth plano e distância:189°22'30.00" e 0.98; até o vértice P968, de coordenadas N 9213013.91 m e E 297687.87 m; deste, segue confrontando com , com os seguintes azimuth plano e distância:193°07'30.00" e 0.98; até o vértice P969, de coordenadas N 9213012.96 m e E 297687.65 m; deste, segue confrontando com , com os seguintes azimuth plano e distância:196°52'30.00" e 0.98; até o vértice P970, de coordenadas N 9213012.02 m e E 297687.36 m; deste, segue confrontando com , com os seguintes azimuth plano e distância:200°37'30.00" e 0.98; até o vértice P971, de coordenadas N 9213011.10 m e E 297687.02 m; deste, segue confrontando com , com os seguintes azimuth plano e distância:202°33'35.76" e 0.03; até o vértice P972, de coordenadas N 9213011.08 m e E 297687.01 m; deste, segue confrontando com , com os seguintes azimuth plano e distância:185°21'20.96" e 0.05; até o vértice P973, de coordenadas N 9213011.03 m e E 297687.00 m; deste, segue confrontando com , com os seguintes azimuth plano e distância:160°38'27.62" e 0.14; até o vértice P974, de coordenadas N 9213010.89 m e E 297687.05 m; deste, segue confrontando com , com os seguintes azimuth plano e distância:160°56'43.81" e 0.16; até o vértice P975, de coordenadas N 9213010.74 m e E 297687.10 m; deste, segue confrontando com , com os seguintes azimuth plano e distância:163°07'30.00" e 0.98; até o vértice P976, de coordenadas N 9213009.80 m e E 297687.38 m; deste, segue confrontando com , com os seguintes azimuth plano e distância:166°52'30.00" e 0.98; até o vértice P977, de coordenadas N 9213008.85 m e E 297687.61 m; deste, segue confrontando com , com os seguintes azimuth plano e distância:170°37'30.00" e 0.98; até o vértice P978, de coordenadas N 9213007.88 m e E 297687.77 m; deste, segue confrontando com , com os seguintes azimuth plano e distância:174°22'30.00" e 0.98; até o vértice P979, de coordenadas N 9213006.90 m e E 297687.86 m; deste, segue confrontando com , com os seguintes azimuth plano e distância:178°07'30.00" e 0.98; até o vértice P980, de coordenadas N 9213005.92 m e E 297687.90 m; deste, segue confrontando com , com os seguintes azimuth plano e distância:181°19'53.40" e 0.70; até o vértice P981, de coordenadas N 9213005.22 m e E 297687.88 m; deste, segue confrontando com , com os seguintes azimuth plano e distância:182°39'46.80" e 3.76; até o vértice P982, de coordenadas N 9213001.47 m e E 297687.71 m; deste, segue confrontando com , com os seguintes azimuth plano e distância:183°12'23.40" e 0.28; até o vértice P983, de coordenadas N 9213001.18 m e E 297687.69 m; deste, segue confrontando com , com os seguintes azimuth plano e distância:185°02'42.34" e 0.68; até o vértice P984, de coordenadas N 9213000.51 m e E 297687.63 m; deste, segue confrontando com , com os seguintes

Assinado por: SÍCERO DE LUCENA FILHO. Para verificar a validade das assinaturas, acesse <https://joaopessoa.1doc.com.br/verificacao/E130-3F2A-7A96-549F> e informe o código E130-3F2A-7A96-549F

azimute plano e distância:186°20'24.69" e 0.75; até o vértice P985, de coordenadas N 9212999.76 m e E 297687.55 m; deste, segue confrontando com , com os seguintes azimute plano e distância:180°00'0.00" e 0.80; até o vértice P986, de coordenadas N 9212998.97 m e E 297687.55 m; deste, segue confrontando com , com os seguintes azimute plano e distância:176°25'25.20" e 2.33; até o vértice P987, de coordenadas N 9212996.64 m e E 297687.69 m; deste, segue confrontando com , com os seguintes azimute plano e distância:178°12'42.60" e 0.94; até o vértice P988, de coordenadas N 9212995.70 m e E 297687.72 m; deste, segue confrontando com , com os seguintes azimute plano e distância:180°00'0.00" e 0.31; até o vértice P989, de coordenadas N 9212995.40 m e E 297687.72 m; deste, segue confrontando com , com os seguintes azimute plano e distância:148°29'17.04" e 0.17; até o vértice P990, de coordenadas N 9212995.25 m e E 297687.81 m; deste, segue confrontando com , com os seguintes azimute plano e distância:151°52'30.00" e 0.98; até o vértice P991, de coordenadas N 9212994.39 m e E 297688.27 m; deste, segue confrontando com , com os seguintes azimute plano e distância:154°16'27.98" e 0.27; até o vértice P992, de coordenadas N 9212994.14 m e E 297688.39 m; deste, segue confrontando com , com os seguintes azimute plano e distância:154°47'55.95" e 1.64; até o vértice P993, de coordenadas N 9212992.66 m e E 297689.09 m; deste, segue confrontando com , com os seguintes azimute plano e distância:156°08'57.98" e 0.71; até o vértice P994, de coordenadas N 9212992.01 m e E 297689.37 m; deste, segue confrontando com , com os seguintes azimute plano e distância:159°22'30.00" e 0.98; até o vértice P995, de coordenadas N 9212991.09 m e E 297689.72 m; deste, segue confrontando com , com os seguintes azimute plano e distância:163°07'30.00" e 0.98; até o vértice P996, de coordenadas N 9212990.15 m e E 297690.01 m; deste, segue confrontando com , com os seguintes azimute plano e distância:166°52'30.00" e 0.98; até o vértice P997, de coordenadas N 9212989.20 m e E 297690.23 m; deste, segue confrontando com , com os seguintes azimute plano e distância:170°37'30.00" e 0.98; até o vértice P998, de coordenadas N 9212988.23 m e E 297690.39 m; deste, segue confrontando com , com os seguintes azimute plano e distância:174°22'30.00" e 0.98; até o vértice P999, de coordenadas N 9212987.25 m e E 297690.48 m; deste, segue confrontando com , com os seguintes azimute plano e distância:178°07'30.00" e 0.98; até o vértice P1000, de coordenadas N 9212986.27 m e E 297690.52 m; deste, segue confrontando com , com os seguintes azimute plano e distância:181°52'30.00" e 0.98; até o vértice P1001, de coordenadas N 9212985.29 m e E 297690.48 m; deste, segue confrontando com , com os seguintes azimute plano e distância:185°37'30.00" e 0.98; até o vértice P1002, de coordenadas N 9212984.31 m e E 297690.39 m; deste, segue confrontando com , com os seguintes azimute plano e distância:189°22'30.00" e 0.51; até o vértice P1003, de coordenadas N 9212983.81 m e E 297690.30 m; deste, segue confrontando com , com os seguintes azimute plano e distância:151°52'30.00" e 0.87; até o vértice P1004, de coordenadas N 9212983.03 m e E 297690.72 m; deste, segue confrontando com , com os seguintes azimute plano e distância:155°37'30.00" e 0.98; até o vértice P1005, de coordenadas N 9212982.14 m e E 297691.12 m; deste, segue confrontando com , com os seguintes azimute plano e distância:159°22'30.00" e 0.98; até o vértice P1006, de coordenadas N 9212981.22 m e E 297691.47 m; deste, segue confrontando com , com os seguintes azimute plano e distância:163°07'30.00" e 0.98; até o vértice P1007, de coordenadas N 9212980.28 m e E 297691.75 m; deste, segue confrontando com , com os seguintes azimute plano e distância:166°52'30.00" e 0.98; até o vértice P1008, de coordenadas N 9212979.33 m e E 297691.97 m; deste, segue confrontando com , com os seguintes azimute plano e distância:170°37'30.00" e 0.98; até o vértice P1009, de coordenadas N 9212978.36 m e E 297692.13 m; deste, segue confrontando com , com os seguintes azimute plano e distância:174°22'30.00" e 0.98; até o vértice P1010, de coordenadas N 9212977.38 m e E 297692.23 m; deste, segue confrontando com , com os seguintes azimute plano e distância:178°07'30.00" e 0.98; até o vértice P1011, de coordenadas N 9212976.40 m e E 297692.26 m; deste, segue confrontando com , com os seguintes azimute plano e distância:181°26'49.83" e 0.76; até o vértice P1012, de coordenadas N 9212975.64 m e E 297692.24 m; deste, segue confrontando com , com os seguintes azimute plano e distância:182°53'39.68" e 0.02; até o vértice P1013, de coordenadas N 9212975.63 m e E 297692.24 m; deste, segue confrontando com , com os seguintes azimute plano e distância:168°56'3.89" e 0.02; até o vértice P1014, de coordenadas N 9212975.61 m e E 297692.25 m; deste, segue confrontando com , com os seguintes azimute plano e distância:170°43'1.94" e 0.93; até o vértice P1015, de coordenadas N 9212974.69 m e E 297692.40 m; deste, segue confrontando com , com os seguintes azimute plano e distância:174°22'30.00" e 0.98; até o vértice P1016, de coordenadas N 9212973.71 m e E 297692.49 m; deste, segue confrontando com , com os seguintes azimute plano e distância:178°07'30.00" e 0.98; até o vértice P1017, de coordenadas N 9212972.73 m e E 297692.53 m; deste, segue confrontando com , com os seguintes azimute plano e distância:180°00'0.00" e 0.46; até o vértice P1018, de coordenadas N 9212972.27 m e E 297692.53 m; deste, segue confrontando com , com os seguintes azimute plano e distância:160°49'15.57" e 0.12; até o vértice P1019, de coordenadas N 9212972.16 m e E 297692.57 m; deste, segue confrontando com , com os seguintes azimute plano e distância:161°02'7.79" e 0.11; até o vértice P1020, de coordenadas N 9212972.05 m e E 297692.60 m; deste, segue confrontando com , com os seguintes azimute plano e distância:163°07'30.00" e 0.98; até o vértice P1021, de coordenadas N 9212971.11 m e E 297692.89 m; deste, segue confrontando com , com os seguintes azimute plano e distância:166°52'30.00" e 0.98; até o vértice P1022, de coordenadas N 9212970.16 m e E 297693.11 m; deste, segue confrontando com , com os seguintes azimute plano e distância:170°37'30.00" e 0.98; até o vértice P1023, de coordenadas N 9212969.19 m e E 297693.27 m; deste, segue confrontando com , com os seguintes azimute plano e distância:174°22'30.00" e 0.98; até o vértice P1024, de coordenadas N 9212968.21 m e E 297693.37 m; deste, segue confrontando com , com os seguintes azimute plano e distância:178°07'30.00" e 0.98; até o vértice P1025, de coordenadas N 9212967.23 m e E 297693.40 m; deste, segue confrontando com , com os seguintes azimute plano e distância:180°00'0.00" e 1.48; até o vértice P1026, de coordenadas N 9212965.74 m e E 297693.40 m; deste, segue confrontando com , com os seguintes azimute plano e distância:181°52'30.00" e 0.98; até o vértice P1027, de coordenadas N 9212964.76 m e E 297693.37 m; deste, segue confrontando com , com os seguintes azimute plano e distância:183°58'50.05" e 0.12; até o vértice P1028, de coordenadas N 9212964.64 m e E 297693.36 m; deste, segue confrontando com , com os seguintes azimute plano e distância:184°12'40.08" e 0.01; até o vértice P1029, de coordenadas N 9212964.63 m e E 297693.36 m; deste, segue confrontando com , com os seguintes azimute plano e distância:161°57'59.09" e 0.01; até o vértice P1030, de coordenadas N 9212964.62 m e E 297693.36 m; deste, segue confrontando com , com os seguintes azimute plano e distância:163°28'59.53" e 0.79; até o vértice P1031, de coordenadas N 9212963.86 m e E 297693.59 m; deste, segue confrontando com , com os seguintes azimute plano e distância:166°52'30.00"

Assinado por: **Lucena Filho**
 Para verificar a validade das assinaturas, acesse <https://joaopessoa.1doc.com.br/verificacao/E130-3F2A-7A96-549F> e informe o código E130-3F2A-7A96-549F



0.98; até o vértice P1032, de coordenadas N 9212962.91 m e E 297693.81 m; deste, segue confrontando com , com os seguintes azimuth plano e distância:170°22'21.55" e 0.85; até o vértice P1033, de coordenadas N 9212962.07 m e E 297693.95 m; deste, segue confrontando com , com os seguintes azimuth plano e distância:171°59'43.09" e 0.02; até o vértice P1034, de coordenadas N 9212962.04 m e E 297693.95 m; deste, segue confrontando com , com os seguintes azimuth plano e distância:162°56'49.48" e 0.02; até o vértice P1035, de coordenadas N 9212962.02 m e E 297693.96 m; deste, segue confrontando com , com os seguintes azimuth plano e distância:163°58'24.75" e 0.54; até o vértice P1036, de coordenadas N 9212961.50 m e E 297694.11 m; deste, segue confrontando com , com os seguintes azimuth plano e distância:166°52'30.00" e 0.98; até o vértice P1037, de coordenadas N 9212960.55 m e E 297694.33 m; deste, segue confrontando com , com os seguintes azimuth plano e distância:169°38'37.82" e 0.47; até o vértice P1038, de coordenadas N 9212960.09 m e E 297694.42 m; deste, segue confrontando com , com os seguintes azimuth plano e distância:170°32'15.64" e 3.19; até o vértice P1039, de coordenadas N 9212956.94 m e E 297694.94 m; deste, segue confrontando com , com os seguintes azimuth plano e distância:170°46'57.09" e 0.13; até o vértice P1040, de coordenadas N 9212956.82 m e E 297694.96 m; deste, segue confrontando com , com os seguintes azimuth plano e distância:171°01'38.54" e 1.72; até o vértice P1041, de coordenadas N 9212955.12 m e E 297695.23 m; deste, segue confrontando com , com os seguintes azimuth plano e distância:158°33'8.15" e 0.99; até o vértice P1042, de coordenadas N 9212954.20 m e E 297695.59 m; deste, segue confrontando com , com os seguintes azimuth plano e distância:159°54'4.07" e 0.71; até o vértice P1043, de coordenadas N 9212953.53 m e E 297695.83 m; deste, segue confrontando com , com os seguintes azimuth plano e distância:163°07'30.00" e 0.98; até o vértice P1044, de coordenadas N 9212952.60 m e E 297696.12 m; deste, segue confrontando com , com os seguintes azimuth plano e distância:166°52'30.00" e 0.98; até o vértice P1045, de coordenadas N 9212951.64 m e E 297696.34 m; deste, segue confrontando com , com os seguintes azimuth plano e distância:170°37'30.00" e 0.47; até o vértice P1046, de coordenadas N 9212951.18 m e E 297696.42 m; deste, segue confrontando com , com os seguintes azimuth plano e distância:136°52'30.00" e 0.36; até o vértice P1047, de coordenadas N 9212950.92 m e E 297696.66 m; deste, segue confrontando com , com os seguintes azimuth plano e distância:140°37'30.00" e 0.98; até o vértice P1048, de coordenadas N 9212950.16 m e E 297697.29 m; deste, segue confrontando com , com os seguintes azimuth plano e distância:144°22'30.00" e 0.98; até o vértice P1049, de coordenadas N 9212949.36 m e E 297697.86 m; deste, segue confrontando com , com os seguintes azimuth plano e distância:148°07'30.00" e 0.98; até o vértice P1050, de coordenadas N 9212948.53 m e E 297698.38 m; deste, segue confrontando com , com os seguintes azimuth plano e distância:151°52'30.00" e 0.98; até o vértice P1051, de coordenadas N 9212947.66 m e E 297698.84 m; deste, segue confrontando com , com os seguintes azimuth plano e distância:155°37'30.00" e 0.98; até o vértice P1052, de coordenadas N 9212946.77 m e E 297699.24 m; deste, segue confrontando com , com os seguintes azimuth plano e distância:159°22'30.00" e 0.98; até o vértice P1053, de coordenadas N 9212945.85 m e E 297699.59 m; deste, segue confrontando com , com os seguintes azimuth plano e distância:163°07'30.00" e 0.98; até o vértice P1054, de coordenadas N 9212944.91 m e E 297699.87 m; deste, segue confrontando com , com os seguintes azimuth plano e distância:165°07'41.58" e 0.07; até o vértice P1055, de coordenadas N 9212944.84 m e E 297699.89 m; deste, segue confrontando com , com os seguintes azimuth plano e distância:165°15'23.17" e 1.93; até o vértice P1056, de coordenadas N 9212942.98 m e E 297700.38 m; deste, segue confrontando com , com os seguintes azimuth plano e distância:153°47'19.04" e 4.82; até o vértice P1057, de coordenadas N 9212938.66 m e E 297702.51 m; deste, segue confrontando com , com os seguintes azimuth plano e distância:155°38'39.52" e 0.97; até o vértice P1058, de coordenadas N 9212937.77 m e E 297702.91 m; deste, segue confrontando com , com os seguintes azimuth plano e distância:159°22'30.00" e 0.98; até o vértice P1059, de coordenadas N 9212936.85 m e E 297703.26 m; deste, segue confrontando com , com os seguintes azimuth plano e distância:163°07'30.00" e 0.98; até o vértice P1060, de coordenadas N 9212935.91 m e E 297703.54 m; deste, segue confrontando com , com os seguintes azimuth plano e distância:166°52'30.00" e 0.98; até o vértice P1061, de coordenadas N 9212934.96 m e E 297703.77 m; deste, segue confrontando com , com os seguintes azimuth plano e distância:169°00'19.99" e 0.13; até o vértice P1062, de coordenadas N 9212934.83 m e E 297703.79 m; deste, segue confrontando com , com os seguintes azimuth plano e distância:169°15'39.97" e 5.16; até o vértice P1063, de coordenadas N 9212929.76 m e E 297704.75 m; deste, segue confrontando com , com os seguintes azimuth plano e distância:170°20'19.47" e 0.56; até o vértice P1064, de coordenadas N 9212929.20 m e E 297704.85 m; deste, segue confrontando com , com os seguintes azimuth plano e distância:171°24'58.96" e 2.31; até o vértice P1065, de coordenadas N 9212926.92 m e E 297705.19 m; deste, segue confrontando com , com os seguintes azimuth plano e distância:153°26'5.82" e 2.51; até o vértice P1066, de coordenadas N 9212924.68 m e E 297706.31 m; deste, segue confrontando com , com os seguintes azimuth plano e distância:153°35'32.91" e 0.08; até o vértice P1067, de coordenadas N 9212924.60 m e E 297706.35 m; deste, segue confrontando com , com os seguintes azimuth plano e distância:155°37'30.00" e 0.98; até o vértice P1068, de coordenadas N 9212923.71 m e E 297706.76 m; deste, segue confrontando com , com os seguintes azimuth plano e distância:159°22'30.00" e 0.98; até o vértice P1069, de coordenadas N 9212922.79 m e E 297707.10 m; deste, segue confrontando com , com os seguintes azimuth plano e distância:163°07'30.00" e 0.98; até o vértice P1070, de coordenadas N 9212921.85 m e E 297707.39 m; deste, segue confrontando com , com os seguintes azimuth plano e distância:166°52'30.00" e 0.98; até o vértice P1071, de coordenadas N 9212920.89 m e E 297707.61 m; deste, segue confrontando com , com os seguintes azimuth plano e distância:170°37'30.00" e 0.98; até o vértice P1072, de coordenadas N 9212919.93 m e E 297707.77 m; deste, segue confrontando com , com os seguintes azimuth plano e distância:173°33'19.24" e 0.55; até o vértice P1073, de coordenadas N 9212919.38 m e E 297707.83 m; deste, segue confrontando com , com os seguintes azimuth plano e distância:174°36'38.48" e 4.65; até o vértice P1074, de coordenadas N 9212914.75 m e E 297708.27 m; deste, segue confrontando com , com os seguintes azimuth plano e distância:175°25'49.24" e 0.43; até o vértice P1075, de coordenadas N 9212914.32 m e E 297708.30 m; deste, segue confrontando com , com os seguintes azimuth plano e distância:178°07'30.00" e 0.98; até o vértice P1076, de coordenadas N 9212913.34 m e E 297708.33 m; deste, segue confrontando com , com os seguintes azimuth plano e distância:181°25'52.33" e 0.60; até o vértice P1077, de coordenadas N 9212912.74 m e E 297708.32 m; deste, segue confrontando com , com os seguintes azimuth plano e distância:147°31'43.71" e 0.80; até o vértice P1078, de coordenadas N 9212912.07 m e E 297708.75 m; deste, segue confrontando com , com os seguintes azimuth plano e distância:145°46'54.02" e 3.71; até o vértice P1079, de coordenadas

Assinado por: **JOÃO PESSOA**
Para verificar a validade das assinaturas, acesse <https://joaopessoa.1doc.com.br/verificacao/E130-3F2A-7A96-549F> e informe o código E130-3F2A-7A96-549F

N 9212909.00 m e E 297710.84 m; deste, segue confrontando com , com os seguintes azimuth plano e distância:146°00'57.01" e 0.12; até o vértice P1080, de coordenadas N 9212908.89 m e E 297710.90 m; deste, segue confrontando com , com os seguintes azimuth plano e distância:148°07'30.00" e 0.98; até o vértice P1081, de coordenadas N 9212908.06 m e E 297711.42 m; deste, segue confrontando com , com os seguintes azimuth plano e distância:151°52'30.00" e 0.98; até o vértice P1082, de coordenadas N 9212907.19 m e E 297711.89 m; deste, segue confrontando com , com os seguintes azimuth plano e distância:155°37'30.00" e 0.98; até o vértice P1083, de coordenadas N 9212906.30 m e E 297712.29 m; deste, segue confrontando com , com os seguintes azimuth plano e distância:158°02'36.47" e 0.28; até o vértice P1084, de coordenadas N 9212906.04 m e E 297712.40 m; deste, segue confrontando com , com os seguintes azimuth plano e distância:158°35'12.97" e 0.01; até o vértice P1085, de coordenadas N 9212906.03 m e E 297712.40 m; deste, segue confrontando com , com os seguintes azimuth plano e distância:134°01'58.54" e 0.01; até o vértice P1086, de coordenadas N 9212906.02 m e E 297712.41 m; deste, segue confrontando com , com os seguintes azimuth plano e distância:134°30'59.28" e 0.25; até o vértice P1087, de coordenadas N 9212905.84 m e E 297712.59 m; deste, segue confrontando com , com os seguintes azimuth plano e distância:136°52'30.00" e 0.98; até o vértice P1088, de coordenadas N 9212905.13 m e E 297713.26 m; deste, segue confrontando com , com os seguintes azimuth plano e distância:140°37'30.00" e 0.98; até o vértice P1089, de coordenadas N 9212904.37 m e E 297713.88 m; deste, segue confrontando com , com os seguintes azimuth plano e distância:144°22'30.00" e 0.98; até o vértice P1090, de coordenadas N 9212903.57 m e E 297714.45 m; deste, segue confrontando com , com os seguintes azimuth plano e distância:146°16'47.88" e 0.02; até o vértice P1091, de coordenadas N 9212903.56 m e E 297714.46 m; deste, segue confrontando com , com os seguintes azimuth plano e distância:146°18'35.76" e 1.97; até o vértice P1092, de coordenadas N 9212901.92 m e E 297715.55 m; deste, segue confrontando com , com os seguintes azimuth plano e distância:148°09'17.88" e 0.97; até o vértice P1093, de coordenadas N 9212901.10 m e E 297716.06 m; deste, segue confrontando com , com os seguintes azimuth plano e distância:151°52'30.00" e 0.98; até o vértice P1094, de coordenadas N 9212900.23 m e E 297716.53 m; deste, segue confrontando com , com os seguintes azimuth plano e distância:155°37'30.00" e 0.98; até o vértice P1095, de coordenadas N 9212899.34 m e E 297716.93 m; deste, segue confrontando com , com os seguintes azimuth plano e distância:159°22'30.00" e 0.98; até o vértice P1096, de coordenadas N 9212898.42 m e E 297717.28 m; deste, segue confrontando com , com os seguintes azimuth plano e distância:163°07'30.00" e 0.98; até o vértice P1097, de coordenadas N 9212897.48 m e E 297717.56 m; deste, segue confrontando com , com os seguintes azimuth plano e distância:166°52'30.00" e 0.98; até o vértice P1098, de coordenadas N 9212896.53 m e E 297717.78 m; deste, segue confrontando com , com os seguintes azimuth plano e distância:170°37'30.00" e 0.98; até o vértice P1099, de coordenadas N 9212895.56 m e E 297717.94 m; deste, segue confrontando com , com os seguintes azimuth plano e distância:174°22'30.00" e 0.98; até o vértice P1100, de coordenadas N 9212894.58 m e E 297718.04 m; deste, segue confrontando com , com os seguintes azimuth plano e distância:178°07'30.00" e 0.98; até o vértice P1101, de coordenadas N 9212893.60 m e E 297718.07 m; deste, segue confrontando com , com os seguintes azimuth plano e distância:181°52'30.00" e 0.98; até o vértice P1102, de coordenadas N 9212892.62 m e E 297718.04 m; deste, segue confrontando com , com os seguintes azimuth plano e distância:185°37'30.00" e 0.98; até o vértice P1103, de coordenadas N 9212891.64 m e E 297717.94 m; deste, segue confrontando com , com os seguintes azimuth plano e distância:189°22'30.00" e 0.98; até o vértice P1104, de coordenadas N 9212890.67 m e E 297717.78 m; deste, segue confrontando com , com os seguintes azimuth plano e distância:192°38'35.24" e 0.73; até o vértice P1105, de coordenadas N 9212889.96 m e E 297717.62 m; deste, segue confrontando com , com os seguintes azimuth plano e distância:194°02'10.48" e 1.22; até o vértice P1106, de coordenadas N 9212888.77 m e E 297717.33 m; deste, segue confrontando com , com os seguintes azimuth plano e distância:177°42'33.80" e 1.26; até o vértice P1107, de coordenadas N 9212887.51 m e E 297717.38 m; deste, segue confrontando com , com os seguintes azimuth plano e distância:178°36'56.19" e 0.47; até o vértice P1108, de coordenadas N 9212887.04 m e E 297717.39 m; deste, segue confrontando com , com os seguintes azimuth plano e distância:150°15'18.43" e 0.12; até o vértice P1109, de coordenadas N 9212886.94 m e E 297717.45 m; deste, segue confrontando com , com os seguintes azimuth plano e distância:129°17'21.86" e 3.04; até o vértice P1110, de coordenadas N 9212885.01 m e E 297719.80 m; deste, segue confrontando com , com os seguintes azimuth plano e distância:130°16'10.93" e 0.51; até o vértice P1111, de coordenadas N 9212884.68 m e E 297720.20 m; deste, segue confrontando com , com os seguintes azimuth plano e distância:133°07'30.00" e 0.98; até o vértice P1112, de coordenadas N 9212884.01 m e E 297720.91 m; deste, segue confrontando com , com os seguintes azimuth plano e distância:136°52'30.00" e 0.98; até o vértice P1113, de coordenadas N 9212883.29 m e E 297721.58 m; deste, segue confrontando com , com os seguintes azimuth plano e distância:140°37'30.00" e 0.98; até o vértice P1114, de coordenadas N 9212882.53 m e E 297722.21 m; deste, segue confrontando com , com os seguintes azimuth plano e distância:144°22'30.00" e 0.98; até o vértice P1115, de coordenadas N 9212881.74 m e E 297722.78 m; deste, segue confrontando com , com os seguintes azimuth plano e distância:148°07'30.00" e 0.98; até o vértice P1116, de coordenadas N 9212880.90 m e E 297723.30 m; deste, segue confrontando com , com os seguintes azimuth plano e distância:151°52'30.00" e 0.98; até o vértice P1117, de coordenadas N 9212880.04 m e E 297723.76 m; deste, segue confrontando com , com os seguintes azimuth plano e distância:155°37'30.00" e 0.98; até o vértice P1118, de coordenadas N 9212879.14 m e E 297724.16 m; deste, segue confrontando com , com os seguintes azimuth plano e distância:159°22'30.00" e 0.98; até o vértice P1119, de coordenadas N 9212878.22 m e E 297724.51 m; deste, segue confrontando com , com os seguintes azimuth plano e distância:163°07'30.00" e 0.98; até o vértice P1120, de coordenadas N 9212877.28 m e E 297724.79 m; deste, segue confrontando com , com os seguintes azimuth plano e distância:166°52'30.00" e 0.98; até o vértice P1121, de coordenadas N 9212876.33 m e E 297725.02 m; deste, segue confrontando com , com os seguintes azimuth plano e distância:168°58'58.27" e 0.12; até o vértice P1122, de coordenadas N 9212876.21 m e E 297725.04 m; deste, segue confrontando com , com os seguintes azimuth plano e distância:169°12'56.53" e 4.28; até o vértice P1123, de coordenadas N 9212872.00 m e E 297725.84 m; deste, segue confrontando com , com os seguintes azimuth plano e distância:157°22'48.49" e 1.99; até o vértice P1124, de coordenadas N 9212870.16 m e E 297726.61 m; deste, segue confrontando com , com os seguintes azimuth plano e distância:157°26'24.23" e 0.03; até o vértice P1125, de coordenadas N 9212870.14 m e E 297726.62 m; deste, segue confrontando com , com os seguintes azimuth plano e distância:159°22'30.00" e 0.98; até o vértice P1126, de coordenadas N 9212869.22 m e E 297726.97 m; deste,

Assinado por:  Para verificar a validade das assinaturas, acesse <https://joaopessoa.1doc.com.br/verificacao/E130-3F2A-7A96-549F> e informe o código E130-3F2A-7A96-549F



segue confrontando com , com os seguintes azimuth plano e distância:163°07'30.00" e 0.98; até o vértice P1127, de coordenadas N 9212868.28 m e E 297727.25 m; deste, segue confrontando com , com os seguintes azimuth plano e distância:166°52'30.00" e 0.98; até o vértice P1128, de coordenadas N 9212867.32 m e E 297727.47 m; deste, segue confrontando com , com os seguintes azimuth plano e distância:170°37'30.00" e 0.98; até o vértice P1129, de coordenadas N 9212866.35 m e E 297727.63 m; deste, segue confrontando com , com os seguintes azimuth plano e distância:174°22'30.00" e 0.98; até o vértice P1130, de coordenadas N 9212865.38 m e E 297727.73 m; deste, segue confrontando com , com os seguintes azimuth plano e distância:178°07'30.00" e 0.98; até o vértice P1131, de coordenadas N 9212864.40 m e E 297727.76 m; deste, segue confrontando com , com os seguintes azimuth plano e distância:181°52'30.00" e 0.88; até o vértice P1132, de coordenadas N 9212863.52 m e E 297727.73 m; deste, segue confrontando com , com os seguintes azimuth plano e distância:142°07'30.06" e 4.68; até o vértice P1133, de coordenadas N 9212859.82 m e E 297730.61 m; deste, segue confrontando com , com os seguintes azimuth plano e distância:142°18'45.03" e 0.10; até o vértice P1134, de coordenadas N 9212859.74 m e E 297730.67 m; deste, segue confrontando com , com os seguintes azimuth plano e distância:143°23'47.96" e 0.47; até o vértice P1135, de coordenadas N 9212859.37 m e E 297730.95 m; deste, segue confrontando com , com os seguintes azimuth plano e distância:144°17'35.91" e 5.38; até o vértice P1136, de coordenadas N 9212855.00 m e E 297734.09 m; deste, segue confrontando com , com os seguintes azimuth plano e distância:145°16'17.96" e 0.51; até o vértice P1137, de coordenadas N 9212854.58 m e E 297734.38 m; deste, segue confrontando com , com os seguintes azimuth plano e distância:148°07'30.00" e 0.98; até o vértice P1138, de coordenadas N 9212853.74 m e E 297734.90 m; deste, segue confrontando com , com os seguintes azimuth plano e distância:151°52'30.00" e 0.98; até o vértice P1139, de coordenadas N 9212852.88 m e E 297735.36 m; deste, segue confrontando com , com os seguintes azimuth plano e distância:155°37'30.00" e 0.98; até o vértice P1140, de coordenadas N 9212851.98 m e E 297735.76 m; deste, segue confrontando com , com os seguintes azimuth plano e distância:159°22'30.00" e 0.98; até o vértice P1141, de coordenadas N 9212851.07 m e E 297736.11 m; deste, segue confrontando com , com os seguintes azimuth plano e distância:163°07'30.00" e 0.98; até o vértice P1142, de coordenadas N 9212850.13 m e E 297736.39 m; deste, segue confrontando com , com os seguintes azimuth plano e distância:166°50'42.12" e 0.97; até o vértice P1143, de coordenadas N 9212849.19 m e E 297736.61 m; deste, segue confrontando com , com os seguintes azimuth plano e distância:168°41'24.24" e 1.99; até o vértice P1144, de coordenadas N 9212847.23 m e E 297737.00 m; deste, segue confrontando com , com os seguintes azimuth plano e distância:162°38'45.51" e 1.50; até o vértice P1145, de coordenadas N 9212845.81 m e E 297737.45 m; deste, segue confrontando com , com os seguintes azimuth plano e distância:163°49'22.76" e 0.62; até o vértice P1146, de coordenadas N 9212845.21 m e E 297737.62 m; deste, segue confrontando com , com os seguintes azimuth plano e distância:166°52'30.00" e 0.98; até o vértice P1147, de coordenadas N 9212844.26 m e E 297737.85 m; deste, segue confrontando com , com os seguintes azimuth plano e distância:170°37'30.00" e 0.46; até o vértice P1148, de coordenadas N 9212843.80 m e E 297737.92 m; deste, segue confrontando com , com os seguintes azimuth plano e distância:139°05'8.22" e 0.56; até o vértice P1149, de coordenadas N 9212843.38 m e E 297738.29 m; deste, segue confrontando com , com os seguintes azimuth plano e distância:140°47'34.11" e 0.89; até o vértice P1150, de coordenadas N 9212842.68 m e E 297738.86 m; deste, segue confrontando com , com os seguintes azimuth plano e distância:144°22'30.00" e 0.98; até o vértice P1151, de coordenadas N 9212841.89 m e E 297739.43 m; deste, segue confrontando com , com os seguintes azimuth plano e distância:148°07'30.00" e 0.98; até o vértice P1152, de coordenadas N 9212841.05 m e E 297739.95 m; deste, segue confrontando com , com os seguintes azimuth plano e distância:151°03'4.91" e 0.55; até o vértice P1153, de coordenadas N 9212840.57 m e E 297740.21 m; deste, segue confrontando com , com os seguintes azimuth plano e distância:152°06'9.82" e 2.63; até o vértice P1154, de coordenadas N 9212838.25 m e E 297741.44 m; deste, segue confrontando com , com os seguintes azimuth plano e distância:152°55'34.91" e 0.43; até o vértice P1155, de coordenadas N 9212837.87 m e E 297741.64 m; deste, segue confrontando com , com os seguintes azimuth plano e distância:154°39'10.88" e 0.47; até o vértice P1156, de coordenadas N 9212837.44 m e E 297741.84 m; deste, segue confrontando com , com os seguintes azimuth plano e distância:155°33'21.76" e 2.88; até o vértice P1157, de coordenadas N 9212834.82 m e E 297743.03 m; deste, segue confrontando com , com os seguintes azimuth plano e distância:152°21'14.49" e 2.82; até o vértice P1158, de coordenadas N 9212832.32 m e E 297744.34 m; deste, segue confrontando com , com os seguintes azimuth plano e distância:153°03'7.24" e 0.37; até o vértice P1159, de coordenadas N 9212832.00 m e E 297744.50 m; deste, segue confrontando com , com os seguintes azimuth plano e distância:155°37'30.00" e 0.98; até o vértice P1160, de coordenadas N 9212831.10 m e E 297744.91 m; deste, segue confrontando com , com os seguintes azimuth plano e distância:159°22'30.00" e 0.98; até o vértice P1161, de coordenadas N 9212830.19 m e E 297745.25 m; deste, segue confrontando com , com os seguintes azimuth plano e distância:163°07'30.00" e 0.98; até o vértice P1162, de coordenadas N 9212829.25 m e E 297745.54 m; deste, segue confrontando com , com os seguintes azimuth plano e distância:166°43'11.76" e 0.90; até o vértice P1163, de coordenadas N 9212828.37 m e E 297745.74 m; deste, segue confrontando com , com os seguintes azimuth plano e distância:168°26'23.53" e 4.19; até o vértice P1164, de coordenadas N 9212824.27 m e E 297746.58 m; deste, segue confrontando com , com os seguintes azimuth plano e distância:137°36'9.22" e 1.08; até o vértice P1165, de coordenadas N 9212823.47 m e E 297747.31 m; deste, segue confrontando com , com os seguintes azimuth plano e distância:138°10'34.61" e 0.30; até o vértice P1166, de coordenadas N 9212823.25 m e E 297747.51 m; deste, segue confrontando com , com os seguintes azimuth plano e distância:140°37'30.00" e 0.98; até o vértice P1167, de coordenadas N 9212822.49 m e E 297748.14 m; deste, segue confrontando com , com os seguintes azimuth plano e distância:144°22'30.00" e 0.98; até o vértice P1168, de coordenadas N 9212821.69 m e E 297748.71 m; deste, segue confrontando com , com os seguintes azimuth plano e distância:148°07'30.00" e 0.98; até o vértice P1169, de coordenadas N 9212820.86 m e E 297749.23 m; deste, segue confrontando com , com os seguintes azimuth plano e distância:151°52'30.00" e 0.98; até o vértice P1170, de coordenadas N 9212819.99 m e E 297749.69 m; deste, segue confrontando com , com os seguintes azimuth plano e distância:155°37'30.00" e 0.98; até o vértice P1171, de coordenadas N 9212819.10 m e E 297750.09 m; deste, segue confrontando com , com os seguintes azimuth plano e distância:159°22'30.00" e 0.98; até o vértice P1172, de coordenadas N 9212818.18 m e E 297750.44 m; deste, segue confrontando com , com os seguintes azimuth plano e distância:163°07'30.00" e 0.98; até o vértice P1173, de coordenadas N 9212817.24 m e E 297750.72 m; deste, segue confrontando com , com os seguintes

Assinado por: SÍLCIO DE LUCENA FILHO. Para verificar a validade das assinaturas, acesse <https://joaopessoa.idoc.com.br/verificacao/E130-3F2A-7A96-549F> e informe o código E130-3F2A-7A96-549F



azimute plano e distância:166°52'30.00" e 0.98; até o vértice P1174, de coordenadas N 9212816.28 m e E 297750.95 m; deste, segue confrontando com , com os seguintes azimute plano e distância:170°18'35.82" e 0.82; até o vértice P1175, de coordenadas N 9212815.48 m e E 297751.08 m; deste, segue confrontando com , com os seguintes azimute plano e distância:171°52'11.63" e 1.34; até o vértice P1176, de coordenadas N 9212814.15 m e E 297751.27 m; deste, segue confrontando com , com os seguintes azimute plano e distância:160°01'0.82" e 1.29; até o vértice P1177, de coordenadas N 9212812.94 m e E 297751.72 m; deste, segue confrontando com , com os seguintes azimute plano e distância:157°22'48.49" e 3.20; até o vértice P1178, de coordenadas N 9212809.98 m e E 297752.95 m; deste, segue confrontando com , com os seguintes azimute plano e distância:157°26'24.25" e 0.03; até o vértice P1179, de coordenadas N 9212809.95 m e E 297752.96 m; deste, segue confrontando com , com os seguintes azimute plano e distância:159°22'30.00" e 0.98; até o vértice P1180, de coordenadas N 9212809.03 m e E 297753.30 m; deste, segue confrontando com , com os seguintes azimute plano e distância:163°07'30.00" e 0.98; até o vértice P1181, de coordenadas N 9212808.09 m e E 297753.59 m; deste, segue confrontando com , com os seguintes azimute plano e distância:166°52'30.00" e 0.98; até o vértice P1182, de coordenadas N 9212807.14 m e E 297753.81 m; deste, segue confrontando com , com os seguintes azimute plano e distância:170°37'30.00" e 0.98; até o vértice P1183, de coordenadas N 9212806.17 m e E 297753.97 m; deste, segue confrontando com , com os seguintes azimute plano e distância:174°22'30.00" e 0.98; até o vértice P1184, de coordenadas N 9212805.19 m e E 297754.07 m; deste, segue confrontando com , com os seguintes azimute plano e distância:178°07'30.00" e 0.98; até o vértice P1185, de coordenadas N 9212804.21 m e E 297754.10 m; deste, segue confrontando com , com os seguintes azimute plano e distância:181°40'59.63" e 0.88; até o vértice P1186, de coordenadas N 9212803.33 m e E 297754.08 m; deste, segue confrontando com , com os seguintes azimute plano e distância:183°21'59.26" e 0.46; até o vértice P1187, de coordenadas N 9212802.87 m e E 297754.05 m; deste, segue confrontando com , com os seguintes azimute plano e distância:115°12'4.04" e 2.15; até o vértice P1188, de coordenadas N 9212801.95 m e E 297756.00 m; deste, segue confrontando com , com os seguintes azimute plano e distância:115°43'32.03" e 0.27; até o vértice P1189, de coordenadas N 9212801.83 m e E 297756.24 m; deste, segue confrontando com , com os seguintes azimute plano e distância:118°07'30.00" e 0.98; até o vértice P1190, de coordenadas N 9212801.37 m e E 297757.11 m; deste, segue confrontando com , com os seguintes azimute plano e distância:121°52'30.00" e 0.98; até o vértice P1191, de coordenadas N 9212800.85 m e E 297757.94 m; deste, segue confrontando com , com os seguintes azimute plano e distância:125°37'30.00" e 0.98; até o vértice P1192, de coordenadas N 9212800.28 m e E 297758.74 m; deste, segue confrontando com , com os seguintes azimute plano e distância:129°22'30.00" e 0.98; até o vértice P1193, de coordenadas N 9212799.66 m e E 297759.50 m; deste, segue confrontando com , com os seguintes azimute plano e distância:133°07'30.00" e 0.98; até o vértice P1194, de coordenadas N 9212798.99 m e E 297760.22 m; deste, segue confrontando com , com os seguintes azimute plano e distância:136°52'30.00" e 0.98; até o vértice P1195, de coordenadas N 9212798.27 m e E 297760.89 m; deste, segue confrontando com , com os seguintes azimute plano e distância:140°37'30.00" e 0.98; até o vértice P1196, de coordenadas N 9212797.51 m e E 297761.51 m; deste, segue confrontando com , com os seguintes azimute plano e distância:144°22'30.00" e 0.98; até o vértice P1197, de coordenadas N 9212796.71 m e E 297762.08 m; deste, segue confrontando com , com os seguintes azimute plano e distância:148°07'30.00" e 0.98; até o vértice P1198, de coordenadas N 9212795.88 m e E 297762.60 m; deste, segue confrontando com , com os seguintes azimute plano e distância:151°52'30.00" e 0.98; até o vértice P1199, de coordenadas N 9212795.02 m e E 297763.06 m; deste, segue confrontando com , com os seguintes azimute plano e distância:155°37'30.00" e 0.98; até o vértice P1200, de coordenadas N 9212794.12 m e E 297763.47 m; deste, segue confrontando com , com os seguintes azimute plano e distância:159°22'30.00" e 0.98; até o vértice P1201, de coordenadas N 9212793.20 m e E 297763.81 m; deste, segue confrontando com , com os seguintes azimute plano e distância:163°07'30.00" e 0.98; até o vértice P1202, de coordenadas N 9212792.26 m e E 297764.10 m; deste, segue confrontando com , com os seguintes azimute plano e distância:166°52'30.00" e 0.98; até o vértice P1203, de coordenadas N 9212791.31 m e E 297764.32 m; deste, segue confrontando com , com os seguintes azimute plano e distância:170°37'30.00" e 0.98; até o vértice P1204, de coordenadas N 9212790.34 m e E 297764.48 m; deste, segue confrontando com , com os seguintes azimute plano e distância:174°22'30.00" e 0.98; até o vértice P1205, de coordenadas N 9212789.36 m e E 297764.58 m; deste, segue confrontando com , com os seguintes azimute plano e distância:178°07'30.00" e 0.98; até o vértice P1206, de coordenadas N 9212788.38 m e E 297764.61 m; deste, segue confrontando com , com os seguintes azimute plano e distância:181°52'30.00" e 0.98; até o vértice P1207, de coordenadas N 9212787.40 m e E 297764.58 m; deste, segue confrontando com , com os seguintes azimute plano e distância:185°37'30.00" e 0.98; até o vértice P1208, de coordenadas N 9212786.42 m e E 297764.48 m; deste, segue confrontando com , com os seguintes azimute plano e distância:189°03'35.38" e 0.82; até o vértice P1209, de coordenadas N 9212785.62 m e E 297764.35 m; deste, segue confrontando com , com os seguintes azimute plano e distância:190°37'10.76" e 2.13; até o vértice P1210, de coordenadas N 9212783.52 m e E 297763.96 m; deste, segue confrontando com , com os seguintes azimute plano e distância:151°19'30.22" e 0.14; até o vértice P1211, de coordenadas N 9212783.40 m e E 297764.02 m; deste, segue confrontando com , com os seguintes azimute plano e distância:152°39'0.45" e 4.46; até o vértice P1212, de coordenadas N 9212779.44 m e E 297766.07 m; deste, segue confrontando com , com os seguintes azimute plano e distância:153°02'33.13" e 0.21; até o vértice P1213, de coordenadas N 9212779.26 m e E 297766.16 m; deste, segue confrontando com , com os seguintes azimute plano e distância:153°26'5.82" e 3.66; até o vértice P1214, de coordenadas N 9212775.98 m e E 297767.80 m; deste, segue confrontando com , com os seguintes azimute plano e distância:153°35'32.90" e 0.08; até o vértice P1215, de coordenadas N 9212775.91 m e E 297767.84 m; deste, segue confrontando com , com os seguintes azimute plano e distância:154°57'20.27" e 0.63; até o vértice P1216, de coordenadas N 9212775.34 m e E 297768.11 m; deste, segue confrontando com , com os seguintes azimute plano e distância:156°09'40.54" e 6.42; até o vértice P1217, de coordenadas N 9212769.47 m e E 297770.70 m; deste, segue confrontando com , com os seguintes azimute plano e distância:156°49'50.27" e 0.35; até o vértice P1218, de coordenadas N 9212769.15 m e E 297770.84 m; deste, segue confrontando com , com os seguintes azimute plano e distância:159°22'30.00" e 0.98; até o vértice P1219, de coordenadas N 9212768.23 m e E 297771.18 m; deste, segue confrontando com , com os seguintes azimute plano e distância:161°24'27.09" e 0.08; até o vértice P1220, de coordenadas N 9212768.15 m e E 297771.21 m; deste, segue confrontando com , com os seguintes azimute plano e distância:161°33'54.18"

Assinado por: João Pessoa, 06 de junho de 2024. Para verificar a validade das assinaturas, acesse <https://joaopessoa.1doc.com.br/verificacao/E130-3F2A-7A96-549F> e informe o código E130-3F2A-7A96-549F



1.29; até o vértice P1221, de coordenadas N 9212766.92 m e E 297771.62 m; deste, segue confrontando com , com os seguintes azimuth plano e distância:163°16'57.09" e 0.75; até o vértice P1222, de coordenadas N 9212766.21 m e E 297771.83 m; deste, segue confrontando com , com os seguintes azimuth plano e distância:136°52'30.00" e 0.76; até o vértice P1223, de coordenadas N 9212765.65 m e E 297772.35 m; deste, segue confrontando com , com os seguintes azimuth plano e distância:140°37'30.00" e 0.98; até o vértice P1224, de coordenadas N 9212764.90 m e E 297772.97 m; deste, segue confrontando com , com os seguintes azimuth plano e distância:144°22'30.00" e 0.98; até o vértice P1225, de coordenadas N 9212764.10 m e E 297773.54 m; deste, segue confrontando com , com os seguintes azimuth plano e distância:148°07'30.00" e 0.98; até o vértice P1226, de coordenadas N 9212763.26 m e E 297774.06 m; deste, segue confrontando com , com os seguintes azimuth plano e distância:151°43'2.91" e 0.90; até o vértice P1227, de coordenadas N 9212762.47 m e E 297774.49 m; deste, segue confrontando com , com os seguintes azimuth plano e distância:153°26'5.82" e 2.44; até o vértice P1228, de coordenadas N 9212760.29 m e E 297775.58 m; deste, segue confrontando com , com os seguintes azimuth plano e distância:153°35'32.91" e 0.08; até o vértice P1229, de coordenadas N 9212760.21 m e E 297775.62 m; deste, segue confrontando com , com os seguintes azimuth plano e distância:154°16'27.98" e 0.27; até o vértice P1230, de coordenadas N 9212759.97 m e E 297775.74 m; deste, segue confrontando com , com os seguintes azimuth plano e distância:154°47'55.95" e 2.56; até o vértice P1231, de coordenadas N 9212757.65 m e E 297776.83 m; deste, segue confrontando com , com os seguintes azimuth plano e distância:156°08'57.98" e 0.71; até o vértice P1232, de coordenadas N 9212757.00 m e E 297777.11 m; deste, segue confrontando com , com os seguintes azimuth plano e distância:158°55'23.12" e 0.75; até o vértice P1233, de coordenadas N 9212756.31 m e E 297777.38 m; deste, segue confrontando com , com os seguintes azimuth plano e distância:160°20'46.23" e 4.06; até o vértice P1234, de coordenadas N 9212752.48 m e E 297778.75 m; deste, segue confrontando com , com os seguintes azimuth plano e distância:160°47'53.12" e 0.24; até o vértice P1235, de coordenadas N 9212752.26 m e E 297778.83 m; deste, segue confrontando com , com os seguintes azimuth plano e distância:163°07'30.00" e 0.98; até o vértice P1236, de coordenadas N 9212751.32 m e E 297779.11 m; deste, segue confrontando com , com os seguintes azimuth plano e distância:166°52'30.00" e 0.98; até o vértice P1237, de coordenadas N 9212750.37 m e E 297779.33 m; deste, segue confrontando com , com os seguintes azimuth plano e distância:170°37'30.00" e 0.98; até o vértice P1238, de coordenadas N 9212749.40 m e E 297779.49 m; deste, segue confrontando com , com os seguintes azimuth plano e distância:174°19'39.02" e 0.96; até o vértice P1239, de coordenadas N 9212748.45 m e E 297779.59 m; deste, segue confrontando com , com os seguintes azimuth plano e distância:176°09'18.03" e 0.01; até o vértice P1240, de coordenadas N 9212748.44 m e E 297779.59 m; deste, segue confrontando com , com os seguintes azimuth plano e distância:150°56'43.43" e 2.64; até o vértice P1241, de coordenadas N 9212746.13 m e E 297780.87 m; deste, segue confrontando com , com os seguintes azimuth plano e distância:152°20'51.71" e 0.73; até o vértice P1242, de coordenadas N 9212745.48 m e E 297781.21 m; deste, segue confrontando com , com os seguintes azimuth plano e distância:155°37'30.00" e 0.98; até o vértice P1243, de coordenadas N 9212744.58 m e E 297781.62 m; deste, segue confrontando com , com os seguintes azimuth plano e distância:159°22'30.00" e 0.98; até o vértice P1244, de coordenadas N 9212743.66 m e E 297781.96 m; deste, segue confrontando com , com os seguintes azimuth plano e distância:163°07'30.00" e 0.98; até o vértice P1245, de coordenadas N 9212742.72 m e E 297782.25 m; deste, segue confrontando com , com os seguintes azimuth plano e distância:166°52'30.00" e 0.98; até o vértice P1246, de coordenadas N 9212741.77 m e E 297782.47 m; deste, segue confrontando com , com os seguintes azimuth plano e distância:170°37'30.00" e 0.98; até o vértice P1247, de coordenadas N 9212740.80 m e E 297782.63 m; deste, segue confrontando com , com os seguintes azimuth plano e distância:173°19'49.16" e 0.43; até o vértice P1248, de coordenadas N 9212740.37 m e E 297782.68 m; deste, segue confrontando com , com os seguintes azimuth plano e distância:174°09'38.29" e 0.01; até o vértice P1249, de coordenadas N 9212740.36 m e E 297782.68 m; deste, segue confrontando com , com os seguintes azimuth plano e distância:146°14'29.71" e 0.01; até o vértice P1250, de coordenadas N 9212740.35 m e E 297782.69 m; deste, segue confrontando com , com os seguintes azimuth plano e distância:146°58'58.72" e 0.39; até o vértice P1251, de coordenadas N 9212740.03 m e E 297782.90 m; deste, segue confrontando com , com os seguintes azimuth plano e distância:147°43'27.68" e 3.07; até o vértice P1252, de coordenadas N 9212737.44 m e E 297784.54 m; deste, segue confrontando com , com os seguintes azimuth plano e distância:148°51'43.84" e 0.60; até o vértice P1253, de coordenadas N 9212736.93 m e E 297784.84 m; deste, segue confrontando com , com os seguintes azimuth plano e distância:151°52'30.00" e 0.98; até o vértice P1254, de coordenadas N 9212736.06 m e E 297785.31 m; deste, segue confrontando com , com os seguintes azimuth plano e distância:155°37'30.00" e 0.98; até o vértice P1255, de coordenadas N 9212735.17 m e E 297785.71 m; deste, segue confrontando com , com os seguintes azimuth plano e distância:159°22'30.00" e 0.98; até o vértice P1256, de coordenadas N 9212734.25 m e E 297786.06 m; deste, segue confrontando com , com os seguintes azimuth plano e distância:162°25'48.83" e 0.62; até o vértice P1257, de coordenadas N 9212733.66 m e E 297786.24 m; deste, segue confrontando com , com os seguintes azimuth plano e distância:163°36'37.65" e 2.42; até o vértice P1258, de coordenadas N 9212731.34 m e E 297786.93 m; deste, segue confrontando com , com os seguintes azimuth plano e distância:164°18'18.83" e 0.36; até o vértice P1259, de coordenadas N 9212730.99 m e E 297787.03 m; deste, segue confrontando com , com os seguintes azimuth plano e distância:166°52'30.00" e 0.98; até o vértice P1260, de coordenadas N 9212730.03 m e E 297787.25 m; deste, segue confrontando com , com os seguintes azimuth plano e distância:170°37'30.00" e 0.98; até o vértice P1261, de coordenadas N 9212729.06 m e E 297787.41 m; deste, segue confrontando com , com os seguintes azimuth plano e distância:174°22'30.00" e 0.98; até o vértice P1262, de coordenadas N 9212728.09 m e E 297787.50 m; deste, segue confrontando com , com os seguintes azimuth plano e distância:178°07'30.00" e 0.98; até o vértice P1263, de coordenadas N 9212727.11 m e E 297787.54 m; deste, segue confrontando com , com os seguintes azimuth plano e distância:181°52'30.00" e 0.98; até o vértice P1264, de coordenadas N 9212726.12 m e E 297787.50 m; deste, segue confrontando com , com os seguintes azimuth plano e distância:183°55'4.11" e 0.09; até o vértice P1265, de coordenadas N 9212726.04 m e E 297787.50 m; deste, segue confrontando com , com os seguintes azimuth plano e distância:184°05'8.22" e 1.92; até o vértice P1266, de coordenadas N 9212724.13 m e E 297787.36 m; deste, segue confrontando com , com os seguintes azimuth plano e distância:185°47'34.11" e 0.89; até o vértice P1267, de coordenadas N 9212723.24 m e E 297787.27 m; deste, segue confrontando com , com os seguintes azimuth plano e distância:189°22'30.00" e 0.26; até o vértice P1268, de coordenadas

Assinado por:  Para verificar a validade das assinaturas, acesse <https://joaopessoa.1doc.com.br/verificacao/E130-3F2A-7A96-549F> e informe o código E130-3F2A-7A96-549F

N 9212722.98 m e E 297787.23 m; deste, segue confrontando com , com os seguintes azimuth plano e distância:138°34'34.80" e 0.10; até o vértice P1269, de coordenadas N 9212722.90 m e E 297787.29 m; deste, segue confrontando com , com os seguintes azimuth plano e distância:138°39'47.41" e 0.05; até o vértice P1270, de coordenadas N 9212722.87 m e E 297787.32 m; deste, segue confrontando com , com os seguintes azimuth plano e distância:140°13'47.71" e 0.77; até o vértice P1271, de coordenadas N 9212722.27 m e E 297787.82 m; deste, segue confrontando com , com os seguintes azimuth plano e distância:141°42'35.41" e 2.11; até o vértice P1272, de coordenadas N 9212720.61 m e E 297789.13 m; deste, segue confrontando com , com os seguintes azimuth plano e distância:142°06'17.71" e 0.21; até o vértice P1273, de coordenadas N 9212720.45 m e E 297789.26 m; deste, segue confrontando com , com os seguintes azimuth plano e distância:144°22'30.00" e 0.98; até o vértice P1274, de coordenadas N 9212719.65 m e E 297789.83 m; deste, segue confrontando com , com os seguintes azimuth plano e distância:148°07'30.00" e 0.98; até o vértice P1275, de coordenadas N 9212718.82 m e E 297790.35 m; deste, segue confrontando com , com os seguintes azimuth plano e distância:151°52'30.00" e 0.98; até o vértice P1276, de coordenadas N 9212717.95 m e E 297790.81 m; deste, segue confrontando com , com os seguintes azimuth plano e distância:155°37'30.00" e 0.98; até o vértice P1277, de coordenadas N 9212717.06 m e E 297791.21 m; deste, segue confrontando com , com os seguintes azimuth plano e distância:159°22'30.00" e 0.98; até o vértice P1278, de coordenadas N 9212716.14 m e E 297791.56 m; deste, segue confrontando com , com os seguintes azimuth plano e distância:163°07'30.00" e 0.98; até o vértice P1279, de coordenadas N 9212715.20 m e E 297791.85 m; deste, segue confrontando com , com os seguintes azimuth plano e distância:166°52'30.00" e 0.98; até o vértice P1280, de coordenadas N 9212714.24 m e E 297792.07 m; deste, segue confrontando com , com os seguintes azimuth plano e distância:170°37'30.00" e 0.98; até o vértice P1281, de coordenadas N 9212713.28 m e E 297792.23 m; deste, segue confrontando com , com os seguintes azimuth plano e distância:174°22'30.00" e 0.98; até o vértice P1282, de coordenadas N 9212712.30 m e E 297792.32 m; deste, segue confrontando com , com os seguintes azimuth plano e distância:178°07'30.00" e 0.98; até o vértice P1283, de coordenadas N 9212711.32 m e E 297792.36 m; deste, segue confrontando com , com os seguintes azimuth plano e distância:180°00'0.00" e 0.19; até o vértice P1284, de coordenadas N 9212711.12 m e E 297792.36 m; deste, segue confrontando com , com os seguintes azimuth plano e distância:169°55'9.85" e 1.24; até o vértice P1285, de coordenadas N 9212709.90 m e E 297792.57 m; deste, segue confrontando com , com os seguintes azimuth plano e distância:142°55'36.94" e 2.43; até o vértice P1286, de coordenadas N 9212707.96 m e E 297794.04 m; deste, segue confrontando com , com os seguintes azimuth plano e distância:144°35'18.47" e 0.87; até o vértice P1287, de coordenadas N 9212707.25 m e E 297794.55 m; deste, segue confrontando com , com os seguintes azimuth plano e distância:148°08'3.05" e 0.99; até o vértice P1288, de coordenadas N 9212706.41 m e E 297795.07 m; deste, segue confrontando com , com os seguintes azimuth plano e distância:150°01'6.10" e 0.39; até o vértice P1289, de coordenadas N 9212706.07 m e E 297795.26 m; deste, segue confrontando com , com os seguintes azimuth plano e distância:125°37'30.00" e 0.70; até o vértice P1290, de coordenadas N 9212705.66 m e E 297795.83 m; deste, segue confrontando com , com os seguintes azimuth plano e distância:128°39'10.03" e 0.60; até o vértice P1291, de coordenadas N 9212705.29 m e E 297796.30 m; deste, segue confrontando com , com os seguintes azimuth plano e distância:129°48'20.06" e 1.36; até o vértice P1292, de coordenadas N 9212704.41 m e E 297797.35 m; deste, segue confrontando com , com os seguintes azimuth plano e distância:130°31'40.03" e 0.38; até o vértice P1293, de coordenadas N 9212704.17 m e E 297797.64 m; deste, segue confrontando com , com os seguintes azimuth plano e distância:133°07'30.00" e 0.98; até o vértice P1294, de coordenadas N 9212703.50 m e E 297798.36 m; deste, segue confrontando com , com os seguintes azimuth plano e distância:134°59'60.00" e 1.36; até o vértice P1295, de coordenadas N 9212702.53 m e E 297799.32 m; deste, segue confrontando com , com os seguintes azimuth plano e distância:136°52'30.00" e 0.98; até o vértice P1296, de coordenadas N 9212701.82 m e E 297799.99 m; deste, segue confrontando com , com os seguintes azimuth plano e distância:140°37'30.00" e 0.98; até o vértice P1297, de coordenadas N 9212701.06 m e E 297800.61 m; deste, segue confrontando com , com os seguintes azimuth plano e distância:144°22'30.00" e 0.98; até o vértice P1298, de coordenadas N 9212700.26 m e E 297801.18 m; deste, segue confrontando com , com os seguintes azimuth plano e distância:148°07'30.00" e 0.98; até o vértice P1299, de coordenadas N 9212699.43 m e E 297801.70 m; deste, segue confrontando com , com os seguintes azimuth plano e distância:151°52'30.00" e 0.98; até o vértice P1300, de coordenadas N 9212698.56 m e E 297802.16 m; deste, segue confrontando com , com os seguintes azimuth plano e distância:155°37'30.00" e 0.98; até o vértice P1301, de coordenadas N 9212697.67 m e E 297802.57 m; deste, segue confrontando com , com os seguintes azimuth plano e distância:159°22'30.00" e 0.98; até o vértice P1302, de coordenadas N 9212696.75 m e E 297802.91 m; deste, segue confrontando com , com os seguintes azimuth plano e distância:163°07'30.00" e 0.98; até o vértice P1303, de coordenadas N 9212695.81 m e E 297803.20 m; deste, segue confrontando com , com os seguintes azimuth plano e distância:166°14'8.15" e 0.37; até o vértice P1304, de coordenadas N 9212695.45 m e E 297803.29 m; deste, segue confrontando com , com os seguintes azimuth plano e distância:147°15'53.19" e 0.25; até o vértice P1305, de coordenadas N 9212695.24 m e E 297803.42 m; deste, segue confrontando com , com os seguintes azimuth plano e distância:148°37'56.59" e 0.72; até o vértice P1306, de coordenadas N 9212694.62 m e E 297803.80 m; deste, segue confrontando com , com os seguintes azimuth plano e distância:151°52'30.00" e 0.98; até o vértice P1307, de coordenadas N 9212693.76 m e E 297804.26 m; deste, segue confrontando com , com os seguintes azimuth plano e distância:155°37'30.00" e 0.98; até o vértice P1308, de coordenadas N 9212692.86 m e E 297804.67 m; deste, segue confrontando com , com os seguintes azimuth plano e distância:159°22'30.00" e 0.98; até o vértice P1309, de coordenadas N 9212691.95 m e E 297805.01 m; deste, segue confrontando com , com os seguintes azimuth plano e distância:163°07'30.00" e 0.98; até o vértice P1310, de coordenadas N 9212691.01 m e E 297805.30 m; deste, segue confrontando com , com os seguintes azimuth plano e distância:165°09'33.56" e 0.08; até o vértice P1311, de coordenadas N 9212690.93 m e E 297805.32 m; deste, segue confrontando com , com os seguintes azimuth plano e distância:165°19'7.03" e 0.01; até o vértice P1312, de coordenadas N 9212690.92 m e E 297805.32 m; deste, segue confrontando com , com os seguintes azimuth plano e distância:137°47'43.90" e 0.01; até o vértice P1313, de coordenadas N 9212690.91 m e E 297805.32 m; deste, segue confrontando com , com os seguintes azimuth plano e distância:138°16'21.90" e 0.25; até o vértice P1314, de coordenadas N 9212690.73 m e E 297805.49 m; deste, segue confrontando com , com os seguintes azimuth plano e distância:140°37'30.00" e 0.98; até o vértice P1315, de coordenadas N 9212689.97 m e E 297806.11 m; deste,

Assinado por: [Assinatura] Para verificar a validade das assinaturas, acesse <https://joaopessoa.1doc.com.br/verificacao/E130-3F2A-7A96-549F> e informe o código E130-3F2A-7A96-549F



segue confrontando com , com os seguintes azimuth plano e distância:143°00'55.38" e 0.27; até o vértice P1316, de coordenadas N 9212689.75 m e E 297806.28 m; deste, segue confrontando com , com os seguintes azimuth plano e distância:143°31'50.76" e 2.50; até o vértice P1317, de coordenadas N 9212687.74 m e E 297807.76 m; deste, segue confrontando com , com os seguintes azimuth plano e distância:144°53'25.38" e 0.71; até o vértice P1318, de coordenadas N 9212687.16 m e E 297808.17 m; deste, segue confrontando com , com os seguintes azimuth plano e distância:148°07'30.00" e 0.98; até o vértice P1319, de coordenadas N 9212686.33 m e E 297808.69 m; deste, segue confrontando com , com os seguintes azimuth plano e distância:151°52'30.00" e 0.98; até o vértice P1320, de coordenadas N 9212685.46 m e E 297809.15 m; deste, segue confrontando com , com os seguintes azimuth plano e distância:155°36'31.10" e 0.97; até o vértice P1321, de coordenadas N 9212684.58 m e E 297809.55 m; deste, segue confrontando com , com os seguintes azimuth plano e distância:157°28'2.21" e 5.66; até o vértice P1322, de coordenadas N 9212679.34 m e E 297811.72 m; deste, segue confrontando com , com os seguintes azimuth plano e distância:156°26'51.85" e 3.64; até o vértice P1323, de coordenadas N 9212676.01 m e E 297813.18 m; deste, segue confrontando com , com os seguintes azimuth plano e distância:141°00'32.42" e 1.65; até o vértice P1324, de coordenadas N 9212674.72 m e E 297814.22 m; deste, segue confrontando com , com os seguintes azimuth plano e distância:141°45'16.21" e 0.39; até o vértice P1325, de coordenadas N 9212674.42 m e E 297814.46 m; deste, segue confrontando com , com os seguintes azimuth plano e distância:144°22'30.00" e 0.98; até o vértice P1326, de coordenadas N 9212673.62 m e E 297815.03 m; deste, segue confrontando com , com os seguintes azimuth plano e distância:148°07'30.00" e 0.98; até o vértice P1327, de coordenadas N 9212672.78 m e E 297815.55 m; deste, segue confrontando com , com os seguintes azimuth plano e distância:151°52'30.00" e 0.98; até o vértice P1328, de coordenadas N 9212671.92 m e E 297816.01 m; deste, segue confrontando com , com os seguintes azimuth plano e distância:155°37'30.00" e 0.98; até o vértice P1329, de coordenadas N 9212671.02 m e E 297816.42 m; deste, segue confrontando com , com os seguintes azimuth plano e distância:157°37'31.76" e 0.07; até o vértice P1330, de coordenadas N 9212670.96 m e E 297816.44 m; deste, segue confrontando com , com os seguintes azimuth plano e distância:157°45'3.52" e 1.57; até o vértice P1331, de coordenadas N 9212669.51 m e E 297817.04 m; deste, segue confrontando com , com os seguintes azimuth plano e distância:145°00'28.73" e 4.99; até o vértice P1332, de coordenadas N 9212665.42 m e E 297819.90 m; deste, segue confrontando com , com os seguintes azimuth plano e distância:145°37'44.36" e 0.33; até o vértice P1333, de coordenadas N 9212665.16 m e E 297820.08 m; deste, segue confrontando com , com os seguintes azimuth plano e distância:148°07'30.00" e 0.98; até o vértice P1334, de coordenadas N 9212664.32 m e E 297820.60 m; deste, segue confrontando com , com os seguintes azimuth plano e distância:151°52'30.00" e 0.98; até o vértice P1335, de coordenadas N 9212663.46 m e E 297821.06 m; deste, segue confrontando com , com os seguintes azimuth plano e distância:155°37'30.00" e 0.98; até o vértice P1336, de coordenadas N 9212662.56 m e E 297821.47 m; deste, segue confrontando com , com os seguintes azimuth plano e distância:159°22'30.00" e 0.98; até o vértice P1337, de coordenadas N 9212661.64 m e E 297821.81 m; deste, segue confrontando com , com os seguintes azimuth plano e distância:163°07'30.00" e 0.98; até o vértice P1338, de coordenadas N 9212660.70 m e E 297822.10 m; deste, segue confrontando com , com os seguintes azimuth plano e distância:166°41'42.59" e 0.89; até o vértice P1339, de coordenadas N 9212659.84 m e E 297822.30 m; deste, segue confrontando com , com os seguintes azimuth plano e distância:168°23'25.18" e 40.30; até o vértice P1340, de coordenadas N 9212620.37 m e E 297830.41 m; deste, segue confrontando com , com os seguintes azimuth plano e distância:163°29'39.14" e 18.99; até o vértice P1341, de coordenadas N 9212602.16 m e E 297835.81 m; deste, segue confrontando com , com os seguintes azimuth plano e distância:154°39'13.77" e 12.08; até o vértice P1342, de coordenadas N 9212591.24 m e E 297840.98 m; deste, segue confrontando com , com os seguintes azimuth plano e distância:142°48'55.06" e 14.91; até o vértice P1343, de coordenadas N 9212579.36 m e E 297849.99 m; deste, segue confrontando com , com os seguintes azimuth plano e distância:138°10'47.39" e 5.37; até o vértice P1344, de coordenadas N 9212575.36 m e E 297853.57 m; deste, segue confrontando com , com os seguintes azimuth plano e distância:138°27'53.69" e 0.15; até o vértice P1345, de coordenadas N 9212575.25 m e E 297853.67 m; deste, segue confrontando com , com os seguintes azimuth plano e distância:140°37'30.00" e 0.98; até o vértice P1346, de coordenadas N 9212574.49 m e E 297854.29 m; deste, segue confrontando com , com os seguintes azimuth plano e distância:144°22'30.00" e 0.98; até o vértice P1347, de coordenadas N 9212573.69 m e E 297854.87 m; deste, segue confrontando com , com os seguintes azimuth plano e distância:148°07'30.00" e 0.98; até o vértice P1348, de coordenadas N 9212572.86 m e E 297855.38 m; deste, segue confrontando com , com os seguintes azimuth plano e distância:151°52'30.00" e 0.98; até o vértice P1349, de coordenadas N 9212571.99 m e E 297855.85 m; deste, segue confrontando com , com os seguintes azimuth plano e distância:155°37'30.00" e 0.98; até o vértice P1350, de coordenadas N 9212571.10 m e E 297856.25 m; deste, segue confrontando com , com os seguintes azimuth plano e distância:159°22'30.00" e 0.98; até o vértice P1351, de coordenadas N 9212570.18 m e E 297856.60 m; deste, segue confrontando com , com os seguintes azimuth plano e distância:161°55'42.02" e 0.36; até o vértice P1352, de coordenadas N 9212569.84 m e E 297856.71 m; deste, segue confrontando com , com os seguintes azimuth plano e distância:162°36'24.04" e 20.40; até o vértice P1353, de coordenadas N 9212550.38 m e E 297862.81 m; deste, segue confrontando com , com os seguintes azimuth plano e distância:163°24'46.66" e 0.42; até o vértice P1354, de coordenadas N 9212549.97 m e E 297862.93 m; deste, segue confrontando com , com os seguintes azimuth plano e distância:164°13'9.29" e 22.09; até o vértice P1355, de coordenadas N 9212528.71 m e E 297868.93 m; deste, segue confrontando com , com os seguintes azimuth plano e distância:161°42'1.81" e 31.04; até o vértice P1356, de coordenadas N 9212499.24 m e E 297878.68 m; deste, segue confrontando com , com os seguintes azimuth plano e distância:163°21'0.90" e 0.86; até o vértice P1357, de coordenadas N 9212498.42 m e E 297878.93 m; deste, segue confrontando com , com os seguintes azimuth plano e distância:165°38'47.47" e 0.34; até o vértice P1358, de coordenadas N 9212498.09 m e E 297879.01 m; deste, segue confrontando com , com os seguintes azimuth plano e distância:166°17'34.94" e 8.28; até o vértice P1359, de coordenadas N 9212490.05 m e E 297880.97 m; deste, segue confrontando com , com os seguintes azimuth plano e distância:153°58'13.47" e 7.50; até o vértice P1360, de coordenadas N 9212483.30 m e E 297884.26 m; deste, segue confrontando com , com os seguintes azimuth plano e distância:138°00'46.04" e 4.21; até o vértice P1361, de coordenadas N 9212480.18 m e E 297887.08 m; deste, segue confrontando com , com os seguintes azimuth plano e distância:138°22'53.02" e 0.19; até o vértice P1362, de coordenadas N 9212480.03 m e E 297887.21 m; deste, segue confrontando com , com os seguintes

Assinado por: SÍCERO DE LUCENA FILHO. Para verificar a validade das assinaturas, acesse <https://joaopessoa.1doc.com.br/verificacao/E130-3F2A-7A96-549F> e informe o código E130-3F2A-7A96-549F



azimute plano e distância:140°37'30.00" e 0.98; até o vértice P1363, de coordenadas N 9212479.27 m e E 297887.83 m; deste, segue confrontando com , com os seguintes azimute plano e distância:142°32'50.36" e 0.02; até o vértice P1364, de coordenadas N 9212479.25 m e E 297887.85 m; deste, segue confrontando com , com os seguintes azimute plano e distância:142°35'40.72" e 5.02; até o vértice P1365, de coordenadas N 9212475.27 m e E 297890.89 m; deste, segue confrontando com , com os seguintes azimute plano e distância:144°25'20.36" e 0.96; até o vértice P1366, de coordenadas N 9212474.49 m e E 297891.45 m; deste, segue confrontando com , com os seguintes azimute plano e distância:146°53'21.85" e 0.33; até o vértice P1367, de coordenadas N 9212474.21 m e E 297891.63 m; deste, segue confrontando com , com os seguintes azimute plano e distância:147°31'43.71" e 6.12; até o vértice P1368, de coordenadas N 9212469.05 m e E 297894.92 m; deste, segue confrontando com , com os seguintes azimute plano e distância:148°45'51.85" e 0.65; até o vértice P1369, de coordenadas N 9212468.50 m e E 297895.25 m; deste, segue confrontando com , com os seguintes azimute plano e distância:151°52'30.00" e 0.98; até o vértice P1370, de coordenadas N 9212467.63 m e E 297895.72 m; deste, segue confrontando com , com os seguintes azimute plano e distância:155°37'30.00" e 0.98; até o vértice P1371, de coordenadas N 9212466.74 m e E 297896.12 m; deste, segue confrontando com , com os seguintes azimute plano e distância:159°22'30.00" e 0.98; até o vértice P1372, de coordenadas N 9212465.82 m e E 297896.47 m; deste, segue confrontando com , com os seguintes azimute plano e distância:163°06'56.95" e 0.98; até o vértice P1373, de coordenadas N 9212464.88 m e E 297896.75 m; deste, segue confrontando com , com os seguintes azimute plano e distância:164°58'53.90" e 9.96; até o vértice P1374, de coordenadas N 9212455.27 m e E 297899.33 m; deste, segue confrontando com , com os seguintes azimute plano e distância:165°01'30.42" e 0.02; até o vértice P1375, de coordenadas N 9212455.25 m e E 297899.34 m; deste, segue confrontando com , com os seguintes azimute plano e distância:165°04'6.90" e 6.94; até o vértice P1376, de coordenadas N 9212448.54 m e E 297901.12 m; deste, segue confrontando com , com os seguintes azimute plano e distância:162°28'27.95" e 4.33; até o vértice P1377, de coordenadas N 9212444.41 m e E 297902.43 m; deste, segue confrontando com , com os seguintes azimute plano e distância:163°44'13.98" e 0.66; até o vértice P1378, de coordenadas N 9212443.77 m e E 297902.61 m; deste, segue confrontando com , com os seguintes azimute plano e distância:166°22'55.00" e 0.72; até o vértice P1379, de coordenadas N 9212443.07 m e E 297902.78 m; deste, segue confrontando com , com os seguintes azimute plano e distância:167°45'50.00" e 19.11; até o vértice P1380, de coordenadas N 9212424.40 m e E 297906.83 m; deste, segue confrontando com , com os seguintes azimute plano e distância:161°33'54.18" e 3.85; até o vértice P1381, de coordenadas N 9212420.74 m e E 297908.05 m; deste, segue confrontando com , com os seguintes azimute plano e distância:146°18'35.76" e 4.76; até o vértice P1382, de coordenadas N 9212416.78 m e E 297910.69 m; deste, segue confrontando com , com os seguintes azimute plano e distância:147°40'23.12" e 0.71; até o vértice P1383, de coordenadas N 9212416.18 m e E 297911.07 m; deste, segue confrontando com , com os seguintes azimute plano e distância:149°02'10.48" e 5.47; até o vértice P1384, de coordenadas N 9212411.49 m e E 297913.89 m; deste, segue confrontando com , com os seguintes azimute plano e distância:149°31'5.24" e 0.25; até o vértice P1385, de coordenadas N 9212411.27 m e E 297914.01 m; deste, segue confrontando com , com os seguintes azimute plano e distância:150°57'49.52" e 0.50; até o vértice P1386, de coordenadas N 9212410.83 m e E 297914.26 m; deste, segue confrontando com , com os seguintes azimute plano e distância:151°55'39.05" e 3.99; até o vértice P1387, de coordenadas N 9212407.31 m e E 297916.14 m; deste, segue confrontando com , com os seguintes azimute plano e distância:152°50'19.53" e 0.48; até o vértice P1388, de coordenadas N 9212406.89 m e E 297916.35 m; deste, segue confrontando com , com os seguintes azimute plano e distância:155°37'30.00" e 0.98; até o vértice P1389, de coordenadas N 9212406.00 m e E 297916.76 m; deste, segue confrontando com , com os seguintes azimute plano e distância:159°22'30.00" e 0.98; até o vértice P1390, de coordenadas N 9212405.08 m e E 297917.10 m; deste, segue confrontando com , com os seguintes azimute plano e distância:163°07'30.00" e 0.98; até o vértice P1391, de coordenadas N 9212404.14 m e E 297917.39 m; deste, segue confrontando com , com os seguintes azimute plano e distância:166°52'30.00" e 0.98; até o vértice P1392, de coordenadas N 9212403.18 m e E 297917.61 m; deste, segue confrontando com , com os seguintes azimute plano e distância:170°37'30.00" e 0.98; até o vértice P1393, de coordenadas N 9212402.21 m e E 297917.77 m; deste, segue confrontando com , com os seguintes azimute plano e distância:174°22'30.00" e 0.98; até o vértice P1394, de coordenadas N 9212401.24 m e E 297917.87 m; deste, segue confrontando com , com os seguintes azimute plano e distância:178°07'30.00" e 0.98; até o vértice P1395, de coordenadas N 9212400.25 m e E 297917.90 m; deste, segue confrontando com , com os seguintes azimute plano e distância:180°00'0.00" e 7.21; até o vértice P1396, de coordenadas N 9212393.04 m e E 297917.90 m; deste, segue confrontando com , com os seguintes azimute plano e distância:172°24'19.28" e 1.13; até o vértice P1397, de coordenadas N 9212391.92 m e E 297918.05 m; deste, segue confrontando com , com os seguintes azimute plano e distância:161°33'54.18" e 1.22; até o vértice P1398, de coordenadas N 9212390.77 m e E 297918.44 m; deste, segue confrontando com , com os seguintes azimute plano e distância:153°26'5.82" e 4.70; até o vértice P1399, de coordenadas N 9212386.56 m e E 297920.54 m; deste, segue confrontando com , com os seguintes azimute plano e distância:153°35'32.91" e 0.08; até o vértice P1400, de coordenadas N 9212386.49 m e E 297920.57 m; deste, segue confrontando com , com os seguintes azimute plano e distância:155°37'30.00" e 0.98; até o vértice P1401, de coordenadas N 9212385.59 m e E 297920.98 m; deste, segue confrontando com , com os seguintes azimute plano e distância:158°51'2.02" e 0.71; até o vértice P1402, de coordenadas N 9212384.93 m e E 297921.24 m; deste, segue confrontando com , com os seguintes azimute plano e distância:160°12'4.05" e 5.02; até o vértice P1403, de coordenadas N 9212380.21 m e E 297922.93 m; deste, segue confrontando com , com os seguintes azimute plano e distância:150°56'43.43" e 3.61; até o vértice P1404, de coordenadas N 9212377.05 m e E 297924.69 m; deste, segue confrontando com , com os seguintes azimute plano e distância:152°20'51.71" e 0.73; até o vértice P1405, de coordenadas N 9212376.40 m e E 297925.03 m; deste, segue confrontando com , com os seguintes azimute plano e distância:155°37'30.00" e 0.98; até o vértice P1406, de coordenadas N 9212375.51 m e E 297925.44 m; deste, segue confrontando com , com os seguintes azimute plano e distância:159°22'30.00" e 0.98; até o vértice P1407, de coordenadas N 9212374.59 m e E 297925.78 m; deste, segue confrontando com , com os seguintes azimute plano e distância:161°24'27.09" e 0.08; até o vértice P1408, de coordenadas N 9212374.51 m e E 297925.81 m; deste, segue confrontando com , com os seguintes azimute plano e distância:161°33'54.18" e 4.43; até o vértice P1409, de coordenadas N 9212370.31 m e E 297927.21 m; deste, segue confrontando com , com os seguintes azimute plano e distância:150°07'26.43"

Assinado por: **JOÃO PESSOA**
 Para verificar a validade das assinaturas, acesse <https://joaopessoa.1doc.com.br/verificacao/E130-3F2A-7A96-549F> e informe o código E130-3F2A-7A96-549F



11.21; até o vértice P1410, de coordenadas N 9212360.59 m e E 297932.79 m; deste, segue confrontando com , com os seguintes azimuth plano e distância:151°56'13.21" e 0.95; até o vértice P1411, de coordenadas N 9212359.75 m e E 297933.24 m; deste, segue confrontando com , com os seguintes azimuth plano e distância:155°37'30.00" e 0.98; até o vértice P1412, de coordenadas N 9212358.86 m e E 297933.64 m; deste, segue confrontando com , com os seguintes azimuth plano e distância:159°22'30.00" e 0.98; até o vértice P1413, de coordenadas N 9212357.94 m e E 297933.99 m; deste, segue confrontando com , com os seguintes azimuth plano e distância:162°10'53.78" e 0.49; até o vértice P1414, de coordenadas N 9212357.47 m e E 297934.14 m; deste, segue confrontando com , com os seguintes azimuth plano e distância:163°06'47.55" e 8.86; até o vértice P1415, de coordenadas N 9212348.99 m e E 297936.71 m; deste, segue confrontando com , com os seguintes azimuth plano e distância:116°33'54.18" e 2.21; até o vértice P1416, de coordenadas N 9212348.01 m e E 297938.69 m; deste, segue confrontando com , com os seguintes azimuth plano e distância:118°16'57.09" e 0.90; até o vértice P1417, de coordenadas N 9212347.58 m e E 297939.48 m; deste, segue confrontando com , com os seguintes azimuth plano e distância:121°52'30.00" e 0.98; até o vértice P1418, de coordenadas N 9212347.06 m e E 297940.31 m; deste, segue confrontando com , com os seguintes azimuth plano e distância:125°37'30.00" e 0.98; até o vértice P1419, de coordenadas N 9212346.49 m e E 297941.11 m; deste, segue confrontando com , com os seguintes azimuth plano e distância:129°22'30.00" e 0.98; até o vértice P1420, de coordenadas N 9212345.87 m e E 297941.87 m; deste, segue confrontando com , com os seguintes azimuth plano e distância:133°07'30.00" e 0.98; até o vértice P1421, de coordenadas N 9212345.20 m e E 297942.59 m; deste, segue confrontando com , com os seguintes azimuth plano e distância:136°52'30.00" e 0.98; até o vértice P1422, de coordenadas N 9212344.48 m e E 297943.26 m; deste, segue confrontando com , com os seguintes azimuth plano e distância:140°37'30.00" e 0.98; até o vértice P1423, de coordenadas N 9212343.72 m e E 297943.88 m; deste, segue confrontando com , com os seguintes azimuth plano e distância:144°22'30.00" e 0.98; até o vértice P1424, de coordenadas N 9212342.92 m e E 297944.45 m; deste, segue confrontando com , com os seguintes azimuth plano e distância:148°07'30.00" e 0.98; até o vértice P1425, de coordenadas N 9212342.09 m e E 297944.97 m; deste, segue confrontando com , com os seguintes azimuth plano e distância:151°52'30.00" e 0.98; até o vértice P1426, de coordenadas N 9212341.22 m e E 297945.43 m; deste, segue confrontando com , com os seguintes azimuth plano e distância:155°37'30.00" e 0.98; até o vértice P1427, de coordenadas N 9212340.33 m e E 297945.84 m; deste, segue confrontando com , com os seguintes azimuth plano e distância:157°33'35.75" e 0.03; até o vértice P1428, de coordenadas N 9212340.30 m e E 297945.85 m; deste, segue confrontando com , com os seguintes azimuth plano e distância:157°37'11.51" e 4.31; até o vértice P1429, de coordenadas N 9212336.31 m e E 297947.49 m; deste, segue confrontando com , com os seguintes azimuth plano e distância:159°26'5.76" e 0.95; até o vértice P1430, de coordenadas N 9212335.42 m e E 297947.83 m; deste, segue confrontando com , com os seguintes azimuth plano e distância:163°07'30.00" e 0.98; até o vértice P1431, de coordenadas N 9212334.48 m e E 297948.11 m; deste, segue confrontando com , com os seguintes azimuth plano e distância:166°52'30.00" e 0.98; até o vértice P1432, de coordenadas N 9212333.53 m e E 297948.33 m; deste, segue confrontando com , com os seguintes azimuth plano e distância:170°37'30.00" e 0.98; até o vértice P1433, de coordenadas N 9212332.56 m e E 297948.49 m; deste, segue confrontando com , com os seguintes azimuth plano e distância:173°29'10.43" e 0.52; até o vértice P1434, de coordenadas N 9212332.05 m e E 297948.55 m; deste, segue confrontando com , com os seguintes azimuth plano e distância:174°28'20.86" e 7.12; até o vértice P1435, de coordenadas N 9212324.96 m e E 297949.24 m; deste, segue confrontando com , com os seguintes azimuth plano e distância:173°02'49.35" e 9.38; até o vértice P1436, de coordenadas N 9212315.65 m e E 297950.37 m; deste, segue confrontando com , com os seguintes azimuth plano e distância:172°08'48.07" e 6.22; até o vértice P1437, de coordenadas N 9212309.49 m e E 297951.22 m; deste, segue confrontando com , com os seguintes azimuth plano e distância:168°06'40.83" e 8.58; até o vértice P1438, de coordenadas N 9212301.09 m e E 297952.99 m; deste, segue confrontando com , com os seguintes azimuth plano e distância:168°25'50.41" e 0.17; até o vértice P1439, de coordenadas N 9212300.93 m e E 297953.03 m; deste, segue confrontando com , com os seguintes azimuth plano e distância:170°37'30.00" e 0.98; até o vértice P1440, de coordenadas N 9212299.96 m e E 297953.18 m; deste, segue confrontando com , com os seguintes azimuth plano e distância:174°22'30.00" e 0.98; até o vértice P1441, de coordenadas N 9212298.98 m e E 297953.28 m; deste, segue confrontando com , com os seguintes azimuth plano e distância:178°07'30.00" e 0.98; até o vértice P1442, de coordenadas N 9212298.00 m e E 297953.31 m; deste, segue confrontando com , com os seguintes azimuth plano e distância:180°00'0.00" e 7.55; até o vértice P1443, de coordenadas N 9212290.45 m e E 297953.31 m; deste, segue confrontando com , com os seguintes azimuth plano e distância:178°34'4.45" e 8.96; até o vértice P1444, de coordenadas N 9212281.50 m e E 297953.54 m; deste, segue confrontando com , com os seguintes azimuth plano e distância:176°43'46.24" e 7.98; até o vértice P1445, de coordenadas N 9212273.53 m e E 297953.99 m; deste, segue confrontando com , com os seguintes azimuth plano e distância:178°21'53.12" e 0.86; até o vértice P1446, de coordenadas N 9212272.67 m e E 297954.02 m; deste, segue confrontando com , com os seguintes azimuth plano e distância:181°52'30.00" e 0.98; até o vértice P1447, de coordenadas N 9212271.69 m e E 297953.98 m; deste, segue confrontando com , com os seguintes azimuth plano e distância:185°02'42.35" e 0.68; até o vértice P1448, de coordenadas N 9212271.02 m e E 297953.93 m; deste, segue confrontando com , com os seguintes azimuth plano e distância:186°20'24.69" e 6.37; até o vértice P1449, de coordenadas N 9212264.69 m e E 297953.22 m; deste, segue confrontando com , com os seguintes azimuth plano e distância:186°55'12.34" e 0.30; até o vértice P1450, de coordenadas N 9212264.38 m e E 297953.18 m; deste, segue confrontando com , com os seguintes azimuth plano e distância:189°22'30.00" e 0.98; até o vértice P1451, de coordenadas N 9212263.42 m e E 297953.03 m; deste, segue confrontando com , com os seguintes azimuth plano e distância:193°07'30.00" e 0.98; até o vértice P1452, de coordenadas N 9212262.46 m e E 297952.80 m; deste, segue confrontando com , com os seguintes azimuth plano e distância:196°10'37.24" e 0.62; até o vértice P1453, de coordenadas N 9212261.87 m e E 297952.63 m; deste, segue confrontando com , com os seguintes azimuth plano e distância:197°21'14.49" e 4.90; até o vértice P1454, de coordenadas N 9212257.19 m e E 297951.17 m; deste, segue confrontando com , com os seguintes azimuth plano e distância:175°01'48.93" e 0.97; até o vértice P1455, de coordenadas N 9212256.22 m e E 297951.25 m; deste, segue confrontando com , com os seguintes azimuth plano e distância:163°44'23.26" e 4.38; até o vértice P1456, de coordenadas N 9212252.02 m e E 297952.48 m; deste, segue confrontando com , com os seguintes azimuth plano e distância:164°22'11.63" e 0.33; até o vértice P1457, de coordenadas

Assinado por: **Lucena Filho**
Para verificar a validade das assinaturas, acesse <https://joaopessoa.1doc.com.br/verificacao/E130-3F2A-7A96-549F> e informe o código E130-3F2A-7A96-549F



N 9212251.70 m e E 297952.57 m; deste, segue confrontando com , com os seguintes azimuth plano e distância:166°52'30.00" e 0.98; até o vértice P1458, de coordenadas N 9212250.74 m e E 297952.79 m; deste, segue confrontando com , com os seguintes azimuth plano e distância:170°37'30.00" e 0.98; até o vértice P1459, de coordenadas N 9212249.77 m e E 297952.95 m; deste, segue confrontando com , com os seguintes azimuth plano e distância:174°22'30.00" e 0.98; até o vértice P1460, de coordenadas N 9212248.80 m e E 297953.05 m; deste, segue confrontando com , com os seguintes azimuth plano e distância:178°07'30.00" e 0.98; até o vértice P1461, de coordenadas N 9212247.82 m e E 297953.08 m; deste, segue confrontando com , com os seguintes azimuth plano e distância:181°52'30.00" e 0.98; até o vértice P1462, de coordenadas N 9212246.83 m e E 297953.05 m; deste, segue confrontando com , com os seguintes azimuth plano e distância:185°37'30.00" e 0.98; até o vértice P1463, de coordenadas N 9212245.86 m e E 297952.95 m; deste, segue confrontando com , com os seguintes azimuth plano e distância:187°32'50.36" e 0.02; até o vértice P1464, de coordenadas N 9212245.83 m e E 297952.95 m; deste, segue confrontando com , com os seguintes azimuth plano e distância:187°35'40.72" e 1.42; até o vértice P1465, de coordenadas N 9212244.43 m e E 297952.76 m; deste, segue confrontando com , com os seguintes azimuth plano e distância:144°09'44.45" e 0.70; até o vértice P1466, de coordenadas N 9212243.87 m e E 297953.17 m; deste, segue confrontando com , com os seguintes azimuth plano e distância:142°35'40.72" e 4.81; até o vértice P1467, de coordenadas N 9212240.04 m e E 297956.09 m; deste, segue confrontando com , com os seguintes azimuth plano e distância:144°25'20.36" e 0.96; até o vértice P1468, de coordenadas N 9212239.26 m e E 297956.65 m; deste, segue confrontando com , com os seguintes azimuth plano e distância:148°07'30.00" e 0.98; até o vértice P1469, de coordenadas N 9212238.43 m e E 297957.17 m; deste, segue confrontando com , com os seguintes azimuth plano e distância:151°52'30.00" e 0.98; até o vértice P1470, de coordenadas N 9212237.56 m e E 297957.63 m; deste, segue confrontando com , com os seguintes azimuth plano e distância:155°37'30.00" e 0.98; até o vértice P1471, de coordenadas N 9212236.67 m e E 297958.03 m; deste, segue confrontando com , com os seguintes azimuth plano e distância:159°22'30.00" e 0.98; até o vértice P1472, de coordenadas N 9212235.75 m e E 297958.38 m; deste, segue confrontando com , com os seguintes azimuth plano e distância:163°07'30.00" e 0.98; até o vértice P1473, de coordenadas N 9212234.81 m e E 297958.67 m; deste, segue confrontando com , com os seguintes azimuth plano e distância:166°52'30.00" e 0.98; até o vértice P1474, de coordenadas N 9212233.86 m e E 297958.89 m; deste, segue confrontando com , com os seguintes azimuth plano e distância:169°26'31.55" e 0.36; até o vértice P1475, de coordenadas N 9212233.50 m e E 297958.95 m; deste, segue confrontando com , com os seguintes azimuth plano e distância:170°08'3.10" e 5.47; até o vértice P1476, de coordenadas N 9212228.11 m e E 297959.89 m; deste, segue confrontando com , com os seguintes azimuth plano e distância:171°19'1.55" e 0.62; até o vértice P1477, de coordenadas N 9212227.49 m e E 297959.99 m; deste, segue confrontando com , com os seguintes azimuth plano e distância:173°45'54.47" e 0.66; até o vértice P1478, de coordenadas N 9212226.84 m e E 297960.06 m; deste, segue confrontando com , com os seguintes azimuth plano e distância:175°01'48.93" e 5.17; até o vértice P1479, de coordenadas N 9212221.69 m e E 297960.51 m; deste, segue confrontando com , com os seguintes azimuth plano e distância:173°09'26.02" e 1.69; até o vértice P1480, de coordenadas N 9212220.00 m e E 297960.71 m; deste, segue confrontando com , com os seguintes azimuth plano e distância:143°31'50.76" e 2.74; até o vértice P1481, de coordenadas N 9212217.80 m e E 297962.34 m; deste, segue confrontando com , com os seguintes azimuth plano e distância:144°39'27.11" e 0.59; até o vértice P1482, de coordenadas N 9212217.32 m e E 297962.68 m; deste, segue confrontando com , com os seguintes azimuth plano e distância:145°47'3.47" e 7.09; até o vértice P1483, de coordenadas N 9212211.46 m e E 297966.66 m; deste, segue confrontando com , com os seguintes azimuth plano e distância:146°01'1.74" e 0.12; até o vértice P1484, de coordenadas N 9212211.36 m e E 297966.73 m; deste, segue confrontando com , com os seguintes azimuth plano e distância:146°16'47.84" e 0.02; até o vértice P1485, de coordenadas N 9212211.34 m e E 297966.74 m; deste, segue confrontando com , com os seguintes azimuth plano e distância:146°18'35.76" e 2.07; até o vértice P1486, de coordenadas N 9212209.62 m e E 297967.89 m; deste, segue confrontando com , com os seguintes azimuth plano e distância:123°41'24.24" e 2.92; até o vértice P1487, de coordenadas N 9212208.00 m e E 297970.32 m; deste, segue confrontando com , com os seguintes azimuth plano e distância:123°43'12.13" e 0.02; até o vértice P1488, de coordenadas N 9212207.99 m e E 297970.33 m; deste, segue confrontando com , com os seguintes azimuth plano e distância:125°37'30.00" e 0.98; até o vértice P1489, de coordenadas N 9212207.42 m e E 297971.13 m; deste, segue confrontando com , com os seguintes azimuth plano e distância:129°22'30.00" e 0.98; até o vértice P1490, de coordenadas N 9212206.79 m e E 297971.89 m; deste, segue confrontando com , com os seguintes azimuth plano e distância:133°07'30.00" e 0.98; até o vértice P1491, de coordenadas N 9212206.12 m e E 297972.61 m; deste, segue confrontando com , com os seguintes azimuth plano e distância:136°52'30.00" e 0.98; até o vértice P1492, de coordenadas N 9212205.41 m e E 297973.28 m; deste, segue confrontando com , com os seguintes azimuth plano e distância:140°37'30.00" e 0.98; até o vértice P1493, de coordenadas N 9212204.65 m e E 297973.90 m; deste, segue confrontando com , com os seguintes azimuth plano e distância:144°22'30.00" e 0.98; até o vértice P1494, de coordenadas N 9212203.85 m e E 297974.47 m; deste, segue confrontando com , com os seguintes azimuth plano e distância:148°07'30.00" e 0.98; até o vértice P1495, de coordenadas N 9212203.02 m e E 297974.99 m; deste, segue confrontando com , com os seguintes azimuth plano e distância:151°52'30.00" e 0.98; até o vértice P1496, de coordenadas N 9212202.15 m e E 297975.45 m; deste, segue confrontando com , com os seguintes azimuth plano e distância:155°37'30.00" e 0.98; até o vértice P1497, de coordenadas N 9212201.26 m e E 297975.86 m; deste, segue confrontando com , com os seguintes azimuth plano e distância:159°22'30.00" e 0.98; até o vértice P1498, de coordenadas N 9212200.34 m e E 297976.20 m; deste, segue confrontando com , com os seguintes azimuth plano e distância:163°07'30.00" e 0.98; até o vértice P1499, de coordenadas N 9212199.40 m e E 297976.49 m; deste, segue confrontando com , com os seguintes azimuth plano e distância:166°52'30.00" e 0.98; até o vértice P1500, de coordenadas N 9212198.44 m e E 297976.71 m; deste, segue confrontando com , com os seguintes azimuth plano e distância:170°37'30.00" e 0.98; até o vértice P1501, de coordenadas N 9212197.47 m e E 297976.87 m; deste, segue confrontando com , com os seguintes azimuth plano e distância:174°22'30.00" e 0.98; até o vértice P1502, de coordenadas N 9212196.50 m e E 297976.97 m; deste, segue confrontando com , com os seguintes azimuth plano e distância:178°07'30.00" e 0.98; até o vértice P1503, de coordenadas N 9212195.52 m e E 297977.00 m; deste, segue confrontando com , com os seguintes azimuth plano e distância:181°52'30.00" e 0.98; até o vértice P1504, de coordenadas N 9212194.54 m e E 297976.97 m; deste,

Assinado por: [Assinatura] Para verificar a validade das assinaturas, acesse <https://joaopessoa.1doc.com.br/verificacao/E130-3F2A-7A96-549F> e informe o código E130-3F2A-7A96-549F



segue confrontando com , com os seguintes azimute plano e distância:185°37'30.00" e 0.98; até o vértice P1505, de coordenadas N 9212193.56 m e E 297976.87 m; deste, segue confrontando com , com os seguintes azimute plano e distância:189°22'30.00" e 0.98; até o vértice P1506, de coordenadas N 9212192.59 m e E 297976.71 m; deste, segue confrontando com , com os seguintes azimute plano e distância:192°59'48.41" e 0.91; até o vértice P1507, de coordenadas N 9212191.70 m e E 297976.51 m; deste, segue confrontando com , com os seguintes azimute plano e distância:194°44'36.83" e 4.61; até o vértice P1508, de coordenadas N 9212187.24 m e E 297975.33 m; deste, segue confrontando com , com os seguintes azimute plano e distância:194°52'18.41" e 0.07; até o vértice P1509, de coordenadas N 9212187.18 m e E 297975.32 m; deste, segue confrontando com , com os seguintes azimute plano e distância:196°52'30.00" e 0.98; até o vértice P1510, de coordenadas N 9212186.24 m e E 297975.03 m; deste, segue confrontando com , com os seguintes azimute plano e distância:200°37'30.00" e 0.98; até o vértice P1511, de coordenadas N 9212185.32 m e E 297974.69 m; deste, segue confrontando com , com os seguintes azimute plano e distância:204°22'30.00" e 0.98; até o vértice P1512, de coordenadas N 9212184.43 m e E 297974.28 m; deste, segue confrontando com , com os seguintes azimute plano e distância:208°07'30.00" e 0.98; até o vértice P1513, de coordenadas N 9212183.56 m e E 297973.82 m; deste, segue confrontando com , com os seguintes azimute plano e distância:211°52'30.00" e 0.98; até o vértice P1514, de coordenadas N 9212182.73 m e E 297973.30 m; deste, segue confrontando com , com os seguintes azimute plano e distância:215°37'30.00" e 0.98; até o vértice P1515, de coordenadas N 9212181.93 m e E 297972.73 m; deste, segue confrontando com , com os seguintes azimute plano e distância:219°20'34.67" e 0.96; até o vértice P1516, de coordenadas N 9212181.18 m e E 297972.12 m; deste, segue confrontando com , com os seguintes azimute plano e distância:221°11'9.33" e 4.12; até o vértice P1517, de coordenadas N 9212178.08 m e E 297969.40 m; deste, segue confrontando com , com os seguintes azimute plano e distância:195°56'43.43" e 3.08; até o vértice P1518, de coordenadas N 9212175.12 m e E 297968.56 m; deste, segue confrontando com , com os seguintes azimute plano e distância:180°00'0.00" e 3.29; até o vértice P1519, de coordenadas N 9212171.83 m e E 297968.56 m; deste, segue confrontando com , com os seguintes azimute plano e distância:181°52'30.00" e 0.98; até o vértice P1520, de coordenadas N 9212170.85 m e E 297968.53 m; deste, segue confrontando com , com os seguintes azimute plano e distância:185°37'30.00" e 0.98; até o vértice P1521, de coordenadas N 9212169.87 m e E 297968.43 m; deste, segue confrontando com , com os seguintes azimute plano e distância:189°22'30.00" e 0.98; até o vértice P1522, de coordenadas N 9212168.90 m e E 297968.27 m; deste, segue confrontando com , com os seguintes azimute plano e distância:193°07'30.00" e 0.98; até o vértice P1523, de coordenadas N 9212167.95 m e E 297968.05 m; deste, segue confrontando com , com os seguintes azimute plano e distância:196°52'30.00" e 0.98; até o vértice P1524, de coordenadas N 9212167.01 m e E 297967.76 m; deste, segue confrontando com , com os seguintes azimute plano e distância:200°37'30.00" e 0.98; até o vértice P1525, de coordenadas N 9212166.09 m e E 297967.42 m; deste, segue confrontando com , com os seguintes azimute plano e distância:203°28'19.12" e 0.51; até o vértice P1526, de coordenadas N 9212165.62 m e E 297967.21 m; deste, segue confrontando com , com os seguintes azimute plano e distância:204°26'38.24" e 7.90; até o vértice P1527, de coordenadas N 9212158.43 m e E 297963.94 m; deste, segue confrontando com , com os seguintes azimute plano e distância:199°51'18.77" e 8.38; até o vértice P1528, de coordenadas N 9212150.55 m e E 297961.10 m; deste, segue confrontando com , com os seguintes azimute plano e distância:201°10'39.39" e 0.69; até o vértice P1529, de coordenadas N 9212149.91 m e E 297960.85 m; deste, segue confrontando com , com os seguintes azimute plano e distância:204°22'30.00" e 0.98; até o vértice P1530, de coordenadas N 9212149.01 m e E 297960.44 m; deste, segue confrontando com , com os seguintes azimute plano e distância:206°45'9.59" e 0.26; até o vértice P1531, de coordenadas N 9212148.78 m e E 297960.33 m; deste, segue confrontando com , com os seguintes azimute plano e distância:207°15'19.18" e 8.71; até o vértice P1532, de coordenadas N 9212141.04 m e E 297956.34 m; deste, segue confrontando com , com os seguintes azimute plano e distância:208°37'39.59" e 0.72; até o vértice P1533, de coordenadas N 9212140.41 m e E 297955.99 m; deste, segue confrontando com , com os seguintes azimute plano e distância:211°50'42.12" e 0.97; até o vértice P1534, de coordenadas N 9212139.59 m e E 297955.48 m; deste, segue confrontando com , com os seguintes azimute plano e distância:213°41'24.24" e 11.59; até o vértice P1535, de coordenadas N 9212129.95 m e E 297949.06 m; deste, segue confrontando com , com os seguintes azimute plano e distância:211°45'34.13" e 5.54; até o vértice P1536, de coordenadas N 9212125.24 m e E 297946.14 m; deste, segue confrontando com , com os seguintes azimute plano e distância:212°45'17.06" e 0.52; até o vértice P1537, de coordenadas N 9212124.80 m e E 297945.86 m; deste, segue confrontando com , com os seguintes azimute plano e distância:215°37'30.00" e 0.98; até o vértice P1538, de coordenadas N 9212124.00 m e E 297945.29 m; deste, segue confrontando com , com os seguintes azimute plano e distância:219°22'30.00" e 0.98; até o vértice P1539, de coordenadas N 9212123.24 m e E 297944.67 m; deste, segue confrontando com , com os seguintes azimute plano e distância:221°40'10.49" e 0.22; até o vértice P1540, de coordenadas N 9212123.08 m e E 297944.52 m; deste, segue confrontando com , com os seguintes azimute plano e distância:222°05'20.98" e 18.55; até o vértice P1541, de coordenadas N 9212109.31 m e E 297932.08 m; deste, segue confrontando com , com os seguintes azimute plano e distância:214°09'34.90" e 13.21; até o vértice P1542, de coordenadas N 9212098.38 m e E 297924.67 m; deste, segue confrontando com , com os seguintes azimute plano e distância:201°48'5.07" e 4.52; até o vértice P1543, de coordenadas N 9212094.18 m e E 297922.99 m; deste, segue confrontando com , com os seguintes azimute plano e distância:201°48'5.07" e 5.22; até o vértice P1544, de coordenadas N 9212089.34 m e E 297921.05 m; deste, segue confrontando com , com os seguintes azimute plano e distância:202°09'2.54" e 0.18; até o vértice P1545, de coordenadas N 9212089.17 m e E 297920.98 m; deste, segue confrontando com , com os seguintes azimute plano e distância:204°22'30.00" e 0.98; até o vértice P1546, de coordenadas N 9212088.27 m e E 297920.57 m; deste, segue confrontando com , com os seguintes azimute plano e distância:206°45'9.59" e 0.26; até o vértice P1547, de coordenadas N 9212088.04 m e E 297920.46 m; deste, segue confrontando com , com os seguintes azimute plano e distância:207°15'19.18" e 5.83; até o vértice P1548, de coordenadas N 9212082.85 m e E 297917.79 m; deste, segue confrontando com , com os seguintes azimute plano e distância:286°24'14.06" e 15.27; até o vértice P1549, de coordenadas N 9212087.17 m e E 297903.13 m; deste, segue confrontando com , com os seguintes azimute plano e distância:27°15'19.32" e 8.71; até o vértice P1550, de coordenadas N 9212094.91 m e E 297907.12 m; deste, segue confrontando com , com os seguintes azimute plano e distância:21°48'4.95" e 0.79; até o vértice P1551, de coordenadas N 9212095.64 m e E 297907.41 m; deste, segue confrontando com , com os seguintes

Assinado por: SÍCERO DE LUCENA FILHO. Para verificar a validade das assinaturas, acesse <https://joaopessoa.1doc.com.br/verificacao/E130-3F2A-7A96-549F> e informe o código E130-3F2A-7A96-549F

azimute plano e distância:21°48'5.07" e 10.58; até o vértice P1552, de coordenadas N 9212105.46 m e E 297911.34 m; deste, segue confrontando com , com os seguintes azimute plano e distância:34°09'34.90" e 15.87; até o vértice P1553, de coordenadas N 9212118.59 m e E 297920.26 m; deste, segue confrontando com , com os seguintes azimute plano e distância:42°05'20.98" e 12.77; até o vértice P1554, de coordenadas N 9212128.07 m e E 297928.82 m; deste, segue confrontando com , com os seguintes azimute plano e distância:42°05'20.98" e 6.82; até o vértice P1555, de coordenadas N 9212133.13 m e E 297933.39 m; deste, segue confrontando com , com os seguintes azimute plano e distância:31°45'34.13" e 5.79; até o vértice P1556, de coordenadas N 9212138.06 m e E 297936.44 m; deste, segue confrontando com , com os seguintes azimute plano e distância:33°41'24.24" e 11.84; até o vértice P1557, de coordenadas N 9212147.91 m e E 297943.00 m; deste, segue confrontando com , com os seguintes azimute plano e distância:27°15'19.18" e 8.71; até o vértice P1558, de coordenadas N 9212155.65 m e E 297946.99 m; deste, segue confrontando com , com os seguintes azimute plano e distância:19°51'18.77" e 8.98; até o vértice P1559, de coordenadas N 9212164.09 m e E 297950.04 m; deste, segue confrontando com , com os seguintes azimute plano e distância:24°26'38.24" e 8.50; até o vértice P1560, de coordenadas N 9212171.83 m e E 297953.56 m; deste, segue confrontando com , com os seguintes azimute plano e distância:0°00'0.00" e 5.39; até o vértice P1561, de coordenadas N 9212177.22 m e E 297953.56 m; deste, segue confrontando com , com os seguintes azimute plano e distância:15°56'43.43" e 8.54; até o vértice P1562, de coordenadas N 9212185.43 m e E 297955.90 m; deste, segue confrontando com , com os seguintes azimute plano e distância:41°11'9.33" e 7.48; até o vértice P1563, de coordenadas N 9212191.06 m e E 297960.83 m; deste, segue confrontando com , com os seguintes azimute plano e distância:14°44'36.83" e 4.61; até o vértice P1564, de coordenadas N 9212195.52 m e E 297962.00 m; deste, segue confrontando com , com os seguintes azimute plano e distância:303°41'24.24" e 5.92; até o vértice P1565, de coordenadas N 9212198.80 m e E 297957.08 m; deste, segue confrontando com , com os seguintes azimute plano e distância:326°18'35.76" e 5.07; até o vértice P1566, de coordenadas N 9212203.02 m e E 297954.26 m; deste, segue confrontando com , com os seguintes azimute plano e distância:325°47'3.47" e 7.09; até o vértice P1567, de coordenadas N 9212208.88 m e E 297950.27 m; deste, segue confrontando com , com os seguintes azimute plano e distância:323°31'50.76" e 6.71; até o vértice P1568, de coordenadas N 9212214.28 m e E 297946.29 m; deste, segue confrontando com , com os seguintes azimute plano e distância:353°09'26.02" e 5.91; até o vértice P1569, de coordenadas N 9212220.14 m e E 297945.58 m; deste, segue confrontando com , com os seguintes azimute plano e distância:355°01'48.93" e 5.41; até o vértice P1570, de coordenadas N 9212225.54 m e E 297945.11 m; deste, segue confrontando com , com os seguintes azimute plano e distância:350°08'3.10" e 5.47; até o vértice P1571, de coordenadas N 9212230.93 m e E 297944.18 m; deste, segue confrontando com , com os seguintes azimute plano e distância:322°35'40.72" e 5.02; até o vértice P1572, de coordenadas N 9212234.92 m e E 297941.13 m; deste, segue confrontando com , com os seguintes azimute plano e distância:324°09'44.45" e 5.21; até o vértice P1573, de coordenadas N 9212239.14 m e E 297938.08 m; deste, segue confrontando com , com os seguintes azimute plano e distância:354°48'20.06" e 5.18; até o vértice P1574, de coordenadas N 9212244.30 m e E 297937.61 m; deste, segue confrontando com , com os seguintes azimute plano e distância:7°35'40.72" e 3.55; até o vértice P1575, de coordenadas N 9212247.82 m e E 297938.08 m; deste, segue confrontando com , com os seguintes azimute plano e distância:343°44'23.26" e 5.86; até o vértice P1576, de coordenadas N 9212253.44 m e E 297936.44 m; deste, segue confrontando com , com os seguintes azimute plano e distância:355°01'48.93" e 5.41; até o vértice P1577, de coordenadas N 9212258.84 m e E 297935.97 m; deste, segue confrontando com , com os seguintes azimute plano e distância:17°21'14.49" e 7.86; até o vértice P1578, de coordenadas N 9212266.34 m e E 297938.31 m; deste, segue confrontando com , com os seguintes azimute plano e distância:6°20'24.69" e 6.37; até o vértice P1579, de coordenadas N 9212272.67 m e E 297939.02 m; deste, segue confrontando com , com os seguintes azimute plano e distância:356°43'46.24" e 8.22; até o vértice P1580, de coordenadas N 9212280.88 m e E 297938.55 m; deste, segue confrontando com , com os seguintes azimute plano e distância:358°34'4.45" e 9.38; até o vértice P1581, de coordenadas N 9212290.26 m e E 297938.31 m; deste, segue confrontando com , com os seguintes azimute plano e distância:0°00'0.00" e 7.74; até o vértice P1582, de coordenadas N 9212298.00 m e E 297938.31 m; deste, segue confrontando com , com os seguintes azimute plano e distância:348°06'40.83" e 9.11; até o vértice P1583, de coordenadas N 9212306.92 m e E 297936.44 m; deste, segue confrontando com , com os seguintes azimute plano e distância:352°08'48.07" e 6.87; até o vértice P1584, de coordenadas N 9212313.72 m e E 297935.50 m; deste, segue confrontando com , com os seguintes azimute plano e distância:353°02'49.35" e 9.69; até o vértice P1585, de coordenadas N 9212323.33 m e E 297934.33 m; deste, segue confrontando com , com os seguintes azimute plano e distância:354°28'20.86" e 7.30; até o vértice P1586, de coordenadas N 9212330.60 m e E 297933.62 m; deste, segue confrontando com , com os seguintes azimute plano e distância:337°37'11.51" e 4.31; até o vértice P1587, de coordenadas N 9212334.59 m e E 297931.98 m; deste, segue confrontando com , com os seguintes azimute plano e distância:296°33'54.18" e 3.67; até o vértice P1588, de coordenadas N 9212336.23 m e E 297928.70 m; deste, segue confrontando com , com os seguintes azimute plano e distância:307°18'14.21" e 6.19; até o vértice P1589, de coordenadas N 9212339.98 m e E 297923.77 m; deste, segue confrontando com , com os seguintes azimute plano e distância:343°06'47.55" e 13.73; até o vértice P1590, de coordenadas N 9212353.12 m e E 297919.79 m; deste, segue confrontando com , com os seguintes azimute plano e distância:330°07'26.43" e 12.71; até o vértice P1591, de coordenadas N 9212364.14 m e E 297913.45 m; deste, segue confrontando com , com os seguintes azimute plano e distância:341°33'54.18" e 5.93; até o vértice P1592, de coordenadas N 9212369.77 m e E 297911.58 m; deste, segue confrontando com , com os seguintes azimute plano e distância:330°56'43.43" e 4.83; até o vértice P1593, de coordenadas N 9212373.99 m e E 297909.23 m; deste, segue confrontando com , com os seguintes azimute plano e distância:340°12'4.05" e 6.23; até o vértice P1594, de coordenadas N 9212379.85 m e E 297907.12 m; deste, segue confrontando com , com os seguintes azimute plano e distância:333°26'5.82" e 5.77; até o vértice P1595, de coordenadas N 9212385.01 m e E 297904.54 m; deste, segue confrontando com , com os seguintes azimute plano e distância:341°33'54.18" e 3.71; até o vértice P1596, de coordenadas N 9212388.53 m e E 297903.37 m; deste, segue confrontando com , com os seguintes azimute plano e distância:352°24'19.28" e 3.55; até o vértice P1597, de coordenadas N 9212392.05 m e E 297902.90 m; deste, segue confrontando com , com os seguintes azimute plano e distância:0°00'0.00" e 8.21; até o vértice P1598, de coordenadas N 9212400.25 m e E 297902.90 m; deste, segue confrontando com , com os seguintes azimute plano e distância:331°55'39.05"

Assinado por: [Assinatura] Para verificar a validade das assinaturas, acesse <https://joaopessoa.1doc.com.br/verificacao/E130-3F2A-7A96-549F> e informe o código E130-3F2A-7A96-549F



3.99; até o vértice P1599, de coordenadas N 9212403.77 m e E 297901.02 m; deste, segue confrontando com , com os seguintes azimuth plano e distância:329°02'10.48" e 5.47; até o vértice P1600, de coordenadas N 9212408.46 m e E 297898.21 m; deste, segue confrontando com , com os seguintes azimuth plano e distância:326°18'35.76" e 6.76; até o vértice P1601, de coordenadas N 9212414.09 m e E 297894.46 m; deste, segue confrontando com , com os seguintes azimuth plano e distância:341°33'54.18" e 6.67; até o vértice P1602, de coordenadas N 9212420.42 m e E 297892.35 m; deste, segue confrontando com , com os seguintes azimuth plano e distância:347°45'50.00" e 19.92; até o vértice P1603, de coordenadas N 9212439.89 m e E 297888.13 m; deste, segue confrontando com , com os seguintes azimuth plano e distância:342°28'27.95" e 4.67; até o vértice P1604, de coordenadas N 9212444.35 m e E 297886.72 m; deste, segue confrontando com , com os seguintes azimuth plano e distância:345°04'6.90" e 7.28; até o vértice P1605, de coordenadas N 9212451.38 m e E 297884.84 m; deste, segue confrontando com , com os seguintes azimuth plano e distância:344°58'53.90" e 9.96; até o vértice P1606, de coordenadas N 9212461.00 m e E 297882.26 m; deste, segue confrontando com , com os seguintes azimuth plano e distância:327°31'43.71" e 6.12; até o vértice P1607, de coordenadas N 9212466.16 m e E 297878.98 m; deste, segue confrontando com , com os seguintes azimuth plano e distância:322°35'40.72" e 5.02; até o vértice P1608, de coordenadas N 9212470.14 m e E 297875.93 m; deste, segue confrontando com , com os seguintes azimuth plano e distância:318°00'46.04" e 6.31; até o vértice P1609, de coordenadas N 9212474.83 m e E 297871.71 m; deste, segue confrontando com , com os seguintes azimuth plano e distância:333°58'13.47" e 11.22; até o vértice P1610, de coordenadas N 9212484.92 m e E 297866.78 m; deste, segue confrontando com , com os seguintes azimuth plano e distância:346°17'34.94" e 9.90; até o vértice P1611, de coordenadas N 9212494.53 m e E 297864.44 m; deste, segue confrontando com , com os seguintes azimuth plano e distância:341°42'1.81" e 31.37; até o vértice P1612, de coordenadas N 9212524.32 m e E 297854.59 m; deste, segue confrontando com , com os seguintes azimuth plano e distância:344°13'9.29" e 22.42; até o vértice P1613, de coordenadas N 9212545.89 m e E 297848.49 m; deste, segue confrontando com , com os seguintes azimuth plano e distância:342°36'24.04" e 20.40; até o vértice P1614, de coordenadas N 9212565.36 m e E 297842.39 m; deste, segue confrontando com , com os seguintes azimuth plano e distância:318°10'47.39" e 5.98; até o vértice P1615, de coordenadas N 9212569.81 m e E 297838.41 m; deste, segue confrontando com , com os seguintes azimuth plano e distância:322°48'55.06" e 17.07; até o vértice P1616, de coordenadas N 9212583.42 m e E 297828.09 m; deste, segue confrontando com , com os seguintes azimuth plano e distância:334°39'13.77" e 14.79; até o vértice P1617, de coordenadas N 9212596.78 m e E 297821.76 m; deste, segue confrontando com , com os seguintes azimuth plano e distância:343°29'39.14" e 20.79; até o vértice P1618, de coordenadas N 9212616.72 m e E 297815.85 m; deste, segue confrontando com , com os seguintes azimuth plano e distância:348°23'25.18" e 40.94; até o vértice P1619, de coordenadas N 9212656.82 m e E 297807.61 m; deste, segue confrontando com , com os seguintes azimuth plano e distância:325°00'28.73" e 6.66; até o vértice P1620, de coordenadas N 9212662.28 m e E 297803.79 m; deste, segue confrontando com , com os seguintes azimuth plano e distância:337°45'3.52" e 3.24; até o vértice P1621, de coordenadas N 9212665.28 m e E 297802.56 m; deste, segue confrontando com , com os seguintes azimuth plano e distância:321°00'32.42" e 3.69; até o vértice P1622, de coordenadas N 9212668.15 m e E 297800.24 m; deste, segue confrontando com , com os seguintes azimuth plano e distância:336°26'51.85" e 5.81; até o vértice P1623, de coordenadas N 9212673.47 m e E 297797.92 m; deste, segue confrontando com , com os seguintes azimuth plano e distância:337°28'2.21" e 5.80; até o vértice P1624, de coordenadas N 9212678.83 m e E 297795.70 m; deste, segue confrontando com , com os seguintes azimuth plano e distância:323°31'50.76" e 2.50; até o vértice P1625, de coordenadas N 9212680.84 m e E 297794.21 m; deste, segue confrontando com , com os seguintes azimuth plano e distância:304°59'31.27" e 3.20; até o vértice P1626, de coordenadas N 9212682.67 m e E 297791.59 m; deste, segue confrontando com , com os seguintes azimuth plano e distância:330°56'43.42" e 1.80; até o vértice P1627, de coordenadas N 9212684.24 m e E 297790.72 m; deste, segue confrontando com , com os seguintes azimuth plano e distância:10°00'28.73" e 1.51; até o vértice P1628, de coordenadas N 9212685.73 m e E 297790.98 m; deste, segue confrontando com , com os seguintes azimuth plano e distância:352°52'29.94" e 1.41; até o vértice P1629, de coordenadas N 9212687.12 m e E 297790.81 m; deste, segue confrontando com , com os seguintes azimuth plano e distância:327°15'53.19" e 2.91; até o vértice P1630, de coordenadas N 9212689.57 m e E 297789.24 m; deste, segue confrontando com , com os seguintes azimuth plano e distância:347°28'16.29" e 2.42; até o vértice P1631, de coordenadas N 9212691.93 m e E 297788.71 m; deste, segue confrontando com , com os seguintes azimuth plano e distância:314°59'60.00" e 1.36; até o vértice P1632, de coordenadas N 9212692.89 m e E 297787.75 m; deste, segue confrontando com , com os seguintes azimuth plano e distância:309°48'20.06" e 1.36; até o vértice P1633, de coordenadas N 9212693.76 m e E 297786.70 m; deste, segue confrontando com , com os seguintes azimuth plano e distância:297°38'45.51" e 2.07; até o vértice P1634, de coordenadas N 9212694.72 m e E 297784.87 m; deste, segue confrontando com , com os seguintes azimuth plano e distância:322°18'20.73" e 2.43; até o vértice P1635, de coordenadas N 9212696.64 m e E 297783.38 m; deste, segue confrontando com , com os seguintes azimuth plano e distância:330°01'6.10" e 2.62; até o vértice P1636, de coordenadas N 9212698.92 m e E 297782.07 m; deste, segue confrontando com , com os seguintes azimuth plano e distância:322°55'36.94" e 4.93; até o vértice P1637, de coordenadas N 9212702.85 m e E 297779.10 m; deste, segue confrontando com , com os seguintes azimuth plano e distância:339°13'39.88" e 2.71; até o vértice P1638, de coordenadas N 9212705.38 m e E 297778.14 m; deste, segue confrontando com , com os seguintes azimuth plano e distância:349°55'9.85" e 3.99; até o vértice P1639, de coordenadas N 9212709.31 m e E 297777.44 m; deste, segue confrontando com , com os seguintes azimuth plano e distância:355°36'4.66" e 1.14; até o vértice P1640, de coordenadas N 9212710.44 m e E 297777.36 m; deste, segue confrontando com , com os seguintes azimuth plano e distância:0°00'0.00" e 0.87; até o vértice P1641, de coordenadas N 9212711.32 m e E 297777.36 m; deste, segue confrontando com , com os seguintes azimuth plano e distância:321°42'35.41" e 2.11; até o vértice P1642, de coordenadas N 9212712.98 m e E 297776.05 m; deste, segue confrontando com , com os seguintes azimuth plano e distância:318°34'34.80" e 3.96; até o vértice P1643, de coordenadas N 9212715.95 m e E 297773.43 m; deste, segue confrontando com , com os seguintes azimuth plano e distância:332°01'13.89" e 3.16; até o vértice P1644, de coordenadas N 9212718.74 m e E 297771.94 m; deste, segue confrontando com , com os seguintes azimuth plano e distância:337°45'3.51" e 2.08; até o vértice P1645, de coordenadas N 9212720.66 m e E 297771.16 m; deste, segue confrontando com , com os seguintes azimuth plano e distância:15°21'36.74" e 4.70; até o vértice P1646, de coordenadas

Assinado por João Pessoa. Para verificar a validade das assinaturas, acesse <https://joaopessoa.1doc.com.br/verificacao/E130-3F2A-7A96-549F> e informe o código E130-3F2A-7A96-549F



N 9212725.19 m e E 297772.40 m; deste, segue confrontando com , com os seguintes azimuth plano e distância:4°05'8.22" e 1.92; até o vértice P1647, de coordenadas N 9212727.11 m e E 297772.54 m; deste, segue confrontando com , com os seguintes azimuth plano e distância:343°36'37.65" e 2.42; até o vértice P1648, de coordenadas N 9212729.43 m e E 297771.85 m; deste, segue confrontando com , com os seguintes azimuth plano e distância:327°43'27.68" e 3.07; até o vértice P1649, de coordenadas N 9212732.02 m e E 297770.22 m; deste, segue confrontando com , com os seguintes azimuth plano e distância:323°07'48.37" e 3.41; até o vértice P1650, de coordenadas N 9212734.75 m e E 297768.17 m; deste, segue confrontando com , com os seguintes azimuth plano e distância:354°17'21.86" e 4.11; até o vértice P1651, de coordenadas N 9212738.84 m e E 297767.76 m; deste, segue confrontando com , com os seguintes azimuth plano e distância:330°56'43.43" e 2.81; até o vértice P1652, de coordenadas N 9212741.30 m e E 297766.40 m; deste, segue confrontando com , com os seguintes azimuth plano e distância:327°43'27.68" e 3.07; até o vértice P1653, de coordenadas N 9212743.89 m e E 297764.76 m; deste, segue confrontando com , com os seguintes azimuth plano e distância:357°47'50.65" e 3.55; até o vértice P1654, de coordenadas N 9212747.44 m e E 297764.62 m; deste, segue confrontando com , com os seguintes azimuth plano e distância:340°20'46.23" e 4.06; até o vértice P1655, de coordenadas N 9212751.26 m e E 297763.26 m; deste, segue confrontando com , com os seguintes azimuth plano e distância:334°47'55.95" e 2.56; até o vértice P1656, de coordenadas N 9212753.58 m e E 297762.16 m; deste, segue confrontando com , com os seguintes azimuth plano e distância:333°26'5.82" e 2.44; até o vértice P1657, de coordenadas N 9212755.76 m e E 297761.07 m; deste, segue confrontando com , com os seguintes azimuth plano e distância:310°14'10.89" e 2.32; até o vértice P1658, de coordenadas N 9212757.27 m e E 297759.30 m; deste, segue confrontando com , com os seguintes azimuth plano e distância:333°26'5.82" e 3.05; até o vértice P1659, de coordenadas N 9212759.99 m e E 297757.93 m; deste, segue confrontando com , com os seguintes azimuth plano e distância:345°57'49.52" e 2.25; até o vértice P1660, de coordenadas N 9212762.18 m e E 297757.39 m; deste, segue confrontando com , com os seguintes azimuth plano e distância:341°33'54.18" e 1.29; até o vértice P1661, de coordenadas N 9212763.41 m e E 297756.98 m; deste, segue confrontando com , com os seguintes azimuth plano e distância:336°09'40.54" e 6.42; até o vértice P1662, de coordenadas N 9212769.27 m e E 297754.39 m; deste, segue confrontando com , com os seguintes azimuth plano e distância:333°26'5.82" e 3.66; até o vértice P1663, de coordenadas N 9212772.55 m e E 297752.75 m; deste, segue confrontando com , com os seguintes azimuth plano e distância:332°39'0.45" e 4.46; até o vértice P1664, de coordenadas N 9212776.51 m e E 297750.70 m; deste, segue confrontando com , com os seguintes azimuth plano e distância:326°58'34.08" e 3.26; até o vértice P1665, de coordenadas N 9212779.24 m e E 297748.93 m; deste, segue confrontando com , com os seguintes azimuth plano e distância:328°14'25.87" e 3.37; até o vértice P1666, de coordenadas N 9212782.10 m e E 297747.15 m; deste, segue confrontando com , com os seguintes azimuth plano e distância:25°12'4.05" e 2.56; até o vértice P1667, de coordenadas N 9212784.42 m e E 297748.24 m; deste, segue confrontando com , com os seguintes azimuth plano e distância:28°18'2.72" e 2.01; até o vértice P1668, de coordenadas N 9212786.20 m e E 297749.20 m; deste, segue confrontando com , com os seguintes azimuth plano e distância:10°37'10.76" e 2.22; até o vértice P1669, de coordenadas N 9212788.38 m e E 297749.61 m; deste, segue confrontando com , com os seguintes azimuth plano e distância:295°12'4.05" e 2.56; até o vértice P1670, de coordenadas N 9212789.47 m e E 297747.29 m; deste, segue confrontando com , com os seguintes azimuth plano e distância:296°33'54.18" e 3.36; até o vértice P1671, de coordenadas N 9212790.97 m e E 297744.29 m; deste, segue confrontando com , com os seguintes azimuth plano e distância:306°28'9.24" e 3.90; até o vértice P1672, de coordenadas N 9212793.29 m e E 297741.15 m; deste, segue confrontando com , com os seguintes azimuth plano e distância:306°23'3.67" e 3.22; até o vértice P1673, de coordenadas N 9212795.20 m e E 297738.56 m; deste, segue confrontando com , com os seguintes azimuth plano e distância:8°07'48.37" e 3.86; até o vértice P1674, de coordenadas N 9212799.03 m e E 297739.10 m; deste, segue confrontando com , com os seguintes azimuth plano e distância:357°16'25.28" e 2.87; até o vértice P1675, de coordenadas N 9212801.89 m e E 297738.96 m; deste, segue confrontando com , com os seguintes azimuth plano e distância:3°21'59.26" e 2.32; até o vértice P1676, de coordenadas N 9212804.21 m e E 297739.10 m; deste, segue confrontando com , com os seguintes azimuth plano e distância:337°22'48.49" e 3.55; até o vértice P1677, de coordenadas N 9212807.49 m e E 297737.74 m; deste, segue confrontando com , com os seguintes azimuth plano e distância:340°01'0.82" e 3.19; até o vértice P1678, de coordenadas N 9212810.49 m e E 297736.64 m; deste, segue confrontando com , com os seguintes azimuth plano e distância:351°52'11.63" e 2.89; até o vértice P1679, de coordenadas N 9212813.36 m e E 297736.24 m; deste, segue confrontando com , com os seguintes azimuth plano e distância:317°36'9.22" e 4.25; até o vértice P1680, de coordenadas N 9212816.49 m e E 297733.37 m; deste, segue confrontando com , com os seguintes azimuth plano e distância:339°08'43.95" e 3.07; até o vértice P1681, de coordenadas N 9212819.36 m e E 297732.28 m; deste, segue confrontando com , com os seguintes azimuth plano e distância:348°26'23.53" e 6.13; até o vértice P1682, de coordenadas N 9212825.36 m e E 297731.05 m; deste, segue confrontando com , com os seguintes azimuth plano e distância:332°21'14.49" e 3.24; até o vértice P1683, de coordenadas N 9212828.23 m e E 297729.55 m; deste, segue confrontando com , com os seguintes azimuth plano e distância:335°33'21.76" e 3.30; até o vértice P1684, de coordenadas N 9212831.23 m e E 297728.18 m; deste, segue confrontando com , com os seguintes azimuth plano e distância:332°06'9.82" e 2.63; até o vértice P1685, de coordenadas N 9212833.55 m e E 297726.95 m; deste, segue confrontando com , com os seguintes azimuth plano e distância:319°05'8.22" e 2.71; até o vértice P1686, de coordenadas N 9212835.60 m e E 297725.18 m; deste, segue confrontando com , com os seguintes azimuth plano e distância:319°05'8.22" e 2.71; até o vértice P1687, de coordenadas N 9212837.65 m e E 297723.41 m; deste, segue confrontando com , com os seguintes azimuth plano e distância:355°45'48.98" e 3.69; até o vértice P1688, de coordenadas N 9212841.33 m e E 297723.13 m; deste, segue confrontando com , com os seguintes azimuth plano e distância:342°38'45.51" e 2.29; até o vértice P1689, de coordenadas N 9212843.52 m e E 297722.45 m; deste, segue confrontando com , com os seguintes azimuth plano e distância:348°41'24.24" e 2.78; até o vértice P1690, de coordenadas N 9212846.24 m e E 297721.91 m; deste, segue confrontando com , com os seguintes azimuth plano e distância:324°17'35.91" e 5.38; até o vértice P1691, de coordenadas N 9212850.61 m e E 297718.77 m; deste, segue confrontando com , com os seguintes azimuth plano e distância:322°07'30.06" e 7.78; até o vértice P1692, de coordenadas N 9212856.75 m e E 297713.99 m; deste, segue confrontando com , com os seguintes azimuth plano e distância:330°38'32.09" e 5.01; até o vértice P1693, de coordenadas N 9212861.12 m e E 297711.53 m; deste,

Assinado por: João Pessoa, 06 de junho de 2024. Para verificar a validade das assinaturas, acesse <https://joaopessoa.1doc.com.br/verificacao/E130-3F2A-7A96-549F> e informe o código E130-3F2A-7A96-549F



segue confrontando com , com os seguintes azimute plano e distância:20°33'21.76" e 3.50; até o vértice P1694, de coordenadas N 9212864.40 m e E 297712.76 m; deste, segue confrontando com , com os seguintes azimute plano e distância:337°22'48.49" e 3.55; até o vértice P1695, de coordenadas N 9212867.67 m e E 297711.40 m; deste, segue confrontando com , com os seguintes azimute plano e distância:349°12'56.53" e 5.83; até o vértice P1696, de coordenadas N 9212873.40 m e E 297710.31 m; deste, segue confrontando com , com os seguintes azimute plano e distância:309°17'21.86" e 5.82; até o vértice P1697, de coordenadas N 9212877.09 m e E 297705.80 m; deste, segue confrontando com , com os seguintes azimute plano e distância:330°15'18.43" e 3.30; até o vértice P1698, de coordenadas N 9212879.95 m e E 297704.16 m; deste, segue confrontando com , com os seguintes azimute plano e distância:326°49'17.36" e 4.24; até o vértice P1699, de coordenadas N 9212883.50 m e E 297701.84 m; deste, segue confrontando com , com os seguintes azimute plano e distância:9°05'25.00" e 3.46; até o vértice P1700, de coordenadas N 9212886.91 m e E 297702.39 m; deste, segue confrontando com , com os seguintes azimute plano e distância:357°42'33.80" e 3.41; até o vértice P1701, de coordenadas N 9212890.32 m e E 297702.25 m; deste, segue confrontando com , com os seguintes azimute plano e distância:14°02'10.48" e 3.38; até o vértice P1702, de coordenadas N 9212893.60 m e E 297703.07 m; deste, segue confrontando com , com os seguintes azimute plano e distância:326°18'35.76" e 1.97; até o vértice P1703, de coordenadas N 9212895.24 m e E 297701.98 m; deste, segue confrontando com , com os seguintes azimute plano e distância:313°40'4.01" e 4.15; até o vértice P1704, de coordenadas N 9212898.10 m e E 297698.98 m; deste, segue confrontando com , com os seguintes azimute plano e distância:347°28'16.29" e 2.52; até o vértice P1705, de coordenadas N 9212900.56 m e E 297698.43 m; deste, segue confrontando com , com os seguintes azimute plano e distância:325°46'54.02" e 3.94; até o vértice P1706, de coordenadas N 9212903.82 m e E 297696.22 m; deste, segue confrontando com , com os seguintes azimute plano e distância:327°31'43.71" e 3.42; até o vértice P1707, de coordenadas N 9212906.70 m e E 297694.38 m; deste, segue confrontando com , com os seguintes azimute plano e distância:338°44'58.18" e 3.37; até o vértice P1708, de coordenadas N 9212909.85 m e E 297693.16 m; deste, segue confrontando com , com os seguintes azimute plano e distância:2°51'44.66" e 3.50; até o vértice P1709, de coordenadas N 9212913.34 m e E 297693.33 m; deste, segue confrontando com , com os seguintes azimute plano e distância:354°36'38.48" e 4.65; até o vértice P1710, de coordenadas N 9212917.97 m e E 297692.90 m; deste, segue confrontando com , com os seguintes azimute plano e distância:333°26'5.82" e 4.88; até o vértice P1711, de coordenadas N 9212922.34 m e E 297690.71 m; deste, segue confrontando com , com os seguintes azimute plano e distância:351°24'58.96" e 4.68; até o vértice P1712, de coordenadas N 9212926.96 m e E 297690.01 m; deste, segue confrontando com , com os seguintes azimute plano e distância:349°15'39.97" e 5.16; até o vértice P1713, de coordenadas N 9212932.03 m e E 297689.05 m; deste, segue confrontando com , com os seguintes azimute plano e distância:333°47'19.04" e 6.33; até o vértice P1714, de coordenadas N 9212937.71 m e E 297686.26 m; deste, segue confrontando com , com os seguintes azimute plano e distância:345°15'23.17" e 3.43; até o vértice P1715, de coordenadas N 9212941.03 m e E 297685.39 m; deste, segue confrontando com , com os seguintes azimute plano e distância:308°59'27.58" e 2.36; até o vértice P1716, de coordenadas N 9212942.51 m e E 297683.55 m; deste, segue confrontando com , com os seguintes azimute plano e distância:328°46'53.75" e 3.37; até o vértice P1717, de coordenadas N 9212945.39 m e E 297681.80 m; deste, segue confrontando com , com os seguintes azimute plano e distância:356°59'13.97" e 3.32; até o vértice P1718, de coordenadas N 9212948.71 m e E 297681.63 m; deste, segue confrontando com , com os seguintes azimute plano e distância:338°33'8.15" e 2.63; até o vértice P1719, de coordenadas N 9212951.16 m e E 297680.67 m; deste, segue confrontando com , com os seguintes azimute plano e distância:351°01'38.54" e 3.36; até o vértice P1720, de coordenadas N 9212954.48 m e E 297680.15 m; deste, segue confrontando com , com os seguintes azimute plano e distância:350°32'15.64" e 3.19; até o vértice P1721, de coordenadas N 9212957.62 m e E 297679.62 m; deste, segue confrontando com , com os seguintes azimute plano e distância:326°18'35.76" e 1.26; até o vértice P1722, de coordenadas N 9212958.67 m e E 297678.92 m; deste, segue confrontando com , com os seguintes azimute plano e distância:7°35'40.72" e 1.32; até o vértice P1723, de coordenadas N 9212959.98 m e E 297679.10 m; deste, segue confrontando com , com os seguintes azimute plano e distância:339°51'49.31" e 2.79; até o vértice P1724, de coordenadas N 9212962.60 m e E 297678.14 m; deste, segue confrontando com , com os seguintes azimute plano e distância:357°08'15.34" e 1.75; até o vértice P1725, de coordenadas N 9212964.35 m e E 297678.05 m; deste, segue confrontando com , com os seguintes azimute plano e distância:14°02'10.48" e 1.44; até o vértice P1726, de coordenadas N 9212965.74 m e E 297678.40 m; deste, segue confrontando com , com os seguintes azimute plano e distância:0°00'0.00" e 1.48; até o vértice P1727, de coordenadas N 9212967.23 m e E 297678.40 m; deste, segue confrontando com , com os seguintes azimute plano e distância:340°49'15.57" e 2.13; até o vértice P1728, de coordenadas N 9212969.24 m e E 297677.70 m; deste, segue confrontando com , com os seguintes azimute plano e distância:354°33'34.80" e 1.84; até o vértice P1729, de coordenadas N 9212971.07 m e E 297677.53 m; deste, segue confrontando com , com os seguintes azimute plano e distância:0°00'0.00" e 1.66; até o vértice P1730, de coordenadas N 9212972.73 m e E 297677.53 m; deste, segue confrontando com , com os seguintes azimute plano e distância:345°57'49.52" e 2.52; até o vértice P1731, de coordenadas N 9212975.18 m e E 297676.91 m; deste, segue confrontando com , com os seguintes azimute plano e distância:15°56'43.43" e 1.27; até o vértice P1732, de coordenadas N 9212976.40 m e E 297677.26 m; deste, segue confrontando com , com os seguintes azimute plano e distância:323°07'48.37" e 1.75; até o vértice P1733, de coordenadas N 9212977.80 m e E 297676.21 m; deste, segue confrontando com , com os seguintes azimute plano e distância:335°33'21.76" e 2.11; até o vértice P1734, de coordenadas N 9212979.72 m e E 297675.34 m; deste, segue confrontando com , com os seguintes azimute plano e distância:349°12'56.53" e 1.87; até o vértice P1735, de coordenadas N 9212981.55 m e E 297674.99 m; deste, segue confrontando com , com os seguintes azimute plano e distância:1°54'32.95" e 2.62; até o vértice P1736, de coordenadas N 9212984.17 m e E 297675.08 m; deste, segue confrontando com , com os seguintes azimute plano e distância:11°46'5.84" e 2.14; até o vértice P1737, de coordenadas N 9212986.27 m e E 297675.52 m; deste, segue confrontando com , com os seguintes azimute plano e distância:334°47'55.95" e 1.64; até o vértice P1738, de coordenadas N 9212987.75 m e E 297674.82 m; deste, segue confrontando com , com os seguintes azimute plano e distância:326°58'34.08" e 2.08; até o vértice P1739, de coordenadas N 9212989.50 m e E 297673.68 m; deste, segue confrontando com , com os seguintes azimute plano e distância:334°39'13.77" e 1.84; até o vértice P1740, de coordenadas N 9212991.16 m e E 297672.90 m; deste, segue confrontando com , com os seguintes

Assinado por: SÍCERO DE LUCENA FILHO. Para verificar a validade das assinaturas, acesse <https://joaopessoa.1doc.com.br/verificacao/E130-3F2A-7A96-549F> e informe o código E130-3F2A-7A96-549F



azimute plano e distância:354°48'20.06" e 1.93; até o vértice P1741, de coordenadas N 9212993.08 m e E 297672.72 m; deste, segue confrontando com , com os seguintes azimute plano e distância:0°00'0.00" e 2.62; até o vértice P1742, de coordenadas N 9212995.70 m e E 297672.72 m; deste, segue confrontando com , com os seguintes azimute plano e distância:356°25'25.20" e 2.80; até o vértice P1743, de coordenadas N 9212998.50 m e E 297672.55 m; deste, segue confrontando com , com os seguintes azimute plano e distância:0°00'0.00" e 2.10; até o vértice P1744, de coordenadas N 9213000.59 m e E 297672.55 m; deste, segue confrontando com , com os seguintes azimute plano e distância:6°20'24.69" e 1.58; até o vértice P1745, de coordenadas N 9213002.17 m e E 297672.72 m; deste, segue confrontando com , com os seguintes azimute plano e distância:2°39'46.80" e 3.76; até o vértice P1746, de coordenadas N 9213005.92 m e E 297672.90 m; deste, segue confrontando com , com os seguintes azimute plano e distância:340°38'27.62" e 3.43; até o vértice P1747, de coordenadas N 9213009.15 m e E 297671.76 m; deste, segue confrontando com , com os seguintes azimute plano e distância:5°21'20.97" e 5.61; até o vértice P1748, de coordenadas N 9213014.74 m e E 297672.28 m; deste, segue confrontando com , com os seguintes azimute plano e distância:22°37'11.51" e 2.27; até o vértice P1749, de coordenadas N 9213016.84 m e E 297673.16 m; deste, segue confrontando com , com os seguintes azimute plano e distância:1°44'8.54" e 2.88; até o vértice P1750, de coordenadas N 9213019.72 m e E 297673.25 m; deste, segue confrontando com , com os seguintes azimute plano e distância:1°30'26.77" e 3.32; até o vértice P1751, de coordenadas N 9213023.04 m e E 297673.33 m; deste, segue confrontando com , com os seguintes azimute plano e distância:350°16'20.72" e 3.10; até o vértice P1752, de coordenadas N 9213026.10 m e E 297672.81 m; deste, segue confrontando com , com os seguintes azimute plano e distância:340°33'35.87" e 3.15; até o vértice P1753, de coordenadas N 9213029.07 m e E 297671.76 m; deste, segue confrontando com , com os seguintes azimute plano e distância:350°08'3.10" e 2.04; até o vértice P1754, de coordenadas N 9213031.08 m e E 297671.41 m; deste, segue confrontando com , com os seguintes azimute plano e distância:333°26'5.82" e 1.76; até o vértice P1755, de coordenadas N 9213032.65 m e E 297670.63 m; deste, segue confrontando com , com os seguintes azimute plano e distância:316°32'53.37" e 2.29; até o vértice P1756, de coordenadas N 9213034.31 m e E 297669.05 m; deste, segue confrontando com , com os seguintes azimute plano e distância:9°27'44.36" e 2.13; até o vértice P1757, de coordenadas N 9213036.40 m e E 297669.40 m; deste, segue confrontando com , com os seguintes azimute plano e distância:16°41'57.28" e 1.82; até o vértice P1758, de coordenadas N 9213038.15 m e E 297669.93 m; deste, segue confrontando com , com os seguintes azimute plano e distância:25°33'35.87" e 2.23; até o vértice P1759, de coordenadas N 9213040.16 m e E 297670.89 m; deste, segue confrontando com , com os seguintes azimute plano e distância:16°41'57.28" e 2.74; até o vértice P1760, de coordenadas N 9213042.78 m e E 297671.67 m; deste, segue confrontando com , com os seguintes azimute plano e distância:14°02'10.48" e 2.16; até o vértice P1761, de coordenadas N 9213044.88 m e E 297672.20 m; deste, segue confrontando com , com os seguintes azimute plano e distância:2°29'22.39" e 2.01; até o vértice P1762, de coordenadas N 9213046.88 m e E 297672.28 m; deste, segue confrontando com , com os seguintes azimute plano e distância:0°00'0.00" e 5.33; até o vértice P1763, de coordenadas N 9213052.21 m e E 297672.28 m; deste, segue confrontando com , com os seguintes azimute plano e distância:350°54'35.00" e 2.21; até o vértice P1764, de coordenadas N 9213054.40 m e E 297671.94 m; deste, segue confrontando com , com os seguintes azimute plano e distância:303°41'24.24" e 2.20; até o vértice P1765, de coordenadas N 9213055.62 m e E 297670.10 m; deste, segue confrontando com , com os seguintes azimute plano e distância:307°41'39.27" e 2.43; até o vértice P1766, de coordenadas N 9213057.10 m e E 297668.18 m; deste, segue confrontando com , com os seguintes azimute plano e distância:338°11'54.93" e 1.41; até o vértice P1767, de coordenadas N 9213058.41 m e E 297667.66 m; deste, segue confrontando com , com os seguintes azimute plano e distância:340°12'4.05" e 2.32; até o vértice P1768, de coordenadas N 9213060.60 m e E 297666.87 m; deste, segue confrontando com , com os seguintes azimute plano e distância:356°59'13.97" e 1.66; até o vértice P1769, de coordenadas N 9213062.26 m e E 297666.78 m; deste, segue confrontando com , com os seguintes azimute plano e distância:359°59'60.00" e 1.92; até o vértice P1770, de coordenadas N 9213064.18 m e E 297666.78 m; deste, segue confrontando com , com os seguintes azimute plano e distância:5°06'7.79" e 4.91; até o vértice P1771, de coordenadas N 9213069.07 m e E 297667.22 m; deste, segue confrontando com , com os seguintes azimute plano e distância:0°00'0.00" e 1.92; até o vértice P1772, de coordenadas N 9213070.99 m e E 297667.22 m; deste, segue confrontando com , com os seguintes azimute plano e distância:0°00'0.00" e 1.92; até o vértice P1773, de coordenadas N 9213072.91 m e E 297667.22 m; deste, segue confrontando com , com os seguintes azimute plano e distância:353°17'24.59" e 1.50; até o vértice P1774, de coordenadas N 9213074.40 m e E 297667.04 m; deste, segue confrontando com , com os seguintes azimute plano e distância:341°33'54.18" e 1.66; até o vértice P1775, de coordenadas N 9213075.97 m e E 297666.52 m; deste, segue confrontando com , com os seguintes azimute plano e distância:333°26'5.82" e 1.17; até o vértice P1776, de coordenadas N 9213077.02 m e E 297666.00 m; deste, segue confrontando com , com os seguintes azimute plano e distância:350°40'35.07" e 5.93; até o vértice P1777, de coordenadas N 9213082.87 m e E 297665.04 m; deste, segue confrontando com , com os seguintes azimute plano e distância:335°51'16.05" e 2.78; até o vértice P1778, de coordenadas N 9213085.40 m e E 297663.90 m; deste, segue confrontando com , com os seguintes azimute plano e distância:346°45'34.13" e 3.05; até o vértice P1779, de coordenadas N 9213088.37 m e E 297663.20 m; deste, segue confrontando com , com os seguintes azimute plano e distância:7°51'11.93" e 2.56; até o vértice P1780, de coordenadas N 9213090.91 m e E 297663.55 m; deste, segue confrontando com , com os seguintes azimute plano e distância:5°42'38.14" e 7.02; até o vértice P1781, de coordenadas N 9213097.89 m e E 297664.25 m; deste, segue confrontando com , com os seguintes azimute plano e distância:26°33'54.18" e 2.15; até o vértice P1782, de coordenadas N 9213099.81 m e E 297665.21 m; deste, segue confrontando com , com os seguintes azimute plano e distância:352°05'34.21" e 3.17; até o vértice P1783, de coordenadas N 9213102.96 m e E 297664.77 m; deste, segue confrontando com , com os seguintes azimute plano e distância:18°05'0.40" e 4.50; até o vértice P1784, de coordenadas N 9213107.24 m e E 297666.17 m; deste, segue confrontando com , com os seguintes azimute plano e distância:18°26'5.82" e 3.31; até o vértice P1785, de coordenadas N 9213110.38 m e E 297667.22 m; deste, segue confrontando com , com os seguintes azimute plano e distância:3°28'5.63" e 2.89; até o vértice P1786, de coordenadas N 9213113.26 m e E 297667.39 m; deste, segue confrontando com , com os seguintes azimute plano e distância:13°36'1.95" e 5.57; até o vértice P1787, de coordenadas N 9213118.68 m e E 297668.70 m; deste, segue confrontando com , com os seguintes azimute plano e distância:3°10'47.39" e 3.15;

Para verificar a validade das assinaturas, acesse <https://joaopessoa.1doc.com.br/verificacao/E130-3F2A-7A96-549F> e informe o código E130-3F2A-7A96-549F



até o vértice P1788, de coordenadas N 9213121.82 m e E 297668.88 m; deste, segue confrontando com , com os seguintes azimuth plano e distância:351°52'11.63" e 8.03; até o vértice P1789, de coordenadas N 9213129.77 m e E 297667.74 m; deste, segue confrontando com , com os seguintes azimuth plano e distância:336°41'42.39" e 6.18; até o vértice P1790, de coordenadas N 9213135.45 m e E 297665.30 m; deste, segue confrontando com , com os seguintes azimuth plano e distância:348°21'58.92" e 3.03; até o vértice P1791, de coordenadas N 9213138.42 m e E 297664.69 m; deste, segue confrontando com , com os seguintes azimuth plano e distância:16°11'21.14" e 2.82; até o vértice P1792, de coordenadas N 9213141.13 m e E 297665.47 m; deste, segue confrontando com , com os seguintes azimuth plano e distância:23°40'55.52" e 5.44; até o vértice P1793, de coordenadas N 9213146.11 m e E 297667.66 m; deste, segue confrontando com , com os seguintes azimuth plano e distância:27°05'43.99" e 4.22; até o vértice P1794, de coordenadas N 9213149.86 m e E 297669.58 m; deste, segue confrontando com , com os seguintes azimuth plano e distância:39°59'49.77" e 7.52; até o vértice P1795, de coordenadas N 9213155.63 m e E 297674.41 m; deste, segue confrontando com , com os seguintes azimuth plano e distância:334°19'23.46" e 7.87; até o vértice P1796, de coordenadas N 9213162.72 m e E 297671.00 m; deste, segue confrontando com , com os seguintes azimuth plano e distância:318°41'28.99" e 6.00; até o vértice P1797, de coordenadas N 9213167.23 m e E 297667.04 m; deste, segue confrontando com , com os seguintes azimuth plano e distância:330°56'43.43" e 5.62; até o vértice P1798, de coordenadas N 9213172.14 m e E 297664.31 m; deste, segue confrontando com , com os seguintes azimuth plano e distância:319°30'50.36" e 7.36; até o vértice P1799, de coordenadas N 9213177.73 m e E 297659.54 m; deste, segue confrontando com , com os seguintes azimuth plano e distância:325°00'28.73" e 5.00; até o vértice P1800, de coordenadas N 9213181.83 m e E 297656.67 m; deste, segue confrontando com , com os seguintes azimuth plano e distância:329°51'31.01" e 4.89; até o vértice P1801, de coordenadas N 9213186.06 m e E 297654.22 m; deste, segue confrontando com , com os seguintes azimuth plano e distância:308°39'35.31" e 5.24; até o vértice P1802, de coordenadas N 9213189.33 m e E 297650.12 m; deste, segue confrontando com , com os seguintes azimuth plano e distância:347°07'29.99" e 9.80; até o vértice P1803, de coordenadas N 9213198.89 m e E 297647.94 m; deste, segue confrontando com , com os seguintes azimuth plano e distância:342°01'51.10" e 5.31; até o vértice P1804, de coordenadas N 9213203.94 m e E 297646.30 m; deste, segue confrontando com , com os seguintes azimuth plano e distância:330°38'32.09" e 7.52; até o vértice P1805, de coordenadas N 9213210.49 m e E 297642.62 m; deste, segue confrontando com , com os seguintes azimuth plano e distância:339°13'39.88" e 4.23; até o vértice P1806, de coordenadas N 9213214.44 m e E 297641.11 m; deste, segue confrontando com , com os seguintes azimuth plano e distância:326°02'7.42" e 22.14; até o vértice P1807, de coordenadas N 9213232.81 m e E 297628.74 m; deste, segue confrontando com , com os seguintes azimuth plano e distância:338°29'54.84" e 8.32; até o vértice P1808, de coordenadas N 9213240.55 m e E 297625.70 m; deste, segue confrontando com , com os seguintes azimuth plano e distância:328°19'28.31" e 12.95; até o vértice P1809, de coordenadas N 9213251.57 m e E 297618.89 m; deste, segue confrontando com , com os seguintes azimuth plano e distância:349°52'31.18" e 6.67; até o vértice P1810, de coordenadas N 9213258.14 m e E 297617.72 m; deste, segue confrontando com , com os seguintes azimuth plano e distância:339°51'49.31" e 7.49; até o vértice P1811, de coordenadas N 9213265.17 m e E 297615.14 m; deste, segue confrontando com , com os seguintes azimuth plano e distância:341°33'54.18" e 8.90; até o vértice P1812, de coordenadas N 9213273.62 m e E 297612.33 m; deste, segue confrontando com , com os seguintes azimuth plano e distância:331°33'25.46" e 6.40; até o vértice P1813, de coordenadas N 9213279.24 m e E 297609.28 m; deste, segue confrontando com , com os seguintes azimuth plano e distância:327°05'41.13" e 9.50; até o vértice P1814, de coordenadas N 9213287.22 m e E 297604.12 m; deste, segue confrontando com , com os seguintes azimuth plano e distância:324°51'56.90" e 7.74; até o vértice P1815, de coordenadas N 9213293.55 m e E 297599.66 m; deste, segue confrontando com , com os seguintes azimuth plano e distância:340°27'48.04" e 7.71; até o vértice P1816, de coordenadas N 9213300.82 m e E 297597.08 m; deste, segue confrontando com , com os seguintes azimuth plano e distância:321°50'33.98" e 8.35; até o vértice P1817, de coordenadas N 9213307.39 m e E 297591.92 m; deste, segue confrontando com , com os seguintes azimuth plano e distância:304°01'9.66" e 11.32; até o vértice P1818, de coordenadas N 9213313.72 m e E 297582.54 m; deste, segue confrontando com , com os seguintes azimuth plano e distância:319°42'28.27" e 14.14; até o vértice P1819, de coordenadas N 9213324.51 m e E 297573.40 m; deste, segue confrontando com , com os seguintes azimuth plano e distância:313°24'31.90" e 11.94; até o vértice P1820, de coordenadas N 9213332.72 m e E 297564.72 m; deste, segue confrontando com , com os seguintes azimuth plano e distância:300°41'59.00" e 8.73; até o vértice P1821, de coordenadas N 9213337.17 m e E 297557.21 m; deste, segue confrontando com , com os seguintes azimuth plano e distância:308°31'0.93" e 14.69; até o vértice P1822, de coordenadas N 9213346.32 m e E 297545.72 m; deste, segue confrontando com , com os seguintes azimuth plano e distância:319°05'8.22" e 9.31; até o vértice P1823, de coordenadas N 9213353.35 m e E 297539.63 m; deste, segue confrontando com , com os seguintes azimuth plano e distância:293°03'4.68" e 11.98; até o vértice P1824, de coordenadas N 9213358.04 m e E 297528.60 m; deste, segue confrontando com , com os seguintes azimuth plano e distância:295°24'27.79" e 20.77; até o vértice P1825, de coordenadas N 9213366.96 m e E 297509.84 m; deste, segue confrontando com , com os seguintes azimuth plano e distância:289°35'32.21" e 14.69; até o vértice P1826, de coordenadas N 9213371.88 m e E 297496.00 m; deste, segue confrontando com , com os seguintes azimuth plano e distância:285°56'43.43" e 10.24; até o vértice P1827, de coordenadas N 9213374.70 m e E 297486.15 m; deste, segue confrontando com , com os seguintes azimuth plano e distância:294°20'27.92" e 10.81; até o vértice P1828, de coordenadas N 9213379.15 m e E 297476.30 m; deste, segue confrontando com , com os seguintes azimuth plano e distância:305°43'38.63" e 16.47; até o vértice P1829, de coordenadas N 9213388.77 m e E 297462.94 m; deste, segue confrontando com , com os seguintes azimuth plano e distância:313°12'36.32" e 10.62; até o vértice P1830, de coordenadas N 9213396.04 m e E 297455.20 m; deste, segue confrontando com , com os seguintes azimuth plano e distância:307°49'41.84" e 25.24; até o vértice P1831, de coordenadas N 9213411.52 m e E 297435.26 m; deste, segue confrontando com , com os seguintes azimuth plano e distância:304°49'28.16" e 6.57; até o vértice P1832, de coordenadas N 9213415.27 m e E 297429.87 m; deste, segue confrontando com , com os seguintes azimuth plano e distância:311°00'32.71" e 7.15; até o vértice P1833, de coordenadas N 9213419.96 m e E 297424.47 m; deste, segue confrontando com , com os seguintes azimuth plano e distância:307°18'14.21" e 6.19; até o vértice P1834, de coordenadas N 9213423.71 m e E 297419.55 m; deste, segue confrontando com , com os seguintes azimuth plano e distância:301°15'49.43" e 7.68; até o vértice P1835, de coordenadas

Assinado por: **Lucena Filho**
Para verificar a validade das assinaturas, acesse <https://joaopessoa.1doc.com.br/verificacao/E130-3F2A-7A96-549F> e informe o código E130-3F2A-7A96-549F



N 9213427.70 m e E 297412.98 m; deste, segue confrontando com , com os seguintes azimuth plano e distância:305°54'35.00" e 8.40; até o vértice P1836, de coordenadas N 9213432.62 m e E 297406.18 m; deste, segue confrontando com , com os seguintes azimuth plano e distância:301°15'49.43" e 7.68; até o vértice P1837, de coordenadas N 9213436.61 m e E 297399.62 m; deste, segue confrontando com , com os seguintes azimuth plano e distância:301°49'38.81" e 8.00; até o vértice P1838, de coordenadas N 9213440.83 m e E 297392.81 m; deste, segue confrontando com , com os seguintes azimuth plano e distância:303°41'24.24" e 5.07; até o vértice P1839, de coordenadas N 9213443.64 m e E 297388.59 m; deste, segue confrontando com , com os seguintes azimuth plano e distância:297°17'58.46" e 8.18; até o vértice P1840, de coordenadas N 9213447.40 m e E 297381.32 m; deste, segue confrontando com , com os seguintes azimuth plano e distância:292°09'58.84" e 6.84; até o vértice P1841, de coordenadas N 9213449.98 m e E 297374.99 m; deste, segue confrontando com , com os seguintes azimuth plano e distância:308°25'5.00" e 8.68; até o vértice P1842, de coordenadas N 9213455.37 m e E 297368.19 m; deste, segue confrontando com , com os seguintes azimuth plano e distância:302°00'19.38" e 8.85; até o vértice P1843, de coordenadas N 9213460.06 m e E 297360.68 m; deste, segue confrontando com , com os seguintes azimuth plano e distância:283°05'30.81" e 10.35; até o vértice P1844, de coordenadas N 9213462.41 m e E 297350.60 m; deste, segue confrontando com , com os seguintes azimuth plano e distância:298°41'10.13" e 14.17; até o vértice P1845, de coordenadas N 9213469.21 m e E 297338.17 m; deste, segue confrontando com , com os seguintes azimuth plano e distância:304°46'40.19" e 10.28; até o vértice P1846, de coordenadas N 9213475.07 m e E 297329.73 m; deste, segue confrontando com , com os seguintes azimuth plano e distância:298°44'23.26" e 8.29; até o vértice P1847, de coordenadas N 9213479.06 m e E 297322.46 m; deste, segue confrontando com , com os seguintes azimuth plano e distância:284°02'10.48" e 5.80; até o vértice P1848, de coordenadas N 9213480.46 m e E 297316.83 m; deste, segue confrontando com , com os seguintes azimuth plano e distância:272°23'9.40" e 5.63; até o vértice P1849, de coordenadas N 9213480.70 m e E 297311.20 m; deste, segue confrontando com , com os seguintes azimuth plano e distância:303°01'25.92" e 5.59; até o vértice P1850, de coordenadas N 9213483.75 m e E 297306.51 m; deste, segue confrontando com , com os seguintes azimuth plano e distância:292°14'56.49" e 5.57; até o vértice P1851, de coordenadas N 9213485.86 m e E 297301.35 m; deste, segue confrontando com , com os seguintes azimuth plano e distância:306°23'3.67" e 5.53; até o vértice P1852, de coordenadas N 9213489.14 m e E 297296.89 m; deste, segue confrontando com , com os seguintes azimuth plano e distância:304°49'28.16" e 6.57; até o vértice P1853, de coordenadas N 9213492.89 m e E 297291.50 m; deste, segue confrontando com , com os seguintes azimuth plano e distância:294°08'43.95" e 7.45; até o vértice P1854, de coordenadas N 9213495.94 m e E 297284.70 m; deste, segue confrontando com , com os seguintes azimuth plano e distância:304°49'28.16" e 6.57; até o vértice P1855, de coordenadas N 9213499.70 m e E 297279.31 m; deste, segue confrontando com , com os seguintes azimuth plano e distância:303°06'40.83" e 6.44; até o vértice P1856, de coordenadas N 9213503.21 m e E 297273.91 m; deste, segue confrontando com , com os seguintes azimuth plano e distância:288°26'5.82" e 9.64; até o vértice P1857, de coordenadas N 9213506.26 m e E 297264.77 m; deste, segue confrontando com , com os seguintes azimuth plano e distância:312°16'25.28" e 6.97; até o vértice P1858, de coordenadas N 9213510.95 m e E 297259.61 m; deste, segue confrontando com , com os seguintes azimuth plano e distância:301°51'57.52" e 10.22; até o vértice P1859, de coordenadas N 9213516.35 m e E 297250.93 m; deste, segue confrontando com , com os seguintes azimuth plano e distância:303°18'38.27" e 9.82; até o vértice P1860, de coordenadas N 9213521.74 m e E 297242.72 m; deste, segue confrontando com , com os seguintes azimuth plano e distância:324°14'46.01" e 7.22; até o vértice P1861, de coordenadas N 9213527.60 m e E 297238.50 m; deste, segue confrontando com , com os seguintes azimuth plano e distância:325°18'17.45" e 7.42; até o vértice P1862, de coordenadas N 9213533.70 m e E 297234.28 m; deste, segue confrontando com , com os seguintes azimuth plano e distância:291°32'27.51" e 9.58; até o vértice P1863, de coordenadas N 9213537.22 m e E 297225.37 m; deste, segue confrontando com , com os seguintes azimuth plano e distância:304°41'42.55" e 7.42; até o vértice P1864, de coordenadas N 9213541.44 m e E 297219.27 m; deste, segue confrontando com , com os seguintes azimuth plano e distância:308°39'35.31" e 7.51; até o vértice P1865, de coordenadas N 9213546.13 m e E 297213.40 m; deste, segue confrontando com , com os seguintes azimuth plano e distância:313°43'37.09" e 7.46; até o vértice P1866, de coordenadas N 9213551.29 m e E 297208.01 m; deste, segue confrontando com , com os seguintes azimuth plano e distância:296°33'54.18" e 8.91; até o vértice P1867, de coordenadas N 9213555.28 m e E 297200.04 m; deste, segue confrontando com , com os seguintes azimuth plano e distância:306°23'3.67" e 5.53; até o vértice P1868, de coordenadas N 9213558.56 m e E 297195.58 m; deste, segue confrontando com , com os seguintes azimuth plano e distância:300°57'49.52" e 8.20; até o vértice P1869, de coordenadas N 9213562.78 m e E 297188.55 m; deste, segue confrontando com , com os seguintes azimuth plano e distância:319°11'5.70" e 6.82; até o vértice P1870, de coordenadas N 9213567.94 m e E 297184.09 m; deste, segue confrontando com , com os seguintes azimuth plano e distância:316°44'8.54" e 5.47; até o vértice P1871, de coordenadas N 9213571.93 m e E 297180.34 m; deste, segue confrontando com , com os seguintes azimuth plano e distância:308°39'35.31" e 4.51; até o vértice P1872, de coordenadas N 9213574.74 m e E 297176.82 m; deste, segue confrontando com , com os seguintes azimuth plano e distância:303°10'42.64" e 7.29; até o vértice P1873, de coordenadas N 9213578.73 m e E 297170.72 m; deste, segue confrontando com , com os seguintes azimuth plano e distância:305°23'41.27" e 10.93; até o vértice P1874, de coordenadas N 9213585.06 m e E 297161.81 m; deste, segue confrontando com , com os seguintes azimuth plano e distância:306°35'27.92" e 19.28; até o vértice P1875, de coordenadas N 9213596.55 m e E 297146.33 m; deste, segue confrontando com , com os seguintes azimuth plano e distância:303°41'24.24" e 4.23; até o vértice P1876, de coordenadas N 9213598.90 m e E 297142.81 m; deste, segue confrontando com , com os seguintes azimuth plano e distância:297°04'19.49" e 11.85; até o vértice P1877, de coordenadas N 9213604.29 m e E 297132.26 m; deste, segue confrontando com , com os seguintes azimuth plano e distância:317°43'34.72" e 6.97; até o vértice P1878, de coordenadas N 9213609.45 m e E 297127.57 m; deste, segue confrontando com , com os seguintes azimuth plano e distância:321°42'35.41" e 5.68; até o vértice P1879, de coordenadas N 9213613.91 m e E 297124.05 m; deste, segue confrontando com , com os seguintes azimuth plano e distância:317°29'22.39" e 3.82; até o vértice P1880, de coordenadas N 9213616.72 m e E 297121.47 m; deste, segue confrontando com , com os seguintes azimuth plano e distância:304°22'49.24" e 5.40; até o vértice P1881, de coordenadas N 9213619.77 m e E 297117.02 m; deste, segue confrontando com , com os seguintes azimuth plano e distância:309°48'20.06" e 3.66; até o vértice P1882, de coordenadas N 9213622.12 m e E 297114.20 m; deste,

Assinado por: [Assinatura] Para verificar a validade das assinaturas, acesse <https://joaopessoa.idoc.com.br/verificacao/E130-3F2A-7A96-549F> e informe o código E130-3F2A-7A96-549F



segue confrontando com , com os seguintes azimuth plano e distância:308°02'49.35" e 6.85; até o vértice P1883, de coordenadas N 9213626.34 m e E 297108.81 m; deste, segue confrontando com , com os seguintes azimuth plano e distância:319°58'11.07" e 7.66; até o vértice P1884, de coordenadas N 9213632.20 m e E 297103.88 m; deste, segue confrontando com , com os seguintes azimuth plano e distância:327°59'40.62" e 4.42; até o vértice P1885, de coordenadas N 9213635.95 m e E 297101.54 m; deste, segue confrontando com , com os seguintes azimuth plano e distância:323°31'50.76" e 6.71; até o vértice P1886, de coordenadas N 9213641.35 m e E 297097.55 m; deste, segue confrontando com , com os seguintes azimuth plano e distância:306°52'11.63" e 5.86; até o vértice P1887, de coordenadas N 9213644.86 m e E 297092.86 m; deste, segue confrontando com , com os seguintes azimuth plano e distância:321°10'12.63" e 12.34; até o vértice P1888, de coordenadas N 9213654.48 m e E 297085.12 m; deste, segue confrontando com , com os seguintes azimuth plano e distância:315°47'5.37" e 12.11; até o vértice P1889, de coordenadas N 9213663.16 m e E 297076.68 m; deste, segue confrontando com , com os seguintes azimuth plano e distância:325°08'43.96" e 16.00; até o vértice P1890, de coordenadas N 9213676.29 m e E 297067.53 m; deste, segue confrontando com , com os seguintes azimuth plano e distância:315°00'0.00" e 8.95; até o vértice P1891, de coordenadas N 9213682.62 m e E 297061.20 m; deste, segue confrontando com , com os seguintes azimuth plano e distância:313°01'30.24" e 9.62; até o vértice P1892, de coordenadas N 9213689.19 m e E 297054.16 m; deste, segue confrontando com , com os seguintes azimuth plano e distância:321°34'55.00" e 8.68; até o vértice P1893, de coordenadas N 9213695.99 m e E 297048.77 m; deste, segue confrontando com , com os seguintes azimuth plano e distância:327°59'40.62" e 8.85; até o vértice P1894, de coordenadas N 9213703.50 m e E 297044.08 m; deste, segue confrontando com , com os seguintes azimuth plano e distância:311°25'25.20" e 15.95; até o vértice P1895, de coordenadas N 9213714.05 m e E 297032.12 m; deste, segue confrontando com , com os seguintes azimuth plano e distância:309°17'21.86" e 10.00; até o vértice P1896, de coordenadas N 9213720.38 m e E 297024.38 m; deste, segue confrontando com , com os seguintes azimuth plano e distância:329°25'14.78" e 5.99; até o vértice P1897, de coordenadas N 9213725.54 m e E 297021.33 m; deste, segue confrontando com , com os seguintes azimuth plano e distância:312°08'15.34" e 6.64; até o vértice P1898, de coordenadas N 9213730.00 m e E 297016.41 m; deste, segue confrontando com , com os seguintes azimuth plano e distância:317°29'22.39" e 7.64; até o vértice P1899, de coordenadas N 9213735.63 m e E 297011.25 m; deste, segue confrontando com , com os seguintes azimuth plano e distância:315°00'0.00" e 7.30; até o vértice P1900, de coordenadas N 9213740.78 m e E 297006.09 m; deste, segue confrontando com , com os seguintes azimuth plano e distância:302°28'16.29" e 6.12; até o vértice P1901, de coordenadas N 9213744.07 m e E 297000.93 m; deste, segue confrontando com , com os seguintes azimuth plano e distância:308°39'35.31" e 7.51; até o vértice P1902, de coordenadas N 9213748.76 m e E 296995.06 m; deste, segue confrontando com , com os seguintes azimuth plano e distância:300°57'49.52" e 6.84; até o vértice P1903, de coordenadas N 9213752.28 m e E 296989.20 m; deste, segue confrontando com , com os seguintes azimuth plano e distância:314°59'60.00" e 5.64; até o vértice P1904, de coordenadas N 9213756.26 m e E 296985.21 m; deste, segue confrontando com , com os seguintes azimuth plano e distância:301°45'34.13" e 5.79; até o vértice P1905, de coordenadas N 9213759.31 m e E 296980.29 m; deste, segue confrontando com , com os seguintes azimuth plano e distância:303°41'24.24" e 5.07; até o vértice P1906, de coordenadas N 9213762.13 m e E 296976.07 m; deste, segue confrontando com , com os seguintes azimuth plano e distância:316°32'53.37" e 6.14; até o vértice P1907, de coordenadas N 9213766.58 m e E 296971.85 m; deste, segue confrontando com , com os seguintes azimuth plano e distância:335°51'16.05" e 7.45; até o vértice P1908, de coordenadas N 9213773.38 m e E 296968.80 m; deste, segue confrontando com , com os seguintes azimuth plano e distância:315°35'26.37" e 16.09; até o vértice P1909, de coordenadas N 9213784.87 m e E 296957.54 m; deste, segue confrontando com , com os seguintes azimuth plano e distância:302°28'16.29" e 6.12; até o vértice P1910, de coordenadas N 9213788.16 m e E 296952.38 m; deste, segue confrontando com , com os seguintes azimuth plano e distância:271°58'29.76" e 6.81; até o vértice P1911, de coordenadas N 9213788.39 m e E 296945.58 m; deste, segue confrontando com , com os seguintes azimuth plano e distância:305°32'15.64" e 4.03; até o vértice P1912, de coordenadas N 9213790.74 m e E 296942.30 m; deste, segue confrontando com , com os seguintes azimuth plano e distância:307°52'29.94" e 5.35; até o vértice P1913, de coordenadas N 9213794.02 m e E 296938.08 m; deste, segue confrontando com , com os seguintes azimuth plano e distância:313°15'51.46" e 5.47; até o vértice P1914, de coordenadas N 9213797.77 m e E 296934.09 m; deste, segue confrontando com , com os seguintes azimuth plano e distância:308°59'27.58" e 6.34; até o vértice P1915, de coordenadas N 9213801.76 m e E 296929.16 m; deste, segue confrontando com , com os seguintes azimuth plano e distância:325°29'29.32" e 4.55; até o vértice P1916, de coordenadas N 9213805.51 m e E 296926.58 m; deste, segue confrontando com , com os seguintes azimuth plano e distância:330°15'18.43" e 3.78; até o vértice P1917, de coordenadas N 9213808.80 m e E 296924.71 m; deste, segue confrontando com , com os seguintes azimuth plano e distância:334°32'11.96" e 5.45; até o vértice P1918, de coordenadas N 9213813.72 m e E 296922.36 m; deste, segue confrontando com , com os seguintes azimuth plano e distância:328°14'25.87" e 5.79; até o vértice P1919, de coordenadas N 9213818.65 m e E 296919.31 m; deste, segue confrontando com , com os seguintes azimuth plano e distância:321°00'32.42" e 6.34; até o vértice P1920, de coordenadas N 9213823.57 m e E 296915.33 m; deste, segue confrontando com , com os seguintes azimuth plano e distância:329°55'53.10" e 5.15; até o vértice P1921, de coordenadas N 9213828.03 m e E 296912.75 m; deste, segue confrontando com , com os seguintes azimuth plano e distância:340°01'0.82" e 5.49; até o vértice P1922, de coordenadas N 9213833.19 m e E 296910.87 m; deste, segue confrontando com , com os seguintes azimuth plano e distância:308°55'39.16" e 7.84; até o vértice P1923, de coordenadas N 9213838.11 m e E 296904.77 m; deste, segue confrontando com , com os seguintes azimuth plano e distância:313°36'10.15" e 6.80; até o vértice P1924, de coordenadas N 9213842.80 m e E 296899.85 m; deste, segue confrontando com , com os seguintes azimuth plano e distância:322°12'51.34" e 26.41; até o vértice P1925, de coordenadas N 9213863.67 m e E 296883.67 m; deste, segue confrontando com , com os seguintes azimuth plano e distância:316°10'8.90" e 8.13; até o vértice P1926, de coordenadas N 9213869.54 m e E 296878.04 m; deste, segue confrontando com , com os seguintes azimuth plano e distância:324°27'44.36" e 8.07; até o vértice P1927, de coordenadas N 9213876.10 m e E 296873.35 m; deste, segue confrontando com , com os seguintes azimuth plano e distância:328°23'32.99" e 3.58; até o vértice P1928, de coordenadas N 9213879.15 m e E 296871.47 m; deste, segue confrontando com , com os seguintes azimuth plano e distância:329°32'4.04" e 4.63; até o vértice P1929, de coordenadas N 9213883.14 m e E 296869.13 m; deste, segue confrontando com , com os seguintes

Assinado por: SÍLCIO DE LACENA FILHO
Para verificar a validade das assinaturas, acesse <https://joaopessoa.1doc.com.br/verificacao/E130-3F2A-7A96-549F> e informe o código E130-3F2A-7A96-549F

azimute plano e distância:339°46'30.51" e 4.75; até o vértice P1930, de coordenadas N 9213887.60 m e E 296867.48 m; deste, segue confrontando com , com os seguintes azimute plano e distância:311°11'9.33" e 4.99; até o vértice P1931, de coordenadas N 9213890.88 m e E 296863.73 m; deste, segue confrontando com , com os seguintes azimute plano e distância:317°23'9.40" e 7.97; até o vértice P1932, de coordenadas N 9213896.74 m e E 296858.34 m; deste, segue confrontando com , com os seguintes azimute plano e distância:307°41'39.27" e 6.52; até o vértice P1933, de coordenadas N 9213900.73 m e E 296853.18 m; deste, segue confrontando com , com os seguintes azimute plano e distância:305°32'15.64" e 8.07; até o vértice P1934, de coordenadas N 9213905.42 m e E 296846.61 m; deste, segue confrontando com , com os seguintes azimute plano e distância:313°55'8.67" e 8.79; até o vértice P1935, de coordenadas N 9213911.52 m e E 296840.28 m; deste, segue confrontando com , com os seguintes azimute plano e distância:306°52'11.63" e 4.69; até o vértice P1936, de coordenadas N 9213914.33 m e E 296836.53 m; deste, segue confrontando com , com os seguintes azimute plano e distância:291°48'5.07" e 3.79; até o vértice P1937, de coordenadas N 9213915.74 m e E 296833.01 m; deste, segue confrontando com , com os seguintes azimute plano e distância:311°45'37.08" e 8.80; até o vértice P1938, de coordenadas N 9213921.60 m e E 296826.44 m; deste, segue confrontando com , com os seguintes azimute plano e distância:317°29'22.39" e 7.64; até o vértice P1939, de coordenadas N 9213927.23 m e E 296821.28 m; deste, segue confrontando com , com os seguintes azimute plano e distância:322°45'54.60" e 7.36; até o vértice P1940, de coordenadas N 9213933.09 m e E 296816.83 m; deste, segue confrontando com , com os seguintes azimute plano e distância:318°21'59.26" e 14.12; até o vértice P1941, de coordenadas N 9213943.65 m e E 296807.45 m; deste, segue confrontando com , com os seguintes azimute plano e distância:304°49'28.16" e 6.57; até o vértice P1942, de coordenadas N 9213947.40 m e E 296802.05 m; deste, segue confrontando com , com os seguintes azimute plano e distância:327°15'53.19" e 3.90; até o vértice P1943, de coordenadas N 9213950.68 m e E 296799.94 m; deste, segue confrontando com , com os seguintes azimute plano e distância:330°56'43.43" e 4.83; até o vértice P1944, de coordenadas N 9213954.90 m e E 296797.60 m; deste, segue confrontando com , com os seguintes azimute plano e distância:342°20'59.55" e 5.41; até o vértice P1945, de coordenadas N 9213960.06 m e E 296795.96 m; deste, segue confrontando com , com os seguintes azimute plano e distância:340°54'23.43" e 6.45; até o vértice P1946, de coordenadas N 9213966.16 m e E 296793.84 m; deste, segue confrontando com , com os seguintes azimute plano e distância:309°10'25.17" e 8.17; até o vértice P1947, de coordenadas N 9213971.32 m e E 296787.51 m; deste, segue confrontando com , com os seguintes azimute plano e distância:311°49'12.61" e 5.98; até o vértice P1948, de coordenadas N 9213975.31 m e E 296783.06 m; deste, segue confrontando com , com os seguintes azimute plano e distância:312°08'15.34" e 6.64; até o vértice P1949, de coordenadas N 9213979.76 m e E 296778.13 m; deste, segue confrontando com , com os seguintes azimute plano e distância:308°55'39.16" e 7.84; até o vértice P1950, de coordenadas N 9213984.69 m e E 296772.03 m; deste, segue confrontando com , com os seguintes azimute plano e distância:318°39'8.00" e 7.81; até o vértice P1951, de coordenadas N 9213990.55 m e E 296766.87 m; deste, segue confrontando com , com os seguintes azimute plano e distância:312°16'25.28" e 10.46; até o vértice P1952, de coordenadas N 9213997.59 m e E 296759.14 m; deste, segue confrontando com , com os seguintes azimute plano e distância:316°11'36.56" e 15.92; até o vértice P1953, de coordenadas N 9214009.08 m e E 296748.11 m; deste, segue confrontando com , com os seguintes azimute plano e distância:323°07'48.37" e 26.97; até o vértice P1954, de coordenadas N 9214030.65 m e E 296731.93 m; deste, segue confrontando com , com os seguintes azimute plano e distância:319°45'49.11" e 7.99; até o vértice P1955, de coordenadas N 9214036.75 m e E 296726.77 m; deste, segue confrontando com , com os seguintes azimute plano e distância:319°32'15.98" e 10.48; até o vértice P1956, de coordenadas N 9214044.73 m e E 296719.97 m; deste, segue confrontando com , com os seguintes azimute plano e distância:321°50'33.98" e 8.35; até o vértice P1957, de coordenadas N 9214051.29 m e E 296714.81 m; deste, segue confrontando com , com os seguintes azimute plano e distância:318°12'55.74" e 14.78; até o vértice P1958, de coordenadas N 9214062.31 m e E 296704.96 m; deste, segue confrontando com , com os seguintes azimute plano e distância:325°12'14.31" e 16.85; até o vértice P1959, de coordenadas N 9214076.15 m e E 296695.35 m; deste, segue confrontando com , com os seguintes azimute plano e distância:323°36'56.33" e 11.07; até o vértice P1960, de coordenadas N 9214085.06 m e E 296688.78 m; deste, segue confrontando com , com os seguintes azimute plano e distância:307°27'2.08" e 13.88; até o vértice P1961, de coordenadas N 9214093.51 m e E 296677.76 m; deste, segue confrontando com , com os seguintes azimute plano e distância:321°20'24.69" e 4.51; até o vértice P1962, de coordenadas N 9214097.02 m e E 296674.94 m; deste, segue confrontando com , com os seguintes azimute plano e distância:299°03'16.57" e 4.83; até o vértice P1963, de coordenadas N 9214099.37 m e E 296670.72 m; deste, segue confrontando com , com os seguintes azimute plano e distância:302°28'16.29" e 6.12; até o vértice P1964, de coordenadas N 9214102.65 m e E 296665.56 m; deste, segue confrontando com , com os seguintes azimute plano e distância:307°08'48.07" e 9.71; até o vértice P1965, de coordenadas N 9214108.52 m e E 296657.82 m; deste, segue confrontando com , com os seguintes azimute plano e distância:322°07'30.06" e 8.02; até o vértice P1966, de coordenadas N 9214114.85 m e E 296652.90 m; deste, segue confrontando com , com os seguintes azimute plano e distância:301°51'57.52" e 10.22; até o vértice P1967, de coordenadas N 9214120.24 m e E 296644.22 m; deste, segue confrontando com , com os seguintes azimute plano e distância:315°40'26.53" e 14.10; até o vértice P1968, de coordenadas N 9214130.33 m e E 296634.37 m; deste, segue confrontando com , com os seguintes azimute plano e distância:321°10'12.63" e 12.34; até o vértice P1969, de coordenadas N 9214139.94 m e E 296626.63 m; deste, segue confrontando com , com os seguintes azimute plano e distância:318°41'28.99" e 10.30; até o vértice P1970, de coordenadas N 9214147.68 m e E 296619.83 m; deste, segue confrontando com , com os seguintes azimute plano e distância:341°33'54.18" e 6.67; até o vértice P1971, de coordenadas N 9214154.01 m e E 296617.72 m; deste, segue confrontando com , com os seguintes azimute plano e distância:332°06'9.82" e 9.02; até o vértice P1972, de coordenadas N 9214161.99 m e E 296613.50 m; deste, segue confrontando com , com os seguintes azimute plano e distância:323°07'48.37" e 8.21; até o vértice P1973, de coordenadas N 9214168.55 m e E 296608.57 m; deste, segue confrontando com , com os seguintes azimute plano e distância:323°50'30.53" e 7.55; até o vértice P1974, de coordenadas N 9214174.65 m e E 296604.12 m; deste, segue confrontando com , com os seguintes azimute plano e distância:324°41'19.63" e 6.90; até o vértice P1975, de coordenadas N 9214180.28 m e E 296600.13 m; deste, segue confrontando com , com os seguintes azimute plano e distância:328°10'21.19" e 8.00; até o vértice P1976, de coordenadas N 9214187.08 m e E 296595.91 m; deste, segue confrontando com , com os seguintes azimute plano e distância:335°41'43.62"

Assinado por: [Assinatura] Para verificar a validade das assinaturas, acesse <https://joaopessoa.1doc.com.br/verificacao/E130-3F2A-7A96-549F> e informe o código E130-3F2A-7A96-549F



7.98; até o vértice P1977, de coordenadas N 9214194.35 m e E 296592.62 m; deste, segue confrontando com , com os seguintes azimuth plano e distância:323°07'48.37" e 9.38; até o vértice P1978, de coordenadas N 9214201.86 m e E 296587.00 m; deste, segue confrontando com , com os seguintes azimuth plano e distância:316°35'28.10" e 11.94; até o vértice P1979, de coordenadas N 9214210.53 m e E 296578.79 m; deste, segue confrontando com , com os seguintes azimuth plano e distância:333°26'5.82" e 5.77; até o vértice P1980, de coordenadas N 9214215.69 m e E 296576.21 m; deste, segue confrontando com , com os seguintes azimuth plano e distância:327°22'50.72" e 6.96; até o vértice P1981, de coordenadas N 9214221.56 m e E 296572.46 m; deste, segue confrontando com , com os seguintes azimuth plano e distância:317°51'44.66" e 6.64; até o vértice P1982, de coordenadas N 9214226.48 m e E 296568.00 m; deste, segue confrontando com , com os seguintes azimuth plano e distância:305°54'35.00" e 8.40; até o vértice P1983, de coordenadas N 9214231.41 m e E 296561.20 m; deste, segue confrontando com , com os seguintes azimuth plano e distância:305°32'15.64" e 6.05; até o vértice P1984, de coordenadas N 9214234.92 m e E 296556.27 m; deste, segue confrontando com , com os seguintes azimuth plano e distância:303°10'42.64" e 7.29; até o vértice P1985, de coordenadas N 9214238.91 m e E 296550.18 m; deste, segue confrontando com , com os seguintes azimuth plano e distância:306°28'9.24" e 6.71; até o vértice P1986, de coordenadas N 9214242.90 m e E 296544.78 m; deste, segue confrontando com , com os seguintes azimuth plano e distância:284°37'15.15" e 5.57; até o vértice P1987, de coordenadas N 9214244.30 m e E 296539.39 m; deste, segue confrontando com , com os seguintes azimuth plano e distância:303°06'40.83" e 6.44; até o vértice P1988, de coordenadas N 9214247.82 m e E 296533.99 m; deste, segue confrontando com , com os seguintes azimuth plano e distância:325°10'31.84" e 6.57; até o vértice P1989, de coordenadas N 9214253.22 m e E 296530.24 m; deste, segue confrontando com , com os seguintes azimuth plano e distância:331°33'25.46" e 6.40; até o vértice P1990, de coordenadas N 9214258.84 m e E 296527.19 m; deste, segue confrontando com , com os seguintes azimuth plano e distância:341°01'46.53" e 7.94; até o vértice P1991, de coordenadas N 9214266.35 m e E 296524.61 m; deste, segue confrontando com , com os seguintes azimuth plano e distância:308°39'35.31" e 6.01; até o vértice P1992, de coordenadas N 9214270.10 m e E 296519.92 m; deste, segue confrontando com , com os seguintes azimuth plano e distância:310°27'44.02" e 10.48; até o vértice P1993, de coordenadas N 9214276.90 m e E 296511.95 m; deste, segue confrontando com , com os seguintes azimuth plano e distância:343°09'45.10" e 18.62; até o vértice P1994, de coordenadas N 9214294.73 m e E 296506.55 m; deste, segue confrontando com , com os seguintes azimuth plano e distância:332°21'14.49" e 11.12; até o vértice P1995, de coordenadas N 9214304.58 m e E 296501.40 m; deste, segue confrontando com , com os seguintes azimuth plano e distância:331°23'22.35" e 5.88; até o vértice P1996, de coordenadas N 9214309.74 m e E 296498.58 m; deste, segue confrontando com , com os seguintes azimuth plano e distância:327°48'15.36" e 7.48; até o vértice P1997, de coordenadas N 9214316.07 m e E 296494.59 m; deste, segue confrontando com , com os seguintes azimuth plano e distância:321°37'57.05" e 7.18; até o vértice P1998, de coordenadas N 9214321.70 m e E 296490.14 m; deste, segue confrontando com , com os seguintes azimuth plano e distância:326°18'35.76" e 6.76; até o vértice P1999, de coordenadas N 9214327.32 m e E 296486.39 m; deste, segue confrontando com , com os seguintes azimuth plano e distância:326°53'19.17" e 6.44; até o vértice P2000, de coordenadas N 9214332.72 m e E 296482.87 m; deste, segue confrontando com , com os seguintes azimuth plano e distância:327°15'53.19" e 7.81; até o vértice P2001, de coordenadas N 9214339.29 m e E 296478.65 m; deste, segue confrontando com , com os seguintes azimuth plano e distância:336°48'5.07" e 7.14; até o vértice P2002, de coordenadas N 9214345.85 m e E 296475.83 m; deste, segue confrontando com , com os seguintes azimuth plano e distância:339°54'17.17" e 10.24; até o vértice P2003, de coordenadas N 9214355.47 m e E 296472.31 m; deste, segue confrontando com , com os seguintes azimuth plano e distância:326°46'5.84" e 8.13; até o vértice P2004, de coordenadas N 9214362.27 m e E 296467.86 m; deste, segue confrontando com , com os seguintes azimuth plano e distância:330°06'3.95" e 10.82; até o vértice P2005, de coordenadas N 9214371.65 m e E 296462.46 m; deste, segue confrontando com , com os seguintes azimuth plano e distância:324°27'44.36" e 8.07; até o vértice P2006, de coordenadas N 9214378.22 m e E 296457.77 m; deste, segue confrontando com , com os seguintes azimuth plano e distância:320°49'34.83" e 8.17; até o vértice P2007, de coordenadas N 9214384.55 m e E 296452.61 m; deste, segue confrontando com , com os seguintes azimuth plano e distância:311°20'52.00" e 7.81; até o vértice P2008, de coordenadas N 9214389.71 m e E 296446.75 m; deste, segue confrontando com , com os seguintes azimuth plano e distância:313°09'8.60" e 5.14; até o vértice P2009, de coordenadas N 9214393.23 m e E 296443.00 m; deste, segue confrontando com , com os seguintes azimuth plano e distância:326°58'34.08" e 5.59; até o vértice P2010, de coordenadas N 9214397.92 m e E 296439.95 m; deste, segue confrontando com , com os seguintes azimuth plano e distância:331°11'21.14" e 5.35; até o vértice P2011, de coordenadas N 9214402.61 m e E 296437.37 m; deste, segue confrontando com , com os seguintes azimuth plano e distância:327°59'40.62" e 4.42; até o vértice P2012, de coordenadas N 9214406.36 m e E 296435.03 m; deste, segue confrontando com , com os seguintes azimuth plano e distância:304°41'42.55" e 3.71; até o vértice P2013, de coordenadas N 9214408.47 m e E 296431.98 m; deste, segue confrontando com , com os seguintes azimuth plano e distância:313°01'30.24" e 4.81; até o vértice P2014, de coordenadas N 9214411.75 m e E 296428.46 m; deste, segue confrontando com , com os seguintes azimuth plano e distância:337°09'58.85" e 4.83; até o vértice P2015, de coordenadas N 9214416.21 m e E 296426.58 m; deste, segue confrontando com , com os seguintes azimuth plano e distância:342°20'59.55" e 5.41; até o vértice P2016, de coordenadas N 9214421.37 m e E 296424.94 m; deste, segue confrontando com , com os seguintes azimuth plano e distância:336°02'15.04" e 4.62; até o vértice P2017, de coordenadas N 9214425.59 m e E 296423.06 m; deste, segue confrontando com , com os seguintes azimuth plano e distância:331°55'39.05" e 3.99; até o vértice P2018, de coordenadas N 9214429.11 m e E 296421.19 m; deste, segue confrontando com , com os seguintes azimuth plano e distância:341°33'54.18" e 5.93; até o vértice P2019, de coordenadas N 9214434.74 m e E 296419.31 m; deste, segue confrontando com , com os seguintes azimuth plano e distância:325°47'3.47" e 7.09; até o vértice P2020, de coordenadas N 9214440.60 m e E 296415.33 m; deste, segue confrontando com , com os seguintes azimuth plano e distância:317°51'44.66" e 6.64; até o vértice P2021, de coordenadas N 9214445.52 m e E 296410.87 m; deste, segue confrontando com , com os seguintes azimuth plano e distância:318°21'59.26" e 5.65; até o vértice P2022, de coordenadas N 9214449.75 m e E 296407.12 m; deste, segue confrontando com , com os seguintes azimuth plano e distância:335°33'21.76" e 8.50; até o vértice P2023, de coordenadas N 9214457.48 m e E 296403.60 m; deste, segue confrontando com , com os seguintes azimuth plano e distância:336°22'14.24" e 4.10; até o vértice P2024, de coordenadas

Assinado por:  Para verificar a validade das assinaturas, acesse <https://joaopessoa.1doc.com.br/verificacao/E130-3F2A-7A96-549F> e informe o código E130-3F2A-7A96-549F

N 9214461.24 m e E 296401.96 m; deste, segue confrontando com , com os seguintes azimuth plano e distância:337°04'4.44" e 6.62; até o vértice P2025, de coordenadas N 9214467.33 m e E 296399.38 m; deste, segue confrontando com , com os seguintes azimuth plano e distância:331°11'21.14" e 5.35; até o vértice P2026, de coordenadas N 9214472.03 m e E 296396.80 m; deste, segue confrontando com , com os seguintes azimuth plano e distância:324°46'56.67" e 4.88; até o vértice P2027, de coordenadas N 9214476.01 m e E 296393.98 m; deste, segue confrontando com , com os seguintes azimuth plano e distância:325°50'25.10" e 7.94; até o vértice P2028, de coordenadas N 9214482.58 m e E 296389.53 m; deste, segue confrontando com , com os seguintes azimuth plano e distância:317°51'44.66" e 6.64; até o vértice P2029, de coordenadas N 9214487.50 m e E 296385.07 m; deste, segue confrontando com , com os seguintes azimuth plano e distância:328°40'16.71" e 6.31; até o vértice P2030, de coordenadas N 9214492.90 m e E 296381.79 m; deste, segue confrontando com , com os seguintes azimuth plano e distância:344°03'16.57" e 5.12; até o vértice P2031, de coordenadas N 9214497.82 m e E 296380.38 m; deste, segue confrontando com , com os seguintes azimuth plano e distância:343°04'20.95" e 5.64; até o vértice P2032, de coordenadas N 9214503.22 m e E 296378.74 m; deste, segue confrontando com , com os seguintes azimuth plano e distância:329°02'10.48" e 5.47; até o vértice P2033, de coordenadas N 9214507.91 m e E 296375.93 m; deste, segue confrontando com , com os seguintes azimuth plano e distância:324°14'46.01" e 7.22; até o vértice P2034, de coordenadas N 9214513.77 m e E 296371.70 m; deste, segue confrontando com , com os seguintes azimuth plano e distância:326°18'35.76" e 6.76; até o vértice P2035, de coordenadas N 9214519.40 m e E 296367.95 m; deste, segue confrontando com , com os seguintes azimuth plano e distância:339°26'38.24" e 8.02; até o vértice P2036, de coordenadas N 9214526.90 m e E 296365.14 m; deste, segue confrontando com , com os seguintes azimuth plano e distância:331°49'17.08" e 7.45; até o vértice P2037, de coordenadas N 9214533.47 m e E 296361.62 m; deste, segue confrontando com , com os seguintes azimuth plano e distância:344°34'40.22" e 7.06; até o vértice P2038, de coordenadas N 9214540.27 m e E 296359.74 m; deste, segue confrontando com , com os seguintes azimuth plano e distância:342°20'59.55" e 5.41; até o vértice P2039, de coordenadas N 9214545.43 m e E 296358.10 m; deste, segue confrontando com , com os seguintes azimuth plano e distância:343°18'2.72" e 4.90; até o vértice P2040, de coordenadas N 9214550.12 m e E 296356.69 m; deste, segue confrontando com , com os seguintes azimuth plano e distância:347°28'16.29" e 6.49; até o vértice P2041, de coordenadas N 9214556.45 m e E 296355.29 m; deste, segue confrontando com , com os seguintes azimuth plano e distância:347°16'32.32" e 7.45; até o vértice P2042, de coordenadas N 9214563.72 m e E 296353.65 m; deste, segue confrontando com , com os seguintes azimuth plano e distância:343°18'2.72" e 4.90; até o vértice P2043, de coordenadas N 9214568.41 m e E 296352.24 m; deste, segue confrontando com , com os seguintes azimuth plano e distância:336°15'1.82" e 6.41; até o vértice P2044, de coordenadas N 9214574.28 m e E 296349.66 m; deste, segue confrontando com , com os seguintes azimuth plano e distância:329°25'14.78" e 5.99; até o vértice P2045, de coordenadas N 9214579.44 m e E 296346.61 m; deste, segue confrontando com , com os seguintes azimuth plano e distância:329°18'1.00" e 8.73; até o vértice P2046, de coordenadas N 9214586.94 m e E 296342.15 m; deste, segue confrontando com , com os seguintes azimuth plano e distância:328°46'53.75" e 9.05; até o vértice P2047, de coordenadas N 9214594.68 m e E 296337.46 m; deste, segue confrontando com , com os seguintes azimuth plano e distância:347°54'18.87" e 6.72; até o vértice P2048, de coordenadas N 9214601.25 m e E 296336.06 m; deste, segue confrontando com , com os seguintes azimuth plano e distância:346°36'27.01" e 5.06; até o vértice P2049, de coordenadas N 9214606.17 m e E 296334.88 m; deste, segue confrontando com , com os seguintes azimuth plano e distância:350°32'15.64" e 5.71; até o vértice P2050, de coordenadas N 9214611.80 m e E 296333.95 m; deste, segue confrontando com , com os seguintes azimuth plano e distância:338°11'54.93" e 6.31; até o vértice P2051, de coordenadas N 9214617.66 m e E 296331.60 m; deste, segue confrontando com , com os seguintes azimuth plano e distância:0°00'0.00" e 6.57; até o vértice P2052, de coordenadas N 9214624.23 m e E 296331.60 m; deste, segue confrontando com , com os seguintes azimuth plano e distância:323°28'16.12" e 7.88; até o vértice P2053, de coordenadas N 9214630.56 m e E 296326.91 m; deste, segue confrontando com , com os seguintes azimuth plano e distância:322°41'45.79" e 6.19; até o vértice P2054, de coordenadas N 9214635.49 m e E 296323.16 m; deste, segue confrontando com , com os seguintes azimuth plano e distância:326°18'35.76" e 5.92; até o vértice P2055, de coordenadas N 9214640.41 m e E 296319.87 m; deste, segue confrontando com , com os seguintes azimuth plano e distância:340°54'23.43" e 6.45; até o vértice P2056, de coordenadas N 9214646.51 m e E 296317.76 m; deste, segue confrontando com , com os seguintes azimuth plano e distância:345°15'23.17" e 4.61; até o vértice P2057, de coordenadas N 9214650.97 m e E 296316.59 m; deste, segue confrontando com , com os seguintes azimuth plano e distância:341°33'54.18" e 5.19; até o vértice P2058, de coordenadas N 9214655.89 m e E 296314.95 m; deste, segue confrontando com , com os seguintes azimuth plano e distância:333°26'5.82" e 5.77; até o vértice P2059, de coordenadas N 9214661.05 m e E 296312.37 m; deste, segue confrontando com , com os seguintes azimuth plano e distância:345°22'44.85" e 5.57; até o vértice P2060, de coordenadas N 9214666.44 m e E 296310.96 m; deste, segue confrontando com , com os seguintes azimuth plano e distância:345°04'6.90" e 10.92; até o vértice P2061, de coordenadas N 9214677.00 m e E 296308.15 m; deste, segue confrontando com , com os seguintes azimuth plano e distância:335°03'21.94" e 11.12; até o vértice P2062, de coordenadas N 9214687.08 m e E 296303.46 m; deste, segue confrontando com , com os seguintes azimuth plano e distância:345°10'24.67" e 8.25; até o vértice P2063, de coordenadas N 9214695.06 m e E 296301.35 m; deste, segue confrontando com , com os seguintes azimuth plano e distância:325°24'27.76" e 8.26; até o vértice P2064, de coordenadas N 9214701.86 m e E 296296.66 m; deste, segue confrontando com , com os seguintes azimuth plano e distância:318°59'27.29" e 7.15; até o vértice P2065, de coordenadas N 9214707.25 m e E 296291.97 m; deste, segue confrontando com , com os seguintes azimuth plano e distância:0°00'0.00" e 4.92; até o vértice P2066, de coordenadas N 9214712.18 m e E 296291.97 m; deste, segue confrontando com , com os seguintes azimuth plano e distância:339°46'30.51" e 4.75; até o vértice P2067, de coordenadas N 9214716.63 m e E 296290.33 m; deste, segue confrontando com , com os seguintes azimuth plano e distância:346°30'15.36" e 6.03; até o vértice P2068, de coordenadas N 9214722.49 m e E 296288.92 m; deste, segue confrontando com , com os seguintes azimuth plano e distância:334°58'59.18" e 3.88; até o vértice P2069, de coordenadas N 9214726.01 m e E 296287.28 m; deste, segue confrontando com , com os seguintes azimuth plano e distância:333°26'5.82" e 5.24; até o vértice P2070, de coordenadas N 9214730.70 m e E 296284.93 m; deste, segue confrontando com , com os seguintes azimuth plano e distância:334°21'32.38" e 6.50; até o vértice P2071, de coordenadas N 9214736.57 m e E 296282.12 m; deste,

Assinado por: João Pessoa, 06 de junho de 2024. Para verificar a validade das assinaturas, acesse <https://joaopessoa.1doc.com.br/verificacao/E130-3F2A-7A96-549F> e informe o código E130-3F2A-7A96-549F

segue confrontando com , com os seguintes azimuth plano e distância:340°54'23.43" e 6.45; até o vértice P2072, de coordenadas N 9214742.66 m e E 296280.01 m; deste, segue confrontando com , com os seguintes azimuth plano e distância:334°39'13.77" e 4.93; até o vértice P2073, de coordenadas N 9214747.12 m e E 296277.90 m; deste, segue confrontando com , com os seguintes azimuth plano e distância:335°33'21.76" e 5.67; até o vértice P2074, de coordenadas N 9214752.28 m e E 296275.55 m; deste, segue confrontando com , com os seguintes azimuth plano e distância:335°41'43.62" e 7.98; até o vértice P2075, de coordenadas N 9214759.55 m e E 296272.27 m; deste, segue confrontando com , com os seguintes azimuth plano e distância:330°25'19.78" e 9.98; até o vértice P2076, de coordenadas N 9214768.23 m e E 296267.34 m; deste, segue confrontando com , com os seguintes azimuth plano e distância:328°34'13.56" e 4.95; até o vértice P2077, de coordenadas N 9214772.45 m e E 296264.76 m; deste, segue confrontando com , com os seguintes azimuth plano e distância:338°33'8.15" e 7.06; até o vértice P2078, de coordenadas N 9214779.01 m e E 296262.18 m; deste, segue confrontando com , com os seguintes azimuth plano e distância:326°18'35.76" e 5.07; até o vértice P2079, de coordenadas N 9214783.24 m e E 296259.37 m; deste, segue confrontando com , com os seguintes azimuth plano e distância:322°07'30.06" e 5.35; até o vértice P2080, de coordenadas N 9214787.46 m e E 296256.08 m; deste, segue confrontando com , com os seguintes azimuth plano e distância:326°18'35.76" e 5.92; até o vértice P2081, de coordenadas N 9214792.38 m e E 296252.80 m; deste, segue confrontando com , com os seguintes azimuth plano e distância:335°13'29.49" e 3.36; até o vértice P2082, de coordenadas N 9214795.43 m e E 296251.39 m; deste, segue confrontando com , com os seguintes azimuth plano e distância:332°21'14.49" e 5.56; até o vértice P2083, de coordenadas N 9214800.36 m e E 296248.81 m; deste, segue confrontando com , com os seguintes azimuth plano e distância:335°46'20.12" e 5.14; até o vértice P2084, de coordenadas N 9214805.05 m e E 296246.70 m; deste, segue confrontando com , com os seguintes azimuth plano e distância:330°31'26.80" e 6.20; até o vértice P2085, de coordenadas N 9214810.44 m e E 296243.66 m; deste, segue confrontando com , com os seguintes azimuth plano e distância:315°00'0.00" e 6.30; até o vértice P2086, de coordenadas N 9214814.90 m e E 296239.20 m; deste, segue confrontando com , com os seguintes azimuth plano e distância:316°50'51.40" e 5.14; até o vértice P2087, de coordenadas N 9214818.65 m e E 296235.68 m; deste, segue confrontando com , com os seguintes azimuth plano e distância:296°00'12.05" e 10.70; até o vértice P2088, de coordenadas N 9214823.34 m e E 296226.07 m; deste, segue confrontando com , com os seguintes azimuth plano e distância:318°48'50.67" e 7.48; até o vértice P2089, de coordenadas N 9214828.97 m e E 296221.14 m; deste, segue confrontando com , com os seguintes azimuth plano e distância:301°28'36.62" e 13.47; até o vértice P2090, de coordenadas N 9214836.00 m e E 296209.65 m; deste, segue confrontando com , com os seguintes azimuth plano e distância:298°44'23.26" e 8.29; até o vértice P2091, de coordenadas N 9214839.99 m e E 296202.38 m; deste, segue confrontando com , com os seguintes azimuth plano e distância:306°01'38.54" e 6.38; até o vértice P2092, de coordenadas N 9214843.74 m e E 296197.22 m; deste, segue confrontando com , com os seguintes azimuth plano e distância:304°17'12.76" e 6.24; até o vértice P2093, de coordenadas N 9214847.26 m e E 296192.06 m; deste, segue confrontando com , com os seguintes azimuth plano e distância:289°01'32.18" e 7.19; até o vértice P2094, de coordenadas N 9214849.61 m e E 296185.26 m; deste, segue confrontando com , com os seguintes azimuth plano e distância:293°11'54.93" e 7.14; até o vértice P2095, de coordenadas N 9214852.42 m e E 296178.69 m; deste, segue confrontando com , com os seguintes azimuth plano e distância:295°12'4.05" e 8.81; até o vértice P2096, de coordenadas N 9214856.17 m e E 296170.72 m; deste, segue confrontando com , com os seguintes azimuth plano e distância:282°43'27.68" e 7.45; até o vértice P2097, de coordenadas N 9214857.81 m e E 296163.45 m; deste, segue confrontando com , com os seguintes azimuth plano e distância:276°27'31.74" e 12.51; até o vértice P2098, de coordenadas N 9214859.22 m e E 296151.02 m; deste, segue confrontando com , com os seguintes azimuth plano e distância:290°05'42.83" e 10.24; até o vértice P2099, de coordenadas N 9214862.74 m e E 296141.40 m; deste, segue confrontando com , com os seguintes azimuth plano e distância:289°32'11.96" e 7.71; até o vértice P2100, de coordenadas N 9214865.32 m e E 296134.13 m; deste, segue confrontando com , com os seguintes azimuth plano e distância:282°40'49.38" e 9.62; até o vértice P2101, de coordenadas N 9214867.43 m e E 296124.75 m; deste, segue confrontando com , com os seguintes azimuth plano e distância:271°16'22.91" e 10.56; até o vértice P2102, de coordenadas N 9214867.66 m e E 296114.20 m; deste, segue confrontando com , com os seguintes azimuth plano e distância:260°32'15.64" e 8.56; até o vértice P2103, de coordenadas N 9214866.26 m e E 296105.76 m; deste, segue confrontando com , com os seguintes azimuth plano e distância:266°59'13.96" e 8.92; até o vértice P2104, de coordenadas N 9214865.79 m e E 296096.84 m; deste, segue confrontando com , com os seguintes azimuth plano e distância:272°36'9.22" e 10.33; até o vértice P2105, de coordenadas N 9214866.26 m e E 296086.53 m; deste, segue confrontando com , com os seguintes azimuth plano e distância:256°54'29.18" e 10.35; até o vértice P2106, de coordenadas N 9214863.91 m e E 296076.44 m; deste, segue confrontando com , com os seguintes azimuth plano e distância:263°01'8.19" e 11.58; até o vértice P2107, de coordenadas N 9214862.50 m e E 296064.95 m; deste, segue confrontando com , com os seguintes azimuth plano e distância:266°43'46.24" e 8.22; até o vértice P2108, de coordenadas N 9214862.04 m e E 296056.74 m; deste, segue confrontando com , com os seguintes azimuth plano e distância:263°05'19.58" e 7.80; até o vértice P2109, de coordenadas N 9214861.10 m e E 296049.00 m; deste, segue confrontando com , com os seguintes azimuth plano e distância:248°11'54.93" e 7.58; até o vértice P2110, de coordenadas N 9214858.28 m e E 296041.97 m; deste, segue confrontando com , com os seguintes azimuth plano e distância:250°49'15.57" e 5.71; até o vértice P2111, de coordenadas N 9214856.41 m e E 296036.57 m; deste, segue confrontando com , com os seguintes azimuth plano e distância:252°38'45.51" e 7.86; até o vértice P2112, de coordenadas N 9214854.06 m e E 296029.07 m; deste, segue confrontando com , com os seguintes azimuth plano e distância:247°31'14.04" e 7.36; até o vértice P2113, de coordenadas N 9214851.25 m e E 296022.27 m; deste, segue confrontando com , com os seguintes azimuth plano e distância:250°15'11.39" e 9.72; até o vértice P2114, de coordenadas N 9214847.96 m e E 296013.12 m; deste, segue confrontando com , com os seguintes azimuth plano e distância:257°16'32.32" e 7.45; até o vértice P2115, de coordenadas N 9214846.32 m e E 296005.85 m; deste, segue confrontando com , com os seguintes azimuth plano e distância:259°04'37.90" e 13.61; até o vértice P2116, de coordenadas N 9214843.74 m e E 295992.48 m; deste, segue confrontando com , com os seguintes azimuth plano e distância:253°18'2.72" e 4.90; até o vértice P2117, de coordenadas N 9214842.34 m e E 295987.79 m; deste, segue confrontando com , com os seguintes azimuth plano e distância:260°04'25.52" e 9.52; até o vértice P2118, de coordenadas N 9214840.69 m e E 295978.41 m; deste, segue confrontando com , com os seguintes

Assinado por: SÍCERO DE LUCENA FILHO. Para verificar a validade das assinaturas, acesse <https://joaopessoa.1doc.com.br/verificacao/E130-3F2A-7A96-549F> e informe o código E130-3F2A-7A96-549F

azimute plano e distância:263°17'24.59" e 8.03; até o vértice P2119, de coordenadas N 9214839.76 m e E 295970.44 m; deste, segue confrontando com , com os seguintes azimute plano e distância:247°09'58.84" e 4.83; até o vértice P2120, de coordenadas N 9214837.88 m e E 295965.98 m; deste, segue confrontando com , com os seguintes azimute plano e distância:249°13'39.88" e 7.27; até o vértice P2121, de coordenadas N 9214835.30 m e E 295959.18 m; deste, segue confrontando com , com os seguintes azimute plano e distância:249°26'38.24" e 6.01; até o vértice P2122, de coordenadas N 9214833.19 m e E 295953.55 m; deste, segue confrontando com , com os seguintes azimute plano e distância:249°46'30.51" e 4.38; até o vértice P2123, de coordenadas N 9214831.67 m e E 295949.44 m; deste, segue confrontando com , com os seguintes azimute plano e distância:249°46'30.51" e 9.86; até o vértice P2124, de coordenadas N 9214828.26 m e E 295940.18 m; deste, segue confrontando com , com os seguintes azimute plano e distância:1°26'19.61" e 11.12; até o vértice P2125, de coordenadas N 9214839.38 m e E 295940.46 m; deste, segue confrontando com , com os seguintes azimute plano e distância:1°26'19.75" e 5.02; até o vértice P2126, de coordenadas N 9214844.40 m e E 295940.59 m; deste, segue confrontando com , com os seguintes azimute plano e distância:69°46'34.25" e 8.24; até o vértice P2127, de coordenadas N 9214847.25 m e E 295948.32 m; deste, segue confrontando com , com os seguintes azimute plano e distância:69°26'38.24" e 1.15; até o vértice P2128, de coordenadas N 9214847.65 m e E 295949.40 m; deste, segue confrontando com , com os seguintes azimute plano e distância:69°26'38.24" e 4.79; até o vértice P2129, de coordenadas N 9214849.34 m e E 295953.89 m; deste, segue confrontando com , com os seguintes azimute plano e distância:69°13'39.88" e 6.98; até o vértice P2130, de coordenadas N 9214851.81 m e E 295960.41 m; deste, segue confrontando com , com os seguintes azimute plano e distância:67°09'58.85" e 4.56; até o vértice P2131, de coordenadas N 9214853.58 m e E 295964.62 m; deste, segue confrontando com , com os seguintes azimute plano e distância:67°19'59.42" e 0.09; até o vértice P2132, de coordenadas N 9214853.61 m e E 295964.70 m; deste, segue confrontando com , com os seguintes azimute plano e distância:69°22'30.00" e 0.98; até o vértice P2133, de coordenadas N 9214853.96 m e E 295965.61 m; deste, segue confrontando com , com os seguintes azimute plano e distância:73°07'30.00" e 0.98; até o vértice P2134, de coordenadas N 9214854.24 m e E 295966.55 m; deste, segue confrontando com , com os seguintes azimute plano e distância:76°52'30.00" e 0.98; até o vértice P2135, de coordenadas N 9214854.47 m e E 295967.51 m; deste, segue confrontando com , com os seguintes azimute plano e distância:80°37'30.00" e 0.98; até o vértice P2136, de coordenadas N 9214854.63 m e E 295968.48 m; deste, segue confrontando com , com os seguintes azimute plano e distância:82°53'42.29" e 0.21; até o vértice P2137, de coordenadas N 9214854.65 m e E 295968.68 m; deste, segue confrontando com , com os seguintes azimute plano e distância:83°17'24.59" e 7.61; até o vértice P2138, de coordenadas N 9214855.54 m e E 295976.24 m; deste, segue confrontando com , com os seguintes azimute plano e distância:80°04'25.52" e 8.21; até o vértice P2139, de coordenadas N 9214856.96 m e E 295984.33 m; deste, segue confrontando com , com os seguintes azimute plano e distância:73°18'2.72" e 4.01; até o vértice P2140, de coordenadas N 9214858.11 m e E 295988.17 m; deste, segue confrontando com , com os seguintes azimute plano e distância:74°09'1.36" e 0.44; até o vértice P2141, de coordenadas N 9214858.23 m e E 295988.60 m; deste, segue confrontando com , com os seguintes azimute plano e distância:76°52'30.00" e 0.98; até o vértice P2142, de coordenadas N 9214858.45 m e E 295989.56 m; deste, segue confrontando com , com os seguintes azimute plano e distância:78°54'48.95" e 0.09; até o vértice P2143, de coordenadas N 9214858.47 m e E 295989.64 m; deste, segue confrontando com , com os seguintes azimute plano e distância:79°04'37.90" e 13.38; até o vértice P2144, de coordenadas N 9214861.01 m e E 296002.78 m; deste, segue confrontando com , com os seguintes azimute plano e distância:77°16'32.32" e 6.30; até o vértice P2145, de coordenadas N 9214862.39 m e E 296008.92 m; deste, segue confrontando com , com os seguintes azimute plano e distância:70°15'11.39" e 8.44; até o vértice P2146, de coordenadas N 9214865.24 m e E 296016.86 m; deste, segue confrontando com , com os seguintes azimute plano e distância:67°31'14.04" e 7.00; até o vértice P2147, de coordenadas N 9214867.92 m e E 296023.33 m; deste, segue confrontando com , com os seguintes azimute plano e distância:69°23'7.02" e 0.98; até o vértice P2148, de coordenadas N 9214868.27 m e E 296024.25 m; deste, segue confrontando com , com os seguintes azimute plano e distância:71°56'52.75" e 0.37; até o vértice P2149, de coordenadas N 9214868.38 m e E 296024.59 m; deste, segue confrontando com , com os seguintes azimute plano e distância:72°38'45.51" e 7.62; até o vértice P2150, de coordenadas N 9214870.65 m e E 296031.87 m; deste, segue confrontando com , com os seguintes azimute plano e distância:70°49'15.57" e 5.13; até o vértice P2151, de coordenadas N 9214872.34 m e E 296036.71 m; deste, segue confrontando com , com os seguintes azimute plano e distância:68°11'54.93" e 7.23; até o vértice P2152, de coordenadas N 9214875.02 m e E 296043.43 m; deste, segue confrontando com , com os seguintes azimute plano e distância:69°43'27.46" e 0.80; até o vértice P2153, de coordenadas N 9214875.30 m e E 296044.18 m; deste, segue confrontando com , com os seguintes azimute plano e distância:73°07'30.00" e 0.98; até o vértice P2154, de coordenadas N 9214875.59 m e E 296045.12 m; deste, segue confrontando com , com os seguintes azimute plano e distância:76°52'30.00" e 0.98; até o vértice P2155, de coordenadas N 9214875.81 m e E 296046.08 m; deste, segue confrontando com , com os seguintes azimute plano e distância:80°37'30.00" e 0.98; até o vértice P2156, de coordenadas N 9214875.97 m e E 296047.04 m; deste, segue confrontando com , com os seguintes azimute plano e distância:82°47'39.79" e 0.15; até o vértice P2157, de coordenadas N 9214875.99 m e E 296047.20 m; deste, segue confrontando com , com os seguintes azimute plano e distância:83°05'19.58" e 7.80; até o vértice P2158, de coordenadas N 9214876.93 m e E 296054.94 m; deste, segue confrontando com , com os seguintes azimute plano e distância:84°40'9.79" e 0.83; até o vértice P2159, de coordenadas N 9214877.00 m e E 296055.76 m; deste, segue confrontando com , com os seguintes azimute plano e distância:86°29'23.12" e 0.13; até o vértice P2160, de coordenadas N 9214877.01 m e E 296055.89 m; deste, segue confrontando com , com os seguintes azimute plano e distância:86°43'46.24" e 7.74; até o vértice P2161, de coordenadas N 9214877.45 m e E 296063.61 m; deste, segue confrontando com , com os seguintes azimute plano e distância:83°01'8.19" e 10.29; até o vértice P2162, de coordenadas N 9214878.70 m e E 296073.82 m; deste, segue confrontando com , com os seguintes azimute plano e distância:76°54'29.18" e 9.55; até o vértice P2163, de coordenadas N 9214880.87 m e E 296083.13 m; deste, segue confrontando com , com os seguintes azimute plano e distância:77°49'44.59" e 0.48; até o vértice P2164, de coordenadas N 9214880.97 m e E 296083.60 m; deste, segue confrontando com , com os seguintes azimute plano e distância:80°37'30.00" e 0.98; até o vértice P2165, de coordenadas N 9214881.13 m e E 296084.57 m; deste, segue confrontando com , com os seguintes azimute plano e distância:84°22'30.00" e 0.98;

Para verificar a validade das assinaturas, acesse <https://joaopessoa.1doc.com.br/verificacao/E130-3F2A-7A96-549F> e informe o código E130-3F2A-7A96-549F



até o vértice P2166, de coordenadas N 9214881.22 m e E 296085.54 m; deste, segue confrontando com , com os seguintes azimuth plano e distância:88°07'30.00" e 0.98; até o vértice P2167, de coordenadas N 9214881.26 m e E 296086.53 m; deste, segue confrontando com , com os seguintes azimuth plano e distância:91°18'4.61" e 0.68; até o vértice P2168, de coordenadas N 9214881.24 m e E 296087.21 m; deste, segue confrontando com , com os seguintes azimuth plano e distância:92°36'9.22" e 9.59; até o vértice P2169, de coordenadas N 9214880.81 m e E 296096.79 m; deste, segue confrontando com , com os seguintes azimuth plano e distância:86°59'13.96" e 7.34; até o vértice P2170, de coordenadas N 9214881.19 m e E 296104.12 m; deste, segue confrontando com , com os seguintes azimuth plano e distância:80°32'15.64" e 7.71; até o vértice P2171, de coordenadas N 9214882.46 m e E 296111.73 m; deste, segue confrontando com , com os seguintes azimuth plano e distância:81°31'7.82" e 0.51; até o vértice P2172, de coordenadas N 9214882.54 m e E 296112.24 m; deste, segue confrontando com , com os seguintes azimuth plano e distância:84°22'30.00" e 0.98; até o vértice P2173, de coordenadas N 9214882.63 m e E 296113.22 m; deste, segue confrontando com , com os seguintes azimuth plano e distância:88°07'30.00" e 0.98; até o vértice P0, de coordenadas N 9214882.66 m e E 296114.20 m, encerrando esta descrição. Todas as coordenadas aqui descritas estão georreferenciadas ao Sistema Geodésico Brasileiro, a partir da estação RBMC de de coordenadas E m e N m, localizada em , e encontram-se representadas no sistema UTM, referenciadas ao Meridiano Central -33, tendo como DATUM SIRGAS 2000 .Todos os azimuths e distâncias, área e perímetro foram calculados no plano de projeção UTM.

João Pessoa, 29/04/2024

CREA:

Código Credenciamento: ART:



VERIFICAÇÃO DAS ASSINATURAS



Código para verificação: E130-3F2A-7A96-549F

Este documento foi assinado digitalmente pelos seguintes signatários nas datas indicadas:



CÍCERO DE LUCENA FILHO (CPF 142.XXX.XXX-53) em 05/06/2024 11:29:38 (GMT-03:00)

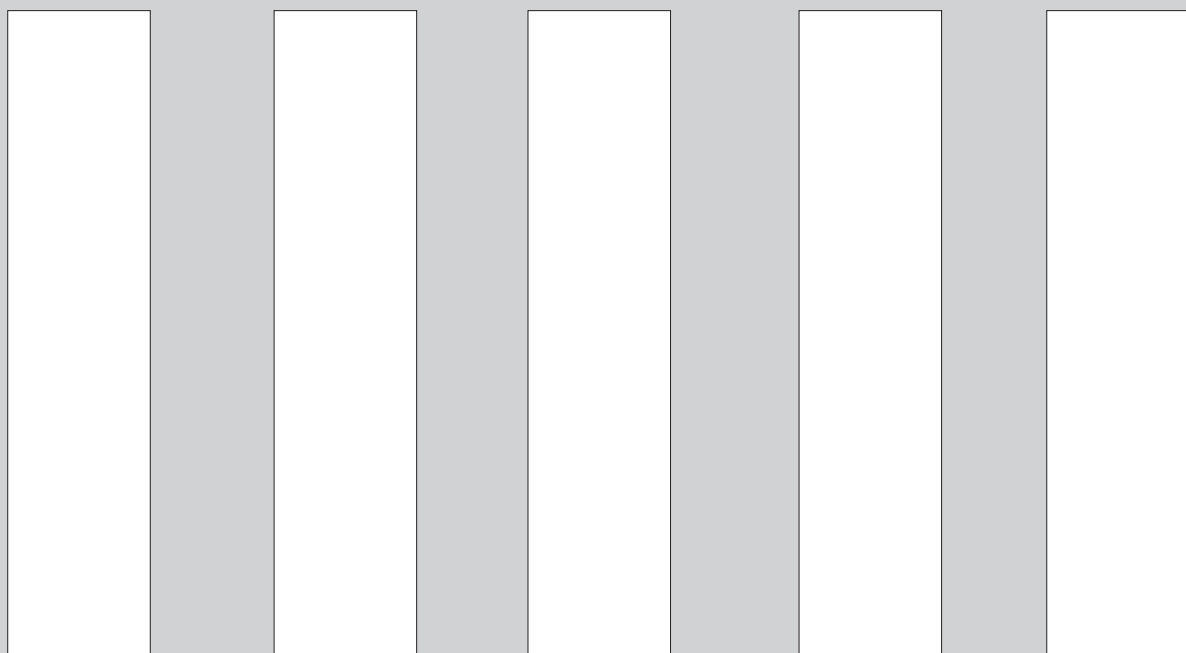
Papel: Parte

Emitido por: Sub-Autoridade Certificadora 1Doc (Assinatura 1Doc)

Para verificar a validade das assinaturas, acesse a Central de Verificação por meio do link:

<https://joaopessoa.1doc.com.br/verificacao/E130-3F2A-7A96-549F>

RESPEITE A FAIXA DE PEDESTRE



FAÇA SUA PARTE

**JOÃO PESSOA JÁ
ESTÁ SE ORGULHANDO**